



FONDO PIZZOFALCONE



~~28-1-25~~

19589

BIBLIOTECA PROVINCIALE

Armando



Paichetto

Num. d'ordine 15-1-25

NAZIONALE

B. Prov.

R. BIBLIOTECA

VITT. EM. III

942

NAPOLI

B. Prov.

II

942



EXPÉRIENCES HYDRAULIQUES

sur les

LOIS DE L'ÉCOULEMENT DE L'EAU.

---

EXTRAIT DU TOME XIII

DES MÉMOIRES PRÉSENTÉS PAR DIVERS SAVANTS

A L'ACADÉMIE DES SCIENCES.



LIBRAIRIE SCIENTIFIQUE-INDUSTRIELLE

DE

L. MATHIAS (AUGUSTIN),

QUAI MALAQUAIS, N° 15, A PARIS.



610130

# EXPÉRIENCES HYDRAULIQUES

SUR LES

## LOIS DE L'ÉCOULEMENT DE L'EAU

A TRAVERS LES ORIFICES RECTANGULAIRES VERTICAUX A GRANDES DIMENSIONS.

EXÉCUTÉES A METZ.

D'APRÈS LES ORDRES DE M. LE MINISTRE DE LA GUERRE.

PENDANT LES TROIS DERNIERS MOIS DE 1828, ET PENDANT LES ANNÉES 1829, 1831 ET 1834.

PAR M. LESBROS.

COLONEL DU GÉNIE.

---

PRIX DE MÉCANIQUE DE 1850.



PARIS.

IMPRIMERIE NATIONALE.

---

M DCCC LI.







# RAPPORT

FAIT

A L'ACADÉMIE DES SCIENCES,

DANS SA SÉANCE DU 25 NOVEMBRE 1850.

SUR UN MÉMOIRE DE M. LE COLONEL DU GÉNIE LESBROS.

INTITULÉ :

EXPÉRIENCES HYDRAULIQUES

RELATIVES AUX LOIS DE L'ÉCOULEMENT DE L'EAU.

COMMISSAIRES :

MM. ARAGO, REGNAULT, PIOBERT, MORIN; PONCELET, rapporteur.

Cet ouvrage, qui se compose de trois cent douze pages de texte, de quarante-trois tableaux embrassant plus de deux mille expériences, et d'un atlas de trente-sept grandes planches concernant la description des appareils et de divers phénomènes relatifs au mouvement des liquides, a été transmis à l'Académie, dans sa séance du 22 juillet dernier, par M. le Ministre de la guerre, avec invitation de lui faire parvenir une copie du rapport qui aura été fait sur ce travail.

L'Académie se rappelle, en effet, que c'est sous les auspices et aux frais du département de la guerre que déjà la première série de ces expé-

riences a été entreprise à Metz, en 1827 et 1828, dans le but de fournir à l'enseignement de l'École d'application de l'artillerie et du génie, ainsi qu'aux services publics et aux ingénieurs en général, des moyens de jaugeage pratiques et dénués des incertitudes attachées aux résultats des anciennes expériences (*Rapport<sup>1</sup> d'une commission composée de MM. de Prony, Navier et Girard, 2 mai 1831, et Recueil des Savants étrangers, t. III, année 1832*). Ces expériences ont été continuées, dans les années 1828, 1829, 1831 et 1834, par M. Lesbros, avec la plus louable persévérance et un esprit de rectitude, un sentiment des besoins de la science et de ses applications vraiment très-remarquables.

« Les nombreux résultats qui se trouvent consignés dans le mémoire de cet ingénieur, seront d'une grande utilité pour toutes les questions ou travaux qui se rattachent aux théories de l'hydraulique, à l'établissement des écluses et prises d'eau de la navigation ou des fortifications, des usines et des systèmes d'irrigation. Malgré de savantes et laborieuses recherches dues aux hommes les plus éminents, la solution pratique de ces importantes questions manquait encore, en effet, d'une foule de données essentielles, en l'absence desquelles les ingénieurs et les propriétaires d'usines en particulier, ont souvent été entraînés dans des appréciations erronées, relatives au travail des moteurs hydrauliques ou au règlement des cours d'eau, et, par suite, dans des contestations, des procès même, fort préjudiciables aux intérêts de tous. Aussi, depuis l'impression des premières expériences, des années 1827 et 1828, dans les Mémoires des Savants étrangers de l'Académie, le public éclairé attendait-il avec la plus vive impatience la production du résultat des nouvelles recherches de M. Lesbros, dont le long retard, motivé dans les premières pages du mémoire qui nous occupe, tient à des causes souvent pénibles et toujours indépendantes du fait même de sa volonté.

« L'importance scientifique que nous attachons au travail de M. Lesbros, et sa haute utilité pratique, nous engageant à faire connaître ici, avec quelques développements, le but qu'il a cherché à atteindre dans ses nouvelles expériences, et les principaux résultats auxquels il est parvenu.

« Les expériences de 1827 et 1828 avaient eu spécialement pour objet la détermination des coefficients numériques qu'il est nécessaire

<sup>1</sup> Ce Rapport a été inséré dans les *Annales des ponts et chaussées*, 1<sup>re</sup> année, 1831. Le mémoire lui-même a été présenté et lu à l'Académie des sciences en 1829.

d'appliquer aux formules de la *dépense théorique*, pour obtenir la *dépense effective* des orifices en minces parois planes, à contraction complète. ou entièrement isolés du fond et des parois latérales du réservoir. A cet effet, on avait choisi, comme point de départ et pour type, un orifice rectangulaire vertical de 0<sup>m</sup>,20 de base, dont on a fait varier la hauteur depuis 0<sup>m</sup>,01 jusqu'à 0<sup>m</sup>,20, les charges sur cette base devant elles-mêmes varier de zéro à deux mètres, et les réservoirs alimentaires ayant des dimensions très-considérables. Les résultats déduits de ces expériences normales et établies avec un degré de précision peu ordinaire, ont été généralement adoptés par les auteurs et les ingénieurs hydrauliciens, tant en France qu'à l'étranger.

Ces premières expériences, si précieuses en elles-mêmes, ne pouvaient néanmoins satisfaire aux plus pressants besoins de la pratique, quoiqu'elles fournissent un élément essentiel pour le jaugeage des cours d'eau, élément qui a dernièrement servi de base à l'établissement d'un étalon de mesure légale chez l'une des nations voisines, dont, pour le dire en passant, il est regrettable que l'exemple ne soit pas généralement suivi. En effet, les pertuis des usines et des écluses sont presque toujours ouverts dans des cloisons épaisses, plus ou moins rapprochées des autres parois du réservoir qui, elles-mêmes d'une étendue variable, sont tantôt parallèles, tantôt obliques à l'axe du pertuis et terminées carrément à leurs extrémités d'amont, ou arrondies suivant la forme contractée de la veine fluide, de manière à présenter une véritable embouchure. Le plus souvent aussi les bords de l'orifice sont prolongés au dehors du réservoir par un canal ou coursier de longueur et d'inclinaison variables, servant à diriger les eaux sur les roues hydrauliques ou vers des décharges inférieures. Enfin, ils sont quelquefois recouverts plus ou moins par les remous ou par l'eau du bief d'aval. Or on conçoit, *a priori*, que ces diverses circonstances doivent amener des modifications essentielles dans les lois de l'écoulement et le débit des orifices. Telle est aussi la tâche immense, non moins que délicate, que M. Lesbros s'est imposée dans ses dernières expériences, et dont nous allons essayer de rendre un compte très-succinct à l'Académie.

Dans les vingt et une premières séries, comprenant environ onze cents expériences, si l'on tient compte de celles qui ont été généralement répétées trois fois, pour chaque charge distincte, afin d'arriver à des moyennes dénuées de toute incertitude; dans ces vingt et une

séries, disons-nous, l'auteur s'est occupé des orifices fermés à la partie supérieure et débouchant librement dans l'air, mais avec des dispositifs variés dont nous avons donné l'indication ci-dessus, et il présente, dans douze tableaux, les résultats détaillés qu'il a ainsi obtenus pour chaque dispositif. Ces tableaux, comme ceux dont il sera fait mention ci-après, sont divisés en deux parties relatives : l'une, au cas où l'on mesure la charge en un point du réservoir où le liquide est parfaitement stagnant; et l'autre, à celui où l'on relève cette charge très-près et en amont de l'orifice, ainsi que cela se pratique d'ordinaire. Chacune de ces parties comprend les données de l'expérience, les éléments et résultats des calculs relatifs aux dépenses théoriques ou effectives, ainsi que le coefficient numérique qui s'en déduit et dont on peut, de cette manière, contrôler l'exactitude. Une colonne d'observations contient tous les renseignements qui intéressent le mode et les circonstances de l'écoulement. La légende qui précède ces divers tableaux et les titres qui les accompagnent mettent le lecteur en mesure de recourir immédiatement aux figures qui représentent sur l'atlas le dispositif concernant chaque série distincte d'expériences.

« Enfin, ces tableaux détaillés ont fourni à l'auteur les moyens de dresser à la fin de l'ouvrage, pour chaque orifice, une table d'interpolation qui fait immédiatement connaître les coefficients numériques de la formule pratique ou théorique correspondante, et cela pour toutes les charges sur le sommet comprises entre zéro et trois mètres. Les planches de l'atlas contiennent en outre les courbes qui ont servi à établir ces dernières tables, aussi bien que les profils cotés des différentes sections transversales ou longitudinales du courant liquide, tant dans l'intérieur qu'en dehors du réservoir; ce qui donne à M. Lesbros les moyens d'en déduire des conséquences utiles relativement à la contraction de la veine fluide, aux remous, etc. Ces différentes données, à cause de l'exactitude qui les caractérise, permettront aussi à ceux qui s'occupent de recherches concernant l'hydraulique, d'étudier ou de découvrir quelques-unes des lois de l'écoulement des fluides, restées jusqu'ici inaperçues ou obscures, faute des éléments d'expérience indispensables.

« Les observations précédentes s'appliquant à toutes les autres séries d'expériences, nous n'y reviendrons plus.

« Les treize séries suivantes comprennent cinq cent vingt-six expériences : elles concernent les mêmes orifices, prolongés au dehors du

réservoir par des canaux ou coursiers rectangulaires de diverses longueurs et inclinaisons, dans lesquels néanmoins le régime des eaux ne peut parvenir à l'uniformité, et d'où l'eau s'échappe librement par l'extrémité inférieure. Les cinq ou six tableaux qui contiennent les résultats détaillés de ces séries d'expériences présentent, de plus que les douze précédents, des colonnes relatives à la vitesse moyenne du liquide en divers points du canal de fuite, déduite du relevé géométrique des sections transversales en ces points, et dont on a comparé les valeurs à celles qui se rapportent aux charges de liquide, prises généralement au-dessus du centre de l'orifice et quelquefois au-dessus du sommet de la veine contractée, quand elle suivait exactement le fond du canal ou coursier.

« Avant de quitter le dispositif qui se rapporte à ces diverses séries d'expériences, nous croyons utile de mentionner les résultats très-importants auxquels M. Lesbros est parvenu, en cherchant à déterminer l'influence absolue du rapport de la largeur à la hauteur des orifices. Déjà, dans le mémoire de 1829, on s'était demandé si l'accroissement remarquable du coefficient de la dépense pour les très-petites ouvertures de vanne, tenait uniquement à l'influence de la diminution de la contraction, résultant du rapprochement même des bords horizontaux de l'orifice. Pour lever toute espèce d'incertitude à cet égard, l'auteur a entrepris une suite d'expériences sur un orifice rectangulaire de 0<sup>m</sup>,60 de longueur sur 0<sup>m</sup>,02 de largeur, placé tantôt dans le sens horizontal, tantôt dans le sens vertical; il a ainsi constaté que, en mesurant la charge sur le sommet de cet orifice, et se servant de la formule qui tient spécialement compte de l'influence de son ouverture, le coefficient numérique à appliquer à cette formule avait, entre certaines limites du rapport de la plus grande à la plus petite des deux dimensions, la même valeur dans les deux dispositions de l'orifice. Ce résultat s'est également reproduit dans le cas où la plus grande de ces dimensions a été réduite à 0<sup>m</sup>,20 et à 0<sup>m</sup>,05. Enfin, l'auteur a constaté, sur un orifice carré de 2 centimètres de côté, qu'effectivement l'augmentation du coefficient tient au rapprochement même des bords opposés de l'ouverture. C'est, d'ailleurs, en se fondant sur cette étude approfondie de l'influence du rapport des dimensions des orifices rectangulaires, que M. Lesbros a expliqué les anomalies que paraissent offrir les résultats obtenus par quelques auteurs.

« Nous signalerons encore, à propos des orifices débouchant librement dans l'air, la série d'expériences relatives aux dépenses des pertuis fermés, ou non, par des vannes de 5 centimètres d'épaisseur, et offrant toutes les combinaisons qui se rencontrent le plus souvent dans la pratique, la largeur horizontale de l'orifice étant de 60 centimètres et sa hauteur ayant varié depuis 3 jusqu'à 40 centimètres. Le fait le plus remarquable offert par ces expériences, qui seront spécialement utiles aux ingénieurs, c'est que la dépense se trouve, en général, augmentée d'une manière notable par rapport à celle qui avait lieu sans la présence de la vanne, de ses feuillures et de son seuil; résultat qui trouve une explication naturelle dans les phénomènes de contraction et du mouvement de la veine, observés par M. Lesbros et scrupuleusement décrits dans son mémoire.

« Dans une série particulière de quarante-neuf expériences, cet ingénieur a étudié l'effet produit sur la dépense par des remous artificiels, obtenus en barrant transversalement, sur diverses hauteurs, l'extrémité du canal qui formait, dans les séries précédentes, le prolongement exact des bords de l'orifice. Il se servait, à cet effet, d'une planche taillée en biseau vers l'aval, et par-dessus laquelle le liquide s'écoulait en forme de déversoir. Ce dispositif permettait de faire recouvrir plus ou moins complètement, par le remous, la veine sortant de l'orifice d'écoulement, de manière à pouvoir étudier ainsi l'un des cas les plus obscurs de l'hydraulique pratique, et que les expériences de Bossut et de Dubuat avaient laissé sans solution satisfaisante. Dans ce but, M. Lesbros a ajouté au tableau qui contient les résultats des précédentes expériences, des colonnes où il a calculé les coefficients relatifs à quatre formules différentes proposées par divers auteurs, pour déterminer à priori la dépense des pertuis dans ce cas. Mais, comme aucune ne représente d'une manière satisfaisante la véritable loi de la dépense, même lorsque le remous couvre entièrement la veine, il a dressé, dans le texte, une table auxiliaire d'interpolation où le rapport des dépenses, avec et sans remous ou barrage, est ordonné d'après le rapport même des charges de liquide au-dessus du sommet de l'orifice, mesurées en amont dans le réservoir, et en aval au point le plus élevé du remous.

« Les nombres ainsi obtenus suivent, en effet, une marche régulière décroissante, qui permettra de calculer la dépense, pour les circonstances dont il s'agit, avec une approximation beaucoup plus grande que les

autres formules précitées, lesquelles ne sauraient d'ailleurs être appliquées dans le cas où la veine n'est pas entièrement recouverte par le remous.

« Dans les dernières parties de son mémoire, M. Lesbros a étudié, d'une manière toute spéciale, le cas où la charge sur le sommet des orifices est tellement faible, que l'eau s'écoule forcément en déversoir, c'est-à-dire absolument comme si la paroi supérieure de ces orifices était totalement enlevée. Les séries d'opérations qui concernent ce cas, l'un des plus importants et des plus épineux de l'hydraulique, sont au nombre de vingt et une, et embrassent deux cent quatre-vingt-six expériences, qui doivent être considérées comme la continuation, non interrompue, de chacune des précédentes séries relatives aux orifices fermés à la partie supérieure, et cela avec d'autant plus de motifs que, dans celles-ci, les expériences ont été constamment poussées jusqu'à la limite des plus petites charges pour lesquelles le moindre abaissement du niveau, le moindre ébranlement, suffisait pour détacher la veine du bord supérieur de l'ouverture.

« En vertu de cette analogie entre les deux cas, les tableaux, les données et les résultats d'expériences relatifs aux vingt et une séries dont il s'agit, sont divisés en deux parties, dont l'une se réfère à la formule ordinaire des déversoirs adoptée par Dubuat, et l'autre à la formule qui suppose les orifices fermés à la partie supérieure, et ayant pour hauteur l'épaisseur moyenne de la nappe qui franchit le seuil du déversoir. M. Lesbros a établi, au sujet de ces mêmes séries d'expériences, un parallèle très-intéressant et qui sera particulièrement utile aux ingénieurs hydrauliciens, entre les résultats qui s'en déduisent et ceux qui ont été obtenus par Dubuat, Eytelwein, Bidone, Castel, etc. L'accord satisfaisant de tous ces résultats fait disparaître, en grande partie, les anomalies et les incertitudes qui avaient jusqu'ici régné dans cette matière.

« Une autre série de vingt-six expériences concerne les déversoirs déjà mentionnés plus haut, et formés à l'extrémité libre d'un canal barré transversalement sur diverses hauteurs, et alimenté par un orifice placé à 3 mètres seulement en amont du débouché; de sorte que le régime dans le canal n'était pas rigoureusement uniforme, et que les charges au-dessus du sommet du barrage ont dû être mesurées à partir du point supérieur des remous, et offrir d'assez fortes incertitudes, surtout pour les très-petites valeurs de ces charges. Aussi M. Lesbros n'a-t-il point eu

égard aux résultats ainsi obtenus, dans la formation de ses tables d'interpolation; son but n'ayant été que de mettre à profit les expériences relatives à l'influence des remous sur le débit des orifices placés en amont, et de présenter aux ingénieurs quelques résultats propres à les éclairer dans des circonstances exceptionnelles.

« Enfin, M. Lesbros a entrepris une dernière série de quarante et une expériences sur des déversoirs *incomplets*, ou en partie *noyés* dans l'eau du bief inférieur, lesquelles se rapportent ainsi plus particulièrement au cas des prises d'eau libres des canaux, dans les bassins ou rivières; cas déjà étudié par Dubuat, au moyen d'une expérience qui lui a servi à établir une formule admise, faute de mieux, par beaucoup d'ingénieurs, mais qui, appliquée aux résultats dont il vient d'être parlé, présente les anomalies les plus choquantes. C'est pourquoi M. Lesbros en a adopté une autre qui fait dépendre le débit d'un élément moins sujet à variation, et, par là même, plus facile à relever.

« Dans l'esprit des recherches exclusivement expérimentales et pratiques de cet officier supérieur, la formule dont il s'agit et tous ses analogues consignés dans le mémoire, n'ont d'autre but que de fournir aux ingénieurs des moyens commodes de calculer la dépense des orifices, et cela avec un degré d'approximation plus que suffisant pour la pratique; tout en faisant entrer dans les formules, ainsi que dans les tables d'interpolation qui s'y réfèrent, les données ou éléments qui se prêtent le mieux à la nature physique de chaque question. Quant aux formules déduites de considérations théoriques ou d'hypothèses plus ou moins contestables, proposées par divers auteurs et dont quelques-unes ont servi de base à la formation des tableaux d'expériences, elles ont toutes offert, dans l'évaluation des coefficients de correction dont il faut les affecter, des variations non moins considérables que celles des formules purement empiriques ou pratiques, et il se passera encore bien du temps, sans doute, ayant que les théories admises puissent rendre un compte entièrement satisfaisant des résultats de l'expérience, dans des phénomènes aussi variés et aussi compliqués.

« Dans l'analyse rapide qui précède et de peur de ralentir par trop la marche de l'exposition, nous n'avons point parlé de diverses remarques ou conséquences, en elles-mêmes fort importantes, et qui ont particulièrement fixé l'attention de M. Lesbros. C'est aussi par là que nous terminerons ce rapport.



« Lors des expériences de 1827 et 1828, le relevé géométrique de la veine liquide jaillissant librement dans l'air par un orifice carré de 0<sup>m</sup>,20 de côté, en mince paroi plane et à contraction complète, avait donné, pour l'aire de la plus petite section de cette veine, un résultat qui conduisait à conclure que la vitesse moyenne, dans cette section, surpassait sensiblement celle qui est due à la hauteur au-dessus de son centre de gravité; conséquence en opposition manifeste avec les notions déduites de la considération des forces vives et les résultats obtenus par d'autres expérimentateurs, sur des orifices à la vérité très-petits et circulaires. Cette anomalie pouvait être attribuée à un léger déplacement horizontal de l'appareil qui avait servi à relever le profil transversal de la veine fluide. Elle était d'ailleurs trop frappante pour que M. Lesbros ne saisît pas l'occasion que lui offraient les nouvelles expériences, de recommencer, avec plus de précision encore, le relevé de la même veine; et, à sa grande surprise, il est arrivé à des résultats très-peu différents des premiers, et qui ne peuvent s'expliquer qu'en admettant, avec les anciens auteurs italiens, contrairement à l'hypothèse du parallélisme des tranches, qu'il se forme, en amont de l'orifice et dans le réservoir, des noyaux ou courants centraux d'alimentation, dont la force vive s'ajoute à celle qui est due à la charge de liquide sur l'orifice de sortie. D'autres faits d'observations qui se sont présentés dans le cours des expériences, ont également conduit M. Lesbros à soupçonner l'existence de semblables courants, sans lesquels on ne pourrait expliquer ces faits par les principes généralement admis en mécanique.

« Au commencement du chapitre fort important qui concerne les orifices fermés à la partie supérieure et diversement disposés par rapport aux faces du réservoir, M. Lesbros présente un tableau résumé, dans lequel il a ordonné tous les résultats relatifs à la contraction de la veine, d'après les fractions du périmètre entier de l'orifice, qui correspondent à des parties situées dans le prolongement des parois du réservoir, et pour lesquelles, par conséquent, la contraction se trouve ainsi supprimée. Ce tableau montre, d'un seul coup d'œil, l'influence réelle exercée par la suppression de la contraction sur une portion plus ou moins considérable du contour de l'orifice. Nous ferons remarquer que les dispositifs par lesquels M. Lesbros produisait cette suppression se rapprochaient beaucoup plus des circonstances de la pratique que ne le faisaient les très-courtes et minces plaques dont M. Bidone armait

les côtés de ses orifices, attendu qu'elles permettaient au liquide d'affluer latéralement et par-dessus leurs arêtes, en apportant ainsi un trouble considérable dans l'écoulement de la veine.

« Un fait également digne de remarque et qui s'est reproduit dans toutes les expériences de M. Lesbros, consiste en ce que la suppression de la contraction sur le fond des orifices, lorsque déjà elle est supprimée sur les bords latéraux, donne lieu à une réduction notable de la dépense pour les très-petites charges et les petites ouvertures; ce que l'auteur attribue, avec une grande apparence de raison, au ralentissement que ces parois font alors éprouver à la masse, comparativement faible, du liquide. Il résulte d'ailleurs de l'ensemble des recherches de M. Lesbros sur la contraction, que l'influence des parois se fait généralement sentir jusqu'à près de trois fois la largeur correspondante des orifices fermés, et jusqu'à près de cinq fois pour les orifices en déversoir; à peu près comme Dubuat l'a observé pour les bateaux naviguant sur les canaux et les rivières.

« Enfin, nous ne devons pas passer sous silence que, pour l'établissement de formules pratiques relatives aux déversoirs, M. Lesbros a dû étudier, d'une manière toute spéciale, la relation qui lie l'épaisseur moyenne de la nappe liquide, dans le plan des orifices, avec la charge génératrice ou totale mesurée en un point où le liquide est supposé parfaitement stagnant. Sans cette relation, il serait pour ainsi dire impossible, dans beaucoup de cas de la pratique, notamment quand le déversoir est situé sur le prolongement d'un long canal d'alimentation, d'obtenir cette charge, qui cependant entre comme donnée principale dans toutes les formules de la dépense de ce genre d'orifices.

« En résumé, le mémoire d'hydraulique expérimentale présenté par M. Lesbros à l'Académie des Sciences, est une œuvre recommandable par la précision des appareils et des expériences, par le grand nombre et l'utilité des résultats obtenus, par l'exactitude et le soin scrupuleux avec lesquels l'auteur a décrit, dans le texte et dans les nombreuses figures des planches, les appareils, le mode d'opérer et les principales circonstances des phénomènes; enfin, par la persévérance et l'excellent esprit qui l'ont dirigé dans l'exécution d'un aussi vaste ensemble de pénibles recherches.

« On ne saurait, en effet, trop louer M. Lesbros d'avoir suivi la route tracée par les Michelotti, les Bidone, les Eytelwein, les Smeaton, les

**Bossut, les Dubuat, etc. en recherchant la vérité pour elle-même et son utilité propre**, en laissant parler les faits sans trop s'inquiéter de leur interprétation scientifique, et en préparant ainsi, pour l'avenir, des matériaux exempts de doute, de fausses interprétations, et sur lesquels la théorie et les formules puissent enfin s'asseoir comme sur une base solide. Néanmoins, tout en applaudissant aux heureux efforts de cet ingénieur pour remplir les nombreuses lacunes qui existent encore dans l'hydraulique expérimentale, vos Commissaires regrettent qu'il n'ait pu étendre ses recherches à diverses autres questions non moins essentielles, concernant l'influence de l'inclinaison et de la forme de certains vannages ou pertuis, de la proximité d'obstacles mobiles tels que les roues hydrauliques, de la résistance des parois dans les canaux à régime uniforme, etc. questions qui, à la vérité, ont été, dans ces derniers temps, l'objet des études d'expérimentateurs habiles, mais au sujet desquelles, malgré les résultats utiles déjà obtenus, il reste encore beaucoup à faire pour compléter l'ensemble de nos connaissances pratiques sur une aussi importante matière.

« Considérant la haute utilité des recherches expérimentales entreprises par M. Lesbros et conduites à leur fin d'une manière aussi satisfaisante que complète; convaincu d'ailleurs de l'heureuse influence que la publication de ces recherches pourra exercer sur les progrès de la science et de ses applications aux travaux publics, à la navigation, à l'agriculture, aux usines hydrauliques et aux diverses branches d'industrie qui en ressortissent, la Commission est d'avis que l'Académie accorde son entière approbation à ce travail, et qu'elle en ordonne la prompt impression dans le Recueil des Savants étrangers. »

Les conclusions de ce rapport ont été adoptées.



## AVANT-PROPOS.

---

Le travail que j'adresse aujourd'hui à M. le ministre de la guerre contient la suite des expériences dont la première partie a fait le sujet d'un mémoire présenté en commun, en 1829, par M. Poncelet et par moi, et qui a été inséré dans les Mémoires de l'Académie des sciences (Savants étrangers).

Le programme de ces expériences et des appareils à employer pour leur exécution a été discuté dès le début, en 1827, entre M. Poncelet et moi, et depuis je n'y ai fait d'autres changements que ceux que les résultats des observations ont rendus nécessaires. Le célèbre académicien apporta, dans cette discussion, cette supériorité de lumières qu'on devait attendre de l'un des hommes les plus versés dans la science de l'hydraulique, et je me plais à reconnaître que les conseils qu'il me donna, dès le principe, m'ont été on ne peut plus utiles dans le cours de mes longues et pénibles recherches.

On s'est plaint du retard qu'éprouvait leur publication. Je tiens à me disculper de ce reproche qui serait grave à mes yeux, s'il était fondé. Les causes qui m'ont empêché d'accomplir plus tôt une tâche dont j'ai toujours senti la haute

importance, sont d'abord l'étendue considérable du travail que j'avais entrepris, et qui ne comprend pas moins de 2000 expériences, et en second lieu l'absence de tout collaborateur : seul j'ai fait toutes les opérations sur le terrain, tous les calculs, les croquis cotés des dessins, les tableaux détaillés et les tables d'interpolation qui en sont la conséquence; et seul encore j'ai rédigé le mémoire qui les accompagne. Enfin, les déplacements que j'ai éprouvés et les débordements de la Moselle qui ont eu lieu pendant le cours des expériences, ont apporté à leur exécution des retards indépendants de ma volonté. En 1829, les crues extraordinaires de la Moselle ne m'ont permis de faire qu'un très-petit nombre d'expériences, que j'ai dû recommencer plus tard, et ont détruit la jauge en charpente qui jusque-là avait servi à mesurer la dépense des orifices. Il a fallu, pour plus de solidité, remplacer cette jauge par une autre en maçonnerie, dont la construction a duré pendant toute la belle saison de 1830. Appelé à résider à Paris vers la fin de cette même année, j'ai été envoyé en mission à Metz pendant les sept derniers mois de 1831, pour continuer les expériences. En 1832, j'ai accompagné un officier général dans une tournée d'inspection dans le midi de la France, et au retour j'ai pris part au siège de la citadelle d'Anvers. Nommé commandant de l'École régimentaire du génie à Arras, au commencement de 1833, j'ai été envoyé une seconde fois à Metz, pendant les quatre derniers mois de 1834, pour achever les expériences. Appelé en qualité de chef du génie à Soissons, lors de l'exécution des grands travaux de mise en état de défense de cette place, je n'ai quitté cette résidence que pour passer, en 1844, au commandement en second de l'École polytechnique, au moment même où l'on prononçait son licenciement pour la réorganiser sur de nouvelles bases.

De telles fonctions ne laissaient aucune place à des occupations étrangères au service, qui eussent exigé de la suite et de la continuité. Je n'avais donc pu consacrer à l'hydraulique que de très-courts instants et à des époques tellement éloignées, qu'il m'avait été impossible de réunir et de comparer les résultats de mes expériences, lorsque, en mai 1848, j'ai été nommé à un emploi qui me permettait de disposer d'une partie de mon temps. J'allais alors reprendre avec d'autant plus d'ardeur ce travail si souvent interrompu, que j'aurais eu un collaborateur bien cher à mon cœur et bien dévoué dans mon fils, jeune élève-ingénieur des mines, sorti depuis moins d'un an de l'École polytechnique; mais hélas! le 24 juin, toutes mes espérances ont été brisées devant une barricade.

Après cette perte cruelle, j'ai été pendant longtemps, je l'avoue, incapable de me livrer à aucune occupation sérieuse en dehors des obligations strictes du service qui m'était confié. Enfin, j'ai trouvé dans un ami, M. Flye Sainte-Marie, un aide aussi laborieux que zélé pour la science, dont les secours m'ont été particulièrement utiles dans la vérification des tableaux détaillés et des tables d'interpolation, qui font une partie considérable du mémoire. Je me plais à lui en témoigner ici toute ma reconnaissance.

Je dois citer parmi les personnes qui ont pris part à mes travaux, les gardes du génie Langlois et Caïllat, et le caporal d'ouvriers du génie Pistre. Le premier, actuellement employé au ministère de la guerre, a vérifié une partie de mes calculs et a exécuté avec une intelligence et une netteté très-remarquables, d'après mes croquis cotés, les 37 planches qui composent l'atlas. Le second, chargé en 1834 de régler les hauteurs de l'eau dans le réservoir, s'est acquitté avec beaucoup d'aptitude de cette tâche délicate et importante,

et le zèle du troisième, qui a participé à toutes les expériences depuis le commencement, ne s'est pas démenti un seul instant.

En jetant un coup d'œil sur le résumé qui termine mon mémoire, on reconnaîtra que j'ai abordé toutes les questions qui jusqu'ici, par le défaut d'expériences assez multipliées et faites en grand, n'avaient été traitées par des hommes très-éclairés, tels que Bossut, Dubuat et autres, que d'une manière incomplète ou dans des circonstances trop éloignées de la pratique. J'ai mis tout le soin dont je suis capable à résoudre ces questions; je me suis attaché à reproduire scrupuleusement tous les résultats que j'ai obtenus, quels qu'ils fussent; je les ai fait figurer, soit sur les tableaux détaillés, soit sur les planches, soit dans le texte du mémoire, en signalant ceux qui m'ont paru douteux. En un mot, j'ai voulu, par-dessus tout, faire une œuvre de conscience; si elle est utile autant que je le désire et que je l'espère, ce sera la plus douce récompense des efforts que j'y ai consacrés.



# EXPÉRIENCES HYDRAULIQUES

SUR

## LES LOIS DE L'ÉCOULEMENT DE L'EAU

A TRAVERS LES ORIFICES RECTANGULAIRES VERTICAUX

A GRANDES DIMENSIONS.

---

### CHAPITRE I.

OBJET DES NOUVELLES EXPÉRIENCES, DISPOSITIFS  
ET OPÉRATIONS PRÉPARATOIRES.

---

§ 1.

OBJET DES NOUVELLES EXPÉRIENCES.

1. Le mémoire qui a été présenté en 1829, en commun par M. Poncelet et par nous, à l'Académie des sciences, et qui a été imprimé en 1832 dans le Recueil des Savants étrangers, n'est relatif qu'aux orifices rectangulaires verticaux de 0<sup>m</sup>,20 de base et de diverses hauteurs, en mince paroi plane, et complètement isolés du fond et des faces latérales du réservoir<sup>1</sup>. Celui que nous présentons aujourd'hui sous notre seule responsabilité, parce que nous avons travaillé seul à sa rédaction comme aux expériences qui en font l'objet, concerne spécialement :

1° Les mêmes orifices débouchant librement dans l'air ou pro-

<sup>1</sup> Dans les paragraphes 1 et 2 du chapitre I, le mot *orifice* désigne collectivement les orifices fermés à la partie supérieure et ceux qui sont découverts ou en déversoir.

longés par des canaux découverts d'une petite longueur et diversément inclinés à l'horizon, dans les cas où le fond et les faces latérales du réservoir sont plus ou moins rapprochés des bords de ces orifices, sont perpendiculaires ou obliques au plan qui les contient et ont plus ou moins de longueur;

2° Les orifices de 0<sup>m</sup>,60 et de 0<sup>m</sup>,02 de base et de diverses hauteurs, en mince paroi plane, et complètement isolés des faces latérales et du fond du réservoir;

3° Les orifices de 0<sup>m</sup>,60 de base et de diverses hauteurs, percés dans une paroi de 0<sup>m</sup>,05 d'épaisseur, entièrement isolés du fond et des faces latérales du réservoir, et débouchant librement dans l'air;

4° L'effet des remous sur la dépense d'un orifice de 0<sup>m</sup>,20 de base et 0<sup>m</sup>,05 de hauteur;

5° Un déversoir de 0<sup>m</sup>,202 de base formé en barrant, sur toute sa largeur et sur diverses hauteurs, un canal rectangulaire découvert;

6° Les déversoirs incomplets ou en partie noyés, de 0<sup>m</sup>,204 et de 0<sup>m</sup>,24 de largeur, prolongés au dehors du réservoir par des canaux rectangulaires découverts et horizontaux de mêmes largeurs que ces déversoirs.

2. Les motifs puisés dans les besoins de l'hydraulique pratique, sur lesquels sont basées toutes les expériences que nous avons entreprises, sont longuement développés dans le mémoire déjà cité et dont celui que nous écrivons est la continuation. On y a aussi indiqué, avec beaucoup de détail, la marche que nous avons suivie et les appareils dont nous nous sommes servi pour opérer sur les orifices en mince paroi plane de 0<sup>m</sup>,20 de base. Comme nous avons continué à procéder de la même manière, il suffira de faire connaître ici les modifications que nous avons apportées aux appareils, soit pour les perfectionner, soit pour les approprier successivement aux expériences que nous avons en vue.

3. Après avoir terminé les opérations qui concernent les orifices de 0<sup>m</sup>,20 de base, en mince paroi plane, et entièrement isolés du fond et des faces latérales du réservoir, il était naturel d'étudier

les variations que pouvait éprouver la dépense de ces orifices, au fur et à mesure que la distance de leurs bords aux parois correspondantes du réservoir diminuait. Mais nous nous sommes occupé auparavant des cas où ils étaient prolongés par des canaux découverts, parce qu'ils paraissaient ne devoir exiger qu'un nombre d'observations assez restreint pour qu'on pût les faire avant l'époque, alors fort rapprochée, où le froid est tellement rigoureux que toute expérience devient impossible. Nous avons également été conduit à intervertir l'ordre des opérations dans beaucoup d'autres circonstances, soit pour gagner du temps, soit pour conserver jusqu'à la fin certaines portions des dispositifs qu'il eût été difficile de rétablir plus tard exactement dans leur état primitif, soit pour ne passer que graduellement d'une disposition à une autre, afin de ne jamais apporter de changement brusque dans les appareils, ce qui est indispensable pour que les circonstances qui doivent être communes à plusieurs séries d'expériences soient rigoureusement les mêmes, et que les résultats obtenus soient bien comparables. Au reste, pour mieux faire ressortir ces résultats, nous les avons présentés dans leur ordre naturel, sans avoir égard aux dates des expériences, dans tous les tableaux annexés à ce mémoire.

## § 2.

## DISPOSITIFS DES ORIFICES D'ÉCOULEMENT.

4. Les dispositifs, quelquefois bizarres, des pertuis en usage dans la pratique, sont trop variés pour qu'on puisse les soumettre tous à l'expérience. Nous avons choisi de préférence ceux qu'on rencontre le plus ordinairement, et nous avons, autant que possible, opéré sur les cas extrêmes, afin que les résultats obtenus pussent être appliqués, par interpolation, aux cas intermédiaires.

Ces dispositifs sont représentés sur les planches 1, 2 et 3, et en outre, comme on ne pourrait pas apprécier exactement sur ces dessins les distances des bords des orifices aux faces correspondantes du réservoir, lorsqu'elles sont très-petites, on a indiqué

ces distances en chiffres dans la légende qui précède les tableaux détaillés des résultats des expériences sur la dépense.

DISPOSITIFS DES ORIFICES DE 0<sup>m</sup>,20 DE BASE SUR DIVERSES HAUTEURS,  
DÉBOUCHANT LIBREMENT DANS L'AIR.

5. Les dispositifs des orifices de 0<sup>m</sup>,20 de base, débouchant librement dans l'air, sont représentés en plan et en coupe longitudinale sur la planche 1.

La figure 1 se rapporte au cas où ces orifices sont en mince paroi plane, et entièrement isolés du fond et des faces latérales du réservoir. Elle est aussi relative aux orifices de 0<sup>m</sup>,60 et de 0<sup>m</sup>,02 de base, placés dans les mêmes circonstances, comme on le dira au n° 2.2.

6. Dans le dispositif de la figure 2, la face latérale de gauche du réservoir, qui était primitivement éloignée de 1<sup>m</sup>,74 du bord correspondant des orifices, en a été rapprochée jusqu'à 0<sup>m</sup>,54.

Pour cela, on a construit un venteau de 1<sup>m</sup>,95 de longueur et de même hauteur que le réservoir, composé d'un fort bâti en chêne sur lequel on a fixé, au moyen de vis, des planches de 0<sup>m</sup>,034 d'épaisseur assemblées à rainures et languettes, et bien dressées au rabot, de façon à présenter une surface parfaitement unie et plane. Après avoir laissé ce venteau séjourner longtemps dans l'eau et s'être assuré qu'il ne s'était pas gauchi, on l'a disposé perpendiculairement au plan qui contient les orifices, et l'on a barré avec des planches l'intervalle compris entre son extrémité d'amont et la face de gauche du réservoir fixe. L'encaissement ainsi formé, qui est exprimé par des hachures sur la figure 2, se remplissait d'eau jusqu'à la hauteur du niveau général, ce qui était nécessaire pour que le système ne fût pas renversé; mais on empêchait cette eau de communiquer avec celle du courant, qui se dirigeait vers l'orifice, en évitant du côté opposé les joints du venteau avec le fond et la face d'aval du réservoir, et en y chassant avec force des étoupes imprégnées de terre grasse et recouvertes d'une tringle pour les bien maintenir.

7. Dans le dispositif de la figure 3, il y a sur la droite des

orifices un vanteau comme sur la gauche, en sorte que leur base et leurs deux bords verticaux se trouvent à  $0^m,54$  des parois correspondantes du réservoir.

En choisissant cette distance, on avait en vue de vérifier si, dans cette position, la base des orifices pouvait être considérée comme entièrement isolée du fond du réservoir, ainsi qu'on l'avait supposé jusqu'alors. L'expérience a répondu affirmativement, en démontrant que la dépense était, à une légère augmentation près, la même pour les dispositifs des figures 2 et 3 que pour celui de la figure 1 (tabl. n<sup>o</sup> 1, III, VI, XXV, XXVII et XXX.)

8. La distance de  $0^m,54$ , indiquant précisément le point où le voisinage des parois du réservoir commence à altérer le produit de l'écoulement, nous avons immédiatement porté le fond de ce réservoir à la hauteur de la base des orifices, parce qu'il était facile de déduire par interpolation, avec un degré d'approximation suffisant, les résultats qui pouvaient convenir aux positions intermédiaires de ce fond, de ceux qu'on aurait obtenus pour ses deux positions extrêmes.

Dans ce but, nous avons fait établir (fig. 4) un plancher de même largeur que le réservoir fixe ( $3^m,68$ ) et de  $2^m,50$  de longueur, formé de madriers de chêne de  $0^m,054$  d'épaisseur, assemblés à rainures et languettes, bien dressés et solidement fixés sur des traverses portées par des chevalets dont les pieds posaient sur le fond du réservoir et y étaient boulonnés. L'intervalle entre ce fond et l'arête d'amont du plancher était fermé par une cloison verticale qui laissait pénétrer l'eau; mais elle ne communiquait pas avec celle qui coulait sur le plancher, et la pression de bas en haut était très-utile pour empêcher celui-ci de fléchir sous les fortes charges de liquide.

Quoique les madriers destinés à la confection du plancher eussent séjourné longtemps sous l'eau lorsqu'on les a mis en œuvre, nous n'avons commencé les opérations qu'après nous être assuré que le plancher lui-même ne s'était pas déjeté après avoir été submergé pendant plusieurs jours, qu'il s'était maintenu de

niveau, et qu'il était très-légerement débordé par le bord inférieur des orifices, ce qui était indispensable pour être certain que le débouché était bien libre.

9. Dans le dispositif de la figure 5, il y a, outre le plancher dont on vient de parler, un venteau comme celui de la figure 2, placé perpendiculairement au plan des orifices, à  $0^m,02$  de leur bord vertical de gauche; et, dans celui de la figure 6, il y a deux venteaux pareils au lieu d'un, en sorte que les orifices sont alors précédés par un canal ou petit réservoir de  $0^m,24$  de largeur.

On avait du reste pris les précautions déjà indiquées (6) pour que l'eau contenue dans les encaissements latéraux, qui sont exprimés par des hachures sur les figures 5 et 6, ne communiquât pas avec le courant qui se dirigeait vers les orifices.

On avait ménagé, entre les venteaux et la face d'aval du réservoir, une feuillure de  $0^m,006$  de largeur, dans laquelle glissait la vanne en cuivre de  $0^m,004$  d'épaisseur, dont l'arête inférieure formait le bord supérieur des orifices.

10. La distance de  $0^m,02$  qu'on a laissée, dans les deux dispositifs précédents, entre les bords verticaux des orifices et les venteaux qui représentent les faces latérales du réservoir, est motivée sur ce que, dans la pratique, on réserve le plus souvent un pareil intervalle pour soutenir la vanne. Mais nous avons aussi examiné le cas qu'on rencontre quelquefois, où cette saillie n'existe pas, comme dans le dispositif de la figure 7, où la base et les bords verticaux des orifices sont dans le prolongement du fond et des faces latérales du réservoir. En établissant ce dispositif, on a pris les précautions détaillées plus haut pour empêcher les filtrations, et on a eu le soin de donner au contour de l'orifice une très-légère saillie sur les parois du réservoir, pour que le débouché fût bien libre.

11. Les dispositifs des figures 8, 9 et 10 ne diffèrent de ceux des figures 5, 6 et 7 qu'en ce que, dans les trois premiers, la base des orifices est située à  $0^m,54$  au-dessus du fond du réservoir, au lieu d'être dans son prolongement.

12. Les faces latérales du réservoir étant quelquefois, dans la pratique, inclinées sur le plan des pertuis au lieu d'être perpendiculaires à ce plan, comme dans tous les dispositifs qui précèdent, nous avons dû étudier les altérations que cette circonstance fait éprouver aux produits de l'écoulement. Mais nous avons été forcé, par le manque de temps, de nous borner à deux cas distincts, choisis de telle sorte que les résultats obtenus pussent fournir les moyens d'évaluer, soit par interpolation, soit au moins par induction, ceux qu'il convient d'appliquer dans d'autres cas analogues.

C'est dans ce but que nous avons opéré sur les dispositifs des figures 11 et 12. Dans le premier, la base des orifices est à fleur du plancher du réservoir; dans le deuxième, elle en est éloignée de  $0^m,54$ , et dans l'un et dans l'autre il y a, de chaque côté des orifices, à  $0^m,02$  de leurs bords et formant un angle de  $45^\circ$  avec le plan qui les contient, un venteau comme celui de la figure 2, posé avec les précautions déjà mentionnées.

13. Dans tous les dispositifs décrits jusqu'ici, les parois qui accompagnent les orifices ont la même longueur ( $1^m,95$  pour les faces latérales et  $2^m,50$  pour le plancher) et sont terminées carrément à leurs extrémités d'amont. Cette longueur est telle qu'en l'augmentant on ne modifierait certainement pas le produit de l'écoulement; mais en serait-il de même si on la diminuait, et si, en outre, l'on évasait l'entrée du petit réservoir formé en avant des orifices par les venteaux et le plancher? Pour vérifier le fait, nous avons soumis à l'expérience les dispositifs des figures 13', 13 et 14.

Dans le premier, la base des orifices est située à  $0^m,54$  au-dessus du fond du réservoir, et leurs bords verticaux sont dans le prolongement de deux venteaux de  $0^m,264$  de longueur, terminés carrément à leurs extrémités d'amont et disposés perpendiculairement au plan qui contient les orifices, avec toutes les précautions convenables pour que l'eau des encaissements latéraux, qui sont hachés sur la figure, ne communique pas avec celle qui coule entre les venteaux.

Le deuxième ne diffère du premier qu'en ce que la base des ori-

fices est à fleur d'un petit plancher de même longueur que les venteaux, et terminé carrément comme eux à son extrémité d'amont. L'intervalle entre cette extrémité et le fond du réservoir est fermé par une cloison verticale, comme dans la figure 4 (8).

Enfin, le troisième est en tout semblable au second, sauf que les extrémités d'amont du plancher et des venteaux sont arrondies pour faciliter l'entrée de l'eau, comme l'exprime le détail joint à la figure 14.

14. Nous avons pensé que ces venteaux et ce plancher devaient avoir au moins  $0^m,264$  de longueur, afin de s'avancer un peu au delà du point où cesse de se faire sentir l'effet de la contraction de la veine fluide, qu'on regarde généralement comme s'étendant dans le réservoir jusqu'à environ  $1 \frac{1}{4}$  fois la largeur de l'orifice. Quant aux arrondissements, nous les avons tracés d'après la forme présumée que tend à prendre la veine, afin de diminuer le plus possible la contraction à l'entrée du petit réservoir qui précède les orifices, et obtenir par suite le maximum de dépense.

15. Pour résoudre complètement la question qui nous occupe, il aurait fallu répéter avec plusieurs longueurs de parois toutes les expériences que nous avons faites avec celles de  $1^m,95$ . Mais, outre que nous n'en avons pas le temps, on remarquera, en jetant un coup d'œil sur la table générale des coefficients des formules de la dépense des orifices (tabl. n° XXV et suiv.), que, toutes choses égales d'ailleurs, les résultats obtenus avec les dispositifs à longues et à courtes parois (fig. 7 et 13', 10 et 13) ne diffèrent pas tellement entre eux qu'on ne puisse en déduire, avec un degré d'approximation suffisant pour la pratique, ceux qu'il convient d'appliquer dans d'autres cas.

DISPOSITIFS DES ORIFICES DE  $0^m,30$  DE BASE SUR DIVERSES HAUTEURS,  
PROLONGÉS PAR DES CANAUX AU DEHORS DU RÉSERVOIR.

16. Ne pouvant, faute de temps, répéter, sur les orifices pro-



longés au dehors du réservoir par des canaux découverts, toutes les expériences que nous avons faites sur les orifices débouchant librement dans l'air, nous avons choisi de préférence les cas dans lesquels les canaux ont le plus d'influence sur l'écoulement, et qui sont représentés en plan et en coupe longitudinale sur les planches 2 et 3.

Dans ceux des figures 15, 16, 18, 19, 20, 21 et 22 (pl. 2), les orifices, situés d'ailleurs, par rapport au réservoir, respectivement comme sur les figures 1, 4, 5, 6, 8, 9 et 11 (pl. 1), sont prolongés par un canal rectangulaire découvert et horizontal, de même largeur que ces orifices et de 3<sup>m</sup>,00 de longueur.

17. Ce canal est composé de trois morceaux égaux, portant à chacune de leurs extrémités un fort châssis de bois de chêne, dans l'intérieur duquel sont fixées, au moyen de vis, pour former le fond et les côtés, des planches de 0<sup>m</sup>,034 d'épaisseur, assemblées à rainures et languettes, et parfaitement dressées et polies. Le premier morceau s'ajuste exactement aux orifices, et est maintenu dans une position invariable par quatre boulons à vis et écrous, qui traversent à la fois le châssis de la tête et le panneau de bois où est encastrée la plaque de cuivre dans laquelle sont percés ces orifices (mémoire imprimé en 1832, n<sup>o</sup> 25). Les deux autres morceaux s'ajoutent bout à bout au premier avec des boulons qui traversent les montants des châssis contigus. On a, en outre, placé, de distance en distance, des traverses dans lesquelles entrent par entailles les parties supérieures des parois latérales, afin d'en prévenir l'écartement. Malgré cette précaution, les deux morceaux d'amont ont seuls conservé, pendant toute la durée des expériences, une largeur uniforme de 0<sup>m</sup>,20; le troisième s'est graduellement ouvert, à partir de sa jonction avec le deuxième, jusqu'à son extrémité d'aval, où sa largeur est devenue de 0<sup>m</sup>,202. Cette circonstance ne pouvait avoir aucune influence sur la dépense des orifices, et l'on en a tenu compte dans les calculs relatifs à la vitesse de l'eau dans le canal, dont la profondeur était de 0<sup>m</sup>,31 dans la partie contiguë aux orifices, et de 0<sup>m</sup>,43 sur tout

le reste de sa longueur, afin d'empêcher que le liquide, exhausé par l'effet des remous, ne pût déverser par-dessus ses bords.

18. Dans le dispositif de la figure 17 (pl. 2), les orifices sont prolongés par le canal qu'on vient de décrire, et sont situés, par rapport au réservoir, comme dans le cas de la figure 2 (pl. 1), sauf que leur base est au niveau du fond de ce réservoir, au lieu d'en être éloignée de 0<sup>m</sup>,54.

19. Les dispositifs des figures 23, 24, 25 et 26 (pl. 2) ne diffèrent respectivement de ceux des figures 16, 18, 19 et 21 qu'en ce que le canal est incliné à  $\frac{1}{12}$  au lieu d'être horizontal, et sa longueur est forcément réduite à 2<sup>m</sup>,50, parce qu'il rencontre alors, à cette distance de l'orifice, le grand canal destiné à conduire à volonté le produit de l'écoulement, soit dans la jauge dont on parlera plus loin, soit dans la décharge générale (n° 54 du mémoire imprimé en 1832).

20. La figure 27 (pl. 3) est exclusivement relative à un orifice carré de 0<sup>m</sup>,20 de côté, disposé, par rapport au réservoir, comme dans le cas de la figure 19 (pl. 2), et auquel on a successivement adapté :

1° Le canal du n° 17, placé dans son prolongement comme dans tous les cas précédents, mais en l'inclinant d'abord à  $\frac{1}{12}$ , ensuite à  $\frac{1}{13}$ ;

2° Le même canal, en lui donnant une inclinaison de  $\frac{1}{14}$ , ce qui a obligé à réduire sa longueur à 1<sup>m</sup>,24, par les motifs exposés au numéro précédent;

3° Le même canal, avec une inclinaison de  $\frac{1}{9}$  et une longueur, d'abord de 0<sup>m</sup>,74 et ensuite de 0<sup>m</sup>,15 seulement;

4° Un canal de 2<sup>m</sup>,25 de longueur et 0<sup>m</sup>,20 de largeur, dont le fond est établi horizontalement à 0<sup>m</sup>,05 au-dessous de la base de l'orifice, au lieu d'être à la même hauteur, comme dans tous les autres dispositifs.

21. Enfin, dans le dispositif qui concerne à la fois l'effet des remous sur la dépense d'un orifice de 0<sup>m</sup>,20 de base et 0<sup>m</sup>,05 de hauteur, et un déversoir de 0<sup>m</sup>,202 de base (pl. 23 et 24), le ca-

nal de la figure 15 est barré à son extrémité sur toute sa largeur et sur diverses hauteurs.

La planche qui le ferme porte, à sa partie supérieure, un chanfrein dirigé de l'amont vers l'aval, de façon à ne présenter au courant qu'une arête vive qui forme la base du déversoir. Cette arête s'applique contre des divisions tracées de millimètre en millimètre sur les faces verticales du canal, ce qui donne la facilité d'évaluer avec exactitude sa hauteur au-dessus du fond de celui-ci.

DISPOSITIFS DES ORIFICES DE 0<sup>m</sup>,60 ET DE 0<sup>m</sup>,03 DE BASE SUR DIVERSES HAUTEURS,  
EN MINCE PAROI PLANE.

22. Après avoir terminé les expériences sur les orifices de 0<sup>m</sup>,20 de base, il était important d'examiner si, toutes choses égales d'ailleurs, les résultats obtenus étaient applicables à des orifices plus ou moins larges que les premiers.

Dans ce but, nous avons fait encastrier, à la place de la plaque de cuivre qui portait l'orifice fixe de 0<sup>m</sup>,20 de base, une plaque de même épaisseur, dans laquelle était pratiquée une ouverture rectangulaire de 0<sup>m</sup>,60 sur 0<sup>m</sup>,02, dont les bords, limés et évasés à 45° vers l'aval, présentaient une arête vive du côté d'amont. Le long côté de cette ouverture a d'abord été placé horizontalement à 0<sup>m</sup>,54 au-dessus du fond du réservoir, et la plaque a ensuite été retournée pour faire prendre au petit côté exactement la position qu'occupait le grand. Dans le premier cas, la hauteur de l'ouverture n'était pas limitée par une vanne, tandis que dans le second on en avait adapté une pareille à celle qui est décrite aux nos 63 et 74 du mémoire imprimé en 1832, planche 3, figures 28 et 29.

23. On n'a pas fait de dessin spécial pour représenter ce dispositif, qui est en tout semblable à celui de la figure 1 (pl. 1), sauf que la distance des bords verticaux des orifices aux faces latérales correspondantes du réservoir, au lieu d'être de 1<sup>m</sup>,74, est de 1<sup>m</sup>,54

lorsque le long côté de l'ouverture est horizontal, et de 1<sup>m</sup>,83 quand il est vertical.

DISPOSITIFS DES ORIFICES DE 0<sup>m</sup>,60 DE BASE SUR DIVERSES HAUTEURS,  
PERCÉS DANS UNE PAROI PLANE DE 0<sup>m</sup>,05 D'ÉPAISSEUR, ET DÉBOUCHANT LIBREMENT  
DANS L'AIR.

23. Dans tous les dispositifs que nous avons considérés jusqu'à présent, la partie inférieure de la vanne était taillée en chanfrein, de façon à présenter une arête vive qui limitait les orifices par le haut et se trouvait dans le plan de leurs trois autres arêtes. Il n'en est point ainsi dans les cas ordinaires de la pratique; les vannes ne sont pas amincies vers le bas; elles sont souvent retenues par des feuillures en saillie du côté du réservoir, et reposent, quand on les ferme, sur des seuils établis, soit au niveau de la base des orifices, soit un peu au-dessous. Enfin, ces pertuis sont toujours pratiqués dans des parois d'une certaine épaisseur, et jamais leurs bords ne sont réduits à de simples arêtes.

Chacune de ces circonstances donnant lieu à une déformation plus ou moins sensible de la veine à sa sortie de l'orifice, et par conséquent à une altération quelconque dans la dépense, nous avons dû étudier les modifications à faire aux résultats précédemment obtenus, pour les rendre, selon le cas, applicables aux pertuis des écluses et des usines en général. Tel est l'objet des dispositifs dessinés en plan et coupe longitudinale sur les figures A, B, C et D de la planche 3.

24. La figure A se rapporte exclusivement à une ouverture sans vanne de 0<sup>m</sup>,60 de base et 0<sup>m</sup>,20 de hauteur, pratiquée dans le panneau de bois de 0<sup>m</sup>,05 d'épaisseur qui recevait auparavant les orifices en cuivre. Ses joues ou parois sont perpendiculaires entre elles et aux faces d'amont et d'aval du panneau, et sont parfaitement dressées et polies. La base et les bords verticaux de cette ouverture sont respectivement à 0<sup>m</sup>,54 et 1<sup>m</sup>,54 du fond et des faces latérales du réservoir.

25. Dans le dispositif de la figure B, la base de l'ouverture est la même que dans le cas précédent, mais sa hauteur est de 0<sup>m</sup>,41. Elle est garnie d'une vanne de 0<sup>m</sup>,70 de largeur et 0<sup>m</sup>,51 de hauteur, formée de madriers de 0<sup>m</sup>,05 d'épaisseur, sur lesquels sont fixées, du côté d'amont, au moyen de boulons noyés dans l'épaisseur du bois, deux écharpes de 0<sup>m</sup>,33 de longueur, 0<sup>m</sup>,11 de largeur et 0<sup>m</sup>,03 d'épaisseur. Entre ces deux écharpes, est assujettie, de la même manière, une queue de 0<sup>m</sup>,11 de largeur et 0<sup>m</sup>,034 d'épaisseur, maintenue dans une position verticale par deux colliers en fer dans lesquels elle glisse lorsqu'on manœuvre la vanne, et qui sont placés, l'un au sommet du réservoir et l'autre à mi-hauteur. L'extrémité supérieure de cette queue est percée de trous pour recevoir le levier de manœuvre, et son extrémité inférieure est, ainsi que celles des écharpes, taillée en chanfrein, afin de diminuer sa saillie. Le plan inférieur de la vanne qui limite la hauteur des orifices est constamment horizontal.

26. Le dispositif de la figure C ne diffère de celui de la figure B qu'en ce qu'on a fixé, à 0<sup>m</sup>,05 de la base et des bords verticaux des orifices, des tringles de 0<sup>m</sup>,20 de largeur et 0<sup>m</sup>,05 d'épaisseur, formant feuillure autour des trois côtés correspondants de la vanne.

27. Enfin, dans le dispositif de la figure D, on a laissé subsister les tringles verticales qui, sur la figure C, retiennent la vanne latéralement; mais on a relevé jusqu'au niveau de la base de l'orifice celle qui était placée à 0<sup>m</sup>,05 au-dessous de cette base, et on lui a donné une largeur de 0<sup>m</sup>,54, pour qu'elle descendit jusqu'au fond du réservoir.

## § 3.

## MOTRS EMPLOYÉS POUR RÉGLER LES HAUTEURS DES ORIFICES.

28. On a indiqué, dans les n<sup>os</sup> 68 et suivants du mémoire imprimé en 1832, les inconvénients que présentait le moyen em-

ployé pour régler les hauteurs des orifices qui avaient moins de  $0^m,20$  d'ouverture, et les corrections à faire pour tenir compte des altérations que ces hauteurs éprouvaient, par suite de l'allongement ou du raccourcissement de la tige de manœuvre de la vanne, occasionné par les changements de température.

Ces corrections sont applicables aux résultats de 155 expériences que nous avons faites du 25 septembre au 25 octobre 1828, sur le dispositif de la figure 15 (pl. 1). Ainsi, la dilatation linéaire, entre  $0^\circ$  et  $100^\circ$  centigrades, d'une longueur de  $1^m,00$  de fer forgé étant, d'après les expériences de Laplace et de Lavoisier, de  $0^m,00122$ , on doit admettre que la hauteur de l'orifice est altérée de  $0^m,0000122 \times 2^m,16 = 0^m,000026352$ , pour chaque degré de variation de température, puisqu'il y a une distance de  $2^m,16$  entre l'arête inférieure de la vanne, qui forme le bord supérieur de l'orifice, et le repère tracé sur la tige de manœuvre pour indiquer la quantité dont cette vanne est levée. Or, les hauteurs données par ce repère, étaient exactes lorsque, le réservoir étant vide, la température de l'air était de  $19^{\circ},5$ . Si donc cette température se trouvait être de  $15^{\circ},5$  et celle de l'eau de  $14^{\circ},5$  au moment où l'on a fait une expérience, la tige de manœuvre étant alors plongée en partie dans l'air et en partie dans l'eau, son raccourcissement devra être évalué d'après la moyenne  $15^\circ$  de ces deux températures. Il sera donc dû à  $19^{\circ},5 - 15^\circ = 4^{\circ},5$ , et sera exprimé par  $4,5 \times 0,000026352 = 0^m,00012$ .

La tige de la vanne étant de  $0^m,00012$  plus courte qu'à l'époque où l'on a tracé le repère, les hauteurs que ce repère indique sont trop grandes de la même quantité, en sorte que l'ouverture sur laquelle on a opéré, au lieu d'être de  $0^m,01$ , par exemple, était de  $0^m,01012$ , et par conséquent la dépense de l'orifice donnée par l'expérience, était trop considérable dans le rapport de ces deux nombres, et doit être diminuée d'autant pour la réduire à sa juste valeur.

29. Telle est la marche que nous avons suivie pour rectifier les coefficients des formules de la dépense, donnés par les

155 expériences dont il s'agit, sur les orifices de moins de 0<sup>m</sup>,20 de hauteur avec le dispositif de la figure 15, *sans rien changer d'ailleurs aux données principales recueillies directement sur les lieux* (tabl. n<sup>os</sup> XIV, XV, XVI, XVII et XVIII). On a, du reste, procédé exactement de la même manière pour les résultats présentés dans le mémoire imprimé en 1832 (n<sup>o</sup> 67 et suiv. de ce mémoire).

Ces corrections ne sauraient concerner, dans aucun cas, l'orifice carré de 0<sup>m</sup>,20 de côté, parce que son ouverture est fixe et indépendante de la position de la vanne. Nous ajouterons qu'averti de l'influence que la température avait sur nos opérations, nous avons eu le soin de prendre celles de l'air et de l'eau pendant chaque expérience.

30. Pour mettre les résultats qu'il nous restait à chercher à l'abri de cette influence, nous avons mesuré directement la hauteur des orifices au moyen de cales en bois de chêne, depuis le 25 octobre 1828 jusqu'au 4 janvier 1829, période pendant laquelle nous avons opéré sur les dispositifs des figures 16, 17, 18, 19 et 22.

Ces cales avaient été exécutées avec beaucoup de précision dans les ateliers de l'école d'application de l'artillerie et du génie, et leurs fibres étaient placées dans le sens de la hauteur des orifices, afin d'éviter l'effet de l'hygrométrie, qui d'ailleurs ne pouvait se faire sentir d'une manière appréciable sur d'aussi petites longueurs.

31. Ce moyen était rigoureux, mais il exigeait qu'on vidât le réservoir. non-seulement lorsqu'on devait passer d'une ouverture à une autre, mais encore quand on voulait vérifier si celle qu'on soumettait à l'expérience n'avait pas varié. Pour nous affranchir de la nécessité de faire cette opération, qui durait chaque fois environ cinq heures, nous avons fait exécuter le mécanisme décrit au n<sup>o</sup> 74 du mémoire imprimé en 1832 et dessiné sur les figures 27, 28, 29 et 30 de la planche 3 qui l'accompagne.

32. D'après ce dispositif, la hauteur des orifices était mesurée à l'aide d'un vernier qui s'appliquait contre des divisions tracées au centre de la face d'aval de la vanne. Ce mode d'évaluation était

fort commode et paraissait devoir être très-exact; mais lorsque, après nous en être servi pendant quelque temps, nous avons voulu, selon notre habitude, rattacher les nouveaux résultats avec ceux des expériences de 1828, nous les avons trouvés si peu d'accord dans certains cas, que nous avons dû en conclure qu'il y avait, dans la manière d'opérer, des causes d'erreur restées inaperçues. En effet, après de longues recherches, nous avons reconnu avec surprise que, quelque soin qu'on prit pour fixer invariablement la vanne dans la position voulue, le vernier accusait des hauteurs d'orifices d'autant plus faibles que la charge de liquide était plus forte. Par exemple, si l'on donnait exactement  $0^m,01$  à l'ouverture, lorsque le réservoir était vide, et qu'on y fit ensuite arriver de l'eau, les divisions du vernier descendaient de plus en plus au-dessous de celles de la vanne, au fur et à mesure que le niveau du liquide s'élevait, et, pour les remettre en contact quand la charge était de  $1^m,84$ , il fallait abaisser la vanne d'environ  $0^m,0003$ , c'est-à-dire diminuer de cette même quantité la hauteur de l'orifice, qui n'était plus alors que de  $0^m,0097$ , au lieu de  $0^m,0100$ .

33. Ces déplacements du vernier étaient, à égalité de charge, plus sensibles pour les petits orifices que pour les grands. Ils étaient évidemment dus à la flexion que la vanne, quoique soutenue à son extrémité par l'appareil décrit au n° 64 du mémoire cité plus haut, et dessiné sur les figures 4, 6 et 14 de la planche 2 annexée à ce mémoire, éprouvait, sous les fortes charges, dans les parties qui n'étaient pas arc-boutées et particulièrement en son centre. Par suite de cette flexion, la branche primitivement inclinée à  $45^\circ$  qui portait le vernier, se redressait en tournant autour de sa charnière, et par conséquent le vernier s'abaissait. Il suffisait que la vanne prit une courbure de  $0^m,00042$  de flèche pour que le vernier se déplaçât de  $0^m,0003$ .

34. Nous aurions pu, en tenant compte des différences entre les hauteurs *effectives* des orifices et celles que donnait le vernier, rectifier les résultats de nos expériences, si, en les faisant, on avait mis pour chacune d'elles les divisions de ce vernier en contact



avec celles de la vanne. Mais malheureusement il n'en avait point été ainsi, car souvent, après avoir établi cette coïncidence pour une charge, on avait laissé les choses dans le même état pour les charges suivantes, ne soupçonnant pas alors les variations dont il s'agit.

Dans ce cas, la hauteur *effective* de l'orifice ne changeait pas pendant toute la durée des opérations, et elle se trouvait exacte ou trop petite, selon qu'au moment où on l'avait réglée, la charge de liquide était très-faible ou forte. Pour pouvoir la rectifier, il aurait fallu connaître cette charge à l'instant où l'on avait établi la coïncidence des divisions de la vanne et de celles du vernier, et comme nous n'en avons pas pris note, nous avons été forcé de regarder comme non venues 293 expériences qui pouvaient être entachées d'erreurs, et de les recommencer sur de nouveaux frais.

35. Afin d'éviter désormais l'inconvénient qu'on vient de signaler, nous avons fait tracer : sur les bords verticaux des orifices, des échelles divisées en millimètres; et, sur la face d'aval de la vanne, près de son arête inférieure, deux verniers (un de chaque côté) pour évaluer les fractions de millimètre. En faisant coïncider les divisions des deux verniers avec celles des bords des orifices, on était certain que ceux-ci avaient exactement la hauteur voulue, quelle que fût la charge de liquide, car la vanne, soutenue par le mécanisme déjà cité (33), ne pouvait fléchir dans la partie qu'occupaient les verniers.

On a employé ce moyen pour mesurer les hauteurs de tous les orifices, excepté ceux de 0<sup>m</sup>,60 de base pratiqués dans une paroi de 0<sup>m</sup>,05 d'épaisseur (n<sup>o</sup> 23 et suiv.). Pour ces derniers, on s'est borné à tracer sur de petites plaques de cuivre, encastrées dans l'épaisseur de leurs deux joues verticales et dans celle de leur vanne en bois, du côté d'aval, des traits indiquant en nombres ronds, sans subdivisions, des hauteurs d'ouverture de 3, 5, 20 et 40 centimètres.

54.

APPAREILS POUR RELEVER LES CHARGES DE LIQUIDE  
ET LES SECTIONS DES VEINES.

APPAREILS POUR MESURER LES CHARGES DE LIQUIDE LOIN DES ORIFICES;  
DEGRÉ D'APPROXIMATION OBTENU DANS LEUR ÉVALUATION.

36. On s'est servi en 1828 et 1829, pour mesurer les charges de liquide loin des orifices, de la coulisse X décrite aux n<sup>os</sup> 76 et suiv. et dessinée sur la planche 2 du mémoire imprimé en 1832. Mais nous avons profité de la suspension des expériences qui a eu lieu en 1830, pendant qu'on remplaçait la jauge en charpente par un bassin en maçonnerie, pour porter cette coulisse de X en X' (pl. 4, fig. 29. et 30) et y faire, ainsi qu'au reste de l'appareil, des perfectionnements importants.

La nouvelle coulisse X' (pl. 4, fig. 32) est en bois comme l'ancienne, et elle est fixée à l'un des poteaux du réservoir au moyen de pattes de fer qui l'isolent tout à fait du revêtement en madriers, afin qu'elle ne puisse pas participer aux mouvements que ce revêtement pourrait éprouver par l'effet de l'hygrométrie. Elle est divisée, de décimètre en décimètre, par des traits marqués sur de très-petites plaques de cuivre qui y sont encastrées de toute leur épaisseur. Les anciens coulisseaux, qui étaient très-lourds et ne permettaient pas d'apprécier avec exactitude les fractions de millimètre, sont remplacés par un seul *a*, divisé de millimètre en millimètre et fendu en son centre pour donner passage à un vernier *b*, qui est lié au coulisseau par une vis de rappel *c*, et porte une tige en fer *d* recourbée verticalement, et terminée par une pointe fine légèrement émoussée à son extrémité.

Pour observer la hauteur du niveau de l'eau, d'où l'on conclut la charge de liquide sur la base et par suite sur le centre de l'orifice, on fait coïncider l'une des divisions de la coulisse avec la pre-

mière division du coulisseau, on fixe celui-ci en serrant la vis de pression *e*, et l'on met l'extrémité de la pointe *d* en contact avec la surface du liquide, au moyen de la vis de rappel *c*. La coulisse indique alors le nombre de décimètres dont cette surface est élevée au-dessus du zéro de l'échelle, le coulisseau donne les centimètres et les millimètres, et le vernier marque les dixièmes de millimètre.

37. La coulisse a été établie en *X'*, non-seulement parce qu'il était nécessaire, pour qu'elle indiquât toujours la charge totale de liquide, de l'éloigner de l'entrée du réservoir où il pouvait se former une chute sensible, dans le cas des très-grands orifices sur lesquels on se proposait d'opérer par la suite<sup>1</sup>, mais encore parce qu'il devenait facile, dans cette situation, de donner à l'observateur chargé de relever le niveau, une position infiniment plus commode que celle qu'il était auparavant obligé d'occuper sur une échelle.

Nous avons fait construire, dans ce but, une espèce d'escabelle *f* (fig. 29 et 30) revêtue de tous côtés de planches parfaitement jointes et ne laissant pas pénétrer l'eau. Une corde *g* engagée dans la gorge d'une poulie, et portant à son extrémité des cordellettes passées dans des anneaux fixés à l'escabelle, permet d'élever et d'abaisser celle-ci, de façon que l'observateur, qui s'y tient assis, soit toujours à portée de bien juger de l'instant du contact de la pointe avec la surface du liquide, et de lire les divisions du vernier. Cette escabelle est dirigée, dans son mouvement, par quatre colliers adaptés à son fond et à sa partie supérieure, et glissant le long de deux tringles verticales en fer solidement assujetties au fond et au sommet du réservoir.

38. La position de l'escabelle; quoique en partie plongée dans l'eau, était assez stable pour que la personne qui s'y tenait constamment assise, pendant la durée des opérations, pût librement

<sup>1</sup> En faisant le calcul pour l'orifice de 0<sup>m</sup>,60 de base et 0<sup>m</sup>,40 de hauteur, dans le cas du dispositif de la figure D (tabl. n<sup>o</sup> XXXIII), on trouve que la hauteur de chute, à l'entrée du réservoir, est de 0<sup>m</sup>,0028 pour une charge sur le sommet de 1<sup>m</sup>,50, et de 0<sup>m</sup>,00042 pour une charge de 0<sup>m</sup>,045 seulement.

agir sans produire, dans la masse du liquide, des oscillations capables d'empêcher de relever exactement la hauteur de son niveau. Néanmoins, pour qu'il y eût un calme parfait au point où se faisait l'observation, nous avons entouré la coulisse d'une espèce de boîte sans fond  $h$  (fig. 32), formée de petits compartiments superposés, dont le premier repose sur la tête de piquets élevés d'environ  $0^m,40$  au-dessus du fond du réservoir, et dont le dernier déborde toujours un peu la surface de l'eau. Ces compartiments n'ont que trois côtés et sont fermés sur le quatrième par la paroi même du réservoir, où ils s'engagent dans deux rainures et y sont retenus au moyen de coins de bois qu'on enlève à volonté.

39. Ce moyen était efficace pour détruire les oscillations qui auraient pu rendre incertaine la mesure de la hauteur du niveau de l'eau en amont des orifices. Mais il n'était pas moins important de nous garantir du vent et même de la pluie, qui, en agitant la surface de l'eau, ne nous permettaient que rarement de prendre des profils dans l'intérieur du réservoir, altéraient souvent la dépense des orifices, et nous forçaient ainsi à suspendre nos expériences pendant des semaines et même pendant des mois entiers. En outre, étant obligé d'en prolonger le cours pendant l'arrière-saison, soit parce qu'elle était plus favorable que le printemps, à cause des débordements de la Moselle, soit parce que c'était la seule époque où nous puissions y consacrer notre temps, il était nécessaire de mettre, autant que possible, nos aides à l'abri des intempéries de l'air, afin de pouvoir exiger d'eux cette attention soutenue et cette immobilité qui sont indispensables pour le succès des opérations.

Par ces motifs, nous avons fait enfermer le réservoir dans un hangar couvert d'un toit en planches (fig. 29 et 30), dans lequel on a ménagé de nombreuses ouvertures pour recevoir de très-grandes croisées posées suivant sa pente. Ce toit est porté par quatre poteaux plantés verticalement, de 2 en 2 mètres, au fond de l'avant-bassin, à  $6^m,00$  en amont du plan qui contient les orifices, et par des potelets fixés sur les traverses du pont de service

qui longe extérieurement le réservoir, à la hauteur de son sommet. Ce hangar est fermé en aval par un vitrage continu; il est clos sur les deux petits côtés en retour, depuis le toit jusque sur le massif de terre attenant au réservoir, par un coffrage dans lequel on a pratiqué deux portes; enfin, sur le reste de son pourtour, il est garni d'une cloison qui descend plus ou moins bas, selon la hauteur du niveau de l'eau. Pour remplir cette dernière condition, des hommes placés sur un radeau enlèvent ou ajoutent des planches, au fur et à mesure qu'on fait monter ou descendre le niveau.

40. Jusqu'au 21 novembre 1834, on ne prolongeait cette cloison au-dessous de la surface du liquide, que lorsque les charges sur la base des orifices excédaient  $0^m,35$ , et encore, dans ce cas, elle n'était jamais baignée que sur une hauteur de  $0^m,06$ . Des expériences répétées avaient démontré que la présence de cette cloison n'altérait pas les résultats des opérations, et suffisait pour empêcher les fortes oscillations de l'avant-bassin de se faire sentir dans le réservoir. Mais, à cette époque, les aides chargés de la démonter et de la refaire successivement, demandèrent à être dispensés de ce travail qui était extrêmement pénible pour eux, parce qu'ils étaient souvent mouillés et que la saison était rigoureuse.

Il fallait, pour accueillir leur demande, faire de la cloison mobile un barrage fixe prolongé assez bas pour remplir, dans tous les cas, l'objet auquel il était destiné. Mais, la section d'arrivée de l'eau dans le réservoir devant se trouver notablement rétrécie par cette disposition, il était à craindre que la vitesse dans ce réservoir et, par suite, la dépense des orifices ne fussent sensiblement altérées, inconvénient que nous avions voulu éviter en ne faisant jamais descendre la cloison de plus de  $0^m,06$  au-dessous de la surface du liquide, pour les fortes charges, ainsi qu'on l'a déjà dit, et ne lui laissant jamais atteindre cette surface pour les faibles.

Toutefois, une circonstance accidentelle, survenue en 1831, avait paru prouver que nos craintes n'étaient pas fondées. En

effet, à la fin de la journée du 12 août, après avoir opéré sur l'orifice carré de 0<sup>m</sup>,20 de côté, sous une très-faible charge (tabl. n° 1, expériences 114, 115, 116 et 117), nous avions tout disposé pour pouvoir le lendemain matin recueillir, sans perdre de temps, la dépense de l'orifice de 0<sup>m</sup>,10 de hauteur sous la plus faible charge possible. Dans ce but, nous avions fait prolonger la cloison dont il s'agit jusqu'au niveau du bord supérieur de cet orifice, et réglé les ouvertures des vannes de prise d'eau et de décharge de façon à pouvoir espérer que, pendant la nuit, le niveau du liquide s'établirait à peu près à la hauteur voulue. Mais nos prévisions ne se réalisèrent pas, et, à notre arrivée sur les lieux, la charge sur le centre de l'ouverture, au lieu d'être très-faible, était de 0<sup>m</sup>,6345. Dans cet état de choses, il nous parut impossible de faire aucune opération qui méritât confiance, parce que, selon notre manière de voir, la cloison descendait beaucoup trop bas au-dessous de la surface du liquide pour ne pas avoir d'influence sur l'écoulement. Néanmoins, le niveau se trouvant parfaitement réglé, nous nous décidâmes à recueillir la dépense, ce qui exigeait peu de temps (tabl. n° 11, expériences 277, 278, 279 et 280), en nous réservant de répéter ces opérations avec la même charge, lorsque la cloison serait enlevée, ce qui fut exécuté le 17 août (expériences 275 et 276).

Les coefficients de la dépense obtenus dans les deux cas se trouvent être exactement les mêmes, et pourtant la pensée d'établir le barrage à demeure ne nous vint pas, soit parce que ces résultats, d'ailleurs trop peu nombreux pour être décisifs, pouvaient s'expliquer, jusqu'à un certain point, par les circonstances particulières dans lesquelles les expériences avaient été faites, soit parce que la mise en place et l'enlèvement, très-fréquemment répétés, de la cloison mobile étaient moins pénibles pour nos aides à cette époque de l'année. Aussi, avant d'adhérer à leur demande de rendre le barrage fixe, jugeâmes-nous indispensable de faire, à ce sujet, une série complète d'expériences.

41. Dans ce but, le barrage fut prolongé jusqu'à 0<sup>m</sup>,25 du

fond du réservoir, sur le côté du hangar perpendiculaire à la direction de l'écoulement, et jusqu'à 0<sup>m</sup>,40 seulement sur les deux autres côtés, où les oscillations du liquide étaient naturellement moins fortes à cause du voisinage des digues, en sorte que les arêtes inférieures de cette cloison se trouvaient respectivement de 0<sup>m</sup>,29 et de 0<sup>m</sup>,14 au-dessous de la base des orifices, située à 0<sup>m</sup>,54 au-dessus du fond du réservoir.

La section d'arrivée de l'eau dans le réservoir, non compris les vides entre les planches qui étaient simplement placées en recouvrement l'une sur l'autre, était ainsi réduite à 4,00 mètres carrés (100 fois l'aire de l'orifice carré de 0<sup>m</sup>,20 de côté). Néanmoins, on ne put constater, quelle que fût la charge, aucune accélération appréciable de vitesse dans le réservoir, ni aucune différence de hauteur entre la surface de l'eau immédiatement en amont et immédiatement en aval du barrage. Il y avait donc lieu de croire que la présence de celui-ci n'altérait pas la dépense des orifices; mais il en fut tout autrement, comme le prouvent les résultats relatifs au dispositif de la figure 13, consignés sur les tableaux I, III, VI et XIX. Nous avons donc dû renoncer à un barrage fixe pour détruire les oscillations de l'eau, et employer exclusivement, comme par le passé, une cloison mobile dont on faisait varier la hauteur avec les charges de liquide.

42. Telles sont les précautions que nous avons prises pour relever avec exactitude la hauteur du niveau de l'eau, dans le réservoir, loin des orifices. Trois aides concouraient simultanément à cette opération. Le premier, assis sur l'escabelle en face de la coulisse, l'œil fixé sur la pointe qu'il relevait et abaissait fréquemment, pour la mettre en contact avec la surface du liquide, observait les moindres variations du niveau, à l'aide d'un miroir incliné à 45°, qui lui permettait de placer l'œil dans le plan vertical même du niveau réfléchi, et les signalait au second, qui, tenant constamment la main à la vis de manœuvre de la vanne du canal de décharge, ouvrait ou fermait plus ou moins cette vanne, selon le besoin, et avertissait le troisième quand il devenait nécessaire

d'aller à la prise, pour augmenter ou diminuer le volume d'eau qui alimentait l'avant-bassin. Ce troisième aide était en outre chargé d'arrêter, au moyen d'un filet, tous les corps étrangers qui se présentaient à l'entrée du réservoir, et de surveiller tout ce qui s'y passait.

43. La position relative de la base des orifices et du zéro de l'échelle, dont la connaissance est indispensable pour déduire la charge de liquide de la mesure de la hauteur du niveau, a été déterminée en mettant la pointe de la coulisse X' et une semblable pointe disposée près de l'orifice, simultanément en contact avec la surface de l'eau contenue dans un auget en bois, garni d'un couvercle qui n'était interrompu que pour le passage des pointes, afin d'éviter les oscillations qu'aurait pu produire le vent.

Ce nivellement a été répété, pendant le cours des expériences, toutes les fois que les dispositifs, à l'intérieur du réservoir, n'empêchaient pas de mettre en place l'auget dont on vient de parler. En outre, on avait repéré la position de la base des orifices et des divisions de la coulisse, sur de petites plaques de cuivre encastées de toute leur épaisseur dans les gros poteaux du réservoir, pour pouvoir vérifier à chaque instant, au moyen d'une courte règle en fer sur laquelle on plaçait un niveau à bulle d'air, si cette position n'avait pas varié.

44. Les charges prises loin des orifices ont, dans tous les cas, été mesurées avec la plus grande précision par les procédés que nous venons d'indiquer. On n'entreprenait jamais une expérience sans s'être assuré, au préalable, que le niveau de l'eau n'avait pas éprouvé la plus petite variation pendant un temps beaucoup plus long que la durée même que devait avoir cette expérience, et si l'on remarquait une différence, quelque légère qu'elle fût, entre les hauteurs observées au commencement et à la fin de cette durée, on prenait une moyenne entre ces hauteurs pour avoir la charge effective. Mais on regardait l'opération comme non avenue, et on la recommençait, toutes les fois que la vitesse théorique



due à cette charge moyenne différerait de plus de  $\frac{1}{400}$  de sa valeur, des vitesses correspondantes aux hauteurs observées, circonstance qui ne se présentait jamais que pour des charges de moins de 0<sup>m</sup>,03 sur le centre des orifices fermés à la partie supérieure ou sur la base des réservoirs.

APPAREILS POUR MESURER LES CHARGES DE LIQUIDE PRÈS DES ORIFICES  
ET RELEVÉ LES SECTIONS DES VEINES.

45. Nous avons relevé les sections de la surface de l'eau, tant à l'intérieur qu'à l'extérieur du réservoir, à l'aide d'instruments analogues à ceux qui sont décrits dans le mémoire imprimé en 1832, mais beaucoup plus perfectionnés.

Celui qui est dessiné sur la planche 4 (fig. 33, 34 et 35) est d'un usage général et suffit pour toutes les opérations, tandis que dans les expériences antérieures nous en avons employé cinq différents, selon les cas qui se présentaient. Il consiste en une épaisse règle de bois *k*, dans laquelle sont encastrées, suivant une de leurs diagonales, et glissent à frottement doux des tiges métalliques *i*, espacées de centimètre en centimètre et retenues au moyen de ressorts *l*, qui ont la forme de deux T tournés en sens inverse, et sont fixés sur la règle par des vis qu'on serre à volonté. Ces tiges portent à leur tête des échancrures par lesquelles on les saisit pour les faire glisser, et toutes leurs arêtes extérieures, ainsi que les sommets des pyramides qui les terminent à leur partie inférieure, sont dans un même plan. Il s'ensuit qu'en appliquant les tiges extrêmes de l'instrument contre le plan des orifices, on est certain que les extrémités de toutes les tiges *y* sont contenues, et donnent la section de la surface de l'eau par ce plan. A la règle est adaptée une poignée *u*, pour la maintenir avec la main dans une position stable.

46. Pour prendre des sections, on plaçait cet instrument sur le support en fer *m* (pl. 4, fig. 36 et 37), préalablement établi horizontalement et à une hauteur convenable, au moyen de deux

verges cylindriques  $n$ , qui traversent chacune une bague ou mâchoire  $o$ , garnie d'une vis de pression  $p$ , pour la serrer et desserrer à volonté. Chaque bague fait corps avec une plaque qu'on fixait, au moyen de vis à bois, soit contre la face qui contenait les orifices, soit contre les venteaux qui accompagnaient ceux-ci à l'intérieur du réservoir, soit contre les parois des canaux qui les prolongeaient au dehors, selon le point où l'on voulait opérer.

La forme et la longueur des supports variaient suivant l'usage qu'on voulait en faire. Celui de la figure 36, servait particulièrement pour relever la section de l'eau par le plan même du déversoir de  $0^m,20$  de base. Les tiges de l'instrument se logeaient dans l'évidement du support, de telle façon que, lorsque leurs arêtes intérieures rassaient la ligne  $qr$  du support, leurs arêtes extérieures, et par conséquent leurs pointes, étaient dans l'alignement  $st$ , c'est-à-dire dans le plan même du déversoir. On doit mentionner que l'on avait tracé, sur la plaque de cuivre dans laquelle ce déversoir était pratiqué, des lignes horizontales espacées de  $\frac{1}{4}$  en  $\frac{1}{4}$  centimètres, et que toujours on disposait le support  $m$  de manière que son plan supérieur contint l'une de ces lignes.

47. C'est à l'aide de semblables appareils que nous avons relevé, tant à l'intérieur qu'à l'extérieur du réservoir, les sections de la surface de l'eau par des plans perpendiculaires ou parallèles à l'axe de l'écoulement. Dans ce dernier cas, nous disposions, de distance en distance, des supports exactement à la même hauteur, au moyen de règles en fer bien dressées et de niveaux à bulle d'air. Pour faire ces opérations, nous nous tenions avec nos aides sur des échafauds volants suspendus au-dessus de l'eau.

Lorsque les orifices étaient accompagnés, à l'intérieur du réservoir, de venteaux trop rapprochés pour permettre d'entrer dans leur intervalle, on était obligé d'établir les échafauds le long des faces extérieures de ces venteaux, et de démonter successivement toute la partie supérieure de leurs revêtements, jusqu'à environ

0<sup>m</sup>,20 au-dessus du niveau de l'eau, afin de pouvoir disposer convenablement les supports de l'instrument, et observer de près l'instant du contact des pointes avec le liquide.

48. Quand il ne s'agissait de relever les sections de la surface de l'eau que jusqu'à une petite distance en amont des orifices, on plaçait l'instrument de la figure 33 sur un châssis en fer *v* (pl. 4, fig. 38) suspendu à une verge coudée *x*, dont la partie droite portait à son extrémité une poignée pour la manœuvrer, et était maintenue contre la paroi d'aval du réservoir par deux colliers en fer, dans lesquels on la faisait glisser à volonté en desserrant la vis de pression *y*.

Cette verge était divisée en décimètres à partir du châssis *v*, et ses divisions s'appliquaient exactement contre celles d'une échelle triangulaire en cuivre *z*, donnant les millimètres et fixée par des vis sur une pièce saillante en fer *z'*, encastrée dans les grosses moises de la charpente du réservoir, mais entièrement isolée de son revêtement en madriers. La verge a été coudée pour laisser la facilité d'opérer, avec l'instrument à profiler, dans tout l'intervalle compris entre ce coude et la paroi d'aval du réservoir, et les côtés latéraux du châssis ont été prolongés de 0<sup>m</sup>,015 au delà de la première traverse, afin que celle-ci n'empêchât pas de prendre les sections de l'eau aussi près qu'on le voudrait de l'orifice.

49. On avait repéré avec soin, dès le principe, sur l'échelle en cuivre, et l'on a fréquemment vérifié, dans le cours des opérations, la position de l'une des divisions de la tige, lorsque le dessus du châssis était au niveau de la base des orifices. Il suffisait donc, pour connaître à chaque instant la position de ce châssis, d'évaluer la quantité dont la division repérée de la verge s'élevait au-dessus du trait marqué sur l'échelle, en tenant compte des variations de longueur de cette verge dues aux changements de température. On s'assurait d'ailleurs, au moyen d'un niveau à bulle d'air, que ce châssis était horizontal dans tous les sens.

50. L'enlèvement, planche par planche, et la remise en place du revêtement des vanteaux qui accompagnaient les orifices à

l'intérieur du réservoir, exigeant beaucoup de temps et de peine, nous nous sommes affranchi de cette sujétion, toutes les fois qu'il s'agissait de mesurer uniquement la charge immédiatement au-dessus de ces orifices. A cet effet, après avoir établi à demeure, sur le châssis dont on vient de parler, une règle garnie d'une tige comme celles de l'instrument de la figure 33, et deux niveaux à bulle d'air dirigés, l'un dans le sens du courant, l'autre dans le sens perpendiculaire, ou le faisait descendre lentement, pendant qu'un aide placé sur un échafaud suspendu à l'entrée des vanteaux, observait l'instant du contact de la pointe avec la surface du liquide. Cette opération était répétée plusieurs fois pour chaque expérience, et l'on prenait une moyenne entre les résultats obtenus, lesquels différaient généralement très-peu entre eux.

51. Malgré toutes ces précautions, les charges près des orifices n'ont pas toujours pu être relevées avec autant d'exactitude que les mêmes charges prises loin de ces orifices, parce que dans certains cas, notamment dans celui du dispositif de la figure 6, il y avait, dans le voisinage des orifices, un bouillonnement qui rendait incertaine l'appréciation de la hauteur du niveau de l'eau. Mais les erreurs commises n'ont pu avoir qu'une légère influence sur les résultats, car les bouillonnements n'étaient assez forts pour rendre l'appréciation dont il s'agit réellement incertaine, que pour les orifices d'au moins  $0^m,10$  de hauteur. Or, la plus faible charge au-dessus du centre de ces orifices sur laquelle on ait opéré, dans ces circonstances, est de  $0^m,0815$ ; et, en admettant qu'on se soit trompé d'un millimètre en plus ou en moins dans la mesure de la hauteur du niveau, ce que nous croyons tout à fait impossible, la vitesse théorique relative à la charge  $0^m,0815$ , ainsi obtenue, ne différera que de  $\frac{1}{11}$  de sa valeur de celle qui correspond à la charge réelle.

52. L'instrument de la figure 33 nous a encore servi à prendre le contour des veines liquides jaillissant librement dans l'air. La face inférieure de la règle était alors appliquée contre le contour extérieur d'un polygone tel que *abcd* (pl. 4, fig. 39), dont la forme

et les dimensions variaient pour se rapprocher, autant que possible, de celles du contour qu'on voulait relever. Les côtés de ce polygone étaient divisés, de centimètre en centimètre, par des traits déliés avec lesquels on faisait correspondre les pointes de l'instrument, et étaient vissés sur un fort cadre à oreilles *efgh*, soutenu invariablement dans une position parallèle au plan de l'orifice, au moyen de quatre guides horizontaux *i*, solidement boulonnés contre les gros poteaux du réservoir, et gradués sur leur longueur pour indiquer à quelle distance de l'orifice on prenait la section de la veine.

53. Pour obtenir directement les profils marqués par les extrémités des pointes des tiges, on appliquait la face inférieure de la règle qui les portait contre les bords de planchettes découpées exactement suivant les contours extérieurs des polygones, et divisées comme ceux-ci de centimètre en centimètre; et, après avoir tracé la position de l'extrémité de chaque pointe avec des précautions qu'il serait superflu de détailler ici, on conduisait une courbe continue par tous les points ainsi obtenus.

On a toujours procédé de cette manière, pour rapporter les points de la surface de l'eau relevés tant à l'intérieur qu'à l'extérieur du réservoir, afin d'éviter les erreurs qu'on commettrait inévitablement, en mesurant directement les distances entre les extrémités des pointes et la face inférieure de la règle qui porte les tiges.

§ 5.

JAUGEAGE DES DÉPENSES DES ORIFICES.

DESCRIPTION ET ÉTALONNAGE DE LA JAUGE ET DU CUVIER DESTINÉS À RECUEILLIR  
LA DÉPENSE DES ORIFICES.

54. Le bassin en bois dans lequel on recueillait le produit de l'écoulement par les orifices, avait été trop endommagé par les crues de la Moselle à la fin de 1829, pour qu'on pût continuer à

s'en servir. On l'a remplacé en 1830 par une jauge *k* (pl. 4, fig. 29, 30 et 31) construite en maçonnerie de briques et mortier hydraulique. Son fond a 1<sup>m</sup>,00 d'épaisseur, et ses murs d'enveloppe 0<sup>m</sup>,50. A l'intérieur, ses parois sont recouvertes d'une couche de ciment romain bien unie, et à l'extérieur elles sont soigneusement jointoyées avec le même ciment. Elle est divisée en deux compartiments par un mur dans lequel on a ménagé une ouverture fermée par une vanne, pour recevoir à volonté la dépense des orifices dans un seul de ces compartiments ou dans les deux réunis, et une pareille ouverture est pratiquée dans le côté d'aval, pour évacuer, après chaque expérience, le produit de l'écoulement dans la basse Moselle. Toutes les pentes du fond sont, à cet effet, dirigées vers ce point.

55. L'un des murs du compartiment d'aval est interrompu, sur une longueur de 0<sup>m</sup>,09, par une coupure verticale débouchant dans une case carrée *l* de 0<sup>m</sup>,20 de côté, qui forme ainsi la continuation de ce compartiment, et dont le devant est fermé par des planches simplement engagées dans deux rainures verticales, afin qu'on puisse les mettre et les retirer à volonté. Au fond de cette case, est scellé un écrou pour recevoir une verge en fer avec curseur *m*, destinée à mesurer la hauteur du niveau de l'eau dans la jauge, et en avant se trouve un puits *n*, où se tient un aide pour observer, au moyen d'un miroir (42), l'instant du contact de la pointe avec la surface du liquide et lire les indications du vernier.

Cette opération se faisait avec la plus grande précision, parce qu'on avait toujours le soin de n'élever la fermeture en planches du devant de la case *l*, que de quelques centimètres au-dessus du niveau de l'eau, en sorte que l'observateur pouvait s'approcher du curseur autant qu'il le voulait. Les oscillations étaient d'ailleurs fort peu sensibles dans la case, non-seulement à cause de la petitesse de ses dimensions et de celles de la coupure de communication avec la jauge, mais encore parce qu'on barrait, au besoin, cette coupure par une ventelle percée de nombreux trous de ville, qui, tout en arrêtant les oscillations, laissait au liquide un passage

suffisant pour lui permettre de s'élever très-prompement dans la case au même niveau que dans la jauge, et qu'en outre, en tombant dans celle-ci, ce liquide était reçu dans une caisse à claire-voie  $\sigma$ , qui, en amortissant son choc et le forçant à se disséminer par petits filets, détruisait en grande partie sa force vive.

56. La difficulté de rendre étanche la vanne de séparation des deux compartiments de la jauge nous a fait renoncer à l'avantage de ne recueillir, dans certains cas, le produit de l'écoulement que dans un seul de ces compartiments, avantage qui consistait en ce qu'on aurait pu, sans prolonger outre mesure la durée des expériences, admettre dans un seul compartiment, pour les faibles dépenses, la même hauteur de liquide qu'on admet pour les fortes dans les deux compartiments réunis, et diminuer ainsi l'influence des erreurs qu'on peut commettre dans l'appréciation de cette hauteur, influence qui est d'autant plus grande que cette hauteur est plus faible.

La même difficulté nous a fait remplacer la vanne qui ferme l'ouverture par laquelle la jauge se vide dans la basse Moselle, après chaque expérience, par des planches simplement engagées dans des rainures, afin qu'on puisse les retirer à volonté, et dans lesquelles on a percé, au niveau du fond de la jauge, un trou cylindrique qu'on bouche hermétiquement avec un tampon de bois garni de vieux linge.

57. L'inconvénient qu'on vient de signaler a rendu inutile le double fond qui divisait en deux parties, dans le sens de sa hauteur, un cuvier cylindrique de la contenance de 1150 litres, construit, en septembre 1828, avec des douves de chêne de 0<sup>m</sup>,05 d'épaisseur retenues par trois forts cercles en fer, et garni à sa partie inférieure de barres très-épaisses. Ce double fond n'avait pas pour objet de faire occuper aux faibles dépenses une plus grande hauteur, comme dans le cas des deux compartiments de la jauge, mais de rapprocher la surface du liquide du bord supérieur du cuvier, afin de rendre plus facile l'observation de la hauteur de cette surface.

Pendant toute la durée des expériences qu'on a faites à partir du 17 septembre 1828, on s'est servi de ce cuvier pour recueillir les dépenses qui n'excédaient pas 13 litres par seconde. A cet effet, après l'avoir établi au fond de la jauge en maçonnerie, dans la position qu'il devait occuper pour recevoir le produit de l'écoulement par les orifices, on a adapté à son fond une verge avec curseur (55), entourée d'une petite boîte pour diminuer l'amplitude des oscillations du liquide (38), et on l'a jaugé par les procédés décrits au n° 36 du mémoire imprimé en 1832, en observant, à l'aide du miroir déjà mentionné (42), les hauteurs données par le vernier de 50 en 50 litres. Au moyen des résultats de ces observations plusieurs fois répétées, on a dressé une table indiquant, de centimètre en centimètre, les quantités d'eau correspondantes aux diverses hauteurs du vernier. Cette table a d'ailleurs été vérifiée très-fréquemment dans le cours des expériences.

58. Pour dresser une semblable table en ce qui concerne la jauge en maçonnerie, dont la contenance totale est de 18000 litres, après avoir solidement établi sur son bord le cuvier dont on vient de parler, et avoir déterminé avec le plus grand soin, par des opérations répétées, la hauteur du vernier lorsqu'il y avait 1100 litres d'eau dans ce cuvier, on a rempli la jauge par versements successifs d'un pareil volume de liquide, ensuite on a refait la même opération en commençant par y verser 550 litres mesurés avec un décalitre, et achevant de la remplir par cuiviers de 1100 litres; enfin, on y a introduit d'abord 275 litres et l'on a continué comme précédemment par cuiviers de 1100 litres. Au moyen des résultats de ces trois opérations, qui donnaient directement les quantités d'eau correspondantes à des hauteurs du vernier qui ne différaient entre elles que d'environ 15 millimètres, il a été facile de former la table dont il s'agit.

On doit ajouter que, pendant la durée de ces trois opérations, comme dans tout le cours des expériences, on n'a remarqué d'autre abaissement du niveau de l'eau dans la jauge que celui qui était dû à l'évaporation, et qu'on a reconnu être tout à fait insignifiant,



en exposant à l'air, à côté de la jauge, un décalitre en cuivre plein d'eau. En effet, dans les neuf heures de temps qu'il fallait pour verser dans cette jauge 18000 litres, occupant une hauteur de 1<sup>m</sup>,00, cet abaissement a été à peine d'un demi-millimètre. Il correspondait donc à  $\frac{0,5}{1000} = \frac{1}{2000}$  du volume du liquide.

Les contenances respectives de la jauge et du cuvier ont d'ailleurs été fréquemment vérifiées l'une par l'autre, pendant le cours des opérations, en recueillant dans l'un et dans l'autre le produit de l'écoulement par le même orifice sous la même charge, et ces contenances ont été comparées à celles de la jauge en charpente et du cuvier dont on se servait auparavant, en répétant en 1831 beaucoup d'expériences qui avaient été faites en 1829 et en 1828, comme on le dira plus loin.

MODE D'ADMISSION DE LA DÉPENSE DES ORIFICES DANS LA JAUGE ET DANS LE CUVIER;  
DEGRÉ D'APPROXIMATION OBTENU DANS L'ÉVALUATION DE CETTE DÉPENSE.

59. Dans toutes les expériences sur les produits de l'écoulement, on s'est servi (n<sup>o</sup> 54 et suivants du mémoire imprimé en 1832) d'un canal de 0<sup>m</sup>,60 ou de 1<sup>m</sup>,00 de largeur, selon que les orifices avaient 0<sup>m</sup>,20 ou 0<sup>m</sup>,60 de base, disposé à 0<sup>m</sup>,27 au-dessous de cette base, et percé en son fond d'une ouverture fermée par une coulisse ou canal mobile (pl. 4, fig. 29 et 31). Quand on voulait recueillir la dépense, soit dans la jauge, soit dans le cuvier, on tirait cette coulisse en arrière vers l'aval, et on la tirait en sens contraire lorsqu'on voulait intercepter tout passage à l'eau et la diriger vers la décharge. Cette manœuvre se faisait à notre commandement, et nous évaluions la durée du versement en prenant, avec un chronomètre à plume de Bréguet, l'intervalle de temps compris entre l'instant où les aides commençaient à tirer la coulisse pour l'ouvrir, et celui où ils commençaient à la tirer pour la fermer, après l'avoir préalablement approchée à une fort petite distance du jet. Les choses se trouvaient ainsi à peu près compensées, de façon à donner sensiblement les mêmes résultats, que si l'admission de

l'eau dans la jauge ou le cuvier et la suppression totale de l'écoulement eussent été instantanées.

60. Toutefois, cette manœuvre renferme en elle-même deux causes d'erreur, qui tendent à faire estimer la dépense des orifices au-dessus de celle qui correspond strictement à l'intervalle de temps écoulé entre les deux commandements. En effet, d'un côté la résistance que la coulisse oppose au mouvement de l'eau, lorsqu'elle est fermée, occasionne un remous naturel qui s'étend jusqu'à une certaine distance en amont, et augmente ainsi la section de la lame dans toute cette partie. Quand on ouvre cette coulisse, la résistance cessant tout à coup, le remous disparaît, et une portion du liquide qui le formait s'échappe dans la jauge ou dans le cuvier, avec celui qui constitue la véritable dépense. D'un autre côté, l'eau qui coule sur la coulisse à l'instant où l'on tire celle-ci vers l'aval, continue à cheminer sensiblement avec la même vitesse absolue dans l'espace. Si donc cette vitesse est inférieure à celle de la manœuvre, une portion du liquide supporté par la coulisse reste en arrière, tombe dans la jauge ou dans le cuvier, et s'ajoute à la dépense réelle.

61. Des expériences spéciales mentionnées aux numéros 57 et suivants du mémoire imprimé en 1832, dans lesquelles on n'avait pris aucune précaution pour éviter les causes d'erreur dont il s'agit, ont démontré que l'augmentation de dépense qui en résultait s'élevait à peine, dans les cas les plus défavorables, à  $\frac{1}{100}$  de la dépense réelle. Mais dans toutes les opérations postérieures à 1828, d'une part, nous avons établi un ressaut de 0<sup>m</sup>,05 entre le fond de la coulisse et celui du canal qui la précède en amont, ce qui diminuait notablement le remous, et d'autre part, non-seulement on a eu le soin de proportionner la vitesse de la manœuvre à celle de l'eau qui coulait sur la coulisse, mais encore on a toujours déterminé par l'expérience celle qui, restant en arrière, s'ajoutait au produit de l'écoulement, et on l'a déduite du volume total de ce produit. Au reste, cette circonstance ne se présentait que dans le cas des très-faibles dépenses qu'on recueillait dans le cuvier, et

comme alors la durée de l'expérience était toujours fort longue (de 300 à 700 secondes), on croit exagérer l'erreur totale résultant des deux causes signalées plus haut, en la portant à  $\frac{1}{1000}$  de la valeur réelle de la dépense.

62. Dans toutes les expériences, excepté celles qui concernent les orifices de 0<sup>m</sup>,60 de base sur 0<sup>m</sup>,20 et 0<sup>m</sup>,40 de hauteur, la plus courte durée du versement et la plus petite hauteur d'eau recueillie ont été : pour la jauge, de 60 secondes et de 210 millimètres (3155 litres), et, pour le cuvier, de 86 secondes et de 160 millimètres (225 litres). On peut donc compter sur un degré d'approximation d'au moins  $\frac{1}{600}$  dans l'estimation du temps, et de  $\frac{0,2}{160} = \frac{1}{800}$  dans celle de la dépense, puisque les opérations mêmes du jaugeage, si souvent répétées, prouvent que les différences relatives à l'évaluation des hauteurs du niveau ne s'élevaient jamais au delà de deux dixièmes de millimètre.

Quant aux orifices de 0<sup>m</sup>,60 de base sur 0<sup>m</sup>,20 et 0<sup>m</sup>,40 de hauteur, le jet résultant des fortes charges produisait de tels bouillonnements dans la jauge, qu'on a dû, pour que le liquide ne déversât pas par-dessus ses bords, se borner à en recueillir une hauteur de 750 millimètres. Le volume de la dépense a donc pu être évalué à  $\frac{0,2}{750} = \frac{1}{3750}$  près; mais la durée correspondante du versement n'a été que de 36 secondes pour l'orifice de 0<sup>m</sup>,20 de hauteur et de 16 secondes pour celui de 0<sup>m</sup>,40, en sorte qu'on ne peut compter que sur un degré d'approximation de  $\frac{1}{360}$  pour le premier et de  $\frac{1}{160}$  pour le second.

## CHAPITRE II.

## RÉSULTATS IMMÉDIATS DES EXPÉRIENCES OU OBSERVATIONS.

## PREMIÈRE SECTION.

LEVERS DE VEINES FLUIDES;  
CIRCONSTANCES QUI ACCOMPAGNENT LE PHÉNOMÈNE DE L'ÉCOULEMENT  
DU LIQUIDE,  
ET DÉPRESSIONS ÉPROUVÉES, DANS LE RÉSERVOIR,  
PAR SA SURFACE SUPÉRIEURE.

## § 1.

LEVERS DE VEINES FLUIDES JAILLISSANT PAR DES ORIFICES FERMÉS  
À LA PARTIE SUPÉRIEURE, DÉBOUCHANT LIBREMENT DANS L'AIR.

63. On a rendu compte, dans le mémoire de 1829 (art. 118 et suiv.), des opérations que nous avons faites pour relever les sections de la veine fluide jaillissant de l'orifice carré de 0<sup>m</sup>,20 de côté, sous une charge moyenne de 1<sup>m</sup>,68 sur le centre, dans le cas du dispositif de la figure 1. D'après ce relevé, la plus petite section de la veine se trouve à 0<sup>m</sup>,30 de l'orifice, et son aire est de 225,06 centimètres carrés, en sorte que le coefficient de la contraction naturelle est de  $\frac{225,06}{400} = 0,563$ , tandis que celui qu'on déduit de la comparaison des dépenses effective et théorique est de 0<sup>m</sup>,602 (tabl. n<sup>o</sup> XXV). Il résulte de là, suivant les notions ordinairement admises, que la vitesse moyenne, dans la section contractée, est égale aux  $\frac{400}{563}$  de la vitesse théorique due à

la charge de liquide sur le centre de l'orifice, et excède, par conséquent, celle-ci de près de  $\frac{1}{14}$  de sa valeur.

64. Ce résultat s'écartait tellement des idées reçues, qu'on a consacré vingt pages du mémoire déjà cité (art. 149-166) à l'examen des difficultés et des doutes auxquels il donnait lieu. On a fait remarquer que la courbe qui aurait pour abscisses les distances de chacune des sections de la veine au plan de l'orifice, et pour ordonnées les rapports de leurs aires à celle de ce dernier, formait un jarret prononcé dans le voisinage du point correspondant à la section contractée, tandis que si l'on faisait abstraction de ce point, la courbe devenait parfaitement régulière, et assignait au coefficient minimum de contraction une valeur qui ne pouvait dépasser 0,585. En adoptant ce dernier chiffre, la vitesse moyenne, dans la section contractée, serait les  $\frac{600}{333}$  de la vitesse théorique, et l'excéderait, par conséquent, de  $\frac{27}{333}$  ou d'environ  $\frac{1}{11}$ .

Cette observation a donné lieu de penser que peut-être les guides horizontaux, sur lesquels reposait le châssis auquel nous avons rapporté les différents points des profils de la veine, avaient éprouvé, à la distance de 0<sup>m</sup>,30 de l'orifice et dans le sens horizontal, un déplacement général d'environ 5 millimètres, en vertu duquel nous avons mal jugé de la position de l'axe de symétrie de la section contractée. Si ce déplacement était réel, l'aire de cette section devait se trouver diminuée ou augmentée de deux fois la surface d'une tranche ayant une hauteur à peu près égale à l'axe vertical de la section, et pour épaisseur la quantité dont les guides étaient en deçà ou au delà du plan vertical qui partageait l'orifice en deux parties égales, puisque nous avons été forcé, par le manque de temps, de nous borner à relever les points de la veine qui étaient situés d'un seul côté de ce plan, et nous avons doublé les superficies ainsi obtenues, pour avoir les aires entières des sections.

65. Pour vérifier ce fait, nous avons saisi avec empressement le moment où, toutes les expériences relatives à la dépense des

orifices de 0<sup>m</sup>,20 de base étant terminées, nous pouvions, sans inconvénient, revenir au dispositif de la figure 1.

Le 18 novembre 1834, après avoir rétabli les appareils tels qu'ils étaient au début de nos opérations, en 1827, nous avons relevé la section de la veine fluide jaillissant de l'orifice carré de 0<sup>m</sup>,20 de côté, sous une charge de 1<sup>m</sup>,71 sur son centre, par un plan mené parallèlement à cet orifice et à 0<sup>m</sup>,30 de distance. Nous nous sommes servi pour cela des instruments décrits aux n<sup>os</sup> 45 et 52 et dessinés sur la planche 4 (fig. 33, 34, 35 et 39). Nous avons pris tant de précautions pour que les guides horizontaux et le châssis qu'ils supportaient fussent invariables de position, et que le plan de la section fût bien vertical et à la distance voulue, que nous croyons avoir rendu, sous ce rapport, toute erreur impossible. Nous avons également apporté les plus grands soins à ce que l'axe vertical de cette section fût exactement dans le plan qui partageait l'orifice en deux parties égales, quoique l'accomplissement de cette condition fût ici sans importance, attendu que nous avons relevé le contour entier de la veine. À cet effet, après avoir établi à demeure cinq tiges métalliques terminées en pointe, correspondant aux cinq saillants de la section cherchée, et les avoir mises simultanément en contact avec la surface du liquide, nous avons saisi l'instant où la veine, qui, avec toutes les apparences de la plus parfaite immobilité, éprouve *naturellement* et dans tous les cas, quelque calme que soit le temps, des oscillations incessantes, surtout dans le sens horizontal, reprenait sa position primitive, pour relever à la fois, à l'aide de deux instruments pareils à celui de la figure 33, d'abord l'une des faces supérieures et la face inférieure opposée, et ensuite les deux autres faces.

66. Cette opération, répétée par nous plusieurs fois à des époques différentes, et refaite ensuite par d'autres observateurs agissant en dehors de notre présence, a constamment donné la section dessinée et cotée sur la planche 5, et dont la surface, calculée par la méthode de Thomas Simpson, est de 230,622 cen-

timètres carrés. Cette section est donc de 5,562 centimètres carrés plus grande que celle que nous avons relevée en 1827. Si le défaut de symétrie des guides horizontaux, par rapport à l'axe de l'orifice, était l'unique cause de cette différence, il suffirait, pour l'expliquer, qu'ils se fussent trouvés en dehors de la position qu'ils devaient occuper, d'une quantité exprimée par  $\frac{5,562}{13} = 0,428$  centimètre, puisque la hauteur de la section contractée est de 25 centimètres (64). Mais, sans nier que ces guides aient pu éprouver un si minime déplacement dans le cours des opérations, nous sommes porté à attribuer, au moins en partie, la différence dont il s'agit à l'excessive mobilité de la veine fluide, mobilité tout à fait inappréciable à la simple vue par un temps parfaitement calme, et qui ne nous a paru qu'accidentelle quand, en 1827, nous ne prenions à la fois qu'un seul point de la section contractée, mais qui, lorsque nous avons voulu relever simultanément et dans toute leur étendue, les deux faces supérieure et inférieure opposées de cette section, à l'aide de vingt-cinq ou trente tiges métalliques, nous a frappé au point que nous avons pu croire que c'était là un état normal, et que l'écoulement, bien loin de se faire par un mouvement continu, n'avait lieu, en quelque sorte, que par saccades, par oscillations.

67. Quoi qu'il en soit, on doit admettre définitivement que, pour l'orifice carré de 0<sup>m</sup>,20 de côté en mince paroi plane, sous une charge de 1<sup>m</sup>,71 sur le centre, l'aire *minima* des sections de la veine par des plans parallèles à celui qui contient cet orifice, est de 230,622 centimètres carrés, en sorte que le coefficient de la contraction naturelle est de  $\frac{230,622}{500} = 0,46124$ , soit 0,461. Or, celui qu'on déduit de la comparaison des dépenses effective et théorique est de 0,602 (tabl. XXV), d'où il résulte que la vitesse moyenne, dans la section contractée, est les  $\frac{602}{461}$  de celle qui est due à la charge de liquide sur le centre de l'orifice, et que, par conséquent, elle excède celle-ci de  $\frac{141}{461}$  ou d'environ  $\frac{1}{3}$ . A la vérité, d'après le lever que nous avons fait en 1827, le centre de gravité de la section contractée se trouve abaissé de 0<sup>m</sup>,0197

au-dessous de celui de l'orifice (note au bas de la page 172 du mémoire de 1829). La vitesse théorique, dans cette section, est donc due à une charge de  $1^m,71 - 0^m,0197 = 1^m,7297$ , et est de  $5^m,8252$ , au lieu de  $5^m,7919$ ; mais, malgré cette augmentation, elle est encore de  $\frac{1}{11}$  de sa valeur plus faible que la vitesse moyenne dans la section contractée<sup>1</sup>.

68. Cette dernière vitesse est au contraire notablement plus faible que l'autre, pour l'orifice de  $0^m,60$  de hauteur verticale sur  $0^m,02$  de largeur horizontale, en mince paroi plane (dispositif de la fig. 1), sous une charge de  $1^m,55$  sur le centre. Ayant eu à faire des expériences sur cet orifice, pour examiner les modifications que peuvent éprouver les coefficients de la dépense, lorsque la hauteur de l'ouverture est plus grande que sa largeur, nous avons trouvé la veine qui en jaillissait tellement remarquable, que nous avons cru devoir en faire le lever, ne fût-ce que pour ajouter un cas de plus à ceux dont M. Bidone s'est occupé dans un mémoire spécial sur la forme et sur la direction des veines fluides, lu à l'Académie des sciences de Turin le 4 janvier 1829 (t. XXXIV, p. 229). Ce mémoire est accompagné de planches représentant, à l'aide de figures purement démonstratives, un très-grand nombre de veines, parmi lesquelles aucune ne se rapporte à une ouverture en mince paroi plus haute que large.

La veine dont il s'agit est représentée, sur la planche 6, au moyen d'un plan, d'une élévation latérale et de quatre sections par des plans parallèles à celui de l'orifice. Ces figures, qui sont cotées dans toutes leurs parties, suffisent pour faire connaître dans tous ses détails la forme extraordinaire qu'affecte cette veine. Nous nous bornerons à dire qu'elle ressemble à la trame d'une toile que formeraient les filets liquides, après s'être croisés à leur sortie de l'orifice.

<sup>1</sup> Ce résultat ne peut s'expliquer qu'en admettant l'existence, dans le réservoir, d'une section vive ou noyau central d'écoulement, analogue à celui que nous avons mentionné au n° 225, et dont la force vive s'ajoute à celle qui est due à la charge de liquide sur le centre de l'orifice.



69. Le filet central de la veine est ici trop incliné à l'horizon, pour qu'on puisse prendre les sections verticales pour les sections normales à ce filet, comme on l'a fait dans le cas précédent. Nous avons voulu déterminer celles-ci par des constructions graphiques, à l'aide des données fournies par le lever; mais nous avons reconnu, dès le début, qu'en multipliant simplement l'aire de chaque section verticale par le sinus de l'angle que forme son plan avec la courbe du filet central de la veine, nous obtiendrions avec toute l'exactitude désirable la surface de la section normale correspondante. D'après cela, les centres de gravité des sections verticales situées à 10, à 30 et à 70 centimètres de l'orifice, étant très-sensiblement sur une même droite, formant un angle de  $80^\circ$  avec le plan de ces sections, nous avons multiplié leurs aires par  $0,9848 = \sin. 80^\circ$ , et nous avons multiplié celle de la section placée à  $1^m, 10$  de l'orifice, dont le plan fait un angle de  $69^\circ$  avec le filet central de cette portion de la veine, par  $0,9336 = \sin. 69^\circ$ .

Nous avons calculé, d'après la théorie des moments, la position des centres de gravité de ces diverses sections, et nous avons trouvé qu'ils étaient situés, par rapport au centre de l'orifice, comme l'indique le tableau ci-après :

DISTANCE des sections au plan de l'orifice.	POSITION des centres de gravité des sections	
	au-dessus du centre de l'orifice.	au-dessous du centre de l'orifice.
centimètres.	centimètres.	centimètres.
10	9,51	0
30	"	3,57
70	"	9,66
110	"	21,46

Il faudra donc, pour avoir la charge sur les centres de gravité des sections, retrancher de la hauteur  $1^m, 55$ , qu'il y avait sur le centre de l'orifice, les nombres de la seconde colonne de ce

petit tableau, ou y ajouter ceux de la troisième, selon le cas. Enfin, nous compléterons les renseignements nécessaires pour l'intelligence de la table suivante, en faisant remarquer que le coefficient de la dépense *théorique*  $D = l_0 \sqrt{2gH} = 0^m,60 \times 0^m,02 \times \sqrt{2g} \times 1^m,55 = 0,012 \times 5,5143 = 0,066172$  mètre cube, étant, dans le cas qui nous occupe, de 0,625 (tabl. XXXII), la dépense effective  $E$  est exprimée par  $E = 0,625 \times 0,066172 = 0,041358$  mètre cube. En divisant donc cette dépense par l'aire de chaque section, on aura la vitesse moyenne correspondante.

70. Nous avons procédé de cette façon pour dresser la table suivante :

TABLE DES CONTRACTIONS ÉPROUVÉES, À DIFFÉRENTES DISTANCES DU PLAN DE L'ORIFICE, PAR LA VEINE FLUIDE JAILLISSANT D'UN ORIFICE DE 0<sup>m</sup>,60 DE HAUTEUR ET 0<sup>m</sup>,03 DE LARGEUR, EN VAINCE PAROI PLANE (DISPOSITIF DE LA FIGURE 1) SOUS UNE CHARGE DE 1<sup>m</sup>,55 SUR LE CENTRE.

DISTANCES des sections ou plus de l'orifice.	SERRAGE des sections		CONTRAC- TION absolue de la section à l'axe de l'orifice.	CONTRAC- TION proportion- nelle, en rapport de la contraction absolue à l'axe de l'orifice.	CORPUS- CULÉ de la contraction normale, en rapport de l'axe de la section normale à celle de l'orifice.	CRAMES ou le centre de gravité de la section normale.	VITESSE théorique due à la charge sur le centre de gravité de la section normale, V.	VITESSE moyenne due à la section normale, obtenue en divisant le déverse- ment par l'aire de cette section, V.	RAPPORT de la vitesse moyenne à la vitesse théorique, $\alpha = \frac{E}{D}$	
	1	2								3
centimètres.	cent. carrés	cent. carrés	cent. carrés	»	1,000	millim.	mètres.	mètres.	mètres.	0,025
0	150,00	150,00								
10,00	79,51	79,30	41,70	0,276	0,553	1,5409	5,4180	5,2820	0,961	
30,00	77,70	76,32	43,48	0,289	0,638	1,5787	5,5600	5,4049	0,972	
70,00	84,93	83,66	36,34	0,203	0,697	1,6460	5,6825	4,9426	0,870	
110,00	92,55	86,41	33,59	0,220	0,720	1,7644	5,8633	4,7063	0,814	

La troisième colonne de cette table montre que la section à 30 centimètres est la plus petite de celles que nous avons relevées; mais, comme elle est placée à une assez grande distance de celle qui la précède et de celle qui la suit immédiatement, on peut douter qu'elle soit réellement la section minima. Toutefois, si l'on prend pour abscisses les distances de ces sections au plan de l'orifice, et pour ordonnées les coefficients de la contraction

naturelle donnés par la sixième colonne, on voit qu'on ne pourrait pas faire descendre la courbe ainsi obtenue plus bas que le point qui correspond à la section située à 30 centimètres de l'orifice, sans lui faire former un jarret brusque qui interromprait la régularité de son cours, et qui, par conséquent, ne saurait exister. C'est pourquoi, on doit admettre que la section contractée se trouve à environ 30 centimètres de l'orifice, que la contraction maxima est égale aux 0,362 de l'aire de cet orifice, que le coefficient qui s'y rapporte est de 0,638, et que, contrairement à ce qui a lieu dans le cas de l'orifice carré de 0<sup>m</sup>, 20 de côté (67), la vitesse moyenne, dans cette section, est d'environ  $\frac{1}{35}$  de sa valeur plus petite que celle qui serait due à la charge de liquide au-dessus de son centre de gravité.

71. Quoique nous n'attachions qu'une importance très-secondaire à la détermination des formes et des dimensions des veines fluides, parce qu'on ne peut en déduire aucun résultat utile pour la pratique de l'hydraulique, qui fait l'objet exclusif de nos recherches, nous avons profité d'un moment où les débordements de la Moselle nous empêchaient de recueillir la dépense des orifices, pour faire le lever de celles qui jaillissaient d'ouvertures de 0<sup>m</sup>, 20 de base sur 0<sup>m</sup>, 20 et 0<sup>m</sup>, 05 de hauteur, dans le cas du dispositif de la figure 6, où le fond du réservoir est au niveau de la base de ces ouvertures, et ses faces latérales sont éloignées de 0<sup>m</sup>, 02 seulement de leurs bords verticaux. Nous avons fait ces opérations avec les précautions et à l'aide des instruments précédemment indiqués (65); et, pour dresser la table des contractions des veines, nous avons suivi la marche tracée au n° 69.

72. Nous avons relevé cinq sections et l'élévation latérale de la veine jaillissant par l'orifice carré de 0<sup>m</sup>, 20 de côté, sous une charge de 1<sup>m</sup>, 5475 (pl. 5). Le coefficient de la dépense théorique  $D = (0,2)^2 \times \sqrt{2g} \times 1,5475 = 0,2204$  mètre cube, étant, dans ce cas, de 0,662 (tabl. XXV), la dépense effective E est exprimée par  $E = 0,2204 \times 0,662 = 0,145905$  mètre cube. Les centres de gravité des sections, dont nous avons déterminé la position par la

théorie des moments, se sont abaissés au-dessous de celui de l'orifice, savoir :

DISTANCE des sections au plan de l'orifice.	ABAISSMENTS des centres de gravité des sections au-dessous de celui de l'orifice.
centimètres.	centimètres.
9,5	3,17
15,0	4,57
20,0	6,00
30,0	11,30
35,0	13,63

Il faudra donc, pour avoir la charge sur le centre des sections, ajouter les nombres de la seconde colonne à la hauteur 1<sup>m</sup>,5475 de liquide, qu'il y avait au-dessus du centre de l'ouverture.

73. Un calcul approximatif nous ayant démontré, tout d'abord, que la section contractée ne devait être éloignée que de 9 à 15 centimètres de l'orifice de 0<sup>m</sup>,20 de hauteur, il devenait inutile de la chercher plus loin pour celui dont la hauteur n'est que de 0<sup>m</sup>,05. Nous aurions désiré pouvoir vérifier directement si elle ne se trouvait pas plus près; mais nous en avons été empêché par la paroi même du réservoir, dont l'épaisseur, jointe à celle de l'instrument à profiler, ne nous permettait pas de relever des points à moins de 8 à 9 centimètres de l'orifice. Toutefois, à l'aide des mesures prises sur place, nous avons pu construire les projections horizontale et verticale de la veine sur une longueur de 15 centimètres, et en déduire la section normale à 3,5 centimètres de l'orifice, ce qui nous a permis de constater, en traçant la courbe mentionnée à l'article 70, que la section contractée était réellement située à environ 9<sup>e</sup>,3 du plan de cet orifice.

Le coefficient de la dépense théorique D, pour l'orifice de 0<sup>m</sup>,05 de hauteur dont il s'agit, sous la charge de 1<sup>m</sup>,5096, est de 0,678 (tabl. XXVII); par conséquent, la dépense effective E est représentée par  $E = 0,678 \times 0,20 \times 0,05 \sqrt{29 \times 1,5096} = 0,036897$

mètre cube. Enfin, les centres de gravité des sections situées à 3.5, 9.3 et 15 centimètres du plan de l'orifice (pl. 5) se sont respectivement abaissés, au-dessous du centre de cette ouverture, de 1.1, 2.57 et 4.07 centimètres, en sorte que ces trois nombres devront être ajoutés à 1<sup>m</sup>.506 pour avoir les charges sur les centres de gravité des sections.

74. Ces renseignements suffisent pour l'intelligence de la table suivante :

TABLE DES CONTRACTIONS ÉPROUVÉES, À DIVERSES DISTANCES DU PLAN QUI CONTIENT L'ORIFICE. DANS LE CAS DU DISPOSITIF DE LA FIGURE 6, PAR LES VEINES FLUIDES JAILLISSANT LIBREMENT DE DEUX ORIFICES DE 0<sup>m</sup>.30 DE BASE SUR 0<sup>m</sup>.30 ET 0<sup>m</sup>.05 DE HAUTEUR, SOUS UNE CHARGE SUR LE CENTRE DE 1<sup>m</sup>.5475 POUR LE PREMIER, ET DE 1<sup>m</sup>.506 POUR LE SECOND.

DISTANCES des sections au plan de l'orifice	SURFACES des sections		CONTRAC- TION théoré- tique de la pression normale.	CORRECTI- ONS proportion- nelles. ou rapport de la contraction théorique à celle de l'orifice.	COEFFI- CIENT de la contraction effective. ou rapport de l'aire de la section effective à celle de l'orifice.	CHARGE sur le centre de gravité de la section effective.	VITESSE théorique due à la charge sur le centre de gravité de la section effective, V.	VITESSE effective dans la section effective, obtenue en divisant la dépense réelle par l'aire de cette section, v.	RAPPORT de la vitesse effective à la vitesse théorique. $\frac{v}{V}$
	verticale.	oblique ou dilatée de la valeur.							
1	2	3	4	5	6	7	8	9	10
ORIFICE DE 0 <sup>m</sup> .30 DE BASE SUR 0 <sup>m</sup> .30 DE HAUTEUR.									
centimètres.	cent. carrés.	cent. carrés.	cent. carrés.			mètres.	mètres.	mètres.	
0	300,00	300,00	0	0	1,000	1,5475	5,5100	5,6475	0,682
9,3	274,41	200,12	139,38	0,350	0,650	1,5792	5,5000	6,6091	1,008
15,0	261,40	261,04	158,06	0,343	0,655	1,5052	5,5005	6,5702	0,996
30,0	260,73	265,55	127,43	0,344	0,656	1,6130	5,5081	6,5578	0,998
30,0	254,43	266,66	133,34	0,333	0,667	1,6005	5,7078	5,4718	0,959
35,0	250,65	327,38	72,42	0,161	0,810	1,6916	5,7430	4,4546	0,775
ORIFICE DE 0 <sup>m</sup> .30 DE BASE SUR 0 <sup>m</sup> .05 DE HAUTEUR.									
	cent. carrés.	cent. carrés.	cent. carrés.			mètres.	mètres.	mètres.	
0	100,00	100,00	0	0	1,000	1,5096	5,4420	5,6997	0,676
3,5	0	76,40	28,60	0,286	0,714	1,3056	5,4418	4,0593	0,908
9,3	60,57	60,67	33,35	0,333	0,667	1,3553	6,6880	5,5543	1,006
15,0	78,58	71,86	28,14	0,281	0,710	1,5503	6,5148	5,1346	0,991

Ainsi, la section contractée de la veine fluide, dans le cas du

dispositif de la figure 6, se trouve à environ 9,3 centimètres des orifices de 20 et de 5 centimètres de hauteur sur 20 centimètres de base; la contraction maxima est les 0,350 de l'aire du premier de ces deux orifices et les 0,333 de celle du second, les coefficients qui y répondent respectivement sont de 0,650 et 0,667, et, pour l'un comme pour l'autre, la vitesse moyenne, dans la section contractée, excède la vitesse théorique due à la charge sur le centre de gravité de cette section d'environ  $\frac{1}{10}$  de sa valeur.

## § 2.

RÉSUMÉ DES PRINCIPALES CIRCONSTANCES QUE PRÉSENTE L'ÉCOULEMENT  
DU LIQUIDE À L'EXTÉRIEUR ET À L'INTÉRIEUR DU RÉSERVOIR.

75. L'écoulement du liquide, à l'extérieur et à l'intérieur du réservoir, présente des circonstances variables selon les dispositifs des orifices. Nous avons signalé les plus remarquables dans de très-courtes observations, consignées sur les tableaux détaillés des résultats des expériences sur la dépense de ces orifices. Mais nous croyons devoir reproduire ici ces observations, en leur donnant plus de développement et réunissant toutes celles qui concernent un même dispositif, soit pour en mieux faire saisir l'ensemble, soit afin de n'avoir pas à interrompre, pour donner des explications à ce sujet, ce que nous avons à dire dans les paragraphes suivants.

ORIFICES FERMÉS À LA PARTIE SUPÉRIEURE, DÉBOUCHANT LIBREMENT DANS L'AIR.

76. Les dessins des veines fluides jaillissant de l'orifice carré de 0<sup>m</sup>,20 de côté et de celui de 0<sup>m</sup>,60 de hauteur sur 0<sup>m</sup>,02 de largeur, joints aux explications contenues dans le mémoire de 1829 et à celles que nous avons données dans les numéros 68, 69 et 70 du présent mémoire, suffisent pour faire connaître parfaitement toutes les circonstances de l'écoulement du liquide dans le cas du dispositif de la figure 1, et nous n'avons rien à ajouter à tout ce qui a été dit sur ce sujet.

77. Lorsque l'orifice n'est pas symétriquement placé par rapport aux faces latérales du réservoir, le jet de la veine est oblique et converge d'autant plus fortement vers la direction prolongée de la face du réservoir la plus rapprochée de l'orifice, que la distance entre cet orifice et cette face est plus petite, et que la charge de liquide et la hauteur de l'ouverture sont plus grandes. Dans les mêmes circonstances, les sections de la surface de l'eau, prises immédiatement en amont de l'orifice, parallèlement au plan qui le contient, sont des lignes droites inclinées qui se relèvent d'autant plus du côté de la face du réservoir la plus voisine de l'orifice, que le jet de la veine est plus oblique.

78. Les apparences de l'écoulement sont les mêmes que dans le cas des minces parois (fig. 1), lorsque la base et les bords verticaux de l'orifice sont éloignés de  $0^m,54$  du fond et des faces latérales du réservoir, comme dans la figure 3. Mais si, sans changer la position de la base de cet orifice, on dispose ses bords verticaux, soit à  $0^m,02$  des faces correspondantes du réservoir, soit dans leur prolongement (fig. 9 et 10), la veine, pour les ouvertures de  $0^m,05$  de hauteur et au-dessus, s'aplatit à sa partie supérieure et s'élargit de plus en plus dans le sens horizontal, à mesure que le jet s'éloigne de son origine et que la charge est plus faible. Pour l'ouverture de  $0^m,01$  de hauteur, l'élargissement horizontal diminue au contraire avec la charge, finit par ne plus se faire sentir que sur une très-petite longueur à partir de l'orifice, et au delà la veine va constamment en se rétrécissant. Dans le cas de la figure 10, les fortes charges, pour les ouvertures de  $0^m,20$  et de  $0^m,05$  de hauteur, donnent en outre lieu à un effet particulier, qui cesse lorsqu'on bouche les feuillures dans lesquelles glisse la vanne, et qui consiste en ce que, de chaque côté de l'orifice, les filets jaillissant des angles se détachent de la masse de la veine et produisent à leur rencontre, à une distance de  $0^m,10$  à  $0^m,08$  en aval, un jet d'eau qui retombe en forme de pluie.

Enfin, à l'entrée du canal formé par les faces du réservoir ainsi

rapprochées, il y a une chute d'autant plus sensible que l'intervalle entre ces faces est plus petit, que la charge de liquide est plus faible et la hauteur de l'orifice est plus grande. Les sections transversales de la surface de l'eau, dans ce canal, sont toujours des horizontales; mais il n'en est pas de même des sections longitudinales, comme on peut le voir sur la planche 11, en ce qui concerne l'orifice carré de 0<sup>m</sup>,20 de côté, sous une charge de 0<sup>m</sup>,3441 sur sa base, dans le cas du dispositif de la figure 10.

79. La veine prend une forme analogue à celle qu'elle a dans le cas des minces parois, lorsque, tout étant d'ailleurs disposé comme sur la figure 9, les faces du réservoir, au lieu d'être perpendiculaires au plan de l'orifice, forment avec lui des angles de 45°, comme dans le dispositif de la figure 12.

80. Lorsque le plancher du réservoir est établi au niveau de la base de l'orifice, et que ses faces latérales sont distantes de 1<sup>m</sup>,74 des bords verticaux de l'ouverture, comme dans la figure 4, la veine s'aplatit d'autant plus à sa partie supérieure que la charge de liquide est plus faible; et, à sa partie inférieure, il y a une arête saillante d'autant plus prononcée que cette charge est au contraire plus forte, c'est-à-dire que l'aplatissement supérieur et la saillie de l'arête inférieure marchent en sens contraire.

Cette saillie diminue, toutes choses égales d'ailleurs, à mesure qu'on rapproche les faces latérales du réservoir des bords verticaux de l'orifice, comme dans les figures 6 et 7. Pour ces deux derniers dispositifs il se forme, immédiatement en amont de l'orifice et à l'entrée du canal ou réservoir qui le précède, des remous avec bouillonnements et une chute d'autant plus sensibles, que ce canal est plus étroit, la charge est plus faible, et la hauteur de l'orifice est plus grande.

Indépendamment des levés des veines fluides représentées sur la planche 5, nous avons fait, dans le cas des dispositifs des figures 4 et 6, un très-grand nombre de sections de la surface de l'eau dans le réservoir. Pour le premier de ces dispositifs, nous nous sommes borné à enregistrer les résultats des opérations;



mais pour le second, où le phénomène de l'écoulement présente des circonstances plus remarquables, nous avons dessiné, dans tous leurs détails, les sections longitudinales passant par l'axe de l'orifice, et les sections transversales faites à l'entrée du canal de 0<sup>m</sup>,24 de largeur qui précède cet orifice, et forme le réservoir destiné à l'alimenter. (Pl. 7, 8, 9, 10 et 11.)

81. Pour le dispositif de la figure 11, qui ne diffère de celui de la figure 6 qu'en ce que les faces latérales du réservoir forment un angle de 45° avec le plan de l'orifice, au lieu de lui être perpendiculaires, la veine est aplatie à sa partie supérieure, et il y a une arête saillante à sa partie inférieure, de telle sorte que sa forme tient de celles qui se rapportent aux dispositifs des figures 6 et 4.

82. Pour les dispositifs des figures 13<sup>1</sup> et 13, les circonstances générales de l'écoulement sont respectivement analogues à celles qui concernent les dispositifs des figures 10 et 7, qui ne diffèrent des premiers que par la longueur des parois du réservoir, qui est réduite à 0<sup>m</sup>,264 pour ceux-ci. Mais, toutes choses égales d'ailleurs, il y a de plus forts remous avec bouillonnements et tourbillons circulaires en amont de l'orifice, la chute à l'entrée du canal qui précède cet orifice est plus sensible, la veine s'y contracte et se détache des parois latérales du canal sur une certaine étendue; enfin, cette même veine, à sa sortie par l'orifice, est plus aplatie à sa partie supérieure et va constamment en s'élargissant à mesure que le jet s'éloigne de son origine, pour les ouvertures de 0<sup>m</sup>,05 de hauteur et au-dessus, tandis qu'elle se rétrécit au contraire pour celle de 0<sup>m</sup>,01.

Pour le dispositif de la figure 14, qui est semblable à celui de la figure 13, sauf que dans le premier les parois sont arrondies à leurs extrémités d'amont, au lieu d'être terminées carrément, il n'y a ni contraction, ni chute apparente, à l'entrée du réservoir; les remous et les bouillonnements en amont de l'orifice sont moins sensibles que pour la figure 13, mais la veine, à sa sortie de l'orifice, se comporte comme dans ce dernier cas.

83. Pour les orifices pratiqués dans une paroi de  $0^m,05$  d'épaisseur (fig. A, B, C et D) les circonstances de l'écoulement, tant à l'intérieur qu'à l'extérieur du réservoir, sont les mêmes que dans le cas des minces parois (fig. 1), sauf de très-légères modifications qui ont quelque influence sur la dépense, sans changer en rien la forme apparente de la veine, et qui consistent en ce que celle-ci, pour certaines charges et certains dispositifs, s'attache un peu, tantôt à la base de l'orifice, tantôt à la face inférieure de la vanne qui le limite par le haut et par moments aux deux à la fois.

Nous devons mentionner, comme un fait remarquable, que, pour l'ouverture de  $0^m,60$  de base sur  $0^m,40$  de hauteur, dans le cas du dispositif de la figure B, où elle est garnie d'une vanne sans seuil ni feuillures pour la recevoir, il se manifeste à la surface du réservoir, à des distances variables en avant et sur les côtés de l'orifice, sous les charges de  $0^m,8405$  et  $0^m,4865$  sur son centre, des tourbillons circulaires ayant la forme de cônes tordus qui auraient leur sommet non loin du centre de cette ouverture. L'intérieur de ces cônes paraît vide; tout corps flottant qui arrive dans leur sphère d'activité, est immédiatement entraîné en tournoyant avec une vitesse qui va en augmentant à mesure que le corps descend, et bientôt on le voit sortir de l'orifice à peu près dans la direction du filet central de la veine.

ORIFICES FERMÉS À LA PARTIE SUPÉRIEURE,  
PROLONGÉS PAR DES CANAUX AU DEHORS DU RÉSERVOIR.

84. Les apparences de l'écoulement du liquide, dans le réservoir, sont, toutes choses égales d'ailleurs, respectivement les mêmes pour les orifices prolongés par des canaux et pour ceux qui débouchent librement dans l'air; mais les dépressions de la surface du fluide, les bouillonnements avec tourbillons circulaires près des orifices, la chute et la contraction de la veine à l'entrée du canal qui les précède, sont toujours moins considérables dans le pre-

mier cas que dans le second, et quelquefois même ils disparaissent tout à fait. Ainsi, ce que nous avons dit aux numéros 76 et suivans pour les dispositifs des figures 1, 4, 5, 6 ou 11, 8, 9 ou 12, s'applique respectivement, avec les modifications que nous venons d'indiquer, à ceux des figures 15, 16 ou 23, 18 ou 24, 19 ou 22 ou 25 ou 27, 20, 21 ou 26.

85. Toutes les fois que la base de l'orifice est isolée de la paroi correspondante du réservoir (dispositifs des fig. 15, 20, 21 et 26), la veine se contracte à sa partie inférieure et se détache du fond du canal sur une plus ou moins grande longueur, selon que la charge est plus ou moins forte, en y laissant un vide qui est occupé par une nappe d'air toujours apparente, lorsque l'eau du réservoir est limpide. Cette nappe prend naissance à la base même de l'orifice, et s'avance vers l'aval, en forme de coin dentelé sur son pourtour et arrondi à son extrémité, jusqu'au point où la veine rencontre le fond du canal. Son étendue diminue, comme celle de la contraction inférieure elle-même, avec la charge de liquide; et, lorsque celle-ci est très-petite, on n'en aperçoit plus de traces qu'aux seuls angles inférieurs de l'orifice, où se montrent quelques bulles d'air isolées, paraissant animées d'un mouvement de va-et-vient incessant, et qui disparaissent tout à fait aussitôt que la charge de fluide sur le centre de l'orifice est devenue tellement faible, que les remous qui se forment dans le canal recouvrent entièrement la veine.

86. La présence d'une nappe d'air entre le fond du canal et la veine, lorsque celle-ci se contracte à sa partie inférieure, est un fait très-remarquable, qu'il est fort important de pouvoir toujours constater dans la pratique de l'hydraulique, attendu que le canal a plus ou moins d'influence sur la dépense de l'orifice, comme nous le dirons plus loin, selon que cette nappe d'air existe ou n'existe pas. Un moyen bien simple pour faire cette vérification, et dont nous avons fort souvent reconnu l'efficacité dans le cours de nos opérations, consiste à percer, au milieu du fond du canal et à quelques centimètres en aval de l'orifice, à l'aide d'une grosse

vrille, un trou par lequel il ne sort point d'eau ou il s'en échappe un petit filet, selon que la veine est ou n'est pas détachée de cette paroi du canal.

87. Lorsque les deux bords verticaux de l'orifice sont assez éloignés des faces correspondantes du réservoir, pour qu'ils puissent être considérés comme en étant entièrement isolés (fig. 15, 16, 17 et 23), la veine se contracte latéralement et se détache des parois verticales du canal sur une plus ou moins grande longueur, selon que la charge de liquide est plus ou moins forte. Les filets partant des angles supérieurs de l'orifice se réunissent à une certaine distance en aval, et, à partir de leur point de jonction, il se forme, dans le canal, plusieurs quadrilatères successifs dont la plus grande diagonale est dirigée suivant l'axe et la plus courte suivant la largeur de ce canal.

Les contours de ces quadrilatères sont des espèces d'arêtes arrondies, généralement en saillie sur le reste du courant, et à partir desquelles la surface du liquide va en pente, soit vers le centre de la figure qui présente souvent un creux très-prononcé, soit vers les parois latérales du canal. Ces quadrilatères sont, en général, moins nettement dessinés pour les très-fortes charges et les grandes ouvertures, que pour les charges et les ouvertures moyennes. Ils s'effacent successivement à mesure que, la charge diminuant, il se forme dans le canal des remous qui, partant de son extrémité, s'avancent peu à peu vers l'orifice, et finissent par remplir les vides que la veine, en se contractant latéralement, laissait entre elle et les parois verticales du canal : dès lors toute trace des quadrilatères disparaît dans celui-ci, et l'on n'y remarque plus que de légères stries qui se forment à la rencontre des remous et de la lame de liquide sortant par l'orifice.

88. Nous avons relevé avec le plus grand soin, dans le cas du dispositif de la figure 15, un très-grand nombre de projections horizontales et de sections verticales, parallèles et perpendiculaires à la direction du courant, afin de représenter les différentes formes qu'affecte la surface du liquide dans le canal, pour les

orifices de 20 centimètres de base sur 20, 10, 5, 3 et 1 centimètre de hauteur, sous toutes les charges, depuis la plus forte de celles que notre appareil nous ait permis de soumettre à l'expérience, jusqu'à celle qui correspond à l'instant où, le liquide étant sur le point d'abandonner le bord supérieur de l'ouverture, le déversoir est près de se former. Ces projections horizontales et ces sections verticales sont dessinées et cotées, dans toutes leurs parties, sur les planches 12, 13, 14, 15, 16 et 17.

89. Nous avons également fait des levers pour le dispositif de la figure 16, mais nous n'avons opéré que sur les orifices de 20 centimètres de base sur 20 et 5 centimètres de hauteur, et nous n'avons pris que les sections de la surface de l'eau dans le canal par des plans verticaux, parce que les projections horizontales, fort longues d'ailleurs à relever, ne présentent rien qui ne soit exprimé déjà sur les dessins relatifs au dispositif de la figure 15. Il n'y a en effet de différence entre ces deux dispositifs, sous le rapport des apparences de l'écoulement du liquide, qu'en ce que, pour le premier, la veine, ne se contractant pas à la partie inférieure, suit le fond du canal dans toute son étendue, tandis que, pour le second, elle en est détachée sur une certaine longueur à partir de l'orifice.

90. Dans le dispositif de la figure 17, les faces latérales du réservoir sont éloignées des côtés verticaux de l'orifice, l'une de 0<sup>m</sup>,54 et l'autre de 1<sup>m</sup>,74, tandis qu'elles sont toutes les deux à cette dernière distance dans le dispositif de la figure 16. Il en résulte que les quadrilatères dont nous avons parlé (87), au lieu d'occuper le milieu du courant, sont un peu repoussés vers la paroi du canal qui correspond à la face du réservoir la plus rapprochée de l'orifice. C'est la seule différence que présentent, dans ces deux cas, les apparences de l'écoulement.

91. Quant à la figure 23, elle ne diffère de la figure 16 qu'en ce que le canal, qui, dans celle-ci, est horizontal et de 3 mètres de longueur, est, dans l'autre, incliné à  $\frac{1}{10}$  et n'a que 2<sup>m</sup>,50 de longueur. Cette modification n'en apporte aucune dans les formes

qu'affecte la surface du courant; seulement les remous ne commencent à se manifester dans le canal, et par suite la contraction latérale de la veine ne disparaît que sous une charge plus faible dans le premier cas que dans le second.

92. Lorsqu'un seul des bords verticaux de l'orifice est assez éloigné de la face correspondante du réservoir pour qu'on puisse le considérer comme en étant entièrement isolé (fig. 18, 20 et 24), la veine fluide ne se contracte et ne se détache complètement de la paroi du canal que de ce seul côté. Elle est, dès sa sortie de l'orifice, poussée vers la paroi opposée de ce canal, et la surface du courant affecte une figure analogue à celle qui résulterait de la réunion des quadrilatères décrits au n° 87, en ne prenant que les moitiés qui aboutissent alternativement à la paroi de droite et à la paroi de gauche du canal. En outre, les remous qui se forment dans ce canal, sous les faibles charges, se rapprochent moins de l'orifice du côté où son bord est le plus voisin de la face correspondante du réservoir que du côté opposé.

Nous avons levé les projections horizontales de cette surface, dans le cas du dispositif de la figure 18, pour les orifices de 5, 3 et 1 centimètre de hauteur, sous une très-forte et sous une moyenne charge. Mais on a été forcé, par le manque de place, de ne dessiner que celles qui se rapportent à la première de ces trois ouvertures (pl. 22).

93. Nous n'avons fait aucune opération de ce genre pour les dispositifs des figures 20 et 24, parce qu'ils ne diffèrent de celui de la figure 18 : le premier, qu'en ce que la base de l'orifice est isolée du fond du réservoir au lieu d'être dans son prolongement, en sorte que la veine se contracte à sa partie inférieure; et le second, en ce qu'on y a adapté un canal incliné à  $\frac{1}{10}$  et de 2<sup>m</sup>,50 de longueur, en remplacement de celui qui était de niveau et long de 3 mètres. Or, ces circonstances, si elles modifient un peu les dimensions de la figure qu'affecte la surface du liquide dans le canal, n'en changent pas du moins la forme générale.

94. Quand les deux bords de l'orifice sont très-rapprochés des faces correspondantes du réservoir, sans cependant être dans leurs prolongements (fig. 19, 21, 25, 26 et 27), la veine, pour l'orifice carré de 20 centimètres de côté, ne se détache des parois latérales du canal que sur une très-petite étendue et seulement pour les hautes charges, et l'écoulement du liquide dans ce canal paraît se faire par filets parallèles, car on y remarque à peine, par moments, quelques traces des quadrilatères qui étaient si fortement prononcés dans tous les cas que nous avons examinés jusqu'ici. Mais, pour les ouvertures de 5 et de 1 centimètre de hauteur, la veine se contracte latéralement de la même manière et affecte dans le canal la même forme que pour la figure 16.

95. Nous avons relevé, pour le dispositif de la figure 19 et les ouvertures de 20 centimètres de base sur 20, 5 et 1 centimètre de hauteur, un grand nombre de sections longitudinales et transversales de la surface du liquide, tant dans le réservoir qui alimente ces orifices que dans le canal qui les prolonge au dehors (pl. 17, 20, 21 et 22). Mais nous nous sommes abstenu de faire ce long travail pour les dispositifs des figures 21, 25, 26 et 27, parce qu'ils ne diffèrent de celui de la figure 19 que par la base, qui est isolée du fond du réservoir, au lieu d'être dans son prolongement, et par le canal, qui a diverses longueurs et inclinaisons, tandis qu'il est horizontal et de 3 mètres de longueur dans le dispositif de la figure 19, circonstances qui, en faisant varier les dimensions absolues des sections longitudinales et transversales dans quelques-unes de leurs parties, n'en altèrent pas du moins la forme générale. Nous avons d'ailleurs relevé, dans tous les cas, avec beaucoup de soin, toutes les données qui entrent dans les formules relatives à la dépense des orifices.

96. Pour le dispositif de la figure 22, où les faces du réservoir sont inclinées à 45° sur le plan qui contient les orifices, au lieu de lui être perpendiculaires comme dans les cas précédents, la veine se contracte latéralement pour toutes les ouvertures; et, pour celles de 5 centimètres de hauteur et au-dessous, la sur-

face du liquide, dans le canal, affecte les formes décrites au numéro 87. Les circonstances de l'écoulement participent donc, comme le dispositif lui-même, à ce qui a lieu pour les dispositifs des figures 16 et 19.

97. Dans nos expériences relatives à l'effet que produisent, sur la dépense des orifices, les remous formés en barrant à son extrémité le canal qui prolonge ces orifices, dans le cas du dispositif de la figure 15, l'écoulement n'a présenté aucune circonstance remarquable. Nous avons relevé, pour chaque expérience, les sections longitudinales de la surface du liquide, et elles sont dessinées et cotées dans toutes leurs parties sur les planches 23 et 24.

ORIFICES DÉCOUVERTS OU EN DÉVERSOIR, DÉBOUCHANT LIBREMENT DANS L'AIR.

98. Les nombreuses sections longitudinales et transversales que nous avons relevées, en 1827, tant de la surface du liquide dans le réservoir, que de la veine fluide jaillissant librement dans l'air d'un orifice en déversoir de 20 centimètres de base en mince paroi (dispositif de la fig. 1), et ce qui a été dit sur ce sujet aux articles 25 et suivants du mémoire de 1829, font parfaitement connaître toutes les circonstances apparentes du phénomène de l'écoulement, dans ce cas particulier. Mais si, sans modifier d'ailleurs le dispositif, on rétrécit notablement le déversoir, la veine fluide prend une forme tout aussi extraordinaire que celle qu'elle affecte pour les orifices fermés à la partie supérieure, dont la hauteur excède de beaucoup la largeur.

Ainsi, pour le déversoir de 0<sup>m</sup>,02 de base que nous avons soumis à l'expérience, afin d'examiner l'influence que peut avoir la largeur sur la dépense de cette sorte d'orifices, on ne remarque rien de particulier dans le réservoir; mais, pour toutes les charges totales qui surpassent environ 4 centimètres, la nappe supérieure de la veine fluide s'épanouit en forme de saule pleureur, à sa sortie de l'orifice, et recouvre, en la débordant de beaucoup, la partie inférieure, dont la largeur diminue de plus en plus jusqu'à



la base de l'ouverture, en sorte que l'ensemble de cette veine a l'apparence d'une espèce de champignon à très-large tête, ou d'un tronçon liquide recouvert par une calotte transparente fort large et fort mince. Le manque de temps nous a empêché d'en faire le lever, qui aurait du reste été sans utilité pour la pratique de l'hydraulique.

99. Toutes les apparences de l'écoulement sont les mêmes pour les dispositifs des figures 3 et 1, quoique la distance entre les faces du réservoir et les bords correspondants du déversoir, qui est de  $1^m,74$  dans celui-ci, soit réduite à  $0^m,54$  dans l'autre. Mais il n'en est plus ainsi lorsque l'orifice, au lieu d'être placé au milieu du réservoir, est éloigné de  $1^m,74$  de l'une des faces et de  $0^m,54$  seulement de l'autre, comme dans le dispositif de la figure 2. Le liquide alors s'élève davantage, dans le réservoir, du côté de la face la plus voisine du déversoir que du côté opposé, et la veine, à sa sortie, converge plus ou moins vers la direction prolongée de cette face, selon que la charge de fluide est plus ou moins forte.

Ces effets sont d'ailleurs beaucoup moins sensibles pour le dispositif dont il s'agit que pour ceux des figures 8 et 5, d'après lesquels il n'y a que 2 centimètres d'intervalle entre l'orifice et la paroi du réservoir qui en est le plus rapprochée. On peut, au surplus, se faire une idée de ce qui se passe dans ce dernier cas, en jetant un coup d'œil sur les sections de la veine par le plan même du déversoir, qui sont dessinées et cotées dans toutes leurs parties sur la planche 26.

100. Lorsque le déversoir est isolé par sa base, et que ses deux bords verticaux sont situés, soit à deux centimètres, soit dans le prolongement des faces correspondantes du réservoir (fig. 9 et 10), il se fait, à l'entrée du canal formé par ces deux faces ainsi rapprochées, une chute d'autant plus sensible que la charge de liquide est plus forte, tandis que c'est l'inverse qui a lieu pour les orifices fermés à la partie supérieure. Dans les mêmes circonstances, la veine, à partir de sa sortie de l'orifice, s'élargit de plus

en plus en éventail dans le sens horizontal, à mesure que le jet s'éloigne de son origine, pour toutes les charges qui excèdent environ 5 centimètres, et elle se rétrécit au contraire pour toutes celles qui sont moindres, après s'être d'abord un peu élargie.

Nous donnons, comme exemple de ces effets, dans le cas du dispositif de la figure 10, un plan et une section longitudinale dessinés sur la planche 28. Il nous a été impossible de relever la nappe inférieure de la veine, parce que le jet ne s'éloignait pas assez de la face d'aval du réservoir.

101. Le dispositif de la figure 12 ne diffère de celui de la figure 9, qu'en ce que les faces latérales du réservoir sont inclinées à 45° sur le plan qui contient le déversoir, au lieu de lui être perpendiculaires; il tient donc de ce dernier dispositif et de celui de la figure 1. Aussi toutes les apparences de l'écoulement sont-elles les mêmes que pour celui-ci, quand les charges excèdent environ 9 centimètres; tandis que, lorsqu'elles sont moindres, la veine s'épanouit un peu depuis l'orifice jusqu'à 5 centimètres en aval, où elle a 22 centimètres de largeur, et à partir de ce point, elle se rétrécit comme cela a lieu dans le cas du dispositif de la figure 9, pour les charges au-dessous de 5 centimètres (100).

102. Lorsque les bords verticaux du déversoir sont isolés des faces latérales du réservoir, et que sa base est dans le prolongement du fond de celui-ci (fig. 4), l'écoulement dans ce réservoir a les mêmes apparences, et les sections de la surface du liquide par le plan même de l'orifice ont la même forme que dans le cas des minces parois, comme on peut le voir par les quatorze sections que nous avons relevées (pl. 25). Mais la veine, à sa sortie du déversoir, est beaucoup plus aplatie à sa partie supérieure, et il se forme, à sa partie inférieure, une arête saillante d'autant plus prononcée que la charge est plus forte, tandis que l'aplatissement de la partie supérieure augmente au contraire lorsque la charge diminue.

103. Pour le dispositif de la figure 6, qui est le même que celui de la figure 9, sauf que la base du déversoir est au niveau

du plancher du réservoir au lieu d'en être isolée, la chute à l'entrée du canal formé par les faces du réservoir est, toutes choses égales d'ailleurs, beaucoup plus sensible que pour ce dernier dispositif. Le choc du courant contre l'intervalle de 2 centimètres qui sépare les bords de l'ouverture des parois du réservoir, produit des bouillonnements qui sont très-forts pour les hautes charges; enfin, les sections de la surface du liquide par le plan même du déversoir, affectent la forme de courbes concaves dont la flèche est d'autant plus grande que la charge est plus forte.

Nous avons relevé six de ces courbes, ainsi que les sections longitudinales et transversales du fluide dans le réservoir qui leur correspondent (pl. 27).

104. Lorsque les parois du réservoir n'ont que  $0^m,264$  de longueur au lieu de  $1^m,95$ , et que les trois côtés de l'orifice sont dans leur prolongement (fig. 13), la chute à l'entrée de ce réservoir est beaucoup plus prononcée que dans le cas précédent. La veine s'y contracte latéralement sur une certaine étendue, et à chacun des points *a* (pl. 28) où, en se dilatant, elle rencontre les faces verticales du canal, il se forme, pour les fortes charges, un jet d'eau qui, après s'être élevé d'environ  $0^m,10$ , retombe sous forme de pluie.

Pour ces mêmes charges, la surface du courant, dans le réservoir, a une pente régulière qui n'est pas interrompue par des remous comme dans les cas précédents. Elle s'élève beaucoup plus le long des parois qu'au centre du canal, et sa section par le plan du déversoir donne une courbe presque fermée *mon* (pl. 28), qui s'ouvre constamment, sans cesser d'exister, à mesure que le jet s'éloigne de l'orifice après sa sortie, en sorte que la veine s'élargit de plus en plus en forme d'éventail dans le sens horizontal, comme nous l'avons déjà dit (100).

La veine se rétrécit au contraire au lieu de s'élargir, lorsqu'on ouvre les feuillures de 6 millimètres de largeur, dans lesquelles glisse la vanne destinée à régler la hauteur des orifices fermés à leur partie supérieure. Cet effet s'est produit quand nous avons

fait déboucher ces feuillures, pour examiner l'influence qu'elles pouvaient avoir sur la dépense des déversoirs. En même temps qu'elles donnent lieu au rétrécissement de la veine fluide, elles occasionnent un remous dans le réservoir, près de l'orifice.

105. Le dispositif de la figure 14 ne diffère de celui de la figure 13, qu'en ce que le fond et les faces du réservoir, au lieu d'être coupés carrément à leurs extrémités d'amont, y sont arrondis suivant la forme présumée de la veine fluide. Pour ce dispositif, il n'y a aucune apparence de contraction à l'entrée du réservoir; le liquide s'élève moins le long des parois latérales du canal que dans le cas précédent; les sections par le plan du déversoir donnent des courbes beaucoup plus ouvertes; la veine s'épanouit de plus en plus dans le sens horizontal, à mesure que le jet s'éloigne de son origine, pour les fortes charges, tandis que, pour les faibles, elle ne varie plus après s'être un peu élargie sur une longueur d'environ 10 centimètres, à partir de l'orifice.

106. Pour le déversoir de 0<sup>m</sup>,60 de largeur, pratiqué dans une paroi de 5 centimètres d'épaisseur (fig. A), les apparences de l'écoulement, tant à l'intérieur qu'au dehors du réservoir, ne diffèrent de celles qui se rapportent au cas des minces parois (fig. 1), qu'en ce que la veine, qui est entièrement détachée de tout le pourtour de l'orifice pour les fortes charges, paraît s'attacher un peu à la base, pour les faibles.

ORIFICES DÉCOUVERTS OU EN DÉVERSOIR,  
PROLONGÉS PAR DES CANAUX AU DEHORS DU RÉSERVOIR.

107. Les apparences générales de l'écoulement dans le réservoir sont, toutes choses égales d'ailleurs, les mêmes pour les déversoirs qui débouchent librement dans l'air et pour ceux qui sont prolongés par des canaux. Seulement, les chutes et les contractions de la veine à l'entrée du canal qui, dans certains dispositifs, les précède en amont, les bouillonnements et les dépressions de la surface du liquide, sont moins sensibles dans le second

cas que dans le premier et disparaissent même quelquefois tout à fait. Ce que nous avons dit sur ce sujet aux n<sup>os</sup> 98 et suivants, pour les dispositifs des figures 1, 4, 5, 6, 8, 9, peut donc s'appliquer respectivement à ceux des figures 15, 16, 18, 19 et 22, 20, 21 et 26.

108. Pour tous les dispositifs avec canaux, le liquide, quelle que soit la charge, suit dans toute leur longueur les fonds de ces canaux, car on n'y remarque jamais la moindre trace de la nappe d'air mentionnée au n<sup>o</sup> 85.

109. La veine se contracte sur ses deux faces latérales, mais sous les fortes charges seulement, pour les dispositifs des figures 15 et 16, dans lesquels la distance entre les bords du déversoir et les faces correspondantes du réservoir est de 1<sup>m</sup>,74, et pour celui de la figure 22, quoique cette distance n'y soit que de 2 centimètres. Mais ce dernier dispositif tient de ceux des figures 16 et 19, parce que les faces du réservoir y sont inclinées à 45° sur le plan qui contient l'orifice, au lieu de lui être perpendiculaires.

110. Pour les dispositifs des figures 18 et 20, où les deux bords du déversoir sont éloignés des parois correspondantes du réservoir, l'un de 1<sup>m</sup>,74 et l'autre de 2 centimètres, la veine, sous les fortes charges, se contracte du seul côté où cette distance est le plus grande.

111. Enfin, la veine paraît ne devoir éprouver aucune contraction latéralement, quand les deux bords de l'orifice ne sont éloignés que de 2 centimètres des faces du réservoir (fig. 19, 21 et 26). Toutefois, on doit dire que, pour les dispositifs des figures 21 et 26, sous la plus forte charge, elle était détachée sur une très-petite longueur des parois verticales du canal. Dans ces deux dispositifs, la base du déversoir était isolée du fond du réservoir, et en outre le canal adapté au second était incliné à  $\frac{1}{10}$ , au lieu d'être horizontal comme dans tous les autres.

112. Lorsque la veine se contracte latéralement, soit sur ses deux faces, soit sur une seule, la surface du liquide dans le ca-

nal affecte, sur une longueur de 30 à 40 centimètres à partir de l'orifice, des formes analogues à celles que nous avons décrites aux n<sup>os</sup> 87 et suivants. Mais tout le reste du courant est recouvert par les remous, qui s'avancent d'autant plus vers le déversoir que la charge est plus faible.

Nous avons relevé avec beaucoup de soin les projections horizontales de la surface du liquide, dans les cas les plus remarquables, ainsi qu'un très-grand nombre de sections longitudinales et transversales, faites tant dans le réservoir que dans le canal qui prolonge le déversoir. Les principales, au nombre de 69, sont dessinées sur les planches 29, 30, 31 et 32.

## § 3.

. DÉPRESSIONS ÉPROUVÉES, DANS LE RÉSERVOIR,  
PAR LA SURFACE SUPÉRIEURE DU LIQUIDE,  
DANS LE CAS DES ORIFICES FERMÉS À LA PARTIE SUPÉRIEURE.

113. Dans nos expériences de 1827 et du commencement de 1828, sur les orifices fermés à la partie supérieure de 20 centimètres de base, en mince paroi plane et entièrement isolés du fond et des faces latérales du réservoir (dispositif de la fig. 1), nous avons déterminé les dépressions que la surface supérieure du liquide éprouve dans ce réservoir, et nous avons fait entrer leurs valeurs maxima dans les formules de la dépense, pour le cas où les charges de fluide sont mesurées près des orifices (mémoire de 1829, art. 76 et 133). Le point où la dépression est le plus forte est alors facile à trouver, car il est à peine éloigné de 1 centimètre des ouvertures qui en ont moins de 3 de hauteur, et de 4 centimètres de celle qui en a 20. Mais, pour les orifices qui ne sont pas entièrement isolés des faces du réservoir, sa position varie, non-seulement avec les hauteurs des ouvertures et les charges de liquide, mais encore, toutes choses égales d'ailleurs, avec les dispositifs qui les accompagnent. Quelquefois ce

point, comme on peut le voir sur les sections longitudinales que nous avons relevées, et notamment sur celles qui sont dessinées sur les planches 7, 20 et 21, est situé à une si grande distance de l'orifice, qu'il faudrait, pour le déterminer avec exactitude, faire des opérations toujours assujettissantes et que les localités rendraient souvent très-difficiles.

114. Par ces motifs, nous avons constamment mesuré les charges près des orifices à une distance fixe de 2 centimètres en amont et sur leur axe, sans nous préoccuper des dépressions maxima. Nous avons choisi cette distance, parce que l'action capillaire de la paroi d'aval du réservoir ne s'étend pas jusque-là; parce que c'est en ce point qu'il y a, en général, le moins de ces bouillonnements et de ces tourbillons qui rendent l'appréciation de la hauteur de l'eau incertaine; parce qu'enfin, en procédant ainsi, on s'écarte fort peu des usages de la pratique, où le plus souvent on prend la charge de fluide tout contre la vanne de l'orifice.

Indépendamment des charges dont il s'agit, nous avons relevé, pour les principaux dispositifs que nous avons soumis à l'expérience, comme nous l'avons dit dans le paragraphe précédent, un grand nombre de sections longitudinales et transversales de la surface supérieure du liquide, dans le réservoir, et nous allons exposer les résultats qu'on en déduit.

115. D'après nos observations sur le dispositif de la figure 1, que nous avons déjà citées (113), la portion *sensiblement* déprimée de cette surface est comprise dans une espèce de cône, dont le contour elliptique a pour grand axe à peu près la largeur de l'orifice, et pour petit axe une longueur qui varie avec la charge. Dans nos expériences sur l'orifice carré de 20 centimètres de côté, avec le dispositif de la figure 16, ce contour était si nettement dessiné, qu'il semblait être en quelque sorte en relief sur le reste de la surface du fluide; son grand diamètre était toujours appuyé au plan qui contient l'orifice, tandis que le petit était situé sur la direction même du filet central du courant. La longueur de ces deux lignes augmentait successivement avec la charge

de liquide, mais celle de la première beaucoup plus rapidement que celle de la seconde, jusqu'à ce que, cette charge ayant atteint environ 1 mètre sur le centre de l'ouverture, on n'apercevait plus aucune trace du phénomène. Nous aurions vivement désiré relever, sous diverses charges, plusieurs points du contour elliptique et de l'espace qu'il enveloppait; mais il n'était visible que par instant et disparaissait tout à coup, sans cause apparente, pour reparaître ensuite. Nous n'avons pu mesurer que ses deux diamètres sous la charge de  $0^m,1220$  sur le centre de l'orifice; le plus grand avait alors  $1^m,00$  et le plus petit  $0^m,33$ .

116. Ce phénomène ne s'est pas manifesté de la même manière dans le cas du dispositif de la figure 4, où l'orifice débouche librement dans l'air au lieu d'être prolongé par un canal, comme dans le cas précédent. Mais, nous en avons constaté les effets au moyen de sections de la surface du liquide dans le réservoir, que nous avons relevées dans ce but spécial, et que nous avons indiquées dans le tableau suivant, pour les orifices de 20 et de 10 centimètres de hauteur sur 20 centimètres de base.

Ce tableau ne comprend que la moitié de chaque section transversale, quoique nos opérations se soient étendues à la même distance des deux côtés du centre de l'orifice; mais, comme les deux moitiés sont exactement les mêmes, il suffit d'en reproduire une seule. Les neuf premières ordonnées, à partir du centre de l'orifice, sont seules espacées de centimètre en centimètre, et les suivantes sont à des distances plus grandes et inégales entre elles, quoique nous ayons invariablement relevé tous les points des sections de centimètre en centimètre. Les chiffres de la colonne horizontale qui est en tête du tableau expriment, en centimètres, les distances de ces points au plan vertical passant par l'axe de l'orifice, et les colonnes suivantes donnent, en millimètres, les dépressions correspondantes de la surface du liquide.



ÉTAGE sur la base de l'orifice.	SECTION de la surface supérieure de l'équid. dans le réservoir. par un plan vertical	LES DISTANCES, ÉLÉVATIONS EN CENTIMÈRES, EN DIVERSES POINTS DES SECTIONS AU PLAN VERTICAL PASSANT PAR L'AXE DE L'ORIFICE ÉTAITÉ DE																	
		65	40	30	25	20	15	11	9	6	7	6	5	4	3	2	1	0	
		LES DÉPRESSIONS CORRESPONDANTES DE LA SURFACE DE L'EAU, ÉLÉVATIONS EN MILLIMÈTRES, SONT DE																	
ORIFICE CARRÉ DE 0 <sup>m</sup> ,30 DE CÔTÉ.																			
0 <sup>m</sup> ,2201	Parallèle à l'orifice, à 1,3 centimètres en amont.....	0,1	0,6	1,1	2,4	4,5	7,0	10,0	13,0	15,5	17,5	19,0	20,5	21,5	22,0	22,2	22,3	22,3	22,3
	Parallèle à l'orifice, à 7,7 centimètres en amont.....	0,2	0,8	1,5	3,0	5,2	8,2	11,5	15,0	18,5	21,5	24,0	26,0	27,5	28,5	29,0	29,2	29,3	29,3
	Parallèle à l'orifice, à 14,4 centimètres en amont.....	0,7	0,8	1,7	3,0	4,0	4,6	4,7	4,3	4,5	4,5	4,4	4,5	4,5	4,6	4,6	4,6	4,6	4,6
	Perpendiculaire à l'orifice et passant par son axe.....	0,2	1,3	2,5	4,0	5,5	6,5	7,0	7,7	8,4	9,0	10,0	10,5	10,7	9,1	7,2			
0,12251	Parallèle à l'orifice, à 5,4 centimètres en amont.....	0,3	0,5	1,1	1,6	2,0	2,5	3,0	3,5	4,0	4,5	4,8	5,0	5,1	5,2	5,2	5,2	5,2	5,2
	Perpendiculaire à l'orifice et passant par son axe.....	0,4	0,7	1,2	1,7	2,0	2,4	2,8	3,2	3,5	3,8	4,0	4,2	4,3	4,3	4,3	4,3	4,3	4,3
ORIFICE DE 0 <sup>m</sup> ,10 DE HAUTEUR ET 0 <sup>m</sup> ,30 DE BASE.																			
0,1225	Parallèle à l'orifice, à 3,4 centimètres en amont.....	0,1	0,4	0,6	0,9	1,2	1,5	1,8	2,1	2,4	2,6	2,8	2,9	3,0	3,0	3,0	3,0	3,0	3,0
	Perpendiculaire à l'orifice et passant par son axe.....	0,3	0,5	0,6	0,9	1,2	1,5	1,8	2,1	2,4	2,6	2,8	2,9	3,0	3,0	3,0	3,0	3,0	3,0

117. Ce tableau montre, en ce qui concerne l'orifice de 20 centimètres de hauteur sous la charge de 0<sup>m</sup>,2201 sur sa base, que la dépression commence à se faire sentir à environ 0<sup>m</sup>,40 en amont de cet orifice, dans le plan vertical passant par son axe, et à environ 0<sup>m</sup>,45, 0<sup>m</sup>,40 et 0<sup>m</sup>,30 de chaque côté de ce plan, perpendiculairement à sa direction, aux distances respectives de 1.3, 7.7 et 14.4 centimètres en amont de l'ouver-

ture. La plus forte dépression, dans ce même plan, se trouve à environ 4 centimètres en amont de l'orifice, et excède d'à peu près  $\frac{1}{11}$  celle qui correspond à la distance de 2 centimètres, où nous avons toujours fait relever les charges de liquide (114); mais elle est elle-même surpassée de près de  $\frac{1}{4}$  et  $\frac{1}{3}$  de sa valeur, pour celles qui ont lieu à 1 et à 6 centimètres de chaque côté de ce plan et à 1,3 centimètres en amont de l'orifice. On remarquera que la section transversale faite à cette distance, coupe un remous qui se forme contre l'ouverture, et y occupe un espace d'environ 11 centimètres de largeur totale sur 3 à 4 dans le sens du courant, et dont la surface supérieure est irrégulière.

Pour ce même orifice, la surface déprimée est sensiblement plus étendue dans tous les sens, lorsque la charge sur la base est de 0<sup>m</sup>.2251, que quand elle n'est que de 0<sup>m</sup>.2201, bien que la différence entre ces deux charges ne soit que de 5 millimètres. Ce résultat confirme ce que nous avons dit au n° 115, d'après des observations faites simplement à la vue, au sujet de l'agrandissement successif du contour qui limite la surface déprimée, au fur et à mesure que la charge de liquide augmente. D'où il résulte que, toutes choses égales d'ailleurs, plus cette surface est grande, plus la valeur absolue de la dépression maxima est petite, puisque cette valeur est d'autant plus considérable que la charge est plus faible, comme l'ont déjà démontré nos expériences sur les orifices en mince paroi, et comme on le verra plus loin pour tous les autres dispositifs.

118. Les dépressions sont si variables dans le voisinage de l'orifice, que, s'il s'agissait d'en calculer la dépense, on pourrait commettre, en certains cas, des erreurs notables dans son évaluation, si l'on mesurait la charge près de cet orifice, en un point autre que celui où les formules dont on fait usage pour ce calcul supposent qu'on la relève. Ainsi, pour le dispositif de la figure 18, où les bords verticaux de l'ouverture sont inégalement éloignés des parois correspondantes du réservoir, le liquide, jusqu'à une certaine distance en amont, s'élève plus d'un

côté de ce réservoir que de l'autre, en sorte que pour l'orifice de 20 centimètres de hauteur, par exemple, sous une charge de  $0^m,1220$  sur son centre, mesurée en un point où le fluide est stagnant, la dépression à 2 centimètres en amont de cette ouverture est de 2 centimètres vis-à-vis l'un de ses bords et de 3,06 vis-à-vis l'autre. La charge près de l'orifice serait donc de  $0^m,1220 - 0^m,02 = 0^m,1020$  ou de  $0^m,1220 - 0^m,0306 = 0^m,0914$ , selon qu'on la prendrait dans le plan vertical qui contient l'un ou l'autre de ses côtés verticaux, tandis que, mesurée dans celui qui passe par l'axe vertical de cet orifice, elle est de  $0^m,1220 - 0^m,0236 = 0^m,0958$  (tabl. n° XIII). Or, la vitesse théorique due à cette troisième charge, est de  $\frac{1}{3}$  de sa valeur plus faible que celle qui correspond à la première, et de  $\frac{1}{15}$  plus forte que celle qui se rapporte à la seconde. Telles seraient donc les erreurs qu'on pourrait commettre, en pareil cas, dans l'évaluation de la dépense de cet orifice, si, faisant usage de nos tables qui supposent que les charges sont mesurées à 2 centimètres en amont, dans le plan vertical qui contient l'axe de l'ouverture, on la relevait à une certaine distance à droite ou à gauche de ce plan.

119. Le cas que nous venons de citer offre un exemple de l'effet produit par l'adhérence du liquide contre le bord supérieur de l'orifice. Car, puisque les charges prises à 2 et même à 3 centimètres en amont ne sont que de  $0^m,0958$  vis-à-vis le centre de cet orifice, et de  $0^m,0914$  vis-à-vis l'un de ses côtés verticaux, tandis que la demi-hauteur de l'ouverture est de  $0^m,10$ , il s'ensuit que son bord supérieur est, en ces deux points, plus élevé que la surface du liquide dans le réservoir de 4,2 et 8,6 millimètres, et que, par conséquent, ce liquide s'abaisserait d'une certaine quantité au-dessous de ce bord, s'il n'y était retenu par l'adhérence.

Un fait analogue s'est produit pour les orifices de 60 centimètres de base sur 5 et 3 de hauteur. Le liquide ne s'est détaché de la face inférieure d'une vanne de 5 centimètres d'épaisseur, que lorsque son niveau général, relevé à  $3^m,50$  en amont,

a été descendu respectivement de 4,5 et de 3,5 millimètres au-dessous des bords supérieurs de ces deux ouvertures. Or, la surface de l'eau, près des orifices, était alors de 5 et de 4 millimètres au-dessous du niveau général mesuré à 3<sup>m</sup>,50 en amont; donc elle se trouvait abaissée de 9,5 et de 7,5 millimètres au-dessous des bords supérieurs des orifices.

120. Cet effet de l'adhérence varie d'ailleurs selon les dimensions des ouvertures et les circonstances dans lesquelles elles se trouvent placées. Pour nous en rendre compte, nous avons, dans quelques cas, fait baisser très-lentement le niveau du fluide dans le réservoir, jusqu'à ce qu'il abandonnât le bord supérieur de l'orifice, et nous l'avons ensuite fait monter jusqu'à ce qu'il s'attachât de nouveau à ce bord. La différence entre les charges correspondantes à ces deux instants donne, sinon la mesure, au moins une idée de l'effet dont il s'agit. Les charges ont été relevées à 3<sup>m</sup>,50 en amont avec toute l'exactitude possible, mais on n'a pu saisir qu'à la vue l'instant où le liquide s'attachait à la paroi supérieure ou s'en détachait, en sorte que les résultats indiqués ci-après ne doivent être considérés que comme approximatifs.

ORIFICES ayant 0 <sup>m</sup> ,30 de base et des hauteurs de	CHARGES SUR LE NIVEAU DE L'ORIFICE, MESURÉES À 3 <sup>m</sup> ,50 EN AMONT, CORRESPONDANT À L'INSTANT OÙ LE LIQUIDE					
	se détache du bord supérieur de l'ouverture,			s'attache au bord supérieur de l'ouverture,		
	lorsqu'on fait baisser le niveau de l'eau dans le réservoir,			lorsqu'on fait monter le niveau de l'eau dans le réservoir,		
	dans le cas des dispositifs des figures			dans le cas des dispositifs des figures		
	5.	6.	7.	5.	6.	7.
centimètres.	mètres.	mètres.	mètres.	mètres.	mètres.	mètres.
30	0,0300	0,1028	0,1501	0,0371	0,1285	0,2715
10	0,0217	0,0490	"	0,0237	0,0501	"
5	0,0165	0,0297	"	0,0166	0,0308	"
3	0,0126	0,0213	"	0,0126	0,0215	"
2	0,0108	"	"	0,0109	"	"
1	"	0,0096	"	"	0,0101	"

On voit, par ce tableau, que les différences entre les charges

correspondantes aux deux instants que nous considérons sont, pour un même dispositif, d'autant plus fortes que l'ouverture est plus grande. Pour celle de 20 centimètres de hauteur et les dispositifs des figures 5, 6 et 7, ces différences sont respectivement de 7.1, 25.8 et 91.3 millimètres. On fera remarquer que, dans ce dernier dispositif, les faces du réservoir contiennent les côtés verticaux de l'orifice, et doivent par conséquent ajouter, jusqu'à un certain point, leur action à celle du bord supérieur, pour y retenir le liquide après que son niveau est descendu au-dessous de ce bord. Dans ce même cas, le fluide, à l'instant où il se détache de la paroi supérieure, s'abaisse brusquement d'une quantité notable sans que le niveau à 3<sup>m</sup>,50 en amont ait varié; et, lorsqu'au contraire il s'attache à cette paroi, il se forme tout à coup un fort remous dans le réservoir, immédiatement contre l'orifice.

121. Dans les expériences relatives à la dépense des orifices, nous avons toujours mesuré simultanément les charges de liquide à 2 centimètres et à 3<sup>m</sup>,50 en amont de ces orifices. Ces charges sont consignées sur les tableaux numérotés de I à XVII, et il suffira d'en prendre la différence pour avoir les dépressions correspondantes de la surface du fluide. Mais il nous reste à faire connaître celles dont la détermination a fait l'objet de séries d'opérations spéciales, afin d'en mieux étudier la loi, et tel est l'objet des deux tables suivantes.

Toutes ces dépressions résultent de sections de la surface supérieure du liquide, dans le réservoir, par le plan vertical passant par l'axe de l'orifice, que nous avons relevées, de centimètre en centimètre, sur une longueur de 20 centimètres à partir de cette ouverture, pour les dispositifs des figures 4 et 16. Mais nous avons reconnu, après coup, qu'il aurait suffi d'opérer sur une étendue de 10 ou 12 centimètres, puisque la dépression maxima que nous cherchions se trouve, dans ces cas, au plus à 9 centimètres en amont de l'orifice, pour les fortes charges, et à 4 ou 5 centimètres pour les faibles.

122. Nous nous sommes borné, pour ces deux dispositifs, à indiquer dans la table, afin de ne pas l'allonger inutilement, la dépression à 2 centimètres en amont de l'orifice et sa valeur maxima dans chaque section, lesquelles, du reste, ne diffèrent sensiblement entre elles que pour les basses charges de liquide.

TABLE DES DÉPRESSIONS ÉPROUVÉES, DANS LE RÉSERVOIR, PAR LA SURFACE DE LIQUIDE, DANS LE CAS DES ORIFICES FERMÉS À LEUR PARTIE SUPÉRIEURE, AVEC LES DISPOSITIFS DES FIGURES 4 ET 16.

DÉSIGNATION		STRATÉGIE des expériences.	CHARGE TOTALE de liquide sur le bas de l'orifice.	DÉPRESSION dans le plus vertical passant par l'axe de l'orifice.	
de l'orifice.	de dispositif.			prise à 0 <sup>m</sup> ,02 en amont de l'orifice.	maxima.
1	2	3	4	5	6
		1	1,2731	0,3	0,4
		2	1,4668	0,3	0,4
		3	1,3659	0,4	0,5
		4	1,0001	0,4	0,5
		5	0,7099	0,6	0,7
		6	0,7091	0,6	0,7
		7	0,8185	0,7	0,8
		8	0,8091	0,8	0,9
		9	0,4091	1,1	1,2
		10	0,4001	1,2	1,3
		11	0,3641	1,3	1,3
		12	0,3699	1,3	1,3
		13	0,3001	2,3	2,5
		14	0,2661	2,0	2,0
		15	0,2791	2,0	2,3
		16	0,2035	3,1	3,5
		17	0,2601	3,4	3,8
		18	0,2379	4,0	4,5
		19	0,2551	4,1	4,0
		20	0,2561	4,1	4,6
		21	0,2651	4,4	5,0
		22	0,2401	5,0	5,6
		23	0,2375	5,4	6,0
		24	0,2361	5,0	6,8
		25	0,2361	6,0	7,6
		26	0,2261	7,6	8,4
		27	0,2261	9,7	10,6
		28	0,2000	-	20,1
		29	0,5005	0,5	0,6
		30	0,5589	1,1	1,3
		31	0,5029	1,2	1,5

0<sup>m</sup>,20 de base sur 0<sup>m</sup>,20  
de hauteur . . . . .

Figure 4 . . . . .

Figure 16 . . . . .

Suite de la TABLE DES DÉPRESSIONS ÉPROUVÉES, DANS LE RÉSERVOIR, PAR LA SURFACE DU LIQUIDE, DANS LE CAS DES ORIFICES PERMÉS À LEUR PARTIE SUPÉRIEURE, AVEC LES DISPOSITIFS DES FIGURES 4 ET 16.

dénomination		vérité du expériment	cotes totales de liquide sur la base de l'orifice.	dépressions dans le plan vertical passant par l'axe de l'orifice.	
de l'orifice.	de dispositif.			prise à 0 <sup>m</sup> ,05 au sommet de l'orifice.	maxima.
1	2	3	4	5	6
			mètres.	millimètres	millimètres
0 <sup>m</sup> ,30 de base sur 0 <sup>m</sup> ,30 de hauteur. (Saine.)	Figure 16..... (Saine.)	32	0,3090	3,9	3,6
		33	0,3516	4,0	5,1
		34	0,3370	5,1	0,8
		35	0,3230	7,5	5,2
		36	0,3211	8,0	6,7
		37	0,3000	-	15,5
		38	1,4758	0,4	0,4
		39	1,1509	0,5	0,5
		40	0,5483	0,5	0,7
		41	0,3545	0,6	0,8
0 <sup>m</sup> ,30 de base sur 0 <sup>m</sup> ,10 de hauteur.	Figure 4.....	42	0,1871	1,5	1,8
		43	0,1788	2,5	2,9
		44	0,1699	2,8	2,0
		45	0,1560	3,0	3,4
		46	0,1404	3,3	2,7
		47	0,1384	4,0	5,4
		48	0,1274	2,7	0,2
		49	0,1225	7,4	8,1
		50	6,1210	8,6	0,4
		51	0,1000	-	10,8
0 <sup>m</sup> ,30 de base sur 0 <sup>m</sup> ,05 de hauteur.	Figure 4.....	52	1,0259	0,3	0,3
		53	1,4001	0,4	0,4
		54	1,0901	0,6	0,6
		55	0,7325	0,7	0,7
		56	0,7001	0,7	0,7
		57	0,5001	0,6	0,0
		58	4,4027	0,4	0,0
		59	6,3001	0,0	1,1
		60	0,3644	0,0	1,1
		61	0,3071	1,2	1,4
		62	0,1648	1,2	1,5
		63	0,1501	1,6	1,8
		64	0,1041	2,7	3,0
		65	0,0651	4,2	4,5
		66	0,0691	4,2	4,6
		67	0,6731	0,0	5,8
		68	0,0701	0,2	0,7
		69	0,0680	7,2	7,7
		70	0,0661	4,0	8,8
		71	0,0500	-	15,2

Suite de la TABLE DES DÉPRESSIONS ÉPROUVÉES, DANS LE RÉSERVOIR, PAR LA SURFACE DU LIQUIDE, DANS LE CAS DES ORIFICES FERMÉS À LEUR PARTIE SUPÉRIEURE, AVEC LES DISPOSITIFS DES FIGURES 1 ET 16.

réservoir		hauteurs des expériences.	ERRATS TOYANS de la liquide sur la base de l'orifice.	dépression dans le plan vertical passant par l'axe de l'orifice,	
de l'orifice.	de dispositif.			prise à 0 <sup>m</sup> ,02 en avant de l'orifice.	maxima.
1	2	3	4	5	6
			centim.	millimètres.	millimètres.
0 <sup>m</sup> ,20 de base sur 0 <sup>m</sup> ,00 de hauteur. (Suite.)	Figure 16.....	72	0,2373	0,3	0,4
		73	0,1308	1,7	1,9
		74	0,0716	2,0	2,3
		75	0,0513	3,5	3,9
		76	0,0500	"	5,0
		77	1,4050	0,1	0,1
		78	1,0113	0,2	0,2
		79	0,7081	0,3	0,3
		80	0,5001	0,3	0,3
		81	0,3001	0,3	0,3
0 <sup>m</sup> ,20 de base sur 0 <sup>m</sup> ,03 de hauteur.	Figure 3.....	82	0,3001	0,4	0,5
		83	0,1501	0,4	0,5
		84	0,1001	1,7	1,9
		85	0,0501	2,3	2,4
		86	0,0701	2,4	2,7
		87	0,0601	2,0	2,9
		88	0,0514	3,2	3,0
		89	0,0501	2,7	4,1
		90	0,0451	5,7	6,2
		91	0,0423	9,3	9,7
0 <sup>m</sup> ,20 de base sur 0 <sup>m</sup> ,01 de hauteur.	Figure 4.....	92	1,5676	0,1	0,1
		93	1,2013	0,1	0,1
		94	0,6020	0,2	0,2
		95	0,5031	0,3	0,3
		96	0,5001	0,4	0,4
		97	0,1001	1,0	1,1
		98	0,0601	1,0	1,1
		99	0,0401	1,1	1,3
		100	0,0301	1,2	1,4
		101	0,0251	2,0	2,3
102	0,0201	3,2	3,3		
103	0,0131	5,1	5,5		

On remarquera que les résultats relatifs aux expériences 28, 51 et 71 (dispositif de la fig. 4) et 37 et 76 (dispositif de la fig. 16) n'ont point été obtenus, comme tous les autres, à l'aide de mesures directes, mais en observant simplement à la vue l'ins-



tant où le liquide, en s'élevant, atteignait le bord supérieur de l'orifice, dans le premier cas, et celui où il se détachait au contraire de ce bord lorsque le niveau de l'eau s'abaissait, dans le second cas. Cette circonstance explique la différence notable qu'il y a entre les charges correspondantes à l'instant dont il s'agit, pour le même orifice (120). Il devait naturellement y en avoir une dans ces deux cas distincts, puisque l'orifice qui, dans le dispositif de la figure 4, débouche librement dans l'air, est prolongé par un canal au dehors du réservoir dans celui de la figure 16; mais elle aurait sans doute été moindre, si l'on avait fait les expériences, pour l'un comme pour l'autre, lorsque le niveau général s'élevait ou s'abaissait dans le réservoir.

123. Pour les dispositifs des figures 6, 10 et 19, il se forme à l'entrée du réservoir, comme on l'a déjà dit, une chute plus ou moins prononcée, selon la grandeur de l'orifice qu'il alimente et la charge de liquide. Nous avons relevé la section de l'eau par le plan de ce déversoir, et nous avons indiqué dans la table suivante (colonne 5) la dépression moyenne dans ce plan, déduite de l'aire entière de la section, indépendamment de celle qui correspond au centre de celle-ci (colonne 6). La septième colonne donne la dépression correspondante au point le plus bas de la chute du liquide, à sa sortie du déversoir; la suivante fait connaître la plus forte dépression qu'il y ait dans une étendue de 1 mètre à partir de l'orifice; enfin, la neuvième contient les dépressions à 2 centimètres en amont de cet orifice. Toutes les sections de la surface du liquide, dans le réservoir, qui se rapportent aux trois dispositifs qui nous occupent, sont dessinées et cotées sur les planches 7, 8, 9, 10, 11, 20, 21 et 22.

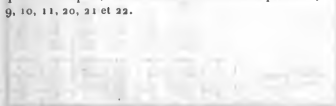


TABLE DES DÉPRESSIONS ÉPROUVÉES, DANS LE RÉSERVOIR, PAR LA SURFACE DU LIQUIDE, DANS LE CAS DES ORIFICES FERMÉS À LEUR PARTIE SUPÉRIEURE, AVEC LES DISPOSITIFS DES FIGURES 6, 10 ET 19.

DESCRIPTION		ÉTENDUE des expériences	CRASSE totale de liquide au lieu de l'orifice	DÉPRES- SION admesa dans le plan de dépression, à l'entrée du réservoir.	DÉPRESSION DANS LE PLAN VERTICAL passant par l'axe de l'orifice.				
de l'orifice	de dépense				au centre de dépression, à l'entrée du réservoir.	au centre de dépression, à l'entrée du réservoir.	au point le plus bas de la chute du liquide, après le centre de dépression.	sur une longueur de 1 mètre, à partir de l'orifice.	à 8 centimètres de l'orifice.
1	2	3	4	5	6	7	8	9	
0 <sup>m</sup> .20 de base sur 0 <sup>m</sup> .20 de hauteur.	Figure 6.....	1	1,2587	10,2	8,0	22,2	18,0	9,7	
		2	1,1292	11,8	10,6	32,0	15,0	9,5	
		3	0,8735	13,7	12,1	45,3	16,2	12,0	
		4	0,5711	17,3	15,0	68,2	20,1	13,1	
		5	0,3730	20,7	18,0	93,0	20,5	13,2	
		6	0,3780	22,5	20,5	115,0	22,1	17,0	
		7	0,5041	23,8	22,7	120,0	21,1	18,3	
	Figure 10.....	8	0,3041	5,1	5,0	14,5	8,3	3,0	
		9	1,6025	15,0	15,0	18,3	13,0	13,0	
		10	1,9105	22,6	20,0	34,2	22,0	17,3	
0 <sup>m</sup> .20 de base sur 0 <sup>m</sup> .10 de hauteur.	Figure 10.....	11	0,5095	25,9	25,1	91,3	26,0	22,0	
		12	0,3620	28,3	28,0	71,8	24,8	23,8	
		13	1,0636	4,3	4,2	7,4	4,0	3,8	
	Figure 5.....	14	1,9127	3,7	4,0	9,6	4,7	4,7	
		15	0,5618	8,5	7,4	17,3	7,3	7,1	
		16	0,3593	10,3	3,8	20,7	18,2	7,8	
		17	0,1908	15,3	13,8	49,0	28,1	15,3	
	0 <sup>m</sup> .20 de base sur 0 <sup>m</sup> .05 de hauteur.	Figure 5.....	18	0,1523	18,8	15,0	65,2	39,0	20,3
			19	1,6644	2,0	3,1	4,3	2,0	2,8
			20	1,3884	-	-	-	2,7	2,7
Figure 8.....		21	1,0792	-	-	-	3,2	2,3	
		22	0,3090	3,2	3,3	5,0	4,7	3,1	
		23	0,5183	3,4	3,3	9,1	5,1	3,3	
		24	0,2145	6,0	5,5	12,5	3,0	3,1	
Figure 10.....		25	0,1168	3,1	7,8	21,4	12,1	7,0	
		26	0,0856	3,6	6,8	28,3	13,0	11,3	
		27	0,5090	0,2	0,2	3,7	9,0	2,0	
	28	0,3375	3,9	3,0	5,3	4,2	3,1		
	29	0,1208	6,8	5,1	15,1	8,1	5,8		
	30	0,0636	7,3	5,3	16,0	8,1	6,1		
0 <sup>m</sup> .20 de base sur 0 <sup>m</sup> .03 de hauteur.	Figure 9.....	31	1,0560	5,0	5,6	3,3	2,3	2,3	
		32	1,5095	2,3	2,0	4,4	3,8	3,8	
		33	1,9151	3,1	2,1	3,7	2,7	2,3	
		34	3,7583	3,4	2,4	2,9	3,0	2,8	
		35	0,3658	3,8	3,0	3,0	3,0	3,8	
		36	6,1663	3,5	3,9	6,9	4,3	3,0	
		37	0,0661	9,0	7,4	16,5	12,4	9,7	
0 <sup>m</sup> .20 de base sur 0 <sup>m</sup> .01 de hauteur.	Figure 8.....	38	1,0236	1,2	1,3	1,3	2,7	1,7	
		39	1,4632	1,4	1,4	1,4	2,3	1,8	
		40	3,0978	1,3	1,8	1,0	1,9	1,5	
		41	0,3181	1,8	1,3	1,8	2,2	2,2	
		42	0,3152	2,0	2,0	2,5	2,3	2,8	
		43	5,0214	4,1	4,1	3,1	3,7	6,4	

## § 4.

## DÉPRESSIONS ÉPROUVÉES.

DANS LES RÉSERVOIR, PAR LA SURFACE SUPÉRIEURE DU LIQUIDE.

DANS LE CAS DES ORIFICES DÉCOUVERTS OU EN DÉVERSOIR.

## NECESSITÉ DE DÉDUIRE LA CHARGE TOTALE

SUR LA BASE DES DÉVERSOIRS, DE LA CHARGE MOYENNE DANS LE PLAN DE CES ORIFICES,  
LORSQU'ON NE PEUT PAS LA MESURER DIRECTEMENT.

124. Les formules qui servent à calculer la dépense des déversoirs, supposent qu'on connaît la charge *totale* de fluide, prise en amont ou sur les côtés de l'orifice, en un point où le liquide est parfaitement stagnant. Dans la pratique, la détermination *directe* de cette charge est souvent fort difficile et quelquefois même impossible, soit à cause des obstacles que présentent les localités, soit par suite des circonstances particulières dans lesquelles le déversoir se trouve placé, comme, par exemple, lorsque le liquide, avant d'y arriver, est animé d'une vitesse dont la hauteur génératrice est inconnue.

125. D'après Dubuat (*Principes d'hydraulique*, t. 1, p. 201, §§ 144-145), il faut, pour avoir la charge *totale* dans ce dernier cas, prendre la plus grande hauteur d'eau en amont du déversoir, et y ajouter la hauteur due à la vitesse moyenne acquise en ce point, et qui s'obtient en divisant la dépense effective par l'aire de la section transversale du courant en ce même point. Par ce moyen, on évalue la charge lorsque la dépense effective est donnée *a priori*; mais, le plus souvent on ne connaît à l'avance ni l'une ni l'autre de ces deux quantités, et alors il faut procéder dans un ordre inverse, c'est-à-dire qu'il faut chercher d'abord la charge et en déduire, s'il y a lieu, la dépense au moyen des formules en usage. On est donc forcé, après avoir trouvé la plus grande hauteur d'eau en amont du déversoir, de mesurer *directe-*

ment la vitesse moyenne du courant en ce point. Or, les instruments dont on peut se servir pour cela n'offrent pas par eux-mêmes une très-grande précision, et la détermination de la plus grande hauteur d'eau, en amont du déversoir, ne doit pas être chose facile dans la pratique, puisque, même dans ses expériences, Dubuat (§ 145) a éprouvé, pour son appréciation, des difficultés telles, qu'il déclare ne pas pouvoir garantir la justesse de ses mesures à une ligne près, ou de  $\frac{1}{25}$  à  $\frac{1}{20}$  près, puisqu'il s'agissait de hauteurs d'eau sur la base du déversoir qui ont varié de 72,7 à 15 lignes.

126. On ne peut donc, par ce double motif, espérer d'obtenir, dans la pratique, une grande exactitude en suivant ce mode d'évaluation de la charge. En outre, quelque rigoureuses qu'on suppose les opérations, le résultat qu'elles fournissent est notablement plus faible que celui qu'on trouve en relevant directement la charge en un point où le liquide est parfaitement stagnant, lorsque la largeur du réservoir diffère peu de celle du déversoir, et que, par conséquent, la vitesse acquise par le fluide, à son arrivée dans la sphère d'activité de l'orifice, est considérable et a dès lors une grande influence sur le produit de l'écoulement.

Pour mettre ce fait en évidence, nous avons réuni, dans le tableau suivant, quelques résultats de nos expériences concernant les dispositifs des figures 6 et 19 (pl. 1 et 2). Dans le premier de ces dispositifs, le déversoir débouche librement dans l'air, et dans le second il est prolongé par un canal de même largeur, rectangulaire et découvert, disposé horizontalement au dehors du réservoir. Dans l'un et dans l'autre, la base du déversoir est au niveau du fond du réservoir qui est horizontal; sa largeur  $l$  est de 0<sup>m</sup>,20, et celle  $L$  du réservoir est de 0<sup>m</sup>,24, en sorte que

$$\frac{l}{L} = \frac{5}{6}.$$

Pour chaque charge, nous avons déterminé avec le plus grand soin le point le plus haut des remous, en faisant, dans toute la longueur du réservoir, par les moyens que nous avons décrits (47),

une section de la surface de l'eau par un plan perpendiculaire à celui du déversoir et passant par son axe. Ces sections sont dessinées sur les planches 27 et 32. La vitesse moyenne acquise par le liquide, au point le plus haut des remous, a été obtenue en divisant la dépense effective par l'aire de la section transversale du réservoir en ce point, et cette dépense a été prise dans les tableaux XIX et XXII, qui contiennent le détail des expériences, ou a été calculée d'après la table des coefficients (tabl. XXXIX), qui est elle-même déduite des tableaux détaillés. Enfin, nous ferons remarquer que la profondeur d'eau en un point quelconque du réservoir, exprime la charge sur la base du déversoir prise en ce même point, puisque cette base est au niveau du fond du réservoir, qui est lui-même horizontal.

CHARGE totale mesurée directement au point où le liquide est stagnant, en valeur de $h_1$ .	DÉPENSE effective par seconde, en valeur de $E$ .	PROFONDEUR d'eau dans le réservoir au point le plus haut des remous, en valeur de $p$ .	VITESSE moyenne acquise par le liquide, au point le plus haut des remous, en valeur de $v$ .	DÉPENSE relative à la vitesse moyenne $v$ , en valeur de $\frac{E}{v}$ .	CHARGE totale calculée d'après la vitesse moyenne au point le plus haut des remous, en valeur de $h_2$ .	DÉPENSE VÉRIFIÉE relative à la charge totale		VALEUR des rapports.	
						$h_1$ , en valeur de $\frac{E}{v}$ .	$h_2$ , en valeur de $\frac{E}{v}$ .	$\frac{h_1}{h_2}$ .	$\frac{d_1}{d_2}$ .
1	2	3	4	5	6	7	8	9	10
<b>DISPOSITIF DE LA FIGURE 6.</b>									
mètres.	litres.	mètres.	mètres.	mètres.	mètres.	litres.	litres.		
0,1417	18,095	0,0910	0,8285	0,8350	0,1260	47,246	39,612	0,8892	0,8384
0,1060	11,676	0,0718	0,6777	0,6734	0,0932	30,570	26,016	0,8981	0,8510
0,0592	4,719	0,0414	0,4740	0,4114	0,0628	12,726	10,750	0,8918	0,8428
0,0307	1,606	0,0210	0,3187	0,0662	0,0962	4,760	3,728	0,8234	0,7887
0,0218	0,812	0,0150	0,2390	0,0029	0,0158	2,851	2,281	0,8024	0,8001
0,0114	0,317	0,0085	0,1554	0,0012	0,0097	1,078	0,860	0,8000	0,7882
<b>DISPOSITIF DE LA FIGURE 19.</b>									
0,2064	26,926	0,1690	0,6621	0,6923	0,1918	83,064	74,418	0,9292	0,8908
0,1029	6,782	0,0896	0,4693	0,0685	0,0970	29,260	27,146	0,9311	0,9284
0,0605	3,618	0,0523	0,2912	0,0043	0,0565	13,162	11,896	0,9359	0,9024
0,0146	2,002	0,0270	0,2186	0,0034	0,0410	8,314	7,488	0,9005	0,8974

127. Les deux dernières colonnes de ce tableau démontrent qu'en substituant à la charge totale  $h_1$ , mesurée directement en un point où le liquide est parfaitement stagnant, la charge  $h_2$ , évai-

luée comme l'indique Dubuat, on commettrait des erreurs qui, pour cette dernière charge et pour la dépense théorique correspondante, et par suite pour la dépense effective qu'on en déduirait, s'élèveraient moyennement à environ  $\frac{1}{4}$  et  $\frac{1}{4}$  de leurs valeurs respectives, dans le cas du dispositif de la figure 6, et à environ  $\frac{1}{8}$  et  $\frac{1}{10}$  dans celui de la figure 19. On se rend d'ailleurs aisément compte de ces résultats en faisant attention que, par la méthode de Dubuat, on ne tient compte que de la vitesse moyenne déduite de l'aire entière du courant, tandis que celle de la portion de ce courant qui seule va au déversoir est évidemment plus grande.

Nous avons cru entrevoir qu'en opérant sur la section de la veine par le plan même du déversoir, comme on l'a fait sur la section transversale du réservoir, au point le plus haut des remous, pour établir les calculs qui précèdent, on pourrait reproduire la charge totale telle que nous l'avons définie. Sa détermination aurait été ainsi beaucoup plus facile dans la pratique, et aurait présenté plus de chances d'exactitude. Mais nos prévisions ne se sont réalisées que pour le dispositif de la figure 6 et les charges qui excèdent 0<sup>m</sup>,06; car, pour celui de la figure 10, qui diffère du précédent en ce que la base du déversoir est élevée de 0<sup>m</sup>,54 au-dessus du fond du réservoir, au lieu d'être au même niveau, les résultats donnés par cette méthode sont trop forts d'environ  $\frac{1}{10}$ , et ils sont au contraire trop faibles d'environ  $\frac{1}{25}$  pour le dispositif de la figure 19.

128. On ne peut donc, sans commettre dans certains cas de graves erreurs, déterminer la charge totale d'après la vitesse acquise par le liquide en amont du déversoir. C'est pourquoi nous avons cherché à établir, entre cette charge et la charge moyenne dans le plan même de l'orifice, pour tous les cas où celui-ci n'est pas entièrement isolé des parois du réservoir, une relation analogue à celle que nous avons trouvée pour le dispositif de la figure 1; et qui permet de déduire avec beaucoup d'exactitude l'une de ces deux quantités de l'autre. (Mémoire de 1829,

n° 167). A cet effet, toutes les fois qu'il s'est agi de mesurer la dépense d'un déversoir, nous avons relevé avec le plus grand soin, par les procédés déjà décrits, la section de la surface de l'eau par le plan de cet orifice, et nous l'avons rapportée sur une ardoise graduée pour faciliter le calcul de la charge moyenne, que nous avons toujours évaluée immédiatement sur place, et qui figure sur les tableaux n° XIX, XX, XXI et XXII, relatifs aux produits des déversoirs. En outre, nous avons fait, dans ce seul but, pour quelques dispositifs, des séries d'opérations particulières dont les résultats ne sont pas compris dans ces tableaux, parce qu'ils ne concernent en rien les dépenses; mais, nous en avons indiqué tous les détails sur les planches numérotées de 25 à 32, et nous avons consigné, dans la table suivante, les charges moyennes déduites des aires entières des sections telles qu'elles sont cotées sur les planches, les épaisseurs effectives de la veine prises au centre de l'orifice et dans son plan, c'est-à-dire les ordonnées du centre de ces sections, enfin les rapports de ces deux quantités. Nous avons ajouté à cette table, pour l'intelligence de ce qui va suivre, les données obtenues antérieurement pour le dispositif de la figure 1 dont nous venons de parler, et qui sont insérées au n° 136 du mémoire de 1829.

TABLE DES CHARGES ET DES DÉPRESSIONS MOYENNES DANS LE PLAN D'UN DÉVERSOIR DE 0°,30 DE LARGEUR, POUR QUELQUES DISPOSITIFS QUI ONT ÉTÉ L'OBJET D'EXPÉRIENCES SPÉCIALES.

DATE des observations.	N <sup>o</sup> des Fiches.	DÉNOMINATION des dispositifs.	CHARGE		DÉPRESSIONS dans le plan de l'orifice. en valeur de H. — h. millim.	ÉPAISSEUR effective de la sape de liquide, prise en compte de l'orifice et dans sa plus, ou en dehors de la section, en valeur de h. millim.	RAPPORT de la charge moyenne à l'épaisseur effective de la sape, ou valeur de $\frac{H-h}{h}$ .	OBSERVATIONS.			
			totale de liquide, ou valeur de H.	surcharge due au jet de l'orifice, soustraite de l'une ou l'autre des valeurs de h.							
			a	b					6	7	8
Novembre et décembre 1887.....	1	Plaque 1, figure 1.	817,00	300,00	17,00	300,00	1,0000	Les résultats compris sous les numéros 1, 2, 3 et 4 n'ont point été retenus définitivement. Ils ont été obtenus par le simple observation, à la vue, de l'écoulement de la sape au détachement du bord supérieur des cratères de arcs, de 100 et de 50 millimètres de hauteur, pour former le déversoir.			
	2		160,30	164,50	13,90	164,50	1,0000				
	3		181,40	117,70	13,70	117,00	1,0005				
	4		113,00	100,00	13,00	100,00	1,0000				
Mai 1828.....	5	Plaque 2, figure 13.	73,90	62,19	10,61	62,19	1,0014	Pour l'expérience numéro 20, le bord supérieur de l'orifice n'est pas couvert de liquide à une extension et au-delà de son centre, et il se forme un remous dans l'intérieur du réservoir, en sorte que l'écoulement n'a pas lieu, pour cette charge, par un déversoir proprement dit; ainsi remarque-t-on un changement brusque dans la loi qui régit les dépressions 1°, pour des charges plus faibles.			
Décembre 1827.....	6		58,30	50,00	8,30	50,00	1,0000				
Décembre 1827.....	7		29,00	22,50	6,51	23,30	0,9727				
15 octobre 1828.....	8		812,90	300,00	13,90	300,00	1,0000				
14 idem.....	9	206,40	163,50	13,60	164,10	0,9369	Pour les charges totales au-dessous de 70 millimètres, la partie inférieure de la veine s'attache au chaudière, inclinée à 65° de l'écoulement vers l'avant, du manière auquel est faite la plaque au creux dans laquelle est percé l'orifice, et pour celles de même de 15 millimètres, l'écoulement n'est pour ainsi dire qu'une veine, qui suit à la fois le chaudière dans ce point de parler et celui de la base du déversoir.				
10 idem.....	10	176,00	164,50	11,20	166,80	1,0000					
14 idem.....	11	145,00	135,50	9,70	135,80	0,9560					
18 idem.....	12	120,50	112,10	8,40	112,10	1,0000					
18 idem.....	13	107,40	100,00	7,40	100,00	1,0000					
12 idem.....	14	109,90	88,50	7,30	93,00	1,0013					
16 idem.....	15	80,50	74,70	5,80	74,70	1,0000					
13 idem.....	16	60,00	55,00	5,00	55,40	0,9188					
13 idem.....	17	51,10	50,00	4,10	50,00	1,0000					
12 idem.....	18	64,90	41,00	3,00	41,30	1,0072					
16 idem.....	19	30,00	31,20	1,60	31,20	1,0000					
16 idem.....	20	32,10	30,00	2,10	30,00	1,0000					
3 idem.....	21	27,00	26,50	1,10	26,00	1,0075					
7 octobre 1829.....	22	Plaque 1, figure 4.	317,20	301,70	15,50	304,10		0,9832	Pour les charges totales au-dessous de 70 millimètres, la partie inférieure de la veine s'attache au chaudière, inclinée à 65° de l'écoulement vers l'avant, du manière auquel est faite la plaque au creux dans laquelle est percé l'orifice, et pour celles de même de 15 millimètres, l'écoulement n'est pour ainsi dire qu'une veine, qui suit à la fois le chaudière dans ce point de parler et celui de la base du déversoir.		
	23		308,10	190,50	17,70	190,60		0,9979			
	24		171,90	154,50	17,40	154,90		0,9581			
	25		136,10	113,50	16,60	118,70	0,9965				
23 idem.....	26	Plaque 1, figure 4.	92,10	73,70	16,40	74,90	1,0107	Pour les charges totales au-dessous de 70 millimètres, la partie inférieure de la veine s'attache au chaudière, inclinée à 65° de l'écoulement vers l'avant, du manière auquel est faite la plaque au creux dans laquelle est percé l'orifice, et pour celles de même de 15 millimètres, l'écoulement n'est pour ainsi dire qu'une veine, qui suit à la fois le chaudière dans ce point de parler et celui de la base du déversoir.			
	27		51,10	37,60	18,30	37,10	1,0180				
	28		46,00	37,50	13,50	37,10	1,0168				
	29		36,80	34,60	18,30	36,30	1,0133				
24 idem.....	30	Plaque 1, figure 4.	28,00	18,40	10,20	18,00	1,0222			Pour les charges totales au-dessous de 70 millimètres, la partie inférieure de la veine s'attache au chaudière, inclinée à 65° de l'écoulement vers l'avant, du manière auquel est faite la plaque au creux dans laquelle est percé l'orifice, et pour celles de même de 15 millimètres, l'écoulement n'est pour ainsi dire qu'une veine, qui suit à la fois le chaudière dans ce point de parler et celui de la base du déversoir.	
	31		19,70	11,60	8,10	11,80	0,9831				
	32		15,90	9,50	6,70	9,10	1,0110				
	33		8,00	5,30	8,40	5,10	1,0196				
25 idem.....	34	Plaque 1, figure 4.	5,30	3,10	5,16	3,20	0,9688				Pour les charges totales au-dessous de 70 millimètres, la partie inférieure de la veine s'attache au chaudière, inclinée à 65° de l'écoulement vers l'avant, du manière auquel est faite la plaque au creux dans laquelle est percé l'orifice, et pour celles de même de 15 millimètres, l'écoulement n'est pour ainsi dire qu'une veine, qui suit à la fois le chaudière dans ce point de parler et celui de la base du déversoir.
	35		4,00	2,90	1,70	3,00	0,9667				



**SUR LES LOIS DE L'ÉCOULEMENT DE L'EAU.**

85

Suite de la TABLE des CHARGES et DES DÉPRESSIONS MOYENNES DANS LE PLAN D'UN DÉVERSEUR de 0°,30 de LARGEUR,  
POUR QUELQUES DISPOSITIFS QUI ONT ÉTÉ L'OBJET D'EXPÉRIENCES SPÉCIALES.

DATES	STRE	DÉNOMINATION	CHARGE		DÉPRESSION MOYENNE dans le plan de l'écoulement	ÉPAISSEUR effective de la nappe de liquide, prise au centre de l'écoulement et dans une pile, ou épaisseur de la nappe, de l'écoulement, de	RAPPORT de la charge moyenne à l'épaisseur effective de la nappe, de —, d	OBSERVATIONS
			totale de liquide, en valeur de H.	surmontée dans le plan de l'écoulement, de l'axe central de la section, en valeur de A.				
1	2	3	4	5	6	7	8	9
30 juin 1831.	36	Planche 1, figure 5.	206,0	180,0	50,0	170,5	1,0108	Le niveau a un peu varié pendant les expériences 37, 44 et 45, et c'est pour cela qu'on a ajouté aux deux charges qui différaient très-peu de celles que ces trois expériences concernent, afin de recueillir les premières résultats qui font en effet consensus dans la loi générale des déversements.
	37		260,8	180,0	20,8	170,5	1,0302	
	38		179,0	155,1	25,5	159,1	1,0355	
	39		140,6	117,4	22,6	114,2	1,0289	
	40		98,1	78,6	18,6	75,2	1,0439	
10 idem	41	58,8	42,0	10,0	29,7	1,0370	La veine est attachée à la base du déverseur, de côté de la face du réservoir le plus oblongue, pour les charges inférieures à 20 millimètres, tandis qu'elle en est détachée du côté opposé, même pour de plus faibles charges.	
	42	41,1	28,2	19,8	26,1	1,0405		
	43	19,8	11,8	7,7	11,8	1,0000		
19 juillet 1831	44	16,6	6,0	4,3	6,8	1,0000		
	45	16,2	6,5	2,9	6,2	1,0168		
	46	9,8	2,8	2,6	2,9	0,9744		
47	5,3	3,5	1,7	3,8	0,9211			
18 idem	48	111,7	89,2	22,5	90,7	1,1053		
	49	106,6	68,4	37,8	69,1	1,0602		
17 idem	50	59,2	26,6	23,2	29,0	1,1250		
	51	30,7	15,9	11,8	14,9	1,0671		
20 idem	52	21,8	11,2	18,8	10,8	1,0462		
	53	11,4	5,0	6,4	5,8	1,0000		
18 novembre 1828	54	206,4	190,8	18,8	181,0	0,9900		
17 idem	55	155,8	133,2	11,7	136,1	0,9960		
10 idem	56	102,8	99,5	10,4	95,8	0,9981		
15 idem	57	66,5	53,0	7,5	54,3	0,9779		
16 idem	58	44,4	29,9	4,7	41,0	0,9728		
18 idem	59	27,8	26,0	1,8	27,8	0,9822		
11 décembre 1828	60	206,4	184,2	22,2	181,8	1,0160		
	61	155,6	128,6	16,2	127,3	1,0116		
	62	60,5	52,7	7,8	53,8	0,9982		
12 idem	63	44,6	29,1	5,5	29,8	0,9999		
	64	20,4	16,8	3,8	20,4	1,0122		
27 idem	65	102,8	85,2	17,7	85,2	1,0000		
	66	60,5	50,2	10,5	50,2	1,0000		
	67	44,6	37,4	7,2	37,4	1,0000		

DISTINCTION À ÉTABLIR ENTRE L'ÉPAISSEUR EFFECTIVE DE LA NAPPE FLUIDE,  
AU CENTRE DES DÉVERSOIRS,  
ET LA CHARGE MOYENNE DANS LE PLAN DE CES ORIFICÉS.

129. En jetant un coup d'œil sur les colonnes 5, 7 et 8 de la table qui précède, on voit, comme on l'a d'ailleurs déjà fait remarquer au n° 166 du mémoire de 1829, que pour le dispositif de la figure 1, dans lequel le déversoir de 0<sup>m</sup>,20 de largeur est entièrement isolé du fond et des faces latérales du réservoir, l'épaisseur effective  $e$  de la veine liquide, prise au centre de l'orifice et dans son plan, diffère extrêmement peu de la charge moyenne  $h$ , déduite de l'aire entière de la section de cette veine par ce plan, pour toutes les charges totales, excepté celle de 29 millimètres, pour laquelle la charge moyenne 22<sup>m</sup>,59, est d'environ  $\frac{1}{17}$  de sa valeur plus faible que l'épaisseur effective 23,20 millimètres.

En faisant le calcul des charges moyennes au fur et à mesure que nous recueillions la dépense des déversoirs, comme nous l'avons dit au numéro précédent, nous avons constaté que le même fait se reproduisait pour les dispositifs des figures 2 et 3, dans lesquels, d'abord l'un, ensuite les deux côtés verticaux de l'orifice, se trouvaient à 0<sup>m</sup>,54 des faces latérales correspondantes du réservoir, au lieu d'en être éloignés de 1<sup>m</sup>,74 comme dans le premier cas. En outre, à charge totale égale, les dépressions de la surface du liquide sont rigoureusement les mêmes pour les trois dispositifs dont il s'agit, comme on le verra plus loin (157).

Les dépressions diffèrent au contraire notablement des précédentes, pour le déversoir de 0<sup>m</sup>,60 de largeur pratiqué dans une paroi de 0<sup>m</sup>,05 d'épaisseur (dispositif de la figure A); mais ici encore la charge moyenne est sensiblement égale à l'épaisseur effective de la nappe, et l'on peut, sans s'exposer à commettre des erreurs appréciables, prendre l'une pour l'autre.

130. La même chose a lieu lorsque le déversoir, sans cesser d'être isolé du fond et des faces latérales du réservoir, est prolongé par un canal au dehors de celui-ci. En effet, on voit dans la table qui nous occupe que, pour le dispositif de la figure 15, qui ne diffère de celui de la figure 1 que par le canal, sur quatorze opérations que nous avons faites, huit ont donné exactement la même valeur pour l'épaisseur effective de la nappe et pour la charge moyenne correspondante; et, pour les six autres, la différence en plus ou en moins entre ces deux quantités n'est que de six dixièmes de millimètre pour les plus fortes charges totales, et de deux seulement pour la plus faible, celle de  $27^{\text{mill.}}$ , en sorte que cette différence varie entre  $\frac{1}{53}$  et  $\frac{1}{34}$  de la charge moyenne. On peut donc encore, dans ce cas, prendre, pour cette dernière charge, l'épaisseur effective de la nappe de liquide, sans craindre de trop s'écarter du degré d'exactitude qu'on peut espérer d'obtenir dans la pratique.

131. Il n'en est plus de même quand l'orifice n'est pas entièrement isolé du fond et des faces du réservoir. Ainsi, pour le dispositif de la figure 4, abstraction faite de l'expérience n° 22, qui ne concerne pas un déversoir proprement dit, la différence entre l'épaisseur effective de la nappe et la charge moyenne correspondante est toujours positive, et sa valeur maxima ne s'élève qu'à  $\frac{1}{23}$  de celle-ci, pour les charges totales supérieures à 120 millimètres. Mais elle est au contraire négative et s'élève jusqu'à  $\frac{1}{34}$  de la charge moyenne, pour toutes les charges totales comprises entre 100 et 16 millimètres, sauf celle de  $19^{\text{mill.}}$ , pour laquelle la différence est de signe contraire. Enfin, pour de plus faibles charges totales, la différence entre les deux quantités que nous comparons, n'est plus que d'un dixième de millimètre en plus ou en moins; mais alors l'écoulement n'est pour ainsi dire qu'une bavure le long du chanfrein de la base du déversoir.

On reconnaît d'ailleurs, à la seule inspection de la courbe qu'affecte la surface supérieure de la nappe (planche 25), que les différences dont il s'agit, après avoir été positives, doivent

devenir négatives, et ensuite à peu près nulles; car cette courbe, qui, au centre du déversoir, est convexe pour les fortes charges totales, devient concave pour celles qui ont moins de 93 millimètres, et se rapproche beaucoup d'une droite pour les plus faibles.

132. Pour le dispositif de la figure 5, l'épaisseur effective de la nappe, pour toutes les charges qui excèdent 20 millimètres, est constamment plus faible que la charge moyenne correspondante, et la différence varie de  $\frac{1}{5}$  à  $\frac{1}{3}$  de la valeur de celle-ci; tandis que, pour les charges totales inférieures à 20 millimètres, cette différence est nulle ou ne s'élève qu'à un ou deux dixièmes de millimètre en plus ou en moins, ce qu'explique très-bien la forme de la surface supérieure de la nappe, qui, d'abord concave au centre du déversoir, finit par se confondre sensiblement avec une ligne droite pour les plus faibles charges (pl. 26).

La même chose a lieu pour le dispositif de la figure 6; mais la différence dont il s'agit est encore plus considérable, car son minimum et son maximum sont de  $\frac{1}{11}$  et  $\frac{1}{5}$  de la charge moyenne, et elle ne cesse d'être appréciable que pour les charges totales inférieures à 12 millimètres (pl. 27).

133. Les différences entre l'épaisseur effective de la nappe et la charge moyenne sont en général moins fortes, à charge totale égale, et ne suivent pas tout à fait la même loi pour les dispositifs des figures 16, 18 et 19 que pour ceux des figures 4, 5 et 6, qui sont respectivement semblables aux premiers, sauf que pour ceux-ci le déversoir est prolongé par un canal au dehors du réservoir, au lieu de déboucher librement dans l'air. Mais elles forment encore une fraction trop considérable de la charge moyenne, pour que dans la pratique on puisse les négliger (pl. 31 et 32).

On fera remarquer, pour le dispositif de la figure 19 en particulier, que, pour toutes les charges totales inférieures à 103 millimètres, la section de la surface supérieure de la veine par le plan du déversoir est une ligne droite, et que, par suite, l'épais-

seur effective de la nappe se confond avec la charge moyenne (pl. 32). Mais, pour la charge totale de 206,4 millimètres, la plus forte de celles sur lesquelles nous avons pu opérer, sans que le liquide s'élevât au-dessus du bord supérieur de l'orifice fixe, la surface de la nappe prend, au centre du déversoir, une forme concave dont la courbure, déjà très-prononcée, le serait évidemment bien davantage pour de plus fortes charges; en sorte que l'épaisseur effective de cette nappe se trouverait de plus en plus faible comparativement à la charge moyenne.

134. Ce que nous venons de dire pour les dispositifs des figures numérotées de 4 à 6 et de 16 à 19, s'applique respectivement à ceux des figures numérotées de 7 à 14 et de 20 à 26, dans lesquels la base ou les bords verticaux du déversoir, sont toujours dans le prolongement ou très-rapprochés du fond ou des faces latérales du réservoir. En relevant la section de la veine par le plan de l'orifice, pour en déduire la charge moyenne, toutes les fois que nous avons recueilli la dépense, ainsi qu'on l'a déjà dit, nous avons reconnu que, pour tous les dispositifs dont il s'agit, cette charge diffère sensiblement de l'épaisseur effective de la nappe au centre du déversoir, et qu'on ne pourrait prendre cette dernière quantité pour l'autre, sans commettre des erreurs plus ou moins considérables.

On peut d'ailleurs se faire une idée de la différence qu'il doit y avoir entre elles, dans certains cas, par la seule inspection de la veine pour le dispositif de la figure 13, sous de fortes charges (pl. 28). On voit, en effet, que la surface supérieure de la nappe affecte la forme d'une courbe  $m n$ , légèrement convexe vers le haut, qui est interrompue, en son milieu et sur le tiers environ de sa longueur, par un renfoncement très-prononcé dont le point inférieur  $o$ , qui correspond au centre de l'orifice, est abaissé de 54 millimètres au-dessous des points culminants  $m$  et  $n$ .

135. Il résulte de tout ce qui précède, qu'en général on ne peut considérer l'épaisseur effective de la nappe de liquide, prise au centre d'un déversoir et dans son plan, comme représentant la

charge moyenne déduite de l'aire entière de la section de la veine par ce plan, qu'autant que cet orifice, dans le cas où il débouche librement dans l'air comme dans celui où il est prolongé par un canal au dehors du réservoir, est *isolé* à la fois du fond et des faces latérales de ce réservoir, et que la charge totale est un peu forte.

Nous disons *en général*, car pour le déversoir de 2 centimètres de largeur que nous avons soumis à l'expérience (tabl. n° XX), nous avons toujours trouvé la charge moyenne sensiblement plus forte que l'épaisseur effective de la nappe, quoique la base et les bords verticaux de cet orifice fussent respectivement éloignés de 0<sup>m</sup>,54 et de 1<sup>m</sup>,83 du fond et des faces latérales du réservoir. On se rend aisément compte qu'il en soit ainsi pour les très-petites ouvertures, car l'action capillaire de leurs bords verticaux produit, dans les parties contiguës de la surface du liquide, une surélévation qui, s'étendant à une certaine distance de chaque côté, augmente l'aire de la section de la veine dans une proportion très-minime pour les larges déversoirs, mais qui devient fort appréciable pour ceux qui sont très-étroits.

136. Nous n'avons d'ailleurs fait aucune expérience dans le but spécial de fixer, d'une manière précise, soit la limite de largeur au delà de laquelle cet effet de la capillarité cesse d'avoir une influence sensible sur l'aire de la section de la veine, soit le degré de rapprochement des parois du réservoir des bords correspondants de l'orifice, pour que celui-ci puisse, sous le rapport dont il s'agit, être considéré comme entièrement isolé. La solution seule de cette dernière partie de la question exigerait sans doute de nombreuses observations. Il semble, en effet, que le surexhaussement de la surface du liquide, dans le voisinage des bords verticaux de l'ouverture, occasionné par la proximité des parois correspondantes du réservoir (pl. 26 et 27), doit, toutes choses égales d'ailleurs, augmenter l'aire de la section de la veine dans des proportions variables avec la largeur du déversoir, et probablement d'autant plus grandes que cet orifice est plus étroit.

D'où il résulterait qu'à égalité du rapport de cette largeur à celle du réservoir, on pourrait, pour une certaine ouverture, prendre, sans inconvénient, l'épaisseur effective de la nappe en son centre pour la charge moyenne, tandis qu'on commettrait une grave erreur en procédant de la même manière pour une ouverture différente. On conçoit, d'après cela, combien il faudrait multiplier les expériences pour arriver à des résultats décisifs.

137. Il serait, sans contredit, très-commode pour la pratique, qu'au lieu de relever la section entière de la veine, on n'eût jamais qu'à en prendre l'épaisseur au centre de l'orifice, pour en déduire la charge totale et réciproquement. Mais, le point correspondant à ce centre est précisément celui de toute la section où généralement il y a le plus de fluctuations, où les variations du niveau de l'eau sont le plus fréquentes, le plus brusques et le plus considérables. En outre, en ne relevant qu'un seul point, l'erreur qu'on peut commettre reste entière, tandis qu'en déterminant un grand nombre, il s'établit en général, entre les erreurs en plus et celles en moins, des compensations qui ramènent la moyenne à sa juste valeur. Enfin, beaucoup de circonstances accidentelles, comme le vent soufflant dans une direction oblique par rapport à celle de l'écoulement, peuvent changer notablement l'épaisseur effective de la veine au centre de l'orifice, sans altérer sensiblement l'aire de la section, ainsi que nous l'avons remarqué maintes fois dans le cours de nos opérations.

Par ces motifs, nous avons particulièrement porté nos recherches sur la charge moyenne plutôt que sur l'épaisseur effective de la veine au centre de l'orifice, comme offrant une donnée en quelque sorte plus fixe, moins sujette à varier et dont la détermination présente plus de chances d'exactitude. Quoique nous ayons toujours relevé cette épaisseur avec beaucoup de soin, ainsi qu'on l'a déjà dit, nous ne l'avons enregistrée que pour les cas principaux, et dans l'unique but de faire ressortir jusqu'à quel point elle peut alors différer de la charge moyenne (pl. numérotées de 25 à 32).

138. M. Castel, ingénieur des eaux de la ville de Toulouse, a procédé autrement que nous. Dans des expériences sur l'écoulement de l'eau par les déversoirs, qu'il a faites plusieurs années après que les nôtres étaient terminées, et dont nous n'avons une connaissance complète que depuis fort peu de temps, il s'est borné à mesurer l'épaisseur effective de la nappe au centre du déversoir, sans relever aucun autre point de la section de la veine, et a présenté la différence entre cette épaisseur et la charge totale, comme exprimant la dépression de la surface du liquide dans le plan de l'orifice. Nous sommes dès lors conduit à examiner les modifications que cette manière d'opérer a dû apporter à ses résultats, afin de pouvoir les comparer à ceux que nous avons obtenus nous-même, et de tirer, autant que possible, de leur ensemble des conséquences utiles pour la pratique de l'hydraulique. L'auteur de ces expériences ne les a pas publiées lui-même, mais il en a confié le soin à M. d'Aubuisson, ingénieur en chef directeur des mines, qui en a rendu un compte très-détaillé dans un rapport inséré en entier dans les Mémoires de l'Académie des sciences de Toulouse (t. IV, 1<sup>re</sup> part., 1837, p. 241 et suiv.), et par extraits dans les Annales des mines (3<sup>e</sup> série t. IX et XI).

139. Elles se rapportent exclusivement à des déversoirs débouchant librement dans l'air, et comprennent deux séries distinctes. Le canal servant de réservoir avait 0<sup>m</sup>,74 de largeur pour la première série, et 0<sup>m</sup>,361 pour la seconde; le seuil de tous ces orifices était placé à 0<sup>m</sup>,17 au-dessus du fond du réservoir, et leur largeur a varié de 1 à 74 centimètres dans le premier cas, et de 1 à 36,1 dans le second.

M. Castel a constamment mesuré les charges de fluide dans l'intérieur même de ses réservoirs. A cet effet, il disposait horizontalement, dans le plan vertical qui contenait l'axe de l'orifice, une règle d'environ 0<sup>m</sup>,50 de longueur, armée de tiges métalliques avec coulisses graduées et nonius, espacées de 5 en 5 centimètres et terminées par des pointes qu'il mettait en contact avec la surface de l'eau. La longueur de ces pointes au-dessous de la face infé-



rieure de la règle, allait naturellement en diminuant à mesure qu'on s'éloignait vers l'amont, et, à une distance de 0<sup>m</sup>,20 à 0<sup>m</sup>,40 au plus, la diminution devenait insensible; M. Castel en concluait qu'il était arrivé au point le plus élevé de la surface du liquide, et la différence de niveau entre ce point et le seuil du déversoir lui donnait la charge totale.

140. En procédant ainsi, il pouvait assurément déterminer le point le plus haut des remous en amont du déversoir, mais il n'obtenait pas toujours la charge entière, telle qu'on l'aurait eue en la relevant en un point où le liquide aurait été parfaitement stagnant, notamment dans le cas des fortes dépenses, parce qu'alors, vu le peu de largeur de ses réservoirs, le liquide était animé, au point où commençait l'inflexion vers l'orifice, d'une certaine vitesse dont il ne tenait pas compte.

En outre, il existait dans l'appareil même servant aux expériences, une cause d'erreurs dont M. Castel ne pouvait pas s'affranchir. En effet, l'eau destinée aux expériences était élevée par des pompes dans une cuvette, d'où elle descendait, au moyen d'une conduite verticale de 9<sup>m</sup>,95 de longueur, dans une caisse à laquelle était adapté un réservoir de 5<sup>m</sup>,96 de longueur et de 0<sup>m</sup>,74 de largeur. Pour amortir la vitesse du courant dans le réservoir, on faisait passer cette eau, d'abord à travers une toile métallique, ensuite sous plusieurs cloisons dites *languettes de calme*. La dernière de ces languettes était placée à 1<sup>m</sup>,30 en amont du déversoir, et son arête inférieure était à 4 centimètres au-dessus du seuil de cet orifice. Le réservoir de 0<sup>m</sup>,361 de largeur était construit dans l'intérieur du précédent, et il n'avait que 2<sup>m</sup>,24 de longueur.

141. On conçoit combien, par suite de ce dispositif, la mesure de la charge dans l'intérieur même du réservoir, et celle de l'épaisseur effective de la veine au centre du déversoir, devaient présenter d'incertitudes. En effet, l'eau fournie par le mouvement alternatif de pompes, n'arrivait, pour ainsi dire, que par saccades dans la cuvette supérieure et par suite dans les autres parties de l'appareil; sa chute dans la caisse d'expériences y produisait des ondulations

et des oscillations qui se transmettaient nécessairement en partie jusqu'à l'orifice, malgré la toile métallique et les languettes de calme destinées à les détruire, ainsi que la vitesse acquise par le liquide à son entrée dans le réservoir; car ces languettes dont nous avons fait, à nos dépens, la triste expérience dans les circonstances les plus favorables (42), constituaient ici des étranglements considérables, occasionnant dans le courant des temps d'arrêt très-prononcés en amont et des accélérations de vitesse en aval, si bien que le régime devait être très-variable dans le réservoir, et permettre difficilement d'y relever avec exactitude les charges de fluide.

M. Castel fait connaître, en effet, qu'il y avait dans ses réservoirs des ondulations telles, notamment pour les fortes charges, que la hauteur de l'eau au milieu du seuil du déversoir, après avoir été de  $0^m,113$ , s'élevait brusquement à  $0^m,117$ , et il a même vu cette hauteur varier, d'un moment à l'autre, d'un centimètre et plus dans les déversoirs étroits et sous les fortes charges. Néanmoins, comme après avoir apprécié avec le plus grand soin l'amplitude des oscillations, il en prenait le terme moyen, il pense pouvoir répondre à  $\frac{1}{100}$  près de l'exactitude des charges totales pour le réservoir de  $0^m,74$  de largeur. Mais, il est loin d'avoir obtenu le même degré d'approximation pour le réservoir de  $0^m,361$ , où le régime de l'eau devait évidemment être encore plus variable, à cause de son peu de longueur et de la chute qui se formait à son entrée. Il déclare que les résultats qui concernent ce réservoir ne sauraient servir également, dans toutes leurs parties, de base à des déterminations théoriques, et qu'on ne peut espérer d'établir des comparaisons exactes avec ceux qui se rapportent au réservoir de  $0^m,74$ , que dans les cas de dépenses de 10 à 12 litres par seconde, pour lesquels la vitesse est à peu près égale à celle du grand réservoir pour 25 à 30 litres.

142. Les dispositifs de M. Castel étaient tous analogues à ceux des figures 1, 2, 3, 9 et 10 de la planche 1, et A de la planche 3, sur lesquels nous avons opéré avec des déversoirs de  $0^m,02$ ,

0<sup>m</sup>,20 et 0<sup>m</sup>,60 de largeur, isolés par leurs bases du fond du réservoir et débouchant librement dans l'air. Mais il résulte de ce que nous avons exposé aux numéros 135 et suivants, que les nombres donnés par M. Castel comme exprimant les dépressions de la surface du liquide dans le plan des déversoirs, ne sauraient s'accorder avec nos propres résultats que dans les seuls cas où l'épaisseur effective de la veine, au centre de l'orifice, ne diffère pas de la charge moyenne déduite de l'aire entière de la section de cette veine; dans tous les autres cas, les dépressions trouvées par lui doivent être généralement plus fortes, sauf pour les très-faibles charges totales, que celles que nous avons obtenues nous-même, puisque alors l'épaisseur effective de la nappe est moindre que la charge moyenne.

143. Quoique les limites de largeur des orifices ou de rapprochement de leurs bords des parois du réservoir, entre lesquelles il est permis de considérer l'épaisseur effective de la veine comme égale à la charge moyenne, n'aient point été déterminées par des expériences directes (136), on peut cependant les assigner avec une approximation suffisante pour l'objet que nous avons en vue. En effet, puisque les déversoirs que nous considérons ici sont isolés du fond du réservoir, les faces latérales de celui-ci peuvent seules, par leur proximité, modifier la dépression de la surface du liquide, et il paraît évident qu'elles ne doivent avoir aucune influence, lorsqu'elles se trouvent placées en dehors de la sphère d'activité des orifices, dans le sens perpendiculaire à la direction du courant. Or, M. Castel a fait, parallèlement à ceux-ci et à 0<sup>m</sup>,005 en amont, dans l'intérieur du réservoir de 0<sup>m</sup>,361 de largeur, 15 profils qui peuvent fournir des indications utiles pour la question qui nous occupe.

Ces profils, que nous avons construits nous-même d'après les données du tableau numéro 7 de M. Castel, avaient pour objet de constater la surélévation, au-dessus du niveau général, que pouvait éprouver la surface du fluide, dans la partie comprise entre les faces latérales du réservoir et les bords correspondants des dé-

versoirs. M. d'Aubuisson en a fait ressortir les résultats dans un petit tableau, qui fait partie de l'article publié dans le tome XI des Annales des mines.

144. Mais nous ferons remarquer, en passant, que ces surélévations ont été mal appréciées; l'erreur vient de ce que M. Castel n'a pas tenu compte de la vitesse acquise par le liquide, au point où il a relevé le niveau général, en sorte que ses charges totales sont trop faibles de la hauteur due à ces vitesses (140). Pour mettre ce fait en évidence, nous avons réuni, dans le tableau suivant, les données relatives aux quatre déversoirs pour lesquels M. Castel a indiqué des surélévations du liquide au-dessus du niveau général.

LARGEUR du déversoir.	RAPPORT de la largeur du déversoir à celle du réservoir.	HAUTEUR de niveau général au-dessus de celle du déversoir.	SURÉLEVATION de liquide au-dessus de niveau général.	QUANTITÉ à ajouter à la hauteur du niveau général, pour tenir compte de la vitesse acquise par le liquide.	DIFFÉRENCE entre la surélévation observée et la quantité à ajouter à la hauteur du niveau général.
millimètres.		millimètres.	millimètres.	millimètres.	millimètres.
91,8	0,254	166,4 120,3 60,9	0,5 " "	0,51 0,32 0,01	- 0,01 - 0,25 - 0,01
100,4	0,218	180,2 121,9 60,0	1,0 0,5 "	0,63 0,27 0,06	+ 0,36 + 0,23 - 0,06
199,4	0,552	175,0 121,9 61,0	2,7 0,5 0,1	2,63 1,11 0,33	+ 0,37 - 0,61 - 0,13
306,2	0,832	120,0 80,0 60,3	2,7 " "	2,61 1,06 0,54	- 0,11 - 1,06 - 0,34

La sixième colonne de ce tableau montre que la surface du liquide, dans l'intervalle compris entre les faces latérales du réservoir et les bords correspondants des orifices, ne s'est exhaussée au-dessus du niveau général, relevé à sa véritable position, que pour trois expériences, et que, pour les neuf autres, elle est restée au-dessous. La plupart des différences de hauteur sont d'ailleurs fort minimes, car les exhaussements au-dessus du niveau général

varient entre 0,23 et 0,38 millimètre; et, parmi les abaissements au-dessous de ce niveau, 5 sont compris entre 0,01 et 0,22 millimètre, en sorte qu'il est d'autant plus permis de considérer ces différences comme provenant d'erreurs, que M. Castel déclare, en termes exprès (141), que toutes les opérations qui se rapportent au réservoir de 0<sup>m</sup>,361 présentent beaucoup d'incertitude.

145. Il résulterait des profils qui nous occupent, que les plus grandes distances entre les points où l'inflexion de la surface de l'eau, dans le sens perpendiculaire au courant, commence à se faire sentir, et les bords verticaux des déversoirs de 0<sup>m</sup>,0499, 0<sup>m</sup>,0918, 0<sup>m</sup>,1004, 0<sup>m</sup>,1994 et 0<sup>m</sup>,3002 de largeur, seraient respectivement de 0<sup>m</sup>,078, 0<sup>m</sup>,083, 0<sup>m</sup>,053, 0<sup>m</sup>,024 et 0<sup>m</sup>,005, c'est-à-dire qu'à ces distances des côtés verticaux de l'orifice, la surface de l'eau serait à la hauteur du niveau général tel que l'indique M. Castel, et demeurerait horizontale à partir de ces points jusqu'aux parois du réservoir. Mais, en relevant ce niveau à la position qu'il doit avoir pour tenir compte de la vitesse acquise par le fluide, ces distances se trouvent modifiées en ce qui concerne les déversoirs de 0<sup>m</sup>,1994 et 0<sup>m</sup>,3002 de largeur. En effet, en continuant de *sentiment* les courbes résultant des sections de la surface de l'eau, construites d'après les données du tableau numéro 7 de M. Castel, les points où elles rencontrent le niveau général ainsi élevé, sont éloignés des bords des orifices de 0<sup>m</sup>,021 à 0<sup>m</sup>,044 pour celui de 0<sup>m</sup>,1994 de largeur, et de 0<sup>m</sup>,01 à 0<sup>m</sup>,032 pour celui de 0<sup>m</sup>,3002. Ainsi, la sphère d'activité du premier, dans le sens perpendiculaire au courant, s'arrête à 0<sup>m</sup>,0368 des faces latérales du réservoir, tandis qu'elle va au delà de ces parois pour le second.

146. On peut conclure de ce qui précède : 1° que les faces latérales du réservoir de 0<sup>m</sup>,361 de largeur, n'ont aucune influence sur les dépressions de la surface du liquide pour le déversoir de 0<sup>m</sup>,1994 de largeur, et à plus forte raison pour ceux qui sont plus étroits, puisque les limites des sphères d'activité, dans le sens latéral, sont encore plus éloignées de ces faces pour ceux-ci que

pour l'autre; 2° que ces mêmes faces exercent au contraire de l'action dans le cas du déversoir de  $0^m,3002$ , dont la largeur est les  $0,832$  de celle du réservoir, puisque leur distance aux bords de cet orifice est moindre que la sphère d'activité de celui-ci. Ce dernier fait est, au reste, constaté par nos propres expériences, car nous avons trouvé une différence sensible entre la charge moyenne et l'épaisseur effective de la nappe, pour un déversoir dont la largeur  $0^m,20$  était les  $0,833$  de celle  $0^m,24$  du réservoir (dispositif de la fig. 9).

M. d'Aubuisson fait remarquer (*Annales des mines*, t. XI) que l'étendue des sphères d'activité est d'autant plus grande, que les déversoirs sont plus étroits. Si cette loi était générale, il s'ensuivrait que, pour l'orifice de  $0^m,3998$  qui est situé, par rapport au réservoir de  $0^m,74$  de largeur, à très-peu de chose près comme le déversoir de  $0^m,1994$  l'est par rapport au réservoir de  $0^m,361$ , l'inflexion de la surface du liquide ne commencerait à se faire sentir latéralement qu'à environ  $0^m,015$  des bords de l'ouverture, et par conséquent à  $0^m,155$  des parois correspondantes du réservoir. Au surplus, comme les largeurs des orifices de  $0^m,1994$  et de  $0^m,3998$ , sont respectivement les  $0,552$  et les  $0,54$  de celles des réservoirs dans lesquels ils sont pratiqués, il est évident que, puisque les faces latérales n'ont aucune influence sur les dépressions de la surface du liquide pour le premier de ces déversoirs, elles ne doivent pas en avoir, à plus forte raison, pour le second.

147. On doit donc admettre d'une manière générale, que tout déversoir isolé par la base, et dont la largeur n'excède pas les  $0,552$  de celle du réservoir, peut, sous le rapport des dépressions de la surface du liquide, être considéré comme étant dans le cas des minces parois (dispositif de la fig. 1); c'est-à-dire que pour un tel déversoir on peut, sans erreur sensible, prendre l'épaisseur de la nappe de fluide au centre de l'orifice et dans son plan, pour la charge moyenne déduite de l'arc entière de la section de la veine par ce plan, lorsque la charge totale est un peu forte.

Ainsi, les résultats obtenus par M. Castel ne peuvent s'accorder avec les nôtres, que pour ceux de ses déversoirs qui, remplissant la condition que nous venons d'énoncer, ne sont pas d'ailleurs tellement étroits, que l'effet de la capillarité rende la charge moyenne sensiblement plus forte que l'épaisseur effective de la veine (135). Comme cet ingénieur n'a jamais mesuré que cette dernière quantité sans s'occuper de l'autre, ainsi que nous l'avons déjà dit (138), nous manquons de données pour établir entre ces deux quantités une relation qui permette de déduire directement l'une de l'autre, de façon à rendre nos résultats et les siens exactement comparables, dans tous les cas où la charge moyenne diffère sensiblement de l'épaisseur effective de la veine, ce qui a lieu lorsque la largeur de l'orifice est très-petite ou qu'elle excède les 0,552 de celle du réservoir; mais nous espérons que ce qui va suivre lèvera jusqu'à un certain point la difficulté.

RECHERCHE DES CIRCONSTANCES QUI FONT VARIER LES DÉPRESSIONS  
DE LA SURFACE DU LIQUIDE, DANS LE PLAN DES DÉVERSOIRS ISOLÉS PAR LEUR BASE  
ET DÉBOUCHANT LIBREMENT DANS L'AIR.

148. Pour vérifier si nos expériences et celles de M. Castel s'accordent entre elles, dans les cas où il est permis de les comparer, nous avons naturellement cherché à appliquer à ces dernières une formule très-simple que nous avons trouvée en 1828, pour un déversoir de 0<sup>m</sup>.20 de largeur en mince paroi plane, et qui reproduit, avec un degré d'approximation très-satisfaisant, tous les résultats qui concernent cet orifice. Cette formule, qui a été insérée aux numéros 137 et 167 du mémoire de 1829, est basée sur des considérations qu'il est nécessaire de rappeler ici, pour l'intelligence de ce que nous avons à dire sur ce sujet.

En prenant pour abscisses les rapports  $\frac{H}{T}$  de la charge totale sur la base du déversoir en question, à la charge moyenne dans le plan de cet orifice, et pour ordonnées les dépressions moyennes

$h' = H - h$  qu'éprouve la surface du liquide dans ce même plan, on obtient une courbe parfaitement régulière, qui a évidemment deux asymptotes parallèles, l'une à l'axe des ordonnées et l'autre à celui des abscisses. En effet, la charge moyenne ne pouvant jamais excéder la charge totale, le rapport  $\frac{H}{h}$  ne saurait devenir plus petit que l'unité, mais il peut en approcher indéfiniment, puisque l'expérience démontre que ce rapport diminue sans cesse, à mesure que la charge totale augmente; on doit donc admettre une asymptote parallèle à l'axe des ordonnées et correspondant à la valeur 1 de l'abscisse. D'un autre côté, nous avons souvent remarqué, en vérifiant la position de la base du déversoir, que l'action capillaire de la paroi dans laquelle cet orifice était pratiqué, maintenait le niveau général de l'eau dans le réservoir, tantôt à 1,5 et tantôt à 2 millimètres au-dessus de cette base, sans que pour cela l'écoulement eût lieu. Ainsi, la charge  $H$  était encore moyennement de 1,8 millimètre lorsque  $h$  était nul, et comme alors  $h' = H - h = H$ , nous en avons conclu que la courbe avait une asymptote parallèle à l'axe des abscisses et correspondante à l'ordonnée 1<sup>mill.</sup>,8, ce qui lui donnait la forme d'une hyperbole équilatère, dans laquelle les produits  $(\frac{H}{h} - 1)(h' - 1,8)$  devaient être constants. En les effectuant, nous avons trouvé qu'en prenant le millimètre pour unité, ils s'écartaient généralement très-peu de leur moyenne 1,319. C'est pourquoi nous avons posé  $(\frac{H}{h} - 1)(h' - 1,8) = 1,319$ . D'où l'on déduit, en remplaçant  $h'$  par sa valeur  $H - h$ :

$$H = h + 0,9 + \sqrt{1,319h + 0,81}$$

$$h = H - 0,2405 - \sqrt{1,319H + 0,05784}$$

Cette formule est très-remarquable en ce que, non-seulement elle donne pour  $H$  et  $h$  des valeurs qui diffèrent extrêmement peu de celles que l'expérience a fournies, mais encore elle satisfait aux deux limites extrêmes du phénomène, au cas où la charge totale est infinie, comme à celui où elle n'est plus suffisante pour



vaincre l'action capillaire de la base du déversoir et déterminer l'écoulement du liquide.

149. M. Poncelet, en comparant les résultats que nous avons trouvés pour le déversoir de 0<sup>m</sup>,20 de largeur en minces parois, avec ceux qu'ont obtenus MM. Bidone et Eytelwein avec des appareils différents des nôtres, a cru remarquer, que les valeurs de  $\frac{H}{k}$ , ou plutôt du produit  $(\frac{H}{k} - 1)(h' - 1,8)$ , dépendaient du rapport de la largeur  $l$  de l'orifice à celle  $L$  du réservoir. C'est pourquoi il a remplacé dans notre formule, pour la généraliser, le coefficient constant 1,319 par une quantité  $k$  fonction de  $\frac{l}{L}$ , et il a posé l'équation  $(\frac{H}{k} - 1)(h' - 1,8) = k$ , dans laquelle  $k$ , déterminé approximativement pour le cas où  $\frac{l}{L}$  serait au-dessous de 0,3, a pour expression  $k = 0,0196 [19 + (100 \frac{l}{L} - 15,5)^2]$ . (Mémoires de 1829, §§ 169 et suivants.)

Notre formule ainsi modifiée satisfait, avec un degré d'approximation suffisant pour la pratique, à nos expériences et à celles de MM. Bidone et Eytelwein pour lesquelles le rapport  $\frac{l}{L}$  est inférieur à 0,3. Mais, M. Poncelet a lui-même fait remarquer qu'elle était déduite d'un trop petit nombre d'expériences pour qu'on pût, quant alors, la considérer comme autre chose qu'une formule empirique, propre à en représenter les résultats avec un degré d'exactitude raisonnable et dans une certaine étendue, notamment pour le cas où la largeur de l'orifice égale au plus le  $\frac{1}{3}$  ou les 0,3 de celle du réservoir. Les prévisions de cet illustre savant se sont réalisées; les opérations que nous avons faites depuis la publication de nos premières expériences, jointes à celles que M. Castel a exécutées plusieurs années après nous, jettent de nouvelles lumières sur cette question, et la font envisager sous un autre point de vue.

150. Si, dans l'équation  $(\frac{H}{k} - 1)(h' - 1,8) = k$ , les valeurs du terme  $k$  dépendaient, comme on l'avait pensé, de celles de  $\frac{l}{L}$  pour tous les cas où celles-ci sont au-dessous de 0,3,

il s'ensuivrait qu'à égalité de ce rapport et dans les limites dont il s'agit, les dépressions  $h'$  de la surface du liquide seraient les mêmes, à charge totale égale, quelles que fussent les largeurs des déversoirs. Or, en jetant un coup d'œil sur les tableaux 9 et 10 de M. Castel et sur notre tableau du numéro 157, on voit qu'il n'en est point ainsi. En effet, le réservoir de 0<sup>m</sup>,361 étant un peu inférieur à la moitié de celui de 0<sup>m</sup>,74, les dépressions qui, pour le premier de ces réservoirs, se rapportent aux déversoirs de 5 et de 10 centimètres de largeur, devraient être un peu supérieures à celles qui, pour le second, concernent les orifices de 10 et de 20 centimètres de largeur, tandis qu'elles sont, au contraire, en général de trois à quatre fois plus petites. Pareillement, pour nos déversoirs de 20 et de 60 centimètres de largeur, pour lesquels les valeurs du rapport  $\frac{h}{L}$  sont de 0,0544 et 0,163, et qui correspondent par conséquent à des largeurs de 4 et de 12 centimètres dans le réservoir de 0<sup>m</sup>,74, et de 2 et de 6 dans celui de 0<sup>m</sup>,361, les dépressions devraient être notablement moindres, que celles que M. Castel a trouvées pour les déversoirs de 5 et de 20 centimètres avec le premier de ces réservoirs, et de 5 et de 10 centimètres avec le second, tandis qu'elles sont au contraire beaucoup plus considérables.

151. En faisant ces rapprochements, nous avons été frappé de cette circonstance, que les dépressions pour le déversoir de 20 centimètres de largeur, obtenues par nous avec un réservoir de 3<sup>m</sup>,68, diffèrent extrêmement peu de celles que M. Castel a trouvées pour le même orifice avec un réservoir de 0<sup>m</sup>,74, quoique ce second réservoir soit cinq fois moins large que le premier. Cette observation nous a donné lieu de penser que ces dépressions pourraient bien, entre certaines limites des valeurs de  $\frac{h}{L}$ , être indépendantes de ce rapport et ne varier qu'avec la largeur absolue des orifices.

Pour vérifier ce soupçon, nous avons dû, avant tout, examiner dans quelles circonstances les produits  $\left(\frac{h}{k} - 1\right) (k - 1,8)$  ne

changent pas, pour un même déversoir, quelle que soit la charge totale, parce que ce sont les seuls cas pour lesquels on pouvait espérer de généraliser la formule que nous avons établie pour le déversoir de 0<sup>m</sup>,20 de largeur en minces parois, sans lui faire perdre la propriété remarquable qu'elle a de satisfaire aux limites extrêmes du phénomène (148).

152. L'orifice de 2 centimètres de largeur, que nous avons soumis à l'expérience, s'est naturellement trouvé exclu de nos recherches, parce que les dépressions qui le concernent sont inférieures à 1,8 millimètre, lorsque les charges totales ne sont pas très-fortes (table du n° 199). En effet, les produits  $\left(\frac{H}{k} - 1\right) (h' - 1,8)$ , que dorénavant nous appellerons  $p$ , étant alors négatifs, la quantité qui est sous le radical dans l'équation

$$H = h + 0,9 + \sqrt{p h + 0,81},$$

qui donne la charge totale en fonction de la charge moyenne, deviendrait elle-même négative pour les valeurs de  $h$  qui rendraient  $p h$  plus grand que 0,81, et par conséquent  $H$  serait imaginaire, ce qui ne peut avoir lieu.

Ce que nous disons du déversoir de 2 centimètres de largeur doit se présenter, à plus forte raison, pour ceux qui sont plus étroits, et si M. Castel a trouvé, pour cet orifice comme pour celui de 0<sup>m</sup>,01 de largeur, des dépressions supérieures à 1,8 millimètre, même pour les plus faibles charges totales, c'est que toujours il s'est borné à prendre l'épaisseur effective de la veine au centre du déversoir, et l'a retranchée de la charge totale pour avoir la dépression. Or, cette épaisseur est, dans ce cas, sensiblement plus faible que la charge moyenne, en sorte que les dépressions ainsi obtenues se trouvent toutes trop fortes. Pour ces petits orifices, les dépressions suivent une tout autre loi, que nous indiquerons plus loin en ce qui concerne celui de 2 centimètres de largeur, sans chercher à la généraliser pour d'autres ouvertures, non-seulement parce que nous manquons des éléments nécessaires, mais

encore parce que, pussions-nous réussir dans nos recherches, le résultat serait sans utilité réelle pour la pratique, attendu qu'on n'y fait pas usage d'aussi étroits déversoirs.

153. M. Castel, par les motifs que nous venons de rappeler, ne fournit aucun moyen d'assigner directement le minimum de largeur des déversoirs, pour que les dépressions soient toujours supérieures à 1,8 millimètre, quoiqu'il ait opéré sur un grand nombre de petits orifices. Toutefois, il nous semble que cette limite doit peu s'écarter de 3 centimètres. En effet, nous avons fait remarquer au numéro 136 que, par suite de l'action capillaire des parois, l'excès de la charge moyenne sur l'épaisseur effective de la veine au centre des déversoirs devait, toutes choses égales d'ailleurs, être d'autant plus grand que les orifices étaient plus étroits. Mais admettons, pour prendre le cas le plus défavorable, que la différence soit la même pour les déversoirs de 3 et de 2 centimètres, en sorte qu'en nommant  $h$  et  $h'$  les charges moyennes respectives qui, pour ces deux orifices, correspondent à une même charge totale  $H$ , et  $e$  et  $e'$  les épaisseurs effectives de la veine, on ait  $e = h - i$  et  $e' = h' - i$ . En désignant par  $D$  et  $D'$  les dépressions évaluées d'après la méthode de M. Castel, on a  $D = H - e = H - h + i$  et  $D' = H - e' = H - h' + i$ ; d'où  $D - D' = h' - h$ . Soient au contraire  $d$  et  $d'$  les dépressions calculées selon la marche que nous avons suivie, on a  $d = H - h$  et  $d' = H - h'$ , d'où  $d - d' = h' - h$ . Donc  $D - D' = d - d'$ , et  $D - D' + d' = d$ . D'où il résulte que pour avoir la dépression  $d$ , relative à l'orifice de 3 centimètres, telle qu'on l'obtiendrait en retranchant la charge moyenne de la charge totale, il faut ajouter aux différences  $D - D'$  données par le tableau numéro 9 de M. Castel, les dépressions  $d'$  que nos expériences nous ont fournies pour l'orifice de 2 centimètres de largeur. Or, les plus petites valeurs que l'on trouve pour  $d$ , en opérant ainsi, sont très-peu inférieures à 1,8 millimètre; on peut donc admettre que le minimum de largeur des déversoirs pour lesquels les produits  $p$  sont toujours positifs, diffère très-peu de 3 centimètres.

154. Quoi qu'il en soit, si, faisant abstraction de quelques ré-

sultats qui se rapportent en général aux plus fortes et aux plus faibles charges, et proviennent évidemment d'erreurs ou de l'impossibilité où s'est trouvé l'observateur de prendre toujours des mesures exactes, on effectue les calculs pour toutes les expériences de M. Castel (tabl. IX et X), on reconnaît que, pour des largeurs de déversoir depuis 3 jusqu'à 30 centimètres, dans le cas du réservoir de  $0^m,74$ , et jusqu'à 20 centimètres dans celui du réservoir de  $0^m,361$ , les produits dont il s'agit sont sensiblement constants, quelle que soit la charge totale, pour un même orifice, et sont d'autant plus grands que celui-ci est plus large. Ces mêmes produits varient au contraire avec la charge pour les déversoirs de  $0^m,40$  de largeur et au-dessus, dans le premier cas, et de  $0^m,30$  et au-dessus dans le second.

Ainsi,  $p$  varie avec la charge totale pour le déversoir de  $0^m,40$  de largeur et le réservoir de  $0^m,74$ , tandis qu'il est encore constant pour celui de  $0^m,20$  et le réservoir de  $0^m,361$ , quoique dans le premier cas la largeur de l'orifice ne soit que les  $0,54$  de celle du réservoir; et que dans le second elle en soit les  $0,552$ . Mais il semblerait que les opérations relatives au réservoir de  $0^m,361$  sont entachées d'une erreur générale, indépendamment de celles qui peuvent être dues aux vices mêmes de l'appareil, et qui font que M. Castel déclare accorder beaucoup moins de confiance à ces opérations qu'à celles qui concernent le réservoir de  $0^m,74$  (141).

En effet, en jetant un coup d'œil sur les tableaux IX et X, on remarque avec surprise qu'à égalité de charge totale et de largeur des déversoirs, les dépressions de la surface du liquide sont constamment plus fortes pour le réservoir de  $0^m,74$  que pour l'autre. Il n'y a d'exception que pour 3 expériences sur 54, dont 2 se rapportent à l'orifice de  $0^m,10$  qui, sous les charges de 40 et 30 millimètres, a donné le même résultat pour les deux réservoirs, et une à l'orifice de  $0^m,30$  qui, avec la charge de 140 millimètres, a fourni une dépression de  $0^{mill},4$  plus forte pour le réservoir de  $0^m,361$  que pour celui de  $0^m,74$ . Nous indiquons ci-après le maximum, le minimum et la moyenne de ces différences.

Orifices de .....	10	20	30	50	100	200	300	millimètres de largeur.
Différences.	Maximum...	0,7	-0,9	-1,5	-1,9	-4,1	-0,8	-1,7
	Minimum...	0,4	-0,6	-1,1	-1,1	-0,0	-0,2	-0,6
	Moyenne...	0,53	-0,67	-1,3	-1,6	-0,83	-0,43	-0,9

On voit que les différences dont il s'agit, après avoir augmenté avec la largeur des déversoirs, diminuent brusquement pour celui de 0<sup>m</sup>,20 et sont ensuite plus fortes pour l'orifice de 0<sup>m</sup>,30. Quelle peut être la cause de ces différences, toutes affectées du même signe, sauf une seule que nous avons indiquée plus haut, et d'où vient leur brusque diminution pour le déversoir de 0<sup>m</sup>,20? Nous ne saurions le dire; mais il est évident, d'après cela, que, sans exclure de nos recherches les résultats relatifs au réservoir de 0<sup>m</sup>,361, nous devons du moins, en cas de désaccord, donner la préférence à ceux qui concernent le réservoir de 0<sup>m</sup>,74.

155. Nous devons donc admettre que les produits  $p$  varient avec la charge totale lorsque  $\frac{l}{L}$  est égal ou supérieur à 0,54, et comme d'un autre côté nous avons vu (154) que, pour le réservoir de 0<sup>m</sup>,74, ces mêmes produits demeurent au contraire constants, quelle que soit cette charge, pour les orifices de 0<sup>m</sup>,30 de largeur et au-dessous, c'est-à-dire lorsque  $\frac{l}{L}$  est égal ou inférieur à 0,4054, il s'ensuit que la valeur de ce rapport au-dessus de laquelle  $p$  varie et au-dessous de laquelle il demeure au contraire constant, est comprise entre 0,4054 et 0,54. Il n'existe, à notre connaissance, aucune expérience qui puisse servir à déterminer avec précision la ligne de démarcation entre ces deux cas distincts; mais, comme pour  $\frac{l}{L} = 0,54$  les produits  $p$ , sans être constants, n'éprouvent que de légères variations comparativement à celles qui ont lieu pour de plus grandes valeurs de  $\frac{l}{L}$ , nous pensons nous écarter peu de la vérité en faisant correspondre le point de partage à  $\frac{l}{L} = 0,50$ .

Ces faits sont d'ailleurs pleinement confirmés par les expériences que nous avons faites nous-même, en ce qui concerne

le premier cas, sur des déversoirs de 0<sup>m</sup>,20 et de 0<sup>m</sup>,60 de largeur avec les dispositifs des figures 1, 2, 3 et A, pour lesquels les valeurs de  $\frac{l}{L}$  sont respectivement de 0.0544, 0.0806, 0.1563 et 0.1630; et, en ce qui concerne le second cas, sur un déversoir de 0<sup>m</sup>,20 avec les dispositifs des figures 9 et 10, pour lesquels on a successivement  $\frac{l}{L} = 0,833$  et  $\frac{l}{L} = 1$ . Enfin, les opérations de MM. Eytelwein et Bidone elles-mêmes, malgré les incertitudes qu'elles présentent, s'accordent bien avec celles que nous venons de citer.

DEPRESSIONS DE LA SURFACE DE LIQUIDE DANS LE PLAN DES DÉVERSOIRS ISOLÉS  
PAR LEUR BASE ET DÉBOUCHANT LIBREMENT DANS L'AIR,  
DONT LA LARGUEUR EST INFÉRIEURE AUX 0,5 DE CELLE DU RÉSERVOIR.

156. Ainsi, pour tout déversoir isolé par sa base et débouchant librement dans l'air, dont la largeur  $l$  est d'au moins 30 millimètres, mais n'excède pas les 0,5 de celle  $l$  du réservoir, on a, entre la charge totale  $H$ , la charge moyenne  $h$  et la dépression  $h'$ , en prenant le millimètre pour unité, la relation

$$\left(\frac{H}{h} - 1\right) (h' - 1,8) = p.$$

D'où l'on tire, en remplaçant  $h' = H - h$  par sa valeur :

$$H = h + 0,9 + \sqrt{ph + 0,81}.$$

$$h = H + \frac{0,9}{2} - 0,9 - \sqrt{p\left(\frac{1}{2}p - 0,9 + H\right) + 0,81}.$$

Dans ces équations,  $p$  exprime une quantité constante pour un même déversoir, mais d'autant plus grande que cet orifice est plus large (154). Pour découvrir la loi qu'elle suit par rapport à  $l$ , nous avons pris pour abscisses ses diverses valeurs données par l'expérience, et pour ordonnées les largeurs correspondantes des déversoirs. Nous avons trouvé par cette construction une courbe parfaitement régulière, qui a la forme d'une branche de parabole ordi-

naire et est représentée, avec un degré de précision bien suffisant pour la pratique, par l'équation  $p = 5,428 - (0,00173l - 2,373)^2$ .

D'après cette expression, les valeurs positives de  $p$  ont un maximum qui est de 5,428, et s'obtient en faisant  $l = 1371,68$  millimètres. Comme il n'a point encore été fait, que nous sachions, d'expériences sur d'aussi larges déversoirs, dont les bords soient éloignés des parois correspondantes du réservoir autant que le suppose le cas que nous considérons, on ne saurait affirmer que le nombre 5,428 soit précisément la limite supérieure des valeurs positives de  $p$ . Néanmoins, nous l'adopterons *quant à présent*, et comme d'un autre côté il n'est pas naturel de penser que  $p$ , après avoir augmenté graduellement avec la largeur de l'orifice, comme le démontre l'expérience, diminue lorsque cette largeur dépasse une certaine limite, nous admettons que ce chiffre reste constant pour toutes les ouvertures qui excèdent 1371,68 millimètres, et que la branche de la parabole, qui donne pour  $p$  des valeurs positives toujours croissantes avec  $l$ , satisfait seule à la question. Sur cette branche de la courbe,  $p$  devient nul lorsque  $l = 24,86$  millimètres, c'est-à-dire que, pour une telle ouverture, la dépression ne changerait pas, quelle que fût la charge totale, et serait égale à 1,8 millimètre. Pour des valeurs de  $l$  plus petites,  $p$  deviendrait négatif, ce qui est conforme à la loi générale indiquée par l'expérience; car, pour l'orifice de 2 centimètres de largeur et les charges totales au-dessous de 593,5 millimètres (table du n° 199), les dépressions, ainsi que nous l'avons déjà fait remarquer (152), sont inférieures à 1,8 millimètre, et par conséquent les valeurs correspondantes de  $p$  sont négatives.

157. Nous avons réuni, dans le tableau suivant, tous les résultats de nos expériences et de celles de MM. Castel, Bidone et Eytelwein, relatifs à des déversoirs qui remplissent les conditions énoncées au numéro précédent, et nous avons calculé la charge totale  $H$ , en introduisant successivement les valeurs de la charge moyenne  $h$ , dans le plan du déversoir, déduites de l'observation, dans la formule :



$$H - h = 0,9 + \sqrt{pk + 0,81} \quad (A)$$

$$p = 5,428 - (0,00173l - 2,373)^2$$

dans laquelle le millimètre est pris pour unité et  $l$  représente la largeur du déversoir.

On fera remarquer que les orifices dont le plan n'est pas perpendiculaire aux faces latérales du réservoir, ou dont les deux bords verticaux sont situés à des distances de ces parois  $d$  et  $d'$ , inégales entre elles, et telles que l'un des deux rapports  $\frac{l}{l+2d}$  et  $\frac{l}{l+2d'}$  excède 0,50, ne font pas partie de ceux que nous considérons ici; ils sont classés dans une catégorie à part dont nous parlerons plus loin.

NOMS des observations.	N <sup>o</sup> des Cotes.	BOUVÉES DE L'OBSERVATION				RÉSULTATS donnés de la formule (A).		DIFFÉRENCE papier moins des valeurs de H.	OBSERVATIONS.
		L.	$\frac{l}{L}$ .	h.	H.	Valeurs de p correc- pendantes à celles de L.			
						7	8		
1	2	3	4	5	6	7	8	9	10
		millim.		millim.	millim.		millim.	millim.	
	1			195,4	200,6		199,27	-0,0057	
	2			175,6	189,0		178,36	-0,0057	
	3			155,6	160,0		156,19	-0,0051	
	4			135,7	140,0		139,13	-0,0052	
	5	50,00	0,0405	115,8	120,0	0,001	119,07	-0,0078	
	6			96,0	100,0		99,09	-0,0091	
	7			78,0	80,0		78,18	-0,0140	
	8			58,0	60,0		58,68	-0,0220	
	9			46,1	50,0		48,66	-0,0266	
	10			339,0	340,0		341,27	+0,0053	
M. Castel.....	11			218,7	220,0		221,18	+0,0034	
	12			193,0	200,0		201,07	+0,0034	
	13			178,0	180,0		180,05	+0,0047	
	14			154,0	160,0		160,51	+0,0082	
	15	50,00	0,0675	134,1	140,0	0,200	140,25	+0,0018	
	16			114,2	120,0		120,06	+0,0050	
	17			96,5	100,0		99,56	-0,0016	
	18			78,7	80,0		79,58	-0,0059	
	19			54,8	60,0		59,26	-0,0153	
	20			45,0	50,0		48,07	-0,0186	
	21			25,1	40,0		38,84	-0,0990	

NOM des observations.	ORDRE des Cotes.	DONNÉES DE L'OBSERVATION				RÉSULTATS obtenus de la formule (2).		écarts propres à celles de H.	OBSERVATIONS.
		L.	$\frac{1}{T}$	A.	H.	Valeurs de p. correc- tionnées à celles de L.			
						de H.	de H.		
1	2	3	4	5	6	7	8	9	
MM. Balais	22			150,60	149,10		164,71	-0,0028	
	23	77,45	0,1205	81,21	87,98	0,115	87,98	"	
	24			225,30	210,00		236,50	-0,0130	
	25			907,00	920,00		919,00	-0,0045	
	26			133,50	200,00		199,87	-0,0006	
	27			169,28	140,00		160,12	+0,0007	
	28			130,20	100,00		160,29	+0,0033	
	29			130,60	140,00		140,20	+0,0036	
	30	100,00	0,1351	111,20	129,00	0,268	129,33	+0,0028	
	31			01,00	100,00		100,20	+0,0020	
32			72,10	80,00		80,00	"		
33			53,20	60,00		59,79	-0,0035		
34			43,70	50,00		49,77	-0,0046		
35			34,10	40,00		39,99	-0,0028		
36			25,00	30,00		29,85	-0,0050		
Egouttoirs	37	157,00	0,1250	343,77	392,50	1,012	403,20	+0,0970	
	38			120,64	140,83		137,90	-0,0208	
Balais	39	170,77	0,2656	137,71	150,50	1,112	130,60	+0,0030	
	40			88,56	100,81		99,53	-0,0130	
	41			179,00	200,00		166,34	-0,0181	
	42			163,89	180,00		179,46	-0,0030	
	43			145,00	100,00		150,77	-0,0011	
	44			126,00	110,00		129,84	-0,0011	
	45			107,00	120,00		112,83	-0,0014	
	46		0,2702	58,00	100,00		99,73	-0,0027	
	47			60,20	80,00		79,80	-0,0023	
	48			50,80	60,00		59,94	-0,0010	
49			32,20	50,00		50,47	+0,0154		
50			33,70	40,00		41,90	+0,0300		
51			23,30	30,00		30,83	+0,0077		
52	300,00		200,00	217,00	1,210	217,11	+0,0007		
53			164,68	180,30		180,05	-0,0014		
54			117,70	121,40		121,00	-0,0021	Dispositif de la figure 1.	
55		0,0544	100,00	112,00		112,42	+0,0038		
56			63,19	73,30		73,19	-0,0001		
57			22,59	30,00		29,02	+0,0007		
58			165,80	181,50		181,02	+0,0001		
59		0,0806	99,50	110,20		110,83	+0,0030	Dispositif de la figure 2.	
60			46,00	54,50		54,75	+0,0044		
61			32,00	39,30		39,48	+0,0096		
62			101,40	112,50		112,69	+0,0084	Dispositif de la figure 3.	
63		0,1262	25,70	32,60		32,49	-0,0084		

NOMS des observations.	NOM d'ordre.	MOYENS DE L'OBSERVATION				Moyennes déduites de la formule (5).		DIFFÉRENCES propre- ment dites des valeurs de H.	OBSERVATIONS.
		L.	$\frac{1}{L}$ .	h.	H.	Valeurs de P corres- pondantes à celles de h.	Valeurs de H.		
M. Castel	64	261,0	0,0038	257,84	257,50	1,735	290,02	+0,0262	Dispositif de la Figure A.
	65			123,00	140,00		130,01	-0,0026	
	66			194,40	120,00		120,16	+0,0013	
	67			66,50	100,00		100,51	+0,0051	
	68	300,0	0,0033	68,20	80,00	1,091	80,72	+0,0050	
69			56,20	60,00		61,03	+0,0171		
70			42,00	50,00		51,67	+0,0370		
71			33,30	40,00		43,12	+0,0530		
72			24,50	30,00		32,22	+0,0740		
Eytelwein	73	360,0	0,0028	352,53	326,08	2,400	325,52	-0,0055	
	74	471,0	0,3750	161,22	187,14	2,998	187,31	+0,0009	
	75			302,50	420,80		420,76	-0,0004	
Leslie	76	600,0	0,1630	302,50	420,50	3,645	420,10	-0,0001	
	77			325,50	365,50		365,51	"	
	78			67,70	106,50		106,50	"	

158. On voit, par la dernière colonne de ce tableau, que les différences entre les valeurs calculées de H et celles que l'observation a fournies, sont généralement très-petites et ne s'élèvent à plus de  $\frac{1}{1000}$  de ces valeurs, que pour 19 des 78 expériences qui y figurent.

De ce nombre, 15 se rapportent aux déversoirs de M. Castel, dont 2 (la 24<sup>e</sup> et la 41<sup>e</sup>), relatives à ceux de 10 et de 20 centimètres de largeur, proviennent évidemment d'erreurs dans les mesures, ce qui n'a rien d'étonnant de l'aveu même de cet ingénieur (141). En effet, si, pour chacun de ces orifices, on prend pour abscisses les valeurs de H et pour ordonnées celles de h, telles qu'elles résultent de l'observation, on obtient deux courbes dont la régularité est brusquement interrompue au point correspondant à  $H = 240$  millimètres, pour la première, et  $H = 200$  millimètres pour la seconde. En les assujettissant à passer

par ces points, elles se dépriment l'une et l'autre de telle sorte qu'étant continuées plus loin,  $h$  au lieu d'augmenter incessamment avec  $H$ , comme l'expérience et le raisonnement l'indiquent, cesserait tout à coup de croître et même diminuerait. Ces courbes conservent au contraire un cours régulier, lorsqu'on retranche de  $H$  ou qu'on ajoute à  $h$  précisément la quantité dont elles diffèrent des valeurs données par la formule (A), ce qui témoigne en faveur des résultats déduits de cette formule.

Des 13 autres expériences de M. Castel dont nous nous occupons, 6 concernent les déversoirs de 3 et de 5 centimètres de largeur, et 7 ceux de 20 et 30 centimètres, sous les plus faibles charges. Les différences dont il s'agit doivent, pour les unes et les autres, être attribuées en grande partie à ce qu'on a pris l'épaisseur effective de la veine pour la charge moyenne. En effet, pour les étroites ouvertures, cette dernière quantité excède l'autre dans une proportion d'autant plus grande, que la charge de liquide est plus faible (135), tandis que c'est l'inverse qui a lieu pour l'orifice de 20 centimètres de largeur et sans doute aussi pour ceux qui sont plus larges (129). Ainsi, en introduisant dans la formule (A) l'épaisseur effective de la veine au lieu de la charge moyenne, le calcul doit donner pour  $H$  des valeurs plus faibles que celles qui résultent de l'observation, dans le cas des déversoirs de 3 et de 5 centimètres (expériences 7, 8, 9, 19, 20 et 21), et plus fortes au contraire dans celui des orifices de 20 et de 30 centimètres de largeur (expériences 49, 50, 51, 69, 70, 71 et 72). Or, c'est précisément ce qui a lieu, de manière que la formule (A), dans laquelle  $h$  représente toujours la charge moyenne, rectifie en quelque sorte, sous ce rapport, les résultats des expériences dans lesquelles on n'a pris en considération que l'épaisseur effective de la veine au centre de l'orifice et dans son plan.

159. Parmi les expériences de M. Bidone, 3 donnent des résultats très-satisfaisants, tandis que pour les deux autres, numérotées 38 et 40, les différences proportionnelles de  $H$  sont de

208 et 130 dix-millièmes; mais, pour ces deux dernières, les charges totales ne sont pas indiquées dans le texte du mémoire de ce savant, et on les a déduites de la comparaison des figures qui l'accompagnent, ce qui a pu conduire à des erreurs. Enfin, l'observation et le calcul s'accordent très bien pour deux des quatre expériences d'Eytelwein; mais, pour les 37<sup>e</sup> et 64<sup>e</sup>, les différences dont il s'agit sont de 276 et 262 dix-millièmes. On ne saurait s'en rendre compte que par de fausses indications de mesures, ce qui est d'autant plus probable, que M. d'Aubuisson (*Traité d'hydraulique à l'usage des ingénieurs*, p. 73 et 74) annonce que Funk, en rapportant les 40 expériences faites sur le canal de Bromberg, dont celles qui nous occupent font partie, donne des charges totales un peu plus fortes que celles qu'il indique lui-même; or, en les augmentant, on les rapprocherait de celles que fournit le calcul.

Il résulte donc de tout ce qui précède que la formule (A) donne, avec un degré d'approximation suffisant pour la pratique, la charge totale H en fonction de la charge moyenne h et réciproquement, pour tous les déversoirs qui, par leur largeur et leur position par rapport au réservoir, sont dans l'un des cas définis aux n<sup>os</sup> 157 et 158.

DÉPRESSIONS DANS LE PLAN DES DÉVERSOIRS ISOLÉS PAR LEUR BASE  
ET DÉBOUCHANT LIBREMENT DANS L'AIR,  
DONT LA LARGEUR EXCÈDE LES 0,5 DE CELLE DU RÉSERVOIR.

160. Lorsque  $\frac{l}{L}$  est plus grand que 0,50, les dépressions de la surface du liquide, dans le plan des déversoirs, suivent une loi précisément inverse de celle qui les régit quand, au contraire, ce rapport est plus petit que 0,50. En effet :

1<sup>o</sup> Elles croissent avec les valeurs de  $\frac{l}{L}$ , ce qui ressort clairement de nos expériences sur un déversoir de 0<sup>m</sup>,20 de largeur, avec les dispositifs des figures 10 et 9 (tabl. du n<sup>o</sup> 165), car dans le premier cas, où  $\frac{l}{L} = 1$ , elles sont beaucoup plus fortes que

dans le second, où  $\frac{l}{L} = 0,833$ ; et, dans celui-ci, elles sont notablement plus grandes que celles qui se rapportent aux dispositifs des figures 1, 2 et 3, pour lesquels  $\frac{l}{L}$  est inférieur à 0,50 (tabl. du n° 157).

2° Elles sont indépendantes de la largeur absolue des déversoirs, car pour le cas où  $\frac{l}{L} = 1$ , les résultats relatifs aux orifices de 0<sup>m</sup>,74 et de 0<sup>m</sup>,361 sont à très-peu de chose près égaux entre eux, et ne diffèrent de ceux que nous avons obtenus avec notre déversoir de 0<sup>m</sup>,20 (dispositif de la fig. 10), qu'en ce que M. Castel a fait entrer dans ses calculs l'épaisseur effective de la veine; au lieu de la charge moyenne (138); ce même déversoir de 0<sup>m</sup>,20, dans le cas où  $\frac{l}{L} = 0,833$  (dispositif de la fig. 9), nous a donné, sauf les différences que nous venons de mentionner, les mêmes dépressions que celui de 0<sup>m</sup>,3002 de M. Castel, dans le cas où  $\frac{l}{L} = 0,8316$ ; enfin, une expérience de M. Eytelwein sur un déversoir de 0<sup>m</sup>,673, placé par rapport au réservoir de telle sorte qu'on avait  $\frac{l}{L} = 0,538$ , s'accorde parfaitement avec celles que M. Castel a faites sur un déversoir de 0<sup>m</sup>,3998, pour lequel la valeur de  $\frac{l}{L}$  était de 0,54 (tabl. du n° 165).

161. Ainsi, des orifices plus larges les uns que les autres depuis 1,5 jusqu'à 3,7 fois, donnent, à égalité du rapport  $\frac{l}{L}$  et pour toutes ses valeurs supérieures à 0,50, les mêmes dépressions de la surface du liquide, d'où l'on doit conclure que ces quantités sont indépendantes de la largeur absolue des déversoirs; et, comme d'un autre côté nous avons vu qu'elles croissent au contraire avec  $\frac{l}{L}$ , il s'ensuit que les résultats des expériences ne peuvent être reproduits que par une formule générale qui soit fonction de  $\frac{l}{L}$  et ne contienne pas  $l$ .

Pour la trouver, nous avons d'abord cherché à établir, pour chaque orifice auquel correspond une valeur distincte de  $\frac{l}{L}$ , une relation entre la charge totale  $H$  et la charge moyenne  $h$ . A cet

effet, nous avons pris pour abscisses les dépressions  $H-h$ , et pour ordonnées les charges moyennes correspondantes  $h$ . Nous avons obtenu, par cette construction, des courbes qui avaient l'apparence de paraboles ordinaires, et que nous avons toujours réussi à représenter, avec un degré de précision satisfaisant, par des équations de la forme  $H-h = a + bh + ch^2$ . Pour lier ces équations entre elles, nous avons pris successivement pour abscisses toutes les valeurs de  $a$ , de  $b$  et de  $c$ , relatives à chaque orifice en particulier, et pour ordonnées les valeurs correspondantes de  $\frac{l}{L}$ . Nous avons ainsi trouvé trois nouvelles paraboles, que nous avons pu exprimer très-approximativement par des équations de la forme  $a = A + B\frac{l}{L} + C\frac{l^2}{L^2}$ , et qui, combinées entre elles, nous ont donné, en prenant le millimètre pour unité, la relation générale :

$$\left. \begin{aligned} H-h &= \alpha h^2 + \beta h - \gamma \\ \alpha &= 0,00315 \left[ \left( \frac{l}{L} - 0,656 \right)^2 + 0,037 \right] \\ \beta &= 0,89 \left[ \left( \frac{l}{L} - 0,83 \right)^2 + 0,096 \right] \\ \gamma &= 9,1 \left[ \left( \frac{l}{L} - 0,98 \right)^2 - 0,333 \right] \end{aligned} \right\} (B).$$

162. Cette formule n'a pas, comme celle qui concerne le cas où  $\frac{l}{L}$  est inférieur à 0,50, la propriété de satisfaire pleinement aux deux limites extrêmes du phénomène. La valeur de  $H$  correspondante à  $h=0$  est de 3,03 millimètres, pour  $\frac{l}{L}=1$  comme pour  $\frac{l}{L}=0,98$ ; elle diminue ensuite avec ce rapport, se réduit à 1,8 millimètre lorsque  $\frac{l}{L}=0,612$ , et n'est plus que de 0,93 millimètre quand  $\frac{l}{L}$  est arrivé à sa limite inférieure 0,50. Nous avons vu (148) que, dans le cas où les bords de notre déversoir de 0<sup>m</sup>,20 étaient à une grande distance des faces latérales du réservoir, l'action capillaire de la paroi dans laquelle cet orifice était pratiqué, maintenait le liquide à 1,8 millimètre au-dessus de la

base de ce dernier, sans que l'écoulement eût lieu. On conçoit que cette hauteur augmente lorsque, les faces latérales étant très-rapprochées de l'ouverture, leur action capillaire s'ajoute en quelque sorte à celle de la paroi qui contient l'orifice, et qu'elle puisse devenir de 3,03 millimètres. C'est d'autant moins invraisemblable, qu'une expérience rigoureuse nous a démontré que le liquide ne commençait à s'écouler par l'orifice, que lorsque la charge totale sur sa base était de 5,3 millimètres, dans le cas du dispositif de la figure 4, où les deux bords du déversoir sont distants de 1<sup>m</sup>,74 des faces latérales du réservoir, tandis que sa base est au niveau du fond de ce réservoir.

La diminution des valeurs de  $H$  avec celles de  $\frac{l}{L}$ , lorsque  $h=0$ , n'a donc rien qui ne paraisse admissible; mais, on ne comprendrait pas qu'après avoir atteint la valeur 1,8 millimètre, correspondante à  $\frac{l}{L}=0,612$ ,  $H$  pût continuer à décroître avec ce rapport, puisque l'expérience a démontré qu'elle avait cette même valeur de 1<sup>m</sup>,8 lorsque,  $\frac{l}{L}$  n'étant que de 0,0544, les parois latérales étaient tellement éloignées des bords du déversoir, qu'elles ne pouvaient avoir aucune action pour maintenir le niveau de l'eau au-dessus de la base de cet orifice. On doit donc conclure de là, que la formule (B) ne reproduit pas avec une entière exactitude les dépressions de la surface du liquide, dans le plan des déversoirs, correspondantes à la limite inférieure des charges; mais il ne saurait en résulter aucun inconvénient pour la pratique, où l'on ne fait jamais usage que de charges de beaucoup supérieures à celles dont il s'agit.

163. D'après cette même formule, d'accord en cela avec l'expérience, le rapport  $\frac{H}{T}$  a un minimum correspondant à des valeurs de  $h$  et de  $H$  variables avec  $\frac{l}{L}$ , et qui sont respectivement de 78,54 et 93,3 millimètres lorsque  $\frac{l}{L}=1$ . Ce rapport  $\frac{H}{T}$  augmente, soit que les charges qui se rapportent à son minimum diminuent, soit qu'elles augmentent elles-mêmes. Dans le premier cas, il devient



infini quand  $h = 0$ , ce qui doit être; mais peut-il, à l'inverse de ce qui a lieu lorsque  $\frac{l}{L}$  est plus petit que 0,50 (148), croître indéfiniment à mesure que  $h$  et  $H$  prennent des valeurs supérieures à celles qui correspondent à son minimum, ou ne doit-il pas plutôt avoir un maximum qu'il ne dépasse pas, quelque fortes que soient les charges?

Malheureusement notre appareil ne nous a pas permis d'opérer sur des charges totales qui excèdent celle de 244 millimètres, pour laquelle  $\frac{H}{h} = 1,223$ , et les plus fortes que MM. Bidone, Eytelwein et Castel aient soumises à l'expérience, ne sont respectivement que de 160,152 et 120 millimètres, en sorte que les résultats qu'on en déduit ne fournissent pas des données suffisantes pour éclaircir la question. Mais M. Navier cite, dans la nouvelle édition de l'Architecture hydraulique de Bélidor (avertissement, page 12), des expériences d'après lesquelles le docteur Robison a trouvé  $\frac{H}{h} = 1,4$ . Les charges sur lesquelles ce savant a fait ses observations, et la position de ses orifices par rapport aux faces latérales du réservoir, nous sont inconnues. Mais, en supposant que son dispositif fût tel qu'on eût  $\frac{l}{L} = 1$ , le rapport  $\frac{H}{h}$ , calculé par la formule (B), ne serait de 1,4 que lorsqu'on aurait  $H = 811,51$  et  $h = 579,65$  millimètres.

Or, les valeurs de ces deux charges correspondantes à  $\frac{H}{h} = 1,4$  sont d'autant plus fortes que  $\frac{l}{L}$  est plus petit; donc la formule (B) ne pourrait, dans aucun cas, donner pour  $\frac{H}{h}$  des valeurs sensiblement supérieures à 1,4, qu'autant que  $H$  et  $h$  excéderaient notablement 0<sup>m</sup>,80 et 0<sup>m</sup>,60. Nous disons notablement, parce que  $\frac{H}{h}$  ne croît pas aussi rapidement qu'on pourrait le penser; car les charges totales correspondantes aux valeurs 1,5 et 1,6 de ce rapport, sont de 1165,23 et 1588,51 millimètres.

164. Au surplus, rien ne dit que 1,4 soit une limite que  $\frac{H}{h}$  ne doit pas dépasser pour les fortes charges. Il semblerait au

contraire que ce rapport puisse atteindre de bien plus grandes valeurs, à en juger par comparaison avec ce qui a lieu pour le dispositif de la figure 14, dont nous parlerons plus loin. Pour ce dispositif, dans lequel  $\frac{l}{L} = 1$ , mais où la base de l'orifice, au lieu d'être isolée, est au niveau du fond du réservoir, l'expérience nous a donné  $\frac{H}{h} = 1,97$  pour  $H = 316,5$  et  $h = 160,4$  millimètres. Il ne serait donc pas étonnant qu'on eût aussi, comme l'indique la formule (B),  $\frac{H}{h} = 1,97$ , pour des charges environ onze fois plus considérables que les précédentes ( $H = 3450,81$  et  $h = 1751,68$  millimètres), dans le cas où,  $\frac{l}{L}$  étant aussi égal à 1, la base de l'orifice est isolée du fond du réservoir.

165. Ainsi, cette formule ne donne que des résultats parfaitement admissibles, soit pour les plus faibles, soit pour les plus fortes charges qu'on puisse avoir en général à considérer dans la pratique. Nous en avons fait l'application, dans le tableau suivant, à nos expériences et à celles de MM. Castel et Eytelwein. Nous n'y avons pas compris celles de M. Bidone, parce que ce savant ayant pris, pour la charge totale, la hauteur à laquelle s'élevait le liquide dans un tube recourbé dont la courte branche était plongée dans la veine fluide, ses résultats, d'ailleurs peu d'accord entre eux, ne peuvent être comparés à ceux qu'ont obtenus les autres observateurs en mesurant directement cette charge.

Nous ferons remarquer, au sujet des expériences de M. Castel, que, toutes les fois que nous l'avons pu, nous avons eu recours aux tableaux dressés par cet ingénieur lui-même, plutôt qu'à ceux qui portent les nos IX et X, parce que dans ceux-ci M. d'Aubuisson, qui en est l'auteur, a altéré les charges totales pour ne les présenter qu'en nombres ronds de millimètres, ce qui a pu, dans certains cas, avoir de l'influence sur les résultats.

Les sections de la veine fluide par les plans des déversoirs dont nous nous occupons ici, étant le plus souvent une fraction

notable de celles du courant dans le réservoir, il y a lieu de tenir compte de la vitesse acquise au point où MM. Castel et Eytelwein ont relevé les charges que nous avons nommées H, (col. 5). La hauteur *i* (col. 6), due à cette vitesse, a été obtenue en divisant la dépense par l'aire de la section du liquide au point dont il s'agit, et nous l'avons ajoutée à H, pour avoir la charge totale réelle  $H = H_1 + i$  (col. 7). La colonne 9 donne, en fonction de *h*, les valeurs de  $H - h$  correspondantes à celles de  $\frac{l}{L}$ ; enfin, dans les colonnes 11 et 12, nous avons comparé  $H$  déduit de la formule avec  $H_1$  et  $H_1 + i$ .

NOMS des observateurs	SÉRIES POSITES.	DONNÉES DE L'OBSERVATION.						RÉSULTATS DÉDUITS DE LA FORMULE (5).			DIFFÉRENCES proportionnelles des valeurs de H déduites de la formule (5), comparées à celles	
		L.	$\frac{l}{L}$ .	Charge sur le banc de l'écoulement direct, H <sub>1</sub> .	Hauteur due à la vitesse acquise par le liquide en passant au point H <sub>1</sub> + i.	Charge totale en valeur de $H = H_1 + i$ .	h.	Valeurs de H - h en fonction de h, correspondantes à celles de $\frac{l}{L}$ .		de H.		
								9	10	11	12	
MM.	millim.		millim.	millim.	millim.	millim.	millim.	millim.	millim.			
1			80,0	1,40	81,40	68,5						
2			60,0	0,90	60,90	50,4						
3	740,0	1,0000	50,0	0,51	50,51	31,0	(0,0221 h + 2,515)² - 5,50		51,20	+0,0150	-0,0050	
4			40,0	0,30	40,50	32,7			60,27	+0,0045	-0,0110	
5			30,0	0,15	30,15	25,0			50,14	+0,0018	-0,0014	
6			20,0	0,09	20,09	18,5			41,03	+0,0254	+0,0141	
7			10,0	0,04	10,04	13,5			31,10	+0,0567	+0,0572	
Castel . . . . .			100,0	1,82	102,82	85,0			135,50	+0,0345	-0,0120	
8	361,0	1,0000	80,0	1,08	81,08	64,2	(0,0221 h + 2,515)² - 3,30		101,24	+0,0128	-0,0151	
9			60,0	0,62	60,62	50,7			81,00	+0,0150	-0,0075	
10			50,0	0,51	50,51	42,4			60,02	+0,0103	-0,0035	
11			40,0	0,30	40,30	35,0			51,62	+0,0204	+0,0101	
12			30,0	0,15	30,15	25,1			41,20	+0,0315	+0,0238	
13									31,22	+0,0607	+0,0361	
14			244,1	"	244,10	199,4			244,27	"	+0,0006	
15			155,8	"	155,89	130,2			155,96	"	+0,0012	
Lechros . . . . .			155,1	"	155,10	129,7			155,36	"	+0,0017	
[ Dispositif de la figure 10.]	900,0	1,0000	102,1	"	102,10	86,8	(0,0221 h + 2,515)² - 3,30		102,20	"	+0,0010	
17			56,6	"	56,60	47,0			56,35	"	-0,0043	
18			10,1	"	10,10	14,4			10,14	"	+0,0021	
19			95,1	1,81	96,91	78,9			91,38	-0,0108	-0,0205	
20			79,6	1,51	80,91	67,0			78,38	-0,0152	-0,0319	
Castel . . . . .	600,4	0,0195	60,6	0,68	61,28	51,0	(0,0153 h + 2,099)² - 3,40		60,20	-0,0050	-0,0166	
22			50,1	0,63	50,73	42,4			49,92	-0,0030	-0,0131	
23			41,4	0,36	41,66	35,1			41,76	+0,0047	+0,0024	
24			29,8	0,10	29,90	25,0			29,39	-0,0142	-0,0176	
Eytelwein . . . . .	1082,0	0,8056	108,0	1,74	109,74	92,0	(0,010 h + 2,705)² - 4,30		105,14	-0,0265	-0,0410	

Noms	Série	DOSSÉS DE L'ORIENTATION.						RÉSULTATS DÉDUITS DE LA FORMULE (B).				DIFFÉRENCES	
		SÉRIES DOSSÉS.						de la formule (B).				des valeurs de H	
		L.	$\frac{l}{L}$	Charge sur la base de l'écoulement déterminé, $H_1$ .	Hauteur de la crête au dessus de la liquide au point mesuré, $H_2$ .	Charge totale réelle, $H$ .	Charge totale en valeur de $H = H_1 + i$ .	Valeurs de $H - h$ en fonction de $\frac{l}{L}$ correspondantes à celles de H.				de $H_1$ .	de $H_1 + i$ .
1	2	3	4	5	6	7	8	9	10	11	12		
Observations		millim.		millim.		millim.		millim.				millim.	
Londres [Disponibilité de la figure 9.]	26			207,0	"	207,00	183,3			209,04	"	+0,0009	
	27			155,0	"	155,00	135,5			155,86	"	-0,0074	
	28			116,9	"	116,90	103,0			116,91	"	"	
	30	200,0	0,5330	100,3	"	100,30	88,1		(0,01474 + 2,905) <sup>2</sup> - 3,05	100,15	"	+0,0015	
	31			30,0	"	30,00	18,0			22,10	"	-0,0097	
	32			140,0	3,78	143,78	122,6			136,13	-0,0065	-0,0026	
	33			130,0	2,81	132,81	115,5			117,83	-0,0013	-0,0213	
	34			100,0	1,83	101,83	85,0			100,00	"	-0,0183	
	35			81,0	1,06	81,06	69,0			79,73	-0,0081	-0,0189	
	36			60,0	0,54	60,54	51,1		(0,01164 + 2,920) <sup>2</sup> - 6,73	56,18	-0,0137	-0,0220	
Cassel	37			50,0	0,25	50,25	42,1			49,57	-0,0066	-0,0154	
	38	300,2	0,8316	30,0	0,30	30,30	33,9			30,87	+0,0053	+0,0083	
	39			30,0	0,10	30,10	23,2			30,33	+0,0107	+0,0073	
	40			99,1	1,66	100,76	81,1			95,44	-0,0469	-0,0528	
	41			80,0	1,02	81,02	68,6			78,15	-0,0346	-0,0466	
	43	600,1	0,8109	60,3	0,51	60,71	51,0		(0,01994 + 3,065) <sup>2</sup> - 8,70	58,63	-0,0211	-0,0343	
	44			51,7	0,35	52,05	43,9			50,69	-0,0315	-0,0261	
	45			39,8	0,17	39,97	32,0			36,30	-0,0113	-0,0157	
	46			21,1	0,10	21,20	20,1			31,23	+0,0082	+0,0010	
	47			07,3	1,07	08,37	81,9			78,15	-0,0386	-0,6491	
Estrasbourg	48			86,5	0,68	87,18	68,2			80,15	-0,0299	-0,0273	
	49	501,4	0,6500	66,7	0,56	67,26	51,5		(0,01094 + 4,830) <sup>2</sup> - 31,90	60,15	-0,0299	-0,0266	
	50			50,7	0,13	50,83	34,5			49,29	-0,0201	-0,0213	
	51			31,3	0,07	31,37	26,3			46,40	-0,0052	-0,0083	
	52			124,0	1,11	125,11	109,5			31,37	+0,0022	"	
	53			105,1	0,78	105,88	99,1			125,50	+0,0145	+0,0050	
	54			84,5	0,53	85,03	68,9			109,99	+0,0075	+0,0008	
	55	300,8	0,5300	50,8	0,21	50,91	40,5		(0,01884 + 6,361) <sup>2</sup> - 30,10	40,61	-0,0008	-0,0094	
	56			38,5	0,13	38,63	30,6			48,85	+0,0031	+0,0004	
	57			30,0	0,09	30,09	25,3			40,09	+0,0017	+0,0023	
58			30,8	0,04	30,84	25,4			30,85	+0,0010	+0,0003		
59	673,0	0,5385	151,0	1,48	152,48	128,0		(0,01274 + 6,343) <sup>2</sup> - 38,98	152,50	+0,0101	+0,0008		

166. D'après ce que nous avons vu au n° 147, les déversoirs de 399,8 et de 673 millimètres de largeur sont les seuls, parmi ceux qui figurent sur ce tableau, pour lesquels on puisse prendre l'épaisseur effective de la veine, au centre de l'orifice et dans son plan, pour la charge moyenne. Pour tous les autres, la première de ces deux quantités est plus faible que la seconde, en sorte qu'en substituant à la place de  $h$ , dans la formule (B), les nombres

de la huitième colonne qui, pour les expériences de MM. Castel et Eytelwein, représentent exclusivement l'épaisseur effective de la veine (138), on doit en déduire pour  $H$  des valeurs trop petites, excepté toutefois dans le cas des très-faibles charges, parce qu'alors l'épaisseur de la veine est au contraire plus grande que la charge moyenne (129).

Or, en jetant un coup d'œil sur la douzième colonne du tableau, on voit qu'il en est réellement ainsi. En effet, dans le cas de nos déversoirs, pour lesquels la huitième colonne donne effectivement la charge moyenne, et de ceux de MM. Castel et Eytelwein, pour lesquels  $\frac{1}{L}$  est plus petit que 0.552, les valeurs de  $H$  déduites du calcul diffèrent extrêmement peu de celles qui résultent de l'observation, tandis que, pour tous les autres déversoirs, les premières sont plus petites que les secondes, excepté cependant lorsque les charges sont très-faibles, auquel cas c'est l'inverse qui a lieu comme cela doit être. Les différences entre ces valeurs sont en général, toutes choses égales d'ailleurs, d'autant plus grandes que les déversoirs sont plus étroits, comme le raisonnement semble l'indiquer (136), et elles ne paraissent pas exagérées, car leur *maximum* n'atteint même pas le *minimum* que l'expérience nous a donné pour certains dispositifs (132).

On peut donc, *quant à présent*, adopter la formule (B), sinon comme exprimant la loi du phénomène dans toute son étendue, du moins comme fournissant, pour tous les cas auxquels elle se rapporte, un moyen empirique pour calculer, avec un degré d'approximation suffisant pour la pratique, les charges totales  $H$  à l'aide des charges moyennes  $h$  dans les plans des déversoirs, et réciproquement.

DÉPRESSIONS DANS LE PLAN DES DÉVERSOIRS ISOLÉS PAR LEUR BASE  
 ET DÉBOUCHANT LIBREMENT DANS L'AIR,  
 DANS LE CAS OÙ LEURS DEUX BORDS VERTICAUX SONT INÉGALEMENT ÉLOIGNÉS  
 DES FACES LATÉRALES DU RÉSERVOIR,  
 ET DANS CELUI OÙ CES FACES SONT OBLIQUES PAR RAPPORT AU PLAN  
 QUI CONTIENT CES ORIFICES.

167. Pour toutes les expériences que nous avons examinées jusqu'ici, les bords des orifices sont à égales distances des parois latérales du réservoir, et sont situés dans un plan perpendiculaire à ces parois. Mais quelquefois, dans la pratique, l'orifice est plus rapproché d'un côté que de l'autre du réservoir, et les parois de celui-ci sont évasées vers l'amont, au lieu d'être parallèles à la direction du courant. Il n'a été fait, à notre connaissance, aucune expérience pour ces cas particuliers; mais ils ont été, de notre part, l'objet de quelques recherches dont nous allons discuter les résultats, en ce qui concerne les dépressions qu'éprouve la surface du liquide.

Dans le dispositif de la figure 8, que nous avons soumis à l'épreuve, les bords verticaux d'un déversoir de 0<sup>m</sup>,20 de largeur sont éloignés, l'un de 0<sup>m</sup>,02 et l'autre de 1<sup>m</sup>,74 des faces correspondantes du réservoir, dirigées d'ailleurs perpendiculairement au plan qui contient cet orifice, en sorte que  $\frac{l}{L} = 0,102$ . Il y aurait donc lieu, d'après ce qui a été dit au n° 147, de faire usage pour calculer la dépression de la surface de l'eau, de la formule (A) relative au cas où  $\frac{l}{L}$  est inférieur à 0,50. Mais, il ne faut pas perdre de vue que toutes les données qui ont servi à établir cette formule, se rapportent à des réservoirs dont les parois latérales se trouvaient à égale distance des bords du déversoir, et avaient par conséquent la même part d'influence sur l'écoulement du liquide. Ici, au contraire, l'une de ces parois est en dedans, tandis que l'autre est en dehors de la sphère d'activité de l'orifice.

C'est donc un état mixte, qui paraît devoir participer du cas où, la distance entre les deux bords de l'ouverture et les faces du réservoir étant de  $1^m,74$ , le rapport  $\frac{l}{L}$  est inférieur à  $0,50$ , et de celui où cette distance n'étant que de  $0^m,02$ , on a  $\frac{l}{L} = \frac{0,20}{0,24} = 0,833$ . L'expérience nous a en effet donné des dépressions qui, pour les fortes charges, sont comprises entre celles qui correspondent à ces deux valeurs de  $\frac{l}{L}$ , et ne diffèrent pas sensiblement de leurs moyennes. Mais il n'en est plus de même pour les faibles charges, car les résultats relatifs à la figure 8 sont alors moindres que tous ceux qui se rapportent à ces mêmes valeurs de  $\frac{l}{L}$ .

168. Cette dernière circonstance n'est pas d'ailleurs particulière au cas dont il s'agit, car elle se présente au contraire souvent. En effet, si l'on rapporte sur une même épure les courbes construites en prenant, pour chacun des dispositifs que nous avons soumis à l'expérience, les charges totales pour abscisses et les dépressions correspondantes pour ordonnées, on voit que, pour un même dispositif, les dépressions diminuent toujours avec la charge, et que, pour des dispositifs différents, elles sont, toutes choses égales d'ailleurs, d'autant plus grandes pour les fortes charges, que les parois du réservoir sont plus rapprochées des bords de l'orifice. Mais plusieurs de ces courbes s'entre-croisent de façon que, pour les basses charges, les dépressions les plus fortes ne se rapportent pas toujours aux dispositifs dans lesquels les bords de l'orifice sont le plus près des faces du réservoir.

Ainsi, pour les charges totales de  $0^m,051$  et au-dessous, les dépressions sont plus grandes dans le cas du dispositif de la figure 1, où  $\frac{l}{L}$  est inférieur à  $0,50$ , que dans celui de la figure 9, où  $\frac{l}{L} = 0,833$ ; et, dans celui-ci, que dans celui de la figure 8, où  $\frac{l}{L}$  est cependant aussi plus petit que  $0,50$ . Le point de croisement des courbes en question n'est pas fixe, et il semblerait résulter du rapprochement des expériences faites, dans des cas ana-

logues, par M. Castel et par nous, qu'il correspond à des charges moins faibles pour les grands déversoirs que pour les petits.

Nous ferons remarquer que les courbes relatives au cas où  $\frac{l}{L}$  est inférieur à 0,50, concourent toutes vers un même point, pour lequel la dépression se confond avec la charge totale et est égale à 1,8 millimètre, mais n'ont aucun autre point commun, tandis que celles qui se rapportent au cas où  $\frac{l}{L}$  est plus grand que 0,50, non-seulement coupent les précédentes, mais encore se croisent entre elles. Les formules (A) et (B), que nous avons établies pour déterminer H en fonction de h et réciproquement, sont, sous ce rapport, tout à fait conformes à la loi indiquée par l'expérience; car, pour certaines charges, la première donne, à égalité d'ouverture, de plus fortes dépressions que la seconde, et les résultats qu'on déduit de celle-ci pour certaines valeurs de  $\frac{l}{L}$ , se trouvent quelquefois, à égalité de charge, plus faibles que ceux qui correspondent à de plus grandes valeurs de ce rapport.

169. Il résulte de ce qui précède, qu'il faudrait une formule particulière pour représenter, dans tous les cas, les dépressions relatives aux dispositifs analogues à celui de la figure 8. Mais nous ne connaissons, ainsi que nous l'avons déjà dit, d'autres expériences sur de tels dispositifs que celles que nous avons faites nous-même, et comme elles ne se rapportent qu'à une seule position des bords de l'orifice, elles sont insuffisantes pour servir de base à une formule générale. Cependant, faute de mieux, nous admettrons provisoirement et avec toute réserve, comme une règle empirique à suivre dans la pratique, ce fait que ces expériences semblent indiquer, à savoir : que, pour des charges un peu fortes, les dépressions relatives à un déversoir isolé par sa base, dont les bords verticaux sont distants des parois correspondantes du réservoir de quantités inégales  $d$  et  $d'$ , les dépressions sont sensiblement des moyennes entre celles qui conviendraient au cas où la largeur L de ce réservoir serait  $l + 2d$ , et à celui où elle serait  $l + 2d'$ ,  $l$  exprimant la largeur de l'orifice. Ce mode d'évaluation



ne saurait d'ailleurs s'appliquer au cas des très-faibles charges, qui du reste se présente très-rarement. Il semblerait, à en juger par les résultats de nos observations, que la dépression, au lieu d'être une moyenne entre celles qui correspondent à  $\frac{l}{l+2d}$  et  $\frac{l}{l+3d}$ , serait alors à peu près égale à la plus petite de ces deux dernières, diminuée de la quantité dont elle est surpassée par la plus grande.

170. Dans le dispositif de la figure 12, les parois du réservoir forment un angle de 45° avec le plan qui contient le déversoir, et le rencontrent à 2° des bords de cet orifice. Elles occupent donc une position intermédiaire entre le cas où, étant perpendiculaires à ce plan, comme dans le dispositif de la figure 9, on aurait  $\frac{l}{L} = 0,833$ , et celui où, se confondant avec lui,  $\frac{l}{L}$  serait inférieur à 0,50. Il y a donc lieu d'appliquer ici tout ce que nous avons dit pour le dispositif de la figure 8. Nos expériences ont en effet donné exactement les mêmes résultats pour ces deux dispositifs, en sorte qu'on peut en déduire les mêmes conséquences pour l'un et pour l'autre, et poser les mêmes règles empiriques à suivre dans la pratique.

Si les parois du réservoir faisaient avec le plan du déversoir un angle plus ou moins ouvert que 45°, il nous semble que la dépression relative au cas où elles seraient perpendiculaires à ce plan, devrait aussi entrer pour plus ou moins de la moitié de sa valeur dans l'évaluation de celle qu'il s'agirait de calculer. D'après cela, si cet angle était de 67° 30', par exemple, il faudrait, pour avoir la dépression cherchée, prendre les  $\frac{2}{3}$  de celle qui correspond à  $\frac{l}{L} = 0,833$ , et y ajouter  $\frac{1}{3}$  seulement de celle qui convient au cas où  $\frac{l}{L}$  est inférieur à 0,50.

171. Nous ne saurions d'ailleurs trop répéter que ce mode d'interpolation, ainsi que les autres règles empiriques que nous avons indiquées, n'étant point basées sur des expériences, pourraient fort bien être reconnus plus tard tout à fait vicieux, quoique le raisonnement paraisse les justifier jusqu'à un certain point. Nous insistons d'autant plus à cet égard, que la présence d'une des

parois latérales du réservoir, à proximité du bord correspondant du déversoir, produit des effets fort différents de ceux que nous avons signalés au sujet du dispositif de la figure 8, lorsque la base de l'orifice, au lieu d'être isolée du fond du réservoir comme dans ce dernier dispositif, est dans son prolongement comme dans celui de la figure 5, dont il sera question plus loin.

Quoi qu'il en soit, nous avons consigné, dans le tableau suivant, les résultats fournis par ces règles empiriques, appliquées à nos expériences sur les dispositifs des figures 8 et 12.

DÉNOMINATION des dispositifs.	SYSTÈME d'écoulem.	VALEURS		VALEURS DE H			DIFFÉRENCES proportionnelles des valeurs de H (colonnes 3 et 7).
		de l'observation		dérivées de la formule		moyenne entre celles que donnent les formules (A) et (B).	
		H	h.	(A).	(B).		
1	2	3	4	5	6	7	8
		en millimètres.		en millimètres.		en millimètres.	
Figures 6.	1	205,7	182,5	190,85	208,65	203,85	+0,0007
	2	118,9	121,0	140,13	140,85	147,90	-0,0061
	3	95,0	83,3	94,78	94,74	94,75	-0,0091
	4	50,8	43,0	52,57	51,00	51,79	+0,0195
	5	20,1	19,0	22,66	22,55	22,55	+0,1517
	6	199,5	179,0	195,29	204,03	199,66	+0,0008
Figures 12.	7	141,3	125,0	141,93	145,30	143,82	-0,0017
	8	86,1	76,4	87,37	87,00	87,19	-0,0168
	9	21,0	18,1	22,67	22,54	22,56	+0,1076

La dernière colonne de ce tableau montre que les différences proportionnelles des valeurs de H atteignent à peine 0,01, pour les charges totales supérieures à 51 millimètres, tandis qu'elles sont considérables pour celles qui sont plus faibles. Mais elles seraient beaucoup moindres si, dans ce dernier cas, on prenait pour H, comme nous l'avons dit au n° 170, la plus petite des valeurs données par les formules (A) et (B), diminuée de la quantité dont elle est surpassée par la plus grande. En opérant ainsi pour les expé-

riences 4, 5 et 9, on trouverait, pour les valeurs calculées de H, 49.43, 21.02 et 21.11 millimètres, et les différences proportionnelles correspondantes ne seraient respectivement que de 0.0073, 0.0507 et 0.0052.

DÉPRESSIONS DANS LE PLAN DES DÉVERSOIRS ISOLÉS PAR LEUR BASE  
ET PROLONGÉS PAR UN CANAL AU DEHORS DU RÉSERVOIR.

172. La dépression moyenne dans le plan des déversoirs n'est pas la même, toutes choses égales d'ailleurs, pour les orifices qui débouchent librement dans l'air et pour ceux qui sont prolongés par un canal au dehors du réservoir. Nos expériences font connaître les modifications que cette dépression éprouve pour ces derniers, avec certains dispositifs. Mais nous n'avons opéré que sur une seule largeur de déversoir, pour le cas où  $\frac{l}{L}$  est inférieur à 0,50, et que sur une seule valeur de ce rapport dans le cas où il est au contraire supérieur à 0,50. Il y a donc lieu de se demander si le canal a la même influence sur la dépression de la surface du liquide, quelle que soit la largeur absolue de l'ouverture, dans le premier cas, et quelle que soit la valeur de  $\frac{l}{L}$ , dans le second, puisque, pour les orifices débouchant librement dans l'air, la dépression ne varie qu'avec la première ou qu'avec la seconde de ces deux quantités, selon que  $\frac{l}{L}$  est inférieur ou supérieur à 0,50 (155).

Nous savons trop à quel point les circonstances les plus insignifiantes, en apparence, altèrent les lois de l'écoulement du liquide, pour oser affirmer que l'effet du canal est le même, quel que soit  $l$  dans un cas et  $\frac{l}{L}$  dans l'autre. Cependant, on doit l'admettre provisoirement et avec toutes réserves, à défaut d'expériences assez variées pour permettre d'établir directement, pour les cas en question, entre la charge totale et la charge moyenne, des relations analogues aux formules (A) et (B).

173. Ainsi,  $d$  et  $d'$  représentant les dépressions de la surface

du liquide dans le plan de notre déversoir de 0<sup>m</sup>,20 de largeur, avec les dispositifs des figures 1 et 15 sur lesquels nous avons opéré, qui ne diffèrent entre eux que par le canal adapté au second, et pour lesquels  $\frac{l}{L}$  est inférieur à 0,50, nous admettons que les valeurs du rapport  $\frac{d^2}{a^2}$ , déduites de l'expérience pour ces deux dispositifs, sont les mêmes, à égalité de charge moyenne, que celles qu'on obtiendrait pour tout orifice placé respectivement dans les mêmes circonstances, et pour lequel par conséquent les dépressions seraient données par la formule (A), s'il débouchait librement dans l'air (157).

Nous admettons pareillement que, pour tout déversoir dont la largeur dépasse les 0,5 de celle du réservoir, et pour lequel par conséquent les dépressions seraient données par la formule (B), s'il débouchait librement dans l'air (161), les valeurs de  $\frac{d^2}{a^2}$  sont les mêmes, à égalité de charge moyenne, que celles qui résultent de nos observations sur les dispositifs des figures 9 et 21, pour lesquels  $\frac{l}{L} = 0,833$  et dont le second est muni d'un canal qui n'existe pas dans le premier.

174. Pour trouver l'expression générale de ce rapport, nous avons pris pour abscisses, dans les deux cas distincts dont il s'agit, ses valeurs calculées d'après les résultats de nos expériences, et pour ordonnées les charges moyennes correspondantes  $h$ . Nous avons trouvé, pour représenter approximativement les deux courbes ainsi obtenues :

1° Dans le cas où  $\frac{l}{L}$  est inférieur à 0,50, D<sup>e</sup> exprimant la dépression pour l'orifice lorsqu'il est prolongé par un canal, D<sup>a</sup> la dépression qui se rapporte au même orifice quand il débouche librement dans l'air, et qui se déduit de la formule (A),

$$\frac{D^e}{D^a} = 1,00 - (0,00138h - 0,768)^2 \quad (C);$$

2° Dans le cas où  $\frac{l}{L}$  est plus grand que 0,50, D<sup>e</sup> étant la dé-

pression pour l'orifice prolongé par un canal,  $D^h$  la dépression pour le même orifice sans canal, donnée par la formule (B),

$$\frac{D^h}{D^a} = \frac{1}{(0,00444h - 0,607)^2 + 1,723} \quad (D).$$

175. Dans la formule (C), le rapport  $\frac{D^c}{D^a}$  a un maximum correspondant à  $h = 556,52$  millimètres et qui est égal à 1. Pour de plus grandes valeurs de  $h$ ,  $\frac{D^c}{D^a}$  diminuerait successivement et finirait par devenir négatif, ce qui est absurde, et indique que la branche de la courbe qui donne pour  $\frac{D^c}{D^a}$  des valeurs positives toujours croissantes avec  $h$ , satisfait seule à la question. En effet, ce rapport mesure en quelque sorte le degré d'influence que le canal, qui prolonge l'orifice au dehors du réservoir, a sur la dépression de la surface du liquide. Cette influence diminue donc, comme l'indique l'expérience, à mesure que la charge de fluide augmente, et elle est nulle lorsque  $\frac{D^c}{D^a} = 1$ . A cet instant, les choses se passent comme si le canal n'existait pas, et l'on comprendrait d'autant moins que son influence se fit de nouveau sentir, et devint de plus en plus grande au fur et à mesure que les charges excéderaient davantage celle qui donne le maximum pour  $\frac{D^c}{D^a}$ , que, dans les mêmes circonstances, la veine fluide, à sa sortie de l'orifice, se détache de plus en plus, en se contractant, des parois latérales de ce canal (109), en sorte que l'écoulement tend sans cesse à se faire comme si le déversoir débouchait librement dans l'air. En outre, si l'on prolonge de sentiment les courbes des coefficients de la dépense des déversoirs avec canal et sans canal (pl. 37, tabl. XXXIX et XLII, dispositifs des fig. 1 et 15), on voit qu'elles se confondent et que par conséquent la dépense est la même dans ces deux cas, pour la charge totale d'environ 585 millimètres, qui correspond à une charge moyenne de 557 millimètres. Il n'y a donc lieu de faire usage de la formule (C) que pour des charges inférieures à celles que nous venons d'indiquer.

et, pour toutes celles qui les surpassent, il faut calculer directement les dépressions au moyen de la formule (A).

Dans la formule (D), la valeur maxima de  $\frac{D^3}{D^3}$  est de 0,58, et elle correspond à  $h = 136,71$  millimètres. Ce rapport diminue ensuite au fur et à mesure que  $h$  augmente, en sorte que le canal paraît avoir d'autant plus d'influence sur la dépression de la surface du liquide, que la charge est plus forte. Nous n'avons aucun moyen de reconnaître jusqu'à quel point une formule qui donne de fort petites dépressions pour de très-hautes charges (18,54 millimètres lorsque  $h = 1000$  millimètres) peut exprimer la loi du phénomène. Tout ce que nous pouvons dire, c'est qu'elle reproduit les résultats de nos expériences avec un degré d'approximation satisfaisant; c'est que, dans le cas auquel elle est applicable, la veine fluide à sa sortie de l'orifice ne se détache que très-peu, même sous les plus fortes charges, des parois latérales du canal, ce qui annoncerait que, sous ce rapport, l'influence de ce canal ne diminue pas (111); c'est qu'enfin les courbes des coefficients de la dépense (pl. 37, dispositifs des fig. 9 et 21) paraissent ne devoir se confondre, et par conséquent la dépense de l'orifice avec canal et sans canal ne devoir être la même qu'à une grande distance de l'origine des charges.

176. Nous avons fait, dans le tableau suivant, l'application des formules (C) et (D) aux résultats de nos expériences sur un déversoir de 0<sup>m</sup>,20 de largeur, avec les dispositifs des figures 15 et 21. Quelques-unes des sections que nous avons relevées, pour le premier de ces deux dispositifs, sont dessinées sur les planches 29 et 30.

DÉNOMINATION DU DISPOSITIF ou de la formule qu'il convient de lui appliquer.	Nombres d'ordres.	Nombres de l'observation		Valeurs de H déduites de calcul.	Variations proportionnelles des valeurs de H.
		H	A.		
		1	2		
		millimètres.	millimètres.	millimètres.	
Figure 15. $\frac{1}{2}$ plus petit que 0,50. Formule (C).	1	215,9	200,0	213,01	+ 0,0005
	2	206,4	193,3	206,46	+ 0,0003
	3	176,0	164,5	175,88	- 0,0007
	4	163,0	135,3	164,75	- 0,0017
	5	150,5	115,1	156,35	- 0,0021
	6	107,4	100,0	107,54	+ 0,0011
	7	102,9	95,6	102,83	- 0,0007
	8	80,3	74,7	80,77	+ 0,0031
	9	60,0	55,0	59,93	- 0,0013
	10	54,1	50,3	54,58	+ 0,0009
	11	44,6	41,6	45,74	+ 0,0026
	12	39,1	36,9	33,45	+ 0,0411
	13	37,9	36,3	36,67	+ 0,0760
Figure 21. $\frac{1}{2}$ plus grand que 0,50. Formule (D).	14	261,0	187,4	201,29	+ 0,0034
	15	199,0	150,4	195,00	"
	16	93,3	69,1	93,12	- 0,0022
	17	59,3	18,1	50,39	+ 0,0009

On voit, par la sixième colonne de ce tableau, que les différences proportionnelles de H sont généralement fort petites, excepté celles qui concernent les expériences 11, 12 et 13. Mais il n'est pas probable que jamais dans la pratique on ait, dans le cas dont il s'agit, à considérer d'aussi faibles charges que celles auxquelles ces trois expériences et surtout les deux dernières se rapportent, parce que, par suite du ralentissement de la vitesse occasionné par le canal, l'écoulement n'est alors pour ainsi dire qu'une bavure, et la dépense du déversoir est à peine d'un litre par seconde.

177. Il ne nous reste plus, pour terminer ce qui concerne les dépressions dans le plan des déversoirs isolés par leur base et prolongés par un canal au dehors du réservoir, qu'à rendre compte des opérations que nous avons faites sur le dispositif de la figure 20.

Ce dispositif tient de ceux des figures 15 et 21, de la même manière que celui de la figure 8 tient de ceux des figures 1 et 9; il y a donc lieu de lui appliquer ce que nous avons dit aux ar-

ticles 167, 168 et 169. C'est pourquoi, conformément à la règle empirique posée dans ce dernier article, nous avons calculé, dans le tableau suivant, les dépressions qui le concernent, en prenant une moyenne entre celles que donnent les formules (C) et (D), pour les dispositifs des figures 15 et 21.

série d'ordr.	NOMBRES de l'observation		VALEURS DE H			DIFFÉRENCES propor- tionnelles des valeurs de H (colonnes 2 et 6.)
	H. 1	A. 2	déduites de la formule		moyenne entre celles que donnent les formules (C) et (D).	
			(C). 3	(D). 5		
1	203,1	189,5	201,94	204,56	205,25	+0,0007
2	101,1	92,6	99,55	99,96	99,92	-0,0117
3	50,1	45,0	47,93	48,76	49,05	-0,0210
4	19,1	17,1	19,66	19,27	19,47	+0,0195

La septième colonne de ce tableau montre que, dans le cas de la figure 20 comme dans ceux des figures 8 et 12 (171), on ne peut faire usage de ce mode d'interpolation que pour les charges qui excèdent 51 millimètres.

DÉPRESSIONS DANS LE PLAN DES DÉVERSOIRS DÉBOUCHANT LIBREMENT DANS L'AIR,  
DONT LA BASE EST PLUS OU MOINS RAPPROCHÉE DU FOND DU RÉSERVOIR,  
SANS ÊTRE AU MÊME NIVEAU.

178. Il résulte des tableaux des numéros 157 et 165, et des explications qui les accompagnent, que nos déversoirs et ceux de MM. Eytelwein, Castel et Bidone donnent, toutes choses égales d'ailleurs, sensiblement les mêmes résultats. Or, les bases de ces orifices sont respectivement exhaussées au-dessus du fond du réservoir, de 540, 188, 170 et 147 millimètres; on doit donc en conclure que cette dernière distance est suffisante, pour que ce fond n'ait point d'influence sur la dépression de la surface du liquide dans le plan du déversoir.

Selon M. d'Aubuisson (Rapport sur les expériences de M. Castel,



*Mémoires de l'Académie des sciences de Toulouse, t. IV, 1837*), l'écoulement ne doit être considéré comme se faisant par un déversoir, qu'autant que le seuil est élevé de 150 à 200 millimètres au-dessus du fond du canal, et que la section d'eau en amont est d'au moins 4 à 5 fois aussi grande que celle qui passe sur ce seuil. Ainsi,  $L$  et  $l$  désignant les largeurs du réservoir et du déversoir,  $p$  la hauteur du seuil au-dessus du fond du canal, et  $H$ , la charge sur ce seuil mesurée au point le plus haut des remous, on devrait avoir  $L(p + H) = 5lH$ . D'où l'on déduit, pour la plus forte charge sous laquelle l'écoulement puisse être considéré comme se faisant par un déversoir,  $H = \frac{Lp}{5l - L}$ . Lorsque  $L = l$ , il vient  $H = \frac{p}{4}$ , en sorte que pour les déversoirs de même largeur que le réservoir, la charge ne pourrait pas excéder le  $\frac{1}{4}$  de la hauteur du seuil au-dessus du fond du réservoir.

179. D'après cela, les résultats obtenus par M. Castel avec les orifices de 740, 680, 600 et 500 millimètres de largeur, sous des charges respectivement supérieures à 43, 48, 56 et 72 millimètres, ne devraient pas suivre la même loi que ceux qui se rapportent à de plus faibles charges; et cependant, non-seulement ils se classent très-bien parmi ces derniers, mais encore, toutes choses égales d'ailleurs, ils sont les mêmes que ceux que nos déversoirs nous ont donnés pour des charges qui satisfont aux conditions indiquées par M. d'Aubuisson.

Au surplus, ce savant ingénieur lui-même, en examinant les expériences de M. Castel relatives à un déversoir formé en barrant un canal de 0<sup>m</sup>74 de largeur, sur des hauteurs qui ont varié depuis 225 jusqu'à 32 millimètres, sous des charges de 80 à 30 millimètres, ne rejette, comme se rapportant plutôt à un cours d'eau qu'à un déversoir, que les seuls résultats qui concernent des hauteurs de seuil de 41 et de 32 millimètres. (*Annales des mines, t. XI.*)

180. Le fait est que le seuil, quelque peu élevé qu'il soit, offre toujours un obstacle que le liquide est obligé de franchir pour déverser par-dessus. L'écoulement n'a donc pas lieu comme dans

un cours d'eau ordinaire, et il n'y a aucune raison pour ne pas le considérer comme se faisant par un déversoir, sauf à en étudier les lois par l'expérience, et c'est ce que nous avons fait. Mais comme il nous était impossible, faute de temps, d'opérer sur toutes les positions que pouvait occuper le fond du réservoir par rapport à la base de l'orifice, depuis le point où il en est assez éloigné pour n'avoir aucune influence, jusqu'à celui où il est au niveau de cette base, nous n'avons fait des séries complètes d'expériences que dans ce dernier cas, parce qu'on pourra déduire approximativement, par interpolation, les résultats qui conviennent aux positions intermédiaires, de ceux que nous avons obtenus pour les deux positions extrêmes.

Toutefois, nous avons eu l'occasion de constater les augmentations successives qu'éprouvent les dépressions de la surface du liquide, dans le plan d'un même déversoir, au fur et à mesure qu'on rapproche la base de cet orifice du fond du réservoir. Pour les mettre en évidence, nous avons réuni, dans la table suivante, quelques-uns des résultats qui concernent un déversoir de 0<sup>m</sup>,202 de largeur, formé en barrant, sur diverses hauteurs, l'extrémité d'un canal établi dans le prolongement d'un orifice fermé à la partie supérieure de 0<sup>m</sup>,05 de hauteur, dans le but d'étudier l'influence des remous sur la dépense de cet orifice (21). Nous avons pris les données nécessaires pour la formation de cette table sur la planche 23 et sur les tableaux XVIII et XXIII, en choisissant, autant que possible, celles qui se rapportent à la même hauteur d'eau dans le réservoir (celle de 0<sup>m</sup>,2375), afin que les comparaisons qu'il s'agit d'établir se rapportent à des circonstances parfaitement identiques. La dixième colonne de cette table indique les dépressions de la surface du liquide déduites de la formule (B), dans le cas où la base du déversoir est isolée du fond du réservoir, et la onzième contient les différences proportionnelles des valeurs ainsi obtenues et de celles que l'expérience a fournies.

DONNÉES DE L'OPÉRATIONS.										VALEUR de la dépression H—h, de la formule proposée des valeurs de H—h.
N <sup>o</sup> de l'expérience.	Hauteur de la base du déversoir au-dessus du fond du canal.	Profondeur d'eau dans le canal au point le plus haut des remous, O.	Charge sur la base du déversoir au point le plus haut des remous, H <sub>1</sub> .	Rapport de la section d'eau au point le plus haut des remous à celle qui passe par la section O de H <sub>1</sub> .	Hauteur due à la vitesse acquise par le liquide au point le plus haut des remous, h.	Charge totale réelle sur la base du déversoir, ou valeur de H—H <sub>1</sub> +h.	Charge moyenne des à la plus haute dépression.	Dépression moyenne dans le plus haute dépression.	Dépression dans le plus haute dépression.	
										1
1	175,0	284,0	109,0	2,61	3,0	112,0	93,0	19,0	17,56	0,6717
2	130,0	200,5	70,5	2,04	1,5	72,0	58,1	13,0	11,13	0,1992
3	100,0	160,5	60,5	2,26	2,0	83,4	63,6	19,6	12,07	0,3004
4	70,0	158,0	88,0	1,60	3,7	93,7	71,5	22,2	13,47	0,3932
5	48,0	143,5	95,5	1,36	9,6	165,3	79,0	26,3	14,86	0,4350
6	43,0	138,5	95,5	1,45	11,1	166,6	79,5	27,1	15,55	0,4183

181. En jetant un coup d'œil sur la 1<sup>re</sup> colonne de cette table, on voit clairement que les dépressions moyennes de la surface du liquide, dans le plan du déversoir, sont d'autant plus grandes, comparativement à celles qui leur correspondent dans le cas où la base de cet orifice est entièrement isolée du fond du réservoir, que la distance entre cette base et ce fond est plus petite. Le rapport de la section d'eau prise au point le plus haut des remous, à celle qui passe sur le seuil du déversoir (col. 5), diminue en même temps que ces dépressions augmentent. Il n'y a d'exception que pour l'expérience n<sup>o</sup> 1, mais nous ferons remarquer à son sujet que, comme il y avait alors dans le réservoir une assez grande hauteur de liquide (0<sup>m</sup>,5020), la veine fluide qui en sortait choquait avec force les remous dans le canal, ce qui y occasionnait des bouillonnements et un mouvement incessant de va-et-vient, qui empêchaient de prendre des mesures parfaitement exactes. Nous sommes persuadé que, sans cette circonstance, nous aurions trouvé pour H—h la même valeur que donne la formule (B); car, d'après ce qui a été dit au n<sup>o</sup> 178, nous ne doutons pas que le fond du réservoir, lorsqu'il est éloigné d'environ 0<sup>m</sup>,17 de la

base du déversoir, ne cesse d'avoir une influence sensible sur la dépression de la surface du liquide, quelle que soit d'ailleurs la charge totale.

DÉPRESSIONS DANS LE PLAN DES DÉVERSOIRS DÉBOUCHANT LIBREMENT DANS L'AIR,  
DONT LA BASE EST AU NIVEAU DU FOND DU RÉSERVOIR,  
DANS LE CAS OÙ LEUR LARGEUR EST INFÉRIEURE AUX 0,5 DE CELLE DE CE RÉSERVOIR.

182. Il n'existe pas d'autres expériences que celles que nous avons faites, sur les déversoirs dont la base est au niveau du fond du réservoir, et comme nous n'avons opéré que sur une seule ouverture, nous sommes obligé, pour généraliser nos résultats, d'admettre, pour ce cas, les faits que nous avons démontrés (155 et 161) pour les orifices isolés par leur base, à savoir : que les dépressions de la surface du liquide ne varient, à égalité de charge totale, qu'avec la largeur absolue  $l$  des déversoirs ou le rapport  $\frac{l}{L}$  de cette largeur à celle du réservoir, selon que  $\frac{l}{L}$  est inférieur ou supérieur à 0,50. Tout porte à croire qu'il en est réellement ainsi, mais nous n'avons, quant à présent, aucun moyen de le constater.

Nous devons, en outre, pour le cas où  $\frac{l}{L}$  est plus petit que 0,50, supposer, ce qui paraît d'ailleurs très-vraisemblable, que la dépression de la surface du liquide, dans le plan de notre déversoir de 0<sup>m</sup>.20 de largeur, correspondante à une charge quelconque, étant représentée par  $D^c$  lorsque la base de cet orifice est au niveau du fond du réservoir, et par  $D^a$  quand au contraire elle en est isolée, le rapport  $\frac{D^c}{D^a}$  ne varie pas, à égalité de charge, quelle que soit la largeur absolue de l'ouverture.

183. Les courbes construites en prenant pour abscisses les dépressions de la surface du liquide dans le plan des déversoirs, et pour ordonnées les charges moyennes correspondantes, ne peuvent pas être représentées par des équations du second degré avec autant d'exactitude, à beaucoup près, quand la base des orifices

est au niveau du fond du réservoir que lorsqu'elle en est isolée (161). Mais elles ont cela de remarquable, que tous les points qui correspondent à des charges supérieures, en général, à 60 millimètres et quelquefois beaucoup moindres, sont sensiblement en ligne droite. C'est pourquoi, considérant que, dans la pratique, on a très-rarement l'occasion de faire usage de charges plus petites avec des dispositifs comme ceux dont il s'agit, nous avons renoncé à reproduire à la fois les résultats qui concernent ces dernières charges et ceux qui se rapportent aux autres, au moyen d'une formule unique, qui, pour les donner avec un degré d'approximation suffisant, serait assez compliquée.

184. La portion en ligne droite de la courbe relative au dispositif de la figure 4, pour lequel  $\frac{h}{L}$  est inférieur à 0,5, a pour équation, en prenant le millimètre pour unité,  $H-h=0,01h+15,76$ . Pour le dispositif de la figure 1, en tout semblable au précédent, excepté que la base de l'orifice est isolée du fond du réservoir au lieu d'être dans son prolongement, on a (148)  $H-h=0,9+\sqrt{1,319h+0,81}$ . Le rapport des dépressions pour ces deux dispositifs est donc exprimé par  $\frac{0,01h+15,76}{0,9+\sqrt{1,319h+0,81}}$ . Or, nous avons admis (182) que ce rapport ne variait pas, quelle que fût la largeur du déversoir, pourvu qu'elle n'excédât pas les 0,5 de celle du réservoir; on a donc, dans ce cas, entre les dépressions  $D^a$  qui concernent les déversoirs dont la base est au niveau du fond du réservoir, et celles  $D^b$  qu'on déduit de la formule (A) (156) pour les orifices dont la base est isolée, la relation générale

$$\frac{D^a}{D^b} = \frac{0,01h+15,76}{0,9+\sqrt{1,319h+0,81}} \dots (E).$$

Cette formule reproduit avec un degré d'approximation bien suffisant, comme on le verra au tableau du n° 188, les résultats de nos expériences sur le dispositif de la figure 4, mais seulement pour les charges supérieures à 60 millimètres; pour celles qui

sont plus petites, les dépressions  $D^s$  sont données par l'équation

$$\frac{D^s}{D^a} = 1,088 + (0,0048h - 0,979)^2 \dots (E_1),$$

qui s'obtient en prenant pour abscisses les valeurs du rapport  $\frac{D^s}{D^a}$ , des dépressions relatives à ces charges pour les dispositifs des figures 4 et 1, et pour ordonnées les charges moyennes correspondantes. Cette équation satisfait à nos expériences pour toutes les charges depuis 60 jusqu'à 24 millimètres, et par conséquent jusqu'à la limite inférieure de celles qui doivent être prises en considération, attendu que, pour de plus petites hauteurs d'eau au-dessus de la base du déversoir, la veine s'attache au madrier dans lequel est encastrée la plaque en cuivre qui contient cet orifice, ce qui altère la loi de l'écoulement du liquide.

185. Lorsqu'on fait  $h = 0$  dans l'équation (E<sub>1</sub>), il vient  $\frac{D^s}{D^a} = 2,046$ , et comme alors  $D^a = 1,8$  millimètre (148), il s'ensuit que  $D^s = 2,046 D^a = 3,68$  millimètres. A l'instant où  $h = 0$ , la dépression se confond avec la charge totale; or, quand on fait monter le niveau de l'eau dans le réservoir, le liquide ne commence à s'écouler par le déversoir, dans le cas du dispositif qui nous occupe, que lorsque cette charge est de 5,3 millimètres (162), et quand au contraire on le fait baisser, l'écoulement ne cesse tout à fait que lorsque cette même charge est réduite à environ 2 millimètres : la valeur de  $D^s$  donnée par l'équation (E<sub>1</sub>) est donc à peu près une moyenne entre les charges totales correspondantes à ces deux instants, en sorte que cette équation exprime assez exactement la loi du phénomène à la limite inférieure. Mais on ne peut pas en dire autant pour la limite supérieure. En effet, le rapport  $\frac{D^s}{D^a}$ , qui est de 2,046 pour  $h = 0$ , diminue à mesure que cette charge augmente, jusqu'à ce qu'il ait atteint la valeur minima 1,088, qui correspond à  $h = 203,96$  millimètres, et il croit ensuite sans cesse avec  $h$ . Nous n'avons aucun moyen de vérifier si ce rapport, qui mesure en quelque sorte l'influence

que le fond du réservoir, lorsqu'il est établi au niveau de la base de l'orifice, exerce sur la dépression de la surface du liquide, doit réellement, après avoir diminué successivement comme l'indique l'expérience, devenir de plus en plus grand pour des charges moyennes qui excèdent de plus en plus 204 millimètres. Mais il est évident que la formule (E<sub>1</sub>) n'exprime pas la véritable loi de cet accroissement; car les valeurs qu'on en déduirait pour les dépressions D<sup>h</sup>, correspondantes aux hautes charges, seraient tellement considérables, qu'on ne saurait les admettre.

Il n'en est pas ainsi de la formule (E); la plus petite valeur qu'elle donne pour  $\frac{D^h}{D^c}$  est de 0,677 et correspond à  $h = 1600$  millimètres. Ce rapport augmente pour de plus fortes charges, mais aussi lentement qu'il a diminué, car il ne prend la valeur 1, qu'il avait pour  $h = 220$  millimètres, que lorsque  $h$  est de 10 mètres, et il n'est encore que de 1,32 quand  $h = 20$  mètres. Cette formule paraît donc mieux exprimer que l'équation (E<sub>2</sub>), la loi de diminution successive du rapport  $\frac{D^h}{D^c}$  indiquée par l'expérience, et en outre elle fournit, pour les dépressions, des valeurs qui n'ont rien d'exagéré, même pour des charges de beaucoup supérieures à toutes celles qu'on peut rencontrer dans la pratique. Elles donnent du reste l'une et l'autre, à des différences insignifiantes près, les mêmes résultats pour toutes les charges comprises entre 60 et 204 millimètres.

186. Ainsi, jusqu'à ce que de nouvelles expériences aient fourni le moyen d'éclaircir la question qui nous occupe, on doit, pour calculer les dépressions relatives aux déversoirs dont la base est au niveau du fond du réservoir, dans le cas où  $\frac{1}{L}$  est plus petit que 0,50, admettre provisoirement, faute de mieux, les formules (E<sub>1</sub>) ou (E); selon que la charge moyenne est inférieure ou supérieure à 60 millimètres; mais, dans l'intervalle de 60 à 204 millimètres, on peut se servir indistinctement de l'une ou de l'autre.

Nous avons appliqué, dans le tableau suivant, la première de

ces deux formules à toutes nos expériences sur le dispositif de la figure 4 ; et, dans le tableau du n° 188, nous avons fait usage de la seconde pour celles de ces expériences qui se rapportent à des charges excédant 60 millimètres. La plupart des sections de la surface du liquide par le plan du déversoir, que nous avons relevées pour déterminer  $h$ , sont dessinées sur la planche 25.

numéros des expériences.	DURÉES DE L'OBSERVATION		VALEURS de $H$ obtenues de la formule (E.).	DIFFÉRENCES proportionnelles des valeurs de $H$ .
	H.	L.		
1	2	3	4	5
	millimètres.	millimètres.	millimètres.	
1	206,1	100,4	208,72	+0,0030
2	205,2	167,8	205,72	+0,0025
3	171,0	154,0	171,00	0,0000
4	136,1	113,3	136,11	0,0000
5	116,5	103,1	116,79	-0,0009
6	92,1	75,7	61,75	-0,0636
7	67,0	53,6	66,93	-0,0007
8	81,1	37,8	81,63	+0,0164
9	46,6	37,0	46,10	+0,0025
10	36,8	34,6	36,80	0,0000
11	30,6	30,1	31,50	+
12	23,6	16,4	20,50	+
13	16,7	11,0	21,14	+
14	16,1	9,3	18,13	+
15	15,0	9,2	18,05	+
16	8,6	5,2	12,27	+
17	3,8	3,1	6,36	+
18	4,6	2,9	9,00	+

Nous n'avons pas calculé les différences proportionnelles des valeurs de  $H$  (colonne 5) pour les huit dernières expériences, parce qu'alors, comme on l'a déjà dit (184), le jet est tellement faible, que la partie inférieure de la veine s'attache au madrier dans lequel est encastrée la plaque de cuivre qui contient le déversoir, ce qui altère la loi de l'écoulement. Elles se rapportent d'ailleurs à des charges trop petites, pour qu'on en fasse usage dans la pratique avec un dispositif comme celui de la figure 4. Quant aux dix premières expériences, les différences proportionnelles qui leur correspondent sont généralement très-minimes, ce qui tend à dé-



montrer qu'on peut, en pareil cas, employer avec confiance la formule (E<sub>1</sub>), dans les limites que nous avons indiquées plus haut.

DÉPRESSIONS DANS LE PLAN DES DÉVERSOIRS DÉBOUCHANT LIBREMENT DANS L'AIR,  
DONT LA BASE EST AU NIVEAU DU FOND DU RÉSERVOIR,  
DANS LE CAS OÙ LEUR LARGEUR EXCÈDE LES 0,5 DE CELLE DE CE RÉSERVOIR.

187. D'après ce qui a été dit précédemment (155 et 182), l'équation du n° 184 qui donne, pour les charges supérieures à 60 millimètres, les dépressions relatives à l'orifice de 20 centimètres de largeur avec le dispositif de la figure 4, pour lequel  $\frac{l}{L} = 0,0544$ , s'applique au même orifice dans tous les cas où  $\frac{l}{L}$  n'exécède pas 0,50, et par conséquent dans celui où la valeur de ce rapport est précisément de 0,50. On a donc alors  $H - h = 0,01h + 15,76$  (1).

Les dépressions pour le même orifice et les mêmes charges, avec les dispositifs des figures 6 et 13 qui correspondent à  $\frac{l}{L} = 0,833$  et à  $\frac{l}{L} = 1$ , sont respectivement représentées par :

$$H - h = 0,748h - 14,0 \dots (2)$$

$$H - h = 1,049h + 4,85 \dots (3).$$

En combinant ensemble les équations 1, 2 et 3 par le procédé indiqué au n° 161, et prenant le millimètre pour unité, on trouve :

$$\left. \begin{aligned} H - h &= \delta h + \theta \\ \delta &= 0,8276 \left[ 2,2782 - \left( \frac{l}{L} - 2,0054 \right)^2 \right] \\ \theta &= 404 \left[ \left( \frac{l}{L} - 0,777 \right)^2 - 0,0377 \right] \end{aligned} \right\} (F).$$

Cette formule, pour être applicable à tous les déversoirs pour lesquels  $\frac{l}{L}$  est égal ou supérieur à 0,50, suppose, comme nous l'avons déjà dit (182), que la largeur absolue de l'orifice ou son rapport à celle du réservoir, selon que ce rapport est inférieur ou supérieur à 0,50, font seuls, toutes choses égales d'ailleurs, va-

rier la dépression de la surface du liquide, lorsque la base du réservoir est au niveau du fond du réservoir, comme cela a lieu quand elle en est isolée (155 et 161). Nous ne voyons pas de raison pour qu'il n'en soit pas ainsi, et cependant la question aurait besoin d'être tranchée par de nouvelles expériences, qui sont d'autant plus nécessaires, que nous n'avons eu, pour déterminer  $\delta$  et  $\theta$  en fonction de  $\frac{1}{L}$ , que trois valeurs numériques de chacun de ces deux coefficients.

188. Quoi qu'il en soit, nous devons, quant à présent, admettre qu'elle exprime d'une manière générale, dans les cas dont il s'agit, les dépressions de la surface du liquide pour toutes les charges moyennes qui excèdent 60 millimètres, et nous en avons fait l'application, dans le tableau suivant, aux résultats de nos expériences sur les dispositifs des figures 4, 6 et 13.

NOMBRES des expériences.	DONNÉES DE L'OBSERVATION				RÉSULTATS DÉDUITS de la formule (F).		VARIANCES propres des valeurs de H.	OBSERVATIONS
	L.	$\frac{1}{L}$ .	H.	A.	Valeurs de H—A ou fonctions de L, correspondantes à celles de $\frac{1}{L}$ .			
					6	7		
1	2	3	4	5	6	7	8	9
1			206,1	188,4		205,00	-0,0008	On n'a pas indiqué tel les résultats qui tombent sous de plus faibles charges, parce qu'ils sont compris dans le tableau de n° 186, et que s'applique la formule (F) en leur cas pas applicable.
2			250,2	187,5	0,014 + 15,70	205,14	-0,0003	
3	200,00	0,500	171,9	154,5		171,81	+0,0007	
4			130,1	115,5		130,19	+0,0007	
5			119,9	105,1		119,89	-0,0001	
6			92,1	75,7		92,22	+0,0015	
7			255,0	155,5		254,32	-0,0027	
8			194,2	138,0		193,84	-0,0036	
9			196,9	170,9		197,35	+0,0022	
10			155,8	96,5		154,33	+0,0048	
11			141,7	89,2		141,99	+0,0016	
12			105,0	68,4	105,26	+0,0012		
13	200,00	0,635	103,4	66,5	101,89	-0,0146	La formule (F) n'est pas appliquée aux expériences numérotées de 18 à 20.  On n'a pas indiqué tel les résultats qui tombent sous de plus faibles charges, parce qu'ils sont compris dans le tableau de n° 186, et que s'applique la formule (F) en leur cas pas applicable.	
14			91,4	36,6	91,81	+0,0048		
15			59,2	36,6	59,2	0,0000		
16			68,4	23,6	68,4	0,0000		
17			50,7	15,9	50,7	0,0000		
18			52,8	11,3	52,8	0,0000		
19			28,4	11,1	28,4	0,0000		
20			11,4	5,0	11,4	0,0000		
21			316,9	189,0	316,89	-0,0002		
22			180,0	61,6	179,56	-0,0025		
23	300,00	1,000	189,8	66,9	189,00	+0,0016		
24			54,0	21,0	54,03	+0,0006		

La huitième colonne de ce tableau montre que la formule (F) reproduit, avec un degré d'exactitude remarquable, tous les résultats de nos expériences qui concernent des charges supérieures à 60 millimètres, et qu'en outre, dans le cas où  $\frac{h}{L} = 1$ , elle satisfait à la limite inférieure de ces charges; car, en faisant  $h = 0$  dans l'équation, on trouve pour  $H$  une valeur 4,85 millimètres, qui diffère très-peu de celle qui correspond à l'instant où le liquide est assez élevé dans le réservoir pour commencer à s'écouler par l'orifice (162).

189. Pour le dispositif de la figure 6 en particulier, nous avons déterminé, au moyen de sections transversales et longitudinales de la surface du liquide (pl. 27), outre les charges moyennes  $h$  qui figurent sur le tableau précédent, les dépressions qui ont lieu sur toute la longueur du réservoir. Nous indiquons ci-dessous celles qui correspondent aux points les plus remarquables, notamment au centre du déversoir qui se forme naturellement à l'entrée de ce réservoir.

SÉRIES D'EXPÉRIENCES.	CHARGES TOTALES de liquide sur le haut de l'orifice H.	DÉPRESSIONS moyennes dans le plan du déversoir fermé à l'entrée du réservoir, déduites de l'aire entière de la section.	DÉPRESSION DANS LE PLAN VERTICAL PASSANT PAR L'AXE DE L'ORIFICE.			
			relevée au centre du déversoir fermé à l'entrée du réservoir.	relevée au point le plus bas de la chute de liquide, après sa sortie du déversoir d'entrée.	relevée à un mètre au-dessus du déversoir de sortie.	relevée au centre du déversoir de sortie.
1	2	3	4	5	6	7
	millimètres.	millimètres.	millimètres.	millimètres.	millimètres.	millimètres.
1	141,7	14,5	13,8	67,0	30,7	61,0
2	106,0	12,5	12,9	65,7	30,2	45,6
3	59,2	8,1	7,7	32,7	17,8	27,2
4	30,7	5,0	4,8	9,0	9,7	15,8
4	21,8	3,2	3,2	6,2	6,9	11,1
6	11,4	1,4	1,4	2,7	2,9	6,4

190. Le dispositif de la figure 14, pour lequel  $\frac{h}{L} = 1$ , ne diffère de celui de la figure 13 qu'en ce que les extrémités d'amont

des faces latérales et du fond du réservoir, y sont arrondies suivant la forme présumée de la veine fluide, au lieu d'être terminées carrément (13). Pour ce dispositif, les dépressions sont représentées très-approximativement, comme l'indique le tableau suivant, par l'équation

$$H - h = 0,96h + 2,24.$$

NUMÉROS des expé- riences.	BOYÈRES DE L'OBSTACLE				VALEURS calculées de H.	DIFFÉRENCES propor- tionnelles des valeurs de H.
	L.	$\frac{l}{L}$	H.	h.		
	1	2	3	4		
	millimètres.		millimètres.		millimètres.	
1			316,5	166,4	316,80	+ 0,0009
2	900,0	1,000	225,0	113,5	226,70	- 0,0013
3			150,0	65,5	150,63	+ 0,0007
4			94,7	36,5	94,18	- 0,0003

Nous avons vu au n° 187 que, pour le dispositif de la figure 13, on avait  $H - h = 1,049h + 4,85$ ; le rapport des dépressions relatives aux figures 14 et 13 est donc exprimé par  $\frac{0,96h + 2,24}{1,049h + 4,85}$ . Par conséquent, en admettant que l'arrondissement des parois produise le même effet sur l'écoulement, quel que soit  $\frac{l}{L}$  dans les limites où ce rapport a de l'influence (de 0,50 à 1), on pourra déduire les dépressions qui concernent les parois arrondies de celles qui se rapportent aux parois terminées carrément, en multipliant les résultats que fournit la formule (F) par la fraction  $\frac{0,96h + 2,24}{1,049h + 4,85}$ , qui augmente sans cesse avec la charge de liquide sans jamais atteindre l'unité.

DÉPRESSIONS DANS LE PLAN DES DÉVERSOIRS DÉBOUCHANT LIBREMENT DANS L'AIR,  
 DONT LA BASE EST AU NIVEAU DU FOND DU RÉSERVOIR,  
 DANS LE CAS OÙ LEURS DEUX BORDS VERTICAUX SONT INÉGALEMENT ÉLOIGNÉS  
 DES FACES LATÉRALES DE CE RÉSERVOIR.

191. Les dépressions de la surface du liquide pour le dispositif de la figure 5 ne sont pas des moyennes entre celles qui se rapportent aux dispositifs des figures 4 et 6, ainsi que cela a lieu pour la figure 8 relativement aux figures 1 et 9 (169), quoique ces trois derniers dispositifs soient respectivement, les uns à l'égard des autres, dans les mêmes conditions que les trois premiers. Ainsi, pour les charges totales sur la base du déversoir de . . . . . 208,70 179,60 140,00 108,70 mill.

les dépressions	{	Fig. 4.	17,58	17,30	16,93	16,64	<i>id.</i>
correspondantes		Fig. 5.	26,30	25,50	22,60	20,70	<i>id.</i>
sont de :		Fig. 6.	122,44	101,27	73,81	51,87	<i>id.</i>

On voit, d'après cela, que, pour reproduire les dépressions de la surface du liquide concernant des dispositifs analogues à celui de la figure 5, il faudrait indispensablement une formule particulière pour laquelle les données nous manquent, attendu que nous n'avons opéré que dans le seul cas où les bords verticaux de l'orifice étaient éloignés des faces correspondantes du réservoir, l'un de 2 centimètres et l'autre de 1<sup>m</sup>,74. C'est pourquoi nous ne pouvons qu'indiquer ici les résultats de nos expériences, sans chercher à les généraliser. Ils sont exprimés avec un degré d'exactitude satisfaisant, pour toutes les charges qui excèdent 60 millimètres, par l'équation  $H - h = 0,064h + 14,89$ . Les sections de la surface du liquide par le plan du déversoir, qui nous ont servi à déterminer la charge moyenne  $h$ , sont dessinées sur la planche 26.

NOMBRES des expé- riences.	DONNÉES DE L'INSTALLATION		VALEURS de H deduites du calcul.	DIFFÉRENCES propor- tionnelles des valeurs de H.	OBSERVATIONS
	H.	L.			
	m.	m.			
1	208,7	187,4	205,96	+0,0012	Le niveau a varié pour les expériences 3, 12 et 15, et c'est pour cela qu'on a opéré sur des charges qui diffèrent notablement de celles que ces trois expériences concernent, afin de rectifier les premiers résultats.  La formule n'est pas appli- cable aux expériences numé- rées de 8 à 16.
2	206,0	180,0	206,41	+0,0019	
3	205,8	180,5	207,26	+0,0071	
4	179,6	154,1	178,85	-0,0032	
5	140,0	117,4	136,80	-0,0014	
6	105,7	88,0	104,32	-0,0017	
7	98,1	78,5	98,41	+0,0028	
8	88,0	45,0	"	"	
9	41,1	26,2	"	"	
10	31,4	15,2	"	"	
11	10,6	11,0	"	"	
12	10,0	6,0	"	"	
13	10,2	6,3	"	"	
14	0,0	3,0	"	"	
15	5,2	3,3	"	"	

DEPRESSIONS DANS LE PLAN DES DÉVERSOIRS PROLONGÉS PAR UN CANAL,  
DONT LA BASE EST AU NIVEAU DU FOND DU RÉSERVOIR.

192. Afin de généraliser les résultats de nos expériences sur les déversoirs prolongés par un canal, dont la base est au niveau du plancher du réservoir, nous admettons provisoirement pour ce cas, comme nous l'avons admis pour celui dont la base est isolée (172 et 173), que le canal a la même influence, quelle que soit la largeur de l'orifice, ou quel que soit  $\frac{l}{L}$ , selon que ce rapport est inférieur ou supérieur à 0,50.

Les dépressions données par l'expérience, pour toutes les charges supérieures à 60 millimètres, sont représentées : par  $H-h=0,059h+4,35$ , pour le dispositif de la figure 16 dans lequel  $\frac{l}{L}$  est inférieur à 0,50; et par  $H-h=0,01h+15,76$  (184) pour celui de la figure 4, en tout semblable au précédent, excepté que le déversoir débouche librement dans l'air au lieu d'être prolongé par un canal. Par conséquent, le rapport des dépressions

relatives à ces deux dispositifs est exprimé par  $\frac{0,059h + 4,35}{0,01h + 15,76}$ . Or, nous avons admis que ce rapport ne variait pas pour toutes les valeurs de  $\frac{l}{L}$  inférieures à 0,50; donc, en appelant en général  $D^*$  la dépression qui, dans ce cas, concerne les déversoirs prolongés par un canal, et  $D^*$  celle qui se rapporte aux mêmes orifices débouchant librement dans l'air, et qu'on déduit de la formule (E) du n° 184, on aura

$$\frac{D^*}{D^*} = \frac{0,059h + 4,35}{0,01h + 15,76} \dots (G).$$

Pareillement, le rapport des dépressions relatives aux dispositifs des figures 19 et 6, pour lesquels  $\frac{l}{L}$  est plus grand que 0,50, et qui ne diffèrent que par le canal qui est adapté au premier, est exprimé par  $\frac{0,232h - 1,47}{0,748h - 14,0}$ . En désignant par conséquent par  $D^*$  la dépression qui, pour toutes les valeurs de  $\frac{l}{L}$  supérieures à 0,50, correspond aux déversoirs prolongés par un canal, et par  $D^*$  celle que, dans ce cas, on déduit de la formule (F) du n° 187, pour les mêmes orifices débouchant librement dans l'air, on aura

$$\frac{D^*}{D^*} = \frac{0,232h - 1,47}{0,748h - 14,0} \dots (H).$$

193. D'après la formule (G), le rapport  $\frac{D^*}{D^*}$  augmente sans cesse avec  $h$ , mais évidemment les valeurs supérieures à l'unité ne satisfont pas à la question, car il s'ensuivrait que la dépression  $D^*$ , pour les déversoirs prolongés par un canal, deviendrait plus forte que celle  $D^*$  qui se rapporte aux mêmes orifices débouchant librement dans l'air. On conçoit que l'influence de ce canal, dont l'effet est de diminuer la dépression en ralentissant la vitesse de l'écoulement, devienne moindre à mesure que la charge de liquide augmente. Ce fait résulte des mesures que nous avons prises sur place, et en outre des apparences mêmes que présente la veine; car, pour les fortes charges, elle se contracte latéralement

à sa sortie de l'orifice et se détache des parois du canal, en sorte que l'écoulement tend de plus en plus à se faire comme si ce canal n'existait pas (109). Mais, du moment que la charge est assez forte pour que le rapport  $\frac{D^2}{D^2}$  atteigne la valeur 1, qui correspond à  $h = 232,86$  millimètres, les choses se passent réellement, en ce qui concerne les dépressions, comme si le déversoir débouchait librement dans l'air; et l'on ne comprendrait pas que le canal, qui ne peut que ralentir la vitesse de l'écoulement, devint ensuite une cause d'augmentation du rapport  $\frac{D^2}{D^2}$ . C'est pourquoi nous pensons que, pour les valeurs de  $h$  ou de  $H$  supérieures à 233 ou 251 millimètres, les dépressions doivent être calculées *directement* par la formule (F), sans avoir recours à l'équation (G).

La valeur de  $\frac{D^2}{D^2}$ , déduite de la formule (H) pour la charge de 60 millimètres, qui est la plus faible de celles que nous considérons ici, est de 0,357. Ce rapport diminue ensuite très-lentement au fur et à mesure que  $h$  augmente, et tend sans cesse vers sa limite inférieure 0,31. Ainsi, l'influence que le canal qui prolonge l'orifice exerce sur la dépression de la surface du liquide, augmente un peu avec la charge, au lieu de diminuer comme dans le cas précédent. Les apparences de la veine fluide, à sa sortie du déversoir, expliquent, jusqu'à un certain point, cette différence dans les effets produits par le canal, puisque dans ce dernier cas elle se détache des parois verticales de ce canal sous les fortes charges (109), tandis que dans l'autre elle n'éprouve aucune contraction dans le sens latéral (111).

194. Nous avons indiqué, dans le tableau suivant, les résultats donnés par nos expériences et par les formules (G) et (H), pour l'orifice de 20 centimètres de largeur avec les dispositifs des figures 16 et 19. Les sections de la surface du liquide par le plan du déversoir, qui nous ont servi à déterminer les charges moyennes  $h$ , sont dessinées sur les planches 31 et 32.





primer d'une manière générale les dépressions relatives aux dispositifs analogues à celui dont il s'agit, il faut, comme nous l'avons déjà dit (191), une formule particulière déduite d'expériences, dans lesquelles on fera varier la position relative des bords verticaux du déversoir et des faces latérales du réservoir.

Nous devons donc nous borner à indiquer les résultats que nous a donnés l'observation, pour notre déversoir de 20 centimètres de largeur avec le dispositif de la figure 18, et qui sont représentés avec un degré d'exactitude satisfaisant, comme le montre le tableau suivant, par l'équation  $H - h = 0,111h + 1,94$ .

NUMÉRO des expé- riences.	DONNÉES DE L'OBSERVATION		VALEURS de H déduites de calcul.	DIFFÉRENCES proportionnelles des valeurs de H.
	H.	h.		
	1	2		
	millimètres.		millimètres.	
1	206,4	154,2	206,20	+ 0,0000
2	165,0	138,5	165,04	+ 0,0003
3	60,5	32,7	60,40	- 0,0002
4	54,0	39,1	54,93	+ 0,0074

197. Dans le dispositif de la figure 22, les parois du réservoir, disposées à 2 centimètres des bords verticaux du déversoir, sont inclinées à 45° sur le plan qui contient cet orifice. Il est donc, par rapport aux dispositifs des figures 16 et 19, ce qu'est, par rapport à ceux des figures 9 et 1, le dispositif de la figure 12, où les parois du réservoir sont aussi inclinées à 45°. Or, les dépressions pour ce dernier dispositif sont des moyennes entre celles qui se rapportent aux figures 9 et 1; il semblerait donc qu'il devrait en être de même des dépressions relatives au dispositif de la figure 22, par rapport à celles qui concernent les dispositifs des figures 16 et 19. Mais il n'en est point ainsi, et il serait de toute nécessité, pour pouvoir établir, dans ce cas, une relation entre la charge totale et la charge moyenne, de faire des expériences dans lesquelles on ferait varier à la fois l'inclinaison des parois du réservoir, et leur position par rapport aux bords verticaux de l'orifice.

Nous avons indiqué, dans le tableau suivant, les résultats que nous avons obtenus pour notre déversoir de 20 centimètres de largeur avec le dispositif de la figure 22. Ils sont représentés très-approximativement par l'équation  $H - h = 0,084 h + 1,32$ .

ÉTUDES des expé- riences.	NOUVEAU DE L'ÉQUIPEMENT		VALEURS de H déduites de celui. h	DIFFÉRENCES proportionnelles des valeurs de H.
	H.	h.		
	1	2		
	millimètres.	millimètres.	millimètres.	
1	206,4	189,2	206,41	0,0000
2	102,9	93,6	102,78	- 0,0012
3	66,3	54,3	66,18	- 0,0053
4	44,6	40,1	44,78	+ 0,0010

198. Le canal qui prolonge le déversoir au dehors du réservoir doit évidemment, toutes choses égales d'ailleurs, avoir moins d'influence sur la dépression de la surface du liquide quand il est incliné, que lorsqu'il est horizontal comme dans tous les cas que nous avons examinés jusqu'ici. Pour nous rendre compte de la différence des effets produits, nous avons fait trois expériences sur le dispositif de la figure 26, où le canal est incliné à  $\frac{1}{10}$ , et nous en avons comparé les résultats, dans le tableau suivant, avec ceux qui concernent le dispositif de la figure 9, d'après lequel le déversoir débouche librement dans l'air, et celui de la figure 21, où l'orifice est prolongé par un canal horizontal.

ÉTATS d'ordre.	CHARGES TOTALES sur le bas du déversoir.	DÉPRESSION NOTÉE DANS LE PLAN DU DÉVERSOIR.			
		lorsqu'il dé- bouche librement dans l'air.	lorsqu'il est prolongé au dehors de réservoir par un canal		
			incliné à $\frac{1}{10}$ .	horizontal.	
1	2	3	4	5	
	millimètres.	millimètres.	millimètres.	millimètres.	
1	207,1	25,45	19,6	14,65	
2	99,6	7,95	6,6	4,37	
3	19,6	4,36	2,5	2,18	

Pour les deux premières expériences, les dépressions inscrites dans la colonne 4 sont à peu près des moyennes entre celles qui sont consignées dans les colonnes 3 et 5, en sorte que l'inclinaison de  $\frac{1}{10}$  ne fait perdre au canal qu'environ la moitié de l'influence qu'il a sur ces dépressions quand il est horizontal.

DÉVERSOIR DE 20 MILLIMÈTRES DE LARGEUR EN MINCE PAROI PLANE.

199. Nous avons dit au numéro 152, que les dépressions relatives au déversoir de 20 millimètres de largeur en mince paroi plane (dispositif de la fig. 1), étaient moindres que 1,8 millimètre pour les charges totales inférieures à 593,5 millimètres, et que par ce motif elles ne pouvaient pas, comme celles qui se rapportent à de plus larges orifices, être exprimées par la formule (A), qui suppose que  $1^{\text{m}},8$  est la limite inférieure des valeurs de la dépression. Les résultats qui concernent ce déversoir sont représentés avec une exactitude presque rigoureuse, comme le montre le tableau suivant, par l'équation  $H - h = 0,004 h + 0,14$ .

NUMÉROS des expé- riences.	DOSSÉS DE L'INCLINAISON			VALEURS de H déduites de calcul.	DIFFÉRENCES propre- ment dites des valeurs de H.
	H.	A.	H - A.		
1	2	3	4	5	6
	millimètres.	millimètres.	millimètres.	millimètres.	
1	593,5	591,0	2,5	593,50	0,0000
2	301,5	300,2	1,3	301,54	+0,0001
3	162,5	161,7	0,8	162,49	-0,0001
4	81,5	81,0	0,5	81,46	-0,0005

RÉCAPITULATION DES FORMULES QUI PEUVENT SERVIR À DÉDUIRE LA CHARGE TOTALE  
DE LA CHARGE MOYENNE ET RÉCIPROQUEMENT,  
POUR LES DÉVERSOIRS QUI ONT AU MOINS 30 MILLIMÈTRES DE LARGEUR.

200. Les cas sur lesquels ont porté nos expériences relatives à la dépression moyenne de la surface du liquide, dans le plan des

déversoirs qui ont au moins 30 millimètres de largeur, sont si nombreux qu'il nous a paru utile d'en faire la récapitulation, ainsi que celle des formules qui peuvent servir à déduire la charge totale sur la base de l'orifice, de la charge moyenne et réciproquement, en y ajoutant quelques indications sur la manière de les appliquer.

Les déversoirs considérés sous le rapport dont il s'agit, se partagent en deux catégories, selon que leur base est entièrement isolée du fond du réservoir, c'est-à-dire est exhaussée d'au moins 150 millimètres au-dessus de ce fond, ou est placée au même niveau. Dans chaque catégorie, on distingue les déversoirs débouchant librement dans l'air de ceux qui sont prolongés par un canal au dehors du réservoir, et chacune de ces deux subdivisions comprend deux cas distincts, selon que la largeur de l'orifice est inférieure ou supérieure aux 0,5 de celle du réservoir. Il y a, en outre, un cas mixte dans chaque catégorie, c'est celui où les faces du réservoir sont inégalement éloignées des bords verticaux du déversoir, ou sont inclinées sur le plan qui contient cet orifice.

Nous avons désigné dans la table suivante, comme dans tout ce qui précède, par :

$l$  et  $L$  . . . les largeurs du déversoir et du réservoir;

$H$  . . . la charge totale, *réelle* ou *fictive*, sur la base du déversoir, censée mesurée en un point où le liquide serait parfaitement stagnant, et qu'on détermine, dans tous les cas, par la charge ci-après, toujours facile à relever sur place;

$h$  . . . la charge moyenne dans le plan du déversoir, déduite de la *charge entière de la section de la veine par ce plan*;

$D^a$ ,  $D^b$ ,  $D^c$  . . . les dépressions  $H$  —  $h$  données par les formules (A), (B), (C).

Le millimètre est pris pour unité.

LA VALEUR de rapport $\frac{h}{D}$ étant :	1 <sup>re</sup> CATÉGORIE. RÉSERVOIRS DONT LA BASE EST ENTièrement SOUS LE POND DE RÉSERVOIR.	
	déversant librement dans l'air.	prolongé par un canal horizontal au dehors du réservoir.
Inférieures à 0,50.	$H - h = D^2 = 0,9 + \sqrt{\rho h + 0,8}$ $\rho = 5,438 - (0,001731 - 2,373)h^2 \dots (A).$	$H - h = D^2 = (1,00 - (0,00138h - 0,768)h^2) D^2 \dots (C).$
Supérieures à 0,50.	$H - h = D^2 = \alpha h^3 + \beta h - \gamma$ $\alpha = 0,00315 \left[ \left( \frac{h}{D} - 0,656 \right)^2 + 0,037 \right]$ $\beta = 0,89 \left[ \left( \frac{h}{D} - 0,83 \right)^2 + 0,096 \right]$ $\gamma = 9,1 \left[ \left( \frac{h}{D} - 0,98 \right)^2 - 0,333 \right] \dots (B).$	$H - h = D^2 = \frac{D^2}{1,793 + (0,00411h - 0,607)h^2} \dots (D).$
LA VALEUR de rapport $\frac{h}{D}$ étant :	2 <sup>e</sup> CATÉGORIE. RÉSERVOIRS DONT LA BASE EST AU NIVEAU DU POND DE RÉSERVOIR.	
	déversant librement dans l'air.	prolongé par un canal horizontal au dehors du réservoir.
Inférieures à 0,50.	<p>1<sup>re</sup> Lorsque <math>h</math> ou <math>H</math> surpassent 60 ou 75 millimètres :</p> $H - h = D^2 = \frac{0,01h + 15,76}{0,9 + \sqrt{1,219h + 0,8}} D^2 \dots (E).$	$H - h = D^2 = \frac{0,02h + 4,33}{0,01h + 15,76} D^2 \dots (G).$
Supérieures à 0,50.	<p>2<sup>e</sup> Lorsque <math>h</math> ou <math>H</math> sont inférieures à 60 ou 75 millimètres :</p> $H - h = D^2 = (1,088 + (0,00458h - 0,979)h^2) D^2 (E_1).$ $H - h = D^2 = \beta h + \theta$ $\beta = 0,8276 \left[ 2,2782 - \left( \frac{h}{D} - 2,0054 \right)^2 \right]$ $\theta = 4,04 \left[ \left( \frac{h}{D} - 0,777 \right)^2 - 0,0377 \right] \dots (F).$	$H - h = D^2 = \frac{0,23h - 1,47}{0,714h - 4,20} D^2 \dots (H).$

201. Les formules (A) et (B) sont basées sur un très-grand nombre d'expériences, faites par divers observateurs sur des déversoirs et des réservoirs très-différents les uns des autres. Elles peuvent être employées avec confiance, surtout la première, qui satisfait au cas où la charge est infinie, comme à celui où elle n'est plus assez grande pour vaincre les forces d'adhésion qui retiennent le liquide contre la base de l'orifice. Toutefois, elle suppose que,

pour les déversoirs dont la largeur surpasse 1372 millimètres, la valeur de  $p$  est constante et égale à son maximum 5,428, et que par suite, à égalité de charge, les dépressions ne varient plus quel que soit  $l$ . Nous ferons remarquer que, dans tous les cas auxquels cette équation se rapporte, on peut se contenter de mesurer l'épaisseur effective de la nappe de liquide au centre de l'orifice et dans son plan, parce qu'alors cette épaisseur diffère très-peu de la charge moyenne.

Toutes les autres formules ne sont fondées que sur nos seules observations; elles n'ont pas le même caractère de généralité que les deux premières, et l'on ne peut, en général, en faire usage qu'avec quelques restrictions.

Ainsi, celles qui sont désignées par (C) et (G) cessent d'être applicables lorsque  $h$  est supérieur à 557 millimètres, dans le cas de la première, et à 233 millimètres dans celui de la seconde, et l'on doit alors calculer *directement* les dépressions par les formules (A) ou (E), comme si le déversoir débouchait librement dans l'air au lieu d'être prolongé par un canal.

Cette même formule (G) et celles que nous avons appelées (E), (F) et (H), n'ont été établies et ne peuvent être employées que pour des valeurs de  $h$  supérieures à 60 millimètres, tandis que l'équation (E<sub>1</sub>) ne satisfait, au contraire, à la question que depuis  $h=0$  jusqu'à  $h=204$  millimètres, en sorte que (E) et (E<sub>1</sub>) donnent les mêmes résultats dans l'intervalle de  $h=60$  à  $h=204$  millimètres.

Nos expériences relatives au cas où les parois du réservoir sont inégalement éloignées des bords de l'ouverture, et à celui où elles sont inclinées sur le plan qui la contient, sont trop incomplètes pour qu'on puisse en déduire aucune règle à suivre pour évaluer les dépressions. Toutefois, pour les déversoirs isolés par leur base, on peut, à la rigueur, faire usage du mode d'interpolation indiqué aux numéros 169, 170 et 171.

Enfin, soient D les dépressions relatives à un déversoir dont la base est située, au-dessus du fond du réservoir, à une distance  $\beta$

plus petite que  $0^m,17$ , et  $D^i$  celles qui concernent le même orifice dans le cas où sa base est entièrement isolée; si l'on admet que le rapport  $\frac{D}{D^i}$  soit constant, c'est-à-dire que le fond du réservoir ait, toutes choses égales d'ailleurs, la même influence sur la dépression quels que soient le déversoir et le dispositif, on pourra déduire les dépressions  $D$  correspondantes à chaque valeur de  $R$  comprise entre zéro et  $0^m,17$ , de celles  $D^i$  qui se rapportent au cas où  $R$  est égal ou supérieur à  $0^m,17$ , et qui sont données par les formules (A), (B), (C) ou (D). En effet, si l'on prend pour abscisses les rapports  $\frac{D}{D^i}$ , donnés par la comparaison des résultats consignés dans les colonnes 9 et 10 de la table du numéro 180, et pour ordonnées les hauteurs  $R$  de la base du déversoir au-dessus du fond du réservoir (colonne 2), on obtient, en ne tenant pas compte de l'expérience numéro 3 qui fait évidemment anomalie, une courbe qui diffère extrêmement peu d'une droite représentée par l'équation  $\dots \frac{D}{D^i} = 2,088 - 0,0064R$ , qui servira à calculer  $D$  en fonction de  $D^i$ .

## DEUXIÈME SECTION.

### DÉPENSES DES ORIFICES.

#### § 1.

##### FORMATION DES TABLEAUX RELATIFS AUX DÉPENSES DES ORIFICES.

202. Les résultats qui concernent les dépenses des orifices forment deux catégories distinctes qui se rapportent, l'une aux orifices proprement dits, c'est-à-dire limités sur tout leur pourtour, l'autre aux déversoirs ou orifices découverts à la partie supérieure. Chaque catégorie est divisée en deux sections relatives, l'une au cas où les orifices débouchent librement dans l'air, l'autre à celui où ils sont prolongés par des canaux au dehors du réservoir. En-



fin, on a formé autant de tableaux portant chacun un numéro, qu'on a considéré d'orifices différents, et on y a inscrit, à la suite les uns des autres, les résultats des expériences en les distinguant par dispositif. Tous ces tableaux sont rejetés à la fin du texte de ce mémoire, et sont précédés d'une légende qui dispense de toute explication pour faire comprendre les annotations, les indications de formules et les dispositifs qui y sont relatés.

203. Les sept premiers tableaux concernent les orifices de  $0^m,20$  de base sur diverses hauteurs, débouchant librement dans l'air. Ils sont divisés en deux parties distinctes, dont celle de gauche se rapporte au cas où la charge de fluide est mesurée à une distance de l'orifice telle, que le liquide puisse y être considéré comme stagnant, tandis que celle de droite appartient au cas où cette charge est prise à  $0^m,02$  en amont de l'orifice (114).

204. Le tableau n° VIII est relatif aux orifices de  $0^m,60$  et de  $0^m,02$  de base sur diverses hauteurs, en mince paroi plane et entièrement isolés du fond et des faces latérales du réservoir. Il ne comprend pas le cas où la charge est relevée près des orifices, ce qui n'était pas nécessaire pour l'objet qu'on avait en vue, et on y a au contraire inséré, de plus que dans tous les autres, les coefficients de la formule  $D'$ , qui tient compte de l'influence de la hauteur de l'ouverture, parce que ces coefficients sont indispensables pour pouvoir comparer entre eux certains résultats, comme on le dira plus loin (236). Cette formule étant plus compliquée que la formule  $D$ , et ses coefficients étant aussi variables que ceux de cette dernière, nous ne l'avons pas fait figurer ailleurs que dans le tableau qui nous occupe, et dans le n° XVIII dont on parlera plus bas.

205. Les tableaux du n° IX au n° XII concernent des orifices de  $0^m,60$  de base sur diverses hauteurs, pratiqués dans une paroi de  $0^m,05$  d'épaisseur et débouchant librement dans l'air. Leur composition est exactement la même que celle des sept premiers.

206. Ceux du n° XIII au n° XVII sont relatifs, comme les sept premiers, aux orifices de  $0^m,20$  de base sur diverses hauteurs,

mais prolongés par des canaux au dehors du réservoir au lieu de déboucher librement dans l'air. Ces tableaux ne diffèrent des quatre qui les précèdent qu'en ce que, pour les ouvertures de moins de  $0^m,20$  de hauteur et le dispositif de la figure 15, on a ajouté, sur la gauche, deux colonnes donnant les températures de l'air et de l'eau pendant la durée de chaque expérience, et, sur la droite, deux autres colonnes indiquant les valeurs des coefficients de la formule D, rectifiées en tenant compte des variations que ces températures font éprouver à la hauteur des orifices (28). Il y a, en outre, dans certains cas, à l'extrémité de droite, six colonnes concernant la vitesse dans les canaux qui prolongent ces orifices.

207. Le tableau n° XVIII a pour objet l'effet des remous sur la dépense d'un orifice de  $0^m,20$  de base sur  $0^m,05$  de hauteur, prolongé au dehors du réservoir par un canal barré à son extrémité (pl. 23 et 24). Il est divisé en deux parties distinctes, dont celle de gauche comprend les données de l'expérience et de l'observation, et celle de droite les résultats du calcul appliqué à diverses formules de la dépense.

Dans la première partie, se trouvent les températures de l'air et de l'eau pendant les opérations, l'aire de l'orifice rectifiée d'après ces températures (28), les coefficients de la formule D' extraits du tableau n° VI du mémoire de 1829, et relatifs au cas où l'orifice que l'on considère ici est en mince paroi plane, et entièrement isolé du fond et des faces latérales du réservoir; enfin, les coefficients de la formule D donnés par les expériences 1278 et suivantes, qui se rapportent au cas où l'eau coule librement dans le canal, sans y être arrêtée par un barrage (tabl. n° XV).

La deuxième partie du même tableau, renferme les calculs relatifs à la détermination des coefficients de correction, dont il faut affecter la formule ordinaire D et d'autres formules théoriques, pour obtenir la dépense effective de l'orifice dont il s'agit, telle qu'elle résulte des expériences faites avec le canal barré à son extrémité.

208. Les tableaux du n° XIX au n° XXI se rapportent à des déversoirs de 0<sup>m</sup>,20, 0<sup>m</sup>,02 et 0<sup>m</sup>,60 de base, débouchant librement dans l'air. Ils sont tous divisés en trois parties comprenant, l'une les données fournies par l'expérience et l'observation, la seconde les résultats concernant la formule de la dépense ordinairement en usage, et la troisième les calculs relatifs au cas où l'on assimile les déversoirs à des orifices fermés à la partie supérieure, qui ont pour hauteur l'épaisseur moyenne  $h - h'$  de la tranche de liquide qui sort par le déversoir, et pour charge sur le centre la hauteur  $H$ , obtenue en retranchant la moitié de l'épaisseur  $h - h'$  de la charge totale  $h$  sur la base, mesurée loin de l'orifice en un point où le fluide est parfaitement stagnant.

209. Le tableau n° XXII a pour objet un déversoir de 0<sup>m</sup>,20 de base, prolongé par des canaux au dehors du réservoir. Il ne diffère des trois précédents qu'en ce que, dans certains cas, on y a ajouté six colonnes relatives à la vitesse de l'écoulement dans les canaux.

210. Le tableau n° XXIII concerne un déversoir de 0<sup>m</sup>,202 de base, formé en barrant un canal sur toute sa largeur. Les données principales de ce tableau sont les mêmes que celles du n° XVIII, auquel il sert en quelque sorte de supplément. Nous donnerons plus loin (272) quelques explications qui sont nécessaires pour bien faire comprendre l'objet de quelques-unes de ses colonnes.

211. Le tableau n° XXIV est relatif à des déversoirs incomplets ou en partie noyés de 0<sup>m</sup>,24 et 0<sup>m</sup>,204 de base, prolongés par des canaux de même largeur au dehors du réservoir. Sa formation et son but seront indiqués avec détail lorsqu'il sera question de la dépense de ces déversoirs (312).

212. Les tableaux du n° XXV au n° XLIII comprennent une table générale des coefficients des formules de la dépense. Ceux qui concernent les orifices fermés à la partie supérieure (du n° XXV au n° XXXVIII) sont tous, excepté le n° XXXII, divisés, comme les tableaux détaillés (203), en deux parties distinctes qui

se rapportent, l'une au cas où l'on mesure la charge loin de l'orifice, en un point où le liquide est parfaitement stagnant, l'autre à celui où l'on relève cette charge immédiatement au-dessus de l'orifice (à 0<sup>m</sup>,02 en amont). Le tableau n° XXXII n'est relatif qu'au cas où l'on prend la charge loin de l'orifice; mais il est aussi partagé en deux parties donnant, l'une les coefficients de la formule D, l'autre ceux de la formule D', qui ne figurent pas dans les autres tableaux par les motifs exposés au n° 204. Les tableaux du n° XXXIX au n° XLII donnent, pour les déversoirs, les coefficients de la formule ordinaire  $d$  de la dépense de ces sortes d'orifices, et ceux dont il faut affecter la formule D, lorsqu'on assimile les déversoirs à des orifices fermés à la partie supérieure (208). Enfin, le n° XLIII fait connaître, pour les déversoirs incomplets, les coefficients à appliquer à la formule D, qui leur est particulière. Comme ce tableau sera examiné à part, il n'en sera plus question dans tout ce qui va suivre.

213. La première colonne de tous ces tableaux indique, pour les orifices fermés à la partie supérieure, la charge sur le sommet mesurée, soit loin, soit immédiatement au-dessus de l'orifice, et, pour les déversoirs, la charge totale sur la base prise, dans tous les cas, en un point où le liquide est parfaitement stagnant. Les colonnes qui suivent la première donnent, pour chaque charge, les coefficients des formules de la dépense relatifs aux divers dispositifs portés en tête de ces colonnes.

Ces coefficients ont été déduits, par interpolation, de ceux qu'ont fournis les expériences et qui sont consignés dans les tableaux détaillés. A cet effet, on a construit, pour chaque orifice et pour chaque dispositif distinct, une courbe ayant pour abscisses les charges et pour ordonnées les coefficients correspondants. Ces courbes ont été assujetties à passer rigoureusement par tous les points domés par l'expérience, et on les a prolongées au delà de ces points d'après le sentiment de la continuité, pour leur faire embrasser toutes les charges, depuis celle de 0<sup>m</sup>,30 et même, dans certains cas, de 1 mètre sur la base des déver-

soirs, jusqu'à celle de  $0^m,01$ , et depuis celle de 3 mètres sur le sommet des orifices fermés à la partie supérieure, jusqu'à celle qui correspond à l'instant où le liquide se détache de ce sommet.

214. Comme cette dernière charge, lorsqu'elle est mesurée loin de l'orifice, varie pour chaque dispositif et comprend souvent des fractions de millimètre, nous ne l'avons pas portée dans les tableaux, afin d'éviter de les compliquer inutilement, et nous nous sommes borné à y indiquer le coefficient relatif à la charge qui lui est immédiatement supérieure dans la série générale des charges, établie de 5 en 5 millimètres depuis zéro jusqu'à  $0^m,07$ , et ensuite de centimètre en centimètre jusqu'à  $0^m,24$ . Mais nous nous sommes servi du coefficient correspondant à la charge dont il s'agit, pour calculer celui qui se rapporte au cas dans lequel cette même charge est relevée immédiatement au-dessus de l'orifice, et où elle est par conséquent nulle. La détermination de ce dernier coefficient, par le simple prolongement à vue de la courbe d'interpolation, eût été trop incertaine, parce que les ordonnées de cette courbe croissent très-rapidement pour les hautes charges. On a même été obligé de renoncer à chercher sa valeur pour les orifices de  $0^m,01$  et de  $0^m,005$  de hauteur, parce que la courbe d'interpolation relative au cas où la charge est prise loin de l'orifice, se rapproche elle-même beaucoup trop de la verticale, pour qu'on puisse la prolonger au delà des points donnés par les expériences, quelque près qu'ils soient de la limite inférieure des charges.

En général, les coefficients relatifs au cas où les charges sont relevées loin des orifices, ont seuls été conclus immédiatement des courbes d'interpolation, qu'on a pu alors, sauf les deux exceptions qu'on vient de mentionner, prolonger sans inconvénient, soit parce que leurs ordonnées ne croissent pas trop rapidement, soit parce que nos expériences se sont presque toujours étendues jusque tout près de la limite inférieure des charges, et quelquefois même au-dessous de cette limite, comme on peut le voir au tableau n° I (expériences 76, 77, 78, 132, 133, 134

et 159). Nous avons ensuite déduit les autres coefficients de ceux-ci, en leur appliquant, pour plus de rigueur, le même calcul que pour former les tableaux détaillés eux-mêmes.

215. Pour qu'on puisse prendre, d'un seul coup d'œil, une idée exacte des lois suivies par ces coefficients, selon les divers dispositifs sur lesquels nous avons opéré, y compris celui qui a fait l'objet du mémoire de 1829, on a dessiné sur les planches 33, 34, 35, 36 et 37, pour le cas où les charges sont mesurées en un point où le liquide est parfaitement stagnant, les courbes d'interpolation relatives aux orifices et au déversoir de 0<sup>m</sup>,20 de base.

Les abscisses de ces courbes sont comptées sur l'axe A X, à partir du point A, et représentent, pour les orifices, les charges sur leur sommet à l'échelle de  $\frac{1}{10}$ , et, pour le déversoir, les charges totales sur sa base à l'échelle de grandeur naturelle. Les ordonnées sont mesurées parallèlement à l'axe A Y, à partir de la ligne A X, et expriment les coefficients à l'échelle de 1 mètre de longueur pour un coefficient égal à l'unité. Mais, afin de diminuer l'étendue occupée par ces ordonnées, on en a retranché, sur chaque figure, une quantité constante qui est cotée au-dessous de l'axe des abscisses.

On a écrit, sur chaque courbe, le numéro du dispositif auquel elle se rapporte; on y a marqué par de gros points, laissés en évidence, les résultats déduits des expériences, en sorte qu'on peut facilement distinguer leurs prolongements au delà de ces points, du côté des plus faibles et des plus fortes charges. En outre, les coefficients conclus de ces prolongements sont séparés des autres par de petits traits horizontaux, dans chacune des colonnes de la table générale.

## § 2.

RÉSULTATS D'EXPÉRIENCES PARTICULIÈRES CONCERNANT LES DÉPENSES  
DES ORIFICES.

216. Il nous a paru convenable, pour n'avoir pas à inter-

rompre, par des questions incidentes, l'examen des lois des dépenses des orifices, de discuter à part les résultats de diverses expériences particulières qui s'y rapportent, et de réunir ici, en les développant, quelques explications qui ne sont indiquées que sommairement dans les colonnes d'observations des tableaux détaillés.

217. Nous avons rattaché les résultats obtenus en 1828 avec ceux de 1829 et de 1831, au moyen de 9 expériences numérotées 44 bis, 121 bis et 341 bis, qui ont en même temps constaté directement l'influence qu'a sur la dépense un canal établi dans le prolongement des orifices (tabl. I, III, XIII, XV, XXXIV et XXXVI). Ces mêmes expériences nous ont servi à vérifier réciproquement les contenances des jauges en charpente et en maçonnerie, puisque en 1828 et 1829 nous avons recueilli les produits de l'écoulement dans la première de ces jauges, et en 1831 dans la seconde. En outre, nous avons rendu cette vérification aussi complète que possible, en répétant en 1831, avec la jauge en maçonnerie, les séries entières d'expériences que nous avions faites en 1829 avec la jauge en charpente, sur les orifices de 0<sup>m</sup>,20, de 0<sup>m</sup>,10 et de 0<sup>m</sup>,05 de hauteur, dans le cas du dispositif de la figure 4. Tous les coefficients de la formule ordinaire de la dépense, déduits de ces opérations, s'encadrent bien entre eux et donnent des courbes parfaitement continues, ce qui démontre, de la manière la plus incontestable, que les résultats fournis par l'une et par l'autre jauge sont exactement comparables. Il en est de même de ces jauges à l'égard du cuvier qu'on leur a substitué dans le cas des faibles dépenses (57), comme le prouvent vingt et une expériences faites à des époques fort éloignées les unes des autres, et mentionnées sur les tableaux n<sup>os</sup> III, XV et XVII.

218. L'expérience numéro 16 a été faite en s'écartant de la marche ordinaire, pour en suivre une qu'on peut être obligé d'employer dans la pratique. L'orifice carré de 0<sup>m</sup>,20 de côté (dispositif de la fig. 3) étant entièrement ouvert, on l'a fermé tout à coup, et, après avoir laissé le calme se rétablir dans le réservoir, on a levé la vanne. Lorsque les plus fortes oscillations produites

par la brusque ouverture de l'orifice ont cessé, on a mesuré la charge de liquide qui était alors de  $1^m,6680$ , et, à partir de cet instant, on a recueilli la dépense dans la jauge. A la fin de l'expérience, qui a duré  $97^s,5$ , on a de nouveau relevé la charge, qui s'est trouvée n'être que de  $1^m,6642$ , et l'on a calculé le coefficient de la formule D sur la moyenne  $1^m,6661$  entre ces deux charges. Sa valeur  $0,6035$  ne diffère pas de celle  $0,6034$  fournie par les deux expériences 14 et 15, qui ont été faites avec un niveau constant.

219. Lorsque l'orifice est accompagné de venteaux très-rapprochés de ses bords, la vanne, comme on l'a dit au numéro 9, glisse dans deux feuillures de  $0^m,006$  de largeur, ménagées à la jonction de ces venteaux et de la face d'aval du réservoir. Nous avons voulu constater l'influence que ces feuillures pouvaient avoir sur la dépense. Dans ce but, nous les avons fait boucher pour les expériences 169 et 481 qui concernent, l'une l'orifice carré de  $0^m,20$  de côté, et l'autre celui de  $0^m,20$  de base sur  $0^m,05$  de hauteur. Ces expériences ont donné des coefficients qui sont de  $\frac{1}{160}$  et  $\frac{1}{200}$  plus forts que ceux qui se rapportent aux mêmes charges, dans le cas où les feuillures sont ouvertes.

L'effet inverse a lieu pour les déversoirs dans certaines circonstances, tandis que, dans d'autres, on retrouve la même loi d'augmentation que pour les orifices fermés à la partie supérieure. Ainsi, dans le cas du dispositif de la figure 13 avec le barrage dont on parlera plus loin, les expériences 1798 et 1799 relatives à la charge de  $0^m,1295$ , et 1802 et 1803 relatives à celle de  $0^m,0538$ , ont été faites avec les feuillures ouvertes, et que ceux des coefficients de la dépense de  $\frac{1}{331}$  et  $\frac{1}{48}$  plus forts ont donné qu'on a obtenus pour les feuillures bouchées. Avec le même dispositif de la figure 13, mais sans barrage, l'expérience 1810 a donné, lorsque les feuillures étaient ouvertes, un coefficient de  $\frac{1}{164}$  plus fort que celui qui lui correspond dans le cas des feuillures bouchées. Pour le dispositif de la figure 14, les expériences 1817 et 1818 ont, au contraire, fourni des résul-



tats de  $\frac{1}{19^e}$  plus faibles que ceux qui correspondent au cas des feuillures bouchées.

On doit conclure de là que ces feuillures ont sur la dépense une influence variable selon les circonstances, et qui, toutes choses égales d'ailleurs, paraît d'autant plus grande que la dépense elle-même est plus faible. Dans tous les cas que nous avons examinés, leur suppression donnait immédiatement lieu à un plus grand élargissement de la veine à sa sortie de l'orifice.

On doit mentionner que, pour ne pas s'écarter des circonstances ordinaires de la pratique, on n'a tenu compte, en dressant la table générale des coefficients de la dépense, que des résultats relatifs au cas des feuillures ouvertes pour les orifices fermés à la partie supérieure, et des feuillures bouchées pour les déversoirs.

220. On s'est souvent demandé si la dépense ne variait pas selon qu'on levait plus ou moins la vanne du canal de décharge, destiné à régler le niveau de l'eau dans le réservoir. Pour vérifier le fait, on a ouvert entièrement ce canal pour faire les expériences 1360 et 1361, et la première des deux qui sont numérotées 849 bis, tandis qu'il était tout à fait fermé pour celles qui les suivent immédiatement. Les résultats obtenus dans l'un et l'autre cas ne diffèrent entre eux que de  $\frac{1}{350}$  à  $\frac{1}{1710}$ , ce qui prouve qu'il est indifférent de lever peu ou beaucoup la vanne de ce canal, qui d'ailleurs n'a jamais été que très-peu ouvert pendant tout le cours de nos opérations.

221. Pour les orifices de moins de 0<sup>m</sup>,20 de hauteur, on a toujours eu le soin d'arc-bouter la vanne à son extrémité inférieure, afin de l'empêcher de fléchir, au moyen du mécanisme mentionné au numéro 33. Il nous a paru utile de constater directement l'altération que pouvait éprouver la dépense, lorsque ce mécanisme n'agissait pas. On a fait, dans ce but, sur l'orifice de 0<sup>m</sup>,01 de hauteur, les deux expériences 849 bis, relatives à une charge moyenne de 1<sup>m</sup>,8220, et l'expérience 851 bis, qui concerne une charge de 0<sup>m</sup>,9975. Le coefficient 0,6796 déduit des deux premières, et celui 0,6811 donné par la troisième, sont respecti-

vement de  $\frac{1}{115}$  et  $\frac{1}{160}$  plus forts que ceux qui se rapportent aux mêmes charges, dans le cas où la vanne ne fléchit pas.

222. Il ne nous reste plus, avant de passer à l'examen des lois des dépenses, qu'à parler des effets du barrage décrit aux numéros 39 et suivants.

Ce barrage s'arrêtait à 0<sup>m</sup>,05 au-dessus du bord supérieur de l'orifice carré de 0<sup>m</sup>,20 de côté, pour les expériences 108, 109, 114 et 115, et descendait jusqu'au niveau du sommet de l'orifice de 0<sup>m</sup>,10 de hauteur, pour les numéros 277, 278, 279 et 280, et cependant les résultats qu'on a déduits de ces expériences s'accordent tous parfaitement avec ceux qu'on a obtenus lorsque, toutes choses égales d'ailleurs, ce barrage n'existait pas. Quand, au contraire, il était prolongé (41) jusqu'à 0<sup>m</sup>,25 du fond du réservoir sur son côté parallèle au plan des orifices, et jusqu'à 0<sup>m</sup>,40 sur ses deux autres côtés, il avait, dans certains cas, une influence notable sur les produits de l'écoulement, comme on l'a prouvé de la manière la plus irrécusable en faisant successivement, d'abord avec ce barrage et ensuite lorsqu'il était entièrement supprimé, les expériences suivantes, savoir :

1<sup>o</sup> Orifices de 0<sup>m</sup>,20 de base sur 0<sup>m</sup>,20, 0<sup>m</sup>,05 et 0<sup>m</sup>,01 de hauteur;

Expériences du numéro 191 au numéro 210, du numéro 472 au numéro 498, du numéro 837 au numéro 859.

2<sup>o</sup> Orifices de 0<sup>m</sup>,60 de base sur 0<sup>m</sup>,20, 0<sup>m</sup>,05 et 0<sup>m</sup>,03 de hauteur, percés dans une paroi de 0<sup>m</sup>,05 d'épaisseur;

Expériences du numéro 1040 au numéro 1042, du numéro 1053 au numéro 1055, et du numéro 1074 au numéro 1076.

3<sup>o</sup> Déversoir de 0<sup>m</sup>,20 de base;

Expériences du numéro 1793 au numéro 1816.

223. En comparant entre eux les résultats de ces expériences, on reconnaît que, pour les orifices fermés à la partie supérieure, les coefficients de la dépense relatifs au cas où le barrage existe, sont toujours plus forts que ceux qui concernent le cas où ce barrage est entièrement supprimé. Le rapport de la différence à

la valeur de ces derniers, varie d'un orifice à l'autre; et, pour un même orifice, il augmente à mesure que la charge devient plus faible, jusqu'à une certaine limite au delà de laquelle il diminue un peu. Les valeurs maxima et minima de ce rapport, pour les orifices de 0<sup>m</sup>,20 de base avec des hauteurs

de	0 <sup>m</sup> ,20	0 <sup>m</sup> ,05	0 <sup>m</sup> ,01
sont de	$\frac{1}{78}$ et $\frac{1}{188}$	$\frac{1}{86}$ et $\frac{1}{117}$	$\frac{1}{44}$ et $\frac{1}{274}$ .

Les expériences comparatives pour les orifices de 0<sup>m</sup>,60 de base pratiqués dans une paroi de 0<sup>m</sup>,05 d'épaisseur, ne concernent, pour chaque orifice, qu'une seule charge qui n'est pas la même pour tous non plus que le dispositif, et le barrage descendait moins bas que pour les orifices de 0<sup>m</sup>,20 de base. La valeur du rapport dont il s'agit, pour les hauteurs d'ouverture

de	0 <sup>m</sup> ,20	0 <sup>m</sup> ,05	0 <sup>m</sup> ,03
est de	$\frac{1}{66}$	$\frac{1}{111}$	$\frac{1}{155}$ .

224. Le barrage a sur la dépense du déversoir de 0<sup>m</sup>,20 de base, une influence inverse de celle que nous venons de signaler pour les orifices fermés à la partie supérieure, c'est-à-dire que les coefficients obtenus lorsqu'il existe, sont tous plus faibles que ceux qui se rapportent au cas où il est entièrement supprimé. Le rapport de la différence à la valeur de ces derniers est nul pour la charge totale de 0<sup>m</sup>,3230 sur la base du déversoir; il augmente ensuite, à mesure que cette charge devient plus faible, jusqu'à un certain point au delà duquel il diminue, puis il augmente de nouveau pour les plus petites charges. Sa valeur, dans la limite des expériences comparatives que nous avons faites, est comprise entre zéro et environ  $\frac{1}{44}$ .

225. En résumé, on fait *augmenter* la dépense des orifices fermés à la partie supérieure et *diminuer* celle des déversoirs, lorsqu'on prolonge *au-dessous de la base de ces orifices*, comme il est dit au numéro 41, la cloison établie à 6<sup>m</sup>,00 en amont.

Nous ne saurions d'ailleurs expliquer ces singuliers effets, autrement qu'en faisant des hypothèses qui ne seraient basées sur aucun résultat positif d'expériences ou d'observations, comme, par exemple, en admettant que, pour les orifices fermés à la partie supérieure, la cloison donne lieu à la formation d'un noyau d'écoulement, dont la vitesse s'ajoute à celle qui résulte de la charge de liquide au-dessus de ces orifices. Cette vitesse ne pourrait du reste, selon la manière ordinaire d'envisager les choses, être attribuée à une différence de hauteur entre le niveau de l'eau en amont et en aval du barrage, puisque, malgré les soins les plus minutieux pour la déterminer, nous n'avons pu en constater aucune (41), et que, en outre, le calcul indique que sa valeur maxima est absolument insignifiante. En effet, cette valeur correspond évidemment au cas de la plus forte dépense par les ouvertures ménagées entre le fond du réservoir et les arêtes inférieures de la cloison, dépense qui est toujours égale à celle qui se fait par les orifices eux-mêmes. Or celle-ci, pendant toute la durée des expériences comparatives qui nous occupent, ne s'est jamais élevée au delà de 156,989 litres (expérience 191). La vitesse moyenne de l'écoulement à travers les ouvertures en question, dont la surface est de 4 mètres carrés (41), doit donc, pour fournir cette dépense, être de  $\frac{0,156989}{4} = 0^m,03925$ , qui correspond à une chute ou différence de hauteur entre le niveau de l'eau en amont et en aval du barrage, de  $\frac{(0,03925)^2}{2g} = 0^m,000078$ .

Ce qui précède démontre combien les circonstances les plus insignifiantes, en apparence, peuvent avoir d'influence sur les résultats des expériences, et justifie les longs détails dans lesquels nous sommes entré, pour bien faire connaître nos appareils et la manière dont nous avons opéré.

## 53.

DÉPENSES DES ORIFICES FERMÉS À LA PARTIE SUPÉRIEURE,  
DÉBOUCHANT LIBREMENT DANS L'AIR.ORIFICES DE 0<sup>m</sup>,20 DE BASE SUR DIVERSES HAUTEURS.

226. L'orifice carré de 0<sup>m</sup>,20 de côté présentant moins de chances d'erreur que tous les autres, à cause de la grandeur de ses dimensions, nous l'avons pris pour type et pour point de départ de toutes nos expériences, et nous nous sommes particulièrement attaché à étudier, en ce qui le concerne, les lois des dépenses depuis les plus faibles jusqu'aux plus fortes charges, pour les vingt-huit premiers dispositifs dessinés sur les planches 1, 2 et 3, et décrits au paragraphe 2 du chapitre premier de ce mémoire. Nous avons opéré avec ces mêmes dispositifs, excepté ceux des figures 13<sup>1</sup> et 27, sur les orifices de 0<sup>m</sup>,05 et de 0<sup>m</sup>,01 de hauteur, pour connaître, dans tous les cas, les résultats relatifs à la plus grande, à la moyenne et à la plus petite ouverture, et pouvoir en déduire ceux qui conviennent aux ouvertures intermédiaires. Nous avons, en outre, soumis à l'expérience les orifices de 0<sup>m</sup>,10, 0<sup>m</sup>,03 et 0<sup>m</sup>,02 de hauteur, avec ceux de ces dispositifs qui modifient le plus les dépenses, afin qu'on n'ait à procéder par interpolation que dans les cas où les erreurs qu'on peut commettre ont le moins d'influence. Enfin, nous avons, dans les mêmes circonstances, opéré sur l'orifice de 0<sup>m</sup>,005 d'ouverture, qu'on n'avait pas considéré dans les expériences publiées en 1829, afin d'acquérir une idée de la loi des dépenses pour cette limite extrême de la hauteur des orifices.

227. En jetant un coup d'œil sur les résultats qui concernent le cas où l'on mesure la hauteur du niveau de l'eau, dans le réservoir, en un point où le liquide est parfaitement stagnant, on voit que les coefficients de la formule D de la dépense croissent constamment, en même temps que les charges diminuent, pour

les ouvertures de 0<sup>m</sup>.005, 0<sup>m</sup>.01 et 0<sup>m</sup>.02 de hauteur; et que, pour celles qui sont plus grandes, ils ne suivent cette loi ascendante que dans certains cas, tandis que dans d'autres ils n'augmentent, à mesure que les charges deviennent plus faibles, que jusqu'à une certaine limite qui est variable selon le dispositif et la hauteur de l'orifice, et au delà de laquelle ils décroissent avec les charges (tableaux du n° 1 au n° VII et du n° XXV au n° XXXI).

Les courbes dont les ordonnées  $Ay$  représentent ces coefficients (pl. 33, 34, 35 et 36), bien qu'assujetties à passer par tous les points donnés par l'expérience, sans aucune exception, suivent une marche très-régulière et ont une continuité en quelque sorte parfaite. Celle qui se rapporte à l'orifice carré de 0<sup>m</sup>.20 de côté avec le dispositif de la figure 4, présente, dans la portion correspondant aux charges comprises entre 1<sup>m</sup>.10 et 1<sup>m</sup>.70, une inflexion que n'a aucune des autres courbes qui concernent cet orifice, et qui semblerait, au premier abord, devoir résulter de quelque accident particulier. Mais il n'en est point ainsi, car cette inflexion est déterminée au moyen de neuf points, donnés par vingt-trois expériences dont les résultats s'intercalent parfaitement entre eux, quoique obtenus à des époques séparées par un intervalle de deux ans (1829 et 1831).

La même inflexion se reproduit d'ailleurs, quoique beaucoup moins fortement prononcée, pour les orifices de 0<sup>m</sup>.10 et de 0<sup>m</sup>.05 de hauteur, et si les autres courbes n'offrent rien de semblable, cela tient sans doute à la différence des dispositifs, et peut-être aussi à ce que les points déduits de l'expérience étant moins rapprochés les uns des autres, cette inflexion et même d'autres encore sont restées inaperçues. On remarquera, au surplus, qu'en supprimant entièrement l'inflexion dont il s'agit, pour donner à cette portion de la courbe 4 une forme analogue à celle qu'affectent les autres courbes, la plus grande altération qu'on ferait éprouver aux coefficients correspondants ne s'élèverait qu'à environ  $\frac{1}{43}$  de leur valeur.

228. Lorsque, considérant toujours le cas où le niveau de

l'eau, dans le réservoir, est pris en un point où le liquide est parfaitement stagnant, on compare les résultats relatifs aux dispositifs de la figure 1 avec ceux qui concernent les autres dispositifs, on voit que, à égalité de charge, les coefficients de la formule D de la dépense sont généralement d'autant plus forts, pour un même orifice, que ses bords sont plus rapprochés des faces correspondantes du réservoir, et que les augmentations produites par le même dispositif varient à la fois avec les orifices et avec les charges.

Afin de donner tout d'un coup une idée de ces variations, nous avons retranché, pour toutes les charges depuis la plus faible jusqu'à celle de 3<sup>m</sup>,00, les coefficients correspondant au dispositif de la figure 1 de ceux qui se rapportent aux autres dispositifs, et nous avons divisé les différences par ces premiers coefficients. La table suivante indique les valeurs maxima et minima de ces rapports ou différences proportionnelles, et la moyenne de ces deux valeurs, pour tous les orifices de 0<sup>m</sup>,20 de base, excepté celui de 0<sup>m</sup>,005 de hauteur, qu'on n'a pas soumis à l'expérience avec le dispositif de la figure 1, et pour lequel, par conséquent, on n'a point de terme de comparaison.

TABLE DES DIFFÉRENCES PROPORTIONNELLES DES COEFFICIENTS DE LA FORMULE D DE LA DÉPENSE, POUR LES ORIFICES DE 0<sup>m</sup>,20 DE BASE SUR DIVERSES HAUTEURS DÉBOUCHANT LIBREMENT DANS L'AIR, OBTENUES EN COMPARANT LES RÉSULTATS RELATIFS AU DISPOSITIF DE LA FIGURE 1, AVEC CEUX QUI CONCERNENT LES AUTRES DISPOSITIFS.

HAUTEURS des orifices.	DIFFÉRENCES proportionnelles.	DISPOSITIFS DES FIGURES													
		2.	3.	4.	5.	6.	7.	8.	9.	10.	11.	12.	13.	14.	
0,30	Maxima	0,0017	0,0039	0,0479	0,0670	0,1195	0,2178	0,4208	0,6957	0,1207	0,0909	0,0997	0,1231	0,2759	0,3393
	Minima	0,0000	0,0000	0,0216	0,0079	0,0015	0,1065	0,0199	0,0383	0,0519	0,0512	0,0116	0,0095	0,1288	0,1561
	Moyenne	0,0009	0,0020	0,0348	0,0375	0,1105	0,1622	0,2199	0,3670	0,0863	0,0710	0,0557	0,0663	0,2024	0,2477
0,10	Maxima	"	"	0,1097	0,0779	0,1436	"	"	0,0726	"	"	"	"	"	"
	Minima	"	"	0,0470	0,0069	0,0050	"	"	0,0408	"	"	"	"	"	"
	Moyenne	"	"	0,0533	0,0421	0,1243	"	"	0,0567	"	"	"	"	"	"
0,05	Maxima	0,0132	0,0128	0,0721	0,1040	0,1336	0,1185	0,0297	0,0575	0,0837	0,1023	0,0370	"	0,1504	0,1872
	Minima	0,0090	0,0080	0,0107	0,0081	0,0073	0,0991	0,0028	0,0143	0,0132	0,0403	0,0032	"	0,0615	0,1040
	Moyenne	0,0066	0,0054	0,0414	0,0561	0,0704	0,1088	0,0162	0,0360	0,0485	0,0713	0,0201	"	0,1070	0,1456
0,03	Maxima	"	"	0,1179	0,1866	0,1878	"	"	0,0921	"	"	"	"	"	"
	Minima	"	"	0,0718	0,0580	0,1009	"	"	0,0295	"	"	"	"	"	"
	Moyenne	"	"	0,0948	0,1223	0,1444	"	"	0,0608	"	"	"	"	"	"
0,02	Maxima	"	"	0,1183	0,1201	0,1201	"	"	0,0414	"	"	"	"	"	"
	Minima	"	"	0,0609	0,0602	0,0608	"	"	0,0209	"	"	"	"	"	"
	Moyenne	"	"	0,0896	0,0902	0,0905	"	"	0,0312	"	"	"	"	"	"
0,01	Maxima	0,0099	0,0080	0,1314	0,2330	0,1812	"	0,0130	0,0483	0,0670	0,1214	0,0490	"	0,1009	0,1212
	Minima	0,0000	0,0000	0,0807	0,0633	0,0850	"	0,0028	0,0402	0,0219	0,0370	0,0089	"	0,0615	0,0700
	Moyenne	0,0050	0,0040	0,1061	0,1482	0,1331	"	0,0079	0,0443	0,0445	0,0792	0,0289	"	0,0812	0,0956

Pour compléter cette table et en faciliter l'examen, nous indiquons, dans le tableau suivant, les portions des contours des orifices sur lesquelles la contraction est supprimée en totalité ou en *presque totalité*, pour chaque dispositif; nous disons en *presque totalité*, parce que, pour les dispositifs des figures 5, 6, 8 et 9, les bords verticaux de l'ouverture sont éloignés de 2 centimètres des faces latérales du réservoir, au lieu d'être dans leur prolongement comme pour les dispositifs des figures 7, 10, 13<sup>1</sup>, 13 et 14.

NATURES des orifices.	PORTIONS DE CONTOURS DES ORIFICES SUR LESQUELLES LA CONTRACTION EST SUPPRIMÉE, le contour entier étant représenté par 1, pour les dispositifs des figures									
	4.	5.	6.	7.	8.	9.	10.	13 <sup>1</sup> .	13.	14.
0,300	0,250	0,500	0,750	0,750	0,330	0,500	0,500	0,500	0,750	0,750
0,100	0,333	0,500	0,667	0,667	0,167	0,333	0,333	0,333	0,667	0,667
0,050	0,400	0,500	0,600	0,600	0,100	0,300	0,300	0,300	0,400	0,400
0,030	0,435	0,500	0,565	0,565	0,065	0,130	0,130	0,130	0,565	0,565
0,020	0,455	0,500	0,545	0,545	0,045	0,091	0,091	0,091	0,545	0,545
0,010	0,476	0,500	0,524	0,524	0,024	0,048	0,048	0,048	0,524	0,524
0,005	0,488	0,500	0,512	0,512	0,012	0,024	0,024	0,024	0,512	0,512

En rapprochant ce tableau de la table qui le précède, et jetant un coup d'œil sur les courbes des coefficients de la dépense adonnées sur les planches 33, 34, 35 et 36, et sur les tableaux du numéro XXV au numéro XXXI, on fait les remarques suivantes.

229. Les courbes 2 et 3 obtenues pour l'orifice carré de 0<sup>m</sup>,20 de côté, dans le cas où l'une d'abord, ensuite les deux parois du réservoir sont éloignées de 0<sup>m</sup>,54 des bords verticaux de l'ouverture, diffèrent très-peu entre elles et de la courbe 1, relative au même orifice dans le cas des minces parois. Ces trois courbes se confondent pour les charges inférieures à 0<sup>m</sup>,21 et pour celles qui surpassent 1<sup>m</sup>,60; et, pour les charges intermédiaires, les coefficients donnés par la courbe 1 sont, à charge égale, respectivement de  $\frac{1}{1000}$  et de  $\frac{1}{2000}$  de leurs valeurs plus faibles que ceux que fournissent les courbes 2 et 3.



Pour l'orifice de 0<sup>m</sup>,05 de hauteur, la courbe 2 fournit des résultats de  $\frac{1}{28}$ ,  $\frac{1}{111}$  et  $\frac{1}{323}$  plus grands que ceux qui leur correspondent sur la courbe 1, pour des charges de 0<sup>m</sup>,01, 0<sup>m</sup>,015 et 0<sup>m</sup>,02. Pour de plus fortes charges, l'augmentation varie entre zéro,  $\frac{1}{116}$ ,  $\frac{1}{213}$  et  $\frac{1}{817}$ . Pour ce même orifice, la courbe 3 se confond avec la courbe 2 pour les charges inférieures à 0<sup>m</sup>,15 et pour celles qui excèdent 0<sup>m</sup>,80, et les coefficients qu'on en déduit pour les charges intermédiaires surpassent ceux que donne la courbe 1, de  $\frac{1}{210}$ ,  $\frac{1}{133}$  et  $\frac{1}{314}$ .

Les coefficients relatifs à l'orifice de 0<sup>m</sup>,01 de hauteur, sont plus grands sur la courbe 2 que sur la courbe 1, de  $\frac{1}{101}$ ,  $\frac{1}{130}$ ,  $\frac{1}{158}$  et  $\frac{1}{134}$ , pour les charges de 0<sup>m</sup>,005, 0<sup>m</sup>,01, 0<sup>m</sup>,015 et 0<sup>m</sup>,02. La différence de ces coefficients varie ensuite entre  $\frac{1}{130}$  et  $\frac{1}{218}$ , à mesure que la charge augmente, et elle est nulle pour toutes celles qui excèdent 1<sup>m</sup>,90. Pour ce même orifice, la courbe 3 se confond avec la courbe 2 pour les charges inférieures à 0<sup>m</sup>,14 et pour celles qui surpassent 1<sup>m</sup>,80; et, pour les charges intermédiaires, les coefficients déduits de la première de ces courbes excèdent de  $\frac{1}{27}$  à  $\frac{1}{232}$  ceux que fournit la courbe 1.

Ainsi, en établissant d'abord l'une des parois du réservoir, ensuite l'autre à 0<sup>m</sup>,54 des bords correspondants de l'ouverture, on fait successivement augmenter les coefficients de la dépense de quantités, très-minimes pour l'orifice de 0<sup>m</sup>,20 de hauteur, mais qui croissent un peu à mesure que cette hauteur diminue. Il s'ensuit donc que cette distance n'est pas tout à fait suffisante pour que les orifices dont il s'agit puissent, avec les dispositifs des figures 2 et 3, être considérés comme entièrement isolés des parois du réservoir. Par conséquent, si l'on admet que le fond de ce réservoir ait, sur la dépense, la même influence qu'une de ses faces latérales, on doit en conclure que les résultats que nous avons obtenus en 1828, avec le dispositif de la figure 1, sont trop forts de la très-légère augmentation que produit le dispositif de la figure 2, puisque la base de nos orifices était alors éloignée de 0<sup>m</sup>,54 du fond du réservoir.

230. Les augmentations qu'éprouvent successivement les coef-

coefficients de la dépense relatifs aux minces parois (fig. 1), pour un même orifice avec des dispositifs différents, ne dépendent pas du nombre des côtés sur lesquels la contraction est supprimée, mais de la portion du contour entier de l'ouverture sur laquelle cette suppression a lieu. En effet, pour les orifices de 5, de 3, de 2 et de 1 centimètre de hauteur, la courbe 4, relative au cas où il n'y a pas de contraction sur leur base, donne des résultats notablement plus forts que les courbes 9 et 10, qui concernent celui où la contraction est supprimée sur leurs deux côtés verticaux.

En outre, à égalité de la portion du contour sans contraction, les augmentations dont il s'agit sont plus grandes quand la base est au nombre des côtés qui en sont privés, que lorsque la suppression a lieu sur les seuls bords verticaux de l'ouverture. En effet, si, afin de donner aux coefficients fournis par les courbes 5 et 8, pour l'orifice carré de 0<sup>m</sup>.20 de côté, les valeurs qu'ils auraient dans le cas où l'un des bords verticaux serait dans l'alignement de la face correspondante du réservoir, au lieu d'en être éloigné de 2 centimètres, on les augmente de la moitié de la différence des résultats relatifs, d'une part aux courbes 6 et 7, et d'autre part aux courbes 9 et 10, on trouve pour les dispositifs des figures 4 et 5, où la contraction est supprimée sur la base, des coefficients respectivement plus forts que pour les dispositifs des figures 8 et 10, où elle n'est supprimée que sur les côtés verticaux.

231. Ce que nous avons dit pour un même orifice avec des dispositifs différents, a lieu aussi pour des orifices différents avec le même dispositif. Les accroissements que subissent les coefficients des minces parois sont alors, en général, relativement d'autant plus grands, d'une ouverture à l'autre, que les contours privés de contraction diffèrent davantage entre eux. Mais l'égalité de ces contours (fig. 5) n'entraîne pas celle des accroissements, car ils augmentent, dans ce cas, à mesure que la hauteur de l'orifice diminue. Il s'ensuit donc que, toutes choses égales d'ailleurs, le rapprochement des parois du réservoir des bords correspondants de l'orifice, produit moins d'effet sur les grandes ouvertures que

sur les petites, comme on l'a déjà constaté en ce qui concerne les dispositifs des figures 2 et 3 (229). Cependant, pour ces dernières, ce rapprochement, lorsqu'il dépasse une certaine limite, fait diminuer, dans certains cas, les coefficients de la formule de la dépense au lieu de les faire augmenter.

Ainsi, pour l'orifice de  $0^m,01$  de hauteur, sous des charges inférieures à  $0^m,90$ , la courbe 4 passe au-dessus de la courbe 5, qui se trouve elle-même au-dessus de la courbe 6, et ces trois courbes sont plus élevées, dans presque tout leur cours, que les courbes 13 et 14. Par conséquent, dans l'étendue que nous considérons, les coefficients de la dépense, qui sont notablement plus forts dans le cas du dispositif de la figure 4 que dans celui des minces parois (fig. 1), diminuent successivement à mesure qu'après avoir supprimé la contraction sur la base de l'ouverture, on place d'abord l'un de ses côtés verticaux, ensuite l'autre à 2 centimètres des faces latérales du réservoir, et enfin dans le prolongement de ces faces, réduites ainsi que le fond de ce réservoir à une longueur de  $0^m,264$  (fig. 13). Pour le même orifice, la courbe 9, relative au cas où la distance entre ces faces et ces bords est de 2 centimètres, donne des coefficients constamment plus forts que la courbe 10, qui concerne le cas où cette distance est nulle.

L'orifice de  $0^m,005$  de hauteur donne lieu à des observations analogues aux précédentes. Les coefficients de la dépense sont tous plus grands sur la courbe 4 que sur la courbe 5, et sur celle-ci que sur la courbe 6, excepté pour les charges comprises entre  $0^m,035$  et  $0^m,12$ . En outre, la courbe 9, qui, pour tous les autres orifices dont la hauteur est inférieure à  $0^m,20$ , se trouve presque toujours au-dessous des trois précédentes, est au contraire plus élevée qu'elles pour les charges de moins de  $0^m,12$ .

Pour les orifices de  $0^m,02$  et de  $0^m,03$  de hauteur et des charges inférieures à  $1^m,10$ , pour le premier, et à  $0^m,10$ , pour le second, la courbe 4 est située au-dessus de la courbe 5, mais elles sont toutes les deux moins élevées que la courbe 6.

Pour l'orifice de  $0^m,05$  de hauteur lui-même et les charges qui

excèdent  $0^m,95$ , la courbe 9 passe au-dessus de la courbe 10. Pour le même orifice et des charges supérieures à  $0^m,25$ , la courbe 13, relative au cas où la longueur des faces et du fond du réservoir, établis dans le prolongement de la base et des bords verticaux de l'orifice, est réduite à  $0^m,264$ , donne des coefficients plus faibles que ceux qui leur correspondent sur la courbe 7, où ces parois ont  $1^m,95$  de longueur, tandis que c'est le contraire qui a lieu pour l'orifice carré de  $0^m,20$  de côté.

Enfin, la figure 14, où les parois de  $0^m,264$  de longueur sont arrondies à leurs extrémités d'amont, fournit des coefficients surpassant ceux qui concernent la figure 13, où ces extrémités sont taillées carrément pour tous les orifices, excepté ceux de  $0^m,20$  et de  $0^m,05$  de hauteur, sous des charges plus petites que  $0^m,20$  pour le premier, et que  $0^m,09$  pour le second.

232. Le décroissement des coefficients de la dépense, que nous venons de signaler pour les petites ouvertures, ne peut être attribué à ce que le débouché de l'orifice n'était pas alors entièrement libre, attendu que, pour prévenir un pareil inconvénient, son contour débordait de 2 millimètres le fond et les faces latérales du réservoir, qui étaient du reste parfaitement plans (10). Nous ne saurions l'expliquer autrement qu'en supposant que les parois du réservoir, quand elles sont très-rapprochées ou dans l'alignement des bords de l'ouverture, donnent lieu à un ralentissement de la vitesse de l'écoulement qui, dans ce cas, fait plus que compenser l'augmentation de la dépense due à la diminution de la contraction.

Au surplus, ce décroissement n'intervient pas, en général, la loi que les coefficients suivent dans le cas des minces parois, car leur valeur absolue va toujours en augmentant à mesure que la hauteur de l'ouverture diminue. Il n'y a d'exception que : pour le dispositif de la figure 10, où les résultats relatifs à l'orifice de  $0^m,05$  de hauteur, sous des charges supérieures à  $0^m,70$ , sont plus faibles que ceux qui concernent l'orifice carré de  $0^m,20$  de côté; pour celui de la figure 13 (parois de  $0^m,264$  de longueur),

où les coefficients sont presque égaux pour tous les orifices, quoique un peu supérieurs pour celui de  $0^m,20$  de hauteur; enfin, pour celui de la figure 14 (parois de  $0^m,264$  de longueur arrondies à leurs extrémités), où les coefficients sont sensiblement plus forts pour cette dernière ouverture que pour les autres. Toutes ces circonstances ajoutent encore à la complication qui résulte naturellement de la multiplicité des cas que nous avons soumis à l'expérience, ce qui entraîne l'indispensable nécessité de dresser pour la pratique, comme nous l'avons fait, des tables qui donnent, pour chaque orifice et pour chaque charge, les coefficients des formules de la dépense correspondant aux divers dispositifs. Ces coefficients éprouvent d'ailleurs de trop grandes variations (table du n° 228) pour qu'on puisse songer à les déduire, même approximativement, de ceux qui concernent le cas des minces parois, en ajoutant à ces derniers une quantité constante pour tous les orifices, mais plus ou moins grande selon que la contraction est supprimée sur un plus ou moins grand nombre de leurs côtés, comme l'ont proposé quelques auteurs, en se basant sur des expériences faites à ce sujet par M. Bidone.

233. Ce savant a opéré sur un orifice carré de  $0^m,0135$  de côté, avec une charge sur le sommet de  $0^m,5290$  au commencement de chaque expérience, et de  $0^m,3124$  à la fin, en sorte que, en moyenne, elle était de  $0^m,4207$ . Il a considéré cinq cas différents, parmi lesquels deux sont relatifs à la suppression de la contraction sur le sommet de l'ouverture, circonstance que nous n'avons pas étudiée, parce qu'elle ne se présente que fort rarement et même pas du tout dans la pratique, et les trois autres se rapportent aux dispositifs des figures 4, 5 et 7. Pour ces trois derniers, il a obtenu les coefficients 0.639, 0.662, 0.694, et il a supposé que celui des minces parois était de 0,619, sans s'astreindre à le déterminer directement (*Mémoires de l'Académie des sciences de Turin*, t. XXVII, 1823).

La première de ces trois expériences a été faite avec un orifice différent de celui qui a servi pour les autres, en sorte qu'elles ne

sont pas exactement comparables. D'un autre côté, outre l'inconvénient de faire des expériences de cette nature avec un réservoir qui se vide, ce qui peut conduire à des erreurs que M. Bidone lui-même évalue à environ  $\frac{1}{70}$ , le moyen employé pour détruire la contraction est évidemment vicieux. En effet, il s'est servi pour cela de planches carrées de  $0^m,162$  de côté seulement sur  $0^m,03$  d'épaisseur, qu'il plaçait perpendiculairement au plan de l'orifice contre les bords où il voulait supprimer la contraction, sans fermer les intervalles entre ces planches et les parois correspondantes du réservoir, qui avait  $0^m,975$  de longueur sur  $0^m,65$  de largeur et de profondeur. Il s'ensuit que, lorsqu'elles étaient dressées verticalement, par exemple, leurs arêtes supérieures étaient recouvertes par une hauteur d'eau de  $0^m,367$  au commencement et de  $0^m,1504$  à la fin de l'expérience.

On conçoit que ces diverses circonstances aient profondément modifié les lois de l'écoulement; il n'est donc pas étonnant que les résultats de M. Bidone diffèrent notablement de ceux qu'on déduit de nos tables d'interpolation, pour le même orifice de  $0^m,0135$  de côté sous la charge moyenne de  $0^m,4207$ , en prenant pour abscisses les hauteurs des orifices sur lesquels nous avons opéré avec les dispositifs des figures 1, 4, 5 et 7, et pour ordonnées les coefficients correspondants dont la valeur, comme on le verra plus loin (240), dépend, toutes choses égales d'ailleurs, du plus petit intervalle qu'il y a entre les bords opposés de l'ouverture. En procédant ainsi, on trouve les coefficients 0.645, 0.701, 0.697 et 0.699, qui tous, sauf le dernier, sont beaucoup plus forts que ceux de M. Bidone.

234. Les coefficients de la formule D sont loin de suivre une loi aussi régulière quand on relève les charges immédiatement au-dessus de l'orifice, que lorsqu'on les prend en un point où le liquide est parfaitement stagnant. Les irrégularités qu'ils présentent peuvent provenir en partie, dans quelques cas, de la difficulté d'apprécier avec exactitude la hauteur du niveau de l'eau, au milieu des bouillonnements et des tourbillons qui se manifes-

tent dans le voisinage de l'ouverture; mais elles doivent surtout être attribuées à ce que, à la distance fixe de 2 centimètres en amont de l'orifice, où l'on mesure la charge (114), la dépression de la surface du liquide a tantôt sa valeur maxima, tantôt sa valeur minima, et est même quelquefois négative.

Cette dernière circonstance, qui se rapporte au cas où le fluide s'élève, près de l'orifice, au-dessus du niveau général dans le réservoir, et où par conséquent la charge est plus forte à 2 centimètres qu'à 3<sup>m</sup>,50 en amont de cet orifice, parce qu'il s'y forme une espèce de monticule dû à l'adhérence du liquide contre les parois du réservoir, à des bouillonnements et à un amas d'écume en ce point, s'est présentée pour 103 de nos expériences relatives aux dispositifs des figures 2, 3, 8, 10, 12, 13 et 14. Telle est la cause qui, jointe à ce que, pour le dispositif de la figure 1, nous avons toujours relevé la charge au point correspondant à la dépression maxima de la surface du liquide, fait que les coefficients de la formule D, relatifs à ce dispositif, sont généralement plus grands que ceux qui concernent celui de la figure 2, tandis que c'est l'inverse qui a lieu lorsqu'on considère les charges prises à 3<sup>m</sup>,50 en amont.

235. A part les exceptions que nous venons de signaler, les coefficients de la formule D sont, toutes choses égales d'ailleurs, généralement plus forts quand on relève le niveau de l'eau près, que lorsqu'on le prend loin de l'orifice, et même ils surpassent souvent l'unité, dans le cas des très-faibles charges et des dispositifs où la contraction est supprimée sur trois côtés de l'ouverture. Mais ils décroissent très-rapidement à mesure que la charge augmente, et lorsqu'elle a atteint au plus 1<sup>m</sup>,60 pour les orifices de 0<sup>m</sup>,20 et de 0<sup>m</sup>,10 de hauteur, et 0<sup>m</sup>,50 pour ceux de 0<sup>m</sup>,05 de hauteur et au-dessous, il devient à peu près indifférent de mesurer la charge à 3<sup>m</sup>,50 ou à 2 centimètres en amont de ces orifices. On fera remarquer que les coefficients relatifs à cette seconde manière de relever la charge, peuvent être employés avec autant de confiance que les autres, malgré les irrégularités qu'ils pré-

sentent, parce que les mêmes causes qui y ont donné lieu dans nos expériences, se rencontreront dans la pratique et produiront les mêmes effets.

ORIFICES DE 0<sup>m</sup>,60 ET DE 0<sup>m</sup>,02 DE BASE SUR DIVERSES HAUTEURS,  
EN MINCE PAROI PLANE.

236. Nous avons dit au numéro 22 que, après avoir terminé nos opérations sur les orifices de 0<sup>m</sup>,20 de base, nous avons fait quelques expériences sur d'autres orifices en mince paroi plane, de 0<sup>m</sup>,60 et de 0<sup>m</sup>,02 de base sur diverses hauteurs. Les résultats qui les concernent sont consignés sur les tableaux VIII et XXXII que nous allons examiner.

Les coefficients de la formule D' de la dépense, relatifs à l'orifice de 0<sup>m</sup>,60 de base sur 0<sup>m</sup>,02 de hauteur, sont, à égalité de charge sur le sommet, plus forts que ceux qui se rapportent à l'orifice de 0<sup>m</sup>,02 de base sur 0<sup>m</sup>,60 de hauteur, de quantités qui, diminuant à mesure que la charge augmente, varient graduellement de  $\frac{1}{81}$  à  $\frac{1}{237}$ , depuis la charge de 0<sup>m</sup>,02 jusqu'à celle de 0<sup>m</sup>,15. Ces mêmes coefficients sont, au contraire, plus faibles que les autres de  $\frac{1}{235}$  à  $\frac{1}{210}$  depuis la charge de 0<sup>m</sup>,20 jusqu'à celle de 0<sup>m</sup>,40, et la différence diminue ensuite successivement jusqu'à la charge de 1<sup>m</sup>,10, à partir de laquelle elle demeure constante et égale à environ  $\frac{1}{235}$ . Mais l'orifice de 0<sup>m</sup>,60 de base est, par rapport au réservoir de 3<sup>m</sup>,68 de largeur, dans les mêmes conditions que celui de 0<sup>m</sup>,20 de base avec le dispositif de la figure 3, par rapport à son propre réservoir dont la largeur est de 1<sup>m</sup>,28. Or, nous avons vu (229) que ce dispositif donnait de plus grands coefficients que celui de la figure 1; donc il faut diminuer ceux que nous avons obtenus pour l'orifice de 0<sup>m</sup>,60 de base, afin de les réduire à la valeur qu'ils auraient dans le cas où cet orifice serait entièrement isolé des faces latérales du réservoir, comme l'est celui de 0<sup>m</sup>,02 de base auquel nous le comparons. En opérant cette réduction, qui doit être d'autant plus grande que la charge est plus faible, on trouve,



pour le premier des deux orifices dont il s'agit, des résultats qui diffèrent très-peu de ceux qu'a donnés le second.

D'un autre côté, les coefficients de la même formule  $D'$ , pour l'orifice de  $0^m,02$  de base sur  $0^m,20$  de hauteur (tabl. VIII et XXXII), et pour celui de  $0^m,20$  de base sur  $0^m,02$  de hauteur (dispositif de la fig. 1, tabl. XXIX du présent mémoire et tabl. XII de celui de 1829), sont les mêmes à de très-légères différences près. On peut donc en conclure que, pour des ouvertures égales en longueur et en largeur, les coefficients de la formule  $D'$  sont sensiblement les mêmes, quelle que soit celle de ces deux dimensions qui est disposée horizontalement.

237. Les coefficients de la dépense, pour les orifices de  $0^m,20$  de base et de  $0^m,20$  à  $0^m,01$  de hauteur, avec le dispositif de la figure 1 (tabl. du n° XXV au n° XXX), sont généralement, à égalité de charge sur le sommet de l'ouverture, d'autant plus grands que la hauteur de l'orifice est plus petite, soit qu'on considère la formule  $D$ , soit qu'on considère la formule  $D'$ . Il en est encore ainsi pour les orifices de  $0^m,02$  de base sur  $0^m,60$ ,  $0^m,20$ ,  $0^m,05$  et  $0^m,02$  de hauteur (tabl. XXXII), dans le cas de la première de ces deux formules. Mais dans celui de la seconde, les coefficients relatifs aux trois derniers de ces orifices sont presque rigoureusement égaux entre eux, tandis qu'ils surpassent sensiblement ceux qui concernent le premier. Il s'ensuit donc que, pour les ouvertures dont la plus grande dimension est verticale, les coefficients de la formule  $D'$  demeurent constants, à largeur égale, jusqu'à ce que la hauteur ait atteint une certaine limite au delà de laquelle ils diminuent.

Pareillement, si l'on compare les résultats qui se rapportent aux orifices déjà mentionnés de  $0^m,02$  de hauteur sur  $0^m,02$ ,  $0^m,20$  et  $0^m,60$  de base, on voit que les coefficients qui correspondent aux deux premiers sont les mêmes, à très-peu de chose près, mais qu'ils excèdent notablement ceux qui concernent le troisième, surtout après que ceux-ci ont été réduits à la valeur qu'ils auraient si l'orifice était entièrement isolé des faces latérales du réservoir.

voir (229). On peut par conséquent en conclure que, pour les ouvertures dont la plus grande dimension est horizontale, les coefficients dont il s'agit demeurent les mêmes, à hauteur égale, tant que la largeur ne dépasse pas une certaine limite au delà de laquelle ils diminuent.

238. Ainsi, pour les orifices rectangulaires verticaux, il y a, à base égale, une limite de hauteur, et, à hauteur égale, une limite de largeur au delà de laquelle, à égalité de charge sur le sommet de l'ouverture, les coefficients de la formule D' de la dépense diminuent, tandis que, en deçà, ils ont une valeur constante et égale à celle qui correspond au plus petit intervalle qui sépare les bords opposés de l'orifice. Cette limite est indépendante de la grandeur absolue des dimensions de l'ouverture, car nous verrons au numéro 244 que l'orifice carré de 0<sup>m</sup>,20 de côté donne, à très-peu de chose près, les mêmes résultats que celui de 0<sup>m</sup>,20 de hauteur sur 0<sup>m</sup>,60 de base, et, par conséquent, aussi que celui de 0<sup>m</sup>,60 de hauteur sur 0<sup>m</sup>,20 de base (236); elle ne peut donc dépendre que du rapport de ces deux dimensions.

239. La valeur de ce rapport, qui correspond à la limite dont il s'agit, nous est inconnue. Elle ne peut être déterminée d'une manière précise que par des expériences spéciales, qu'il nous eût été facile de faire, mais que nous n'avons pas entreprises, parce que nous ne nous attendions pas à voir surgir cette question, qui n'est soulevée que par le rapprochement, fait nécessairement après coup, des résultats de nos expériences. Toutefois, d'après ce qui précède, cette valeur est comprise entre  $\frac{1}{10}$  et  $\frac{1}{6}$ , puisque, pour les orifices de 0<sup>m</sup>,02 de hauteur, les coefficients de la formule D' ne varient pas lorsque la largeur de l'ouverture est égale ou inférieure à 0<sup>m</sup>,20, tandis qu'ils diminuent quand cette largeur est de 0<sup>m</sup>,60. D'un autre côté, M. Bidone conclut d'opérations qu'il a faites, avec un réservoir de 0<sup>m</sup>,65 de largeur et une charge moyenne de 0<sup>m</sup>,33, sur des orifices de 0<sup>m</sup>,002 de hauteur et de 0<sup>m</sup>,0185, 0<sup>m</sup>,0370, 0<sup>m</sup>,0739 et 0<sup>m</sup>,1478 de largeur, que le coefficient de la contraction est sensiblement le même pour les orifices

*allongés que pour les orifices carrés ou circulaires, jusqu'à la limite où la largeur est égale à 16 fois la hauteur, cette dernière dimension étant la même pour tous* (Mémoires de l'Académie des sciences de Turin, t. XXVII, 1823, p. 84 et suiv.). Ce savant a fixé la limite  $\frac{1}{16}$ , sans doute parce que l'orifice de 0<sup>m</sup>,1478 de largeur a donné le coefficient 0,626, tandis qu'il n'a obtenu que 0,620 pour les autres. Mais la largeur de ce dernier surpassait le  $\frac{1}{2}$  de celle 0<sup>m</sup>,65 du réservoir; il n'était donc pas entièrement isolé comme les autres des faces latérales de ce réservoir, et c'est évidemment à cette circonstance qu'est dû l'excès du coefficient 0,626 qui lui correspond (229). En le diminuant de la quantité dont le dispositif de la figure 3 a fait augmenter les résultats relatifs à notre orifice de 0<sup>m</sup>,01 de hauteur sur 0<sup>m</sup>,20 de largeur, en mince paroi, sous la même charge de 0<sup>m</sup>,33 (tabl. XXX, fig. 1), il se réduit à 0,619, et dès lors il ne diffère que de  $\frac{1}{100}$  de celui qui se rapporte aux autres orifices.

240. Il résulte de là que la valeur du rapport R des deux dimensions de l'ouverture, au-dessous de laquelle les coefficients de la dépense cessent d'être sensiblement constants, est une fraction inférieure à  $\frac{0,0093}{0,1478} = \frac{1}{16}$ . Comme les variations de ces coefficients ne sauraient être bien appréciables lorsque  $R = \frac{1}{16}$ , même en supposant qu'elles commencent à se faire sentir, ce qui n'est guère probable, aussitôt que ce rapport descend au-dessous de  $\frac{1}{16}$ , on peut admettre sans inconvénient, en attendant que de nouvelles expériences aient définitivement tranché la question, que, pour les orifices dont la plus petite dimension est la même, les coefficients de D' ne changent pas, à égalité de charge sur leur sommet, quelle que soit leur autre dimension, pourvu qu'elle n'excède pas environ vingt fois la première. Il suit de là que les résultats de nos expériences, et, par suite, les tables d'interpolation que nous en avons déduites, sont applicables à toutes les ouvertures qui remplissent cette condition. Au surplus, la hauteur des pertuis en usage dans la pratique est, en général, au moins égale à  $\frac{1}{10}$  de leur largeur; on peut donc, d'après ce que nous venons de dire,

en calculer la dépense au moyen de nos tables, sans admettre autre chose que ce que nos observations ont démontré directement, et sans s'appuyer sur celles de M. Bidone, dont les résultats sont cependant incontestables.

241. M. d'Aubuisson, à la vérité, a fait sur des orifices de  $0^m,0102$  et de  $0^m,01$  de hauteur avec des largeurs de  $0^m,10$  et de  $0^m,30$ , des expériences desquelles il tire des conséquences tout à fait opposées à celles que nous venons d'énoncer, savoir : *que le coefficient propre aux orifices rectangulaires allongés, n'est plus le même que celui des orifices circulaires ou carrés* (Annales de chimie et de physique, t. XLIV, 1830, p. 225 et suiv.).

Ce célèbre ingénieur a obtenu, savoir :

1° Pour l'orifice de  $0^m,0102$  de hauteur sur  $0^m,10$  de largeur, sous des charges

de .....	$0^m,0201$	$0^m,0301$	$0^m,0401$	$0^m,0501$	et	$0^m,0601$
des coefficients de...	0,728	0,730	0,719	0,715	et	0,7101

2° Pour l'orifice de  $0^m,01$  de hauteur sur  $0^m,30$  de largeur, sous des charges

de .....	$0^m,018$	$0^m,0305$	$0^m,051$	$0^m,061$	et	$0^m,081$
des coefficients de...	0,70	0,71	0,71	0,69	et	0,69

M. Castel, contrôleur des eaux de la ville de Toulouse, dont nous avons déjà eu l'occasion de citer les expériences, n'a trouvé, sous des charges pareilles, que de 0,64 à 0,66 pour un orifice carré de  $0^m,01$  de côté, et que de 0,66 à 0,67 pour un orifice circulaire de  $0^m,01$  de diamètre, et c'est la comparaison de ces derniers résultats aux autres qui a conduit M. d'Aubuisson à penser que les coefficients étaient plus forts pour les orifices allongés que pour les orifices circulaires ou carrés.

242. Mais ceux qui ont donné l'orifice de  $0^m,0102$  sur  $0^m,10$  sont notablement plus grands que si cet orifice eût été entièrement isolé des faces latérales du réservoir, car sa largeur, qui, pour remplir cette dernière condition (229), aurait dû être inférieure

aux 0,167 de celle de ce réservoir, en était les  $\frac{0,10}{0,33} = 0,286$ . Or, en déterminant, à l'aide de notre table d'interpolation n° XXX, les quantités dont ces coefficients doivent être diminués, pour être ramenés au cas proprement dit des minces parois, on trouve des résultats qui n'ont sur ceux qui concernent notre orifice de 0<sup>m</sup>,01 sur 0<sup>m</sup>,20, qu'un léger excès qu'on doit peut-être attribuer à ce que la base de l'ouverture n'était pas assez éloignée du fond du réservoir, ce que nous n'avons pas pu vérifier parce que M. d'Aubuisson n'en indique pas la distance dans sa notice.

Ce savant n'a pas fait connaître non plus les dimensions du réservoir dans lequel était pratiqué son orifice de 0<sup>m</sup>,01 sur 0<sup>m</sup>,30. Nous ignorons, par conséquent, si cet orifice pouvait ou non être considéré comme entièrement isolé; mais nous ferons remarquer que les coefficients qu'il a fournis se trouvent un peu plus faibles que ceux qui se rapportent au précédent orifice, même après que ceux-ci ont été réduits, ce qui tendrait à prouver, comme nos expériences l'ont démontré (239), que ces coefficients diminuent lorsque le rapport des deux dimensions de l'ouverture est égal à  $\frac{1}{30}$ .

Quant aux expériences de M. Castel, M. d'Aubuisson s'est borné à en donner les résultats, sans indiquer ni l'appareil dont on s'est servi pour les faire, ni la manière dont on a opéré, ni même les charges correspondant à chaque coefficient. Il nous est donc impossible d'en discuter le mérite, mais nous ferons observer que les coefficients qui, pour l'orifice carré de 0<sup>m</sup>,01 de côté et pour l'orifice circulaire de 0<sup>m</sup>,01 de diamètre, ont varié entre 0,64 et 0,67, s'accorderaient parfaitement avec ceux que fournit notre orifice de 0<sup>m</sup>,01 sur 0<sup>m</sup>,20, si les charges correspondantes étaient comprises entre 0<sup>m</sup>,40 et 0<sup>m</sup>,06.

ORIFICES DE 0<sup>m</sup>,60 DE BASE SUR DIVERSES HAUTEURS, PRATIQUÉS DANS UNE PAROI PLANE DE 0<sup>m</sup>,05 D'ÉPAISSEUR (TABLEAUX IX, X, XI, XII ET XIII).

243. D'après le dispositif de la figure A, l'ouverture n'est pas limitée par une vanne à sa partie supérieure, et par suite ses quatre

côtés sont dans un même plan vertical (24). L'orifice de 0<sup>m</sup>,60 de base sur 0<sup>m</sup>,20 de hauteur se trouve donc, avec ce dispositif, dans les mêmes conditions que celui de 0<sup>m</sup>,20 de côté avec le dispositif de la figure 3; car, pour l'un comme pour l'autre, la largeur est environ  $\frac{1}{2}$  de celle du réservoir, et la base est élevée de 0<sup>m</sup>,54 au-dessus du fond de ce réservoir. Il n'y a de différence entre eux qu'en ce que, pour le second, l'épaisseur de la paroi est réduite à une simple arête vive, tandis que pour l'autre elle est de 0<sup>m</sup>,05.

244. Si l'on compare entre eux les résultats relatifs à ces deux orifices (tabl. I et XXV, fig. 3 et tabl. X et XXXIII, fig. A), on voit que les coefficients des formules de la dépense qui concernent celui de 0<sup>m</sup>,60 de base, sont plus grands que ceux qui se rapportent à l'autre, de quantités qui diminuent progressivement à mesure que les charges augmentent, et varient de  $\frac{1}{31}$  à zéro pour celles qui sont comprises entre 0<sup>m</sup>,025 et 0<sup>m</sup>,80. Ces mêmes coefficients sont au contraire plus petits que les autres de  $\frac{1}{33}$  à  $\frac{1}{24}$  pour les charges de 1<sup>m</sup>,00 à 1<sup>m</sup>,60, et pour celles qui sont plus fortes toute différence disparaît. Or, pour les charges au-dessous de 0<sup>m</sup>,60, la veine s'attache à la base de l'orifice de 0<sup>m</sup>,60 de largeur sur une plus ou moins grande longueur, selon que la charge est plus ou moins faible, et c'est évidemment à cette circonstance qu'est due l'augmentation des coefficients correspondants.

Pour de plus hautes charges, et même généralement pour toutes celles qui surpassent 0<sup>m</sup>,40, les différences en plus ou en moins entre les coefficients que nous comparons, ne s'écartent pas du degré d'approximation qu'on peut obtenir dans des expériences de cette nature, surtout en égard à la diversité des dispositifs dont il s'agit, car leur valeur maxima n'est que de  $\frac{1}{33}$ . On doit en conclure que, pour ces charges, l'orifice carré de 0<sup>m</sup>,20 de côté donne les mêmes résultats que celui de 0<sup>m</sup>,60 de largeur sur 0<sup>m</sup>,20 de hauteur, et que par conséquent ni l'allongement de la base, ni l'épaisseur de la paroi de celui-ci n'ont d'influence sur l'écoulement. Il est donc permis de dire, d'une manière générale, que « dans tous les cas où la veine se détache de tout le pourtour

de l'ouverture, la dépense est la même, toutes choses égales d'ailleurs, pour les orifices en mince paroi plane et pour ceux qui sont pratiqués dans une paroi épaisse et dont les quatre côtés sont dans un même plan vertical. »

245. Nous insistons sur cette dernière condition, parce que, lorsqu'elle n'est pas remplie, les résultats sont tout à fait différents. Ainsi, quand l'orifice de 0<sup>m</sup>,20 de hauteur sur 0<sup>m</sup>,60 de base est limité à sa partie supérieure par une vanne de 0<sup>m</sup>,05 d'épaisseur (fig. B), les coefficients de la formule de la dépense surpassent ceux qui concernent la figure A, de quantités qui augmentent successivement avec la charge, depuis  $\frac{1}{24}$  jusqu'à  $\frac{1}{17}$  de la valeur de ces coefficients. A la vérité, dans le second cas, la veine, comme nous l'avons déjà dit, s'attache à la base de l'orifice, mais seulement pour les charges inférieures à 0<sup>m</sup>,60, tandis que, dans le premier, elle en est constamment détachée, et elle s'attache au contraire de plus en plus à la face horizontale inférieure de la vanne, à mesure que les charges diminuent, à partir de la plus forte de celles que nous avons soumises à l'expérience. Mais cette différence dans les circonstances de l'écoulement ne suffit pas pour expliquer la supériorité des coefficients relatifs à la figure B, sur ceux qui se rapportent à la figure A; car si c'était là la seule cause d'augmentation de ces coefficients, elle cesserait d'avoir un effet sensible pour les fortes charges, puisque la veine est alors détachée de la presque totalité du contour de l'ouverture pour l'un et pour l'autre dispositif, tandis que c'est au contraire dans ce cas que leurs résultats diffèrent le plus. La supériorité dont il s'agit doit être principalement attribuée à ce que, dans le dispositif de la figure B, le sommet de l'orifice se trouve reporté en amont du plan qui contient ses trois autres côtés.

246. Ce fait est mis en évidence par les résultats relatifs aux orifices de 0<sup>m</sup>,05 et de 0<sup>m</sup>,03 de hauteur avec ce même dispositif (tabl. XXXII), sous les charges qui surpassent 1<sup>m</sup>,00 et pour lesquelles, par conséquent, la veine est entièrement détachée de tout le pourtour de l'ouverture. En effet, ces résultats, qui devraient

alors être les mêmes que ceux qui correspondent au dispositif de la figure 3 (229), sont au contraire notablement plus forts (tabl. XXVII et XXVIII). En outre, les différences proportionnelles des coefficients que nous comparons sont, à égalité de charge sur le sommet, d'autant plus grandes que les orifices sont moins hauts. Ainsi, pour ceux de 0<sup>m</sup>,20, 0<sup>m</sup>,05 et 0<sup>m</sup>,03 de hauteur, sous la charge de 1<sup>m</sup>,50, elles sont respectivement de 0,056, 0,093 et 0,098. Nous ne pouvons déterminer directement ces différences pour l'orifice de 0<sup>m</sup>,40 de hauteur, puisque nous ne l'avons pas soumis à l'expérience avec le dispositif de la figure 3; mais en déterminant par interpolation, à l'aide de nos tables, les coefficients relatifs à ce dernier dispositif, on trouve 0,595 pour celui qui correspond à la charge de 1<sup>m</sup>,50, en sorte que sa différence proportionnelle avec celui qui se rapporte au dispositif de la figure B, sous la même charge, est de 0,008.

247. D'après le dispositif de la figure C, les deux bords verticaux et la base de l'ouverture sont entourés, à la distance de 5 centimètres, de tringles de 0<sup>m</sup>,20 de largeur sur 0<sup>m</sup>,05 d'épaisseur, formant feuillure autour des côtés correspondants de la vanne (26). Ce dispositif donne des résultats plus forts que celui de la figure B, sous toutes les charges pour les orifices de 0<sup>m</sup>,40 et de 0<sup>m</sup>,20 de hauteur, et seulement sous celles qui excèdent 0<sup>m</sup>,20 pour celui de 0<sup>m</sup>,05. Pour ces trois pertuis, l'écoulement, quelle que soit sa durée, présente toujours les mêmes circonstances tant que la charge ne change pas. Ainsi, la veine est constamment détachée des bords verticaux de l'ouverture, tandis qu'elle est attachée à sa base, et elle l'est également à la face horizontale inférieure de la vanne, mais sur une petite longueur et sous les basses charges seulement.

Il n'en est pas de même lorsque la hauteur de l'orifice est réduite à 0<sup>m</sup>,03. La moindre secousse, le plus léger souffle de vent suffisent alors, quand la charge est inférieure à 0<sup>m</sup>,50, pour faire attacher la veine sur toute la longueur de la face inférieure de la vanne ou pour l'en faire détacher, et par suite pour faire



varier considérablement la dépense. Cette extrême mobilité de la veine nous a été révélée par une circonstance fortuite. Ne pouvant réussir, contre notre habitude, à obtenir des résultats sensiblement constants pour une même charge, nous avons été conduit, après de longues et minutieuses recherches, à en attribuer la cause aux oscillations occasionnées, dans la masse du liquide, par un de nos aides qui, encore novice dans ce genre de service, au lieu de rester immobile à son poste, se promenait par moments sur une planche établie à 2<sup>m</sup>,50 au-dessus de l'orifice, sur la tête des gros poteaux qui soutenaient la paroi d'aval du réservoir.

248. Nous avons en effet constaté que, pour l'orifice de 0<sup>m</sup>,03 de hauteur dont il s'agit, sous des charges comprises entre 0<sup>m</sup>,50 et 0<sup>m</sup>,01, non-seulement l'ébranlement produit par la marche de cet homme, mais encore le moindre souffle de vent, un léger coup frappé avec la main, à une certaine hauteur au-dessus de l'orifice, contre la paroi qui le contenait, faisait détacher la veine du plan horizontal inférieur de la vanne ou l'y faisait attacher, et qu'à ces deux circonstances distinctes correspondaient des dépenses très-différentes (tabl. XII). C'est pourquoi, nous avons dû séparer les coefficients de la formule de la dépense donnés par nos expériences en deux séries, selon qu'ils se rapportent au premier ou au second cas, et nous les avons inscrits dans les deux colonnes qui sont comprises sous l'accolade figure C, dans le tableau n° XXXIII.

Il y a un troisième cas qu'on peut appeler mixte, c'est celui où la veine s'attache alternativement à la vanne et s'en détache. Il s'est présenté pour les expériences 1083, 1084, 1088 et 1089; mais les résultats qu'on en a déduits ne sauraient appartenir à une loi régulière, attendu que les circonstances de l'écoulement ont varié, non-seulement d'une opération à l'autre, mais encore pendant la durée d'une même opération. Il faut nécessairement alors, si les oscillations de la veine pour s'attacher à la vanne et pour s'en détacher ne sont pas égales, tenir compte de la durée des unes et des autres, pour évaluer avec exactitude la dépense moyenne de l'orifice.

249. Le dispositif de la figure D ne diffère de celui de la

figure C, qu'en ce que la tringle qui, dans celui-ci, est fixée à  $0^m,05$  au-dessous de la base de l'ouverture, est, dans l'autre, établie au même niveau, en sorte que l'épaisseur de la paroi en ce point est de  $0^m,10$ . Cette modification n'en a apporté aucune dans les circonstances de l'écoulement, et a simplement donné lieu, pour tous les orifices, à une légère augmentation de la dépense. Il est vrai que nous n'avons pas opéré sur d'assez basses charges pour pouvoir distinguer, en ce qui concerne celui de  $0^m,03$  de hauteur, le cas où la veine est attachée à la vanne de celui où elle en est détachée, et que pour ces charges nous avons prolongé la courbe d'interpolation *de sentiment*, en nous guidant d'après celle qui se rapporte à ce dernier cas pour la figure C. Mais, puisque les circonstances de l'écoulement n'ont pas changé, il paraît clair que les différences entre les coefficients correspondant aux deux cas dont il s'agit, doivent être les mêmes pour ces deux dispositifs. D'après cela, il sera facile de déduire, pour l'orifice de  $0^m,03$  de hauteur avec le dispositif de la figure D, les coefficients relatifs au cas où la veine est attachée à la vanne, de ceux qui concernent le cas où elle en est détachée, et qui sont consignés sur le tableau XXXIII.

250. Les dispositifs des figures B, C et D, se rapportent aux circonstances les plus ordinaires de la pratique. On ne connaît d'autres expériences sur des pertuis ainsi organisés, que celles qui ont été faites par M. Lapeyre sur les portes de l'écluse du vieux bassin du Havre, et par Pin et Lespinasse sur les grandes vannes des portes d'écluse du canal de Languedoc.

M. Navier, en citant l'expérience de M. Lapeyre à la page 289 de sa nouvelle édition de l'Architecture hydraulique de Bélidor, se borne à indiquer que cet ingénieur a obtenu  $0,625$  pour le coefficient de la dépense, sans faire connaître les dimensions du pertuis ni la charge de liquide. Quant à celles de Pin et Lespinasse, les principaux résultats, au nombre de huit déjà cités dans notre mémoire de 1829, sont rapportés par M. d'Aubuisson à la page 33 de son traité d'hydraulique à l'usage des ingénieurs.

Les pertuis avaient une largeur de  $1^m,30$  à très-peu près, et leur hauteur, qui n'a pu être estimée qu'approximativement, attendu que leur forme n'était pas exactement rectangulaire, a varié de  $0^m,55$  à  $0^m,46$ .

De ces huit expériences, cinq seulement se rapportent à des charges comprises dans les limites de celles sur lesquelles nous avons opéré, avec nos orifices pratiqués en parois épaisses. Elles concernent des ouvertures de  $0^m,50$  et de  $0^m,48$  de hauteur, sous des charges sur le sommet de  $1^m,771$ ,  $1^m,654$ ,  $1^m,709$ ,  $1^m,655$  et  $1^m,735$ , dont la moyenne est de  $1^m,705$ . Les coefficients correspondants sont de  $0,641$ ,  $0,629$ ,  $0,616$ ,  $0,594$  et  $0,621$ , et leur moyenne  $0,621$  est précisément égale au résultat fourni par notre orifice de  $0^m,40$  de hauteur sous la charge de  $1^m,70$ , avec le dispositif de la figure D, dont l'organisation se rapproche beaucoup de celle des pertuis dont il s'agit. A la vérité, ces derniers étant plus hauts devraient donner de plus faibles coefficients, mais leur base était très-près du radier de l'écluse, et cette circonstance a nécessairement donné lieu à une augmentation de la dépense, qui a pu compenser la diminution résultant de l'excès de leur hauteur sur celle de notre orifice de  $0^m,40$ , dont la base était exhaussée de  $0^m,54$  au-dessus du fond du réservoir. Nous ajouterons que les huit expériences de Pin et Lespinasse, prises ensemble, fournissent un coefficient moyen de  $0,625$ , qui ne diffère que de  $\frac{1}{133}$  du précédent, et est égal à celui qu'a obtenu M. Lapeyre avec un pertuis et une charge qui, du reste, nous sont inconnus.

RÉSUMÉ DES CONSÉQUENCES QUI SE DÉDUISENT DES EXPÉRIENCES  
SUR LES ORIFICES FERMÉS À LA PARTIE SUPÉRIEURE, DÉBOUCHANT LIBREMENT DANS L'AIR,  
ET USAGE DES TABLES D'INTERPOLATION.

251. • Les coefficients par lesquels il faut multiplier les formules de la dépense théorique, pour avoir la dépense effective, dépendent du plus petit intervalle qui sépare les bords opposés de l'orifice, et restent les mêmes, toutes choses égales d'ailleurs,

quelle que soit l'autre dimension de l'ouverture, pourvu qu'elle n'excède pas environ 20 fois la première. »

Ce fait n'a été constaté par des expériences directes que pour les orifices en minces parois, isolés du fond et des faces latérales du réservoir; mais il paraît clair, quoiqu'il soit permis en hydraulique de douter de tout ce qui n'est pas démontré d'une manière péremptoire, qu'il a également lieu lorsque les bords de l'ouverture sont à une petite distance, ou dans le prolongement des parois correspondantes du réservoir. On est d'autant plus fondé à l'admettre, que, sauf les trois exceptions signalées à l'article 232, et dont le dispositif de la figure 1 offre lui-même des exemples, les coefficients augmentent, dans le second cas comme dans le premier, à mesure que la hauteur de l'orifice diminue.

252. « Pour les orifices dont les côtés contigus sont inégaux, les coefficients de la formule  $D'$  de la dépense, qui tient compte de l'influence de la hauteur de l'ouverture, sont les mêmes, à égalité de charge sur le sommet, quand la plus grande dimension est verticale que lorsqu'elle est horizontale. »

D'après cela, il suffira, pour avoir les coefficients de la formule  $D'$  relatifs aux orifices plus hauts que larges, qui sont d'ailleurs peu usités dans la pratique, de multiplier par le rapport  $\frac{D}{D'}$  ceux de la formule  $D$ , que nos tables d'interpolation donnent pour les orifices plus larges que hauts.

253. « Les orifices pratiqués dans une paroi épaisse donnent, toutes choses égales d'ailleurs, les mêmes résultats que ceux en mince paroi, lorsque la veine se détache de tout leur pourtour, et que leurs quatre côtés sont dans un même plan vertical. »

Ces conditions ne peuvent être remplies que par les orifices dont le contour n'est pas garni de feuillures, et qui ne sont pas limités par le haut au moyen d'une vanne épaisse, à moins que l'extrémité inférieure de celle-ci ne soit taillée en chanfrein, de façon à ne présenter qu'une très-faible épaisseur, sinon une simple arête vive.

254. • Les parois du réservoir commencent à avoir une influence appréciable sur la dépense, lorsque leur distance aux bords correspondants de l'orifice est réduite à 2,7 fois la largeur de celui-ci. »

Il résulte de là qu'un orifice ne doit être regardé comme entièrement isolé du réservoir, que lorsque la distance dont il s'agit est d'environ trois fois la largeur de l'ouverture. Il faudra donc partir de cette limite pour évaluer, par interpolation, les coefficients de la dépense correspondant à des intervalles, entre les parois du réservoir et les bords de l'orifice, autres que ceux que nous avons considérés dans nos expériences.

255. • Les coefficients de la dépense n'augmentent pas selon le nombre des côtés de l'orifice sur lesquels la contraction est supprimée, mais en raison de la portion du contour entier de l'ouverture sur laquelle cette suppression a lieu; et, à égalité de cette portion du contour, les coefficients sont plus forts quand la base de l'orifice est au nombre des côtés privés de contraction que lorsqu'elle en est exclue. »

256. La manière de faire usage de nos tables d'interpolation découle naturellement des faits que nous venons d'énoncer. Il y a deux façons de procéder, selon que le pertuis dont on veut calculer la dépense est ou n'est pas exactement dans les mêmes conditions que l'un des dispositifs sur lesquels nous avons opéré.

Dans le premier cas, on construira une courbe en prenant pour abscisses les hauteurs des orifices que nous avons soumis à l'expérience, et pour ordonnées les coefficients de la dépense relatifs au dispositif et à la charge de liquide que l'on considère. Portant ensuite sur l'axe des abscisses de cette courbe la plus petite des deux dimensions du pertuis en question, l'ordonnée correspondante donnera évidemment le coefficient cherché, puisque sa valeur ne dépend, toutes choses égales d'ailleurs, que du plus petit intervalle qu'il y a entre les bords opposés de l'ouverture (251).

Dans le second cas, on déterminera d'abord par interpolation, pour chacun de nos orifices, les coefficients qui se rapportent aux

conditions dans lesquelles se trouve le puits dont on s'occupe, et l'on procédera ensuite avec les résultats ainsi obtenus, comme nous l'avons indiqué pour le cas précédent. Si la différence entre le dispositif de ce puits et les nôtres consiste dans le plus ou le moins d'intervalle entre les parois du réservoir et les bords de l'ouverture, on agira, pour l'interpolation, comme il est dit à l'article 254. Mais, si ces parois sont plus ou moins inclinées sur le plan qui contient l'orifice, on se réglera pour la faire, soit sur les coefficients relatifs aux dispositifs des figures 1, 2 et 9, soit sur ceux qui concernent les figures 4, 11 et 6, selon que la base du puits sera isolée du fond du réservoir ou se trouvera dans son prolongement.

Ce mode d'évaluation présente sans doute quelque incertitude; mais comme on connaît, dans tous les cas, les coefficients correspondant aux deux positions extrêmes, et à au moins une position intermédiaire, on ne saurait craindre de commettre des erreurs dangereuses. Il serait certainement à désirer qu'on pût, par de nouvelles expériences, se donner des points de repère plus multipliés; néanmoins, nos tables nous paraissent assez complètes pour fournir, en les employant avec discernement, les moyens de résoudre, sinon avec une entière exactitude, au moins avec un degré d'approximation suffisant, à peu près toutes les questions concernant la dépense des orifices fermés à la partie supérieure, qui peuvent se présenter dans la pratique.

256 bis. Ces tables, par les motifs déjà exposés (204), ne donnent que les coefficients à appliquer à la seule formule  $D = lo \sqrt{2g H}$ , dans laquelle  $l$ ,  $o$  et  $H$  expriment respectivement la largeur et la hauteur de l'orifice et la charge de liquide sur son centre, mesurée, soit à 3<sup>m</sup>,50, soit à 0<sup>m</sup>,02 en amont de cet orifice. Il n'y a d'exception que pour les tableaux VIII et XXXII, concernant les ouvertures dont la plus grande dimension est placée dans le sens vertical, et sur lesquels nous avons fait figurer, en outre, les coefficients de la formule  $D' = \frac{2}{7} l \sqrt{2g} (h^{\frac{2}{3}} - h'^{\frac{2}{3}})$ , qui tient compte de l'influence

de la hauteur de l'orifice, et dans laquelle  $h$  et  $h'$  représentent les charges de fluide sur ses bords supérieur et inférieur.

Pour les orifices alimentés par un canal rectangulaire découvert, communiquant librement avec le réservoir, et dont les parois sont très-rapprochées des bords correspondants de l'ouverture, on exprime aussi la dépense théorique par

$$Q = \omega \sqrt{2g \frac{H'}{1 - \frac{\omega^2}{\sigma^2}}} \quad (1).$$

Dans cette formule, basée sur le principe des forces vives,  $\omega$  représente l'aire de l'orifice,  $H'$  la charge sur son centre, prise dans le canal en un point où le régime des eaux soit, autant que possible, uniforme, et  $\sigma$  l'aire de la section transversale du courant en ce point.

Nous en avons fait, dans la table suivante, l'application à nos expériences sur l'orifice carré de 0<sup>m</sup>,20 de côté avec le dispositif de la figure 6, où la base de l'ouverture est dans le prolongement du fond du canal, et ses bords verticaux sont éloignés de 2 centimètres des faces latérales correspondantes. Dans cette table, nous avons représenté par :

$H$  la charge sur le centre de l'orifice mesurée à 3<sup>m</sup>,50 en amont, en un point où le liquide est parfaitement stagnant;

$H'$  la même charge prise dans le canal à environ 1 mètre en amont de l'orifice, au point où le régime des eaux paraît le plus uniforme;

$D$  =  $10 \sqrt{2g H}$  la dépense théorique relative à la charge  $H$ , calculée par la formule ordinaire;

$Q$  =  $\omega \sqrt{2g \frac{H'}{1 - \frac{\omega^2}{\sigma^2}}}$  la dépense théorique relative à la charge  $H'$ , calculée par la formule basée sur le principe des forces vives;

$E$  la dépense effective par seconde sexagésimale;

(1) Voir le Cours de machines de l'école d'application de l'artillerie et du génie. 6<sup>e</sup> section. n<sup>o</sup> 86.

$\frac{E}{D}$  et  $\frac{E}{Q}$  les coefficients de correction à appliquer aux dépenses théoriques  $D$  et  $Q$ , pour avoir la dépense effective.

Toutes les données de la question sont extraites de la planche 7 et des tableaux I et XXV.

H.	H.	H.	$\frac{E}{D}$	$\frac{E}{Q}$
mètres	mètres.	mètres.		
1,1287	1,1195	116,400	0,663	0,658
1,0593	1,0437	131,679	0,665	0,662
0,7758	0,7651	105,896	0,666	0,668
0,6711	0,6610	81,594	0,671	0,660
0,5730	0,5633	62,850	0,678	0,663
0,5280	0,51806	57,079	0,684	0,625
0,5061	0,49700	56,838	0,710	0,604

Les deux dernières colonnes de cette table, montrent que les coefficients de correction à appliquer à la dépense théorique varient tout autant, avec la charge de liquide, pour l'une que pour l'autre des formules  $D$  et  $Q$ ; et, comme nous nous sommes assuré qu'on arrivait à la même conséquence, soit que  $H$  fût mesuré à 3<sup>m</sup>,50 ou à 2 centimètres seulement en amont de l'orifice, nous avons donné la préférence, pour la formation de nos tableaux, à la formule ordinaire  $D$ , parce qu'elle exige beaucoup moins de calculs que l'autre, sans méconnaître cependant que cette dernière offre quelque chose de plus satisfaisant sous le point de vue rationnel.

## § 4.

DÉPENSES DES ORIFICES FERMÉS À LA PARTIE SUPÉRIEURE,  
 PROLONGÉS AU DEHORS DU RÉSERVOIR  
 PAR DES CANAUX RECTANGULAIRES DÉCOUVERTS.

257. Il n'existe, à notre connaissance, d'autres expériences que les nôtres sur les orifices prolongés, au dehors du réservoir, par des canaux rectangulaires découverts d'une petite longueur, et où



par conséquent le régime des eaux ne peut parvenir à l'uniformité, comme ceux qu'on emploie ordinairement pour les usines hydrauliques et les écluses des fortifications et de la navigation. On ne savait autre chose sur cette matière que ce qu'en a dit Bossut, d'après des observations qu'il a simplement citées, à savoir : « qu'on reçoit à l'extrémité d'un canal rectangulaire découvert, quelle que soit sa longueur, la même quantité d'eau qu'à la prise, quand le canal est tout à fait enlevé » (*Traité théorique et expérimental d'hydrodynamique*, t. II, p. 222, art. 750). Dubuat a depuis admis le fait sans le vérifier, pour tous les cas où l'eau du canal ne vient pas refluer par-dessus le sommet de l'orifice ou couvrir la veine contractée (*Principes d'hydraulique et de pyrodynamique*, t. I, p. 263, art. 189).

258. Le résultat annoncé par Bossut comme étant général, ne s'applique qu'à quelques cas particuliers, car on voit par les tableaux du n° XII au n° XVII et du n° XXXIV au n° XXXVIII, que, toutes choses égales d'ailleurs, les coefficients de la dépense sont presque toujours notablement plus forts pour les orifices débouchant librement dans l'air, que pour ceux qui sont prolongés par un canal, soit horizontal, soit incliné. La plus grande différence entre ces coefficients correspond à la plus faible charge sur le sommet de l'orifice; elle diminue graduellement à mesure que cette charge augmente, et finit par devenir nulle pour certains dispositifs, comme le montre la table suivante, où nous avons indiqué, pour les orifices de 20, de 5 et de 1 centimètre de hauteur, les différences proportionnelles maxima et minima, et la charge correspondante à cette dernière. La première colonne de cette table fait connaître les dispositifs des orifices sans canal et avec canal pour lesquels on compare les résultats.

TABLE DES DIFFÉRENCES PROPORTIONNELLES DES COEFFICIENTS DE LA DÉPENSE, RELATIFS AU CAS OÙ LES ORIFICES DÉBOUCHENT LIBREMENT DANS L'AIR, ET À CELUI OÙ ILS SONT PROLONGÉS PAR UN CANAL AU DEHORS DU RÉSERVOIR.

COEFFICIENTS de dépense pour les orifices au repos ou en mouvement.	ORIFICE DE 0 <sup>m</sup> ,20 DE HAUTEUR SUR TROIS HAUTEURS									OBSERVATIONS.	
	de 0 <sup>m</sup> ,20.			de 0 <sup>m</sup> ,05.			de 0 <sup>m</sup> ,01.				
	Différence proportionnelle		Charge surabondante à la différence proportionnelle minima.	Différence proportionnelle		Charge surabondante à la différence proportionnelle minima.	Différence proportionnelle		Charge surabondante à la différence proportionnelle minima.		
	maxima.	minima.		maxima.	minima.		maxima.	minima.			
1	2	3	4	5	6	7	8	9	10		
Figures.			maxima.			maxima.			maxima.		
1 et 13	0,1917	0,0000	1,80	0,3570	0,0000	1,90	0,2865	0,0000	0,0715		
4 et 16	0,3478	0,0216		0,3220	0,0712		0,3385	0,0267			
3 et 18	0,3370	0,0532	3,00	0,3727	0,0453	3,00	0,3312	0,0518	3,000		Le canal qui prolonge les orifices est horizontal pour les dispositifs des Figures de 13 à 22.
6 et 19	0,3393	0,0413		0,2910	0,0532		0,2677	0,0373			
8 et 20	0,3004	0,0000	1,80	0,1583	0,0000	1,90	0,0095	0,0000	0,005		
9 et 21	0,2535	0,0000	0,90	0,2319	0,0000	0,90	0,1685	0,0000	0,350		Le canal qui prolonge les orifices est incliné à 1/4 pour les dispositifs des fig. de 23 à 25.
11 et 22	0,2655	0,0257	3,00	0,3725	0,0570	3,00	0,2651	0,0487	3,000		
4 et 23	0,1566	0,0000		0,1501	0,0200		0,1654	0,0000	3,000		
3 et 24	0,1201	0,0292	3,00	0,1451	0,0276	3,00	0,1202	0,0000	1,800		
6 et 25	0,2175	0,0254		0,1436	0,0259		0,1665	0,0000	1,800		
9 et 26	0,1623	0,0000	0,90	0,1634	0,0000	0,90	0,1829	0,0000	0,300		

259. Il résulte de cette table, que les différences proportionnelles des coefficients de la dépense sont nulles pour les orifices de 0<sup>m</sup>,20 et de 0<sup>m</sup>,05 de hauteur, lorsque la charge surpassé respectivement 1<sup>m</sup>,80 et 1<sup>m</sup>,20, dans le cas des dispositifs 4 et 15 et 8 et 20, et 0<sup>m</sup>,90 et 0<sup>m</sup>,80 dans celui des figures 9 et 21, et 9 et 26. Dans tous les autres cas, la différence minima, qui correspond toujours à la limite supérieure 3<sup>m</sup>,00 des charges que nous avons considérées, a une valeur plus ou moins considérable et qui ne descend jamais au-dessous de 0,0099.

L'orifice de 0<sup>m</sup>,01 de hauteur présente des circonstances particulières qui méritent d'être mentionnées. Les coefficients relatifs à la figure 15, où cet orifice est prolongé par un canal horizontal, sont plus forts que ceux qui concernent la figure 1, où il débouche librement dans l'air, pour les charges comprises entre 0<sup>m</sup>,075 et 1<sup>m</sup>,70, et la différence varie entre zéro et  $\frac{1}{4}$ . Il en est

de même des dispositifs de figures 20 et 8, 21 et 9, et 26 et 9, pour les charges de 0<sup>m</sup>,055 à 0<sup>m</sup>,70, de 0<sup>m</sup>,35 à 1<sup>m</sup>,80 et de 0<sup>m</sup>,28 à 1<sup>m</sup>,80; mais la plus grande différence des coefficients, dans ces intervalles, n'est respectivement que de  $\frac{1}{33}$ ,  $\frac{1}{33}$  et  $\frac{1}{33}$ . Ainsi, le canal horizontal, sous certaines charges, fait augmenter la dépense de quantités appréciables dans le cas des dispositifs des figures 15 et 20, et très-minimes dans celui des figures 21 et 26. Ce fait est d'autant plus étrange, qu'il ne se reproduit ni pour les orifices de 0<sup>m</sup>,20 et de 0<sup>m</sup>,05 de hauteur, ni pour ceux de 0<sup>m</sup>,10 et de 0<sup>m</sup>,03 (tabl. XXXV et XXXVII), que nous n'avons pas fait figurer sur la table précédente pour ne pas trop l'allonger. Cependant, nous ne saurions le révoquer en doute, car les expériences qui le constatent ont été exécutées en 1828, immédiatement après celles qui concernent les minces parois, et sans qu'on eût fait aux appareils d'autre changement que d'y fixer le canal au moyen de quatre boulons à vis, dont les trous avaient été ménagés pendant la construction même du réservoir.

260. La diminution de la contraction résultant du rapprochement des parois du réservoir des bords de l'ouverture, fait en général, toutes choses égales d'ailleurs, moins augmenter les coefficients pour les orifices prolongés par un canal horizontal, que pour ceux qui débouchent librement dans l'air. La différence entre les accroissements est surtout très-sensible lorsque la base de l'ouverture est au nombre des côtés sans contraction, comme dans les dispositifs des figures 16, 18 et 19. Dans le cas du premier de ces dispositifs, où la base seule est privée de contraction, les coefficients diminuent au lieu d'augmenter, pour les orifices de 0<sup>m</sup>,20 et de 0<sup>m</sup>,05 de hauteur, sous les charges respectivement inférieures à 1<sup>m</sup>,10 et à 0<sup>m</sup>,50, car ils sont alors plus faibles pour ce dispositif que pour celui de la figure 15, d'après lequel l'orifice est entièrement isolé du réservoir.

Les orifices de 0<sup>m</sup>,05 et de 0<sup>m</sup>,01 de hauteur avec les dispositifs des figures 20 et 21, sous des charges inférieures à 0<sup>m</sup>,06, dans le premier cas, et à 0<sup>m</sup>,04 dans le second, forment une ex-

ception analogue à celle que nous avons signalée au second alinéa de l'article précédent. En effet, l'excès des coefficients qui les concernent sur ceux de la figure 15 est, pour ces charges, plus grand que celui des coefficients relatifs aux figures 8 et 9 sur ceux de la figure 1.

261. La table du n° 258 montre que le canal de 2<sup>m</sup>,50, de longueur incliné à  $\frac{1}{10}$  (dispositifs des figures 23, 24, 25 et 26), donne des résultats plus forts que le canal horizontal de 3<sup>m</sup>,00 de long, mais encore notablement plus faibles que ceux qu'on trouve pour les orifices débouchant librement dans l'air. Afin d'obtenir des données propres à diriger dans les interpolations à effectuer, pour déterminer les coefficients de la dépense à appliquer dans le cas de canaux dont la pente serait inférieure ou supérieure à  $\frac{1}{10}$ , nous avons fait, sur l'orifice carré de 0<sup>m</sup>,20 de côté avec le dispositif de la figure 27 qui, à l'intérieur du réservoir, est le même que celui de la figure 6, diverses expériences qui sont consignées sur le tableau n° XIII, et que nous avons résumées dans la table suivante. Elle contient la longueur et la pente du canal, la plus forte et la plus faible des charges sur le sommet de l'orifice qui ont été soumises à l'expérience, enfin les différences proportionnelles des coefficients correspondant à ces deux charges, comparés à ceux qui concernent le dispositif de la figure 6, où l'orifice débouche librement dans l'air.

CANAL.		CHARGES sur le sommet de l'orifice soumises à l'expérience		DIFFÉRENCES proportionnelles des coefficients correspondant à la charge	
Longueur.	Inclinaison.	la plus forte.	la plus faible.	la plus forte.	la plus faible.
mètres 3,00	$\frac{1}{10}$	mètres 1,00	mètres 0,11	0,004	0,014
3,00	$\frac{1}{15}$	"	0,11	"	0,007
1,54	$\frac{1}{2,24}$	1,20	0,11	0,006	0,116
0,75	$\frac{1}{3,00}$	1,17	0,11	0,000	0,007
0,15	$\frac{1}{1,00}$	"	0,11	"	0,000
0,25	Zéro.	"	0,11	"	0,136

262. La dernière colonne horizontale de cette table, qui est séparée des autres par un trait, se rapporte à un canal horizontal de 2<sup>m</sup>,25 de longueur, de même largeur que l'orifice, et dont le fond était abaissé de 0<sup>m</sup>,05 au-dessous de la base de ce dernier (fig. 27). Cet abaissement a eu pour effet de réduire, pour la charge de 0<sup>m</sup>,11, à 0,134 la différence proportionnelle des coefficients, qui est de 0,246 lorsque le fond du même canal est au niveau de la base de l'orifice (tabl. XXV et XXXIV). On comprend que, si la distance entre ce fond et cette base était double ou triple, le canal n'aurait plus aucune influence sur la dépense; par conséquent il devait, à plus forte raison, en être ainsi de celui qui, pour toutes nos expériences, conduisait les produits de l'écoulement dans la jauge ou dans le cuvier destinés à les recevoir, car il était placé à 0<sup>m</sup>,27 au-dessous de l'orifice, et il était de 1,67 à trois fois plus large que celui-ci (59).

Mais un canal qui prolonge exactement un orifice dont la base est au niveau du fond du réservoir, fait toujours diminuer sensiblement la dépense, pour les faibles charges, à moins que sa pente et sa longueur ne soient telles, que la veine puisse le franchir sans toucher en quelque sorte ses parois, comme cela avait lieu pour celui de 0<sup>m</sup>,15 de longueur incliné à  $\frac{1}{5}$ . En effet, on voit par la table du numéro précédent que ce même canal, avec une longueur de 0<sup>m</sup>,74, a fait descendre à 0,665 le coefficient qui, pour la charge de 0<sup>m</sup>,11 sur le sommet de l'ouverture, était de 0,703 lorsque l'orifice débouchait librement dans l'air (tabl. XIII et XXV).

263. Il est donc indispensable, pour calculer exactement la dépense d'un pertuis, d'avoir égard à la fois aux dispositions qui l'accompagnent dans l'intérieur du réservoir, et à la pente du canal qui y est adapté. Cette pente est en général comprise entre zéro et  $\frac{1}{10}$ , en sorte que nos tables, en donnant les coefficients relatifs à ces deux limites extrêmes, fournissent les moyens de déterminer, par interpolation, ceux qui conviennent aux inclinaisons qu'on rencontre ordinairement dans la pratique. Pour des pentes qui excéderaient  $\frac{1}{10}$ , on se guiderait d'après les résultats d'expé-

riences spéciales mentionnées plus haut, que nous avons faites sur l'orifice carré de  $0^m,20$  de côté avec des canaux inclinés de  $\frac{1}{10}$  à  $\frac{1}{2,5}$ . On procédera du reste à ces évaluations comme dans le cas des orifices débouchant librement dans l'air (256), en prenant pour base le plus petit intervalle qu'il y a entre les bords opposés de l'ouverture. Pour les uns comme pour les autres, les coefficients de la dépense dépendent de cet intervalle, et sont d'autant plus grands, toutes choses égales d'ailleurs, qu'il est lui-même moindre, comme le montrent les tableaux du n° XXXIV au n° XXXVIII.

Dans le cas particulier des orifices dont la base est exhaussée au-dessus du fond du réservoir, on peut apprécier jusqu'à un certain point, à la vue simple, le degré d'influence que le canal a sur la dépense, d'après la longueur de la portion de la veine liquide qui se détache des parois latérales de ce canal, et de la nappe d'air qui se manifeste alors (85) entre le fond de celui-ci et la veine. Lorsque cette longueur est à peu près égale à la largeur de l'orifice, la dépense est sensiblement la même que si le canal n'existait pas.

VITESSE DE L'EAU DANS LES CANAUX RECTANGULAIRES DÉCOUVERTS,  
QUI PROLONGENT LES ORIFICES AU DEHORS DU RÉSERVOIR.

264. La vitesse *moyenne* de l'eau dans les coursiers est une donnée fort importante pour le calcul de la quantité d'action transmise aux roues hydrauliques. M. Navier, dans la nouvelle édition de l'Architecture hydraulique de Bélidor (note *dn*, § 3, p. 424), l'évalue aux 0,86 ou 0,89 de celle qui est due à la hauteur de chute, selon que la veine se contracte à la fois sur la base et sur les côtés verticaux du pertuis ou seulement sur ceux-ci, circonstances qui se rapportent respectivement à nos dispositifs des figures 15 et 16.

Les charges de liquide, les dimensions du pertuis et sa position par rapport aux roues hydrauliques pouvant varier à l'infini, il

faut admettre, pour appliquer d'une manière générale les résultats trouvés par M. Navier, en considérant le coursier comme un tuyau adapté à un vase, que la vitesse moyenne dont il s'agit est une fraction constante de celle qui est due à la chute, quelle qu'elle soit ainsi que le pertuis, et qu'à égalité de charge elle reste la même dans toute l'étendue du coursier. Nous nous sommes proposé, comme *question accessoire*, dans le cours de nos opérations sur la dépense des orifices, de vérifier s'il en était véritablement ainsi.

265. Dans ce but, nous avons relevé 141 sections des lames fluides qui coulaient dans nos canaux, sous des charges et avec des orifices et des dispositifs différents. Elles sont dessinées et cotées sur les planches numérotées de 12 à 22, et leurs distances aux orifices, leurs aires, les vitesses moyennes qu'on en déduit, et les rapports de ces vitesses à celles qui correspondent aux hauteurs de chute, sont consignées sur les tableaux du n° XIII au n° XVIII. On rappellera ici que le canal horizontal n'avait une largeur uniforme de 0<sup>m</sup>,20 que sur une longueur de 2 mètres à partir de l'orifice (17); au delà il s'élargissait graduellement jusqu'à son extrémité, où il avait 0<sup>m</sup>,202, et nous avons tenu compte de cette circonstance dans le calcul des surfaces des sections, qui a été effectué par la méthode de Thomas Simpson. Ces sections n'ont pas été relevées à des distances fixes et uniformément réparties le long du canal. En général, nous en avons fait une à l'extrémité de celui-ci et une près de l'orifice, un peu en aval du point où la veine cesse d'être détachée du fond et des faces latérales du canal, afin d'éviter de comprendre dans son aire un espace qui pouvait ne pas être rempli de liquide; en outre, nous en avons assez fréquemment relevé dans des positions intermédiaires, en choisissant de préférence les points où l'écoulement présentait quelque particularité.

266. En comparant entre eux les résultats qu'elles ont fournis, on reconnaît que le rapport de la vitesse moyenne dans le canal à celle qui est due à la hauteur de chute varie, toutes choses égales d'ailleurs, d'un point à l'autre du canal, pour une même charge de

liquide, et avec la charge pour un même point du canal. Le premier fait est parfaitement constaté pour chacune des charges, au nombre de 33 se rapportant à des orifices et à des dispositifs différents, pour lesquelles nous avons relevé des sections en divers points du canal. Quant au second, il est mis en évidence par les résultats que nous avons groupés dans le tableau suivant.

ORIFICE DE 0 <sup>m</sup> ,20 DE HAUTEUR.									
Dispositif de la figure 18.					Dispositif de la figure 19.				
Charge en mètres	Rapport de la vitesse réelle dans le canal à la vitesse due à la hauteur de chute, à des distances en aval de l'orifice				Charge en mètres	Rapport de la vitesse réelle dans le canal à la hauteur de chute, à des distances en aval de l'orifice			
	de l'orifice.	de 0 <sup>m</sup> ,25.	de 0 <sup>m</sup> ,50.	de 0 <sup>m</sup> ,75.		de l'orifice.	de 0 <sup>m</sup> ,25.	de 0 <sup>m</sup> ,50.	de 0 <sup>m</sup> ,75.
0	1	2	3	4	5	6	7	8	9
mètres.					mètres.				
0,4005	0,8232	0,8021	0,8687	0,8813	0,0105	0,8595	0,9641	0,9643	0,2125
0,3140	0,8022	0,8581	0,8475	0,8561	0,4006	0,8657	0,9233	0,9086	0,1050
0,1320	0,7302	0,7597	0,7443	0,7569	0,2120	-	0,8771	0,8485	-

Les nombres inscrits dans les colonnes verticales de ce tableau, montrent que le rapport dont il s'agit diminue avec la charge de liquide, pour un même point du canal, et ceux qui sont placés sur une même ligne horizontale font voir qu'il varie d'un point à l'autre de ce canal, pour une même charge, ce qui est d'ailleurs démontré par un très-grand nombre d'autres résultats, comme nous l'avons déjà dit.

267. On ne saurait douter qu'il ne varie aussi avec le dispositif et avec la hauteur de l'ouverture, quoique cela ne ressorte pas d'une manière aussi frappante des résultats de nos opérations, parce que les sections que nous avons faites de la lame liquide ne correspondent pas exactement à la fois à la même charge et au même point du canal.

Ainsi, pour l'orifice carré de 0<sup>m</sup>,20 de côté, avec le dispositif



de la figure 15, sous la charge de  $0^m,122$  sur le centre, la valeur de ce rapport, à une distance de  $0^m,083$  de l'orifice, est de  $0,6308$  (expérience 1108), tandis qu'elle est de  $0,7569$  avec le dispositif de la figure 16, à  $0^m,08$  de ce même orifice. Or, dans ce dernier cas, le rapport en question augmente à mesure qu'on s'éloigne vers l'aval, comme l'indique le tableau précédent; il serait donc au-dessus de  $0,7569$  à  $0^m,083$  de l'ouverture; on peut, par conséquent, en conclure qu'à cette distance la différence des valeurs relatives aux deux dispositifs que nous considérons, qui, d'après la savante analyse de M. Navier, ne serait que de  $0,89 - 0,86 = 0,03$ , est, d'après nos expériences, d'au moins  $0,7569 - 0,6308 = 0,1261$ . Pour le même orifice, sous la charge de  $0^m,4005$  sur le centre, le rapport qui, avec le dispositif de la figure 16, est de  $0,8842$  à la distance de  $0^m,08$ , n'est que de  $0,8657$  avec celui de la figure 19 à  $0^m,09$  de l'orifice. Mais pour le premier de ces dispositifs, le rapport, ainsi que nous venons de le dire, augmente quand on s'avance vers l'aval; il excéderait donc  $0,8842$  à  $0^m,09$ , et, par conséquent, à cette dernière distance la différence des valeurs qui nous occupent est d'au moins  $0,8842 - 0,8657 = 0,0185$ . La vitesse moyenne est donc plus forte en ce point pour le dispositif de la figure 16, où la contraction n'est supprimée que sur la base de l'ouverture, que pour celui de la figure 19, où elle est détruite à la fois sur cette base et sur les côtés verticaux. Nous ne prétendons pas inférer de là qu'elle est constamment plus faible dans ce dernier cas que dans l'autre, car il est possible que l'inverse ait lieu à d'autres distances de l'orifice ou sous d'autres charges. Tout ce que nous voulons en conclure, c'est que, à égalité de charge et de distance en aval de l'orifice, elle varie avec le dispositif.

Sa variation avec la hauteur de l'ouverture, toutes choses égales d'ailleurs, n'est pas moins évidente. En effet, pour l'orifice de  $0^m,05$  de hauteur avec le dispositif de la figure 16, sous une charge de  $0^m,2125$  sur le centre, les valeurs du rapport de la vitesse moyenne dans le canal à la vitesse théorique, à des distances de l'orifice de  $0^m,0510$ ,  $0^m,0565$  et  $0^m,0615$ , sont respectivement de

0,9131, 0,9694 et 0,9704 (tabl. XV). Ces valeurs seraient plus fortes si la charge, au lieu d'être de 0<sup>m</sup>,2125, était de 0<sup>m</sup>,2440 (266); or, telles qu'elles sont, elles excèdent notablement celles qui, pour le même dispositif, les mêmes distances de l'orifice et la charge de 0<sup>m</sup>,2440, correspondent à l'orifice de 0<sup>m</sup>,20 de hauteur, comme on peut en juger par les résultats consignés sur le tableau du n° 266.

268. Les résultats que nous avons cités jusqu'ici concernent exclusivement un canal horizontal; mais tout ce que nous avons dit s'applique également aux canaux inclinés. Ainsi, pour l'orifice carré de 0<sup>m</sup>,20 de côté, prolongé par un canal de 1<sup>m</sup>,24 de longueur avec une inclinaison de  $\frac{1}{5,71}$  (fig. 27, tabl. XIII), le rapport de la vitesse moyenne à celle qui est due à la hauteur de chute, à des distances de l'orifice de 0<sup>m</sup>,1336 et 0<sup>m</sup>,2102, est respectivement de 0,8583 et 0,9043, sous la charge de 1<sup>m</sup>,6037; tandis qu'il n'est que de 0,8228 et 0,8821 sous celle de 0<sup>m</sup>,2079; il a donc diminué avec la charge.

Pour le même orifice, avec un canal de 0<sup>m</sup>,74 de longueur incliné à  $\frac{1}{5,9}$ , sous la charge de 1<sup>m</sup>,2720, le rapport en question, à 0<sup>m</sup>,3348 en aval de l'ouverture, aurait une valeur comprise entre celles de 0,9061 et 0,9165, qui concernent les distances de 0<sup>m</sup>,3267 et 0<sup>m</sup>,3646. Or, la valeur de ce rapport correspondant à la même distance de 0<sup>m</sup>,3348, sous la charge de 0<sup>m</sup>,6704, est de 0,9718; elle est donc notablement plus forte que les précédentes, en sorte que ce rapport, lorsque la charge devient plus faible, augmente au lieu de diminuer comme dans le cas précédent. Cette différence est sans doute due à ce que les circonstances ne sont pas identiquement les mêmes dans les deux cas, car la veine suit constamment le fond du canal incliné à  $\frac{1}{5,71}$ , tandis qu'elle se détache, au contraire, sur une certaine longueur du fond de celui dont la pente est de  $\frac{1}{5,9}$ , pour les deux charges de 1<sup>m</sup>,2720 et 0<sup>m</sup>,6704 dont il s'agit. Quoi qu'il en soit, il est certain que le rapport en question varie avec la charge, pour un même point des canaux inclinés, et c'est tout ce que nous voulons prouver.

269. Il varie aussi d'un point à l'autre de ces canaux, pour la même charge, ce dont on s'assure aisément en comparant la vitesse moyenne, non pas simplement à celle qui est due à la hauteur du niveau de l'eau au-dessus du centre de l'orifice, comme nous l'avons fait dans le tableau n° XIII, mais à cette hauteur augmentée de la pente du canal depuis l'orifice jusqu'au point que l'on considère. En procédant ainsi, le rapport qui, pour l'orifice carré de 0<sup>m</sup>,20 de côté sous la charge de 0<sup>m</sup>,2079, avec le canal de 1<sup>m</sup>,24 de longueur incliné à  $\frac{1}{5,74}$ , est de 1,1856 à la distance de 1<sup>m</sup>,2155 en aval de l'orifice, se réduit à 1,0522. Il est donc encore plus fort que l'unité et ce n'est pas le seul cas qui fournisse de semblables résultats, car pour le même orifice avec le dispositif de la figure 15, sous la charge de 0<sup>m</sup>,1220, le rapport dont il s'agit est de 1,0371 à l'extrémité du canal horizontal, et il est de 1,0102 à 0<sup>m</sup>,0835 en aval de l'orifice de 0<sup>m</sup>,05 de hauteur, sous la charge de 1<sup>m</sup>,5022 avec le même canal et le dispositif de la figure 16 (tabl. n° XV).

En faisant la part des légères erreurs que nous avons pu commettre, malgré tous nos soins, dans le lever des sections des lames liquides, qui n'était pour nous qu'un travail secondaire, on ne saurait méconnaître que la vitesse moyenne, dans un canal d'une petite longueur raboté et poli à l'intérieur comme l'étaient les nôtres, ne puisse, dans certains cas, égaler et même surpasser celle qui est due à la hauteur de la chute au-dessus du centre de l'orifice, augmentée, s'il y a lieu, de la pente du canal. Ce fait, entièrement opposé aux idées reçues, est analogue à celui que nous avons signalé au sujet de la vitesse dans la section contractée des veines fluides jaillissant librement dans l'air (67 et 74).

270. Il résulte de tout ce qui précède, que le rapport de la vitesse moyenne dans un canal rectangulaire découvert de petite longueur, établi dans le prolongement d'un orifice, à celle qui est due à la hauteur de chute, dépend à la fois de cette hauteur, du point du canal que l'on considère, des dispositions qui accompagnent l'orifice à l'intérieur du réservoir et de la hauteur de cet

orifice, et qu'on ne saurait attribuer à ce rapport, sans s'exposer à de très-graves erreurs, une valeur constante pour le même dispositif, comme l'ont fait quelques auteurs en se basant sur les résultats trouvés par M. Navier. Jusqu'à ce qu'on ait fait des séries complètes d'expériences spéciales, qui permettent d'évaluer immédiatement la vitesse moyenne en fonction de la hauteur de chute (expériences qui n'exigeraient d'ailleurs ni beaucoup de temps ni beaucoup de peine, parce qu'on n'aurait pas à s'occuper de la dépense effective, attendu qu'elle serait donnée par nos tables d'interpolation), il faut nécessairement, pour déterminer cette vitesse avec exactitude, la déduire, dans chaque cas particulier, de la dépense effective divisée par l'aire de la section de la lame de liquide, qui coule dans le coursier au point même que l'on considère.

270 bis. Jusqu'ici nous avons constamment comparé la vitesse moyenne dans les sections de la nappe de liquide qui coule dans le canal, établi dans le prolongement de l'orifice, à celle qui est due à la charge au-dessus du centre de cet orifice, mesurée, soit à 3<sup>m</sup>,50, soit à 0<sup>m</sup>,02 en amont. Néanmoins, on sait que lorsque la veine fluide suit exactement le fond du coursier, et que le régime est uniforme et parallèle dans une certaine étendue de la partie contractée de cette veine, la vitesse moyenne dans cette partie doit, en réalité, être comparée à celle qui est due à la charge au-dessus de son niveau supérieur, et qu'il doit en être de même lorsque la veine est recouverte par des remous. Quoique dans nos expériences l'écoulement ne fût pas exactement dans les conditions dont il s'agit, nous avons cependant cru utile de faire cette comparaison, en extrayant des tableaux XIII et XV et des planches 18, 19, 20, 21 et 22, pour les réunir dans la table suivante, les résultats relatifs aux orifices de 0<sup>m</sup>,20 de base sur 0<sup>m</sup>,20 et 0<sup>m</sup>,05 de hauteur avec les dispositifs des figures 16 et 19, c'est-à-dire pour lesquels la base des orifices se trouve exactement dans le prolongement du fond du réservoir.

COURSES	GRANDS		DUP	GRANDS		VITÉSSE	VITÉSSE		RAPPORT		
	de	de		de	de		de	de	de	de	de
de	la base de l'orifice,	la section contractée à celle qui se trouve en de l'orifice à une distance	de	de	de	de	de	de	de	de	
de	la base	à une distance	de	de	de	de	de	de	de	de	
sur une	à une distance	à une distance	de	de	de	de	de	de	de	de	
hauteur	de	de	de	de	de	de	de	de	de	de	
de 1	de	de	de	de	de	de	de	de	de	de	
1	2	3	4	5	6	7	8	9	10	11	
<b>DISPOSITIF DE LA FIGURE 16.</b>											
0,20	0,5005	0,5006	0,0100	0,1872	0,3333	0,3323	3,4783	3,5066	3,5050	0,969	0,970
	0,3420	0,3409		0,1853	0,1767	0,1750	1,8631	1,8621	1,8611	1,002	1,005
	0,2520	0,2142		0,1863	0,0957	0,0879	1,1709	1,0430	0,9690	1,130	1,108
	1,5272	1,5272	0,0835	0,0361	1,4888	1,4888	5,1639	5,1644	5,1644	1,015	1,015
	1,1658	1,1057	0,0550	0,0360	1,0679	1,0677	4,4748	4,5770	4,5770	0,978	0,978
	0,5020	0,5015	0,0615	0,0386	0,6634	0,6633	2,9208	3,0152	3,0148	0,979	0,979
0,05	0,2375	0,2372	0,0615	0,0370	0,1996	0,1993	1,9813	1,9790	1,9775	1,001	1,002
	0,1296	0,1291	0,0565	0,0382	0,0926	0,0909	1,2611	1,2679	1,2657	1,013	1,022
	0,0716	0,0696	0,0210	0,0433	0,0983	0,0963	0,5680	0,7451	0,7183	0,735	0,763
	0,0613	0,0578	0,0065	0,0502	0,0111	0,0070	0,3732	0,4666	0,3861	0,800	0,967
<b>DISPOSITIF DE LA FIGURE 19.</b>											
0,30	1,0105	0,9932	0,36	0,1331	0,8774	0,8601	4,1590	4,2148	4,1078	1,002	1,022
	0,2603	0,2785		0,1209	0,3705	0,3485	2,3832	2,5961	2,6112	0,899	0,980
	0,3420	0,3190		0,1194	0,2120	0,1890	1,6111	2,0028	1,9990	0,956	0,991

Les deux dernières colonnes de ce tableau montrent que, en général, la vitesse moyenne dans la section contractée, diffère assez peu de celle qui résulte de la charge au-dessus de cette section, mesurée dans le réservoir, soit à 3<sup>m</sup>,50, soit à 0<sup>m</sup>,02 en amont de l'orifice. Il peut se faire, d'ailleurs, que nous n'ayons pas toujours relevé la section de la nappe de liquide précisément au point correspondant à la plus grande contraction de la veine, point dont la position, comme le prouve le tableau qui précède, varie à la fois avec la charge de fluide, avec le dispositif et avec la hauteur de l'orifice. Mais nous avons dû nous en écarter très-peu, parce que nous avons fait des sections très-rapprochées les unes des autres, jusqu'à ce que nous en eussions trouvé une dont l'aire fût plus

petite que celles des sections qui la précédaient en amont de l'orifice et qui la suivaient en aval. Au surplus, si, malgré tous nos soins et la précision de nos appareils, nos résultats peuvent présenter, sous ce rapport, quelque incertitude, on ne saurait espérer de faire mieux et même aussi bien dans la pratique, et l'on doit renoncer à se servir de formules qui seraient basées sur l'égalité des vitesses dont il s'agit.

## § 5.

INFLUENCE DES REMOUS SUR LA DÉPENSE DES ORIFICES FERMÉS  
À LA PARTIE SUPÉRIEURE, PROLONGÉS AU DEHORS DU RÉSERVOIR  
PAR DES CANAUX RECTANGULAIRES DÉCOUVERTS.

271. Dubuat est jusqu'à présent le seul auteur qui se soit occupé de l'évaluation de la dépense des orifices fermés à la partie supérieure, dans le cas où les remous dans le canal qui reçoit le produit de l'écoulement, s'élèvent au-dessus du bord supérieur de l'ouverture. Il estime que *la hauteur uniforme de l'eau dans ce canal peut excéder un peu l'élevation de la vanne, sans nuire à la dépense, qui reste alors la même que si le canal n'existait pas, et qu'elle ne commence à diminuer que lorsque les remous couvrent la veine contractée.* Quand cette dernière circonstance se présente, il considère la vitesse de l'écoulement comme étant due à la différence entre la charge de liquide sur la base de l'orifice, prise dans le réservoir, et la profondeur uniforme de l'eau dans le canal. Cette vitesse, multipliée par l'aire de l'orifice, donne la dépense théorique, et Dubuat lui applique, pour avoir la dépense effective, le coefficient 0,620, relatif aux minces parois, ou celui 0,812 qui concerne les tuyaux, selon que le canal est plus large ou a la même largeur que l'orifice (*Principes d'hydraulique et de pyrodynamique*, t. 1<sup>er</sup>, p. 264, art. 189 et 190).

272. Nous nous sommes proposé de vérifier si les faits annoncés par Dubuat et la règle qu'il indique pour calculer la dépense,

étaient applicables aux canaux rectangulaires découverts d'une petite longueur, où le régime des eaux ne peut parvenir à l'uniformité. Nous avons fait, dans ce but, une série d'expériences sur l'orifice de 0<sup>m</sup>,20 de base et 0<sup>m</sup>,05 de hauteur, sous diverses charges avec le dispositif de la figure 15, en barrant à son extrémité, sur toute sa largeur et sur diverses hauteurs, le canal horizontal de 3<sup>m</sup>,00 de longueur qui prolongeait cet orifice au dehors du réservoir.

La hauteur des barrages était réglée d'après la charge de liquide, de façon à produire des remous qui, s'avancant plus ou moins vers l'amont, s'arrêtaient à une petite distance de la veine contractée, ou la recouvraient, soit en totalité, soit en partie seulement, selon le besoin. Les sections de ces remous par des plans verticaux passant par l'axe du canal, que nous avons relevées par les procédés décrits précédemment (45), sont dessinées et cotées sur les planches 23 et 24, et les résultats des expériences sont consignés sur le tableau n° XVIII. La dépense théorique a été calculée au moyen de quatre formules distinctes, qui sont indiquées dans la légende explicative placée en tête des tableaux détaillés, et auxquelles il faut appliquer des coefficients de correction différents, pour avoir la dépense effective.

La première  $T$  (col. 22) suppose, d'après Dubuat, que la vitesse théorique (col. 26) est due à la différence  $C - c$  des charges sur le sommet de l'orifice mesurées, l'une dans le réservoir (col. 10), l'autre dans le canal au point le plus haut des remous (col. 11). La seconde  $T'$  (col. 23) ne diffère de la précédente qu'en ce qu'on a substitué à la charge  $c$  prise au point le plus haut des remous, celle  $c'$  (col. 12) mesurée dans le canal immédiatement contre l'orifice. La troisième  $t$  (col. 24), a été établie par M. Poncelet en se basant sur le principe des forces vives. Il y a fait entrer, outre la différence des charges  $C - c$ , l'aire  $A$  de la section de l'eau dans le canal au point le plus haut des remous (col. 13), et le coefficient  $m$  de la formule  $D'$  de la dépense, pour le cas où l'orifice est en mince paroi (col. 7). Enfin, la quatrième  $t$

(col. 25) est déduite de la précédente, en substituant à la charge et à l'aire de la section au point le plus haut des remous, la charge et l'aire prises immédiatement en aval de l'orifice (col. 12 et 14). Les coefficients de correction de ces formules figurent dans les colonnes 26, 27, 28 et 29; ceux de la formule ordinaire  $D$ , dans le cas où l'extrémité du canal est libre et dans celui où elle est barrée, sont inscrits dans les colonnes 8 et 19; la hauteur  $p$  du barrage établi à cette extrémité est donnée par la colonne 9; enfin, la colonne 4 fait connaître l'aire de l'orifice, rectifiée en tenant compte des variations que les températures de l'air et de l'eau, à l'instant où l'on exécutait chaque expérience (col. 2 et 3), avaient fait éprouver à sa hauteur, par suite de la dilatation linéaire de la tige de manœuvre de la vanne (28).

273. La hauteur des remous a été, dans chaque cas, déterminée à l'aide de sections perpendiculaires à l'axe du canal. Leurs épaisseurs moyennes ont été calculées par la méthode des quadratures de Thomas Simpson, et la plus forte donnait la plus grande élévation des remous. Les sections longitudinales dessinées sur les planches 23 et 24 sont déduites de ces sections transversales; les côtes qui y sont inscrites n'indiquent pas les hauteurs absolues du liquide au-dessus du fond du canal mesurées suivant son axe, mais les épaisseurs moyennes des sections transversales passant par les points auxquels elles sont appliquées.

Ces levers sont difficiles à faire et présentent toujours quelque incertitude, lorsque les remous n'atteignent pas tout à fait la veine contractée ou ne la recouvrent qu'en partie, parce qu'alors l'écoulement ne se fait, en quelque sorte, que par saccades, qui occasionnent dans le canal de forts bouillonnements et un mouvement de va-et-vient incessant. Mais il n'en est plus de même quand ces remous occupent constamment toute la longueur du canal, notamment sous les faibles charges de liquide. Ainsi nous ne saurions révoquer en doute l'exactitude de nos opérations relatives aux expériences numérotées de 1662 à 1665, quoiqu'elles produisent un fait entièrement inadmissible, à savoir: que le liquide,



au point le plus haut des remous, s'élève de 1,2 millimètre au-dessus du niveau général dans le réservoir. La section transversale de l'eau, en ce point du canal, a une surface de 14,56 centimètres carrés, et comme la dépense effective est de 0,843 litre, il s'ensuit que le fluide, dans cette section, est animé d'une vitesse moyenne de  $0^m,0579$ , qui correspond à une hauteur de chute de  $0^m,00017$ , en sorte que, même en admettant qu'il n'y ait aucune perte de vitesse depuis l'orifice jusqu'au point que l'on considère, les remous seraient de 1,37 millimètre plus élevés qu'ils ne devraient l'être. Un résultat aussi extraordinaire ne peut être attribué qu'au relèvement qu'éprouve toujours le liquide le long des parois latérales du canal, ce qui tendrait à prouver que, dans l'évaluation de sa hauteur moyenne, on ne doit pas tenir compte de ce relèvement comme nous l'avons fait, du moins dans le cas où la différence entre le niveau de l'eau dans le réservoir et dans le canal est très-faible.

274. Les remous n'atteignent pas la veine contractée pour les expériences de 1619 à 1621 et de 1634 à 1636, relatives à des charges sur le centre de  $0^m,2125$  et  $0^m,1058$ . Pour les trois premières, ils s'arrêtent à  $0^m,25$  de l'orifice vis-à-vis son centre et à  $0^m,17$  vis-à-vis ses angles; et, pour les trois autres, ils ne s'étendent que jusqu'à  $0^m,40$  de ce même orifice. Dans le premier cas, le coefficient de la formule ordinaire D est de  $\frac{1}{575}$  de sa valeur plus faible que lorsque le canal est libre à son extrémité, tandis que, dans le second, il est au contraire plus fort de  $\frac{1}{36}$ ; mais, comme ces différences ne s'écartent pas sensiblement des limites du degré d'approximation qu'on peut espérer d'obtenir dans ces opérations, on doit en conclure, comme l'a annoncé Dubuat, que les remous n'ont alors aucune influence sur la dépense.

Nous avons voulu examiner quelle était, dans ce cas, la vitesse de l'écoulement dans la partie que n'occupent pas les remous. A cet effet, nous avons relevé à  $0^m,075$  en aval de l'orifice, dans les circonstances qui se rapportent aux expériences de 1634 à 1636, une section par un plan perpendiculaire à l'axe du canal, qui est

dessinée et cotée sur la planche 24. Elle a 78,257 centimètres carrés de surface, et par conséquent une épaisseur moyenne de 3,91 centimètres; et, comme la dépense effective est de 8,892 litres, la vitesse moyenne dans cette section est de  $\frac{8,892}{7,8152} = 1^m, 1363$ , et son rapport à la vitesse théorique due à la charge de  $0^m, 1058$  sur le centre, est exprimé par  $\frac{1,1363}{1,1407} = 0,7887$ .

275. Pour les expériences de 1622 à 1624 et de 1637 à 1640, qui concernent respectivement les mêmes charges que les précédentes, les remous n'arrivent point encore jusqu'au centre de l'orifice, mais tantôt ils s'avancent jusqu'aux angles et les remplissent, et tantôt ils s'en éloignent par un mouvement alternatif. Cette circonstance fait brusquement diminuer la valeur qu'a le coefficient de la dépense quand le canal n'est pas barré, de  $\frac{1}{24}$  pour les trois premières de ces expériences, et de  $\frac{1}{32}$  pour les quatre autres.

Les remous, pour les expériences de 1641 à 1644, qui concernent la charge de  $0^m, 1058$  sur le centre, remplissent constamment les angles de l'orifice et s'avancent, en affleurant son bord supérieur sans le dépasser, jusqu'à son centre, dont ils s'éloignent cependant par moments d'environ  $0^m, 01$ . Dans ce cas, le coefficient est d'environ  $\frac{1}{12}$  de sa valeur plus petit que celui qui correspond à la même charge, lorsque l'extrémité du canal est libre.

Enfin, pour toutes les autres expériences, les remous couvrent constamment la veine contractée dans toute son étendue, dépassent le bord supérieur de l'orifice, et les coefficients de la formule D deviennent de plus en plus faibles, pour une même charge sur le centre, au fur et à mesure que la distance diminue entre le point le plus haut des remous et le niveau de l'eau dans le réservoir, pris à  $3^m, 50$  en amont de l'orifice.

276. Cette formule suit donc toutes les variations que peut éprouver la dépense, pour une même charge, soit que les remous n'atteignent pas la section contractée, soit qu'ils la recouvrent en partie seulement ou en totalité. Elle les suit également d'une charge à l'autre; car, si l'on ordonne tous les résultats compris sur

le tableau n° XVIII, d'après les valeurs du rapport  $\frac{c}{C}$  des charges sur le sommet de l'orifice, mesurées dans le canal et dans le réservoir, ses coefficients diminuent d'une manière régulière à mesure que  $\frac{c}{C}$  augmente, de façon à former les ordonnées d'une courbe parfaitement continue, qui aurait pour abscisses les valeurs de ce rapport.

Les résultats fournis par les formules T et  $t$  ne suivent au contraire aucune loi régulière, de quelque manière qu'on les envisage. Ainsi, pour la charge de 0<sup>m</sup>,1058 sur le centre, le coefficient relatif aux expériences de 1641 à 1644, est notablement plus fort que ceux qui concernent les expériences de 1637 à 1640 et de 1634 à 1636, et cependant la veine contractée est entièrement couverte par les remous pour les quatre premières, tandis qu'elle ne l'est qu'en partie et par moments seulement pour les quatre suivantes, et pas du tout pour les trois dernières. Pareillement, pour la charge de 0<sup>m</sup>,0466 sur le centre, le coefficient correspondant aux expériences de 1658 à 1661 surpasse de beaucoup celui qui se rapporte aux expériences de 1655 à 1657, quoique la veine contractée soit recouverte sur une moins grande hauteur pour ces dernières que pour les autres.

277. Les formules T' et  $t'$  présentent des anomalies analogues à celles que nous venons de signaler pour les formules T et  $t$ , et pour toutes les quatre les valeurs des coefficients, ordonnées par rapport à  $\frac{c}{C}$ , ne suivent aucune loi régulière, comme le montre, en ce qui concerne les deux dernières, la table suivante, qui contient, en sus des données du tableau n° XVIII, les valeurs de  $\frac{c}{C}$  (col. 5) et les rapports des coefficients de la formule D lorsque l'extrémité du canal est barrée, aux mêmes coefficients quand cette extrémité est libre (col. 10).

SÉRIE des expériences	CARRÉ en mètres de l'ouverture de l'édifice, ou sa valeur de H.	CHARGE sur le remous de l'édifice			RAPPORT des charges sur la somme de l'édifice, prise dans le canal et dans les observations, $\frac{c}{C}$	COEFFICIENTS des formules T et c, ou valeurs		COEFFICIENTS de la formule D, largeur		RAP- PORT des carrés des vitesses de D observés à l'aval et dans les observations sur l'écluse.	OBSERVATIONS.		
		mètres dans le plan de l'édifice, à 30,54 en dessous de H.	mètres dans le canal ou au niveau de Pavée, C.	mètres dans le canal ou au niveau de Pavée, c.		de	de	mètre	mètre			de	de
1635 à 1636	0,1605	0,0803	0,0320	0,307	0,9126	1,0516	0,6143	0,6160	1,003	Les remous n'atteignent pas la veine contractée.			
1619 à 1621	0,2123	0,1875	0,0585	0,372	0,9223	1,1770	0,6306	0,6295	0,998				
1637 à 1640	0,1656	0,0806	0,0363	0,319	0,9161	1,0543	0,6143	0,5983	0,967	Les remous se défont pas jusqu'au centre de l'édifice, mais tantôt ils touchent les angles et les remplissent, et tantôt ils s'en élèvent.			
1622 à 1623	0,2123	0,1875	0,0935	0,499	0,9212	1,1837	0,6306	0,6128	0,972				
1641 à 1644	0,1058	0,0508	0,0431	0,537	0,9562	1,1099	0,6143	0,5566	0,906	Les remous remplissent constamment les angles de l'édifice et le touchent au son centre, ou effleurent son bord supérieur sans le dépasser.			
1645 à 1647	0,1058	0,0806	0,0310	0,565	0,8831	1,0170	0,6143	0,5920	0,850	Les remous s'appuient contre l'édifice et dépassent son bord supérieur. Pour les expériences de 1622 à 1645, c est plus grand que C, c'est que T et c sont imaginaires (273).			
1625 à 1627	0,2123	0,1875	0,1060	0,576	0,6100	1,0983	0,6306	0,5126	0,815				
1617 à 1618	0,2770	0,1520	0,2640	0,584	0,7916	1,1368	0,6257	0,4990	0,797				
1655 à 1657	0,0466	0,0216	0,0132	0,611	0,8561	0,9689	0,5959	0,5620	0,736				
1628 à 1630	0,2123	0,1875	0,1570	0,696	0,8137	1,0679	0,6306	0,4214	0,668				
1648 à 1650	0,1058	0,0806	0,0580	0,718	0,6332	1,0116	0,6143	0,3867	0,620				
1631 à 1633	0,2123	0,1875	0,1505	0,603	0,8023	1,0905	0,6306	0,5365	0,821				
1656 à 1661	0,0566	0,0216	0,0175	0,823	0,6912	1,0111	0,5950	0,2544	0,514				
1651 à 1658	0,1058	0,0806	0,0716	0,800	0,7932	0,9676	0,6143	0,3300	0,374				
1662 à 1665	0,0466	0,0216	0,0228	1,056	.	.	0,5569	0,0879	0,178				

278. On voit par cette table que, dans le cas où les remous n'atteignent pas la veine contractée, ou ne la recouvrent qu'en partie, les coefficients de la formule D (col. 9), qui sont séparés des autres par un trait horizontal, ne suivent aucune loi régulière par rapport à  $\frac{c}{C}$  (col. 5), soit qu'il doive en être ainsi, soit que nous ayons mal apprécié la charge c (col. 4), par suite de la difficulté qu'on éprouve alors à prendre avec exactitude la plus grande profondeur d'eau dans le canal (273). Mais, dans ce cas, le coefficient peut être évalué à la vue simple avec un degré d'ap-

proximation bien suffisant. En effet, les remous n'ont aucune influence sur la dépense, et par conséquent le coefficient reste le même que si le canal n'était pas barré (col. 10, 1<sup>re</sup> et 2<sup>e</sup> résultat), tant qu'ils ne remplissent pas, par un mouvement alternatif de va-et-vient, les vides que la veine contractée laisse entre elle et les parois latérales du canal. Or, lorsque cette dernière circonstance se présente, le coefficient correspondant devient les 0,967 ou les 0,972 de ce qu'il était auparavant (col. 10, 3<sup>e</sup> et 4<sup>e</sup> résultat). En prenant donc pour sa valeur les 0,970 de ce qu'il serait sans les remous, on est certain de ne se tromper que de  $\frac{1}{100}$  au plus.

Il nous a d'ailleurs été impossible de trouver, pour le rapport du coefficient de D lorsque l'extrémité du canal est barrée, au même coefficient quand cette extrémité est libre, des valeurs intermédiaires, d'une part entre 1 et la moyenne 0,970 dont nous venons de parler, et d'autre part entre cette moyenne et 0,906, qui correspond au cas où les remous touchent l'orifice en son centre, en affleurant son sommet sans le dépasser (col. 10, 5<sup>e</sup> résultat). En effet, malgré les essais les plus persistants, nous n'avons jamais pu réussir à faire occuper à ces remous des positions intermédiaires entre celles auxquelles se rapportent ces valeurs. Le moindre changement dans la hauteur du barrage à l'extrémité du canal, ou dans celle du niveau de l'eau dans le réservoir, suffisait toujours pour les faire passer brusquement et sans transition de l'une à l'autre de ces trois positions. Il répugne sans doute d'admettre que ce rapport passe tout à coup de la valeur 1 à celle 0,970 et de celle-ci à 0,906, mais il est certain que nous ne sommes pas parvenu, malgré tous nos efforts, à réaliser les circonstances qui pourraient donner lieu à des valeurs différentes, et, par conséquent, il est à croire qu'on ne les rencontre pas dans la pratique.

279. Lorsque les remous recouvrent entièrement la veine contractée, ce qui a lieu (col. 5) quand  $\frac{c}{C}$  est égal à au moins 0,537, les coefficients de D (col. 9) diminuent graduellement, ainsi

que nous l'avons déjà dit, au fur et à mesure que ce rapport augmente, de telle sorte qu'en prenant ses valeurs pour abscisses et celles des coefficients pour ordonnées, on obtient une courbe continue et régulière, à l'aide de laquelle il est facile de déterminer le coefficient de la dépense correspondant à une valeur quelconque de  $\frac{c}{C}$ , comprise entre 0,537 et 1.

Pour résoudre complètement la question qui nous occupe, il faudrait pouvoir construire une semblable courbe pour tous les orifices prolongés par des canaux que nous avons considérés, et, à cet effet, répéter sur chacun des opérations que nous avons faites sur celui de 0<sup>m</sup>,05 de hauteur avec le dispositif de la figure 15. Mais de telles expériences, qui exigeraient beaucoup de temps et de peine, deviendraient inutiles si l'on pouvait admettre que les rapports des coefficients de la formule D, dans le cas où les remous recouvrent la veine contractée et dans celui où ils ne l'atteignent pas, restent les mêmes à égalité de  $\frac{c}{C}$ , quels que soient l'orifice et le dispositif. En effet, ces rapports (col. 10), que nous désignerons par  $\frac{\alpha}{\beta}$ , diminuent suivant une loi régulière à mesure que  $\frac{c}{C}$  augmente; on peut donc tracer une courbe qui donne la valeur de  $\frac{\alpha}{\beta}$  correspondant à une valeur quelconque de  $\frac{c}{C}$ , et dès lors le coefficient  $\alpha$ , à appliquer à la formule D dans le cas où les remous recouvrent la veine contractée, se trouve déterminé en fonction de celui  $\beta$  qui concerne le cas où l'extrémité du canal est libre, et qu'on évalue aisément à l'aide de nos tables d'interpolation (tabl. du n° XXXIV au n° XXXVIII).

280. Aucun résultat d'expérience n'autorise à admettre que le rapport de ces coefficients ne varie pas avec l'orifice et le dispositif, et que, par suite, l'influence relative des remous sur le produit de l'écoulement ne dépend que de la valeur de  $\frac{c}{C}$ . Mais le raisonnement semble indiquer qu'il doit en être ainsi; et d'ailleurs, comme c'est au moyen de cette seule hypothèse qu'on peut, quant à présent, calculer la dépense effective des orifices fermés à

la partie supérieure, dans le cas où ils sont recouverts par des remous, nous proposons de l'adopter *provisoirement*. C'est pourquoi nous avons dressé la table suivante, en nous basant sur les résultats compris dans les colonnes 5 et 10 de celle du n° 277. Nous avons exclu de ces données la valeur absurde  $\frac{c}{C} = 1,056$ ; et, pour prolonger la courbe d'interpolation au delà du dernier point donné par l'expérience et qui correspond à  $\frac{c}{C} = 0,89$ , nous avons naturellement dû supposer que  $\frac{a}{\beta}$  devient nul quand  $\frac{c}{C} = 1$ , c'est-à-dire lorsque, le liquide étant au même niveau dans le réservoir et dans le canal, il n'y a plus d'écoulement.

TABLE DES VALEURS DES RAPPORTS  $\frac{a}{\beta}$  DES COEFFICIENTS DE LA FORMULE D. DANS LE CAS OÙ LES REMOUS RECOUVRENT LA VEINE CONTRACTÉE ET DANS CELUI OÙ ILS NE L'ATTEIGNENT PAS, CORRESPONDANTES À CELLES DU RAPPORT  $\frac{c}{C}$  DES CHARGES SUR LE SOUJET DE L'ORIFICE, PRISES DANS LE RÉSERVOIR ET DANS LE CANAL.

$\frac{c}{C}$	$\frac{a}{\beta}$	$\frac{c}{C}$	$\frac{a}{\beta}$	$\frac{c}{C}$	$\frac{a}{\beta}$	OBSERVATION.
0,537	0,006	0,660	0,692	0,850	0,432	Lorsque les remous n'atteignent pas la veine contractée, $\frac{a}{\beta} = 1$ , et, quand ils la complètent les mêmes entre cette veine et les points les plus hauts du canal, sans atteindre le sommet de l'orifice, $\frac{a}{\beta} = 0,970$ quel que soit $\frac{c}{C}$ . Le charge $c$ est prise dans le canal au point le plus haut des remous, et celle $C$ est mesurée dans le réservoir, en un point où le liquide est parfaitement stagnant.
0,540	0,092	0,690	0,674	0,850	0,402	
0,560	0,886	0,700	0,606	0,900	0,386	
0,560	0,887	0,730	0,633	0,930	0,297	
0,670	0,813	0,740	0,612	0,960	0,228	
0,560	0,790	0,760	0,596	0,960	0,166	
0,560	0,778	0,780	0,560	0,960	0,066	
0,600	0,740	0,800	0,540	1,000	0,000	
0,620	0,734	0,830	0,512			
0,660	0,714	0,840	0,477			

Il est bien entendu qu'il ne s'agit ici que des remous produits par un obstacle qui ralentit l'écoulement de l'eau au dehors du réservoir, et non de ceux qui se forment naturellement dans le canal qui prolonge l'orifice, lorsque la charge est très-faible, quoique ce canal soit libre dans toute son étendue.

DÉPENSES DES ORIFICES DÉCOUVERTS OU EN DÉVERSOIR,  
DÉBOUCHANT LIBREMENT DANS L'AIR.

281. En examinant les résultats de nos expériences sur le déversoir de 0<sup>m</sup>,20 de base (tabl. XIX et XXXIX et pl. 25, 26, 27, 28 et 37), on voit que les coefficients de la formule *d* de la dépense sont constamment plus faibles pour le dispositif de la figure 1, où le déversoir est en mince paroi, que pour ceux des figures 2 et 3, où d'abord l'un, ensuite les deux côtés verticaux de cet orifice sont éloignés de 0<sup>m</sup>,54 des faces latérales du réservoir. La différence est, en général, d'autant plus grande que la charge est plus faible; elle varie de  $\frac{1}{41}$  à  $\frac{1}{39}$  pour le dispositif de la figure 2, et de  $\frac{1}{35}$  à  $\frac{1}{34}$  pour celui de la figure 3. Or, pour ce dernier, la largeur 1<sup>m</sup>,28 du réservoir est égale à 6,4 fois celle du déversoir; on doit donc en conclure que le rapport de la première à la seconde de ces largeurs doit excéder 6,4, pour que les parois verticales du réservoir n'aient aucune influence sensible sur la dépense.

282. Les dispositifs des figures 8, 9 et 10, d'après lesquels la base du déversoir continue à être isolée du fond du réservoir, tandis que d'abord l'un de ses côtés verticaux, ensuite tous les deux sont rapprochés à la distance de 2 centimètres des faces correspondantes de ce réservoir, et enfin sont placés dans leur prolongement exact, donnent des coefficients de la dépense de plus en plus forts. Mais ces coefficients diminuent d'environ  $\frac{1}{3}$  à  $\frac{1}{10}$  de la valeur qu'ils ont dans le cas du dispositif de la figure 9, et deviennent même, pour les charges comprises entre 0<sup>m</sup>,01 et 0<sup>m</sup>,22, de  $\frac{1}{3}$  à  $\frac{1}{10}$  plus faibles que ceux qui concernent le cas des minces parois, lorsque, laissant aux bords de l'orifice la position qu'ils ont d'après la figure 9, on établit sa base au niveau du fond du réservoir (fig. 6).

Le même fait se reproduit quand la longueur des parois du



réservoir est réduite à  $0^m,264$ . Ainsi, les coefficients sont d'environ  $\frac{1}{4}$  à  $\frac{1}{7}$  plus faibles pour le dispositif de la figure 13, où la base et les bords verticaux du déversoir sont dans l'alignement du fond et des faces du réservoir, que pour celui de la figure 10, où les bords verticaux sont seuls dans cet alignement. A la vérité, on peut attribuer une partie de cette énorme diminution à ce que, pour le premier de ces dispositifs, la veine qui se contracte à l'entrée du réservoir et par conséquent à une petite distance en amont de l'orifice, ne s'est point encore entièrement dilatée, et les vides qu'elle laisse entre elle et les faces latérales de ce réservoir ne sont pas remplis à son passage sur le seuil du déversoir (pl. 28, art. 104). Mais cette circonstance ne se présente pas pour le dispositif de la figure 14, où l'entrée du réservoir est arrondie de façon qu'il n'y a pas de contraction en ce point, et cependant les coefficients relatifs à ce dispositif sont d'environ  $\frac{1}{8}$  à  $\frac{1}{11}$  moindres que ceux qui concernent la figure 10.

283. Lorsque, les bords verticaux du déversoir étant entièrement isolés des faces du réservoir, on établit la base de cet orifice au niveau du fond de ce réservoir (fig. 4), les coefficients de la dépense sont plus faibles que dans le cas des minces parois, de  $\frac{1}{10}$  à zéro pour les charges comprises entre  $0^m,01$  et  $0^m,035$ , tandis que pour des charges supérieures à cette dernière, ils sont au contraire plus forts que les autres de quantités qui augmentent graduellement avec ces charges depuis zéro jusqu'à  $\frac{1}{11}$ .

Mais si, laissant la base de l'orifice au niveau du fond du réservoir, on rapproche l'une des faces de celui-ci à la distance de  $0^m,02$  du bord correspondant du déversoir (fig. 5), les coefficients deviennent moindres que dans le cas précédent, de  $\frac{1}{17}$  à zéro pour les charges de  $0^m,01$  à  $0^m,17$ ; et, pour les charges supérieures à cette dernière, ils sont au contraire plus grands que les autres de zéro à  $\frac{1}{11}$ . Enfin, pour le dispositif de la figure 6, où les bords verticaux de l'ouverture sont tous les deux à  $0^m,02$  des faces du réservoir, les coefficients sont d'environ  $\frac{1}{4}$  à  $\frac{1}{13}$  plus faibles que pour la figure 5.

284. Il y a une différence essentielle et qui mérite d'être signalée dans la loi des coefficients de la dépense, selon que la base du déversoir est isolée du fond du réservoir ou est située au même niveau. En effet, les courbes qui représentent ces coefficients (pl. 37) suivent, à mesure que la charge diminue, une marche ascendante dans le premier cas et descendante dans le second.

En résumé, la dépense augmente ou diminue en général pour un même déversoir :

1° Selon que la base de cet orifice est plus élevée ou est située au même niveau que le fond du réservoir, au fur et à mesure que celui-ci devient plus étroit;

2° Selon que les bords verticaux de l'ouverture sont placés à une grande ou à une petite distance des faces correspondantes du réservoir, au fur et à mesure que le fond de celui-ci se rapproche de la base de cette ouverture.

En d'autres termes, on fait diminuer la dépense en détruisant la contraction sur les trois côtés de l'orifice à la fois, ou sur un de ses deux côtés verticaux lorsque déjà elle est supprimée sur la base, tandis qu'on fait augmenter cette même dépense en ne supprimant la contraction que sur la base seulement, ou sur les deux côtés verticaux.

285. La diminution de la dépense lorsqu'on détruit la contraction sur la base du déversoir quand déjà elle est supprimée sur ses côtés verticaux, sinon en totalité, du moins en très-grande partie, ressort clairement de nos expériences sur les dispositifs des figures 6, 13 et 14. Ce fait, entièrement opposé aux idées généralement reçues, est d'ailleurs confirmé par les opérations que nous avons faites sur un déversoir de 0<sup>m</sup>,202 de largeur, formé en barrant l'extrémité d'un canal horizontal de 3 mètres de longueur, pour étudier l'effet des remous sur la dépense des orifices fermés à la partie supérieure (272). La manière dont cet orifice était organisé, et les précautions prises pour mesurer avec exactitude la hauteur de sa base au-dessus du fond du canal, sont indiqués à l'article 21. Nous ajouterons que, dès le principe, il

s'échappait, entre le barrage et les parois du canal, une petite quantité d'eau qui, se réunissant dans la jauge à celle qui passait par-dessus le déversoir, augmentait la dépense effective de celui-ci. Mais, au bout de peu de temps, cet inconvénient que nous n'avions pas cherché à éviter dès le début, n'ayant en vue que d'étudier l'effet des remous sur le produit de l'orifice qui alimentait le déversoir, avait cessé parce que la planche qui servait de harrage, exposée à l'humidité pendant huit jours consécutifs (du 3 au 10 octobre), s'était gonflée et fermait hermétiquement le canal. C'est pourquoi nous n'avons tenu compte, en ce qui concerne la dépense du déversoir dont il s'agit, que des expériences postérieures au 9 octobre. Les résultats en sont consignés sur le tableau n° XXIII, dont les données principales sont extraites du tableau n° XVIII.

Nous y avons fait figurer, outre ces données: la charge  $h$  sur la base du déversoir, mesurée au point le plus haut des remous, et la charge moyenne  $h = h'$  dans le plan de cet orifice, déduites l'une et l'autre des aires des sections de la veine (pl. 23 et 24); la vitesse moyenne  $v$  du liquide au point où a été relevée  $h$ , obtenue en divisant la dépense effective par l'aire de la lame de fluide; la vitesse à la surface du courant au même point, supposée être égale à 1,25 $v$ ; enfin, les hauteurs dues à ces deux vitesses. En ajoutant à  $h$  d'abord la première, ensuite la seconde de ces hauteurs, nous avons eu les charges totales  $h_1$  et  $h_2$  sur la base du déversoir, et par suite les formules théoriques  $d_1 = h_1 \sqrt{2gh_1}$  et  $d_2 = h_2 \sqrt{2gh_2}$ , dont l'une est due à Dubuat et l'autre est indiquée par M. d'Aubuisson (*Traité d'hydraulique*, p. 76). Il ne sera question que de la première dans ce qui va suivre.

286. La distance de la base du déversoir qui nous occupe au fond du canal, a varié de 0<sup>m</sup>,02 à 0<sup>m</sup>,13; elle était donc plus grande que dans le cas du dispositif de la figure 6, où elle est nulle, et moindre que dans celui de la figure 9, où elle est de 0<sup>m</sup>,54. Si donc il est vrai que les coefficients de la dépense diminuent avec cette distance, leurs valeurs pour le déversoir dont

il s'agit doivent, à égalité de charge totale, être comprises entre celles qui concernent ces deux dispositifs, et c'est ce qui a lieu en effet comme le montre la table suivante, qui est extraite des tableaux XXIII et XXXIX.

CHARGE TOTALE, y compris la hauteur des à la vitesse acquise par le liquide au point où cette charge a été mesurée.	COEFFICIENTS DE LA DÉPENSE pour le déversoir		
	de 0 <sup>m</sup> ,20 de largeur, avec le dispositif de la figure 6.	de 0 <sup>m</sup> ,202 de largeur, fermé au barrage l'extrémité du canal.	de 0 <sup>m</sup> ,20 de largeur, avec le dispositif de la figure 10.
	1	2	3
mètre.			0
0,1066	0,362	0,514	0,134
0,1055	0,362	0,411	0,134
0,0957	0,361	0,411	0,134
0,0854	0,379	0,401	0,134
0,0730	0,376	0,397	0,135
0,0471	0,359	0,381	0,144
0,0304	0,350	0,369	0,149

On voit, par cette table, que les coefficients relatifs au déversoir de 0<sup>m</sup>,202 (col. 3) sont plus forts que ceux qui concernent le dispositif de la figure 6 (col. 2), et plus faibles que ceux qui se rapportent au dispositif de la figure 10. Ces résultats que nous n'avons recueillis qu'accidentellement, en traitant la question des remous (272), démontrent donc, d'une manière générale, que les coefficients de la dépense augmentent avec la distance qui sépare le fond du réservoir de la base du déversoir, depuis zéro jusqu'à 0<sup>m</sup>,54. Mais, comme nous n'avons opéré que sur une seule charge de liquide pour chaque position de cette base, et que cette charge est différente pour toutes ces positions, les résultats dont il s'agit ne fournissent aucun moyen, soit de déterminer la valeur des coefficients dans les divers cas qui peuvent se présenter, soit d'assigner la limite d'écartement entre la base de l'orifice et le fond du réservoir, au delà de laquelle ce dernier n'a plus aucune influence sur la dépense.

287. On peut déduire quelques indications à cet égard, d'ex-

périences que M. Castel a faites plusieurs années après que les nôtres étaient terminées, et que nous avons déjà citées (138 et suivants). Cet ingénieur a barré, sur diverses hauteurs, l'extrémité d'un canal rectangulaire découvert dont la largeur, qui était primitivement de  $0^m,74$ , augmentait ou diminuait au point où était établi le déversoir, chaque fois qu'on abaissait la base de cet orifice. M. d'Aubuisson, en faisant connaître ce fait dans son rapport sur le Mémoire de M. Castel (*Mémoires de l'Académie des sciences de Toulouse*, t. IV, 1<sup>re</sup> part. 1837, p. 152), dit que *de semblables variations peuvent avoir eu lieu sur la longueur du canal, qui était de  $5^m,96$ .*

Si ce canal s'était uniformément rétréci ou élargi à partir de son origine, la convergence ou la divergence de ses parois ne serait pas assez considérable pour avoir une influence appréciable sur la dépense; mais, il en serait tout autrement si le rétrécissement ou l'élargissement prenait naissance à une petite distance de son extrémité d'aval, parce que, la largeur du déversoir ayant varié de  $0^m,7293$  à  $0^m,7425$ , les portions attenantes des faces du réservoir auraient alors une inclinaison sensible sur le plan qui contient cet orifice. Cette circonstance a donc pu, indépendamment des vices inhérents à l'appareil que nous avons signalés aux articles 140 et suivants, altérer en général la valeur *absolue* des coefficients de la dépense, mais la valeur *relative* de ceux qui se rapportent à des déversoirs de largeurs peu différentes, doit être à peu près la même que si le canal dont il s'agit était rectangulaire dans toute son étendue.

288. C'est pourquoi nous avons comparé, dans le tableau suivant, les résultats relatifs aux orifices de  $0^m,7373$ ,  $0^m,7398$  et  $0^m,7418$ , dont les bases sont respectivement exhaussées au-dessus du fond du canal de  $0^m,225$ ,  $0^m,170$  et  $0^m,093$ . Nous n'y avons pas fait figurer le déversoir de  $0^m,7293$ , parce que les coefficients qu'il a fournis sont évidemment anormaux dans la série générale, ce qui s'explique par la différence de sa largeur comparée à celles de tous les autres orifices. Enfin, nous avons dû considérer

comme non avenus les résultats qui concernent ceux dont la base est éloignée de moins de  $0^m,093$  du fond du réservoir. En effet, M. Castel a mesuré la charge en un point où le liquide n'était pas stagnant (139); il faut donc, pour avoir la charge totale, ajouter à la hauteur qu'il a trouvée celle qui est due à la vitesse moyenne possédée par le fluide en ce point. Mais cette dernière hauteur est, pour les déversoirs dont il s'agit, une fraction notable de la première (de  $\frac{1}{4}$  à  $\frac{1}{11}$ ); or, nous avons démontré qu'en procédant ainsi on n'obtenait jamais la charge entière, et qu'on pouvait, en pareil cas, commettre des erreurs considérables (127).

Nous avons ajouté sur ce tableau les coefficients de la dépense qu'a donnés notre déversoir de  $0^m,20$  de largeur, avec les dispositifs des figures 10 et 6 (première et dernière ligne horizontale). Ils s'appliquent, comme tous les autres, à la formule ordinaire  $d = lh\sqrt{2gh}$ , dans laquelle  $h$  représente la charge obtenue, soit en la relevant directement en un point où le liquide est parfaitement stagnant, ainsi que nous l'avons toujours pratiqué, soit, dans le cas contraire, en ajoutant à la hauteur mesurée celle qui est due à la vitesse moyenne acquise par le liquide. Pour les expériences de M. Castel, nous avons pris les éléments du calcul dans les tableaux mêmes de cet ingénieur, sans arrondir les nombres comme l'a fait M. d'Aubuisson dans certains cas. Après avoir déterminé les coefficients correspondant aux charges sur lesquelles il a opéré, nous en avons déduit par interpolation, pour faciliter la comparaison que nous voulions en faire, ceux qui conviennent à des charges comprenant des nombres ronds de centimètres, lesquelles, d'ailleurs, diffèrent très-peu des premières. On rappellera que, pour notre dispositif de la figure 6, la largeur du déversoir n'est que les  $0,833$  de celle du réservoir, tandis que ces deux largeurs sont égales entre elles pour le dispositif de la figure 10, comme pour les trois orifices de M. Castel dont nous nous occupons ici.

LARGEUR du déversoir, l.	HAUTEUR de la base du déversoir au-dessus du fond du réservoir, R.	COEFFICIENTS DE LA PÉRIODE $d$ de la dépense, pour des charges totales sur la base du déversoir						
		de	de	de	de	de	de	de
		0 <sup>m</sup> ,00.	0 <sup>m</sup> ,08.	0 <sup>m</sup> ,17.	0 <sup>m</sup> ,26.	0 <sup>m</sup> ,35.	0 <sup>m</sup> ,44.	0 <sup>m</sup> ,53.
		3	4	5	6	7	8	9
mètres.	mètres.							
0,20 (Figure 10).	0,540	0,434	0,434	0,435	0,437	0,442	0,449	0,459
0,2518	0,385	0,433	0,434	0,435	0,437	0,440	0,441	0,442
0,2998	0,170	0,428	0,430	0,432	0,433	0,435	0,437	0,439
0,2618	0,093	0,425	0,427	0,429	0,431	0,433	0,434	0,436
0,30 (Figure 6).	0,000	0,380	0,370	0,375	0,370	0,362	0,352	0,337

289. En examinant ce tableau, on reconnaît que les coefficients de la dépense croissent, comme l'ont démontré nos expériences, au fur et à mesure que la distance  $R$  entre la base du déversoir et le fond du réservoir augmente, depuis  $R = 0$  jusqu'à  $R = 0^m,225$ . Pour cette dernière distance et les charges supérieures à  $0^m,05$ , les coefficients sont les mêmes que pour notre dispositif de la figure 10, où cependant la distance dont il s'agit est de  $0^m,54$ . Quoique les résultats obtenus par M. Castel aient pu être altérés par les causes énoncées plus haut (287), on n'a pas moins le droit d'en conclure que la limite d'écartement entre la base du déversoir et le fond du réservoir, au delà de laquelle ce fond cesse d'avoir une influence sensible sur la dépense pour les charges de  $0^m,05$  et au-dessus, doit peu excéder  $0^m,225$ , et qu'en la portant à environ  $0^m,25$  on ne court pas le risque de s'éloigner beaucoup de la vérité.

Mais cette distance paraît devoir être notablement plus grande pour les charges au-dessous de  $0^m,05$ , à en juger par la différence des coefficients correspondant à  $R = 0^m,225$  et  $R = 0^m,54$ . En effet, si, dans l'intervalle compris entre  $R = 0^m,225$  et la limite cherchée, les accroissements de ces coefficients étaient proportionnellement les mêmes qu'entre  $R = 0^m,17$  et  $R = 0^m,225$ , il s'ensuivrait que, pour la charge de  $0^m,03$ , ils n'atteindraient la valeur 0,459 relative au dispositif de la figure 10, que lorsqu'on

aurait  $R = 0^m,537$ . Cela ne semblera pas étonnant si l'on considère que les faces du réservoir, lorsqu'elles ne sont éloignées que de  $0^m,54$  des bords verticaux du déversoir, ont une influence sensible sur la dépense, surtout pour les très-faibles charges de liquide (281); car il est naturel d'admettre que le fond du réservoir étend son action à peu près à la même distance que ses parois latérales.

290. Dubuat et M. Bidone ont aussi fait des expériences sur des déversoirs dont les bords verticaux étaient situés dans le prolongement des faces du réservoir. Le premier de ces savants a mesuré la charge de fluide au point le plus élevé des remous, en amont de l'orifice, et, pour avoir la charge totale, il a ajouté à la hauteur ainsi obtenue celle qui est due à la vitesse moyenne acquise par le liquide en ce point. Le détail de ses expériences, numérotées de 189 à 192, est rapporté dans ses *Principes d'hydraulique*, tome II, page 116, § 413, et les éléments du calcul sont réunis en un tableau dans le tome I du même ouvrage, page 202, § 145. M. Bidone a pris pour la charge totale la hauteur à laquelle s'élevait l'eau dans la branche verticale d'un tube recourbé, dont la branche horizontale, plongée dans la veine liquide qui passait sur le seuil du déversoir, en recevait le choc (*Mémoires de l'Académie des sciences de Turin*, t. XXVIII, 1824). Nous avons réuni, dans le tableau suivant, les résultats de toutes ces expériences, en y ajoutant les coefficients correspondants pour nos dispositifs des figures 10 et 6.



NOM des auteurs.	LARGEUR du déversoir, L.	HAUTEUR de la base du déversoir au-dessus du fond du réservoir, H.	CHARGE mesurée au point le plus haut des remous, h <sub>2</sub> .	HAUTEUR de la vitesse moyenne acquise par le liquide, h <sub>1</sub> .	CHARGE totale sur la base du déversoir, H = h <sub>1</sub> + h <sub>2</sub> .	DÉPENSE effective par seconde.	COEFFICIENTS de la formule d.	COEFFICIENTS de la formule d, pour le dispositif	
								de la figure 10.	de la figure 6.
	mètres.	mètres.	mètres.	mètres.	mètres.	litres.			
Dubuat....	0,4670	0,1105	0,1783	0,0169	0,1951	77,122	0,433	0,132	0,383
			0,1286	0,0095	0,1381	64,534	0,560	0,134	0,363
			0,0857	0,0031	0,0888	29,066	0,603	0,131	0,390
			0,0338	0,0003	0,0341	5,111	0,395	0,155	0,344
			"	"	0,1903	101,727	0,411	0,132	0,385
Bidone....	0,6429	0,1507	"	"	0,1692	77,963	0,303	0,133	0,383
			"	"	0,1459	66,770	0,408	0,131	0,383
			"	"	0,1131	45,511	0,409	0,130	0,382
			"	"	0,0017	32,650	0,304	0,134	0,354
			"	"	0,0716	23,045	0,399	0,130	0,377

Pour les deux premières expériences de Dubuat, la hauteur due à la vitesse moyenne acquise par le fluide est une portion considérable (d'environ  $\frac{1}{10}$  et  $\frac{1}{13}$ ) de la charge mesurée au point le plus haut des remous; par conséquent, la somme de ces deux quantités doit être notablement plus petite (127) que la charge entière, telle qu'on l'obtiendrait en la relevant directement en un point où le liquide serait parfaitement stagnant, comme le suppose la formule d. La dépense théorique calculée par cette formule est donc trop faible, et par suite les coefficients correspondants sont trop forts. En outre, la seconde de ces expériences, abstraction faite de cette circonstance, forme évidemment anomalie, ce qui ne doit pas surprendre, car Dubuat déclare lui-même (§ 145) ne pas pouvoir répondre de l'exactitude de ses mesures à une ligne et par conséquent à  $\frac{0,00016}{0,1188} = \frac{1}{77}$  près, dans le cas dont il s'agit. En tenant compte de ces observations, on voit que, dans le cas des déversoirs de Dubuat et de M. Bidone, pour lesquels on a  $R = 0^m,1105$  et  $R = 0^m,1557$ , les coefficients sont tous plus faibles que dans le cas du dispositif de la figure 10, pour lequel  $R = 0^m,54$ , et plus forts que dans celui de la figure 6, où  $R = 0$ ; ce qui s'accorde parfaitement avec ce que nous avons dit au

sujet de la diminution qu'éprouve la dépense, au fur et à mesure que la distance  $R$  entre la base de l'orifice et le fond du réservoir diminue.

291. La différence entre les résultats obtenus par MM. Castel, Bidone, Dubuat et par nous, en opérant sur des déversoirs dont les bords sont dans l'alignement des faces latérales du réservoir, ne saurait, abstraction faite des variations qui peuvent provenir des appareils et des moyens employés pour relever les charges, être attribuée à d'autres causes qu'à la différence de largeur de ces orifices, ou de position de leurs bases par rapport au fond du réservoir. Mais, les déversoirs de  $0^m,74$  et de  $0^m,20$  de largeur donnent des coefficients qui se rapprochent de plus en plus, à mesure que la position de leur base diffère moins, et finissent par devenir égaux pour les charges supérieures à  $0^m,05$  (289). On doit donc en conclure que ces deux orifices ainsi que ceux de M. Bidone et de Dubuat fourniraient, toutes choses égales d'ailleurs, les mêmes coefficients quelle que fût la charge, si leurs bases étaient placées à des distances égales du fond du réservoir, et que par conséquent, dans le cas dont il s'agit, la valeur de ces coefficients est entièrement indépendante de la largeur absolue des orifices.

292. M. d'Aubuisson, dans son rapport déjà cité (138), déduit la même conséquence des seules expériences de M. Castel, et il l'étend à tous les cas où la largeur du déversoir surpasse environ le quart de celle du réservoir. Il en conclut en outre que, lorsque la première de ces largeurs est moindre que le quart de l'autre, et qu'en même temps elle est inférieure à  $0^m,08$ , les parois du réservoir n'ont plus d'influence sur l'écoulement et chaque déversoir a un coefficient particulier.

Ces expériences, comme nous l'avons dit à l'article 139, ont eu pour objet des déversoirs d'égales largeurs, adaptés à deux réservoirs différents dont le fond était abaissé de  $0^m,17$  au-dessous de la base de ces orifices. Malheureusement, les dimensions des uns et des autres n'ont pas été combinées de façon que la série des

rappports des largeurs  $l$  des orifices, à celles  $L$  des réservoirs, soit la même pour l'un et pour l'autre de ces réservoirs, ce qui pouvait s'effectuer en faisant l'un de ceux-ci double de l'autre, et aurait singulièrement facilité la comparaison des coefficients de la dépense, tout en rendant plus décisives les conséquences qu'on peut en tirer. Ainsi, les déversoirs de  $0^m.6001$ ,  $0^m.3998$ ,  $0^m.1994$ , etc. de largeur, ne sont pas situés, par rapport au réservoir de  $0^m.74$ , exactement comme le sont, par rapport à celui de  $0^m.361$ , les déversoirs de  $0^m.3002$ ,  $0^m.1994$ ,  $0^m.1004$ , etc. Pour ceux-ci, le rapport  $\frac{l}{L}$  est respectivement plus grand que pour les autres; par conséquent, il doit en être de même à l'égard des coefficients de la dépense, s'il est vrai qu'ils croissent avec ce rapport. Cela a lieu en effet, mais la différence, si l'on ne considérait que les résultats donnés par M. Castel et sur lesquels M. d'Aubuisson a basé son raisonnement, pourrait être attribuée plutôt à la disposition particulière du réservoir de  $0^m.361$  qu'à l'augmentation de la valeur de  $\frac{l}{L}$ . En effet, ces résultats devraient être égaux pour les déversoirs de  $0^m.361$  et de  $0^m.74$  de largeur, puisque pour l'un et pour l'autre on a  $\frac{l}{L} = 1$ . Cependant ceux qui concernent le premier de ces deux orifices sont de  $\frac{1}{2}$  plus forts que ceux qui se rapportent au second, et il y a précisément la même différence entre les coefficients relatifs au déversoir de  $0^m.3002$ , pratiqué dans le réservoir de  $0^m.361$  et pour lequel  $\frac{l}{L} = 0,832$ , et ceux qui correspondent au déversoir de  $0^m.6001$ , adapté au réservoir de  $0^m.74$  et pour lequel  $\frac{l}{L} = 0,811$ .

293. Cette différence pourrait, dans ce dernier cas, être motivée par l'excès de la valeur  $0,832$  de  $\frac{l}{L}$  sur celle  $0,811$ , mais pourquoi est-elle la même que lorsque  $\frac{l}{L} = 1$ , et pourquoi, dans ce dernier cas, n'est-elle pas nulle? Il serait certainement permis de supposer què, dans l'un et l'autre cas, elle est due aux conditions particulières dans lesquelles était placé le réservoir de  $0^m.361$ , et qui différaient en plusieurs points essentiels de celles qui accom-

pagnaient celui de  $0^m,74$ , notamment en ce qui concernait le mode d'arrivée de l'eau destinée à alimenter les orifices d'écoulement (141). Mais, la question s'éclaircit lorsqu'on tient compte de la hauteur due à la vitesse acquise par le liquide au point où M. Castel a relevé la charge, comme on doit toujours le faire quand on ne l'a pas mesurée directement en un point où le fluide est parfaitement stagnant, ou qu'on ne l'a pas déduite de la charge moyenne dans le plan du déversoir (200). Les coefficients de la formule  $d$  de la dépense ne sont alors moyennement que d'environ  $\frac{1}{115}$  plus forts pour le déversoir de  $0^m,361$  que pour celui de  $0^m,74$  de largeur, tandis qu'ils sont de  $\frac{1}{70}$  plus grands pour le déversoir de  $0^m,3002$  pour lequel  $\frac{l}{L} = 0,832$ , que pour celui de  $0^m,6001$  auquel correspond la valeur  $0,811$  de  $\frac{l}{L}$ . La différence de ces coefficients tient, dans le premier cas, à ce que le réservoir de  $0^m,361$  donne nécessairement lieu, par suite des circonstances dans lesquelles il est placé, à des dépenses qui, toutes choses égales d'ailleurs, surpassent d'autant plus celles qu'on obtiendrait avec le réservoir de  $0^m,74$  qu'elles sont plus considérables; dans le second cas, cette différence est due à la fois à la cause que nous venons de signaler et à l'excès du rapport  $0,832$  sur celui  $0,811$ .

294. En appliquant à toutes les expériences de M. Castel le même calcul qu'aux cas précédents, il devient évident que les coefficients en question dépendent exclusivement de  $\frac{l}{L}$ , tant que ce rapport ne descend pas au-dessous d'une certaine valeur, passée laquelle les parois du réservoir n'ont plus aucune influence sur l'écoulement, mais nous ne saurions admettre avec M. d'Aubuisson que cette limite correspond à  $\frac{l}{L} = 0,25$ . En effet, d'un côté, nos expériences (281) ont fait voir que la dépense est sensiblement plus grande pour le dispositif de la figure 3, d'après lequel on a  $\frac{l}{L} = 0,156$ , que pour le cas des minces parois (fig. 1). La limite cherchée répond donc à une valeur de  $\frac{l}{L}$  inférieure à  $0,156$ ; d'un autre côté, en examinant la diminution que les coefficients

de la dépense éprouvent, pour chaque charge, en passant du dispositif de la figure 10 à celui de la figure 9 et de ce dernier à celui de la figure 3, dispositifs pour lesquels les valeurs de  $\frac{l}{L}$  sont respectivement de 1.000, 0.833 et 0.156, on voit que ces coefficients deviennent égaux à ceux qui concernent les minces parois, pour des valeurs de  $\frac{l}{L}$  de plus en plus petites à mesure que la charge de liquide diminue, et que lorsque celle-ci est réduite à 0<sup>m</sup>,01, l'égalité des coefficients dont il s'agit correspond à  $\frac{l}{L} = 0, 1$ .

Ce résultat est confirmé par les expériences mêmes de M. Castel, car il est clair que lorsque les parois du réservoir ont cessé d'avoir de l'influence sur l'écoulement, les coefficients de la dépense, à égalité de largeur du déversoir, doivent être les mêmes pour les réservoirs de 0<sup>m</sup>,74 et de 0<sup>m</sup>,361; or, les plus larges des déversoirs de M. Castel qui remplissent à peu près cette condition, sont ceux de 0<sup>m</sup>,05 et de 0<sup>m</sup>,03, pour lesquels on a respectivement  $\frac{l}{L} = \frac{0,05}{0,361} = 0,138$  et  $\frac{l}{L} = \frac{0,03}{0,361} = 0,083$ . Pour le premier, les coefficients sont tous plus forts avec le réservoir de 0<sup>m</sup>,361 qu'avec celui de 0<sup>m</sup>,74, et la différence varie de  $\frac{1}{28}$  à  $\frac{1}{116}$ ; pour le second, c'est l'inverse qui a lieu et la différence est constante et égale à  $\frac{1}{208}$ . On peut, d'après cela, regarder comme satisfaisant à la question un déversoir dont la largeur 0<sup>m</sup>,04 soit une moyenne entre celles des deux précédents, et pour lequel le rapport  $\frac{l}{L}$  a une valeur 0,11, peu différente de celle 0,10 que nous avons indiquée plus haut comme résultant de nos expériences.

295. Nous admettrons donc que les faces latérales du réservoir cessent d'avoir de l'influence sur l'écoulement, lorsque sa largeur est égale ou supérieure à environ 10 fois celle du déversoir. Alors les coefficients dont il s'agit dépendent de la grandeur absolue de la dernière de ces deux largeurs et non de son rapport à la première, comme le constatent les expériences que nous avons faites sur un déversoir de 0<sup>m</sup>,02 de largeur, dont la base et les deux bords verticaux étaient respectivement éloignés de 0<sup>m</sup>,54 et

de 1<sup>m</sup>,83 des parois correspondantes du réservoir. En effet, les coefficients de la dépense fournis par cet orifice sont de  $\frac{1}{35}$  à  $\frac{1}{5}$  plus forts que ceux que nous avons obtenus, dans les mêmes circonstances, pour notre déversoir de 0<sup>m</sup>,20 de largeur sous des charges comprises entre 0<sup>m</sup>,01 et 0<sup>m</sup>,22 (tabl. XIX, XX, XXXIX et XL).

Le même fait est démontré d'une manière plus complète par les expériences de M. Castel. Ses déversoirs de 0<sup>m</sup>,05, 0<sup>m</sup>,03, 0<sup>m</sup>,02 et 0<sup>m</sup>,01 se trouvaient dans les conditions voulues, puisque leurs largeurs étaient moindres que  $\frac{1}{10}$  de celle du réservoir de 0<sup>m</sup>,74, et il en était de même de ceux de 0<sup>m</sup>,03, 0<sup>m</sup>,02 et 0<sup>m</sup>,01 par rapport au réservoir de 0<sup>m</sup>,361. Mais nous ne nous occuperons pas de ce qui concerne celui-ci, puisque M. Castel (141) regarde les résultats fournis par ce réservoir comme beaucoup moins exacts que ceux qu'il a trouvés pour l'autre. Nous avons calculé, pour ce dernier, les coefficients de la formule *d* de la dépense, et nous les avons consignés sur le tableau suivant.

GRANDES TOTALS sur les bords des déversoirs.	COEFFICIENTS DE LA FORMULE <i>d</i> DE LA DÉPENSE, pour des déversoirs dont les bords, échelonnés de 0 <sup>m</sup> ,17 au-dessus du fond du réservoir, ont des largeurs			
	de	de	de	de
	0 <sup>m</sup> ,0409.	0 <sup>m</sup> ,0301.	0 <sup>m</sup> ,0199.	0 <sup>m</sup> ,0100.
»	»	»	»	»
0,24	0,410	»	0,420	»
0,22	0,410	»	0,420	»
0,20	0,410	0,410	0,427	0,447
0,18	0,409	0,410	0,427	0,448
0,16	0,409	0,410	0,428	0,450
0,14	0,408	0,410	0,429	0,450
0,12	0,408	0,415	0,430	0,452
0,10	0,408	0,419	0,432	0,454
0,08	0,408	0,414	0,435	0,456
0,06	0,408	0,410	0,430	0,475
0,05	0,409	0,410	0,412	»
0,04	0,410	»	0,446	»

On voit, par ce tableau, que les coefficients de la dépense augmentent très-rapidement à mesure que la largeur des déver-

soirs diminue, à partir de celui de  $0^m,0499$ . Leur variation avec cette largeur, dans le cas qui nous occupe, ne saurait donc être douteuse. Mais nous devons, à cette occasion, faire une observation qui s'applique en général à toutes les expériences de M. Castel.

296. La distance entre le fond du réservoir et la base du déversoir de  $0^m,02$ , sur lequel cet ingénieur a opéré, n'était que de  $0^m,17$ , tandis que cette distance était de  $0^m,54$  pour notre orifice de même dimension. Les coefficients qu'il a trouvés devraient donc être tous plus forts que ceux que nous avons obtenus (283). Au lieu de cela, ils sont plus faibles que ces derniers de quantités qui augmentent graduellement depuis zéro jusqu'à  $\frac{1}{23}$ , pour les charges comprises entre  $0^m,08$  et  $0^m,24$ , et ils sont plus grands au contraire de zéro à  $\frac{1}{24}$  pour les charges de  $0^m,08$  à  $0^m,04$ .

Cette anomalie s'explique par les vices de l'appareil dont M. Castel a été forcé de se servir, à défaut d'autre. En effet, son réservoir était barré par plusieurs cloisons dites *languettes de calme*, destinées à amortir la vitesse de l'eau descendant d'une hauteur de  $9^m,95$ . La dernière de ces cloisons n'était éloignée que de  $1^m,30$  des déversoirs, et son arête inférieure n'était exhaussée que de  $0^m,04$  au-dessus de la base de ces orifices (140). Son action sur l'écoulement, qui était nulle pour les charges de  $0^m,04$  et au-dessous, devenait évidemment d'autant plus grande qu'elle était plongée davantage sous l'eau, c'est-à-dire que la charge de liquide était plus forte. Or, nous avons vu (224) qu'une semblable cloison établie à 6 mètres en amont de notre déversoir de  $0^m,20$  de largeur, avait fait diminuer sensiblement la dépense. Il devait en être ainsi, à plus forte raison, de celle qui n'était distante que de  $1^m,30$  des orifices, dans les expériences de M. Castel. Cette circonstance rend parfaitement compte pourquoi les coefficients obtenus par cet ingénieur, qui devraient être plus forts que les nôtres, sont de plus en plus faibles qu'eux à mesure que la charge augmente, à partir de celle de  $0^m,08$ , et pourquoi ils sont, au contraire, plus grands pour les basses charges, notamment pour celle de  $0^m,04$ : c'est que, pour cette dernière, la languette de calme la

plus voisine du déversoir n'avait aucune action sur l'écoulement, attendu que la surface supérieure du liquide rasait simplement son arête inférieure, sans la dépasser.

M. d'Aubuisson a bien senti les défauts de cet appareil sans le dire positivement, car on trouve dans son rapport la phrase suivante : *Peut-être de petites différences entre les coefficients proviendraient-elles encore de la manière dont l'eau, après avoir passé sous les languettes de calme, arrivait au déversoir. Au reste, toute erreur, dans le jaugeage des cours d'eau, qui est au-dessous d'un centième, doit être regardée comme nulle.* Sans doute les praticiens seraient très-heureux s'ils ne commettaient jamais que des erreurs de un centième, mais il faut pour cela que les expériences entreprises dans le but de les diriger soient aussi exactes que possible, et M. Castel a certainement fait preuve d'une très-grande habileté en obtenant des résultats aussi réguliers que ceux qu'il a présentés, avec des moyens d'exécution imparfaits comme ceux qui avaient été mis à sa disposition.

297. Il résulte donc des expériences de M. Castel et des nôtres, que, pour les déversoirs dont la largeur n'excède pas environ  $\frac{1}{10}$  de celle du réservoir, les coefficients de la dépense diminuent à mesure que la grandeur absolue de la base de ces orifices augmente, à partir de  $0^m,01$ . Mais ces coefficients continuent-ils à diminuer ainsi et indéfiniment? M. d'Aubuisson fixe à  $0^m,08$  la limite de largeur au-dessus de laquelle ils restent constants, on se basant sur les résultats obtenus par M. Castel pour les déversoirs adaptés au réservoir de  $0^m,361$  de largeur. En effet, lorsqu'on passe de l'un à l'autre de ces déversoirs en commençant par celui de  $0^m,01$  de largeur, les coefficients de la dépense, à charge égale, se rapprochent de plus en plus, et la différence entre ceux qui concernent les orifices de  $0^m,079$  et de  $0^m,092$  n'est plus moyennement que d'environ  $\frac{1}{100}$  de leur valeur, et peut, par conséquent, être regardée comme nulle, puisque M. Castel a déclaré ne pouvoir répondre de l'exactitude de ses opérations qu'à  $\frac{1}{100}$  près. Si donc on admettait avec M. d'Aubuisson que les parois du réservoir



n'eussent aucune influence sur la dépense du déversoir de  $0^m,092$ , pour lequel  $\frac{l}{L} = 0^m,255$ , il s'ensuivrait qu'en effet les coefficients n'éprouvent point de variation en passant de la largeur  $0^m,079$  à celle  $0^m,092$ ; et, quoique elles diffèrent peu entre elles, on serait peut-être en droit d'en conclure que ces coefficients restent les mêmes pour toutes les largeurs qui excèdent  $0^m,08$ .

Mais, nous avons vu (294) que les parois du réservoir ne cessaient d'avoir de l'influence sur l'écoulement que lorsque  $\frac{l}{L}$  était égal ou inférieur à environ  $0,1$ ; et, d'un autre côté, si l'on admet que cette influence est nulle quand  $\frac{l}{L} = 0,255$ , on doit l'admettre à plus forte raison lorsque ce rapport n'est que de  $0,135$ , comme cela a lieu pour le déversoir de  $0^m,10$  adapté au réservoir de  $0^m,74$ . Les coefficients relatifs à ce déversoir de  $0^m,10$  de largeur devraient donc être les mêmes que ceux qui concernent les déversoirs de  $0^m,079$  et de  $0^m,092$ , tandis qu'ils sont moyennement plus faibles que ces derniers d'environ  $\frac{1}{10}$  de leur valeur.

298. La grave question dont il s'agit ici, à savoir, s'il existe pour les déversoirs une limite de largeur au delà de laquelle les coefficients de la dépense restent constants, tant que cette largeur n'excède pas environ  $\frac{1}{10}$  de celle du réservoir, ne peut être résolue d'une manière décisive que par de nouvelles expériences. En effet, celles qui ont été faites avant les nôtres se divisent en deux catégories: pour les unes, la position relative des bords des orifices et des parois du réservoir nous est inconnue; et, pour les autres, ces orifices ne sont pas exactement dans les conditions des minces parois.

Parmi les premières se trouvent: celles de Smeaton et Brindley, que M. Navier a citées à la page XII de la Nouvelle architecture hydraulique de Bélidor, sans indiquer ni les dimensions du réservoir, ni l'abaissement de son fond au-dessous de la base de l'orifice; celles de M. d'Aubuisson qui a fait le même oubli, en rapportant à la page 77, § 70 de son Traité d'hydraulique, les résultats qu'il a obtenus avec un déversoir de  $0^m,30$  de

largeur, ouvert dans une feuille de fer-blanc; enfin, celles de M. Christian, qui paraissent avoir été exécutées dans des circonstances particulières que nous ignorons (*Traité de mécanique industrielle*, t. I).

Nous avons réuni, dans le tableau suivant, les résultats relatifs à cette première catégorie d'expériences, en distinguant celles qui sont dues à des auteurs différents, parce que très-probablement elles ne se rapportent pas aux mêmes dispositifs, et nous avons mis en regard, dans la dernière colonne, en les séparant des autres par un double trait vertical, les coefficients de la dépense fournis par notre dispositif de la figure 1. Tous ces coefficients concernent la formule théorique  $d = th\sqrt{2gh}$ .

NOM DES APPAREILS	LABRETS	GRAMMES	dépense	COEFFICIENT	COEFFICIENT
	de déversoir,	totale	effective	de	de la formule $d$ ,
	l.	sur la base	par seconde,	la formule $d$ .	pour
	1	de déversoir,	E.	E	le dispositif
	2	3	4	d'	de la
	3	4	5	6	figure 1,
	4	5	6	7	8
	mètres.	mètres.	Ones		
Smeaton et Brodley.....	0,1024	0,1651	18,877	0,417	0,363
		0,1120	15,450	0,369	0,360
		0,1272	12,317	0,403	0,394
		0,0794	60,880	0,403	0,397
		0,0587	60,730	0,424	0,401
		0,0413	28,070	0,425	0,407
		0,0387	19,210	0,410	0,410
		0,0317	17,370	0,435	0,418
		0,0254	12,960	0,470	0,414
		0,0580	7,460	0,402	0,401
D'Andriani.....	0,3000	0,0525	6,600	0,412	0,403
		0,0170	5,870	0,418	0,404
		0,0130	4,860	0,412	0,406
		0,0807	3,850	0,411	0,408
		0,0260	2,050	0,413	0,414
		0,0800	17,310	0,431	0,397
		0,0700	14,002	0,426	0,398
		0,0600	11,288	0,432	0,401
		0,0500	8,100	0,420	0,404
		0,0400	5,000	0,428	0,407
Christian.....	0,4000	0,0300	3,629	0,374	0,412
		0,0200	1,844	0,368	0,417
		0,0700	6,659	0,363	0,424
		0,0400	9,000	0,449	0,397
		0,0100	3,061	0,431	0,407
0,2000	0,890	0,365	0,476	0,417	

299. Les colonnes 5 et 6 de ce tableau montrent que Smeaton

et Brindley ont trouvé des résultats notablement plus forts que ceux qui concernent notre déversoir de 0<sup>m</sup>,20 de largeur, avec le dispositif de la figure 1. La différence peut sans doute provenir, et de ce que leur orifice était plus étroit que le nôtre, et de ce que sa base avait une épaisseur de 0<sup>m</sup>,025, et de ce qu'il n'était pas entièrement isolé comme celui-ci des parois du réservoir; mais cette dernière circonstance suffirait pour expliquer la différence, car certains de nos dispositifs donnent des coefficients qui dépassent ceux qu'ont obtenus ces savants (tabl. XXXIX).

M. d'Aubuisson a aussi trouvé des résultats plus grands que ceux qui correspondent à notre dispositif de la figure 1, mais ils s'en rapprochent plus que ceux de Smeaton et Brindley, et leur excès ne peut être attribué qu'à la seule influence des parois du réservoir, puisque l'orifice sur lequel ce célèbre ingénieur a opéré était beaucoup plus large que le nôtre, et sa base n'avait qu'une très-faible épaisseur.

Quant aux expériences de M. Christian, elles présentent cette particularité, que les coefficients diminuent avec la charge de liquide. Ce fait ne saurait s'expliquer, à défaut de renseignements sur le dispositif dont cet observateur s'est servi et sur la manière dont il a opéré, qu'en admettant que la base de ses orifices était au niveau du fond du réservoir, ou en était très-rapprochée, parce que c'est le seul cas dans lequel les plus petits coefficients de la dépense correspondent aux plus faibles charges (tabl. XXXIX).

300. Six des expériences de la seconde des deux catégories dont nous nous occupons ici ont pour objet des orifices qui, sous le rapport de leur éloignement des faces latérales du réservoir, sont à peu près dans les conditions des minces parois. Quatre d'entre elles sont dues à Dubuat et concernent un déversoir de 0<sup>m</sup>,467 de largeur, adapté directement au fossé d'un ouvrage de fortification dont les dimensions ne sont pas indiquées, mais étaient, dans tous les cas, infiniment plus grandes que celles de l'orifice (*Principes d'hydraulique*, t. I, § 143, et t. II, § 410, expériences numérotées de 185 à 188). Les deux autres ont été faites

par M. Bidone sur un déversoir dont la largeur  $0^m,0774$  (*Mémoires de l'Académie des sciences de Turin*, t. XXVIII, 1824) était les  $0,1205$  de celle du réservoir, et par conséquent n'excédait pas beaucoup la valeur maxima  $0,10$  du rapport de ces largeurs, pour que les faces latérales du réservoir n'aient pas d'influence sur l'écoulement (294). Les résultats de ces six expériences sont consignés sur le tableau suivant, et nous y avons ajouté les coefficients relatifs à notre orifice de  $0^m,20$  de largeur avec les dispositifs des figures 1 et 4.

NOMS des auteurs.	LARGEUR de deversoir. L.	RAPPORT de la largeur du déversoir à celle du réservoir. $\frac{l}{L}$ .	HAUTEUR de la base du déversoir au-dessus de fond du réservoir. H.	CHARGE totale sur la base du déversoir. A.	DÉPENSE effective par seconde. E.	COEFF. CIBERT de la formule d.	COEFFICIENT de la formule d. pour le dispositif	
							de la figure 1. $\frac{E}{A}$ .	de la figure 4. $\frac{E}{A}$ .
							1	2
	mètres.		mètres.	mètres.	Kilos.			
Dubuat .....	0,4670	0	0,1105	0,1714 0,1104 0,0812 0,0631	81,698 35,261 19,923 8,569	0,420 0,418 0,416 0,423	0,393 0,396 0,397 0,405	0,406 0,408 0,409 0,411
Bidone .....	0,0774	0,1205	0,1670	0,1092 0,0880	9,815 3,574	0,411 0,399	0,393 0,396	0,406 0,409

301. Si les coefficients de la dépense diminuaient indéfiniment, pour les déversoirs dont les bords sont entièrement isolés des faces du réservoir, à mesure que leur largeur augmente à partir de  $0^m,01$  (297), l'orifice de  $0^m,467$  devrait en donner de plus faibles que celui de  $0^m,20$ , lorsque ces deux orifices sont placés exactement dans les mêmes circonstances, et à plus forte raison quand la base du premier est éloignée de  $0^m,1105$  du fond du réservoir, tandis que celle du second est au niveau de ce fond, comme dans le dispositif de la figure 4 (283). Or, les résultats obtenus par Dubuat (col. 7) sont, au contraire, tous plus grands que ceux qui concernent ce dispositif (col. 9). À la vérité, la base du déversoir de  $0^m,467$  a une épaisseur de  $0^m,025$  qui a pu faire augmenter la

dépense; mais, en supposant qu'elle ait produit le même effet que le fond du réservoir relevé à la hauteur de cette base; il n'en résulterait pas moins que, toutes choses égales d'ailleurs, les coefficients de la dépense ne seraient pas plus petits pour cet orifice que pour celui de 0<sup>m</sup>,20 de largeur.

Pareillement, si la loi mentionnée au commencement de cet article se vérifiait pour toutes les largeurs de déversoir inférieures à 0<sup>m</sup>,20, l'orifice de 0<sup>m</sup>,0774 devrait fournir de plus forts résultats que celui de 0<sup>m</sup>,20, lorsqu'ils sont tous les deux placés exactement dans les mêmes conditions. Or, les bords verticaux du premier ne sont pas, comme ceux du second, entièrement isolés des faces du réservoir, et sa base n'est éloignée que de 0<sup>m</sup>,147 du fond de ce réservoir, tandis que pour le second, avec le dispositif de la figure 1, cette distance est de 0<sup>m</sup>,54; et, comme toutes ces circonstances contribuent à augmenter la dépense du déversoir de 0<sup>m</sup>,0774 (284), il s'ensuit que les coefficients obtenus par M. Bidone (col. 7), devraient être beaucoup plus grands que ceux qui concernent le dispositif de la figure 1 (col. 8). Cependant la différence est peu considérable surtout pour la charge de 0<sup>m</sup>,088, d'où il résulte qu'ils n'éprouvent pas de diminution sensible lorsqu'on passe de la largeur 0<sup>m</sup>,0774 à celle 0<sup>m</sup>,20; et, comme il en est de même en passant de cette dernière à celle de 0<sup>m</sup>,467, on peut, à la rigueur, en conclure que, *toutes choses égales d'ailleurs, les coefficients de la dépense ne varient pas, tant que la largeur des déversoirs est à la fois supérieure à environ 0<sup>m</sup>,08, et inférieure à environ  $\frac{1}{10}$  de celle du réservoir.*

Nous reconnaissons d'ailleurs que les expériences sur lesquelles notre raisonnement repose, faites par des observateurs différents et dans des circonstances qui ne sont pas identiquement les mêmes, ne sont ni assez nombreuses, ni assez précises en elles-mêmes, pour qu'on puisse regarder comme définitive la conséquence que nous en avons déduite. Mais il faut nécessairement l'adopter, quant à présent, en attendant qu'on ait fait sur ce sujet des observations spéciales qui, nous l'avons déjà dit (298), sont indispen-

sables pour trancher une question si importante pour la pratique de l'hydraulique.

302. Pour compléter la seconde catégorie des seules expériences qui, du moins à notre connaissance, ont été faites avant les nôtres (298), nous indiquons dans le tableau suivant, les résultats de sept qui sont dues à M. Bidone et à Eytelwein (*Manuel de mécanique et d'hydraulique*, 1823). Pour avoir la charge totale (col. 7), nous avons ajouté à celle qui a été mesurée par ces savants (col. 5), la hauteur due à la vitesse acquise par le liquide au point où ils ont relevé cette charge (col. 6).

NOMS des auteurs	LARGEUR de déversoir.	RAPPORT de la largeur du déversoir à celle du réservoir.	HAUTEUR de la base de déversoir au-dessus du fond du réservoir.	CHARGE mesurée au point le plus haut des murs.	SURTEAU due à la vitesse acquise par le liquide.	CHARGE totale sur la base du déversoir.	DÉPENSE obtenue par seconde.	COEFFICIENT de la charge d.
	l.	$\frac{l}{L}$ .	H.	$h_p$ .	$h_v$ .	$h + \frac{v^2}{2g}$ .	E.	$\frac{E}{d}$ .
	mètres.		mètres.	mètres.	mètres.	mètres.	litres.	
	0,1570	0,1570		0,3925	0,0005	0,3930		0,421
	0,2610	0,2610		0,2856	0,0008	0,2864		0,413
	0,3460	0,2920		0,2501	0,0010	0,2511		0,411
Eytelwein	0,4710	0,3750	0,185	0,1871	0,0012	0,1883	72,044	0,123
	0,6750	0,5886		0,1510	0,0015	0,1525		0,106
	1,0420	0,8656		0,1050	0,0019	0,1069		0,113
Bidone	0,1708	0,2656	0,157	0,1008	0,0002	0,1010	6,696	0,309

Les résultats d'Eytelwein ne suivent pas une marche régulière, car les plus forts coefficients ne correspondent pas, comme cela devrait avoir lieu, aux plus faibles charges et aux plus grandes valeurs de  $\frac{l}{L}$ . Mais il paraît, d'après ce que dit M. d'Aubuisson à la page 74 de son *Traité d'hydraulique*, qu'Eytelwein s'est servi, pour mesurer la dépense de ses déversoirs, d'orifices de jaugeage auxquels il n'a pas appliqué des coefficients de contraction convenables, et qu'en outre les charges de liquide peuvent ne pas être exactes, puisque Funk leur attribue des valeurs un peu plus grandes, en citant les six expériences dont il s'agit parmi les quarante qui ont été faites sur le canal de Bromberg.

303. Nous avons indiqué plus haut les résultats obtenus par M. Castel, avec des déversoirs dont la largeur est inférieure à  $\frac{1}{10}$  de celle du réservoir; il nous reste à rapporter ceux qui concernent le cas où la première de ces largeurs excède  $\frac{1}{10}$  de la seconde. Ils font l'objet du tableau suivant qui, avec celui de l'article 295, comprend l'ensemble des observations faites par cet ingénieur. Nous n'avons pas eu égard à celles qui ont été faites avec le réservoir de 0<sup>m</sup>,361 de largeur, par les motifs que nous avons déjà exposés (141). Pour évaluer la dépense théorique nous avons substitué à  $h$ , dans la formule  $d = lh\sqrt{2gh}$ , la charge mesurée par M. Castel, augmentée de la hauteur due à la vitesse acquise par le liquide, dont il a toujours négligé de tenir compte dans ses calculs. Pour ne pas trop allonger le tableau; et rendre plus facile la comparaison des coefficients de la dépense qui se rapportent à des déversoirs différents, nous n'y avons porté que ceux qui correspondent à des charges exprimées en nombres ronds de centimètres, et que nous avons déduits, par interpolation, de ceux qui résultent des données mêmes des expériences. Nous ajouterons que la base de tous les déversoirs dont il est question ici est exhaussée de 0<sup>m</sup>,17 au-dessus du fond du réservoir.

Largeurs de déversoirs. L	Rapport de la largeur du déversoir à celle du réservoir. $\frac{l}{L}$	COEFFICIENTS DE LA FORMULE D DE LA DÉPENSE, pour des charges théoriques, sur la base du déversoir													
		$d_1$	$d_2$	$d_3$	$d_4$	$d_5$	$d_6$	$d_7$	$d_8$	$d_9$	$d_{10}$	$d_{11}$	$d_{12}$	$d_{13}$	$d_{14}$
		0 <sup>m</sup> ,25	0 <sup>m</sup> ,25	0 <sup>m</sup> ,20	0 <sup>m</sup> ,18	0 <sup>m</sup> ,16	0 <sup>m</sup> ,14	0 <sup>m</sup> ,12	0 <sup>m</sup> ,10	0 <sup>m</sup> ,08	0 <sup>m</sup> ,06	0 <sup>m</sup> ,05	0 <sup>m</sup> ,04	0 <sup>m</sup> ,03	
0,7500	1,0000	0,27	0,27	0,27	0,27	0,27	0,27	0,27	0,27	0,27	0,27	0,27	0,27	0,27	0,27
0,6804	0,9195	0,27	0,27	0,27	0,27	0,27	0,27	0,27	0,27	0,27	0,27	0,27	0,27	0,27	0,27
0,6001	0,8109	0,27	0,27	0,27	0,27	0,27	0,27	0,27	0,27	0,27	0,27	0,27	0,27	0,27	0,27
0,5093	0,6866	0,27	0,27	0,27	0,27	0,27	0,27	0,27	0,27	0,27	0,27	0,27	0,27	0,27	0,27
0,3998	0,5403	0,27	0,27	0,27	0,27	0,27	0,27	0,27	0,27	0,27	0,27	0,27	0,27	0,27	0,27
0,3002	0,4007	0,27	0,27	0,27	0,27	0,27	0,27	0,27	0,27	0,27	0,27	0,27	0,27	0,27	0,27
0,1994	0,2695	0,27	0,27	0,27	0,27	0,27	0,27	0,27	0,27	0,27	0,27	0,27	0,27	0,27	0,27
0,1004	0,1357	0,27	0,27	0,27	0,27	0,27	0,27	0,27	0,27	0,27	0,27	0,27	0,27	0,27	0,27

Les coefficients de la dépense suivent, sur ce tableau, une loi bien plus régulière que sur ceux qu'a dressés M. Castel, et les anomalies qu'on remarquait sur ceux-ci ont disparu, ce qui prouve la nécessité d'établir les calculs, comme nous l'avons fait, en tenant compte de la vitesse acquise par le liquide. Il est bien regrettable que, pour les larges déversoirs, cet ingénieur n'ait pas pu opérer sur des charges supérieures à 0<sup>m</sup>,08 ou 0<sup>m</sup>,10, et surtout qu'il y ait eu dans ses appareils des causes permanentes d'altération de la dépense (296).

304. Après avoir terminé nos expériences sur les déversoirs diversement placés par rapport au fond et aux faces du réservoir, nous avons naturellement dû examiner l'influence que l'épaisseur des parois pouvait exercer sur la dépense. Dans ce but, nous avons opéré sur un déversoir de 0<sup>m</sup>,60 de largeur ouvert dans une cloison de 0<sup>m</sup>,05 d'épaisseur. La distance de ses bords verticaux et de sa base aux parois correspondantes du réservoir, était respectivement de 1<sup>m</sup>,54 et de 0<sup>m</sup>,54. Il était donc situé par rapport à ce réservoir, exactement comme le déversoir de 0<sup>m</sup>,20 avec le dispositif de la figure 3, l'était par rapport à son propre réservoir. Les coefficients de la formule *d* qu'il a donnés (tabl. XXI et XL1) doivent donc être comparés à ceux qui concernent ce dispositif (tabl. XIX et XXXIX).

Ces derniers coefficients excèdent les autres de zéro à  $\frac{1}{36}$  de leur valeur pour les charges comprises entre 0<sup>m</sup>,04 et 0<sup>m</sup>,01, et ils sont au contraire plus faibles de zéro à  $\frac{1}{37}$  pour les charges de 0<sup>m</sup>,04 à 0<sup>m</sup>,10, et de  $\frac{1}{37}$  à  $\frac{1}{100}$  pour celles de 0<sup>m</sup>,10 à 0<sup>m</sup>,20. En traçant les courbes des coefficients pour ces deux cas, on voit qu'elles se comportent, à l'égard l'une de l'autre, à peu près de la même manière que celle qui concerne le dispositif de la figure 4, par rapport à celle qui est relative au dispositif de la figure 1. D'où il semblerait résulter que l'épaisseur de la base du déversoir de 0<sup>m</sup>,60 de largeur, produit un effet analogue à celui qui est dû au fond du réservoir, lorsqu'on le relève jusqu'au niveau de la base de l'orifice de 0<sup>m</sup>,20; ce qui s'explique très-bien puisque la



veine fluide est constamment détachée des parois verticales du déversoir de 0<sup>m</sup>,60 de largeur, tandis qu'elle s'attache de plus en plus à sa base à mesure que la charge de liquide diminue.

305. La partie de droite des tableaux XIX, XX, XXI et XXXIX et les dernières colonnes des tableaux XI et XLI, sont relatives au cas où l'on assimile les déversoirs à des orifices fermés à la partie supérieure, qui auraient pour hauteur la charge moyenne  $h-h'$  dans le plan du déversoir, déduite de l'aire entière de la section de la veine par ce plan. Les coefficients de la formule

$$D = l(h-h')\sqrt{2g\frac{(h+k)}{3}},$$

qui sert alors à calculer la dépense théorique, varie en général, pour un même dispositif, avec la charge totale  $h$  sur la base, à peu près de la même manière que ceux de la formule  $d = lh\sqrt{2gh}$ . Mais il n'en est pas de même quant aux variations qu'ils éprouvent avec les dispositifs. Ainsi, lorsqu'on passe de ceux des figures 9 ou 10 à ceux des figures 6, 13 et 14, les coefficients de la formule  $D$  augmentent tandis que ceux de la formule  $d$  diminuent (282-284), c'est-à-dire que les premiers deviennent plus grands lorsque, la contraction étant supprimée sur deux côtés de l'ouverture, on la détruit aussi sur le troisième, tandis que c'est l'inverse qui a lieu pour les seconds. Sous ce rapport, la formule  $D$  exprime mieux la véritable loi du phénomène que la formule  $d$ , mais elle n'offre d'ailleurs aucun avantage pour la pratique, et elle a l'inconvénient d'exiger qu'on mesure à la fois la charge moyenne dans le plan du déversoir et la charge totale, qui seule est nécessaire lorsqu'on fait usage de la formule  $d$ .

306. En résumant tout ce que nous avons dit sur les déversoirs débouchant librement dans l'air, on voit qu'ils se partagent en deux catégories distinctes, selon que leur largeur est inférieure ou supérieure à  $\frac{1}{10}$  de celle du réservoir.

Pour ceux de la première catégorie, les coefficients de la formule  $d$  de la dépense sont indépendants de la largeur, tant qu'elle

excède environ  $0^m,08$ ; mais lorsqu'elle est moindre, ils varient au contraire avec cette largeur. Dans le premier cas, les valeurs des coefficients sont données immédiatement par notre dispositif de la figure 1 (tabl. XXXIX), ou se déduisent, par interpolation, de celles qui se rapportent à ce dispositif et à celui de la figure 4, selon que la distance de la base de l'orifice au fond du réservoir est plus grande ou plus petite qu'environ  $0^m,54$ . Dans le second cas, il faut admettre (301) que les coefficients relatifs au déversoir de  $0^m,20$  (dispositif de la figure 1) s'appliquent aussi à celui de  $0^m,08$  de largeur; et, au moyen de ces coefficients et de ceux qui concernent notre orifice de  $0^m,02$  de largeur (tabl. XI.), on déterminera par interpolation ceux qui conviennent à des largeurs intermédiaires. Les expériences de M. Castel dont nous avons calculé les résultats (295), pourront être très-utiles dans cette opération, non pour donner la valeur *absolue* des coefficients (296), mais leur valeur *relative* d'une largeur d'orifice à l'autre.

Pour les déversoirs de la seconde catégorie, on évaluera les coefficients correspondant aux diverses valeurs du rapport  $\frac{l}{L}$  de leur largeur à celle du réservoir, au moyen de ceux qui concernent les dispositifs des figures 3, 9 et 10 (tabl. XXXIX), quand la distance R de leur base au fond du réservoir sera égale ou supérieure à environ  $0^m,54$ ; mais lorsqu'elle sera plus petite, avant de procéder à cette interpolation, il faudra déterminer, pour nos propres déversoirs, les coefficients relatifs à la distance R que l'on considère, en se réglant d'après les résultats fournis par notre dispositif de la figure 6, comparés à ceux qui concernent le dispositif de la figure 9. Les expériences de M. Castel que nous avons rapportées au n° 303, pourront encore ici être d'un grand secours en indiquant, non les valeurs *absolues*, mais les valeurs *relatives* des coefficients d'une valeur à l'autre du rapport  $\frac{l}{L}$ .

Nous ne nous étendons pas sur la marche à suivre pour calculer ces coefficients, dans le cas où les faces du réservoir sont inégalement éloignées des bords de l'orifice, sont inclinées sur le plan

qui le contact, ou n'ont qu'une petite longueur, comme dans les dispositifs des figures 5, 8, 12, 13 et 14, parce que tout ce que nous avons dit à ce sujet pour les orifices fermés à la partie supérieure, s'applique aux déversoirs.

## § 7.

DÉPENSES DES ORIFICES DÉCOUVERTS OU EN DÉVERSOIR,  
 PROLONGÉS AU DEHORS DU RÉSERVOIR  
 PAR DES CANAUX RECTANGULAIRES DÉCOUVERTS.

307. Il n'a point été fait d'expériences, avant les nôtres, sur les déversoirs prolongés au dehors du réservoir par des canaux rectangulaires découverts, et l'on ne connaissait d'autre règle pour en calculer la dépense, que celle que Dubuat a donnée dans ses Principes d'hydraulique (t. I, § 177 et suivants). Cet illustre savant affirme avoir trouvé, par ses expériences, que cette dépense variait entre les 0,87 et les 0,97 de la section uniforme du courant, multipliée par la vitesse due à la différence de hauteur entre le niveau du liquide dans le réservoir et sa surface supérieure dans le canal, prolongée jusqu'à ce réservoir.

Mais cette règle, fût-elle exacte, n'est applicable qu'au seul cas où le canal est établi au niveau du fond du réservoir, comme l'était celui de Dubuat, et où il est assez long pour que le régime de l'eau y parvienne à l'uniformité. Or, le plus souvent il n'en est point ainsi dans la pratique, il y a donc là une lacune importante que nous nous sommes proposé de combler; et, dans ce but, nous avons fait sur notre déversoir de 0<sup>m</sup>,20 de largeur, prolongé par un canal rectangulaire découvert, les mêmes expériences que sur cet orifice débouchant librement dans l'air.

308. Les résultats de ces opérations qui sont consignés sur les tableaux XXII et XLII, montrent que les coefficients de la dépense sont, toutes choses égales d'ailleurs, beaucoup plus faibles dans le premier cas que dans le second, même lorsque le canal est

incliné à  $\frac{1}{15}$  et n'a que 2<sup>m</sup>,50 de longueur, comme dans le dispositif de la figure 26, au lieu d'être horizontal et long de 3<sup>m</sup>,00. Il est digne de remarque que, pour les déversoirs prolongés par des canaux comme pour ceux qui débouchent librement dans l'air (art. 282 et suivants), la dépense augmente lorsque, leur base étant isolée du fond du réservoir, on détruit la contraction sur leurs côtés verticaux (dispositifs des figures 15, 20 et 21), tandis que cette même dépense diminue au contraire quand, les côtés verticaux étant privés de contraction, on la supprime aussi sur la base (dispositifs des figures 16 et 19). Le fond du réservoir établi au niveau de la base de l'orifice, a d'ailleurs une influence différente sur la dépense des déversoirs prolongés par des canaux et de ceux qui débouchent librement dans l'air, lorsque leurs bords verticaux sont isolés des faces latérales de ce réservoir; il fait diminuer les coefficients pour toutes les charges inférieures à 0<sup>m</sup>,16, dans le premier cas, et seulement pour celles qui sont au-dessous de 0<sup>m</sup>,035, dans le second.

309. Au nombre des expériences de M. Castel que nous avons souvent citées dans le cours de ce mémoire, il y en a 5 qui ont eu pour objet un déversoir de 0<sup>m</sup>,1994 de largeur, prolongé par un canal de 0<sup>m</sup>,204 de longueur, incliné à  $\frac{1}{15,5}$ . La base de cet orifice était exhaussée de 0<sup>m</sup>,17 au-dessus du fond d'un réservoir de 0<sup>m</sup>,74 de largeur, auquel il était adapté. Nous avons calculé, pour ces expériences, les coefficients de la formule  $d = lh\sqrt{2gh}$ , en tenant compte de la vitesse acquise par le liquide au point où a été relevée la charge, et nous les avons indiqués dans le tableau suivant.

CHARGE MESURÉE au point le plus haut des remous, $h_1$ mètres.	RAPPORT des à la vitesse acquise par le liquide, $\frac{v^2}{2g}$ mètres.	CHARGE TOTALE sur la base du déversoir, $h = h_1 + \frac{v^2}{2g}$ mètres.	DÉPENSE effective par seconde. litres.	COEFFICIENTS de la formule d.
0,1414	0,0003	0,1417	11,590	0,540
0,0953	0,0002	0,0955	9,126	0,350
0,0785	0,0001	0,0786	6,545	0,331
0,0598	"	0,0598	4,540	0,352
0,0501	"	0,0501	3,496	0,353

Les coefficients de la dépense portés sur ce tableau sont moyennement plus faibles que ceux qui concernent le même orifice débouchant librement dans l'air, d'environ  $\frac{1}{8}$  de la valeur de ces derniers (303). Ces résultats, quant à la valeur relative des coefficients, s'accordent bien avec les nôtres, car ceux qui, pour les mêmes charges, correspondent à notre dispositif de la figure 9; où l'orifice débouche librement dans l'air, excèdent de  $\frac{1}{8,4}$  ceux qui se rapportent au dispositif de la figure 26 en tout semblable au précédent, sauf que le déversoir est prolongé par un canal de 2<sup>m</sup>,50 de longueur incliné à  $\frac{1}{10}$ .

Les explications que nous avons données à l'article 306 au sujet de la table d'interpolation n° XXXIX, nous dispensent d'entrer dans aucun détail sur ce qui concerne la table n° XLII, relative aux déversoirs prolongés par des canaux, puisqu'elle est en tout semblable à la première, et que la manière de s'en servir est exactement la même.

## § 8.

## DÉPENSES DES DÉVERSOIRS INCOMPLETS OU EN PARTIE NOYÉS.

310. Dubuat appelle *demi-réversoir* ou *réversoir non complet*, un déversoir qui verse son eau dans un bassin inférieur dont le niveau s'élève au-dessus de la base de l'orifice (*Principes d'hydraulique*, t. I, 55 141-147). Il indique, pour calculer la dépense de cette

sorte de déversoirs, la formule  $K\sqrt{2g}(C-c)$ , dans laquelle  $l$  est la largeur de l'orifice,  $C$  la charge sur sa base prise en amont au point le plus haut des remous, et augmentée de la hauteur due à la vitesse moyenne acquise par le liquide en ce point, et  $c$  la quantité dont la surface supérieure du liquide, dans le bassin inférieur, s'élève au-dessus de la base du déversoir.

Cet illustre savant n'a fait, dans ces conditions, qu'une seule expérience, portant le n° 193, sur un déversoir formé en barrant un canal sur toute sa largeur, qui était de 0<sup>m</sup>,467, et sur une hauteur de 0<sup>m</sup>,1105 (t. II, § 413). Pour cette expérience, on a  $C = 0<sup>m</sup>,1602 + 0<sup>m</sup>,0131 = 0<sup>m</sup>,1733$ ,  $c = 0<sup>m</sup>,0541$  et par conséquent  $K\sqrt{2g}(C-c) = 123,776$  litres; et, comme la dépense effective est de 64,269 litres, il s'ensuit que le coefficient dont il faut affecter la formule théorique est de 0,519. Mais ce résultat ne doit pas être considéré comme fort rigoureux, attendu que, d'après ce que dit Dubuat, l'évaluation de  $c$  n'est qu'approximative.

311. Cette formule, si elle exprimait la véritable loi du phénomène, conviendrait évidemment aux déversoirs formés à l'entrée des canaux de 0<sup>m</sup>,24 et de 0<sup>m</sup>,204 de largeur, servant de réservoir pour alimenter les divers orifices que nous avons soumis à l'expérience, avec les dispositifs des figures 6, 7, 9, 10, 19, 21, etc.; car la veine fluide qui tendait naturellement à s'en échapper, était recouverte en partie par le liquide qui se trouvait amoncelé dans ces canaux. Nous avons essayé de l'appliquer à ceux de ces dispositifs pour lesquels les données nécessaires au calcul sont indiquées sur des sections longitudinales et transversales de la surface du liquide, que nous avons relevées avec le plus grand soin afin de représenter toutes les circonstances de l'écoulement (pl. 7, 8, 9, 10, 11, 20, 21, 22, 27, 28 et 32). Mais les valeurs des coefficients de la dépense ainsi obtenus, varient de 4,000 à 0,287 et présentent les anomalies les plus choquantes, de quelque manière qu'on les classe entre eux.

312. En examinant la question, il nous a paru que la hauteur  $c$  de l'eau d'aval au-dessus de la base du déversoir, devait

être mesurée à la rencontre de la nappe supérieure de la veine fluide qui sort par cet orifice, avec la surface du liquide contenu dans le bassin inférieur, et par conséquent au point le plus bas de cette surface et non au point le plus haut; car ce dernier point, comme on peut le voir sur les sections longitudinales, est souvent situé à une si grande distance en aval, qu'il est douteux que son exhaussement au-dessus du point le plus bas de la chute, contribue à diminuer la dépense autant que le suppose la formule de Dubuat, puisque nous avons vu (274) que, pour les orifices fermés à la partie supérieure, les remous ne produisent aucun effet tant qu'ils n'atteignent pas la veine contractée.

Ainsi, en nommant  $n$  la distance verticale du point le plus bas dont il s'agit à la base du déversoir, ou, ce qui revient au même, la hauteur en ce point de la portion noyée de la veine fluide, et à la charge totale sur la base prise en amont de l'orifice, nous admettons que la vitesse de l'écoulement est due à la hauteur  $h-n$  de la portion de la veine qui n'est pas noyée, et que par conséquent la dépense théorique est exprimée par  $D_t = lh\sqrt{2g(h-n)}$ .

Les coefficients par lesquels il faut multiplier cette formule, pour obtenir la dépense effective, suivent une loi parfaitement régulière en les ordonnant d'après les valeurs du rapport  $\frac{h-n}{h}$ , de la portion de la veine qui n'est pas noyée à la charge totale, comme le montre le tableau n° XXIV, où nous avons réuni toutes les expériences relatives aux dispositifs des figures 6, 19 et 10 pour lesquelles, ainsi que nous l'avons déjà dit, nous avons relevé des sections de la surface du liquide. Les résultats qui concernent les deux premiers de ces dispositifs sont classés indistinctement entre eux suivant l'ordre des valeurs de  $\frac{h-n}{h}$ ; mais ceux qui se rapportent au troisième forment une catégorie à part, parce que pour celui-ci la base du déversoir est au niveau du fond du réservoir, tandis que, pour les deux autres, elle en est éloignée de 0<sup>m</sup>,54.

313. Les déversoirs incomplets dont nous nous occupons ali-

mentaient, comme l'indiquent les deux dernières colonnes du tableau XXIV, des orifices découverts et des orifices fermés à la partie supérieure de diverses hauteurs, adaptés à des dispositifs différents, et cependant les coefficients de la formule D, correspondant à un même déversoir incomplet, suivent une loi très-régulière. On doit donc en conclure que ces orifices et ces dispositifs n'ont aucune influence sur ces coefficients, et que ceux-ci ne dépendent que du rapport  $\frac{h-n}{h}$ . Mais, à égalité de ce rapport, ils n'auraient sans doute plus les mêmes valeurs, si le déversoir incomplet se trouvait par lui-même placé dans des conditions différentes, comme, par exemple : si ses bords verticaux étaient situés dans le prolongement ou à une petite distance des faces latérales du réservoir, au lieu d'en être entièrement isolés; s'il débouchait directement dans un large bassin au lieu d'être prolongé par un canal; ou peut-être même si ce canal avait une forte pente au lieu d'être horizontal. En effet, le déversoir incomplet de 0<sup>m</sup>,204 de largeur, dont la base est au niveau du fond du réservoir, paraît devoir donner, toutes choses égales d'ailleurs, de plus forts résultats que celui de 0<sup>m</sup>,24 de largeur, dont la base est au contraire élevée de 0<sup>m</sup>,54 au-dessus de ce fond.

La question dont il s'agit ne peut donc être considérée comme rigoureusement résolue, que pour les déversoirs incomplets prolongés par des canaux horizontaux, dont les bords verticaux et la base sont entièrement isolés des parois correspondantes du réservoir; car les deux expériences relatives au déversoir de 0<sup>m</sup>,204 de largeur, auxquelles nous avons pu appliquer la formule D, sont tout à fait insuffisantes pour indiquer la marche que les coefficients suivraient dans ce cas. Pour fournir les moyens de calculer la dépense de tous les orifices qui seraient dans les conditions que nous venons d'énoncer, nous avons construit par interpolation, à l'aide des résultats consignés sur le tableau n° XXIV, la table n° XLIII qui donne les coefficients de la formule  $D_c = lh\sqrt{2g(h-n)}$ , correspondant aux diverses valeurs du rapport  $\frac{h-n}{h}$ .



Ces coefficients peuvent être employés avec confiance, et il est vivement à désirer que, par des expériences analogues aux nôtres, on détermine les valeurs qu'ils doivent avoir dans les autres circonstances qui peuvent se présenter dans la pratique.

### RÉSUMÉ.

314. Nous terminerons notre pénible tâche en présentant le résumé : de ce qui concerne le coefficient de la contraction naturelle de la veine fluide; des principales difficultés qui arrêtaient à chaque pas dans l'évaluation de la dépense des orifices, lorsque nous avons commencé notre travail, et des solutions qui résultent de nos expériences.

315. D'après les opérations que nous avons faites en 1834, pour vérifier celles de 1827, sur un orifice carré de 0<sup>m</sup>,20 de côté, en minces parois planes et entièrement isolé du fond et des faces du réservoir, le rapport de l'aire de la section minima de la veine fluide, jaillissant sous une charge de 1<sup>m</sup>,71 sur le centre, à celle de l'orifice, est de 0,577, tandis que le rapport des dépenses effective et théorique est de 0,602. Or, le centre de gravité de cette section était abaissé de 0<sup>m</sup>,0197 au-dessous du centre de l'orifice; la vitesse théorique était donc due à une charge de 1<sup>m</sup>,7297, en sorte que, même en tenant compte de cet abaissement, elle est, contrairement aux idées reçues, d'environ  $\frac{1}{4}$  de sa valeur plus faible que la vitesse moyenne dans la section minima de la veine fluide.

Cette dernière vitesse est au contraire d'environ  $\frac{1}{35}$  de sa valeur plus petite que l'autre, pour un orifice de 0<sup>m</sup>,02 de largeur horizontale sur 0<sup>m</sup>,60 de hauteur, sous une charge de 1<sup>m</sup>,55 sur le centre, placé dans les mêmes circonstances que le précédent, en tenant compte, comme on vient de le dire, de l'abaissement du centre de gravité de la section minima au-dessous de celui de l'orifice, abaissement qui est ici de 0<sup>m</sup>,0257.

Pour les orifices de 0<sup>m</sup>,20 de largeur horizontale sur 0<sup>m</sup>,20 et 0<sup>m</sup>,05 de hauteur, lorsque leur base est au niveau du fond du réservoir, et que leurs deux bords verticaux sont placés à 0<sup>m</sup>,02 des faces correspondantes de ce réservoir, la section minima de la veine fluide, jaillissant sous une charge de 1<sup>m</sup>,5475 sur le centre du premier de ces deux orifices, et de 1<sup>m</sup>,5096 sur celui du second, est située à 0<sup>m</sup>,093 seulement en aval de l'ouverture, tandis qu'elle en est éloignée de 0<sup>m</sup>,30 dans les deux cas précédents. En tenant encore ici compte de l'abaissement du centre de gravité de cette section minima, qui est de 0<sup>m</sup>,0317 pour l'orifice de 0<sup>m</sup>,20 de hauteur et de 0<sup>m</sup>,0257 pour celui de 0<sup>m</sup>,05, on trouve que la vitesse moyenne du liquide dans la section dont il s'agit est, pour l'un comme pour l'autre, d'environ  $\frac{1}{132}$  de sa valeur plus forte que la vitesse théorique.

316. On admettait généralement que, pour les orifices fermés à la partie supérieure, en minces parois planes et complètement isolés du fond et des faces du réservoir, le coefficient par lequel il fallait multiplier les formules théoriques pour avoir la dépense effective, coefficient qu'on nommait improprement *coefficient de contraction*, et que nous avons appelé, dans tout le cours de notre mémoire, *coefficient de la dépense*, variait : avec la charge de liquide, pour un même orifice; et, pour une même charge, avec les dimensions de l'orifice.

Mais cette assertion, d'ailleurs parfaitement exacte, ne reposait que sur des résultats isolés, souvent contradictoires, ne pouvant par conséquent pas servir à établir des lois, et se rapportant presque exclusivement à des orifices circulaires et à des charges ou très-faibles ou très-fortes, et presque jamais aux charges intermédiaires, qui sont précisément celles qu'on rencontre le plus fréquemment dans la pratique, et qui intéressent particulièrement le jaugeage des cours d'eau, en sorte qu'il était à peu près impossible d'en évaluer la dépense avec exactitude.

Les expériences que nous avons faites à ce sujet lèvent toute difficulté. En effet, celles de 1828 qui ont été publiées en 1829,

nous ont fourni les moyens de dresser une table des valeurs des coefficients de la dépense, pour les orifices de 0<sup>m</sup>,20 de base et de 0<sup>m</sup>,20 à 0<sup>m</sup>,01 de hauteur, sous des charges sur le sommet comprises entre zéro et 3 mètres; et celles que nous avons exécutées en 1834, pour compléter les premières, ont démontré directement que ces coefficients ne dépendent que du plus petit intervalle qui sépare les bords opposés de l'orifice, et qu'ils restent les mêmes, quelle que soit l'autre dimension de cet orifice, tant qu'elle n'excède pas environ vingt fois la première. Or, les pertuis en usage dans la pratique remplissent en général cette condition. Nos tables (tabl. du n° XXV au n° XXX, fig. 1) peuvent donc servir à résoudre toutes les questions relatives à la dépense des orifices rectangulaires verticaux, en minces parois planes et entièrement isolés du fond et des faces du réservoir, même dans le cas, d'ailleurs fort rare, où leur hauteur excéderait leur largeur; car il résulte aussi des expériences de 1834 que, pour des ouvertures d'égales dimensions, les coefficients de la formule D' de la dépense, à égalité de charge sur le sommet, sont sensiblement les mêmes quelle que soit celle de ces deux dimensions qui est disposée horizontalement.

317. On était obligé, pour évaluer le produit des orifices percés dans des parois épaisses et débouchant librement dans l'air, comme ceux qu'on rencontre dans la pratique, de se servir d'un très-petit nombre de résultats relatifs à des dispositifs différents, et dont aucun ne se rapporte exactement au cas où ces pertuis sont entièrement isolés du fond et des faces du réservoir. Nos expériences de 1834 ont comblé cette lacune: d'une part, en montrant que les coefficients de la dépense sont alors les mêmes que pour les minces parois, quand la veine se détache de tout le pourtour de l'orifice (circonstance qui ne se présente d'ailleurs que lorsque cet orifice n'est pas limité par une vanne à sa partie supérieure, ou que l'épaisseur de celle-ci, à son extrémité inférieure, est réduite à une simple arête vive); et d'autre part, en fournissant les éléments nécessaires à la formation du tableau

n° XXXIII, qui donne les coefficients de la dépense correspondant aux diverses dispositions du vannage adapté à l'orifice.

318. Les pertuis débouchant librement dans l'air en usage dans la pratique, au lieu d'être tout à fait isolés du fond et des faces du réservoir, en sont souvent très-rapprochés et sont accompagnés, vers l'intérieur de ce réservoir, de murs en ailes plus ou moins longs, plus ou moins évasés, circonstances qui toutes modifient les lois de l'écoulement. Les auteurs s'accordaient à admettre que le coefficient de la dépense augmentait à mesure que la distance entre les bords de l'orifice et les parois du réservoir diminuait; mais quelles étaient les lois de cette augmentation dans chaque cas particulier, et pour toutes les combinaisons qui se rencontrent dans la pratique? On était dans la plus complète ignorance à cet égard, et par conséquent il était alors impossible de calculer, même approximativement, la dépense des orifices; car les expériences de M. Bidone, les seules qui eussent été faites sur ce sujet, et que nous avons examinées à l'article 233, ne pouvaient être d'aucune utilité, attendu qu'elles ne concernent qu'une seule disposition d'orifice et une seule charge de liquide, et que les résultats ne sont même pas exacts, par suite d'un vice que nous avons signalé dans l'appareil. Mais cette dépense peut maintenant être évaluée dans tous les cas par interpolation, sinon avec une rigoureuse exactitude, du moins avec un degré d'approximation bien suffisant pour la pratique, au moyen des tables du n° XXV au n° XXXI, déduites de nos observations sur les dispositifs des figures numérotées de 1 à 14.

319. On manquait totalement d'expériences sur les orifices fermés à la partie supérieure, prolongés au dehors du réservoir par des canaux rectangulaires découverts, où le régime des eaux ne peut devenir *uniforme*. On admettait, d'après Bossut, que la dépense de ces orifices était la même que si les canaux n'existaient pas; mais les résultats des opérations que nous avons faites sur les dispositifs des figures numérotées de 15 à 27, comparés à ceux que nous avons obtenus pour les dispositifs des figures de 1 à 14,

montrent que, dans la plupart des cas, les canaux font au contraire diminuer notablement le produit de l'écoulement, surtout pour les faibles charges, et le réduisent quelquefois aux 0,7 de ce qu'il serait si les orifices débouchaient librement dans l'air. En s'en tenant à l'assertion de Bossut sans l'avoir vérifiée, on pouvait donc commettre de très-graves erreurs qui désormais seront impossibles; car nos tables du n° XXXIV au n° XXXVIII donnent les moyens de résoudre, d'une manière satisfaisante, toutes ces questions qui sont d'une haute importance, en ce qu'elles concernent précisément les dispositions le plus généralement en usage pour les prises d'eau, les usines hydrauliques et les écluses des fortifications et de la navigation.

320. Dubuat a établi une formule particulière qui était généralement admise pour calculer la dépense des orifices dont nous venons de parler, quand il se forme dans le canal des remous qui s'élèvent au-dessus du bord supérieur de l'ouverture. Mais elle ne comprend pas le cas, qui peut se présenter souvent, où les remous ne recouvrent qu'en partie la veine contractée; et, appliquée dans les autres cas à des expériences spéciales que nous avons faites sur ce sujet, elle donne des coefficients qui ne suivent aucune loi régulière, et diffèrent notablement de la valeur unique que leur attribue cet illustre hydraulicien. Cette formule, qui n'est d'ailleurs basée sur aucun résultat d'observation, ne peut donc conduire qu'à des erreurs; mais nous avons remarqué qu'on pouvait la remplacer, soit que ces remous recouvrent en totalité ou en partie seulement la veine contractée, soit qu'ils ne l'atteignent pas, par la formule ordinaire de la dépense, en modifiant, comme l'indique une table déduite de nos expériences et insérée à l'article 280 de ce mémoire, les coefficients dont elle serait affectée s'il n'y avait pas de remous dans le canal, et qui sont donnés par les tableaux du n° XXXIV au n° XXXVIII. Ces modifications ne conviennent, à la rigueur, qu'au seul dispositif que nous avons soumis à l'épreuve, parce qu'il n'est pas certain que l'influence relative des remous sur le produit de l'écoulement, soit la même pour tous

les dispositifs, quoique le raisonnement semble l'indiquer; mais on doit admettre, *quant à présent*, cette hypothèse qui paraît devoir conduire, dans tous les cas, à des résultats beaucoup plus approchants de la vérité que ceux qu'on déduirait de la formule de Dubuat.

321. L'évaluation de la dépense présentait autant de difficultés pour les déversoirs isolés du fond et des faces latérales du réservoir et débouchant librement dans l'air, que pour les orifices fermés à la partie supérieure, quoiqu'on eût fait pour les premiers beaucoup d'expériences en grand, parce qu'elles sont, sous tous les rapports, bien plus faciles à exécuter que pour les seconds. Selon certains auteurs, le coefficient de la dépense augmentait à mesure que la charge diminuait; selon d'autres, c'était l'inverse qui avait lieu, et même ce coefficient était sensiblement indépendant du rapport des dimensions de l'orifice et du réservoir, de sorte que la contraction effective de la veine n'avait aucune influence sur la dépense.

Nos expériences de 1828, publiées en 1829, ont constaté d'une manière irrécusable l'augmentation du coefficient à mesure que la charge diminue, pour les déversoirs *entièrement* isolés du réservoir dans tous les sens. Toutefois, la question ne se trouvait pas suffisamment éclaircie, parce que nos résultats étaient notablement plus faibles que ceux qu'avaient obtenus tous les autres observateurs, même pour des déversoirs dont les bords verticaux étaient éloignés de 3 fois et  $\frac{1}{2}$  la largeur de ces orifices des faces correspondantes du réservoir. Or, on était porté à croire qu'une telle distance était plus que suffisante pour que ces faces n'eussent aucune influence sur l'écoulement; que par conséquent en la rendant 2 fois et  $\frac{1}{2}$  plus grande, comme cela avait lieu pour notre dispositif, la dépense ne devait pas changer, et dès lors on ne pouvait se rendre compte pourquoi nos résultats étaient plus petits que ceux des autres expérimentateurs.

Nos observations de 1834 ont tout expliqué, en démontrant que les faces latérales du réservoir ont de l'action sur la dépense,

tant que sa largeur n'excède pas environ 10 fois celle du déversoir. Les résultats qu'elles ont fournis, rapprochés de ceux de Dubuat, de M. Bidone, et particulièrement de ceux de M. Castel, rectifiés par nous en tenant compte, comme on doit le faire, de la vitesse acquise par le liquide au point où la charge a été mesurée, établissent, d'une manière incontestable, que les coefficients de la dépense sont indépendants du rapport de la largeur du déversoir à celle du réservoir, ou varient avec ce rapport, selon qu'il est plus petit ou plus grand que 0,1. Dans le premier cas, ces coefficients restent constants quelle que soit la largeur absolue de l'orifice, tant qu'elle ne descend pas au-dessous d'une certaine limite de grandeur qui est inconnue, mais qui paraît devoir peu s'écarter de 0<sup>m</sup>,08; tandis que dans le second ils sont toujours entièrement indépendants de cette largeur.

Nos expériences ont en outre fait voir que, dans l'un et l'autre cas, les valeurs des coefficients varient, toutes choses égales d'ailleurs, selon que le fond du réservoir est plus ou moins éloigné de la base du déversoir, et que ses faces sont plus ou moins longues ou plus ou moins inclinées sur le plan qui contient cet orifice, circonstances dont ni M. Castel, ni aucun autre expérimentateur ne s'est occupé. Le tableau n° XXXIX, qui est déduit des résultats que nous avons obtenus dans ces divers cas, donne donc les moyens de résoudre, soit directement, soit par interpolation, toutes les questions relatives à la dépense des déversoirs qui peuvent se présenter, en y adjoignant, lorsqu'il s'agit d'un orifice dont la largeur est à la fois inférieure à 0<sup>m</sup>,08 et à  $\frac{1}{10}$  de celle du réservoir, le tableau n° XL, qui concerne un déversoir de 0<sup>m</sup>,02 de largeur, que nous avons soumis à l'épreuve.

322. Les déversoirs en usage dans la pratique sont presque toujours ouverts dans des parois plus ou moins épaisses. Il était donc important de vérifier si, comme on l'avait admis jusqu'alors faute d'expériences sur ce sujet, on pouvait leur appliquer les coefficients relatifs aux minces parois. Les observations que nous avons faites sur un orifice dont les joues verticales et la base

avaient une épaisseur de  $0^m,05$ , ont prouvé le contraire, et les coefficients que nous en avons déduits (tabl. XLI) pourront servir à modifier, selon le cas, ceux qui se rapportent aux minces parois.

323. Pour calculer la dépense des déversoirs prolongés au dehors du réservoir par des canaux rectangulaires découverts d'une petite longueur, où le régime des eaux ne peut parvenir à l'*uniformité*, on n'avait d'autre règle que celle que Dubuat a établie pour les canaux où ce régime est au contraire *uniforme*, et qui est évidemment inapplicable au cas dont il s'agit. Pour combler cette lacune, d'autant plus fâcheuse qu'elle se rapporte à des dispositions très-fréquemment usitées dans la pratique, nous avons fait sur les dispositifs des figures numérotées de 15 à 26; des séries complètes d'expériences, ayant pour objet la détermination des coefficients dont il faut alors affecter la formule ordinaire de la dépense. Le tableau n° XI.II, que nous avons déduit de ces observations, fournit les moyens de résoudre, soit directement, soit par interpolation, toutes les questions relatives à la dépense de ces sortes de déversoirs.

324. Toutes les formules en usage pour évaluer la dépense des déversoirs comprennent la charge totale sur la base, censée prise en un point où le liquide est parfaitement stagnant. La détermination *directe* de cette charge est souvent ou très-difficile ou impossible, soit à cause des obstacles que présentent les localités, soit parce que le fluide, à son arrivée dans la sphère d'activité de l'orifice, est animé d'une certaine vitesse dont la hauteur génératrice est inconnue. Dubuat indique une règle à suivre, dans ce cas, pour obtenir la charge totale; mais nous avons fait voir, d'après les résultats de nos expériences, qu'elle conduit à des erreurs qui, pour certains dispositifs, sont très-considérables. La charge moyenne dans le plan du déversoir est au contraire, en général, facile à mesurer. C'est pourquoi nous avons établi des formules qui, liant cette dernière charge à la charge totale, *réelle ou fictive*, permettent de déterminer celle-ci en fonction de l'autre, dans les divers cas que nous avons soumis à l'épreuve. La recherche de ces formules,



dont nous avons fait la récapitulation à l'article 200 de ce mémoire, a exigé, de notre part, un si grand nombre d'essais infructueux et des calculs tellement considérables, que nous y aurions certainement renoncé dès le début, si nous n'avions été soutenu par le vif désir de fournir ainsi les moyens d'évaluer la dépense des déversoirs, dans les circonstances où, la charge totale ne pouvant être relevée directement, cette dépense ne saurait sans cela être obtenue même approximativement. Plusieurs de ces formules sont purement empiriques, mais elles ont toutes le mérite de satisfaire, avec un degré de précision remarquable, à la fois à nos expériences et à celles des autres observateurs, et d'offrir par cela même de grandes chances de succès dans la détermination de la charge totale.

325. Le cas des déversoirs incomplets ou en partie noyés, quoique se présentant fréquemment, n'avait été l'objet que d'une seule observation qui a été faite par Dubuat. Ce célèbre hydraulicien donne, pour ce cas, une formule de la dépense qui, appliquée à nos opérations, fournit les résultats les plus extraordinaires. Nous proposons de lui en substituer une autre résultant de quarante et une expériences que nous avons faites sur ce sujet, et qui, sans être plus compliquée que la première, paraît beaucoup mieux exprimer la loi du phénomène. Le tableau n° XLIII fait connaître les coefficients qu'il faut lui appliquer, pour calculer la dépense des déversoirs incomplets dont la base est isolée du fond du réservoir, et qui sont prolongés au dehors de ce réservoir par un canal rectangulaire découvert. Ces coefficients seraient sans doute différents pour des dispositifs autres que celui sur lequel nous avons opéré, et il est vivement à désirer qu'on fasse de nouvelles expériences à cet égard, afin de compléter les nôtres.

344

345

**TABLEAUX DÉTAILLÉS**  
**DES RÉSULTATS DES EXPÉRIENCES FAITES,**  
**PENDANT LES TROIS DERNIERS MOIS DE 1825**  
**ET PENDANT LES ANNÉES 1829, 1831 ET 1834,**  
**SUR LA DÉPENSE DES ORIFICES RECTANGULAIRES VERTICAUX.**

TABLEAUX DU N° I AU N° XII. — Orifices débouchant librement dans l'air.

———— DU N° XIII AU N° XVIII. — Orifices prolongés par des canaux au dehors du réservoir.

———— DU N° XIX AU N° XXI. — Déversoirs débouchant librement dans l'air.

TABLEAU N° XXII. — Déversoirs prolongés par des canaux au dehors du réservoir.

———— N° XXIII. — Déversoirs formés en barrant un cours d'eau sur toute sa largeur.

———— N° XXIV. — Déversoirs incomplets ou en partie noyés.

## LÉGENDE EXPLICATIVE

### DES ANNOTATIONS

#### ET DES INDICATIONS DE FORMULES ET DE DISPOSITIFS,

PORTÉS DANS LES TABLEAUX

RELATIFS A LA DÉPENSE DES ORIFICES RECTANGULAIRES VERTICAUX.

#### ANNOTATIONS ET INDICATIONS DE FORMULES.

Dans tous les tableaux détaillés et dans la table générale des coefficients qui les suit, on a représenté par :

$l$  la largeur des orifices;

$h$  la charge de fluide sur le bord inférieur de ces orifices;

$h'$  celle sur le bord supérieur;

$o = h - h'$  la hauteur d'ouverture des orifices, ou l'épaisseur moyenne de la lame d'eau dans le plan de ces orifices;

$H = \frac{h+h'}{2}$  la charge sur le centre;

$g = 9^m,8088$  la gravité;

$V = \sqrt{2gH}$  la vitesse théorique moyenne de sortie de l'eau des orifices fermés à la partie supérieure, en négligeant l'influence de la hauteur de ces orifices;

$D = l\sqrt{2gH} = l(h - h')\sqrt{2g\left(\frac{h+h'}{2}\right)}$  la dépense théorique relative à la vitesse  $V$ , pour les orifices fermés à la partie supérieure, et pour les déversoirs assimilés à des orifices fermés qui auraient pour hauteur l'épaisseur moyenne  $h - h'$  de la tranche de liquide, mesurée dans le plan même du déversoir;

$D' = \frac{2}{3}\sqrt{2g}\left(h\frac{2}{3} - h'\frac{1}{3}\right) = \frac{2}{3}l(h\sqrt{2gh} - h'\sqrt{2gh'})$  la dépense théorique, en tenant compte de l'influence de la hauteur des orifices;

$d$  la dépense théorique pour les déversoirs, calculée par la formule simplifiée  $l\sqrt{2gh}$ , dans laquelle  $h$  représente toujours la charge totale sur la base du déversoir mesurée dans le réservoir, à 3<sup>m</sup>,50 en amont, excepté toutefois pour le déversoir formé en barrant un canal: dans ce dernier cas,  $h$  est prise dans le canal au point où la surface du liquide commence à s'infléchir vers l'aval;

$E$  la *dépense effective* en litres et par seconde sexagésimale, telle qu'elle résulte de l'observation directe;

$a$  l'aire des sections transversales de la veine qui coule dans les canaux;

$s$  la distance de l'orifice aux points où l'on a pris ces sections;

$v = \frac{E}{a}$  la vitesse moyenne de l'écoulement dans ces sections.

Dans le tableau n° XVIII, relatif à l'effet des remous sur la dépense de l'orifice de 0<sup>m</sup>,05 de hauteur, prolongé au dehors du réservoir par un canal horizontal, on a de plus exprimé par :

$m$  le coefficient de la formule  $D'$  pour le cas où l'orifice est en mince paroi;

$p$  la distance entre le fond du canal et l'arête supérieure de la planche qui le barre pour produire des remous;

$C$  la charge sur le sommet de l'orifice mesurée, dans le réservoir, à 3<sup>m</sup>,50 en amont de cet orifice;

$c$  la même charge prise dans le canal en aval de l'orifice, au point le plus haut des remous;

$c'$  la même charge prise dans le canal immédiatement contre l'orifice;

$A$  l'aire de la section de l'eau dans le canal, au point le plus haut des remous;

$A'$  l'aire de la même section prise immédiatement en aval de l'orifice;

$T = h\sqrt{2g(C-c)}$  la dépense théorique en admettant, d'après Dubuat, que la vitesse moyenne de sortie de l'eau est due à la différence entre la charge d'amont et la charge d'aval, mesurée au point le plus haut des remous :

$T' = h\sqrt{2g(C-c')}$  la même dépense en supposant qu'on retranche de la charge d'amont la charge d'aval prise immédiatement contre l'orifice :

$t = A\sqrt{\frac{2g(C-c)}{1 + \left(\frac{A}{a} - 1\right)^2}}$  la même dépense évaluée par la formule que M. Poncelet a établie en se basant sur le principe des forces vives :

$t' = A\sqrt{\frac{2g(C-c')}{1 + \left(\frac{A}{a} - 1\right)^2}}$  la même dépense calculée par la même formule, en substituant à la charge et à l'aire de la section au point le plus haut des remous, la charge et l'aire de la section prises immédiatement en aval de l'orifice.

Dans le tableau n° XXIII, qui concerne un déversoir formé en barrant un canal sur toute sa largeur, on a de plus représenté par :

$v' = 1,25 v$  la vitesse à la surface du courant dans le canal, au point où commence l'inflexion vers le déversoir, en admettant que cette vitesse soit de  $\frac{1}{4}$  plus forte que la vitesse moyenne :

$h_1 = h + \frac{v'^2}{2g}$  la charge entière sur la base du déversoir, obtenue en ajoutant à la charge  $h$ , mesurée au point où commence l'inflexion de la surface du liquide, la hauteur due à la vitesse moyenne  $v$  de l'écoulement en ce point :

$h'_1 = h + \frac{v'^2}{2g}$  la même charge, en substituant à la vitesse moyenne la vitesse à la surface du courant :

$d_1$  la dépense théorique calculée par la formule simplifiée  $h_1\sqrt{2gh_1}$ , d'après laquelle on tient compte de la vitesse acquise par l'eau au point où sa surface commence à s'infléchir vers le déversoir, comme l'indique Dubuat :

$d'_1 = h'_1\sqrt{2gh'_1}$  la même dépense en remplaçant la vitesse moyenne par la vitesse à la surface du courant.

Enfin, dans le tableau n° XXIV, relatif à des déversoirs incomplets ou en partie noyés, on a continué à appeler  $l$  la largeur des orifices et  $h$  la charge totale sur la base mesurée, dans le réservoir, à 3<sup>m</sup>,50 en amont comme pour les déversoirs complets, et l'on a en outre désigné par

$n$  la hauteur de la portion noyée de la veine fluide qui sort par le deversoir, mesurée au point le plus bas de la chute, c'est-à-dire au point de rencontre des remous et de la courbe d'intersection de la surface supérieure de cette veine par un plan vertical passant par l'axe du deversoir;

$h-n$  la hauteur totale de la portion de la veine fluide qui n'est pas noyée, ou la distance verticale comprise entre le niveau général de l'eau dans le réservoir et le point le plus bas de la chute.

$V_1 = \sqrt{2g(h-n)}$  la vitesse théorique due à  $h-n$ .

$D_1 = h\sqrt{2g(h-n)}$  la dépense théorique relative à la vitesse  $V_1$ .

---

#### OBSERVATION PARTICULIÈRE.

Tous les résultats des calculs se rapportent à la seconde sexagésimale prise pour unité de temps.



## DISPOSITIFS DES ORIFICES D'ÉCOULEMENT.

CARRÉS des orifices.	DISTANCES			PLANCHES ET FIGURES sur lesquelles sont représentés les dispositifs.				OBSERVATIONS
	de la base des orifices au fond du réservoir.	de bord vertical de gauche à la base gauche du réservoir.	de bord vertical de droite à la base droite du réservoir.	longue l'axe de la vanne librement des l'air.	longue l'axe et prise au dehors du réservoir par sa vanne			
					horizontal et de 2 mètres de longueur.	vertical à 1 10 et de 2 <sup>m</sup> ,50 de longueur.	de descente longueur et horizontal.	
				Planche 1.	Planche 2.	Planche 2.	Planche 3.	
	0,50	1,75	1,75	Fig. 1.	Fig. 15.	—	—	<p>Le plancher et les faces latérales du réservoir, qu'on suppose à rebords des bords des orifices, ont respectivement 2<sup>m</sup>,50 et 1<sup>m</sup>,50 de longueur dans tous les dispositifs, et sont adaptés dans ceux des figures 15, 16 et 17, où cette longueur est réduite à 0<sup>m</sup>,255. Ces faces sont toujours verticales et terminées carrément à l'extrémité du réservoir, sauf dans le dispositif de la figure 14, où elles sont arrondies.</p> <p>Dans les dispositifs des figures 11, 12 et 23, les parois latérales du réservoir forment un angle de 85° avec le plan vertical qui contient les orifices, au lieu de lui être perpendiculaires comme dans tous les autres dispositifs sans exception.</p> <p>Les figures A, B, C et D de la planche 3, se rapportent à des orifices pris dans une vanne de 0<sup>m</sup>,50 d'épaisseur et commandés dans quatre cas distincts : dans le premier, ces orifices se sont pas limités par une vanne à leur partie supérieure; et, dans les trois suivants, en leur a adapté successivement une vanne, des feuilles et un œuf pour recevoir cette vanne.</p>
	0,50	0,50	1,75	Fig. 2.	—	—	—	
	0,50	0,50	0,50	Fig. 3.	—	—	—	
	0,00	1,75	1,75	Fig. 4.	Fig. 16.	Fig. 23.	—	
	0,00	0,50	1,75	—	Fig. 17.	—	—	
	0,00	0,02	1,75	Fig. 5.	Fig. 18.	Fig. 24.	—	
	0,00	0,02	0,02	Fig. 6 et 11.	Fig. 19 et 22.	Fig. 25.	Fig. 27.	
	0,00	0,00	0,00	Fig. 7, 13 et 14.	—	—	—	
	0,50	0,02	1,75	Fig. 8.	Fig. 20.	—	—	
	0,50	0,02	0,02	Fig. 9 et 12.	Fig. 21.	Fig. 26.	—	
	0,50	0,00	0,00	Fig. 10 et 13.	—	—	—	
	0,02	0,50	1,83	Fig. 1.	—	—	—	
	0,50	1,50	1,50	Fig. 1.	—	—	—	
	0,50	1,50	1,50	Planche 3. — Fig. A, B, C et D.	—	—	—	

Orifice de 0<sup>m</sup>,20 de hauteur et 0<sup>m</sup>,20 d

DATES	NUMÉROS	LA HAUTEUR DU NIVEAU DE L'EAU DAN:						
		à 2 <sup>m</sup> ,50 EN AVAL DE L'ORIFICE.						
		CHARGE ou la partie de l'orifice. ou valeur de H.	VALEURS		DÉBITES		VALEUR	
			de rapport $\frac{H}{1-V} = \frac{H}{a}$	de la vitesse due à D. ou de Y.	théorique par secondes. ou valeur de D.	effective par secondes. ou valeur de B.	de coefficient de D. ou de rapport $\frac{B}{D}$ pour chaque expérience.	
<b>DISPOSITIF DE LA</b>								
14 novembre 1836.....	1	1,0798	8,40	5,7414	220,626	138,706	0,6042	0,6031
	2	1,8728	8,36	5,7288	220,143	137,928	0,6019	
	3	8,2110	4,56	4,2280	160,144	102,318	0,6009	
15 novembre 1836.....	4	0,4070	2,04	2,8275	113,160	68,095	0,6000	0,6013
	5	0,4070	2,04	2,8275	113,160	68,095	0,6001	
	6	0,4070	2,04	2,8275	113,160	68,095	0,6007	
	7	0,5355	1,87	5,2300	89,200	53,228	0,5983	0,5988
	8	0,5355	1,87	5,2300	89,200	53,228	0,5981	
	9	0,5355	1,87	5,2300	89,200	53,228	0,5987	
14 novembre 1836.....	10	0,1210	0,81	1,5407	61,658	35,363	0,5744	0,5746
	11	0,1210	0,81	1,5407	61,658	35,363	0,5787	
<b>DISPOSITIF DE LA</b>								
11 novembre 1836.....	12	1,7261	8,88	5,0985	236,112	141,992	0,6014	0,6029
	13	1,7581	8,79	5,8728	236,912	141,950	0,6043	
	14	1,6674	8,34	5,7195	228,772	138,589	0,6044	0,6034
12 novembre 1836.....	15	1,6654	8,33	5,7151	228,604	137,669	0,6023	
	16	1,6661	8,33	5,7171	228,684	138,604	0,6033	0,6035
11 novembre 1836.....	17	0,9261	4,68	4,5623	170,102	103,413	0,6067	0,6065
	18	0,9261	4,68	4,5623	170,102	103,413	0,6062	
	19	0,4201	2,13	2,8913	115,632	69,610	0,5922	0,6030
	20	0,4201	2,13	2,8913	115,632	69,610	0,6037	
	21	0,4201	2,13	2,8913	115,632	69,610	0,5922	
13 novembre 1836.....	22	0,2511	1,38	2,2195	84,740	53,658	0,5943	0,5960
	23	0,2511	1,38	2,2195	84,740	53,658	0,5970	
	24	0,2511	1,38	2,2195	84,740	53,658	0,5943	
	25	0,2511	1,38	2,2195	84,740	53,658	0,5970	
	26	0,1231	0,82	1,9548	62,160	35,798	0,5746	0,5743
	27	0,1231	0,82	1,9548	62,160	35,798	0,5746	
	28	0,1231	0,82	1,9548	62,160	35,798	0,5746	0,5743
	29	0,1231	0,82	1,9548	62,160	35,798	0,5746	0,5743

V L

largeur, débouchant librement dans l'air.

LE RÉSERVOIR ÉTANT MESURÉE						OBSERVATIONS PARTICULIÈRES.
À 0 <sup>m</sup> ,02 EN AMONT DE L'ÉCHIFFRE.						
ÉTAT	PENTE		SÉRIE	VITESSE		
	de	de		de coefficient de D.	de	
le centre	de	la vitesse	théorique	de support		
de	support	donc à H.	par	ou de support		
l'écoulement			secondaire.			
ou	$\frac{H}{L}$	$\frac{H}{L}$	ou	pour	ou	
de H.	$\frac{H}{L}$	$\frac{H}{L}$	de V.	chaque	chaque	
			valeur de D.	expérience.	charge.	

FIGURE 2. PLANCHE I.

mètres.	mètres.	mètres.	litres.		
1,8703	8,40	5,7397	220,568	0,6011	
1,8728	8,36	5,7272	220,112	0,6020	0,6022
0,9109	4,35	4,2273	109,018	0,6031	0,6031
0,4084	2,04	2,8307	113,228	0,6002	
				0,6014	0,6008
				0,5980	
0,2524	1,26	2,2224	89,006	0,5964	0,5975
				0,5980	
0,1171	0,59	1,0157	66,628	0,5839	
				0,5833	0,5851
				0,5622	

La veine à sa sortie de l'échiffre couvrait un peu, pour les fortes charges, vers la direction prolongée de la face du réservoir la plus rapprochée de cet échiffre.

FIGURE 3. PLANCHE I.

mètres.	mètres.	mètres.	litres.		
1,7331	8,88	5,9011	226,044	0,6015	0,6030
1,7371	8,79	5,8711	224,511	0,6044	
1,6664	8,33	5,7176	224,704	0,6046	
1,6644	8,29	5,7141	224,364	0,6024	0,6025
1,6651	8,23	5,7152	224,008	0,6037	0,6027
0,9250	4,63	4,2508	170,392	0,6071	0,6069
				0,6066	
0,6270	2,14	2,8943	115,773	0,6018	0,6021
				0,6026	
0,2523	1,26	2,2245	88,992	0,5929	0,5916
				0,5962	
				0,5812	
0,1190	0,60	1,0270	61,116	0,5857	0,5843
				0,5861	
				0,5843	

Les apparences de l'écoulement sont les mêmes que dans le cas des mètres percés.

On a fait l'expérience n° 16 sans régler le niveau de l'eau dans le réservoir, et l'on a pris, pour établir le calcul, une moyenne entre les charges au commencement et à la fin de l'écoulement, dont la durée a été de 97,3. Le résultat ainsi obtenu est le même qu'en opérant avec un niveau constant, ce dont on voulait s'assurer.

Orifice de 0<sup>m</sup>,20 de hauteur et 0<sup>m</sup>,20 d

DATE	N <sup>o</sup> DES OPÉRATIONS.	LA HAUTEUR DU NIVEAU DE L'EAU DAN					
		À 2 <sup>m</sup> ,50 EN AVAL DE L'ORIFICE.					
		MASSE DU COURANT DE L'EAU EN UN VOLUME DE H	VITESSE		DÉBIT		MARGE DU COEFFICIENT DE R OU DE RAPPORT $\frac{R}{\sqrt{H}}$
			DE SUPPORT EN UN VOLUME DE H	DE LA VITESSE DE V.	THÉORIQUE PAR SECONDE EN UN VOLUME DE D	EFFECTIVE PAR SECONDE EN UN VOLUME DE E	
<b>DISPOSITIF DE LA</b>							
		mètres.		mètres.	litres.	litres	
6 novembre 1829.....	27					117,662	0,613
	28	1,796	9,00	5,917	237,668	117,507	0,609
	29					117,621	0,611
2 octobre 1831.....	30	1,789	8,93	5,910	236,760	117,098	0,613
	31	1,760	8,80	5,875	235,100	116,318	0,623
26 octobre 1829.....	32					113,321	0,625
	33	1,701	8,54	5,786	231,244	111,320	0,633
	34	1,690	8,49	5,775	230,880	113,190	0,634
1 <sup>er</sup> octobre 1831.....	35	1,699	8,45	5,760	230,720	113,561	0,635
	36	1,690	8,45	5,759	230,316	113,045	0,637
26 octobre 1829.....	37					132,492	0,639
	38	1,430	7,15	5,267	211,868	132,123	0,650
	39					130,225	0,652
2 octobre 1831.....	40	1,382	6,91	5,207	208,288	130,391	0,656
	41					130,096	0,658
23 octobre 1829.....	42					129,317	0,657
	43	1,321	6,71	5,132	205,218	129,348	0,658
3 novembre 1829.....	44 (a)					181,561	0,656
	45	1,273	6,37	4,990	199,920	154,828	0,664
3 octobre 1831.....	46					122,555	0,652
	47	1,232	6,11	4,906	196,344	122,350	0,657
	48					117,577	0,656
21 novembre 1829.....	49	1,123	5,63	4,706	186,024	117,130	0,650
	50					117,370	0,652
3 novembre 1829.....	(a) 51 bis.	1,273	6,37	4,990	199,920	150,454	0,662
						150,750	0,662
						150,783	0,662

largeur, débouchant librement dans l'air.

LE RÉSERVOIR ÉTANT MESURÉE						OBSERVATIONS PARTICULIÈRES.
à 0 <sup>m</sup> ,02 au-dessus de l'orifice.						
LARGEUR en le centre de l'orifice, ou valeur de $\frac{H}{2}$	HAUTEUR		PÉRIODE théorique par secondes, ou valeur de D.	VITESSE		
	de support	de la vitesse des n. n. ou de V.		de coefficient de D. $\frac{v}{\sqrt{H}}$ ou de rapport $\frac{v}{\sqrt{H}}$	pour charge expériment.	
1,7994	9,00	5,0413	337,602	0,6213 0,6210 0,6212	0,6212	<p>En 1829, on a rempli le réservoir dans le bassin en charge dans le cas n° 30 du mémoire publié en 1832, tandis qu'en 1831 on s'est servi de celui en suspension, qu'on a rempli en 1830 pour remplacer le premier. Les résultats obtenus dans l'un et l'autre cas s'accordent bien.</p>
1,7657	8,00	5,0187	336,745	0,6213	0,6213	
1,7407	8,00	5,8771	335,084	0,6204	0,6204	
1,7078	8,54	5,2881	331,021	0,6231 0,6233	0,6234	
1,6978	8,10	5,7712	336,848	0,6234	0,6236	
1,6957	8,48	5,7076	336,704	0,6236		
1,6898	8,45	5,7376	330,304	0,6237	0,6250	
1,6278	7,15	5,2961	311,844	0,6250 0,6250		
1,3810	6,91	5,2866	306,304	0,6253 0,6257	0,6252	
1,3418	0,71	5,1306	305,224	0,6253 0,6259	0,6251	
1,2730	6,37	4,9073	199,892	0,6246 0,6243	0,6246	
1,2375	0,16	4,9078	106,312	0,6243 0,6243	0,6243	
1,1250	5,63	4,6998	187,092	0,6239 0,6231 0,6243	0,6231	
1,2730	0,37	4,9073	199,892	0,6236 0,6243 0,6242	0,6237	

FIGURE 4, PLANCHE 1.



N. 1.

largeur, débouchant librement dans l'air.

LE RÉSERVOIR ÉTANT MESURÉE						OBSERVATIONS PARTICULIÈRES.
à 0 <sup>m</sup> .02 au dessus de l'ouverture.						
hauteur de l'écoulement au niveau de H.	rapport		vitesse théorique par secondes, ou valeur de D	vitesse		
	de la vitesse due à H.	de la vitesse due à V.		de coefficient de D $\frac{C}{D}$ ou de rapport $\frac{C}{V}$	pour chaque expérience	
1,1186	5,50	4,0816	187,384	0,6235 0,6264 0,6264	0,6261	
0,7099	4,00	2,9615	158,450	0,6252 0,6254 0,6253 0,6253	0,6251	
0,7555	3,77	2,8445	153,784	0,6258 0,6258	0,6259	
0,5895	2,61	2,8100	119,412	0,6229 0,6229 0,6228	0,6228	
0,3953	1,78	2,7847	111,388	0,6226 0,6232	0,6229	
0,5822	1,41	2,3029	94,116	0,6122 0,6220	0,6221	
0,3012	1,41	1,9972	79,488	0,6107 0,6166 0,6178	0,6177	
0,1652	0,43	1,8002	72,008	0,6169 0,6166 0,6166	0,6163	
0,1088	0,54	1,4596	58,384	0,6281 0,6274 0,6285	0,6280	
0,1070	0,54	1,4549	58,196	0,6295 0,6284 0,6283	0,6287	

Pour les six dernières expériences, le cours ne remplît pas exactement les angles supérieurs de l'écoulement.

Orifice de 0<sup>m</sup>,20 de hauteur et 0<sup>m</sup>,20 d

DATES	NUMÉROS	LA HAUTEUR DU NIVEAU DE L'EAU DANS						
		1 3 <sup>m</sup> ,50 EN AMONT DE L'ORIFICE.						
		VALSEUR		DÉPENS		VITESSE		
de	de	de	de	de	de	de	de	
pression.	expérience	le centre de l'orifice, ou valeur de $\frac{H}{\sin^2 \alpha}$	le rapport $\frac{H}{\sin^2 \alpha}$	le viscosité due à $\frac{H}{\sin^2 \alpha}$	théorique par seconde, ou valeur de $\frac{H}{\sin^2 \alpha}$	effective par seconde, ou valeur de $\frac{H}{\sin^2 \alpha}$	de coefficient de D., ou de rapport $\frac{H}{\sin^2 \alpha}$	pour chaque expérience.
<b>DISPOSITIF DE LA</b>								
20 septembre 1831	79					143,909	0,6380	
	80	1,5653	8,05	5,0118	231,172	142,767	0,6360	0,6378
	81					106,653	0,6378	
	82	0,8915	3,45	4,1810	167,276	106,326	0,6356	0,6364
	83					66,120	0,6340	
	84	0,3165	1,75	3,6073	101,292	66,158	0,6314	0,6311
20 septembre 1831	85					66,113	0,6339	
	86					56,604	0,6284	
	87	0,3066	1,60	3,0133	80,332	56,385	0,6281	0,6281
	88					56,370	0,6281	
<b>DISPOSITIF DE LA</b>								
10 août 1831	89					156,475	0,6607	
	90	1,7864	8,05	5,0205	236,830	156,500	0,6608	0,6606
9 août 1831	91					156,338	0,6603	
	92					131,681	0,6605	
	93	1,6835	8,12	5,7886	229,941	131,039	0,6606	0,6606
	94					151,614	0,6604	
11 août 1831	95					132,086	0,6633	
	96	1,2808	8,40	3,0125	300,300	133,184	0,6643	0,6633
	97					152,764	0,6622	
	98					106,015	0,6655	
	99	0,8078	4,01	3,9810	150,210	103,047	0,6653	0,6657
	100					106,036	0,6659	
12 août 1831	101					78,796	0,6718	
	102	0,4156	3,08	3,8566	114,218	70,731	0,6710	0,6710
	103					76,713	0,6713	
	104					76,950	0,6713	
28 octobre 1831	105	0,4100	3,05	3,8390	113,575	76,305	0,6718	0,6717



largeur, débouchant librement dans l'air.

LE RÉSERVOIR ÉTANT MESURÉE						OBSERVATIONS PARTICULIÈRES.
à 0 <sup>m</sup> .02 EN AMONT DE L'ÉCHIFFEL.						
VITESSE ou le nombre de Touffes, ou celles de D.	VALEURS		VITESSE théorique par seconde, ou valeur de D.	VALEURS		
	de rapport $\frac{H}{h}$	de la vitesse due à H. ou de V.		de coefficient de D. ou de rapport $\frac{H}{h}$	pour chaque expérience.	

FIGURE 5, PLANCHE I.

metres.	metres.	metres.	metres.			
1,669	8,03	5,511	221,444	0,6341 0,6361	0,6371	La surface de l'eau, dans le réservoir, s'éleva plus haut de côté de la face la plus rapprochée de l'échiffel que de côté opposé, et la veine, à sa sortie, converge plus ou moins vers la direction prolongée de cette face, selon que la charge est plus ou moins forte.
0,999	4,45	4,1783	107,128	0,6363 0,6356	0,6370	
0,3430	1,78	2,5040	100,760	0,6372 0,6376 0,6371	0,6373	
0,3018	1,61	1,9875	70,800	0,6365 0,6363 0,6362	0,6363	

FIGURE 6, PLANCHE I.

metres.	metres.	metres.	metres.			
1,7713	8,89	5,968	236,109	0,6625 0,6626 0,6619	0,6625	Les remous en amont de l'échiffel, la chute à l'entrée de l'échiffel réservoir qui se précède immédiatement, et la contraction de la veine en ce point, deviennent de plus en plus sensibles à mesure que la charge diminue.
1,6732	8,38	5,7327	220,306	0,6623 0,6626 0,6622	0,6623	
1,2709	6,55	4,932	199,794	0,6658 0,6668 0,6647	0,6656	
0,7951	3,98	3,9104	157,976	0,6711 0,6707 0,6712	0,6710	
0,6023	3,01	3,0093	112,372	0,6827 0,6827 0,6827	0,6827	
0,3974	1,90	2,7021	111,664	0,6828 0,6832	0,6830	

Orifice de 0<sup>m</sup>,20 de hauteur et 0<sup>m</sup>,20 d

DATE	NOMEROS	LA HAUTEUR DU NIVEAU DE L'EAU DANS							
		A 3 <sup>m</sup> ,00 EN AVANT DE L'ORIFICE.							
		mesure sur le centre de l'orifice, ou valeur de H.	VITESSE		DÉPENSE		VITESSE		de rapport de D. ou de rapport $\frac{H}{L}$
			de rapport de V.	de la même de V.	théorique par secondes, ou valeur de D.	réelle par secondes, ou valeur de V.	pour chaque expérience.	supposée pour chaque chaque	
Suite du DISPOSITIF DE LA									
12 août 1831	106	mesure		mesure	mesure	mesure	00,613	0,6600	0,6796
	107	0,2031	1,37	2,2283	89,123	00,541	0,8792		
20 août 1831	108					37,400	0,6684	0,6885	
	109					37,400	0,6686		
	110	0,2214	1,11	2,0643	83,373	37,268	0,6684		
	111					37,400	0,6686		
	112					37,430	0,6689		
12 août 1831	113					37,263	0,6688	0,7062	
	114					37,176	0,7065		
	115					37,197	0,7058		
	116					37,136	0,7050		
50 août 1831	117	0,2092	1,05	3,0290	81,040	37,354	0,7065	0,7062	
	118					37,373	0,7079		
50 août 1831	119					37,144	0,7051	0,7053	
	120					37,611	0,7084		
	121 (a)					37,160	0,7053		
DISPOSITIF DE L'									
5 novembre 1831	122					157,614	0,6666	0,6700	
	123	1,7704	8,85	5,6953	230,722	158,322	0,6719		
	124	1,6629	8,31	5,7116	226,464	158,168	0,6705		
	125	1,6041	7,80	5,3168	200,952	141,650	0,6717		
	126					161,584	0,6714		
	127					118,118	0,6760		
	128	0,8654	1,43	4,1677	166,708	112,783	0,6752		
129					112,722	0,6762			
8 août 1831	(a) 121 bis	0,2075	1,04	3,0176	80,704	45,173	0,6597	0,6605	
						45,332	0,6617		
						45,213	0,6602		

largeur, débouchant librement dans l'air.

LE RÉSERVOIR ÉTANT MESURÉE						OBSERVATIONS PARTICULIÈRES.
à 0 <sup>m</sup> ,02 au ANOUD DE L'ÉPIQUE.						
CHARGE ou le centre de l'écoulement en valeur de H.	VARIÉS		SÉRIENNE théorique par seconde, ou valeur de D	VARIÉS de coefficient de D, ou de rapport $\frac{H}{D}$		
	de rapport	de la vitesse due à H.		ou pour chaque expérience.	ou pour chaque charge.	
	de	de				
	de	de				

FIGURE 6. PLANCHE I.

CHARGE	de rapport	de la vitesse due à H.	SÉRIENNE théorique par seconde, ou valeur de D	de coefficient de D, ou de rapport $\frac{H}{D}$
0,3382	1,19	2,1617	66,265	0,7010 0,7006
0,1902	0,95	1,8317	77,566	0,7129 0,7128 0,7129 0,7133 0,7121
0,1729	0,86	1,8118	73,672	0,7761 0,7764 0,7750 0,7772 0,7787 0,7757 0,7793 0,7750

Pour les expériences n<sup>os</sup> 108, 109, 114 et 115, le barrage décrit en n<sup>o</sup> 41 de texte demandant jusqu'à 0<sup>m</sup>,05 au-dessus du bord supérieur de l'écoulement, tandis qu'il était entièrement supprimé pour toutes les autres expériences.

La charge 0<sup>m</sup>,3092 est se rapprochée de celle qui correspond à l'écoulement de la formation du déversoir que, pour peu que le niveau baisse, la surface du liquide se détache brusquement du bord supérieur de l'écoulement, et descend tout à coup d'une quantité notable. Si, au contraire, ce niveau s'élève un tant soit peu, il se forme instantanément un jet renversé contre l'écoulement, dans l'intérieur du réservoir.

FIGURE 7. PLANCHE I.

CHARGE	de rapport	de la vitesse due à H.	SÉRIENNE théorique par seconde, ou valeur de D	de coefficient de D, ou de rapport $\frac{H}{D}$
1,7680	8,84	5,6803	235,572	0,6090 0,6717
1,6600	8,30	5,7060	228,304	0,6711 0,6706 0,6702
1,3965	6,98	5,2312	209,348	0,6832 0,6809 0,6800
0,5733	4,37	4,1390	160,540	0,5075 0,5096 0,5060

Pour l'expérience 121 bis, on a prolongé l'écoulement au delà du réservoir par un canal horizontal de 5 mètres de longueur, afin de constater directement l'influence de ce canal sur la dépense, et de relever les expériences de 1831 avec celles de 1858 (fig. 16, expériences 1142 et suiv.). Les résultats obtenus à ces deux époques s'accordent bien (voy. le tableau n<sup>o</sup> XXXIV).

Orifice de 0<sup>m</sup>,20 de hauteur et 0<sup>m</sup>,20 d

DATE	NOMBRE	LA HAUTEUR DU NIVEAU DE L'EAU DANS							
		À 3 <sup>m</sup> ,50 DE MONT DE L'ORIFICE.							
		CRAND ou le centre de l'orifice ou valeur de H.	VALEURS		ADVERSE		VALEUR de coefficient de D. ou du rapport $\frac{H}{D}$		
			de rapport	de la vitesse due à H.	abstrait par seconde.	effective par seconde.			
EXPÉRIENCES	EXPÉRIENCES	ou $\frac{H}{1-0.0001 H^2}$	ou de V.	ou valeur de D.	ou valeur de E.	pour chaque expérience.	ou pour chaque abscisse.		
Suite du DISPOSITIF DE L.									
4 novembre 1831	130	0,3714	1,86	2,6905	101,073	73,641	0,6013	0,6498	
	131					73,312	0,6543		
	132					66,079	0,6063		
	133	0,2919	1,43	2,3723	94,980	65,677	0,6021		0,6037
	134					65,738	0,6020		
DISPOSITIF DE L.									
1 <sup>er</sup> novembre 1831	135	1,6717	8,26	5,7267	229,068	130,044	0,6109	0,6104	
	136	1,6618	8,31	5,7097	228,368	129,437	0,6106		
5 novembre 1831	137	0,9228	4,61	4,2544	170,192	103,953	0,6106	0,6113	
	138	0,9161	4,58	4,2363	169,573	103,731	0,6117		
3 novembre 1831	139	0,3206	2,23	2,0733	116,932	73,635	0,6107	0,6091	
	140					73,245	0,6074		
	141	0,3026	1,96	2,2261	89,043	53,847	0,6048		
2 novembre 1831	142					53,580	0,6019	0,6034	
	143					36,721	0,5845		
	144	0,1341	0,62	1,3600	62,100	36,712	0,5843		0,5856
145						36,743	0,5848		
DISPOSITIF DE L.									
15 novembre 1831	146	1,7737	6,67	5,9088	235,952	148,067	0,6275	0,6260	
	147					147,772	0,6263		
27 novembre 1831	148	0,9062	4,53	4,2163	168,652	105,025	0,6291	0,6284	
	149					104,611	0,6286		
15 novembre 1831	150	0,6065	2,04	2,3321	113,361	71,686	0,6328	0,6316	
	151					71,671	0,6309		

largeur, débouchant librement dans l'air.

LE RÉSERVOIR ÉTANT MESURÉE						OBSERVATIONS PARTICULIÈRES.
à 0 <sup>m</sup> ,02 au dessus de l'orifice						
charge en mètres de l'orifice, ou de H.	HAUTEUR		étendue chaque par mètre, ou valeur de D.	TALUS		
	de rapport H à V.	de la vitesse des H. ou de V.		de coefficient de D. ou de rapport $\frac{H}{V}$	pour chaque expérience.	

FIGURE 7. PLANCHE I.

charge	de rapport H à V.	de la vitesse des H. ou de V.	étendue chaque par mètre, ou valeur de D.	de coefficient de D. ou de rapport $\frac{H}{V}$	pour chaque expérience.	pour chaque charge.
0,3000	1,50	2,6575	106,300	0,7022 0,6991	0,7007	<p>Pour les hautes charges, il se forme de très-forts bouillonnements immédiatement en amont de l'orifice.</p> <p>Pour les expériences 132, 133 et 154, le bord supérieur de l'orifice est par moments découvert, au sorte qu'il ne se rapportent exactement ni aux ordres fermes par le haut ni aux décimètres.</p>
0,2540	1,20	2,3458	89,992	0,7343 0,7306 0,7307	0,7316	

FIGURE 8. PLANCHE I.

charge	de rapport H à V.	de la vitesse des H. ou de V.	étendue chaque par mètre, ou valeur de D.	de coefficient de D. ou de rapport $\frac{H}{V}$	pour chaque expérience.	pour chaque charge.
1,6747	8,37	5,7319	329,276	0,6104	0,6103	<p>Le surface de l'eau, dans le réservoir, s'élève plus haut du côté de la face la plus rapprochée de l'orifice que du côté opposé, et le vases, à sa sortie, converge plus ou moins vers la direction perpendiculaire de cette face, selon que la charge est plus ou moins forte.</p> <p>Il y a eu quelque incertitude dans l'évaluation de la durée de l'écoulement pour la 125<sup>e</sup> expérience; et, pour la 141<sup>e</sup>, le coefficient d'adhérence de l'eau dans le jauge a été variée un peu avant le signal.</p>
1,6648	8,20	5,7148	326,592	0,6101		
0,9260	3,63	4,2621	170,484	0,6098	0,6103	
0,9193	3,60	4,2567	169,868	0,6107		
0,4510	2,26	3,9745	118,980	0,6105 0,6072	0,6080	
0,3530	1,27	3,2278	89,112	0,6043 0,6014	0,6029	
0,1150	0,58	1,5020	60,080	0,6112 0,6111 0,6116	0,6112	

FIGURE 9. PLANCHE I.

charge	de rapport H à V.	de la vitesse des H. ou de V.	étendue chaque par mètre, ou valeur de D.	de coefficient de D. ou de rapport $\frac{H}{V}$	pour chaque expérience.	pour chaque charge.
1,7701	8,85	6,8928	330,712	0,6282 0,6269	0,6276	
0,9000	4,50	4,3994	168,096	0,6301 0,6307	0,6304	
0,4600	2,02	3,8117	112,468	0,6374 0,6355	0,6365	

Orifice de 0<sup>m</sup>,20 de hauteur et 0<sup>m</sup>,20 d

DATE	N <sup>OS</sup> DES EXPÉRIENCES.	LA HAUTEUR DU NIVEAU DE L'EAU DANS LE TUBES AU DEBUT DE L'ORIFICE.						
		COLONNE sur le centre de l'orifice. ou valeur de H.	VALLEES		DEFILES		VALLEY de coefficient de D. ou de rapport $\frac{H}{D}$	
			de la vitesse de rapport $\frac{H}{V}$	de la vitesse de rapport $\frac{H}{V}$	théorique par secondes. ou valeur de D.	effective par secondes. ou valeur de E.		
Suite du DISPOSITIF DE L.								
		152						
10 novembre 1851		153	0,3177	1,75	56,118	104,472	65,947	0,6312
		154					66,757	0,6294
		155	0,1274	0,64	1,2811	63,214	66,130	0,6301
12 novembre 1851		156					39,893	0,6307
		157	0,1273	0,64	1,2803	63,212	39,773	0,6292
26 novembre 1851		158					30,557	0,6307
13 novembre 1851		159	0,1174	0,54	1,3176	66,704	36,239	0,6299
DISPOSITIF DE L.								
		160	1,8891	8,15	6,6535	226,129	144,133	0,6374
6 novembre 1854		161	1,6636	8,13	6,6472	225,858	143,923	0,6371
		162	0,9948	4,62	4,3565	170,372	106,573	0,6379
		163					106,854	0,6369
		164					71,138	0,6403
9 novembre 1854		165	0,3631	1,97	2,7771	111,044	70,921	0,6384
		166					71,035	0,6395
		167					36,232	0,6424
8 novembre 1854		168	0,2641	1,22	2,1885	87,532	36,291	0,6423
		169					36,369	0,6410
		170	0,1641	0,62	1,7942	71,768	46,127	0,6409
7 novembre 1854		171					46,448	0,6472
DISPOSITIF DE L.								
		172	1,7222	8,81	5,8125	222,500	146,400	0,6409
		173	1,7187	8,80	5,7951	221,724	146,435	0,6408
7 novembre 1851		174	1,7001	8,50	5,7781	221,004	146,040	0,6409
		175					123,184	0,6416
		176	1,1744	6,87	4,8000	192,000	123,280	0,6420

N. 1.

largeur, débouchant librement dans l'air.

LE RÉSERVOIR ÉTANT MESURÉE					
à 0°,02 au ARRET DE L'ÉCOULEMENT.					
LARGEUR en la partie de Coulée, ou vitesse de R.	PÉRIODE		ESPESSE statistique par seconde, ou vitesse de D.	PÉRIODE	
	de support	de la vitesse due à R., ou de V.		de coefficient de D. ou de support $\frac{R}{D}$	pour chaque expérience.

OBSERVATIONS PARTICULIÈRES.

FIGURE 9, PLANCHE 1.

metres.		metres	metres		
0,3400	1,70	2,5830	103,303	0,6383 0,6365 0,6402	0,6383
0,1150	0,58	1,5090	60,050	0,6640 0,6637	0,6630
0,1140	0,56	1,5015	60,056	0,6622 0,6638	0,6630
"	"	"	"	"	"

Pour l'expérience n° 159, le bord supérieur de l'écoulement est découvert, ou non visible, sur une longueur de 0°,06, et se détache à la surface de la lame qui se met en, en ce point, d'environ 0°,02. Ainsi, cette expérience ne se rapporte exactement ni aux articles formés par le bord ni aux dérivées.

FIGURE 10, PLANCHE 1.

metres.		metres	metres		
1,6984	8,18	5,6521	228,053	0,6375	0,6373
1,6969	8,12	5,6450	225,850	0,6373	
0,9230	4,09	4,3584	170,250	0,6377 0,6396	0,6380
0,3090	1,94	2,3680	110,500	0,6437 0,6418 0,6459	0,6435
0,3002	1,80	2,1707	86,828	0,6476 0,6480 0,6492	0,6478 0,6473
4,1565	0,78	1,7022	70,068	0,6099 0,6037	0,6130

De chaque côté de l'écoulement, les filets jaillissent des angles se détachent de la masse de la veine et se rencontrent à environ 0°,10 en aval, ce qui donne lieu à un jet d'eau qui retombe en forme de pluie. Cet effet diminue avec les charges ; en même temps la veine s'allonge de plus en plus, et les filets portant des angles se détachent les uns par d'attacher aux joints latéraux, ou évasement à 45° de l'écoulement dans laquelle l'écoulement est encastré. Le jet d'eau disparaît lorsqu'on bouche les filets de la veine, mais la veine ne cesse pas de s'élargir comme on le verra plus tard.

La feuille de 0°,006 de largeur, dans laquelle glisse la veine de l'article, était bouchée pour l'expérience n° 169, tandis qu'elle était ouverte pour toutes les autres expériences, afin de reconnaître si elle avait quelque influence sur le débit.

FIGURE 11, PLANCHE 1.

metres.		metres	metres		
1,7192	8,00	5,9075	232,200	0,6406	
1,7077	8,04	5,7880	231,500	0,6413	0,6410
1,6971	8,40	5,7780	230,800	0,6416	
3,1725	5,85	4,7934	191,700	0,6422 0,6430	0,6425

Orifice de 0<sup>m</sup>,20 de hauteur et 0<sup>m</sup>,20 de

DATES	NUMÉROS	LA HAUTEUR DU NIVEAU DE L'EAU DANS							
		à 3 <sup>m</sup> ,00 EN AMONT DE L'ORIFICE.							
		COEFFICIENT de la section de l'orifice, ou valeur de D.	VITESSE		PESÉE		VOLUME		
des	des	de la section de l'orifice, ou valeur de D.	de rapport $\frac{H}{L}$ ou $\frac{H}{L'}$	de la vitesse due à H. ou de V.	théorique par secondes, ou valeur de D.	observée par secondes, ou valeur de D.	de coefficient de D. ou de rapport $\frac{H}{D}$ pour chaque expérience.		
Suite du DISPOSITIF DE LA									
7 novembre 1831.....	177								
	178	0,006	4,00	3,026	156,504	169,040	0,6638	0,6450	
	179								
	180	0,003	3,02	2,613	112,524	72,163	0,6462	0,6441	
8 novembre 1831.....	181								
	182	0,149	0,76	1,7064	68,376	43,643	0,6354	0,6361	
	183								
DISPOSITIF DE LA									
10 novembre 1831.....	184	1,5845	7,02	5,668	318,702	133,683	0,6111	0,6111	
	185	0,0085	4,34	4,216	166,364	103,436	0,6125	0,6118	
	186								
	187	0,0025	1,31	2,9700	90,800	54,997	0,6057	0,6053	
	188								
	190	0,1303	0,66	1,5375	81,560	54,919	0,6043	0,5896	
DISPOSITIF DE LA									
24 novembre 1831.....	191 <sup>1</sup>	1,7135	8,58	5,6012	332,046	148,922	0,6418	0,6411	
	192 <sup>1</sup>	1,7130	8,56	5,7008	331,812	148,417	0,6406		
	193 <sup>1</sup>								
	194 <sup>1</sup>	0,9055	4,53	4,3117	168,588	107,961	0,6003	0,6114	
20 novembre 1831.....	195 <sup>1</sup>								
	196 <sup>1</sup>	0,4135	2,07	2,5163	113,032	73,587	0,6433	0,6412	
	197 <sup>1</sup>								
21 novembre 1831.....	198 <sup>1</sup>	0,2135	1,27	2,3100	80,300	57,776	0,6176	0,6185	
	199 <sup>1</sup>								
	200 <sup>1</sup>	0,1543	0,77	1,7409	68,636	43,669	0,6358	0,6363	



largeur, débouchant librement dans l'air.

LE RÉSERVOIR ÉTANT MESURÉE

à 0<sup>m</sup>,02 au dessus de l'ouverture.

VITESSE en le centre de l'orifice, ou valeur de $\frac{v}{\sqrt{2gH}}$	VITESSES		VARIATION chronique par secondes, ou valeur de $\frac{dv}{dt}$	VARIATION de coefficient de D. ou de rapport $\frac{Q}{D^2}$	
	de rapport	de la vitesse des à H.		pour chaque supplément.	différence pour chaque changement.

OBSERVATIONS PARTICULIÈRES

FIGURE 11, PLANCHE I.

0,7669	3,08	3,9538	158,103	0,6452 0,6416	0,6410
0,3990	2,00	2,7978	111,912	0,6477 0,6475	0,6476
0,1437	0,72	1,6790	67,160	0,6469 0,6446 0,6472	0,6476

FIGURE 12, PLANCHE I.

1,3261	7,03	5,6716	218,664	0,6108	0,6108
0,9104	4,55	4,2940	100,040	0,6119 0,6100	0,6110
0,2629	1,31	2,2710	90,610	0,6054 0,6046	0,6050
0,1140	0,57	1,5014	60,056	0,6019 0,6057	0,6038

La veine a la même forme que dans le cas des minces parois.

FIGURE 13<sup>a</sup>, PLANCHE I.

1,7144	8,57	5,7993	231,972	0,6410	0,6420
1,7100	6,55	5,7034	221,736	0,6420	
0,9064	6,20	4,2028	168,112	0,6432 0,6443	0,6433
0,6089	2,04	2,8321	112,296	0,6469 0,6487	0,6476
0,2659	1,23	2,1965	87,860	0,6379 0,6593	0,6664
0,1176	0,59	1,5180	60,720	0,7521 0,7531	0,7526

La veine, à sa sortie de l'orifice, s'élargit d'autant plus dans le sens horizontal que les charges sont plus faibles; près les deux dernières, son élargissement est tel, qu'elle s'attache à la paroi supérieure de la face d'aval du réservoir.

À l'entrée de petit réservoir qui précède immédiatement l'orifice, la veine se contracte et se détache des parois latérales sur une certaine étendue. Le chute à cette entrée, les remous et les tourbillons circulaires près de l'orifice, deviennent de plus en plus sensibles à mesure que la charge diminue.



v l.  
largeur, débouchant librement dans l'air.

LE RÉSERVOIR ÉTANT MESURÉ						OBSERVATIONS PARTICULIÈRES.
à 0 <sup>m</sup> ,02 EN AVANT DE L'ORIFICE						
VITESSE en la somme de l'ordonnée ou valeur de H	VITESSES		ESPACES théoriques par secondes ou valeur de D	VITESSES		
	de rapport	de la vitesse due à H.		de coefficient de D ou de rapport $\frac{E}{D}$	pour charges supérieures	
	$\frac{H}{h-1}$	$\frac{H}{h}$				

FIGURE 13. PLANCHE 1.

mètres.		mètres.	litres.			
1,0704	8,38	5,7317	250,384	0,6511		0,6518
1,6631	8,32	5,7184	228,456	0,6541		
				0,6531		
0,9129	8,36	4,3210	169,276	0,6641		0,6616
				0,6691		
0,4328	2,16	2,9127	116,505	0,6340		0,6323
				0,6328		
0,3614	1,31	2,5668	90,584	0,7750		0,7739
				0,7736		
1,7329	8,06	5,8305	233,320	0,6409		0,6388
				0,6799		
				0,6782		
0,8963	4,48	4,1933	187,732	0,6828		0,6816
				0,6888		
0,4291	2,18	2,9127	116,505	0,6780		0,6767
				0,6753		
0,3643	1,32	2,2779	91,116	0,7105		0,7088
				0,7304		
0,3099	1,30	2,2828	90,496	0,7657		0,7657
				0,7657		

Le barrage en avant de réservoir décrit au n° 41 de test substitué pour ces neuf expériences.

Le barrage en avant de réservoir était entièrement aspergé pour la 200<sup>e</sup> expérience et pour toutes celles qui la suivent.  
A l'entrée de petit réservoir qui précède immédiatement l'orifice, la veine se contracte et se détache des parois latérales sur une certaine longueur. Le chute à cette entrée, les remous et les tourbillons circulaires près de l'orifice diminuent de plus en plus sensibles à mesure que la charge diminue.  
La veine, en sortant de l'orifice, est triangulaire à sa partie supérieure, et se va s'élargissant de plus en plus dans le sens horizontal.

FIGURE 14. PLANCHE 1.

mètres.		mètres.	litres.			
1,7087	8,80	5,8772	235,086	0,6967		0,6982
1,7587	8,75	5,8663	234,112	0,6996		
				0,7018		
0,9099	4,51	4,3056	188,354	0,7001		0,7007
				0,7107		
				0,7191		
0,4034	2,02	2,8121	112,504	0,7107		0,7069
				0,7187		
0,2973	1,40	2,4156	96,694	0,7206		0,7197
				0,7206		

Les appareils de l'écoulement ne diffèrent de celles qui se rapportent au diagramme de la figure 12, qu'en ce que la veine n'éprouve aucune contraction sensible à l'entrée de petit réservoir qui précède immédiatement l'orifice.

Orifice de 0<sup>m</sup>,10 de hauteur et 0<sup>m</sup>,20 de

DATES	NUMÉROS	LA HAUTEUR DU NIVEAU DE L'EAU DANS						
		À 3 <sup>m</sup> ,50 EN AVANT DE L'ORIFICE.						
		HAUTEUR en la partie de l'orifice, ou valeur de H.	VITESSE de la partie de rapport de $\frac{H}{D}$		DÉPENSE théorique par seconde, ou valeur de Q.		VITESSE de coefficient de D, ou de rapport $\frac{Q}{Q_0}$ pour chaque expérience.	
		metres.		metres	litres.	litres.		
8 octobre 1831.....	219 220	1,855	16,60	6,0305	120,706	77,345 77,310	0,6119 0,6117	0,6418
	221 222	1,762	17,68	5,8807	117,704	75,674 75,727	0,6126 0,6129	0,6427
10 novembre 1829.....	225 226	1,3222	15,22	5,5616	109,209	70,113 70,350	0,6153 0,6137	0,6416
12 octobre 1831.....	225 226	1,2790	15,80	5,6108	109,210	68,861 68,668	0,6155 0,6151	0,6133
10 novembre 1829.....	227 228	1,0101	10,10	4,5515	89,050	57,578 57,583	0,6167 0,6168	0,6465
	229 230 231	0,8229	8,53	4,0905	81,810	52,960 53,016 53,069	0,6171 0,6180 0,6189	0,6469
5 octobre 1831.....	232 233 234	0,8206	8,52	4,0893	81,786	53,066 53,083 53,094	0,6181 0,6178 0,6175	0,6481
	235 236 237	0,1856	1,85	3,0603	61,606	59,920 59,911 59,926	0,6180 0,6178 0,6181	0,6480
10 novembre 1829.....	238 239 240	0,1554	1,55	2,8890	59,780	56,750 56,736 56,706	0,6182 0,6180 0,6175	0,6479
5 octobre 1831.....	241 242 243	0,9054	9,05	5,6075	111,150	76,018 76,049 76,061	0,6180 0,6163 0,6175	0,6473

DISPOSITIF DE LA

N. H.

largeur, débouchant librement dans l'air.

LE RÉSERVOIR ÉTANT MESURÉ						OBSERVATIONS PARTICULIÈRES.
à 0 <sup>m</sup> 02 au dessus de l'ouverture.						
hauteur sur le centre de l'ouverture, ou valeur de H.	vitesse		vitesse chargee par vitesse. ou valeur de B.	vitesse		
	de support	de la même que à H.		de coefficient de D. $\frac{E}{D}$ ou de rapport $\frac{E}{D}$	pour charge supérieure	
	H	H				
	$\frac{H}{2}$	$\frac{H}{2}$	de V.			

FIGURE 4, PLANCHE 1.

hauteur.	largeur.	hauteur.	largeur.	vitesse.	vitesse.	Observations
1,6093	16,50	6,0993	120,786	0,6130 0,6117	0,6419	En 1825, on a reconstruit le déversoir dans le bassin en char- pente décrit au n° 36 du mémoire publié en 1825, tandis qu'en 1831 on s'est servi de celui en maçonnerie qu'on a construit en 1830 pour remplacer le premier. Les résultats obtenus dans l'un et l'autre ont s'accordent bien.
1,7679	17,65	5,8891	117,752	0,6125 0,6109	0,6427	
1,5218	15,22	5,5639	100,378	0,6153 0,6136	0,6441	
1,3795	13,80	5,3100	100,300	0,6155 0,6152	0,6454	
1,0096	10,10	4,1504	89,008	0,6169 0,6160	0,6469	
0,8034	8,32	4,0993	81,266	0,6157 0,6166 0,6175	0,6476	
0,6519	6,52	4,0461	81,702	0,6169 0,6180 0,6177	0,6483	
0,4830	4,83	3,0784	61,568	0,6185 0,6192 0,6195	0,6484	
0,3548	4,56	3,0671	50,712	0,6186 0,6194 0,6179	0,6485	
0,2045	2,05	3,0027	40,854	0,6195 0,6170 0,6191	0,6486	





Orifice de 0<sup>m</sup>,10 de hauteur et 0<sup>m</sup>,20 d

DATE	NIVEAU	LA HAUTEUR DU NIVEAU DE L'EAU DANS							
		1 2 <sup>m</sup> ,50 EN AVAL DE L'ORIFICE.							
		ÉTAT	VITESSE		DÉPENSE		VITESSE		
du	du	en	de	théorique	effective	de	de		
l'écoulement.	l'écoulement.	la section de l'écoulement en valeur de D.	la vitesse rapportée au $\frac{H}{2}$ de V.	la vitesse due à H.	par seconde, en valeur de D.	par seconde, en valeur de D.	de l'écoulement de D.	de l'écoulement de D.	
			$\frac{V}{\sqrt{H}}$	$\frac{V}{\sqrt{H}}$			pour chaque expérience.	pour chaque écoulement.	
<b>DISPOSITIF DE L/</b>									
		266	1,827	16,33	2,9961	110,922	86,270	0,6694	
		267	1,8316	16,32	2,9940	110,899	86,270	0,6695	0,6695
10 août 1831		268					87,026	0,6728	
		269					87,014	0,6727	
		270	1,2648	12,69	2,9512	99,684	87,010	0,6726	0,6726
		271					87,145	0,6740	
		272					87,843	0,6760	
13 août 1831		273	0,9366	9,37	2,8666	83,732	87,040	0,6762	0,6766
		274					87,079	0,6728	
		275					87,845	0,6763	
17 août 1831		276	0,6366	6,36	2,9283	76,566	87,289	0,6772	0,6772
		277					87,895	0,6768	
		278	0,6345	6,35	2,9281	76,562	87,711	0,6768	0,6770
		279					87,564	0,6763	
		280					87,738	0,6768	
		281					87,738	0,6768	
18 août 1831		282	0,2641	2,64	2,9705	65,550	86,990	0,6787	0,6802
		283					86,975	0,6802	
		284					87,063	0,6809	
		285					87,063	0,6809	
		286	0,1136	1,13	1,8642	29,794	90,288	0,6823	0,6826
		287					90,316	0,6834	
		288					90,316	0,6834	
		289					90,316	0,6834	
		290					90,316	0,6834	
		291	0,1052	1,05	1,8666	29,732	10,000	0,6926	0,6926
12 août 1831		292					10,694	0,6926	0,6926
		293					10,895	0,6921	
		294					10,901	0,6926	



V H.

largeur, débouchant librement dans l'air.

LE RÉSERVOIR ÉTANT MESURÉE						OBSERVATIONS PARTICULIÈRES.
à 0 <sup>m</sup> ,02 au-dessus de l'ouverture.						
hauteur au centre de l'orifice, en mètres de H.	Vitesse		vitesse théorique par secondes, en valeur de H.	vitesse de coefficient de D.		
	de la hauteur de la hauteur de V.	de la hauteur de H.		en de rapport $\frac{V}{V_0}$	pour chaque expérience.	
1,8295	18,39	5,0003	110,800	0,6700	0,6701	<p>Les mesures en amont de l'orifice, la chute à l'entrée de l'étrémité réservoir qui le précède immédiatement et la construction de la veine au sautoir, dérivement de plus en plus sensibles à mesure que la charge diminue.</p> <p>Pour les expériences 277, 278, 279 et 280, le barrage en avant du réservoir décrit au n° 41 de cette subdivision, mais il se descendait que jusqu'à la hauteur du bord supérieur de l'orifice, tandis qu'il était entièrement supprimé pour toutes les autres expériences.</p>
1,8283	18,38	5,0089	110,778	0,6702	0,6701	
				0,6730		
				0,6738	0,6741	
1,8605	12,61	4,6727	99,454	0,6738	0,6741	
				0,6730		
				0,6767		
0,8818	0,30	4,8750	85,510	0,6781	0,6784	
				0,6745		
0,6861	0,28	3,5103	70,306	0,6816	0,6813	
				0,6807		
				0,6823		
0,6880	0,28	3,5100	70,300	0,6795	0,6810	
				0,6818		
				0,6803		
				0,6915		
0,5261	0,06	2,3414	44,326	0,6908	0,6900	
				0,6910		
				0,6916		
				0,7587		
0,0911	0,01	1,3369	36,738	0,7588	0,7591	
				0,7598		
				0,7636		
0,0826	0,02	1,3714	35,434	0,7824	0,7820	
				0,7825		
				0,7826		

FIGURE 6. PLANCHE 1.

hauteur	hauteur	hauteur	hauteur	hauteur	hauteur
1,8295	18,39	5,0003	110,800	0,6700	0,6701
1,8283	18,38	5,0089	110,778	0,6702	0,6701
				0,6730	
				0,6738	0,6741
1,8605	12,61	4,6727	99,454	0,6738	0,6741
				0,6730	
				0,6767	
0,8818	0,30	4,8750	85,510	0,6781	0,6784
				0,6745	
0,6861	0,28	3,5103	70,306	0,6816	0,6813
				0,6807	
				0,6823	
0,6880	0,28	3,5100	70,300	0,6795	0,6810
				0,6818	
				0,6803	
				0,6915	
0,5261	0,06	2,3414	44,326	0,6908	0,6900
				0,6910	
				0,6916	
				0,7587	
0,0911	0,01	1,3369	36,738	0,7588	0,7591
				0,7598	
				0,7636	
0,0826	0,02	1,3714	35,434	0,7824	0,7820
				0,7825	
				0,7826	

Orifice de 0<sup>m</sup>,10 de hauteur et 0<sup>m</sup>,20 de

DATE	NOMBRES	LA HAUTEUR DU NIVEAU DE L'EAU DANS					
		à 3 <sup>m</sup> ,50 au AMONT DE L'ORIFICE.					
		TEMPS en la durée de l'écoulement en valeur de H	VALEURS de la vitesse due à H. en $\frac{H}{L}$ et $\frac{H}{S}$		DÉPENSE théorique par secondes, en valeur de D.		VALEUR du coefficient de D. ou de rapport $\frac{Q}{Q_0}$ pour chaque expérience.
		mètres.		secondes	litres	litres.	
13 août 1831.....	292 298 296	0,1045	1,05	1,4318	25,630	19,874	0,6040
	19,887					0,6043	
	19,858					0,6035	
20 août 1831.....	295 296					19,889	0,6045
						19,923	0,6067
DISPOSITIF DE LA							
5 novembre 1831.....	297 296	1,6314	18,31	5,9159	119,875	81,294 81,376	0,6781 0,6788
DISPOSITIF DE LA							
14 novembre 1831.....	299 300	1,5429	18,43	6,0158	130,206	75,658 75,006	0,6091 0,6287
27 novembre 1831.....	301 302	0,8524	9,58	4,3225	86,150	54,119 54,197	0,5995 0,6004
23 novembre 1831.....	303 304	0,4556	4,56	2,0807	59,794	37,909 37,814	0,6322 0,6394
14 novembre 1831.....	305 306	0,2177	2,18	2,0607	41,334	26,205 26,189	0,6262 0,6356
26 novembre 1831.....	307 308 309 310	0,0664	0,66	1,1413	22,826	14,347 14,356 14,375 14,357	0,6285 0,6289 0,6298 0,6290

V II.

largeur, débouchant librement dans l'air.

LE RÉSERVOIR ÉTANT MESURÉ				OBSERVATIONS PARTICULIÈRES.
à 0 <sup>m</sup> .02 EN AMONT DE L'OUVERTURE.				
largeur de l'écoulement de l'écoulement de l'écoulement de l'écoulement	largeur de l'écoulement de l'écoulement		profondeur idéologique par seconde, ou vitesse de D	de coefficient de D. ou de rapport D
ou vitesse de D.	ou vitesse de V.		ou vitesse de D	
			pour chaque expérience.	ou pour chaque échantillon

FIGURE 6. PLANCHE 1.

largeur	largeur	largeur	largeur	largeur	largeur
0,0015	0,02	1,3644	20,203	0,7859 0,7864 0,7853 0,7868 0,7878	0,7644

FIGURE 7. PLANCHE 1.

.	.	.	.	.	.
---	---	---	---	---	---

FIGURE 9. PLANCHE 1.

1,0406	10,11	0,2099	100,000	0,6301 0,6296	0,6299
0,9490	9,00	4,3164	10,335	0,6303 0,6312	0,6304
0,8385	4,33	2,9794	10,348	0,6311 0,6316	0,6310
0,7153	2,15	2,0400	10,616	0,6413 0,6418	0,6420
0,6550	0,65	1,0389	10,778	0,6090 0,6090 0,6015 0,6010	0,6011

Orifice de 0<sup>m</sup>,05 de hauteur et 0<sup>m</sup>,20 de

DATES	NUMÉROS	LA HAUTEUR DU NIVEAU DE L'EAU DAN						
		1 3 <sup>m</sup> ,50 au ARRET DE L'ORIFICE.						
		CRASSE sur le centre de l'orifice, ou valeur de H	PESANTEUR		SÉRIE		VALEUR de coefficient de D, ou de rapport $\frac{Q}{Q_0}$	
EXPÉRIENCES.	EXPÉRIENCES.	de rapport $\frac{H}{1,05}$	de la vitesse due à H, ou de V.	théorique par tomée, ou valeur de D.	effective par tomée, ou valeur de E.	pour chaque expérience.	pour chaque charge.	
<b>DISPOSITIF DE LA</b>								
		mètres.	mètres.	litres.	litres.			
14 novembre 1834.....	311				35,832	0,6166		
	312	1,7312	34,62	5,6106	36,108	0,6176	0,6160	
	313				35,332	0,6166		
15 novembre 1834.....	314				16,308	0,6309	0,6305	
	315	0,4775	9,55	3,9006	30,606	19,282	0,6300	
	316				16,126	0,6292	0,6321	
16 novembre 1834.....	317	0,3315	6,63	2,5500	30,800	16,100	0,6316	0,6321
	318				15,295	0,6285	0,6336	
	319	0,2215	4,46	2,0086	30,686	15,206	0,6326	
	320				5,003	0,6154	0,6132	
	321	0,0345	0,69	0,0227	6,227	5,000	0,6150	
<b>DISPOSITIF DE LA</b>								
12 novembre 1834.....	322				36,119	0,6158		
	323	1,7536	30,07	5,6640	36,669	36,217	0,6175	0,6167
	324					36,171	0,6167	
11 novembre 1834.....	325				27,508	0,6206	0,6206	
	326	0,0845	16,60	4,3947	43,947	27,521	0,6205	
	327				16,090	0,6311	0,6319	
13 novembre 1834.....	328				16,776	0,6327	0,6319	
	329	0,1065	6,93	2,1200	31,200	19,661	0,6309	
	330				12,366	0,6298	0,6306	
	331				12,583	0,6276	0,6346	
	332	0,1065	3,83	1,0435	19,655	12,600	0,6281	0,6346
	333				12,600	0,6281	0,6306	
334				12,668	0,6280			

V III.

largeur, débouchant librement dans l'air.

LE RÉSERVOIR ÉTANT MESURÉE						OBSERVATIONS PARTICULIÈRES.
1. 0 <sup>m</sup> ,02 EN ABSENCE DE ENCLAVES.						
CLASSÉ en la section de l'orifice, ou vitesse de H.	VALSÈRES		MÉTRES théorique par seconde, ou vitesse de H.	VALSÈRES		
	de rapport $\frac{H}{V}$	de la vitesse due à H. ou $\frac{H}{V}$		de coefficient de P. ou du rapport $\frac{H}{V}$	pour chaque expérience.	

FIGURE 2, PLANCHE 1.

mètres		mètres	litres.			
1,7217	36,43	5,8117	56,117	0,6166 0,6175 0,6166	0,6166	La vaine à sa sortie de l'orifice couvrait un peu, pour les fortes charges, sans la direction prolongée de la face du réservoir la plus rapprochée de cet orifice.
0,6414	19,63	3,0732	30,732	0,6283 0,6274	0,6279	
0,3310	6,02	2,5452	25,452	0,6381 0,6330	0,6396	
0,1759	4,50	2,1065	21,065	0,6320 0,6331	0,6330	
0,0304	0,61	0,7732	7,732	0,6558 0,6553	0,6556	

FIGURE 3, PLANCHE 1.

mètres		mètres	litres.			
1,7334	35,07	5,8649	56,649	0,6136 0,6175 0,6167	0,6167	Les appareils de l'écoulement sont les mêmes que dans la cas des mètres précédents.
0,5634	10,69	4,3046	43,046	0,6266 0,6265	0,6266	
0,1954	9,09	3,1300	31,300	0,6293 0,6318 0,6291	0,6301	Pour les expériences 330, 331 et 332, on a recueilli la dépense dans la jaugé en maçonnerie, tandis que pour les deux suivantes on s'est servi du cuvier décrit au n° 67 du texte.
				0,6295 0,6325		
0,1000	0,00	1,9803	19,803	0,6297 0,6297 0,6296	0,6292	

Orifice de 0<sup>m</sup>.05 de hauteur et 0<sup>m</sup>.20 de

DATE	NOMBRES	LA HAUTEUR DU NIVEAU DE L'EAU DAN:						
		à 3 <sup>m</sup> .00 EN AMONT DE L'ORIFICE.						
		CALCUL sur la section de l'orifice, ou valeur de H	VITESSE		DÉPENSE		CALCUL	
			de rapport ou $\frac{H}{k-a}$	de la vitesse due à H. ou $\frac{H}{a}$	théorique par seconde, ou valeur de M	effective par seconde, ou valeur de N	de coefficient de D, ou du rapport $\frac{N}{M}$ pour chaque expérience.	
		ètres.		ètres.	litres.	litres.		
2 octobre 1831.....	335 336	1,8700	37,54	6,0479	60,579	60,303 60,350	0,6042 0,6036	0,6040
10 octobre 1831.....	337 338	1,8174	36,35	5,9710	59,710	59,587 59,635	0,6047 0,6038	0,6043
	339 340	1,7065	33,85	5,6362	56,362	56,414 56,434	0,6045 0,6043	0,6044
12 novembre 1829.....	341 (a) 342	1,5911	31,82	5,5668	55,868	57,123 57,130	0,6047 0,6047	0,6047
16 octobre 1831.....	343 344	1,3039	26,06	5,0578	50,376	53,686 53,678	0,6060 0,6058	0,6059
	345 346	1,2012	25,06	5,0605	50,405	53,694 53,573	0,6067 0,6063	0,6060
3 octobre 1831.....	347 348	1,0071	20,14	4,4430	44,430	49,558 49,650 49,656	0,6060 0,6072 0,6072	0,6065
8 octobre 1831.....	350 351 352	0,8784	17,37	4,1212	41,212	47,691 47,721 47,602	0,6071 0,6077 0,6061	0,6070
	353 354 355	0,4849	6,70	3,0545	30,845	30,616 30,616 30,600	0,6084 0,6084 0,6079	0,6082
12 novembre 1829.....	356 357 358	0,4757	6,51	3,0548	30,548	30,608 30,601 30,593	0,6090 0,6078 0,6076	0,6084
12 novembre 1829.....	(a) 341 bis	1,5911	31,82	5,5668	55,868	56,975 54,928	0,6290 0,6252	0,6256

DISPOSITIF DE LA

V III.

largeur, débouchant librement dans l'air.

LE RÉSERVOIR ÉTANT MESURÉE						OBSERVATIONS PARTICULIÈRES.
A 0 <sup>m</sup> ,02 EN AVANT DE L'ORIFICE.						
VITESSE en la partie de l'orifice, ou valeur de H.	VITESSE		DÉPENSE théorique par seconde, ou valeur de D.	VITESSE		
	de support	de la vitesse due à H.		de coefficient de D. ou de rapport $\frac{H}{D}$	pour chaque expérience.	pour chaque charge.
1,8767	37,53	0,0676	60,070	0,6642 0,6639	0,6631	<p>En 1820, on a renoué le dépôt dans le bœuf en chargeant d'eau à 0<sup>m</sup>,30 de hauteur publiée en 1822, tandis qu'en 1831 on s'est servi de celui en conséquence qu'on a construit en 1830 pour remplacer le premier. Les résultats obtenus dans l'un et l'autre ne s'accordent pas.</p> <p>Avant de procéder aux expériences 361 et 362, on a fait les deux qui sont citées 361 bis. Pour celles-ci, l'orifice était, comme en 1828 (fig. 16, expériences 1200 et suiv.), protégé au débouché du réservoir par un canal horizontal de 3 mètres de longueur, qu'on a brusquement enlevé pour faire les expériences 361 et 362, sans rien changer au reste de l'appareil. De cette manière, on a évité directement l'existence de canal sur le débouché, et comme qu'il y avait un accord parfait entre les résultats des expériences de 1828 et de celles de 1829 et de 1831.</p>
1,8178	36,36	5,9207	59,707	0,6647 0,6638	0,6643	
1,7961	35,92	5,9357	59,357	0,6645 0,6644	0,6645	
1,8096	31,82	5,5963	55,653	0,6647 0,6648	0,6648	
1,8030	29,07	5,0569	50,569	0,6661 0,6659	0,6660	
1,7978	25,96	5,0158	50,158	0,6668 0,6654	0,6661	
1,9085	30,18	4,8437	44,837	0,6652 0,6674 0,6674	0,6667	
0,8777	15,55	4,1196	41,185	0,6673 0,6681 0,6666	0,6673	
0,8841	9,66	3,6810	36,819	0,6680 0,6680 0,6684	0,6687	
0,8749	6,30	3,0525	30,525	0,6704 0,6684 0,6681	0,6690	
1,8008	31,82	5,5963	55,963	0,6281 0,6252	0,6237	

Orifice de 0<sup>m</sup>,05 de hauteur et 0<sup>m</sup>,20 de

DATE	NOMBRE	LA HAUTEUR DU NIVEAU DE L'EAU DANS						
		à 0 <sup>m</sup> ,50 en AMONT DE L'ORIFICE.						
		HAUTEUR sur le centre de l'orifice, en valeur de H.	VALEUR		VÉRITÉ		VALEUR de coefficient de D. ou de rapport $\frac{E}{D}$	
EXPÉRIENCES.	ALPHABÉTIQUE.	de rapport $\frac{H}{0,20}$	de la vitesse des écoulements de V.	théorique par remède, en valeur de H.	observée par sonde, en valeur de H.	pour chaque expérience.	Moyenne pour chaque écluse.	
Suite du DISPOSITIF DE LA								
8 octobre 1851.....	359	mètres.						
	360					13,584	0,6693	
	361	0,2090	1,20	2,025	20,205	13,599	0,6781	0,6702
	362					13,614	0,6799	
	363					13,610	0,6796	
	364					8,670	0,6675	
9 octobre 1851.....	365	0,0860	1,72	1,2080	12,080	8,657	0,6665	0,6678
	365					8,670	0,6675	
	366	0,0590	1,04	1,0100	10,100	8,719	0,6682	0,6651
	367					8,716	0,6650	
	368					8,657	0,6642	
	369	0,0421	0,84	0,6069	6,069	8,629	0,6653	0,6633
370					8,621	0,6624		
DISPOSITIF DE LA								
31 octobre 1851.....	371	1,7068	20,14	5,5707	55,707	39,348	0,6792	0,6701
	372					39,370	0,6766	
	373					33,342	0,6685	
	374	1,2682	20,36	4,9878	49,878	33,357	0,6728	0,6707
	375					33,463	0,6799	
1 <sup>er</sup> novembre 1851.....	376					21,723	0,6764	
	377					21,519	0,6731	
	378	0,0192	18,36	4,3465	43,465	21,563	0,6712	0,6721
	379					21,521	0,6710	
	380					20,748	0,6760	
29 octobre 1851.....	381	0,4402	9,60	3,0694	30,694	20,736	0,6756	0,6758
	382					13,000	0,6756	
	383	0,1606	3,22	1,7761	17,761	11,661	0,6746	0,6751
	384					7,254	0,6661	
	385	0,0604	1,21	1,0863	10,863	7,215	0,6656	0,6670
386					7,282	0,6690		



—  
 largeur, débouchant librement dans l'air.

LE RÉSERVOIR ÉTANT MESURÉE						OBSERVATIONS PARTICULIÈRES.
à 0 <sup>m</sup> ,02 EN AMONT DE L'ORIFICE.						
LARGEUR de la section de l'écoulement, en mètres de H	CALCULS		MÉTHODE classique par secondes, ou valeur de D.	VALEURS		
	de rapport	de la vitesse des 4 H.		de coefficient de D. ou de rapport $\frac{Z}{D}$	pour chaque expérience	
	$\frac{H}{L-1} = \frac{H}{a}$	ou de V				

FIGURE 4. PLANCHE 1.

épais.		mètres.	litres.			
				0,6710		
0,2099	4,18	2,0214	20,294	0,6715 0,6725 0,6723	0,6710	Pour les expériences 309 et 309, on a recueilli la dépense dans la gorge ou maçonnerie, tandis que, pour les suivantes, on s'est servi de cuivre défilé au n° 57 de testé.
0,0836	1,67	1,2806	12,506	0,6770 0,6700 0,6770	0,6767	
0,0474	0,95	0,9643	9,643	0,6968 0,6965	0,6967	
0,0345	0,60	0,8287	8,287	0,7337 0,7325 0,7319	0,7328	

FIGURE 5. PLANCHE 1.

1,7566	35,13	5,8703	58,703	0,6703 0,6707	0,6705	La surface de l'eau, dans le réservoir, s'élève plus haut de côté de la face la plus rapprochée de l'orifice que du côté opposé, et le niveau, à sa sortie, converge plus ou moins vers la direction prolongée de cette face, selon que la charge est plus ou moins forte.
1,2676	25,35	4,9867	49,867	0,6686 0,6729 0,6710	0,6706	
0,9184	18,37	4,2447	42,447	0,6767 0,6734 0,6715 0,6710	0,6731	
0,4793	9,58	3,0664	30,664	0,6766 0,6762	0,6764	
0,1983	3,10	1,7678	17,678	0,6788 0,6777	0,6783	
0,0592	1,10	1,0406	10,406	0,6971 0,6962 0,6968	0,6977	



largeur, débouchant librement dans l'air.

LE RESERVOIR ÉTANT MESURÉE					
à 0 <sup>m</sup> .02 DE NIVEAU DE SURFACE.					
CRASSE sur le centre de l'écoulement ou celui de D.	PAGES		MÉTRES chaînés par secondes, ou valeur de D.	MÉTRES de coefficient de D. ou de rapport $\frac{H}{D}$	
	de support	de la vitesse des à M. ou de V.		pour chaque expérience.	Moyennes pour chaque charge.

OBSERVATIONS PARTICULIÈRES.

FIGURE 6. PLANCHE I.

mètres.		mètres.	litres.		
1.8193	36.30	3,9740	30,710	0,6755 0,6756 0,6757	0,6750
1.3892	35.76	3,9290	30,290	0,6811 0,6794 0,6790	0,6796
0.8734	17.47	4,1303	41,203	0,6834 0,6806 0,6803	0,6816
0.5365	16.77	3,5683	31,563	0,6950 0,6953 0,6932	0,6945
0.2231	4.46	3,0921	30,921	0,6926 0,6930	0,6936
0.1326	2.60	1,6129	16,129	0,7036 0,7020	0,7028
0.0692	1.38	1,1651	11,651	0,7254 0,7239	0,7247
0.0469	0.94	0,9599	9,599	0,7793 0,7791	0,7792

Les remises en avant de l'écoulement, le chute à l'entrée de l'étréus réservoir que le précède immédiatement, et la restriction de la veine en ce point, devinrent de plus en plus sensibles à mesure que les charges diminuaient.

FIGURE 7. PLANCHE I.

mètres.		mètres.	litres.		
1.8593	37.19	6,8396	60,396	0,6807 0,6813	0,6810
1.4799	36.60	3,3882	33,882	0,6816 0,6813	0,6815
0.0582	19.16	4,3357	43,357	0,6911 0,6908 0,6831	0,6899

Orifice de 0<sup>m</sup>.05 de hauteur et 0<sup>m</sup>.20 d

DATE	NOMBRES	LA HAUTEUR DU NIVEAU DE L'EAU DANS							
		à 3 <sup>m</sup> .50 EN AVANT DE L'ORIFICE.							
		CLASSÉ	VITESSES		DÉBITES		VALEURS		
des	des	de	de	théoriques	observées	de coefficient de D.	de		
REMARQUES.	RESPONDANTS.	la surface	la surface	par	par	ou de rapport	ou de rapport	pour	
		de l'orifice,	de l'orifice,	secondes.	secondes.	ou	ou	chaque	
		ou	ou	ou	ou	ou	ou	expériences.	
		en	en	en	en	en	en	moyenne	
		un	un	un	un	un	un	pour chaque	
		valeur de H.	valeur de H.	valeur de D	valeur de D	valeur de E.	valeur de E.	usage.	
			$\frac{H}{h-k} = \frac{H}{h}$						
<b>DISPOSITIF DE L/</b>									
1 <sup>er</sup> novembre 1831.....	414	1,7306	34,71	5,8301	58,351	36,104	0,6187	0,6192	
	415	1,7316	34,79	5,8337	58,337	36,116	0,6196		
5 novembre 1831.....	416	0,9901	19,96	4,4273	44,273	27,776	0,6374	0,6381	
	417					27,831	0,6367		
	418					26,379	0,6358		
	419	0,5181	10,56	3,2185	32,185	20,415	0,6363		
2 novembre 1831.....	420	0,3268	6,50	2,5942	25,942	16,092	0,6351	0,6350	
	421					16,027	0,6349		
	422					15,607	0,6354		
	423	6,2006	4,01	1,9840	19,840	12,589	0,6348		
3 novembre 1831.....	424					12,589	0,6348	0,6348	
	425					5,129	0,6314		
	426	0,0316	0,60	0,8239	8,239	5,160	0,6302		
	427					5,162	0,6326		
<b>DISPOSITIF DE L.</b>									
16 novembre 1831.....	428	1,8641	37,29	6,0477	60,477	38,229	0,6337	0,6337	
	429	1,8572	37,11	6,0361	60,361	38,250	0,6337		
27 novembre 1831.....	430	0,7706	19,59	4,3839	43,839	27,805	0,6363	0,6349	
	431					27,856	0,6355		
13 novembre 1831.....	432	0,6830	9,66	3,0813	30,813	19,611	0,6364	0,6371	
	433					19,648	0,6371		
14 novembre 1831.....	434	6,2192	4,96	2,2169	22,169	14,182	0,6415	0,6418	
	435					14,199	0,6422		
18 novembre 1831.....	436					5,418	0,6401	0,6478	
	437	0,0364	0,71	0,8333	8,333	5,399	0,6379		
	438					5,378	0,6454		

V III.

largeur, débouchant librement dans l'air.

LE RÉSERVOIR ÉTANT MÉRURÉE					
à 0 <sup>m</sup> ,02 au-dessus de l'origine.					
surface au centre de l'orifice, ou valeur de H.	valeurs		débit ou valeur de D	valeurs	
	de rapport	de la classe des H.		de coefficient de D.	de rapport
	$\frac{H}{h}$	$\frac{H}{h}$		pour chaque expérience.	moyenne pour chaque classe
					OBSERVATIONS PARTICULIÈRES.

FIGURE 8, PLANCHE I.

surface.		surface.	débit.		
1,7359	34,72	5,8356	59,356	0,6187	
1,7351	34,70	5,8342	59,342	0,6196	0,6192
				0,6273	
0,9995	19,90	4,1282	44,282	0,6285	0,6279
				0,6325	
0,5285	10,57	3,2500	33,200	0,6336	0,6333
				0,6355	
0,3205	6,53	2,5309	25,309	0,6353	0,6354
				0,6357	
0,2060	4,01	1,9833	19,833	0,6318	0,6351
				0,6354	
				0,6414	
0,0805	0,61	0,7736	7,736	0,6470	0,6454
				0,6673	

Le centre de l'eau, dans le réservoir, s'éleve plus haut du côté de la face la plus rapprochée de l'orifice que du côté opposé, et le centre, à sa sortie, s'élève plus ou moins vers la direction perpendiculaire de cette face, selon que le charge est plus ou moins forte.

FIGURE 9, PLANCHE I.

surface.		surface.	débit.		
1,8639	37,28	6,0469	60,469	0,6339	
1,8687	37,13	6,0352	60,352	0,6356	0,6330
				0,6318	
0,9710	19,56	4,3692	43,692	0,6360	0,6354
				0,6382	
0,5112	9,63	3,0729	30,729	0,6391	0,6348
				0,6460	
0,2657	4,91	2,1955	21,955	0,6467	0,6461
				0,7000	
0,0995	0,61	0,7735	7,735	0,6980	0,6979
				0,6953	

Orifice de 0<sup>m</sup>,05 de hauteur et 0<sup>m</sup>,20 d

DATES	NUMÉROS	LA HAUTEUR DU NIVEAU DE L'EAU DAN						
		1 3 <sup>m</sup> ,50 au dessus de l'ORIFICE.						
		VITESSE de la course de l'aiguille, ou vitesse de H	VARIATION		VITESSE		VARIATION	
			de la rapport de H à h	de la vitesse de H, ou de V.	idéique par secondes, ou valeur de H.	effective par secondes, ou valeur de C	de coefficient de D, ou de rapport $\frac{C}{H}$	
OBSERVATIONS	OBSERVATIONS							
		pour chaque expérience.	mesures pour chaque chaque.					
<b>DISPOSITIF DE LA</b>								
6 novembre 1831.....	430		mètres.	mètres.	litres.	litres.	0,6250	
	440	1,7661	36,16	5,7886	57,585	36,136	6,6242	0,6246
	441							
	442	0,9951	19,96	2,1151	44,184	28,038	6,6346	0,6344
7 novembre 1831.....	443							
	445	0,8241	6,46	2,0215	38,315	16,176	6,6415	0,6415
	445							
	447	0,8361	6,76	2,1619	31,612	12,462	6,6414	0,6419
8 novembre 1831.....	448							
	449	0,0771	1,54	1,2294	12,298	7,964	6,6476	0,6492
	450							
	450							
<b>DISPOSITIF DE LA</b>								
7 novembre 1831.....	451	1,7738	35,64	5,6990	56,990	39,563	6,6707	
	452	1,7716	35,62	5,6963	56,953	39,527	6,6706	0,6696
	453	1,7682	35,56	5,6897	56,897	39,521	6,6678	
	454							
8 novembre 1831.....	455	1,8039	36,66	5,0576	30,576	33,845	6,6709	0,6695
	456							
	457	0,5309	16,62	3,2273	32,273	21,763	6,6737	0,6709
	458							
9 novembre 1831.....	459							
	460	0,2266	4,53	2,1678	21,678	14,259	6,6702	0,6750
	461							
	462	0,0619	1,60	6,9894	6,894	6,607	6,6760	0,6777
463								

N° III.

largeur, débouchant librement dans l'air.

LE RÉSERVOIR ÉTANT MESURÉ					
1. 0 <sup>m</sup> .02 en ANGLE DE L'ORDRE.					
VITESSE ou la vitesse de l'écoulement, ou vitesse de H.	RELATION		vitesse théorique par secondes, ou vitesse de H.	VALEUR	
	de la rayure du S. H.	de la vitesse du S. H.		de coefficient de D. ou de rapport $\frac{v}{v_0}$	pour chaque expérience

OBSERVATIONS PARTICULIÈRES.

FIGURE 10, PLANCHE I.

vitesse.	autres.	longs			
1,7171	31,34	5,059	54,059	0,0234 0,0225	0,0230
1,6106	30,50	4,4518	44,518	0,0209 0,0205	0,0207
0,3227	6,43	2,0161	25,161	0,0420 0,0420	0,0420
0,3363	4,77	3,1023	21,023	0,0437 0,0399	0,0415
0,0756	1,31	1,3170	12,170	0,0567 0,0544 0,0609	0,0560

Dé chaque côté de l'ordure, les filets jaillissent des angles se détachent de la masse de la veine, et se rencontrent à environ 0<sup>m</sup>.03 en aval, en qui donne lieu à un jet d'eau qui retombe en forme de plume. Cet effet diminue avec les charges; au même temps la veine s'élargit de plus en plus, et les filets perdent des angles, se rapprochent finalement par d'attachent aux parois latérales en directement à 45° de l'ombroage dans laquelle l'ordure est encastré. Le jet d'eau disparaît lorsqu'on bouche les sautoires de la sautoire, mais la veine se casse pas de s'élargir comme en T<sup>e</sup> indiqué.  
Les sautoires de la sautoire sont bouchées pour la dernière expérience.

FIGURE 11, PLANCHE I.

1,7735	30,47	5,0663	54,965	0,0707	
1,7707	30,43	5,0536	54,934	0,0706	0,0696
1,7679	30,34	5,0502	54,892	0,0676	
1,3034	36,07	5,0087	50,247	0,0791 0,0697	0,0690
0,5297	10,30	3,2236	32,236	0,0691 0,0745 0,0714	0,0717
0,2340	4,44	2,0943	20,943	0,0793 0,0796 0,0773	0,0787
0,0430	0,53	0,0277	0,077	0,7378 0,7297	0,7348

39.

Orifice de 0<sup>m</sup>,05 de hauteur et 0<sup>m</sup>,20 de

DATES	NUMÉROS	LA HAUTEUR DU NIVEAU DE L'EAU DANS						
		1 3 <sup>m</sup> ,50 au ARRET DE L'ÉCOULEMENT.						
		CRASSE sur le centre de l'orifice, ou valeur de H.	VITESSES		ÉTENDUS		VALEURS	
du	du	de rapport	de la vitesse due à H.	théorique par secondes, ou valeur de D.	effective par secondes, ou valeur de E.	de coefficient de D, ou de rapport $\frac{E}{D}$		
EXPÉRIENCES.	EXPÉRIENCES.		$\frac{H}{D}$	$\frac{V}{V_{th}}$			pour chaque expérience.	moyenne pour chaque expérience.
			mètres.	mètres.	litres.	litres.		
							DISPOSITIF DE LA	
	664							
	665	1,6000	32,12	5,6128	56,128	34,807	0,6301	0,6197
	666					34,764	0,6193	
	667	1,0000	20,17	4,3460	44,160	27,420	0,6257	0,6175
10 novembre 1854	668					27,047	0,6202	
	669	0,7000	4,01	1,9835	16,835	13,546	0,6325	0,6330
	670					12,564	0,6334	
	671	0,9616	1,30	1,1284	11,284	7,125	0,6314	0,6316
	672					7,128	0,6317	
								DISPOSITIF DE LA
	673	1,7000	35,28	5,6910	56,910	39,960	0,6775	0,6766
23 novembre 1854	674					39,031	0,6766	
	675	0,9500	19,11	4,2295	42,295	29,026	0,6842	0,6614
	676					29,045	0,6846	
	677	0,6885	9,77	3,0958	30,958	21,411	0,6916	0,6930
22 novembre 1854	678					21,474	0,6930	
	679	0,3215	4,63	2,1311	21,311	14,961	0,7021	0,7015
	680					14,935	0,7008	
	681					15,023	0,7050	0,7050
	682					9,574	0,7226	
21 novembre 1854	683	0,6600	1,79	1,2551	12,551	9,021	0,7186	0,7193
	684					9,497	0,7168	
	685					60,649	0,6752	
24 novembre 1854	686	1,2255	36,50	5,9608	59,968	60,237	0,6726	0,6755
	687					60,594	0,6776	



N III.

largeur, débouchant librement dans l'air.

LE RÉSERVOIR ÉTANT MESURÉE						OBSERVATIONS PARTICULIÈRES.
à 0 <sup>m</sup> ,02 au ARRETS DE L'ÉCOULEMENT.						
vitesse au centre de l'écoulement, ou valeur de H.	vitesse		vitesse théorique par seconde, ou valeur de D.	vitesse		
	de rapport $\frac{H}{L}$	de vitesse due à H, ou de V.		de coefficient de D, ou du rapport $\frac{H}{D}$	pour chaque ou écoulement.	

FIGURE 12. PLANCHE I.

mesure.		mesure.	mesure.			
1,660	37,13	5,6130	56,120	0,0200 0,6192	0,6196	La vitesse a la même forme que dans le cas des autres parties.
1,000	30,19	4,4500	44,500	0,0254 0,6289	0,6272	
0,9016	4,63	1,9857	19,087	0,0309 0,6316	0,6311	
0,6654	1,37	1,1152	11,152	0,0389 0,6393	0,6391	

FIGURE 13. PLANCHE I.

mesure.		mesure.	mesure.			
1,7670	30,34	5,8477	58,977	0,0776 0,6790	0,6799	Le barrage au avant du réservoir décrit au n° 41 de texte, subsistait pour les expériences comprises de 472 à 484. Le coefficient de 0 <sup>m</sup> ,050 de largeur, dans laquelle s'écoula la vitesse, était variable pour l'expérience n° 461, tout à qu'elle était ouverte pour toutes les autres expériences, afin de reconnaître si elle avait quelque influence sur le déversement. Ce rapporteur donne immédiatement lieu à un plus grand élargissement de la vanne.
0,9531	19,07	6,2916	63,248	0,0850 0,6854	0,6852	
0,4867	9,73	3,0903	30,903	0,0928 0,6966 0,6950	0,6962	
0,2299	4,50	2,1933	21,933	0,7066 0,7054 0,7076	0,7060 0,7070	
0,0644	1,60	1,2068	12,868	0,7160 0,7399 0,7381	0,7167	
1,8270	36,55	5,9877	59,877	0,6783 0,6768 0,6780	0,6761	Le barrage au avant du réservoir était entièrement supprimé pour la 553 <sup>e</sup> expérience et pour toutes celles qui le suivent.

Orifice de 0<sup>m</sup>,05 de hauteur et 0<sup>m</sup>,20 d

DATE	NOMBRES	LA HAUTEUR DU NIVEAU DE L'EAU D'EST								
		à 3 <sup>m</sup> ,50 au-dessus de l'orifice.								
		charge sur la surface de l'écoulement, ou valeur de H.	valeurs de rapport $\frac{H}{H_0} = \frac{V}{V_0}$		vitesse théorique par seconde, ou valeur de D.		vitesse effective par seconde, ou valeur de E.		valeurs de coefficient de D., ou de rapport $\frac{E}{D}$	
REPÉTITIONS.	des	écoulements	de	de	de	de	de	pour chaque expérience.	maximes pour chaque charge	
Suite du DISPOSITIF DE LA										
		ètres.		ètres.	litres	litres				
24 novembre 1854.....	458					30,712	0,6787			
	459	0,9775	19,55	4,3701	45,791	29,745	0,5795			0,9792
	460					29,797	0,6797			
	461	0,4683	9,77	3,0958	30,959	21,129	0,6824			0,6837
	462					21,151	0,6829			
	463					14,539	0,6974			
25 novembre 1854.....	464	0,2315	4,63	3,0845	30,549	14,484	0,6967			0,6956
	465					14,484	0,6967			
	466					9,655	0,7119			
	467	0,0896	1,79	1,3951	13,251	9,509	0,7176			0,7155
	468					9,675	0,7151			
DISPOSITIF DE LA										
		ètres.		ètres.	litres	litres				
27 novembre 1854.....	499	1,7469	34,95	5,5533	56,533	40,078	0,6847			0,6859
	500	1,7405	34,91	5,5454	56,434	40,149	0,6871			
	501					30,331	0,6917			
28 novembre 1854.....	502	0,9795	19,59	4,3856	45,856	30,352	0,6924			0,6925
	503					30,395	0,6934			
	504					21,542	0,6984			
27 novembre 1853.....	505	0,6760	9,52	3,0656	30,556	21,166	0,6959			0,6949
	506					21,107	0,6957			
	507					14,792	0,6997			
28 novembre 1854.....	508	0,2925	4,51	3,1033	31,033	14,729	0,6999			0,6998
	509					9,605	0,7145			
27 novembre 1853.....	510	0,0495	1,70	1,3951	13,251	9,455	0,7126			0,7126

V III.

largeur, débouchant librement dans l'air.

LE RÉSERVOIR ÉTANT MESURÉ						OBSERVATIONS PARTICULIÈRES.
à 0 <sup>m</sup> ,02 en avant de l'aperture.						
largeur de l'orifice, en valeur de H.	valeurs		écarte charnière par seconde, ou valeur de D.	valeur de coefficient de H, ou de rapport $\frac{H}{H_0}$		
	de rapport de $\frac{H}{H_0}$	de la vitesse due à H, ou de V.		pour charge supérieure.	supérieur pour charge élevée.	

FIGURE 13. PLANCHE I.

largeur	de	rapport	de	la vitesse	due à H,	ou	de V.	écarte	charnière	par	seconde,	ou	valeur de D.	coefficient de H,	ou de rapport $\frac{H}{H_0}$
0,9754	19,31	4,3744	13,744					0,6791						0,6490	0,6490
								0,6495						0,6436	0,6436
0,1867	9,73	3,9903	30,903					0,6811						0,6830	0,6830
								0,7090						0,6974	0,6974
0,2199	4,40	3,0770	20,770					0,6074						0,6943	0,6943
								0,7335						0,7366	0,7366
0,0643	1,00	1,0475	12,975					0,7309						0,7309	0,7309

À l'entrée de petit réservoir qui précède immédiatement l'orifice, le veine se contracte et se dilate des parties latérales sur une certaine longueur, pour les charges au-dessous de 0<sup>m</sup>,60.  
La chute à cette section, les vannes et les manibelles circulaires près de l'orifice, deviennent de plus en plus sensibles à mesure que la charge diminue, à partir de celle de 0<sup>m</sup>,60.  
Le veine, au sortant de l'orifice, est tri-angulaire à sa partie supérieure, et va en s'élargissant de plus en plus dans le sens horizontal.

FIGURE 14. PLANCHE I.

largeur	de	rapport	de	la vitesse	due à H,	ou	de V.	écarte	charnière	par	seconde,	ou	valeur de D.	coefficient de H,	ou de rapport $\frac{H}{H_0}$
1,7436	36,47	5,8485	54,485					0,6458						0,6465	0,6465
1,7376	36,75	5,8363	54,363					0,6477						0,6436	0,6436
								0,6497						0,6946	0,6946
0,0759	19,36	4,3756	43,756					0,6963						0,6927	0,6927
								0,6937						0,7058	0,7058
0,4759	9,33	3,0955	30,955					0,7071						0,7065	0,7065
0,2209	4,43	3,0817	30,817					0,7564						0,7564	0,7564
0,0794	1,39	1,3481	12,481					0,7367						0,7367	0,7367

Les appareils de l'écoulement ne diffèrent de celles qui se rapportent au dispositif de la figure 13, qu'en ce que le veine s'éprouve aucune contraction notable à l'entrée du petit réservoir qui précède immédiatement l'orifice.

Orifice de 0<sup>m</sup>,03 de hauteur et 0<sup>m</sup>,20 d

DATE	NIVEAUX	LA HAUTEUR DU NIVEAU DE L'EAU DAN						
		à 5 <sup>m</sup> ,50 EN AMONT DE L'ORIFICE.						
		VITESSE		DÉBIT		VITESSE		
de la section de l'orifice ou valeur de H.	de rapport $\frac{H}{h-h'} = \frac{H}{a}$	de la vitesse des à H. ou de V.	théorique par seconde, ou valeur de D.	effective par seconde, ou valeur de E.	de coefficient de D. ou de rapport $\frac{E}{D}$			
EXPÉRIENCES.	EXPÉRIENCES.					pour chaque expérience.	moyennes pour chaque charge.	
<b>DISPOSITIF DE LA</b>								
16 octobre 1881.....	511	0,8283	66,95	5,9490	30,935	28,246	0,6747	
	512					28,254	0,6747	0,6747
	513					30,186	0,6752	
	514	1,3036	43,45	5,0370	30,312	28,561	0,6770	
	515					28,400	0,6760	0,6731
	516					28,454	0,6761	
	517					16,566	0,6766	
	518	0,3467	29,22	4,0757	28,654	16,539	0,6763	0,6763
	519					16,538	0,6760	
	520					12,911	0,6861	
521	0,5102	17,61	3,1538	18,083	12,931	0,6812	0,6801	
522					12,890	0,6790		
523					7,407	0,6832		
524	0,1664	5,35	1,8068	10,441	7,579	0,6806	0,6819	
525					4,700	0,6851		
526	0,0680	3,27	1,1350	6,930	4,755	0,6861	0,6857	
527					4,731	0,6856		
528					3,365	0,6880		
529	0,0301	1,28	0,6660	5,206	3,363	0,6850	0,6880	
530					3,354	0,6851		
531					3,275	0,7274		
532	0,0207	0,96	0,7503	4,302	3,283	0,7290	0,7281	
533					3,278	0,7280		

largeur, débouchant librement dans l'air.

LE RÉSERVOIR ÉTANT MESURÉ.				OBSERVATIONS PARTICULIÈRES.
1 Mètre en écart de bords.				
écart de la centre de l'écoulement au relatif de H.	rapport de la vitesse due à H. au de V.		vitesse corrigée par un coefficient de D, ou de rapport de pour chaque expérience.	

FIGURE 4, PLANCHE I.

écart.	rapport.	vitesse.	vitesse corrigée.	rapport de D.
1,8285	06,91	3,9689	35,935	0,6747
				0,6781
				0,6702
1,3035	13,45	3,6569	30,341	0,6770
				0,6790
				0,6790
				0,6761
0,8460	38,22	4,0721	31,151	0,6767
				0,6765
				0,6761
0,5090	17,00	3,1623	18,977	0,6803
				0,6811
				0,6799
0,1660	5,33	1,8066	10,823	0,6841
				0,6875
0,0650	3,30	1,1270	6,322	0,6963
				0,6970
				0,6966
0,0355	1,12	0,8365	5,007	0,7136
				0,7186
				0,7188
0,0213	0,71	0,6665	3,670	0,8643
				0,8661
				0,8651



V IV.

largeur, débouchant librement dans l'air.

LE RÉSERVOIR ÉTANT MESSURÉ							OBSERVATIONS PARTICULIÈRES
À 0 <sup>m</sup> ,02 EN AMONT DE L'ORIFICE.							
LARGEUR en le nombre de l'arc, ou en valeur de H.	VITESSE		Débit théorique par seconde. ou valeur de D.	VITESSE		de coefficient de D. ou de rapport $\frac{V}{V_0}$	
	de rapport	de la vitesse due à H.		en de V.	en pour chaque expérience		

FIGURE 5. PLANCHE I.

largeur	de rapport	de la vitesse due à H.	Débit théorique par seconde. ou valeur de D.	VITESSE en de V.	VITESSE de coefficient de D. ou de rapport $\frac{V}{V_0}$	OBSERVATIONS PARTICULIÈRES
1,700	56,78	0,8798	35,376	0,6770		Le surface de l'eau, dans le réservoir, s'élève plus haut de côté de la face la plus rapprochée de l'orifice que du côté opposé, et le centre s'en meut, converge plus ou moins vers la direction perpendiculaire de cette face, selon que le charge est plus ou moins forte.
1,7096	56,63	0,8758	35,252	0,6791	0,6774	
1,7068	56,64	0,8748	35,319	0,6759		
1,7376	56,58	0,8730	35,329	0,6765		
				0,6826		
1,7766	42,01	0,8019	30,049	0,6087	0,6813	
				0,6865		
				0,6824		
0,9539	30,60	4,3579	25,544	0,6435	0,6831	
				0,6853		
0,1809	16,53	3,097,	16,595	0,6419	0,6834	
				0,6829		
0,2170	6,25	2,9012	12,907	0,6611	0,6845	
				0,6649		
0,0643	2,33	1,1331	6,739	0,6558	0,6911	
				0,6943		
				0,6961		
0,6318	1,19	0,7874	4,734	0,7390	0,7326	
				0,7332		

FIGURE 6. PLANCHE I.

largeur	de rapport	de la vitesse due à H.	Débit théorique par seconde. ou valeur de D.	VITESSE en de V.	VITESSE de coefficient de D. ou de rapport $\frac{V}{V_0}$	OBSERVATIONS PARTICULIÈRES
1,6234	60,78	0,9006	36,585	0,6792	0,6903	Les rétrécissements en amont de l'orifice, la chute à l'orifice de l'étréci augmente qui le précède immédiatement, et la rétrécissement de la veine en ce point, deviennent de plus en plus sensibles à mesure que le charge diminue.
				0,6821		
				0,6791		
				0,6825		
1,3879	43,26	0,6480	30,976	0,6929	0,6927	
				0,6927		

40.

Orifice de 0<sup>m</sup>,03 de hauteur et 0<sup>m</sup>,20 de

DATE.	CIRCULAIRE.	LA HAUTEUR DU NIVEAU DE L'EAU DANS						
		À 3 <sup>m</sup> ,10 DE BORD DE L'ORIFICE.						
		ÉTENDUE du le centre de l'orifice.	VALEURS		PÉRIODE		VALEUR de l'écoulement de D. ou de rapport $\frac{H}{H_0}$	
			de rapport ou valeur de H	de la vitesse due à H. ou $\frac{H}{4-3^2} \frac{H_0}{a}$	théorique par écoulement ou valeur de D	réelle par écoulement ou valeur de H.		
Suite du DISPOSITIF DE LA								
27 octobre 1851.....	550	mètres.		mètres.	Secs.	lites.		
	560	0,8675	20,38	1,1723	25,036	17,102	0,6063	0,6685
	561					17,181	0,6067	
	562	0,8857	16,46	3,1122	16,073	12,017	0,6017	0,6016
31 octobre 1851.....	563					6,706	0,6009	
	564					5,740	0,6040	
	565	0,2216	7,30	3,0408	12,511	3,005	0,6026	0,6037
	566					8,666	0,6025	
22 octobre 1851.....	567					5,705	0,6008	
	568	0,0667	0,29	1,1638	6,663	4,703	0,6064	0,6070
	569					5,706	0,6116	
	570	0,0365	1,28	6,8660	5,908	3,713	0,7120	0,7133
571					3,727	0,7156		
DISPOSITIF DE LA								
12 novembre 1851.....	572	1,8794	62,65	0,0790	36,121	33,167	0,6343	0,6346
	573	1,8766	62,55	0,0679	36,104	23,071	0,6336	
10 novembre 1851.....	574					16,168	0,6425	0,6428
	575	0,8068	20,80	1,1043	25,166	16,081	0,6390	
20 novembre 1851.....	576					19,101	0,6476	0,6477
	577	0,5016	16,73	3,1375	18,025	12,101	0,6476	
14 novembre 1851.....	578					8,653	0,6048	0,6050
	579	0,2580	8,83	2,2355	13,201	8,650	0,6052	
18 novembre 1851.....	580					2,701	0,6072	
	581	0,0232	0,77	0,6717	6,048	3,690	0,6044	0,6068
582					2,706	0,6069		



V IV.

largeur, débouchant librement dans l'air.

LE RÉSERVOIR ÉTANT MESURÉE						OBSERVATIONS PARTICULIÈRES.
1 0 <sup>e</sup> .02 au AMONT DE L'UNIFORME.						
VITESSE ou la somme de l'ordonnée ou valeur de H.	VALEURS		DÉBITES théoriques par secondes. ou valeur de H.	VALEURS		
	de rapport	de la vitesse due à H.		de coefficient de D. ou de rapport $\frac{H}{D}$	pour chaque expérience.	
	$\frac{H}{A+B}$	$\frac{H}{A+B}$				
	de X.	de Y.				

FIGURE 6. PLANCHE 1.

ordon.	ordon.	ordon.	ordon.		
0.8810	20.19	4.1658	28.965	0.6574 0.6876	0.6876
0.4907	16.36	3.1920	18.616	0.6929 0.6638	0.6637
				0.7009	
0.2185	7.38	3.0780	12.122	0.7036 0.6976 0.6975	0.6987
0.0025	2.06	1.1074	0.643	0.7197 0.7216	0.7206
0.0280	0.93	0.7112	1.117	0.8336 0.8340 0.8381	0.8350

Pour l'expérience 166, on a ouvert avant le signal le coefficient d'adhésion de l'eau dans le jauge; c'est pourquoi on n'a pas tenu compte de résultat qui la concerne, en prenant la valeur moyenne du coefficient de D, correspondant à la charge 0<sup>e</sup>.2210.

FIGURE 9. PLANCHE 1.

1.8786	69.63	0.0710	36.136	0.6344 0.6338	0.6341
1.6760	69.33	0.0665	36.209		
0.9958	39.86	4.1991	23.133	0.6437 0.6393	0.6410
0.5600	16.68	3.1309	18.797	0.6486 0.6486	0.6486
0.2580	8.66	2.1196	13.199	0.6558 0.6563	0.6561
0.0175	0.38	0.3480	3.515	0.7688 0.7653 0.7704	0.7680

L'écoule était d'environ  $\frac{1}{4}$  de millimètre trop haut pour l'expérience 578.

Orifice de 0<sup>m</sup>,02 de hauteur et 0<sup>m</sup>,20 d

DATE	NUMÉROS	LA HAUTEUR DU NIVEAU DE L'EAU DA						de coefficient de D. ou de rapport $\frac{H}{H_0}$	pour chaque expérience.	Moyenne pour chaque charge.
		à 3 <sup>m</sup> ,50 au ARRET DE L'ÉCRÉAN.								
		HAUTEUR sur le centre de l'aiguille, ou valeur de H.	VALEURS		MÉRIENNE		VALEUR			
de	de	de	théorique par secondes.	effective par secondes.	de rapport $\frac{H}{H_0}$					
EXPÉRIENCES	EXPÉRIENCES	de	de	de	de	de	de	de	de	
		$\frac{H}{3.5}$	$\frac{H}{3.5}$	$\frac{H}{3.5}$	$\frac{H}{3.5}$	$\frac{H}{3.5}$	$\frac{H}{3.5}$	$\frac{H}{3.5}$	$\frac{H}{3.5}$	
<b>DISPOSITIF DE LA</b>										
2 octobre 1831.....	583 584 585	1,8961	96,82	0,0992	21,205	16,676 16,671 16,723	0,6633 0,6623 0,6654		0,6510	
13 octobre 1831.....	586 587 588	1,8284	91,45	0,8990	25,956	16,300 16,432 16,441	0,6804 0,6899 0,6863		0,6612	
17 octobre 1831.....	589	1,8115	90,26	0,9618	25,846	16,316	0,6842		0,6612	
11 octobre 1831.....	590 591 592	1,8024	74,68	5,6116	21,644	14,849 14,853 14,880	0,6861 0,6869 0,6875		0,6864	
12 octobre 1831.....	593 594 595	1,8764	73,82	5,3618	21,527	14,782 14,781 14,782	0,6867 0,6866 0,6867		0,6867	
	596 597	0,9460	87,30	4,3080	17,222	11,933 11,925	0,6925 0,6920		0,6923	
15 octobre 1831.....	598 599 600	0,8394	21,47	3,6958	12,594	8,578 8,663 8,651	0,6978 0,7061 0,6999		0,6990	
	601 602	0,1958	0,78	1,6083	7,634	5,453 5,361	0,6961 0,6971		0,6966	
	603 604 605	0,0051	2,76	1,6395	4,180	2,911 2,918 2,921	0,6999 0,7014 0,7023		0,7012	
16 octobre 1831.....	606 607	0,0307	1,54	0,7760	3,104	2,780 2,176	0,7023 0,7017		0,7020	
	608 609 610	0,0246	1,25	0,6686	2,796	1,868 1,970 1,977	0,7039 0,7066 0,7071		0,7052	

largeur, débouchant librement dans l'air.

LE RÉSERVOIR ÉTANT MESURÉ					OBSERVATIONS PARTICULIÈRES.
à 0 <sup>m</sup> ,02 au-dessus de l'effluent.					
Vitesse en mètres de rapport l'unité. ou vitesse de D.	Vitesse		Débit théorique par mètre. ou vitesse de D.	Rapport de coefficient de D. ou de rapport $\frac{V}{V_0}$	
	de rapport à V.	de la vitesse due à H. ou de V.			

FIGURE 4, PLANCHE 1.

vitesse.		vitesse.	vitesse.		
1,3063	91,82	0,0992	21,397	0,6533 0,6435 0,6455	0,6610
1,8283	91,40	5,0889	33,056	0,6604 0,6509 0,6665	0,6642
1,8114	90,57	5,9614	33,846	0,6642 0,6661 0,6652 0,6675	0,6642
1,4923	78,40	5,4107	21,643	0,6607 0,6667 0,6667	0,6656
1,4703	73,82	5,3410	21,006	0,6607 0,6667 0,6667	0,6667
0,9458	47,29	4,5074	17,230	0,6926 0,6931	0,6924
0,8891	24,40	3,0911	12,364	0,6935 0,7025 0,6916	0,6956
0,1903	0,76	1,0036	7,814	0,6970 0,6989	0,6984
0,0630	2,40	1,0215	4,098	0,7105 0,7121 0,7128	0,7117
0,0285	1,42	0,7452	2,981	0,7313 0,7306	0,7310
0,0201	1,40	0,6282	2,813	0,7331 0,7339 0,7367	0,7344

Orifice de 0<sup>m</sup>.02 de hauteur et 0<sup>m</sup>.20 de

DATES	NUMÉROS	LA HAUTEUR DU NIVEAU DE L'EAU DAN						
		à 3 <sup>m</sup> .50 au-dessus de l'orifice.						
		CHARGE	VALEURS		DÉPENSES		VALEUR	
sur le centre de l'orifice.	de rapport	de la vitesse de V.	théorique par seconde.	effective par seconde.	de coefficient de V. et de rapport $\frac{E}{V}$			
REMARQUES	EXPERIMENTALES	ou valeur de H.	$\frac{H}{h}$ ou $\frac{H}{h'}$	ou de V.	ou valeur de D.	ou valeur de E.	pour charges exceptionnelles.	mesures pour charges
Suite du DISPOSITIF DE LA								
16 octobre 1831.....	611	mètres		mètres	litres.	litres.		
	612	0,0213	1,07	0,6464	2,586	1,886	0,7293	
	613					1,903	0,7307	0,7314
	614	0,0212	1,06	0,6440	2,580	1,909	0,7400	
	615					1,908	0,7395	0,7399
DISPOSITIF DE LA								
31 octobre 1831.....	616	1,7770	88,00	5,9056	23,623	16,227	0,6869	
	617	1,7099	88,20	5,8025	23,370	16,250	0,6886	0,6885
	618					16,167	0,6851	
	619	1,2829	64,30	5,0186	20,075	13,253	0,6601	
	620					15,665	0,6007	0,6006
1 <sup>er</sup> novembre 1831.....	621	0,9544	66,72	4,3813	17,120	11,829	0,6907	
	622					11,628	0,6906	0,6907
	623					5,033	0,6906	
	624	0,3350	11,70	2,1478	8,249	5,837	0,6612	0,6618
	625					5,937	0,6612	
10 novembre 1831.....	626					3,308	0,6904	
	627	0,0781	3,61	1,1993	4,757	3,517	0,6973	0,6977
	628					3,329	0,7004	
	629	0,0974	1,37	0,7333	2,933	2,066	0,7064	
	630					2,067	0,7067	0,7065
DISPOSITIF DE LA								
23 octobre 1831.....	631					16,267	0,6847	
	632	1,8970	91,20	5,9867	22,947	16,470	0,6878	0,6868
	633					16,473	0,6879	
	634	1,2064	64,82	5,0430	20,172	13,007	0,6618	
635					13,037	0,6609	0,6614	

largeur, débouchant librement dans l'air.

LE RÉSERVOIR ÉTANT MESURÉE						OBSERVATIONS PARTICULIÈRES.
à 0 <sup>m</sup> .02 au dessus de l'orifice.						
CHARGE en mètres de l'orifice, ou valeur de D.	VITESSE		DÉBIT cubique par seconde, ou valeur de D.	VALEUR		
	de l'appui	de la vaine des à E. ou de V.		de coefficient de D. $\frac{H}{D}$ ou de rapport $\frac{H}{D}$	pour chaque expérience.	
0,0121	0,01	0,4573	1,949	0,9676 0,9775 0,9795	0,9719	
0,0119	0,00	0,4502	1,931	0,9637 0,9632	0,9635	

FIGURE 4. PLANCHE 1.

CHARGE	VITESSE	DÉBIT	VALEUR
0,0121	0,01	0,4573	1,949
0,0119	0,00	0,4502	1,931

FIGURE 5. PLANCHE 1.

CHARGE	VITESSE	DÉBIT	VALEUR
1,7778	88,80	5,9056	23,622
1,7698	88,10	5,8923	23,569
1,2836	64,18	5,0780	20,079
0,9338	46,00	4,2802	17,121
0,2336	12,00	2,1109	8,564
0,0695	3,40	1,1677	4,671
0,0238	1,10	0,6833	2,733

FIGURE 6. PLANCHE 1.

CHARGE	VITESSE	DÉBIT	VALEUR
1,8250	91,25	5,9834	23,934
1,2942	64,71	5,0388	20,135

La surface de l'eau, dans le réservoir, s'élève plus haut de côté de la face la plus rapprochée de l'orifice que du côté opposé, et la vaine, à sa sortie, converge plus ou moins vers la direction prolongée de cette face, selon que la charge est plus ou moins forte.

Les mesures en amont de l'orifice, la chute à l'entrée de l'étréci réservoir qui précède immédiatement, et la contraction de la vaine en ce point, devaient de plus en plus sensibles à mesure que la charge diminuait.

Orifice de 0<sup>m</sup>,02 de hauteur et 0<sup>m</sup>,20 d

DATES	NUMÉROS	LA HAUTEUR DU NIVEAU DE L'EAU DANS							
		À 3 <sup>m</sup> ,20 EN AMONT DE L'ORIFICE.							
		CHARGES	VITESSES		DÉBITS		VARIÉS		
			de la surface de l'orifice.	de la vitesse due à H.	théorique par seconde.	effective par seconde.	de coefficient de H, en de rapport $\frac{v}{v_0}$		
ou valeur de H	$\frac{H}{h-H}$	$\frac{H}{a}$	en valeur de D.	en valeur de H.	pour écoulement régulier.	pour écoulement dérivé.			
Suite du DISPOSITIF DE LA									
21 octobre 1851.....	636		mètres.		mètres.	litres.			
	637	0,9976	66,57*	3,2700	17,060	11,887	0,6960		
	638					11,817	0,6936	0,6537	
	639					11,850	0,6938		
	640	0,4991	64,97	3,1900	15,520	8,730	0,6972		
	641					8,700	0,6968	0,6949	
	642					5,073	0,6927		
	643					5,879	0,6992		
	643	0,9256	11,26	3,1920	8,408	5,857	0,6966	0,6972	
	644					5,851	0,6956		
22 octobre 1851.....	645					3,353	0,6985		
	646	0,6734	36,7	3,2600	8,300	3,366	0,7013	0,6998	
	647					4,356	0,6996		
	648					2,227	0,7175		
	649	0,6567	1,50	0,7760	8,104	2,231	0,7188	0,7181	
650					2,229	0,7181			
DISPOSITIF DE LA									
14 novembre 1851.....	651	1,8794	93,97	6,0720	26,288	15,594	0,6421		
	652	1,8779	90,85	6,0680	26,272	15,570	0,6394	0,6408	
30 novembre 1851.....	653	1,0036	50,16	4,4273	17,716	11,545	0,6503	0,6503	
	654					11,542	0,6500		
	655	0,4996	34,99	3,1313	15,525	9,190	0,6539	0,6536	
18 décembre 1851.....	656					6,163	0,6533		
	657	0,9154	10,62	2,0415	8,166	5,618	0,6635	0,6645	
	658					5,633	0,6654		
	659	0,0155	0,78	0,8015	2,200	1,518	0,6882	0,6880	
660					1,517	0,6877			

largeur, débouchant librement dans l'air.

LE RÉSERVOIR ÉTANT MESURÉE

à 1<sup>m</sup>,02 au centre de l'ouverture.

hauteur de la surface de l'écoulement au niveau de H	VITESSE		vitesse théorique par secondes ou celle de H.	VARIATION	
	de rapport	de la vitesse due à H. ou de V.		du coefficient de D. ou de rapport $\frac{H}{D}$	pour chaque expérience.

OBSERVATIONS PARTICULIÈRES.

FIGURE 6. PLANCHE I.

hauteur	de rapport	de la vitesse due à H. ou de V.	vitesse théorique	coefficient de D.	ou de rapport $\frac{H}{D}$
0,3990	46,35	4,2643	37,057	0,6969 0,6946 0,6947	0,6947
0,1968	24,81	3,1219	12,588	0,6991 0,6967 0,6945	0,6968
0,2285	11,13	2,6893	8,357	0,7035 0,7009 0,7081	0,7015
0,0768	8,52	1,8761	4,698	0,7187 0,7165 0,7186	0,7149
0,0217	1,09	0,6953	2,810	0,8533 0,8548 0,8540	0,8540

Le niveau de l'eau dans le réservoir a varié pendant l'expérience n° 626; c'est pourquoi on n'a pas tenu compte du résultat qui la concerne, en prenant le niveau moyen de coefficient de D correspondant à la charge 0<sup>m</sup>,5274.

FIGURE 9. PLANCHE I.

hauteur	de rapport	de la vitesse due à H. ou de V.	vitesse théorique	coefficient de D.	ou de rapport $\frac{H}{D}$
1,8799	93,06	0,0716	31,286	0,6421	0,6408
1,8768	69,84	0,0677	31,871	0,6394	0,6408
1,0030	50,15	4,4360	17,741	0,6585 0,6585	0,6585
0,1975	24,86	3,1341	12,496	0,6554 0,6549	0,6553
0,3097	10,49	3,0365	8,113	0,6678 0,6697	0,6684
0,0225	0,63	0,6553	1,981	0,7663 0,7658	0,7661

Orifice de 0<sup>m</sup>,01 de hauteur et 0<sup>m</sup>,20 d

DATE	NOMEROS	LA HAUTEUR DU NIVEAU DE L'EAU DANS								
		À 3 <sup>m</sup> ,50 EN AVANT DE L'ORIFICE.								
		CARRÉ de la section de l'orifice, ou valeur de H.	VALEURS		VITESSES		VALEURS		de coefficient de D.	
			de rapport	de la vitesse due à H.	théorique par seconde, ou valeur de V.	observée par seconde, ou valeur de V.	de rapport $\frac{H}{H_0}$	pour chaque expérience.	pour chaque expérience.	$\frac{H}{H_0}$
<b>DISPOSITIF DE L'</b>										
10 novembre 1854.....	061		mètres.		mètres.	litres.	litres.			
	062	1,7905	179,65	5,9987	11,853	7,374	0,6136	0,6142		
						7,287	0,6148			
	063	1,0025	100,25	4,4340	6,970	6,608	0,6228	0,6228		
10 novembre 1854.....	064					6,618	0,6213	0,6228		
	065	0,4085	40,85	3,1272	5,251	4,963	0,6161	0,6401		
	066					4,939	0,6258			
	067					2,677	0,6080			
10 novembre 1854.....	068	0,3436	34,36	2,1859	4,372	2,672	0,6060	0,6570		
	069					2,909	0,6262			
	070	0,0915	9,15	0,6933	1,367	0,660	0,6066	0,6090		
	071					0,970	0,6091			
<b>DISPOSITIF DE L'</b>										
11 novembre 1854.....	072	1,5701	157,01	6,0665	12,183	7,115	0,6136	0,6142		
	073					7,459	0,6148			
	074	0,9015	90,15	3,4095	6,819	6,558	0,6292	0,6305		
	075					5,560	0,6299	0,6305		
14 novembre 1854.....	076					5,561	0,6285			
	077					3,928	0,6481			
	078	0,4095	40,95	2,6319	5,070	3,960	0,6021	0,6516		
	079					3,908	0,6020			
11 novembre 1854.....	080	0,2505	25,05	2,2108	4,431	2,922	0,6090	0,6588		
	081					2,920	0,6086			
	082					2,902	0,6798			
	083	0,1155	11,55	1,4925	2,985	1,688	0,6640	0,6685		
	084					2,608	0,6711			
	085					1,992	0,6675			



Y VI.

largeur, débouchant librement dans l'air.

LE RÉSERVOIR ÉTANT MESURÉE						OBSERVATIONS PARTICULIÈRES.
À 0 <sup>m</sup> ,02 DE HAUTEUR DE DÉBOUCHÉ.						
CHARGES en mètres de Pieds, ou valeur de H.	VALEURS		DÉBITES théoriques par secondes, ou valeur de D.	VALEURS		
	de rapport	de la vitesse des 4 H., ou de V.		de coefficient de D, ou de rapport $\frac{H}{D}$	pour chaque expérience.	

FIGURE 2, PLANCHE I.

CHARGES						
1,7006	179,08	5,9272	11,856	0,6136 0,6167	0,6142	Le venaux à sa sortie de l'orifice converge un peu, pour les fortes charges, vers le direction prolongée de la face de réservoir la plus rapprochée de cet orifice.
1,0029	100,29	4,4358	8,872	0,6321 0,6332	0,6327	
0,4590	45,90	3,1316	6,263	0,6555 0,6549	0,6552	
0,2944	29,44	2,1007	4,201	0,6570 0,6559 0,6552	0,6560	
0,0914	9,14	0,6019	1,204	0,7001 0,7000	0,7005	

FIGURE 3, PLANCHE I.

CHARGES						
1,8787	187,87	6,0676	12,135	0,6149 0,6161	0,6155	Les apparences de l'écoulement sont les mêmes que dans le cas des mètres précédents.
0,9921	99,21	4,4124	8,825	0,6204 0,6206 0,6201	0,6202	
0,4674	46,74	3,0981	6,196	0,6496 0,6539 0,6542	0,6526	
0,2316	23,16	2,2130	4,426	0,6572 0,6568	0,6570	
				0,6647 0,6587 0,6590 0,6594	0,6593	
0,1156	11,56	1,2060	2,412			



largeur, débouchant librement dans l'air.

LE RÉSERVOIR ÉTANT MESURÉ					
à 0 <sup>m</sup> ,02 EN AMONT DE L'ORIFICE					
hauteur à l'or de la surface de l'écouler, ou celle de H.	VALEURS		hauteur statique par centimètre, ou valeur de D.	VALEUR	
	de rapport	de la vitesse due à H.		de coefficient de D, ou de rapport $\frac{H}{D}$	pour chaque expérience.

OBSERVATIONS PARTICULIÈRES.

FIGURE 4, PLANCHE I.

hauteur.		hauteur.	hauteur.		
1,833	183,33	5,9054	11,991	0,6390 0,6412 0,6330	0,6640
1,4928	149,28	5,8116	10,533	0,6073 0,6081 0,6075	0,6070
1,8793	187,93	5,3871	10,774	0,6048 0,7023 0,6027	0,6082
0,9478	94,78	4,3120	8,624	0,7008 0,7008	0,7007
0,6536	65,36	3,4411	6,862	0,7024 0,7030	0,7020
0,3470	34,70	2,7504	4,511	0,7060 0,7079	0,7070
0,1490	14,90	1,7097	3,419	0,7186 0,7151 0,7143	0,7173
0,0614	6,14	1,0043	2,009	0,7427 0,7436	0,7437
0,0145	1,45	0,5333	1,067	0,8332 0,8306 0,8306 0,8338 0,8313	0,8317

FIGURE 5, PLANCHE I.

hauteur.		hauteur.	hauteur.		
1,7774	177,74	5,9059	11,810	0,6951 0,6939 0,6103	0,6951

La surface de l'eau, dans le réservoir, s'éleve plus haut de côté de la face la plus rapprochée de l'orifice que du côté opposé, et le veine, à sa sortie, converge plus ou moins vers la direction prolongée de cette face, selon que le charge est plus ou moins forte.

Orifice de 0<sup>m</sup>.01 de hauteur et de 0<sup>m</sup>.20 de

DATES	NUMÉROS	LA HAUTEUR DU NIVEAU DE L'EAU DANS						
		à 3 <sup>m</sup> .50 EN AMONT DE L'ORIFICE.						
		L'ÉTAT	VITESSE		DÉBIT		VITESSE	
			de	de	théorique	observé		de coefficient de D <sup>3/2</sup>
de	de	de	de	par	par	ou de rapport		
ESPÉRANCE	ESPÉRANCE	l'écoulement	la vitesse	seconde,	seconde,	à D <sup>3/2</sup>		
		ou	ou	ou	ou	pour		
		la	la	la	la	chaque		
		valeur	valeur	valeur	valeur	expérience,		
		de H.	de V.	de D.	de D.	ou pour		
						chaque		
						expérience,		
						ou pour		
						chaque		
						expérience,		
Suite du DISPOSITIF DE LA								
11 novembre 1831.....	714 715 716 717 718 719 720 721 722 723 724 725	1,1368 0,4414 0,4414 0,3501	112,68 44,14 44,14 23,61	4,7223 2,9423 2,9423 2,1600	6,445 6,618 6,618 4,332	6,618 6,618 4,163 4,123 4,123 3,961 3,971 3,966	6,7007 6,7007 6,7074 6,7058 6,7006 6,7023 6,7058 6,7006 6,7076 6,7073	6,7007 6,7007 6,7074 6,7058 6,7006 6,7023 6,7058 6,7006 6,7076 6,7073
10 novembre 1831.....	726 727 728 729 730 731	0,6796 0,6796	7,96 1,60	1,2193 0,3758	2,409 1,132	1,791 1,797 1,799 0,871 0,167 0,570	0,7167 0,7101 0,7199 0,7361 0,7026 0,7552	0,7167 0,7101 0,7199 0,7361 0,7026 0,7552
DISPOSITIF DE LA								
23 octobre 1831.....	732 733 734 735 736 737 738 739 740	1,6590 1,3014	163,29 130,14	5,9550 3,6550	11,900 10,100	8,335 8,305 8,301 7,078 7,085 7,083 5,960 0,015 3,961	6,6631 6,7002 6,6998 6,7002 6,7011 6,7000 6,6994 6,7033 6,6995	6,6631 6,7002 6,6998 6,7002 6,7011 6,7000 6,6994 6,7033 6,6995
31 octobre 1831.....	741 742	0,5037	50,37	2,1435	6,587	4,403 4,406	6,7003 6,7011	6,7003 6,7011

V. M.

largeur, débouchant librement dans l'air.

LE RÉSERVOIR ÉTANT MESURÉE						OBSERVATIONS PARTICULIÈRES.
1. 0 <sup>m</sup> ,02 EN AMONT DE L'ÉCHIFFÉE						
cote de la surface de l'écoulement.	cote de support		cote de la surface des 2 N.	cote de la surface de V.	cote de la surface de la charge.	
	H	H'				
en valeur de H.			en valeur de H.			

FIGURE 5, PLANCHE I.

notes.	H	H'	en valeur de H.	en valeur de H.	en valeur de H.	en valeur de H.
1,1300	113,00	1,7006	0,642	0,7000 0,7009 0,7092	0,7009	
0,1604	44,04	2,0393	5,670	0,7046 0,7024 0,7013	0,7036	Le coefficient de D, donné par l'expérience n° 716, diffère beaucoup des 3 qui le suivent, on a répété les mêmes opérations le 11 novembre, afin de bien constater l'erreur. Les résultats obtenus à cette dernière époque étant identiquement les mêmes que ceux du 30 octobre, on a regardé l'expérience 716 comme une avenue.
0,1604	44,04	2,0393	5,670	0,7046 0,7024 0,7013	0,7036	
0,2378	23,78	2,1600	4,330	0,7086 0,7109 0,7099	0,7090	
0,0777	7,77	1,3346	2,400	0,7064 0,7076 0,7080	0,7073	
0,0117	1,17	0,5570	1,074	0,8110 0,8073 0,8101	0,8065	

FIGURE 6, PLANCHE I.

notes.	H	H'	en valeur de H.	en valeur de H.	en valeur de H.	en valeur de H.
1,5304	153,04	5,0523	11,905	0,7001 0,7003 0,7046	0,7004	Les courbes en amont de l'échiffée, le chute à l'entrée de l'échiffée montrent que le public inondation, et la construction de la vanne en ce point, deviennent de plus en plus sensibles à mesure que la charge diminue.
1,3001	130,01	5,0062	10,109	0,7000 0,7016 0,7013	0,7011	
0,9207	92,07	4,3307	8,541	0,7002 0,7010 0,7003	0,7015	
0,5015	50,16	3,1369	0,871	0,7014 0,7006	0,7022	

Orifice de 0<sup>m</sup>,01 de hauteur et 0<sup>m</sup>,20 de

DATES	NOMBRES	LA HAUTEUR DU NIVEAU DE L'EAU DANS						
		1 3 <sup>m</sup> ,50 EN AMONT DE L'ORIFICE.						
		VALLEES	VALLEES		DEFFETS		VALLEES	
de	de	de	de	de	de	de	de	
ESPÉRANCES	ESPÉRANCES	le centre de l'aiguille, ou valeur de H.	de rapport $\frac{H}{h}$	de vitesse due à H, ou de V.	théorique par seconde, ou valeur de D.	effective par seconde, ou valeur de E.	de coefficient de D, ou de rapport $\frac{E}{D}$	pour chaque expérience.
Suite du DISPOSITIF DE LA								
21 octobre 1831.....	743					8,010	0,7092	
	744	0,5251	23,31	2,1865	4,277	8,090	0,7075	0,7065
	745					8,023	0,7070	
	746					1,770	0,7185	
	747	0,0781	7,81	1,5360	5,470	1,768	0,7141	0,7102
	748					1,732	0,7101	
22 octobre 1831.....	749					1,502	0,7365	
	750					1,336	0,7322	
	751	0,0372	3,72	0,6515	1,709	1,260	0,7256	0,7210
	752					1,246	0,7201	
	753					0,812	0,7450	
21 octobre 1837.....	754	0,0170	1,70	0,5845	1,169	0,874	0,7475	0,7475
	755					0,875	0,7485	
DISPOSITIF DE LA								
8 novembre 1831.....	756					8,484	0,7003	
	757	1,8704	187,04	0,0575	12,112	8,465	0,6987	0,6995
DISPOSITIF DE LA								
1 <sup>er</sup> novembre 1834.....	758	1,7024	170,24	5,5032	11,720	7,280	0,6206	
	759	1,7081	170,81	5,5644	11,720	7,304	0,6227	0,6218
8 novembre 1834.....	760	0,9961	99,61	4,4250	6,850	5,513	0,6345	
	761					5,618	0,6326	0,6315
	762					4,157	0,6466	
	763	0,5051	50,51	3,2034	6,407	4,180	0,6485	0,6480
	764					4,157	0,6465	
3 novembre 1834.....	765	0,3182	31,82	2,0545	4,110	2,715	0,6606	0,6505
	766					2,714	0,6604	
	767					1,545	0,6700	
	768	0,0941	9,41	1,3067	2,717	1,528	0,6765	0,6770
	769					1,555	0,6754	

V VI.

lugeur, débouchant librement dans l'air.

LE RÉSERVOIR ÉTANT MESURÉE						
L'OPÉRIER DE L'APPAREIL						
LE NIVEAU est la cote de l'écouler, ou celle de H.	VALSITES		SARRES oblique par secteur, ou celle de D.	VALSITES		OBSERVATIONS PARTICULIÈRES.
	de rapport	de la cote due à H., ou de V.		de mouvement de D, ou de rapport $\frac{H}{V}$	pour charge expériment.	

FIGURE 6, PLANCHE I.

notes.		notes.	notes.		
0,2300	22,00	2,1552	4,205	0,7086 0,7110 0,7105	0,7100
0,8736	7,56	1,8179	2,435	0,7303 0,7297 0,7276	0,7279
0,0442	3,42	0,8101	1,638	0,7725 0,7546 0,7579 0,7607	0,7574
0,0093	0,63	0,4271	0,854	1,0511 1,0234 1,0240	1,0230

L'expérience n° 749 est exécutée comme aux autres, parce que le niveau a été pendant qu'on la faisait.

FIGURE 7, PLANCHE I.

.	.	.	.	.	.
---	---	---	---	---	---

FIGURE 8, PLANCHE I.

1,7020	176,20	5,8708	11,759	0,6101	
1,7617	176,17	5,8766	11,756	0,6212	0,6202
1,0085	100,85	4,4480	8,896	0,6310 0,6315	0,6313
0,0240	24,40	3,3063	6,612	0,6482 0,6487 0,6482	0,6484
0,3155	31,55	2,6261	5,252	0,6603 0,6600	0,6602
0,0645	6,45	1,2893	2,578	0,6771 0,6765 0,6736	0,6751

La surface de l'eau, dans le réservoir, s'élève plus haut du côté de la face la plus rapprochée de l'écoulement que du côté opposé, et la surface, à sa sortie, converge plus ou moins vers la direction prolongée de cette face, selon que le charge est plus ou moins forte.

Orifice de 0<sup>m</sup>,01 de hauteur et 0<sup>m</sup>,20 de

DATE	N <sup>o</sup> d'ORDRE	LA HAUTEUR DU NIVEAU DE L'EAU DU								
		A 3 <sup>m</sup> ,50 EN AMONT DE L'ORIFICE.								
		CHARGE ou la cote de l'orifice, ou valeur de H	TARSIERS		MÉTIERS		VALOTS		de coefficient de D. ou de rapport $\frac{H}{D}$	pour chaque expérience.
de la cote de la vance des à M., ou de V.	de la cote de la vance des à M., ou de V.		diverges par secondes, ou valeur de D.	effluves par secondes, ou valeur de D.	de coefficient de D. ou de rapport $\frac{H}{D}$	de coefficient de D. ou de rapport $\frac{H}{D}$				
Suite du DISPOSITIF DE LA										
3 novembre 1831 .....	770							8,710	0,7056	%
	771	0,0131	1,31	0,5066	1,014	0,712	0,7019	0,7054		
	772					0,710	0,7066			
DISPOSITIF DE LA										
30 novembre 1831 .....	773	1,6793	187,03	8,0730	12,133	7,091	0,6555	0,6505		
	774	1,6779	187,79	6,0995	12,139	7,616	0,6521	0,6505		
	775	1,0066	100,60	4,4190	8,998	5,605	0,6523	0,6523		
	777	0,5027	50,27	3,1460	6,381	4,992	0,6689	0,6689		
	778					4,199	0,6681	0,6687		
18 novembre 1831 .....	779					2,830	0,6840	0,6838		
	780	0,8176	81,76	2,0670	4,138	2,830	0,6845	0,6845		
	781					2,839	0,6868	0,6868		
25 novembre 1831 .....	782	0,0840	8,40	1,2835	2,567	1,827	0,7118	0,7077		
	783					1,816	0,7075	0,7077		
18 novembre 1831 .....	784					0,713	0,7537	0,7537		
	785	0,0114	1,14	0,1729	0,946	0,723	0,7513	0,7513		
	786					0,729	0,7611	0,7611		
787					0,718	0,7588	0,7588			
DISPOSITIF DE LA										
6 novembre 1834 .....	788					7,566	0,6497	0,6497		
	789	1,7291	172,04	5,8243	21,668	7,542	0,6475	0,6475		
	790					5,696	0,6584	0,6584		
	791	1,0221	102,21	4,4778	8,956	5,687	0,6572	0,6572		
9 novembre 1834 .....	792					4,085	0,6670	0,6670		
	793	0,4781	47,81	3,0625	6,125	4,083	0,6667	0,6667		
	794					4,085	0,6670	0,6670		



V VI.  
 largeur, débouchant librement dans l'air.

LE RÉSERVOIR ÉTANT MESURÉE						OBSERVATIONS PARTICULIÈRES.
à 0 <sup>m</sup> ,22 EN AMONT DE L'OUVERTURE.						
VITESSE en la section de l'orifice, ou celle de H.	VITESSE		DENSITÉ théorique par rapport au valeur de D	VITESSE		
	de rapport $\frac{H}{h-h'} = \frac{H}{a}$	de la vitesse due à H. ou de V.		de coefficient de D, ou de rapport $\frac{H}{D}$	pour charge supérieure.	

FIGURE 8. PLANCHE I.

mètres.		mètres.	litres.		
0,0126	1,26	0,4052	> 0,990	0,7232 0,7109 0,7202	0,7229

FIGURE 9. PLANCHE I.

1,5759	187,89	0,0713	12,113	0,6596 0,6522	0,6526
1,8775	187,75	0,0688	12,138	0,6628 0,6620	0,6627
1,0060	100,50	0,4470	8,591	0,6706 0,6701	0,6701
0,5003	50,03	2,1289	0,266	0,6860 0,6861	0,6850
0,2163	21,63	2,0599	4,120	0,7100 0,7167	0,7169
0,0833	8,33	1,2706	2,511	0,8488 0,8487	0,8471
0,0090	0,90	0,3992	0,840	0,8571 0,8548	

FIGURE 10. PLANCHE I.

1,7390	173,90	0,8360	11,648	0,6497 0,6475	0,6486
1,0230	102,20	4,4776	8,905	0,6584 0,6574	0,6579
0,4775	47,75	3,0606	6,121	0,6678 0,6670 0,6676	0,6673

Pour les fortes charges, le vase s'éleva de plus en plus dans le sens horizontal, à mesure que le jet s'éleva de l'orifice, tandis que l'effet inverse a lieu pour les faibles charges.

Orifice de 0<sup>m</sup>,01 de hauteur et 0<sup>m</sup>,30 de

DATES	NUMÉROS	LA HAUTEUR DU NIVEAU DE L'EAU DANS						
		à 3 <sup>m</sup> ,00 au-dessus de l'ORIFICE.						
		VARIATION sur la cote de l'orifice, ou valeur de H.	VARIATION		DÉBITES		VARIATION	
			de rapport	de la cote des 4 H. ou de V.	théorique par mètre, ou valeur de U.	effective par mètre, ou valeur de U.	de coefficient de D. ou de rapport $\frac{U}{U'} = \frac{U}{U'}$	
EXPÉRIENCES.	EXPÉRIENCES	$\frac{H}{4}$	$\frac{H}{4}$			pour chaque expérience.	moyenne pour chaque charge.	
Suite du DISPOSITIF DE LA								
8 novembre 1834.....	795						0,6728	
	796	0,3101	34,01	2,2100	4,400	2,971	0,6723	0,6732
	797					2,963	0,6740	
	798					1,845	0,6531	
	799	0,0971	0,71	1,8005	2,760	1,889	0,6845	0,6830
	800					1,868	0,6841	
	801					0,770	0,7317	
	802	0,8141	1,41	0,5960	1,032	0,772	0,7326	0,7315
	803					0,767	0,7308	
DISPOSITIF DE LA								
7 novembre 1831.....	804	1,7501	178,31	5,6175	11,530	6,509	0,6931	
	805	1,7321	178,24	5,6130	11,420	6,514	0,6946	0,6936
	806	1,7307	178,07	5,6105	11,821	6,192	0,6930	
	807					7,003	0,6944	
	808	1,2902	129,02	3,6425	10,983	7,010	0,6951	0,6948
	809					7,010	0,6951	
	810					7,006	0,6947	
	811					4,728	0,6974	
	812	0,5917	59,17	3,4870	6,614	4,750	0,6971	0,6967
	813					4,750	0,6956	
6 novembre 1831.....	814					3,179	0,7018	
	815	0,3618	36,18	2,3650	4,532	3,188	0,7034	0,7018
	816					3,172	0,6999	
	817					1,676	0,7156	
	818					1,675	0,7160	
	819	0,0099	0,99	1,1710	2,342	1,671	0,7135	0,7150
	820					1,672	0,7139	
	821					0,992	0,7403	
	822	0,0902	2,02	0,6995	1,259	0,986	0,7466	0,7450
	823					0,982	0,7382	

largeur, débouchant librement dans l'air.

LE RÉSERVOIR ÉTANT MESURÉ						OBSERVATIONS PARTICULIÈRES.
à 0 <sup>m</sup> ,02 au-dessus de l'orifice.						
cotes sur le centre de l'orifice, ou cotes de D.	VALEURS		cotes géométriques par seconde, ou cotes de D.	TAUXES de coefficient de D, ou de rapport $\frac{H}{V}$		
	de rapport	de la vitesse due à D.		pour chaque expérience	moyenne pour chaque charge.	
	$\frac{H}{V}$	$\frac{D}{V}$				
<b>FIGURE 10, PLANCHE I.</b>						
0,2470	25,70	2,3012	4,492	0,6750 0,6710 0,6776		0,6736
0,0956	9,56	1,5687	2,737	0,6887 0,6903 0,6898		0,6896
0,0100	1,00	0,4429	0,886	0,6601 0,6713 0,6607		0,6687
<b>FIGURE 11, PLANCHE I.</b>						
1,7832	178,32	5,9165	11,839	0,6936		
1,7805	178,06	5,9100	11,890	0,6950		0,6940
1,7788	177,88	5,9072	11,814	0,6934		
				0,6910		
				0,6956		
1,2042	120,42	5,0288	10,078	0,6956		0,6957
				0,6966		
				0,6963		
0,5902	59,02	3,0297	6,065	0,6980		0,6978
				0,6905		
				0,7033		
0,2603	26,03	2,2606	4,590	0,7053		0,7055
				0,7016		
				0,7040		
				0,7352		
0,6681	6,61	1,1568	2,312	0,7328		0,7343
				0,7332		
				0,8201		
0,3160	1,00	0,5002	1,190	0,8203		0,8275
				0,8111		



largeur, débouchant librement dans l'air.

LE RÉSERVOIR ÉTANT MESURÉE.						OBSERVATIONS PARTICULIÈRES.
A 0 <sup>m</sup> ,02 EN AVANT DE L'AMBRÈSE.						
CHARGE ou la charge de l'écoulement en mètres de H.	VITESSE		Moyenne algébrique par seconde, ou valeur de D.	VARIATION		
	de rapport	de la vitesse due à H.		de coefficient de D.	ou de rapport $\frac{H}{V}$	
	$\frac{H}{k \sqrt{H}}$	$\frac{H}{V}$		pour chaque expérience.	pour chaque charge.	

FIGURE 12. PLANCHE I.

mètres.	mètres.	mètres.	mètres.			
1,8521	185,21	0,0282	12,056	0,6806 0,6901	0,6905	Le barrage a la même forme que dans le cas des mesures précédentes.
1,1656	116,56	0,0229	0,646	0,6544 0,6541	0,6543	
0,5068	49,68	3,1194	0,329	0,6522 0,6580	0,6510	
0,2390	23,90	2,1653	0,331	0,6594 0,6583	0,6589	
0,0851	8,51	1,2921	2,544	0,6753 0,6753	0,6753	
0,0150	1,50	0,5425	1,040	0,7253 0,7300 0,7325	0,7243	

FIGURE 13. PLANCHE I.

mètres.	mètres.	mètres.	mètres.			
1,6076	160,76	5,9050	11,010	0,6731 0,6736	0,6730	Le barrage en avant du réservoir décrit en n° 51 de cette substance pour ces deux expériences.
0,0764	67,64	4,3707	6,750	0,6543 0,6539	0,6541	Le bord inférieur de l'écoulement était garni d'arbustes pendant l'expérience 511, et la charge a varié pendant le n° 510; c'est pourquoi on n'a pas tenu compte des résultats qui concernent ces deux expériences.
0,5079	50,79	3,1560	0,313	0,6716 0,6690 0,6656	0,6698	
0,2534	25,34	2,2204	4,459	0,7011 0,7004	0,7006	
0,0434	4,34	0,9227	1,845	0,7678 0,7710 0,7625	0,7694	

Orifice de 0<sup>m</sup>,01 de hauteur et 0<sup>m</sup>,20 d

DATE	NOMBRES	LA HAUTEUR DU NIVEAU DE L'EAU DANS					
		à 5 <sup>m</sup> ,50 au-dessus de l'ORIFICE.					
		ORDRE	VALEURS		NÉCESSAIRES		VALEUR
			de	de	théorique	effective	
la section de l'orifice.	de rapport	de la vitesse due à H.	par seconde.	par seconde.	ou de rapport $\frac{V}{\sqrt{H}}$		
ou	$\frac{H}{2-1}$	$\frac{H}{2}$	ou	ou	ou	pour chaque expérience.	
EXPÉRIENCES.	EXPÉRIENCES	ou valeur de H.	de V.	ou valeur de H.	ou valeur de H.	ou valeur de H.	ou valeur de H.

Suite du DISPOSITIF DE L.							
		mètres	mètres	litres	litres.		
25 novembre 1853.	819 (a)				8,007	0,6745	
	820	1,6230	188,30	5,6810	11,902	8,000	0,6737
		qm					
	821 (a)	0,0975	99,75	4,4240	8,518	6,017	0,6600
	822					6,018	0,6601
25 novembre 1853.	823	0,5065	50,65	3,1990	6,378	4,355	0,6812
	824					4,356	0,6801
	825	0,2510	25,10	2,2190	4,435	3,060	0,6895
	826					3,062	0,6900
	827					1,430	0,7117
	828	0,0515	5,15	1,0050	2,010	1,430	0,7117
	829					1,432	0,7126
DISPOSITIF DE L.							
27 novembre 1853.	860	1,7605	176,05	5,0920	11,784	8,199	0,6981
	861					8,197	0,6981
	862	0,9995	99,95	4,4280	8,556	6,151	0,6945
	863					6,156	0,6951
	864	0,4995	49,95	3,1745	6,225	4,317	0,6990
26 novembre 1853.	865					4,313	0,6925
	866					3,066	0,6992
	867	0,9635	96,35	2,1855	4,371	3,070	0,7037
	868					3,066	0,6992
27 novembre 1853.	869	0,0515	5,15	1,0052	2,010	1,465	0,7286
	870					1,471	0,7318
26 novembre 1853.	(a)	1,6295	162,25	5,9055	11,991	8,153	0,6900
	819 ka.	1,8115	181,15	5,9615	11,923	8,008	0,6792
	821 ka.	0,0975	99,75	4,4240	8,518	6,027	0,6812

largeur, débouchant librement dans l'air.

LE RESERVOIR ÉTAIT MESURÉ						OBSERVATIONS PARTICULIÈRES
à 0 <sup>m</sup> ,02 EN HAUTEUR DE L'ORIGINE						
vitesse au de l'entrée de l'orifice. au niveau de H.	vitesse		vitesse observée par un réflecteur de D.	vitesse		
	de rapport $\frac{H}{4-k^2} = \frac{H}{4}$	de la vitesse due à H. de $\frac{H}{4}$		de coefficient de D. $\frac{v}{v_0}$ ou de rapport $\frac{v}{v_0}$	pour charge séparées.	
1,8225	182,23	5,0703	11,020	0,6768 0,6790	0,6743	<p>Le barrage se trouvait au premier état entièrement imprégné pour la B<sup>0</sup> supérieure et pour celles qui la surmontent.</p> <p>Le vauit se trouvait, après le montage de l'orifice, au lieu de s'élever comme pour les ouvertures de 0<sup>m</sup>,30 et de 0<sup>m</sup>,50 de hauteur. Sa contraction à l'entrée du petit réservoir qui précède immédiatement l'orifice, la chute en ce point et les vagues près de l'orifice, ne devenaient en peu sensibles que pour les très-faibles charges.</p> <p>Pour les deux expériences entre B<sup>0</sup> bis et B<sup>0</sup> ter, le vauit n'était pas sensible à son extrémité au moyen de l'appareil décrit au n<sup>o</sup> 63 du mémoire publié en 1857.</p> <p>Pour la première des deux expériences B<sup>0</sup> ter, le vauit du canal latéral de décharge était entièrement levé, tandis qu'il n'était tout à fait fermé pour la deuxième.</p>
0,0994	99,94	4,4113	8,843	0,6801 0,6805	0,6805	
0,3089	30,89	3,1597	6,319	0,6876 0,6905	0,6871	
0,8214	82,14	3,2208	4,412	0,6889 0,6893	0,6891	
0,6459	4,50	0,9490	1,864	0,7331 0,7336 0,7345	0,7336	

FIGURE 13. PLANCHE I.

vitesse	vitesse	vitesse	vitesse	vitesse	vitesse
1,8225	182,23	5,0703	11,020	0,6768 0,6790	0,6743
0,0994	99,94	4,4113	8,843	0,6801 0,6805	0,6805
0,3089	30,89	3,1597	6,319	0,6876 0,6905	0,6871
0,8214	82,14	3,2208	4,412	0,6889 0,6893	0,6891
0,6459	4,50	0,9490	1,864	0,7331 0,7336 0,7345	0,7336

FIGURE 14. PLANCHE I.

vitesse	vitesse	vitesse	vitesse	vitesse	vitesse
1,7678	176,78	5,8990	11,778	0,6996 0,6987	0,6991
0,9974	99,74	4,4536	8,847	0,6953 0,6958	0,6956
0,4054	40,54	3,1113	6,223	0,6957 0,6932	0,6930
0,3454	34,54	2,1855	4,370	0,6993 0,6993	0,7008
0,0510	5,10	1,0090	2,018	0,7290 0,7290	0,7175

Les expériences de l'écoulement ne différaient de celles qui se rapportent au dispositif de la figure 13, qu'en ce que le vauit n'éprouve aucune contraction sensible à l'entrée du petit réservoir qui précède immédiatement l'orifice, quelque faible que soit la charge.

Orifice de 0<sup>m</sup>,005 de hauteur et 0<sup>m</sup>,20 d

DATES	NUMÉROS	LA HAUTEUR DU NIVEAU DE L'EAU DU							
		À 3 <sup>m</sup> ,50 EN AVAL DE L'ORIFICE.							
		CHARGE ou le centre de l'orifice, ou valeur de H.	VITESSE		DÉBIT		VITESSE		
des expériences.	de rapport $\frac{H}{h}$ ou $\frac{H}{H-h}$	de le chose des à H. ou de V.	théorique par mètre, ou valeur de D.	effective par mètre, ou valeur de E.	de coefficient de D. ou de rapport $\frac{E}{D}$		pour chaque expérience.	correcte pour chaque étape.	
DISPOSITIF DE LA									
13 octobre 1831.....	871		mètres.	mètres.	litres.	litres.	0,351	0,7952	0,7219
	872	1,819	266,98	6,000	6,000	4,336	0,7200		
	873					4,359	0,7265		
11 octobre 1831.....	874					3,034	0,7276	0,7272	
	875	1,029	395,58	5,810	5,812	3,032	0,7010		
	876					3,038	0,7276		
12 octobre 1831.....	877					3,013	0,7209	0,7275	
	878	1,459	296,18	5,300	5,300	3,921	0,7278		
	879					3,928	0,7288		
	880					3,779	0,7286	0,7289	
	881	1,374	274,28	5,1870	5,187	3,776	0,7280		
	882					3,786	0,7299		
	883					3,143	0,7292	0,7321	
	884	0,949	187,38	4,3100	4,310	3,154	0,7318		
	885					3,170	0,7355		
	886					2,989	0,7325	0,7343	
	887	0,6970	99,58	3,1250	3,125	2,563	0,7370		
	888					2,992	0,7334		
14 octobre 1831.....	889					1,847	0,7435	0,7113	
	890	0,9039	48,78	2,0000	2,000	1,850	0,7150		
	891					0,915	0,7721		
	892	0,0437	8,74	0,9259	0,925	0,316	0,7732	0,7707	
	893					0,491	0,8211	0,8211	
	894					0,491	0,8211		
	895	0,0182	3,04	0,9975	0,998	0,191	0,8211		
	896					0,491	0,8211		



largeur, débouchant librement dans l'air.

LE RÉSERVOIR ÉTANT MESURÉ

À 0<sup>m</sup>,02 EN AMONT DE L'ORIFICE.

VITESSE sur la surface de l'orifice, ou vitesse de H.	VALEUR		DÉBIT théorique par seconde, ou relatif de H.	VALEUR	
	de	de		de coefficient de D.	
	rapport	la vitesse des à H.		ou de rapport $\frac{V}{V_0}$	
	$\frac{H}{\Delta h}$	$\frac{V}{V_0}$		pour chaque expérience.	moyenne pour chaque charge.

OBSERVATIONS PARTICULIÈRES.

FIGURE 4. PLANCHE I.

vitesse.		vitesse.	vitesse.		
1,5345	365,96	5,9995	6,000	0,7212 0,7230 0,7265	0,7219
1,4928	298,56	5,1116	5,112	0,7276 0,7265 0,7276	0,7272
1,4908	298,16	5,3458	5,350	0,7260 0,7275 0,7258	0,7274
1,3713	274,26	5,1867	5,187	0,7255 0,7280 0,7259	0,7288
0,9468	186,36	4,3007	4,310	0,7292 0,7318 0,7355	0,7322
0,4975	99,50	3,1261	3,121	0,7327 0,7372 0,7336	0,7365
0,2034	50,68	1,9975	1,998	0,7442 0,7457	0,7450
0,0425	4,50	0,9181	0,913	0,7831 0,7812	0,7827
0,0122	3,00	0,5141	0,516	0,8973 0,8993 0,8993 0,8993	0,8993

Orifice de 0<sup>m</sup>,005 de hauteur et 0<sup>m</sup>,20 de

DATES	NOMBRES	LA HAUTEUR DU NIVEAU DE L'EAU DANS					
		à 3 <sup>m</sup> ,50 EN AVAL DE L'ORIFICE.					
		THÉORIE	VALÉRIE		APPERT		VALÉRIE
du	du	de	de	théorique	et celle	de coefficient de D	
EXPÉRIENCES	NUMÉRIQUES	la somme	la somme	par	par	de de rapport $\frac{H}{h}$	
		de l'orifice	de l'orifice	secondes,	secondes,	ou	
		ou	ou	ou	ou	ou	
		en	en	en	en	en	
		un	un	un	un	un	
		nombre de H.	nombre de H.	nombre de H.	nombre de H.	nombre de H.	
DISPOSITIF DE LA							
11 novembre 1831.....	897					4,164	0,7203
	898					4,164	0,7205
	899	1,660	357,36	3,7528	3,753	1,121	0,7213
	900					4,168	0,7210
	901					3,623	0,7220
	902	1,1550	229,18	4,7414	4,741	3,627	0,7228
	903					2,694	0,7254
	904	0,6028	120,30	3,6360	3,636	2,692	0,7261
	906					1,648	0,7318
	907	0,2584	51,68	2,2517	2,252	1,649	0,7322
19 novembre 1831.....	908					1,653	0,7340
	909					0,930	0,7543
	910	0,0775	15,30	1,3330	1,333	0,929	0,7536
	911					0,933	0,7567
	912					0,931	0,7551
	913	0,0180	3,00	0,8912	0,891	0,865	0,7828
					0,865	0,7828	
DISPOSITIF DE LA							
20 octobre 1831.....	914					4,182	0,7160
	915	1,7300	347,80	3,8108	3,811	4,192	0,7177
	916					3,887	0,7168
	917	1,2064	241,28	4,8568	4,855	3,502	0,7198
	918					3,500	0,7194
	919					2,857	0,7204
	920	0,8072	161,48	2,0793	2,080	3,875	0,7319
921					2,873	0,7319	

largeur, débouchant librement dans l'air.

LE RÉSERVOIR ÉTANT MESURÉ					
à 0 <sup>m</sup> ,02 au ABOUT DE L'ORIFICE.					
CHAQUE une la cote de l'orifice, ou celle de H	VITESSE		DÉPENSE théorique par seconde, ou valeur de D.	VITESSE	
	de rapport	de la vitesse due à H.		de coefficient de D.	
	$\frac{H}{1-\mu}$	$\frac{H}{\alpha}$ de V.		ou de rapport $\frac{H}{D}$	
				OBSERVATIONS PARTICULIÈRES.	

FIGURE 5. PLANCHE 1.

mètres.		mètres.	Secs.		
1,6848	337,36	0,7594	3,702	0,7201 0,7204 0,7217 0,7211	0,7209
1,1457	929,14	4,7410	4,741	0,7220 0,7228	0,7224
0,6010	190,22	3,4354	3,435	0,7261 0,7255	0,7258
0,2572	31,44	2,2903	2,246	0,7337 0,7341 0,7340	0,7346
0,0756	15,12	1,2178	1,212	0,7635 0,7627 0,7660 0,7644	0,7642
0,0108	3,16	0,5567	0,557	0,8348 0,8348	0,8348

La surface de l'eau, dans le réservoir, s'élève plus haut de côté de la face la plus rapprochée de l'orifice que de côté opposé, et la veine, à sa sortie, converge plus ou moins vers la direction prolongée de cette face, selon que le charge est plus ou moins forte.

FIGURE 6. PLANCHE 1.

mètres.		mètres.	Secs.		
1,7370	343,52	5,8385	5,830	0,7162 0,7170	0,7171
1,2030	241,00	4,6920	4,692	0,7172 0,7208 0,7199	0,7191
0,8653	161,66	3,0717	3,075	0,7213 0,7226 0,7228	0,7223

Orifice de 0<sup>m</sup>,005 de hauteur et 0<sup>m</sup>,20 de

DATES	N <sup>OS</sup> DES EXPÉRIENCES	LA HAUTEUR DU NIVEAU DE L'EAU DANS							
		À 30 <sup>m</sup> EN AMONT DE L'ORIFICE.							
		LIÈVRE au centre de l'onde ou valeur de H	HAUTEUR de rapport $\frac{H}{V}$		VITESSE théorique par seconde ou valeur de D		VITESSE effective par seconde ou valeur de E		VITESSE de coefficient de D, ou du rapport $\frac{E}{D}$ pour chaque expérience.
		mètres	mètres	mètres	litres.	litres.			
20 octobre 1831.....	922						0,7250		
	923	0,2516	50,92	2,9864	2,086	2,136	0,7304	0,7216	
	924					2,160	0,7334		
	925					1,397	0,7364		
	926	0,1834	30,65	1,8970	1,197	1,396	0,7300	0,7364	
	927					1,396	0,7367		
	928					0,729	0,7666		
	929	0,0401	9,22	0,9510	0,951	0,730	0,7676	0,7673	
	930					0,730	0,7676		
	931	0,0284	3,76	0,6073	0,607	0,473	0,7792	0,7792	
	932					0,473	0,7792		
DISPOSITIF DE LA									
20 novembre 1831.....	933	1,8404	376,06	6,0740	6,074	4,194	0,6905		
	934					4,266	0,6929	0,6912	
	935					4,105	0,6903		
	936	1,6109	302,16	4,6330	4,153	3,111	0,6985	0,6994	
	937					3,119	0,7003		
	938	0,5160	103,30	3,1630	3,163	2,279	0,7153	0,7160	
	939					2,280	0,7166		
16 novembre 1831.....	940					1,367	0,7254		
	941	0,2176	43,22	2,0660	2,066	1,366	0,7299	0,7297	
	942					0,999	0,7666		
25 novembre 1831.....	943	0,0871	17,43	1,3073	1,307	0,961	0,7586	0,7621	
	944					0,967	0,7630		
	945					0,633	0,7890		
16 novembre 1831.....	946	0,0227	6,54	0,8069	0,806	0,631	0,7878	0,7911	
	947					0,636	0,7905		

largeur, débouchant librement dans l'air.

LE RÉSERVOIR ÉTANT MESURÉ						
à 0 <sup>m</sup> ,02 en avant de l'ouverture.						
COURSE par la coupe de l'écoulement ou celle de H.	VITESSE		VITESSE observée par relevés ou celle de D	VARIÉS		OBSERVATIONS PARTICULIÈRES.
	de rapport	de la vitesse de H.		de rapport	de la vitesse de H.	
	$\frac{V}{V_0}$	$\frac{V}{V_0}$		avec charge variable	avec charge constante	

FIGURE 6. PLANCHE 1.

0,1525	96,50	2,9797	2,980	0,7235 0,7216 0,7245	0,7234
0,1812	36,54	1,8554	1,855	0,7611 0,7607 0,7616	0,7611
0,2633	8,69	0,9517	0,922	0,7997 0,7918 0,7818	0,7918
0,0143	2,80	0,2297	0,230	0,8923 0,8923	0,8923

FIGURE 9. PLANCHE 1.

1,8798	378,92	6,0733	6,072	0,8907 0,8929 0,8905	0,8916
1,0100	502,00	4,4513	4,451	0,8989 0,9007	0,8996
0,5156	102,12	2,1204	2,120	0,7187 0,7170	0,7160
0,2155	43,10	1,0561	1,056	0,7330 0,7335	0,7333
0,0940	16,90	1,2006	1,201	0,7726 0,7676 0,7723	0,7722
0,0305	6,10	0,7725	0,772	0,8165 0,8152 0,8253	0,8167

## Orifices en mince paroi plane de diverses hauteurs et largeurs, débouchant

La charge est mesurée loin de l'orifice, en m.

DATE DES EXPÉRIENCES.	NOMBRES DES EXPÉRIENCES.	CHARGE ou la COTTE DE L'ORIFICE, ou valeur de H	VALEURS		DÉBIT relatives par seconde ou valeur de D
			DE RAPPORT $\frac{H}{1-m} = \frac{H}{a}$	DE LA VITESSE des écoulements ou de V.	
ORIFICE DE 0 <sup>m</sup> .02 DE HAUTEUR					
30 novembre 1833.....	958	1,7150	85,60	5,7053	69,561
29 novembre 1833.....	959	1,7065	85,43	5,7803	69,472
	953	1,0215	51,08	4,5765	53,718
	952	1,0185	50,83	4,5700	53,640
30 novembre 1833.....	954				
	955	0,2445	12,23	3,1004	26,285
	956				
ORIFICE DE 0 <sup>m</sup> .60 DE HAUTEUR					
1 <sup>er</sup> décembre 1833.....	957				
	958	1,7755	8,14	5,3602	64,562
	959				
	960	0,7335	1,22	3,7882	45,456
3 décembre 1833.....	961				
	962	0,3285	0,55	3,5385	30,462
	963				
ORIFICE DE 0 <sup>m</sup> .20 DE HAUTEUR					
1 <sup>er</sup> décembre 1833.....	964				
	965	1,6755	8,35	5,7332	22,933
	966				
	967	0,4875	4,41	4,3726	16,690
	968				
3 décembre 1833.....	969	0,4095	2,00	5,1303	19,321
	970				
	971				
	972	0,1075	0,80	1,0465	7,375
	973				

librement dans l'air, dans le cas du dispositif de la figure 1, planche 1.

soient où le liquide est parfaitement stagnant.

DÉPENSE observée par exemple, de valeur de E.	VALEUR du coefficient de D, ou de rapport $\frac{E}{D}$ .	VALEUR MOYENNE, pour chaque cas.		OBSERVATIONS PARTICULIÈRES.	
		de rapport $\frac{E}{D}$ .	de rapport $\frac{E}{D}$ .		
<b>ET 0<sup>m</sup>,60 DE LARGEUR.</b>					
43,120	0,0202	0,0217	0,0217		
43,383	0,0204				
43,145	0,0210	0,0203	0,0203		
35,750	0,0251				
39,661	0,0238	0,0270	0,0270		
33,038	0,0270				
16,672	0,0343	0,0343	0,0343		
16,662	0,0339				
16,672	0,0343				
<b>ET 0<sup>m</sup>,02 DE LARGEUR.</b>					
40,431	0,0202	0,0256	0,0257	La veine a une forme très-remarquable; on en a fait le dessin et on l'a donnée sur la planche 6.	
40,303	0,0213				
40,438	0,0202	0,0210	0,0235		
28,035	0,0299				
28,540	0,0278	0,0103	0,0302		
18,023	0,0114				
18,357	0,0092				
<b>ET 0<sup>m</sup>,02 DE LARGEUR.</b>					
14,208	0,0105	0,0193	0,0195		
14,195	0,0101				
14,200	0,0102	0,0237	0,0240		
10,586	0,0343				
10,564	0,0330	0,0403	0,0414		
8,023	0,0408				
8,003	0,0392				
5,670	0,0450	0,0451	0,0504		
5,952	0,0454				
5,077	0,0448				

Orifices en mince paroi plane de diverses hauteurs et largeurs, débouchant

La charge est mesurée loin de l'orifice, en  $h$ 

DATE DES OBSERVATIONS	NUMÉROS DES EXPÉRIENCES	CHARGE sur la COTTE DE L'ORIFICE, en mètre de H	VALEURS		Débit mesuré par mètre en mètre de D
			de $h$ par $v$ $\frac{h}{v^2} = \frac{h}{v^2}$	de la vitesse des $h$ , ou de $v$	
<b>ORIFICE DE 0<sup>m</sup>,05 DE HAUTEUR</b>					
		mètre		mètre	litre
1 <sup>er</sup> décembre 1855.....	075				
	075	1,700	30,01	0,8000	3,500
	076				
	077	0,9025	10,25	0,3453	0,505
3 décembre 1855.....	078				
	079	0,5765	11,40	0,5571	0,857
	080				
	081	0,2730	0,66	0,5143	0,514
082					
<b>ORIFICE DE 0<sup>m</sup>,02 DE HAUTEUR</b>					
1 <sup>er</sup> décembre 1855.....	083				
	084	1,700	30,28	0,8052	3,504
	085				
	086	0,9775	08,88	0,3701	1,752
3 décembre 1855.....	087				
	088	0,5805	20,18	0,6006	1,500
	089				
	090				
091					
3 décembre 1855.....	092				
	093	0,3860	10,40	0,8771	0,951
	094				
	095				
096					
097	0,1380	0,50	1,0100	0,604	
098					
099					



librement dans l'air, dans le cas du dispositif de la figure 1, planche 1.

sont où le liquide est parfaitement stagnant.

DEPENSE EFFRACTIVE par seconde, ou valeur de $K$ .	VALEUR de COEFFICIENT DE D, ou de rapport $\frac{K}{D}$ .	VALEUR MOYENNE, POUR CHAQUE GRAND.		OBSERVATIONS PARTICULIÈRES.
		de rapport $\frac{K}{D}$ .	de rapport $\frac{K}{D}$ .	
<b>ET 0<sup>m</sup>,02 DE LARGEUR.</b>				
litres.				
3,014	0,0107			
3,090	0,0173	0,0172	0,0171	
3,617	0,0173			
2,759	0,0334	0,0300	0,0331	
2,768	0,0395			
2,160	0,0373	0,0361	0,0363	
2,144	0,0387			
1,494	0,0456	0,0452	0,0450	
1,492	0,0418			
<b>ET 0<sup>m</sup>,02 DE LARGEUR.</b>				
1,356	0,0185			
1,431	0,0188	0,0163	0,0163	
1,446	0,0143			
1,105	0,0307			
1,110	0,0336	0,0321	0,0321	
1,109	0,0329			
0,808	0,0382			
0,806	0,0354	0,0368	0,0368	
0,804	0,0353			
0,613	0,0416			
0,611	0,0436	0,0446	0,0447	
0,612	0,0430			
0,613	0,0416			
0,418	0,0691			
0,421	0,0537	0,0621	0,0613	
0,422	0,0553			
0,419	0,0506			

Orifice de 0<sup>m</sup>,40 de hauteur et 0<sup>m</sup>,60 de largeur, pratiqué dans une

DATES	NOMBRES	LA HAUTEUR DU NIVEAU DE L'EAU DANS							
		À 3 <sup>m</sup> ,50 EN AVANT DE L'ORIFICE.							
		CHARGE sur le centre de l'orifice ou valeur de H.	VITESSES		DÉBIT		PÉRIODE		
du	de	de	de	théorique	effective	de coefficient de D.			
EXPÉRIENCES	EXPÉRIENCES	de rapport	des à H.	ou	par seconde.	ou	ou de rapport $\frac{Q}{Q_0}$	pour chaque expérience.	mesures pour chaque charge.
		$\frac{H}{h}$	$\frac{V}{V_0}$	de V.	valeur de D.	ou	valeur de E.		
<b>DISPOSITIF DE LA</b>									
		mètres.		mètres.	litres.		litres.		
10 décembre 1833.....	1000	1,7670	0,37	5,7868	1386,432	831,762	0,6011		
	1001	1,6715	4,16	5,7264	1271,330	821,651	0,5978	0,8006	
9 décembre 1833.....	1002	1,6545	5,14	5,6971	1367,304	831,261	0,6026		
	1003						0,6091		
	1004	1,2085	3,02	5,6590	1168,560	711,791	0,6081	0,8066	
	1005						0,6185		
3 décembre 1834.....	1006	0,8105	2,10	5,6607	978,568	600,589	0,6166	0,6166	
	1007						0,6077		
	1008	0,5405	1,22	5,6897	741,528	451,190	0,6084	0,6050	
	1009						0,6078		
7 décembre 1834.....	1010	0,3115	0,75	5,7220	563,280	348,870	0,5897		
	1011	0,3025	0,75	5,4365	564,712	348,942	0,5899	0,5896	
<b>DISPOSITIF DE LA</b>									
11 décembre 1834.....	1012	0,3945	0,76	5,4442	586,606	371,966	0,5811		
	1013						0,5828	0,6330	
<b>DISPOSITIF DE LA</b>									
	1014	1,5780	5,70	5,3656	1392,544	815,124	0,6283		
	1015	1,4475	5,54	5,3733	2865,592	704,307	0,6481	0,6283	
12 décembre 1834.....	1016						0,6407	0,6480	
	1017	0,7975	1,99	5,9954	989,396	618,757	0,6518	0,6499	
	1018						0,6586		
	1019	0,1565	1,22	5,0897	741,528	464,640	0,6583	0,6535	

paroi plane de 0<sup>m</sup>,05 d'épaisseur et débouchant librement dans l'air.

LE RÉSERVOIR ÉTANT MESURÉ.

À 0<sup>m</sup>,02 EN AMONT DE L'ÉCHIFFRE.

CHARGES en centimètres de l'échiffre au niveau de H.	VITESSE		Moyenne statistique par seconde, en valeur de D.	VARIÉS	
	de rapport	de la vitesse due à H.		de coefficient de D.	
	$\frac{H}{1-0,02}$	$\frac{H}{0,02}$		$\frac{V}{V_0}$	$\frac{V}{V_0}$
1,7200	0,30	5,9055	1391,112	0,5058	0,5063
1,6940	0,21	5,7876	1379,521	0,5056	
1,6670	0,18	5,7186	1372,664	0,6006	
1,9110	0,65	4,8731	1169,784	0,6065 0,6073	0,6080
0,8370	2,00	4,6072	978,528	0,6170 0,6180	0,6174
0,4760	1,10	3,6554	733,392	0,6141 0,6152 0,6145	0,6117
0,3040	0,76	2,4523	586,152	0,5069	0,5072
0,2950	0,71	2,4057	577,364	0,5074	

OBSERVATIONS PARTICULIÈRES.

FIGURE B, PLANCHE 3.

CHARGES	en centimètres	en mètres	en mètres	en mètres	en mètres
1,7200	0,30	5,9055	1391,112	0,5058	0,5063
1,6940	0,21	5,7876	1379,521	0,5056	
1,6670	0,18	5,7186	1372,664	0,6006	
1,9110	0,65	4,8731	1169,784	0,6065 0,6073	0,6080
0,8370	2,00	4,6072	978,528	0,6170 0,6180	0,6174
0,4760	1,10	3,6554	733,392	0,6141 0,6152 0,6145	0,6117
0,3040	0,76	2,4523	586,152	0,5069	0,5072
0,2950	0,71	2,4057	577,364	0,5074	

La veine est constamment détachée de la base et des parois verticales de l'échiffre, mais elle est attachée à la face inférieure de la vanne qui la limite par le haut, sur une longueur d'abord fort petite à partir des angles, et qui augmente à mesure que la charge diminue, jusqu'à être de 0<sup>m</sup>,13 lorsque cette charge est réduite à 0<sup>m</sup>,2025.

Pour l'expérience 1005 et pour les quatre suivantes, on remarque dans le réservoir, en amont et sur les côtés de l'échiffre, des tourbillons circulaires formant une espèce de écoulement spiralaire, dont le moment s'est en outre de cet ordre.

FIGURE C, PLANCHE 3.

CHARGES	en centimètres	en mètres	en mètres	en mètres	en mètres
0,2950	0,71	2,4057	577,362	0,6132 0,6120	0,6130

La veine est attachée à la base, mais elle est détachée des deux autres parois de l'échiffre, excepté toutefois sur une petite étendue, à la rencontre des bords verticaux avec la face inférieure de la vanne.

FIGURE D, PLANCHE 3.

CHARGES	en centimètres	en mètres	en mètres	en mètres	en mètres
1,4850	0,72	5,3093	1250,632	0,6267	0,6267
1,3230	0,56	5,2804	1268,690	0,6266	
0,5010	1,00	3,0093	915,129	0,6516 0,6545	0,6531
0,1770	1,10	3,0590	734,160	0,6601 0,6608	0,6600

La veine est comprise, à sa sortie de l'échiffre, comme dans le cas de disposition de la figure C.

Orifice de 0<sup>m</sup>,20 de hauteur et 0<sup>m</sup>,60 de largeur, pratiqué dans un

DATE	N <sup>o</sup> NUDOS	LA HAUTEUR DU NIVEAU DE L'EAC D.							
		à 3 <sup>m</sup> ,50 EN AMONT DE L'ORIFICE.							
		CLASSE par la somme de l'ordon. ou vitesse de H.	VITESSE		DÉPENSE		VITESSE		de modification de Q. ou de rapport $\frac{Q}{Q_0}$
			de rapport de V.	de vitesse de H.	théorique par ordonnée. ou vitesse de H.	effective par ordonnée. ou vitesse de H.	pour chaque expérience.	mesurée pour chaque ordonnée.	
<b>DISPOSITIF DE L</b>									
13 décembre 1853	1020	metres		metres.	litres.	litres.	0,6253		
	1021	1,2615	7,82	2,5400	364,800	401,761	0,6000	0,6020	
	1022					303,833	0,5057		
	1023	0,5005	3,50	4,2007	501,084	302,810	0,6067	0,6063	
	1024					304,736	0,5060	0,6067	
	1025	0,5015	2,01	2,8006	336,702	303,825	0,6054		
	1026					110,710	0,5044	0,5947	
1027	0,1305	0,68	1,0304	196,368	116,827	0,5010			
<b>DISPOSITIF DE L</b>									
10 décembre 1853	1028	1,7865	8,92	3,8107	710,004	451,120	0,6353	0,6384	
	1029	1,7095	8,80	6,0702	700,051	449,662	0,6375		
	1030					327,875	0,6368	0,6389	
8 décembre 1853	1031	0,0385	0,09	4,2000	514,908	327,055	0,6370		
	1032					306,225	0,5000	0,6380	
	1033	0,5055	2,83	3,3601	406,692	358,701	0,6381		
7 décembre 1853	1034					215,700	0,6377	0,6371	
	1035	0,5000	2,03	3,8186	338,322	215,304	0,6365		
	1036					124,295	0,6137	0,6148	
	1037	0,1698	0,83	1,0258	216,820	124,607	0,6186		
<b>DISPOSITIF DE L</b>									
11 décembre 1853	1038					326,050	0,6739	0,6740	
	1039	0,4348	2,17	3,8107	300,361	227,947	0,6760		
	1040					120,070	0,6150	0,6150	
	1041	0,1808	0,83	1,8073	216,870	140,126	0,6162	0,6153	
1042					142,118	0,6053			
<b>DISPOSITIF DE L</b>									
12 décembre 1853	1043	1,0228	8,11	5,6318	677,018	456,731	0,6767	0,6745	
	1044	1,6185	8,09	6,6348	576,176	420,823	0,6742		
	1045					341,533	0,6764	0,6760	
1046	0,9028	4,81	4,2077	304,924	341,204	0,6760	0,6760		

paroi plane de 0<sup>m</sup>,05 d'épaisseur et débouchant librement dans l'air.

LE RÉSERVOIR ÉTANT MESURÉE

à 0<sup>m</sup>,02 EN AVANT DE L'ORIFICE.

charge sur le mercure de l'orifice, ou valeur de H.	vitesse		vitesse théorique par seconde, ou valeur de D.	valeur de coefficient de D.	
	de rapport	de la vitesse due à H.		de rapport $\frac{C}{C'}$	
	$\frac{H}{h}$	$\frac{V}{V'}$		pour charge égale.	pour charge change.

OBSERVATIONS PARTICULIÈRES.

FIGURE A, PLANCHE 3.

charge.	$\frac{H}{h}$	$\frac{V}{V'}$	litres.	$\frac{C}{C'}$	$\frac{C}{C'}$
1,3635	7,82	5,3552	604,264	0,6015 0,6011	0,6028
0,8900	4,48	4,1926	505,112	0,6009 0,6070	0,6073
0,8035	3,02	2,6138	337,608	0,6065 0,6039	0,6052
0,1370	0,09	1,6304	196,728	0,5933 0,5939	0,5936

Le veiné est constamment détaché de toutes les parois de l'orifice. Toutefois, pour le charge de 0<sup>m</sup>,1365, elle est attachée à la base sur une longueur d'environ 0<sup>m</sup>,06 à partir des angles, et cette longueur diminue au fur et à mesure que la charge augmente jusqu'à celle de 0<sup>m</sup>,60, pour laquelle elle est presque nulle.

FIGURE B, PLANCHE 3.

charge.	$\frac{H}{h}$	$\frac{V}{V'}$	litres.	$\frac{C}{C'}$	$\frac{C}{C'}$
1,7880	8,92	5,9284	700,896	0,6350 0,6378	0,6367
1,1760	6,70	5,6727	703,724	0,6379 0,6384	0,6388
0,5310	4,67	4,2807	513,684	0,6426 0,6386	0,6406
0,5870	3,91	3,3762	405,144	0,6618 0,6600	0,6611
0,1620	0,81	1,7628	213,896	0,6277 0,6296	0,6287

Le veiné est constamment détaché de la base et des parois verticales de l'orifice, mais elle est attachée à la face inférieure de la vance qui la limite par le haut, sur une longueur d'abord fort petite à partir des angles, et qui augmente à mesure que le charge diminue, jusqu'à dire de 0<sup>m</sup>,13 lorsque cette charge est réduite à 0<sup>m</sup>,1605.

FIGURE C, PLANCHE 3.

charge.	$\frac{H}{h}$	$\frac{V}{V'}$	litres.	$\frac{C}{C'}$	$\frac{C}{C'}$
0,4550	2,19	2,0213	350,550	0,6725 0,6778	0,6787
0,1600	0,80	1,7717	213,604	0,6584 0,6598	0,6589
				0,6645 0,6645	0,6645

Le veiné est attaché à la base, mais elle est détachée de tous autres parois de l'orifice, excepté cependant sur une petite étendue, à la rencontre des bords verticaux avec la face inférieure de la vance. Pour l'expérience 1605, on a rétabli le berrage décrit au n° 51 de texte, sans cependant le prolonger jusqu'à une grande profondeur, pour juger de son influence sur le déversement. On voit qu'il l'a fait augmenter d'environ  $\frac{1}{2}$ .

FIGURE D, PLANCHE 3.

charge.	$\frac{H}{h}$	$\frac{V}{V'}$	litres.	$\frac{C}{C'}$	$\frac{C}{C'}$
1,0250	8,13	5,6441	677,532	0,6781 0,6737	0,6739
1,6210	6,11	5,0391	676,692	0,6777 0,6713	0,6775

Le veiné se comporte, à sa sortie de l'orifice, comme dans le cas du dispositif de la figure C.

Orifice de 0<sup>m</sup>,05 de hauteur et 0<sup>m</sup>,60 de largeur, pratiqué dans un

DATE	NUMÉROS	LA HAUTEUR DU NIVEAU DE L'EAU DANS							
		à 3 <sup>m</sup> ,50 au-dessus de l'ORIFICE							
		HAUTEUR		VALEURS		EFFLUENT		VALEURS	
de	de	de	de	théorique	effective	de coefficient de P.	de de rapport		
EXPÉRIENCE.	EXPÉRIENCE.	du	de	par	par	en	en		
		rapport	la vitesse	secondes.	secondes.	de	de		
		$\frac{H}{h}$	de V.	de V.	de V.	de V.	de V.		
		$\frac{H}{h}$	$\frac{H}{h}$	$\frac{H}{h}$	$\frac{H}{h}$	$\frac{H}{h}$	$\frac{H}{h}$		
		pour	pour	pour	pour	pour	pour		
		chaque	chaque	chaque	chaque	chaque	chaque		
		expérience.	expérience.	expérience.	expérience.	expérience.	expérience.		
<b>DISPOSITIF DE LA</b>									
10 décembre 1851.....	1047	1,8365	26,77	6,0056	180,168	131,181	0,7295	0,677	
	1048					131,105	0,6727		
9 décembre 1851.....	1049	0,9966	19,93	4,4210	132,016	89,673	0,6760	0,6751	
	1050					89,137	0,6762		
7 décembre 1851.....	1051	0,5405	9,61	3,0703	92,100	62,320	0,6767	0,6779	
	1052					62,359	0,6773		
		1053	0,2270	4,34	2,1103	63,300	43,305	0,6837	0,6833
	1054	43,500					0,6873		
	1055					43,784	0,8016	0,6811	
26 décembre 1851.....	1056	0,0785	1,49	1,3040	36,267	25,373	0,6996	0,780	
	1057					25,406	0,7006		
<b>DISPOSITIF DE LA</b>									
11 décembre 1851.....	1058	0,5080	10,16	3,1660	94,707	65,547	0,6921	0,699	
	1059					65,042	0,6931		
		1060	0,3635	4,97	2,1859	66,577	45,142	0,6884	0,6896
		1061					45,399	0,6993	
	1062	0,2715	1,43	1,1844	35,532	22,915	0,6458	0,6453	
	1063					22,981	0,6468		
<b>DISPOSITIF DE LA</b>									
12 décembre 1851.....	1064	1,6943	33,89	2,7666	178,968	116,974	0,6637	0,666	
	1065					116,077	0,6943		
		1066	0,9175	19,35	4,3791	121,373	81,200	0,6913	0,6891
	1067	81,110					0,6960		

paroi plane de 0<sup>m</sup>,05 d'épaisseur et débouchant librement dans l'air.

LE RÉSERVOIR ÉTANT MESURÉ.					
à 0 <sup>m</sup> ,02 au-dessus de l'orifice.					
CHARGE sur le centre de l'orifice, en valeur de H.	PARENS		ÉTENDUE horizontale par seconde, en valeur de D.	VITESSE de coefficient de D. en de rapport $\frac{v}{\sqrt{H}}$	
	de support	de la vitesse due à H.		pour charges supérieures.	pour charges inférieures.
	$\frac{H}{\sqrt{H}}$	$\frac{H}{\sqrt{H}}$			

OBSERVATIONS PARTICULIÈRES.

FIGURE B, PLANCHE 3.

mètres.	mètres	mètres	litres		
1,8500	30,90	0,6162	180,686	0,6715 0,6715	0,6715
1,0030	30,90	4,5360	133,060	0,6736 0,6722	0,6730
0,4760	0,50	3,0058	91,671	0,6799 0,6406	0,6803
0,3275	4,05	2,1127	63,381	0,6829 0,6908	0,6816 0,6908
0,0750	1,50	1,2130	36,390	0,6973 0,6982	0,6978

La valeur, d'abord détachée de toutes les parties de l'orifice, s'attache à la face inférieure de la vanne qui le limite par le haut, pour les charges au-dessus de 1<sup>m</sup>,00. Elle s'attache aussi au peu à la base de l'orifice, de chaque côté de sa rencontre avec les bords verticaux, lorsque la charge est réduite à 0<sup>m</sup>,0750.

Pour l'expérience 1000, on a rétabli le battage décrit au n° 81 du texte, sans néanmoins le faire descendre à une aussi grande profondeur, afin de juger de son influence sur le déversement. On voit qu'il l'a fait augmenter d'environ 1/10.

FIGURE C, PLANCHE 3.

mètres.	mètres	mètres	litres		
0,5630	10,07	3,1426	94,894	0,6902 0,6902	0,6907
0,2140	4,80	2,1802	60,616	0,6877 0,6860	0,6887
0,0720	1,40	1,1880	35,025	0,6430 0,6445	0,6440

Le vase est constamment détaché des parois verticales de l'orifice, mais elle est en contact attachée à la base. Elle l'est également à la face inférieure de la vanne qui le limite par le haut, sur une longueur d'abord assez petite, à partir des angles, et qui augmente à mesure que la charge diminue, jusqu'à être d'environ 0<sup>m</sup>,15 lorsque cette charge est réduite à 0<sup>m</sup>,0715.

FIGURE D, PLANCHE 3.

mètres.	mètres	mètres	litres		
1,0980	33,97	0,7726	173,172	0,6928 0,6936	0,6931
0,0900	10,60	4,3002	131,000	0,6950 0,6956	0,6950

Le vase est attaché à la base et est détaché des trois autres parois de l'orifice.

Orifice de 0<sup>m</sup>,03 de hauteur et 0<sup>m</sup>,60 de largeur, pratiqué dans une

DATES	NUMÉROS	LA HAUTEUR DU NIVEAU DE L'EAU DANS						
		À 3 <sup>m</sup> ,50 EN AMONT DE L'ORIFICE.						
		CRAMPE sur le centre de l'orifice, ou valeur de H.	VALEURS		DÉBITES		VALEURS	
de	de	de	de	théorique par seconde, ou valeur de D.	effective par seconde, ou valeur de E.	de coefficients de D. ou de rapport $\frac{E}{D}$		
références.	références.	$\frac{H}{h-1}$	$\frac{H}{h}$	de Y.	de Y.	de	pour chaque expérience.	pour chaque charge.
<b>DISPOSITIF DE LA</b>								
		mètres.		mètres.	litres.	litres.		
9 décembre 1835	1068					71,310	0,8702	
	1069	1,7315	58,33	5,0117	100,511	71,606	0,6707	0,6705
	1070					51,477	0,6801	
	1071	1,0065	33,02	4,6150	90,064	54,608	0,6421	0,6413
	1072					55,257	0,6450	
7 décembre 1835	1073	0,9915	18,39	3,1002	50,891	38,422	0,8365	0,6668
	1074					37,058	0,6928	
	1075	0,2305	7,04	2,1676	30,017	37,905	0,6972	0,6920
	1076					37,340	0,7007	0,7007
8 décembre 1835	1077					16,376	0,7065	
	1078	0,0435	2,78	1,2766	23,036	10,321	0,7055	0,7075
<b>DISPOSITIF DE LA</b>								
		mètres.		mètres.	litres.	litres.		
11 décembre 1835	1079					49,771	0,7002	
	1080	0,9215	17,38	3,1965	57,575	49,878	0,7100	0,7091
	1081					37,765	0,7056	
	1082					37,765	0,7079	0,7065
	1083					28,682	0,7306	
	1084	0,8425	8,08	2,1611	39,970	29,741	0,7370	0,7441
	1085					30,968	0,7887	+
10 décembre 1835	1086					30,816	0,7819	0,7664
	1087					16,443	0,6870	0,6875
	1088	0,0065	3,02	1,3326	23,983	17,670	0,7354	0,7553
	1089					16,351	0,7652	+
	1090					17,019	0,7477	
11 décembre 1835	1091	0,0815	3,72	1,3664	23,759	17,057	0,7495	0,7495
	1092					17,100	0,7314	0,7405
<b>DISPOSITIF DE LA</b>								
		mètres.		mètres.	litres.	litres.		
12 décembre 1835	1093					72,789	0,6966	0,6987
	1094	1,7075	56,92	5,7676	184,177	72,804	0,6958	
	1095					55,993	0,7067	
	1096	0,9875	32,98	3,4014	79,225	55,801	0,7043	0,7055



v° XII

soit plane de 0<sup>m</sup>,05 d'épaisseur et débouchant librement dans l'air.

LE RÉSERVOIR ÉTANT MESURÉE						OBSERVATIONS PARTICULIÈRES.	
à 0 <sup>m</sup> ,09 EN AMONT DE L'ORIFICE							
VITESSE ou la vitesse de l'écoulement ou valeur de H.	VITESSE		VITESSE théorique par seconde, ou valeur de D	TABLEAU de coefficient de D.			
	de rapport ou $\frac{H}{h_1} = \frac{H}{h_2}$	de la vitesse due à H. ou de V.		pour chaque expérience.	pour chaque charge.		
<b>FIGURE B. PLANCHE 3.</b>						<p>Le veine, d'abord entièrement détachée des parois de l'orifice, s'attache à la face inférieure de la veine qui le limite par le haut, pour les charges au-dessus de 1<sup>m</sup>,00. Elle s'attache aussi au peu à la base de l'orifice, de chaque côté de sa rencontre avec les bords verticaux, pour les charges au-dessous de 0<sup>m</sup>,50.</p> <p>Pour l'expérience 1075, on a rétabli le barrage décrit au n° 31 du texte, sans cependant le faire descendre à une assez grande profondeur, afin d'apprécier son influence sur le déversement. On voit qu'il s'est fait augmenter l'écartement <math>\frac{H}{h}</math>.</p>	
mètres.	mètres.	mètres.					
1,7550	58,30	3,8676	160,017	0,6756 0,6701	0,6759		
1,0130	53,73	4,4506	86,301	0,6793 0,6809	0,6801		
0,1870	16,23	3,0012	55,768	0,6914 0,6901	0,6908		
0,2400	8,00	2,1700	39,040	0,6990 0,6905	0,6943		
0,0810	3,70	1,3006	22,691	0,7000 0,7113 0,7103	0,7080 0,7183		
<b>FIGURE C. PLANCHE 3.</b>						<p>Pour les expériences 1079, 1080, 1081, 1082 et 1087, le veine a été entièrement attachée à la base et détachée des trois autres parois de l'orifice.</p> <p>Pour les n° 1085, 1086, 1089, 1091 et 1092, le veine, détachée d'ailleurs des parois verticales, a été, pendant toute la durée de ses expériences, attachée à la fois à la base de l'orifice et à la face inférieure de la veine qui le limite par le haut.</p> <p>Enfin, pour les n° 1083, 1084, 1088 et 1089, le veine, également détachée des parois verticales de l'orifice et attachée à sa base, tendit à s'attacher à la face inférieure de la veine et tendit à s'en détacher par un mouvement alternatif, ce qui explique l'écartement défectueux qu'on remarque entre les résultats que ces expériences ont fournis pour le même charge.</p> <p>Les 5 précédentes expériences qu'on vient d'indiquer et dont on a souligné les résultats, forment une loi distincte de celle qui se rapporte aux cinq suivantes, parce que l'écoulement se produisait par les mêmes circonstances. Les quatre dernières dont les résultats sont marqués d'une +, se rapportent à une loi régulière, attendu que les circonstances de l'écoulement ont varié, non-seulement d'une expérience à l'autre, mais encore pendant le durée d'une même expérience.</p>	
0,5180	17,27	3,1878	57,380	0,7105 0,7121	0,7115		
				0,7038 0,7064	0,7056		
0,2430	8,10	2,1836	39,305	0,7297 0,7368 +	0,7433		
				0,7875 0,7880	0,7850		
0,0900	3,00	1,3284	23,010	0,6890 0,7476 0,7872 +	0,6895 0,7573		
0,0790	3,03	1,3640	22,406	0,7590 0,7612 0,7631	0,7613		
<b>FIGURE D. PLANCHE 3.</b>							<p>Le veine est attachée à la base et est détachée des autres parois de l'orifice.</p>
1,7110	57,69	3,7936	164,285	0,6979 0,6981	0,6986		
0,9910	53,03	4,4093	79,367	0,7068 0,7015	0,7056		

Orifice de 0<sup>m</sup>,20 de hauteur et 0<sup>m</sup>,20 de largeur, prolongé au dehors du réservoir

DATE	NUMÉROS des SÉRIES.	LA HAUTEUR DU NIVEAU DE L'EAU DANS LE RÉSERVOIR ÉTAI									
		à 3 <sup>m</sup> ,50 au dessus de l'orifice.						à 0 <sup>m</sup> ,00 au dessus			
		VALÉURS		VALÉURS		VALÉURS		VALÉURS		VALÉURS	
		pour le centre de Faitelle, en H de H.	de rapport H de H.	de le niveau des à H. en V.	théorique par secondé, en valeur de V.	effective par secondé, en valeur de H.	de coefficient de D. en de rapport pour chaque charge.	pour le centre de Faitelle, en H de H.	de rapport H de H.	de le niveau des à H. en V.	de le niveau des à H. en V.
<b>DISPOSITIF DE L</b>											
		ètres.		ètres.	litres.	litres.			ètres.	ètres.	
24 octobre 1855	1097				131,809	0,6016					
	1098	1,3060	6,23	3,0517	206,468	131,323	0,5992	0,6013	1,3058	6,53	
	1099				122,116	0,6031					
	1100				104,187	0,6025					
	1101	0,9525	4,70	0,3227	172,908	103,631	0,6005	0,6018	0,9523	4,70	
	1102				66,375	0,5911					
	1103	0,5005	2,60	3,8030	112,120	66,252	0,5908	0,5910	0,5000	2,60	
23 octobre 1854	1104				48,721	0,5508					
	1105	0,3120	1,21	2,1789	87,156	48,627	0,5582	0,5587	0,3109	1,20	
	1106				48,719	0,5508					
22 octobre 1855	1107				29,726	0,4505					
	1108	0,1220	0,61	1,5170	61,860	30,121	0,4469	0,4436	0,1123	0,57	
	1109				29,826	0,4436					
	1110				29,609	0,4411					
<b>DISPOSITIF DE L</b>											
8 novembre 1855	1111	1,4235	7,12	3,2811	211,376	127,110	0,6012	0,6015	1,4233	7,12	
	1112	1,4670	7,04	3,2538	210,112	126,530	0,6021	0,6021	1,4668	7,03	
	1113	1,3770	6,89	3,1071	207,896	125,192	0,6022	0,6022	1,3768	6,88	
	1114				108,638	0,5690					
	1115	0,9600	4,75	4,3170	172,680	103,692	0,5693	0,5692	0,9607	4,75	
	1116				60,891	0,5495					
	1117				60,817	0,5490					
	1118	0,6005	3,00	2,6030	112,120	64,980	0,5488	0,5496	0,6000	2,90	
	1119				60,822	0,5499					

par un canal rectangulaire découvert et horizontal, de même largeur que l'orifice.

REMARQUE		RÉSULTATS						OBSERVATIONS PARTICULIÈRES.
		RELATIFS À LA VITESSE DE L'EAU DANS LE CANAL.						
DES ANGES.		HAUTEUR de l'orifice au point où l'eau a pris la section dans le canal,	VITESSE de l'écoulement de l'eau dans le canal, en m. à s.	VITESSE moyenne de l'eau dans la section de l'écoulement, en m. à s.	RAPPORT de la vitesse moyenne dans la section de l'écoulement à la vitesse théorique dans l'orifice, en valeur de $\frac{v}{v_0}$ .	RAPPORT de la charge de l'eau dans le canal à la charge de l'eau dans l'orifice, en valeur de $\frac{H}{H_0}$ .		
hauteur de l'orifice en m.	hauteur de l'eau au point où l'eau a pris la section dans le canal, en m.							

FIGURE 15. PLANCHE 2.

0,011	0,011						
0,012	0,011						
0,017	0,017						
0,017	0,017						
0,015	0,014	0,34	1,23	176,48	1,7918	0,9300	0,9300
0,015	0,015						
0,015	0,015	0,36	1,30	178,38	1,7918	0,9338	0,9350
0,015	0,015	3,00	15,00	247,497	1,9573	0,9030	0,9030
0,017	0,017						
0,017	0,017	0,63	0,15	305,543	0,9758	0,6300	0,6319
0,017	0,017	3,00	13,00	185,446	1,0684	1,0371	1,0718
0,017	0,017						

Constantes complètes; nepe d'air très-apparent entre le fond du canal et la veine, pour les deux premières charges; cette nepe disparaît lorsque la charge est réduite à 0<sup>m</sup>,4005. Les contractions supérieures ont peu prononcées pour la charge de 0<sup>m</sup>,2130, et la contraction latérale est sensible même pour les trois dernières expériences, car la veine est encore déviée des parties verticales du canal sur une longueur de 0<sup>m</sup>,05, à partir de l'orifice.

Expériences de longueur dans le canal, fort allongé et par suite peu prononcées pour les trois-fortes charges, parfaitement d'accord pour les moyennes et écarts, pour la plus faible charge, par les résultats qui, partant de l'extrémité du canal, s'écartent jusqu'à 0<sup>m</sup>,30 de l'orifice.

FIGURE 16. PLANCHE 2.

0,015	0,015						
0,015	0,015						
0,015	0,015						
0,015	0,015						
0,015	0,015	0,20	0,25	281,049	1,2073	0,8235	0,8230
0,015	0,015	0,20	0,30	297,087	1,2388	0,8051	0,8055
0,015	0,015	0,20	0,25	294,874	1,2350	0,8077	0,8091
0,015	0,015	0,60	0,40	303,180	1,2475	0,8043	0,8046

Point de nepe d'air entre le fond du canal et la veine. Veine constamment détachée des parois latérales du canal sur une plus ou moins grande longueur, à partir de l'orifice, selon que la charge est plus ou moins forte; contractions supérieures bien prononcées pour toutes les charges, excepté la dernière.

Pour les 4 premières expériences, les filets partant des angles supérieurs de l'orifice s'écartent de 0<sup>m</sup>,30 à 0<sup>m</sup>,40 au-dessus du point le plus haut de la veine, et retombent sous forme de pluie.

Les apparences de l'écoulement dans le canal sont d'accord les mêmes que dans le cas du dispositif de la figure 15.

Orifice de 0<sup>m</sup>,20 de hauteur et 0<sup>m</sup>,20 de largeur, prolongé au dehors du réservoir

DATES	SÉRIES	LA HAUTEUR DU NIVEAU DE L'EAU DANS LE RÉSERVOIR ÉTAIT									
		à 3 <sup>m</sup> ,50 au DESSUS DE L'ORIFICE.						à 0 <sup>m</sup> ,20 au DESSUS			
		CRASSE ou le centre de l'orifice en valeur de H.	VALÈRE de rapport H H' de V.	VALÈRE de la vitesse due à H. en valeur de V.	DIAPHRAGME percé au centre de D.	VALÈRE de la vitesse due à H. en valeur de V.	VALÈRE de la hauteur de D. au-dessus de l'orifice en valeur de H.	CRASSE ou le centre de l'orifice en valeur de H.	VALÈRE de rapport H H' de V.	VALÈRE de la vitesse due à H. en valeur de V.	VALÈRE de la vitesse due à H. en valeur de V.
Suite du DISPOSITIF DE LA											
9 novembre 1925.	1199										
	1191	0,2430	1,21	2,1786	87,154	48,108	0,5680				
	1192					88,097	0,5518	0,5023	0,5409	1,30	2,173
						88,183	0,5058				
	1198					20,880	0,4829				
	1194	0,1299	0,61	1,5470	81,880	20,776	0,4512	0,4823	0,1143	0,57	1,00
1195					20,800	0,4827					
DISPOSITIF DE LA											
3 décembre 1925	1196					131,038	0,6045	0,6038	1,8968	7,40	3,31
	1197	1,4970	7,60	5,4101	216,764	130,730	0,6031				
11 novembre 1925	1198					66,387	0,5029	0,5823	0,8000	2,00	2,80
	1199	0,3005	2,00	2,8030	119,190	65,196	0,5013				
14 novembre 1925	1190					20,030	0,4834	0,4830	0,1143	0,57	1,00
	1191	0,1299	0,61	1,5470	81,880	20,918	0,4834				
DISPOSITIF DE LA											
10 décembre 1925	1192					135,290	0,6045				
	1193	1,2735	7,87	5,0000	222,940	134,093	0,6054	0,6007	1,6000	7,45	3,50
	1194					135,190	0,6035				
14 décembre 1925	1195					100,854	0,6014	0,5999	0,9417	4,71	3,00
	1196	0,9960	4,75	3,3170	178,080	100,330	0,5964				
	1197					64,645	0,3766	0,5700	0,3677	1,94	2,57
1198	0,3005	2,00	2,8030	119,190	64,716	0,3773					

par un canal rectangulaire découvert et horizontal, de même largeur que l'orifice.

MORDES		RÉSULTATS								OBSERVATIONS PARTICULIÈRES.
		RELATIFS À LA VITESSE DE L'EAU DANS LE CANAL.								
LA VITESSE.		VITESSE DE L'EAU EN UN POINT DE LA SECTION.		VITESSE MOYENNE DE LA SECTION.		VITESSE MOYENNE DÉDUITE DE LA PENTE DE L'EAU.		VITESSE MOYENNE DÉDUITE DE LA PENTE MOYENNE DE LA SECTION.		
à l'orifice.	à 1 mètre en aval de l'orifice.	à l'orifice.	à 1 mètre en aval de l'orifice.	à l'orifice.	à 1 mètre en aval de l'orifice.	à l'orifice.	à 1 mètre en aval de l'orifice.	à l'orifice.	à 1 mètre en aval de l'orifice.	
à l'orifice.	à 1 mètre en aval de l'orifice.	à l'orifice.	à 1 mètre en aval de l'orifice.	à l'orifice.	à 1 mètre en aval de l'orifice.	à l'orifice.	à 1 mètre en aval de l'orifice.	à l'orifice.	à 1 mètre en aval de l'orifice.	

FIGURE 16, PLANCHE 2.

à l'orifice.	à 1 mètre en aval de l'orifice.	à l'orifice.	à 1 mètre en aval de l'orifice.	à l'orifice.	à 1 mètre en aval de l'orifice.	à l'orifice.	à 1 mètre en aval de l'orifice.
0,5537	0,5531	0,00	0,30	375,353	1,7150	0,8022	0,8101
0,5531	0,5530	0,00	0,30	363,559	1,8201	0,8301	0,8101
0,5511		0,07	0,35	260,029	1,8464	0,8475	0,8105
		0,08	0,38	208,006	1,8654	0,8561	0,8101
0,4791		0,00	0,25	397,860	1,1187	0,7599	0,7445
0,4873	0,4964	0,00	0,30	364,390	1,1288	0,7997	0,7541
0,4999		0,07	0,35	259,301	1,1514	0,7445	0,7699
		0,00	0,40	254,871	1,1709	0,7569	0,7822

FIGURE 17, PLANCHE 2.

à l'orifice.	à 1 mètre en aval de l'orifice.	à l'orifice.	à 1 mètre en aval de l'orifice.	à l'orifice.	à 1 mètre en aval de l'orifice.	à l'orifice.	à 1 mètre en aval de l'orifice.
0,6045	0,6031	0,0008					
0,5833	0,5818	0,3895					
0,5000	0,4994						
0,4990							

Toutes les expériences de l'écoulement sont les mêmes que dans le cas de disposition de la figure 16.

FIGURE 18, PLANCHE 2.

à l'orifice.	à 1 mètre en aval de l'orifice.	à l'orifice.	à 1 mètre en aval de l'orifice.	à l'orifice.	à 1 mètre en aval de l'orifice.	à l'orifice.	à 1 mètre en aval de l'orifice.
0,6049	0,6040	0,0044					
0,6043							
0,6041	0,6010	0,6095					
0,5846	0,5843						

La veuve, à sa sortie de l'orifice, soit le fond de canal et le panti correspondant à la face du réservoir la plus rapprochée de cet orifice, et se détache au contraire entièrement de la paroi opposée. Au point où, en se dilatant après s'être contractée, elle rencontre cette dernière paroi, il se forme, pour les trois premières charges, un jet qui s'élève de 0<sup>m</sup>,10 à 0<sup>m</sup>,50 au-dessus du fond de canal, et retombe sous forme de pluie.

Deux-vingt à la surface de canal pour les quatre premières charges, en lieu des loupes entre les dispositifs précédents, et remues, pour la dernière charge, plus rapprochée de l'orifice du côté où la veuve se contracte totalement qui de l'autre côté.

Orifice de 0<sup>m</sup>,20 de hauteur et 0<sup>m</sup>,20 de largeur, prolongé au dehors du réservoir

DATES  DES EXPÉRIENCES.	DÉNIVELOS  Esp.	LA HAUTEUR DE NIVEAU DE L'EAU DANS LE RÉSERVOIR ÉTAIT									
		1 3 <sup>m</sup> ,50 au-dessus de l'orifice.						1 0 <sup>m</sup> ,20 au-dessus			
		VARIÉTÉ		MÉTRES		VARIÉTÉ		ORIGINE		VARIÉTÉ	
		sur le centre de l'orifice, en valeur de H.	de rapport $\frac{H}{h}$ .	de la vitesse due à H.	en valeur de D.	théorique par seconde.	effective par seconde.	de coefficient de D.	de rapport $\frac{H}{h}$ .	de la vitesse due à H.	en valeur de V.
14 décembre 1825	1120					47,736	0,5477	0,5483	0,2281	1,14	1,110
	1140	0,2430	1,21	3,1700	47,156	47,835	0,5488				
	1141					30,064	0,4555	0,4555	0,0958	0,68	1,270
	1142	0,1250	0,61	1,5470	61,080	29,060	0,4542				
Suite du DISPOSITIF DE L.											
27 décembre 1828	1163					145,981	0,4329				
	1166	1,6600	8,23	5,6825	217,300	145,672	0,4321	0,6226	1,8560	8,16	3,000
	1165					106,352	0,4295				
17 décembre 1828	1165					106,161	0,4270	0,4266	0,2022	4,47	4,100
	1167	0,9105	4,44	4,2262	109,000	106,399	0,4264				
	1164					67,017	0,4681	0,4682	0,3765	1,80	2,720
16 décembre 1826	1140	0,4005	2,00	2,5030	112,120	67,690	0,4632				
	1150					26,160	0,3754	0,4757	0,3109	1,10	2,070
1151	0,2420	1,21	2,1700	67,106	30,180	0,3768					
DISPOSITIF DE L.											
5 novembre 1834	1160	0,6101	3,00	4,3462	100,548	103,411	0,6068	0,9228	4,61	4,220	
	1165	0,6171	3,00	4,3416	100,664	103,042	0,6073	0,9200	4,00	4,200	
	1156					66,030	0,5005	0,5009	0,4025	2,01	2,410
	1155	0,3064	1,50	2,7057	111,828	65,894	0,5022				
	1156					50,122	0,2657	0,5640	0,2570	1,20	1,210
	1157	0,2501	1,25	2,5130	68,400	50,811	0,5022				

par un canal rectangulaire découvert et horizontal, de même largeur que l'orifice.

REMARQUE		RÉSULTATS										OBSERVATIONS PARTICULIÈRES.
RELATIFS À LA VEINE DE L'ÉCOUÉ EN CANAL.		VEINE		VEINE		VEINE		VEINE		VEINE		
de l'écoué en canal.		de l'écoué en canal.		de l'écoué en canal.		de l'écoué en canal.		de l'écoué en canal.		de l'écoué en canal.		
hauteur de l'écoué en canal.	hauteur de l'écoué en canal.	hauteur de l'écoué en canal.	hauteur de l'écoué en canal.	hauteur de l'écoué en canal.	hauteur de l'écoué en canal.	hauteur de l'écoué en canal.	hauteur de l'écoué en canal.	hauteur de l'écoué en canal.	hauteur de l'écoué en canal.	hauteur de l'écoué en canal.	hauteur de l'écoué en canal.	

FIGURE 18. PLANCHE 2.

hauteur de l'écoué en canal.	hauteur de l'écoué en canal.	hauteur de l'écoué en canal.	hauteur de l'écoué en canal.	hauteur de l'écoué en canal.	hauteur de l'écoué en canal.	hauteur de l'écoué en canal.	hauteur de l'écoué en canal.
0,5672	0,5698	0,5653					
0,5179	0,5654	0,5672					

Le surface de l'eau, dans le réservoir, se relève vers la face la plus voisine de l'orifice et s'abaisse vers la face opposée. Pour les deux dernières expériences, le niveau de l'écoué, à 0<sup>m</sup>,02 au-dessus de l'orifice et vis-à-vis son contour, est de 0<sup>m</sup>,0052 plus bas que son bord supérieur, et cependant ce bord est entièrement couvert par le fluide.

FIGURE 19. PLANCHE 2.

hauteur de l'écoué en canal.	hauteur de l'écoué en canal.	hauteur de l'écoué en canal.	hauteur de l'écoué en canal.	hauteur de l'écoué en canal.	hauteur de l'écoué en canal.	hauteur de l'écoué en canal.	hauteur de l'écoué en canal.
0,6360	0,6360	0,6365					
0,6365	0,6365	0,6365	0,09	0,43	292,533	3,5220	0,5250
0,6390	0,6365	0,6365	0,30	5,80	355,503	4,1500	0,3041
0,6365			0,60	4,75	360,740	4,8750	0,3053
0,6390	0,6390	0,6390	0,09	0,43	378,697	2,4266	0,3057
0,6390	0,6390	0,6390	0,30	1,80	361,600	2,5852	0,2923
			0,60	4,75	367,913	2,5393	0,3036
			0,30	1,50	365,277	1,8915	0,3081
0,6001	0,6001	0,6001	0,30	1,80	302,660	1,6111	0,4771
0,6053	0,6053	0,6053	0,50	2,30	329,943	1,6961	0,3858
			0,92	4,75	371,290	1,8195	0,3048

La veine, à sa sortie de l'orifice, se détache de son bord supérieur, et se relève vers la face la plus voisine de l'orifice et s'abaisse vers la face opposée. Elle se détache de ses parois latérales pour les deux premières charges, et s'y attache au contraire pour les deux dernières.

Point de lambeau dans le canal pour les deux premières et les deux dernières expériences, et quelques légers trous seulement pour les autres.

Les vagues au-dessus de l'orifice, la chute à l'entrée de l'étrémité réservoir qui le précède immédiatement, et la contraction de la veine en ce point, deviennent de plus en plus sensibles à mesure que la charge diminue.

FIGURE 20. PLANCHE 2.

hauteur de l'écoué en canal.	hauteur de l'écoué en canal.	hauteur de l'écoué en canal.	hauteur de l'écoué en canal.	hauteur de l'écoué en canal.	hauteur de l'écoué en canal.	hauteur de l'écoué en canal.	hauteur de l'écoué en canal.
0,6076	0,6076	0,6069					
0,6069	0,6069	0,6069					
0,5675	0,5675	0,5699					
0,5699							
0,5681	0,5681	0,5681					
0,5580	0,5580	0,5580					

La veine, à sa sortie de l'orifice, se détache de son bord supérieur, et se relève vers la face la plus voisine de l'orifice et s'abaisse vers la face opposée. Elle se détache de ses parois latérales pour les deux premières charges, et s'y attache au contraire pour les deux dernières.

Point de lambeau dans le canal pour les deux premières et les deux dernières expériences, et quelques légers trous seulement pour les autres.

Les vagues au-dessus de l'orifice, la chute à l'entrée de l'étrémité réservoir qui le précède immédiatement, et la contraction de la veine en ce point, deviennent de plus en plus sensibles à mesure que la charge diminue.

Orifice de 0<sup>m</sup>,20 de hauteur et 0<sup>m</sup>,20 de largeur, prolongé au dehors du réservoir

DATES  par expériences.	NUMÉROS  des  expériences.	LA HAUTEUR DU NIVEAU DE L'EAU DANS LE RÉSERVOIR ÉTAI									
		à 3 <sup>m</sup> ,20 EN AMONT DE L'ORIFICE.									
		à 0 <sup>m</sup> ,20 EN AMONT					à 0 <sup>m</sup> ,20 EN AMONT				
		CRASSE sur le centre de l'orifice, ou valeur de H.	VALSEPS de de de rapport de H.	VÉLITES de de de rapport de H.	VITESSE théorique ou valeur de V.	VITESSE observée ou valeur de V.	la hauteur de D. ou du rapport de H.	CRASSE sur le centre de l'orifice, ou valeur de H.	VALSEPS de de de rapport de H.	VÉLITES de de de rapport de H.	VITESSE théorique ou valeur de V.
Suite du DISPOSITIF DE L.											
5 novembre 1854.....	1158 1159 1160	0,1207	4,60	1,5288	61,552	30,159 30,167 30,145	0,4900 0,4961 0,4896	0,4900	0,1149	6,57	1,580
DISPOSITIF DE L.											
30 octobre 1854.....	1161 1162 1163 1164 1165 1166 1167	0,9291 0,3631	4,65 1,77	1,2093 2,5941	170,772 103,776	167,160 167,343 61,080 62,405 67,830	0,6272 0,6286 0,5973 0,6013 0,5960	0,6280	0,9297 0,3360	4,65 1,69	1,570 2,575
DISPOSITIF DE L.											
29 décembre 1854.....	1168 1169 1170 1171	1,7144	6,57	5,7093	231,072	164,867 161,636 107,323 107,450	0,6211 0,6248 0,6227 0,6235	0,6210	1,7074	6,54	5,730
28 décembre 1854.....	1172 1173	0,9060	4,75	4,3170	172,686	107,618 107,011	0,6231 0,6197	0,6230	0,9410	4,71	4,900
29 décembre 1854.....	1174 1175	0,4665	2,60	2,8030	112,150	65,942 66,096	0,5971 0,5975	0,5973	0,3000	1,95	2,760
28 décembre 1854.....	1176 1177	0,3120	1,21	2,1769	87,150	49,640 49,419	0,5695 0,5678	0,5663	0,2300	1,15	2,110



V XIII.

par un canal rectangulaire découvert et horizontal, de même largeur que l'orifice.

RESERVOIR DE L'ÉPREUVE.	RÉSULTATS RELATIFS À LA VITESSE DE L'EAU DESSUS LE CANAL.						OBSERVATIONS PARTICULIÈRES.
	VITESSE		HAUTEUR de l'eau au point où l'on a observé dans le canal.	VITESSE de l'eau dans le canal.	VITESSE de l'eau dans le canal.	VITESSE de l'eau dans le canal.	
	de partant de D. au rapport de $\frac{H}{D}$	pour chaque expérience.					
de D.	pour chaque expérience.	mesure pour chaque charge.	le point où l'on a observé de D.	de a.	de a.	de a.	

FIGURE 20, PLANCHE 2.

de D.	0,5022						
10,000	0,5023	0,5022	.	.	.	.	.
	0,5020						

FIGURE 21, PLANCHE 2.

170,000	0,6270	0,6278	.	.	.	.	.
	0,6266						
165,000	0,6618	0,6621	.	.	.	.	.
	0,6659						
	0,6613						
10,120	0,5107	0,5103	.	.	.	.	.
	0,5098						

Le veine, détaché d'abord des parois latérales du canal sur une longueur de 0",26 à partir de l'orifice, s'en détache de nouveau en même à mesure que la charge diminue.  
Pour les deux premières expériences, il y a, entre le fond du canal et la veine, une nappe d'air de 0",30 de longueur qui disparaît pour les autres expériences.  
Mêmes observations que pour le diagramme de la figure 19, en ce qui concerne les mesures au sommet de l'orifice et la chute à l'aval de l'étrémité observée qui le précède immédiatement.

FIGURE 22, PLANCHE 2.

31,200	0,6257	0,6259	.	.	.	.	.
	0,6261						
	0,6256						
	0,6254						
	0,6262						
	0,6256						
10,040	0,6050	0,6053	.	.	.	.	.
	0,6055						
10,040	0,5653	0,5670	.	.	.	.	.
	0,5616						

Le veine, à sa sortie de l'orifice, est toujours le fond du canal et est en outre entièrement détachée de ses parois latérales.  
Évidemment inaccessibles dans le réservoir, au sommet de l'orifice.

Orifice de 0<sup>m</sup>,20 de hauteur et 0<sup>m</sup>,20 de largeur, prolongé au dehors du réservoir

DATES  DES OBSERVATIONS.	NUMÉROS  DES  EXPÉRIENCES.	LA HAUTEUR DU NIVEAU DE L'EAU DANS LE RÉSERVOIR ÉTAIT									
		À 5 <sup>m</sup> ,50 EN AMONT DE L'ORIFICE.						À 0 <sup>m</sup> ,50 EN AMONT			
		ÉTAT DE LA SURFACE DE L'EAU		ÉTAT DE LA SURFACE DE L'EAU		ÉTAT DE LA SURFACE DE L'EAU		ÉTAT DE LA SURFACE DE L'EAU		ÉTAT DE LA SURFACE DE L'EAU	
		ÉTAT DE LA SURFACE DE L'EAU	ÉTAT DE LA SURFACE DE L'EAU	ÉTAT DE LA SURFACE DE L'EAU	ÉTAT DE LA SURFACE DE L'EAU	ÉTAT DE LA SURFACE DE L'EAU	ÉTAT DE LA SURFACE DE L'EAU	ÉTAT DE LA SURFACE DE L'EAU	ÉTAT DE LA SURFACE DE L'EAU	ÉTAT DE LA SURFACE DE L'EAU	ÉTAT DE LA SURFACE DE L'EAU
<b>DISPOSITIF DE LA</b>											
10 octobre 1881.....	1176 1179	1,7706	8,85	5,8933	535,732	148,918 143,676	0,6100 0,6080	0,0101	1,7764	8,85	5,8933
	1180 1181 1182	0,3620	1,92	8,7115	109,776	55,816 85,822 65,963	0,6004 0,5996 0,6005	0,6001	6,3632	1,92	5,7411
10 octobre 1881.....	1188 1184 1185	0,1004	0,40	1,3369	61,478	32,376 33,453 48,400	0,5920 0,5980 0,5870	0,5957	8,1100	0,55	1,6000
<b>DISPOSITIF DE LA</b>											
30 septembre 1881.....	1186 1187	1,3028	8,41	5,8400	530,306	145,656 145,816	0,6187 0,6164	0,6166	1,7618	8,81	5,8700
	1188 1189	1,6531	7,27	5,3393	612,578	141,802 181,885	0,6173 0,6173	0,6176	1,6540	7,26	5,3304
1 <sup>re</sup> octobre 1881.....	1190 1191	0,6980	3,96	5,6870	147,636	48,890 59,956	0,6090 0,6100	0,6090	6,6882	3,94	5,6700
	1192 1193	0,1302	0,80	1,7872	70,000	38,941 39,002	0,5909 0,5925	0,5917	6,1478	0,74	1,7000
<b>DISPOSITIF DE LA</b>											
29 septembre 1881.....	1194 1195	1,7728	8,46	5,8973	530,992	151,877 151,546	0,6415 0,6412	0,6415	1,7630	8,46	5,8910

V XIII.

sur un canal rectangulaire découvert, incliné à  $\frac{1}{2}$ , et de même largeur que l'orifice.

HEURE		RÉSULTATS										OBSERVATIONS PARTICULIÈRES.
S'ÉCOULEMENT.		RÉSUMÉ DE LA VITESSE DE L'EAU DANS LE CANAL.										
HEURE	MINUTES	HAUTEUR DE L'EAU EN PIEDS	HAUTEUR DE L'EAU EN PIEDS	HAUTEUR DE L'EAU EN PIEDS	HAUTEUR DE L'EAU EN PIEDS	HAUTEUR DE L'EAU EN PIEDS	HAUTEUR DE L'EAU EN PIEDS	HAUTEUR DE L'EAU EN PIEDS	HAUTEUR DE L'EAU EN PIEDS	HAUTEUR DE L'EAU EN PIEDS	HAUTEUR DE L'EAU EN PIEDS	
0	00	0,1000	0,1000	0,1000	0,1000	0,1000	0,1000	0,1000	0,1000	0,1000	0,1000	
0	15	0,1000	0,1000	0,1000	0,1000	0,1000	0,1000	0,1000	0,1000	0,1000	0,1000	
0	30	0,1000	0,1000	0,1000	0,1000	0,1000	0,1000	0,1000	0,1000	0,1000	0,1000	
0	45	0,1000	0,1000	0,1000	0,1000	0,1000	0,1000	0,1000	0,1000	0,1000	0,1000	
1	00	0,1000	0,1000	0,1000	0,1000	0,1000	0,1000	0,1000	0,1000	0,1000	0,1000	

FIGURE 23, PLANCHE 2.

HEURE	MINUTES	HAUTEUR DE L'EAU EN PIEDS	HAUTEUR DE L'EAU EN PIEDS	HAUTEUR DE L'EAU EN PIEDS	HAUTEUR DE L'EAU EN PIEDS	HAUTEUR DE L'EAU EN PIEDS	HAUTEUR DE L'EAU EN PIEDS
00,735		0,1000 0,0990	0,1000	*	*	*	*
00,673		0,1010 0,1000 0,1000	0,1000	*	*	*	*
00,760		0,1000 0,1000 0,1011	0,1000	*	*	*	*

Les apparences de l'écoulement sont les mêmes que dans le cas du dispositif de la Figure 16, sauf que les contractions supérieures et latérales sont plus prononcées, surtout pour les filets chargés, et que, pour ces derniers, il y a moins de remous dans le canal.

FIGURE 24, PLANCHE 2.

HEURE	MINUTES	HAUTEUR DE L'EAU EN PIEDS	HAUTEUR DE L'EAU EN PIEDS	HAUTEUR DE L'EAU EN PIEDS	HAUTEUR DE L'EAU EN PIEDS	HAUTEUR DE L'EAU EN PIEDS	HAUTEUR DE L'EAU EN PIEDS
00,128		0,1000 0,1000	0,1000	*	*	*	*
00,616		0,1000 0,1000	0,1000	*	*	*	*
00,973		0,1010 0,1011	0,1000	*	*	*	*
00,000		0,1000 0,1000	0,1000	*	*	*	*

Le veau se contracte plus fortement et il y a moins de remous dans le canal, pour les filets chargés, que dans le cas du dispositif de la Figure 16. Les autres circonstances de l'écoulement paraissent d'ailleurs être les mêmes.

FIGURE 25, PLANCHE 2.

HEURE	MINUTES	HAUTEUR DE L'EAU EN PIEDS	HAUTEUR DE L'EAU EN PIEDS	HAUTEUR DE L'EAU EN PIEDS	HAUTEUR DE L'EAU EN PIEDS	HAUTEUR DE L'EAU EN PIEDS	HAUTEUR DE L'EAU EN PIEDS
00,500		0,1000 0,1000	0,1000	*	*	*	*

Les apparences de l'écoulement ne diffèrent de celles qui se rapportent au dispositif de la Figure 16, qu'en ce que, pour le plus faible débit, le veau, au lieu d'être attaché aux parois latérales du canal, en est détaché sur une longueur de 0,02 à partir de l'orifice.

Orifice de 0<sup>m</sup>,20 de hauteur et 0<sup>m</sup>,20 de largeur, prolongé au dehors du réservoir

DATES  DES OPÉRATIONS	NOMBRES  des  OPÉRATIONS	LA HAUTEUR DU NIVEAU DE L'EAU DANS LE RÉSERVOIR ÉTAIT									
		à 2 <sup>m</sup> ,50 EN AMONT DE L'ORIFICE.					à 0 <sup>m</sup> ,20 EN AMONT				
		VARIÉTÉ		MÉTIIODE		VARIÉTÉ		VARIÉTÉ		VARIÉTÉ	
		de la nature de l'écoulement en vitesse de H.	de la nature de l'écoulement en vitesse de H.	de la nature de l'écoulement en vitesse de H.	de la nature de l'écoulement en vitesse de H.	de la nature de l'écoulement en vitesse de H.	de la nature de l'écoulement en vitesse de H.	de la nature de l'écoulement en vitesse de H.	de la nature de l'écoulement en vitesse de H.	de la nature de l'écoulement en vitesse de H.	de la nature de l'écoulement en vitesse de H.
Suite du DISPOSITIF DE B											
		autres	autres	autres	autres	autres	autres	autres	autres	autres	autres
		1196	1197	1198	1199	1200	1201	1202	1203	1204	1205
		1,1106	0,6300	0,3040	0,3604	0,3892	0,4761	0,3511	0,1201	0,4761	0,3511
		5,55	3,15	2,02	1,23	1,05	2,40	1,30	0,60	2,40	1,30
		4,6077	140,654	3,8183	87,043	81,040	3,0653	3,2195	1,5360	3,0653	3,2195
		184,786	85,883	112,730	87,043	81,040	122,632	38,700	61,360	122,632	38,700
		210,145	85,883	70,507	53,217	48,290	76,733	58,973	83,068	76,733	58,973
		0,6375	0,6321	0,6262	0,6076	0,5962	0,6259	0,6001	0,5361	0,6259	0,6001
		0,6377	0,6140	0,6063	0,6076	0,5961	0,6064	0,6001	0,5361	0,6064	0,6001
		3,0900	3,07	2,04	1,12	0,90	0,4797	0,3631	0,1166	0,4797	0,3631
		3,08	3,07	2,04	1,12	0,90	3,08	3,07	2,04	1,12	0,90
		1831	1832	1833	1834	1835	1836	1837	1838	1839	1840
		1206	1207	1208	1209	1210	1211	1212	1213	1214	1215
		0,3892	0,3892	0,3892	0,3892	0,3892	0,3892	0,3892	0,3892	0,3892	0,3892
		1,05	1,05	1,05	1,05	1,05	1,05	1,05	1,05	1,05	1,05
		2,02	2,02	2,02	2,02	2,02	2,02	2,02	2,02	2,02	2,02
		3,8183	3,8183	3,8183	3,8183	3,8183	3,8183	3,8183	3,8183	3,8183	3,8183
		112,730	112,730	112,730	112,730	112,730	112,730	112,730	112,730	112,730	112,730
		70,507	70,507	70,507	70,507	70,507	70,507	70,507	70,507	70,507	70,507
		53,217	53,217	53,217	53,217	53,217	53,217	53,217	53,217	53,217	53,217
		48,290	48,290	48,290	48,290	48,290	48,290	48,290	48,290	48,290	48,290
		0,5962	0,5962	0,5962	0,5962	0,5962	0,5962	0,5962	0,5962	0,5962	0,5962
		0,5961	0,5961	0,5961	0,5961	0,5961	0,5961	0,5961	0,5961	0,5961	0,5961
		0,1792	0,1792	0,1792	0,1792	0,1792	0,1792	0,1792	0,1792	0,1792	0,1792
		0,90	0,90	0,90	0,90	0,90	0,90	0,90	0,90	0,90	0,90
		1,87	1,87	1,87	1,87	1,87	1,87	1,87	1,87	1,87	1,87
		1831	1832	1833	1834	1835	1836	1837	1838	1839	1840
		0,4761	0,4761	0,4761	0,4761	0,4761	0,4761	0,4761	0,4761	0,4761	0,4761
		2,40	2,40	2,40	2,40	2,40	2,40	2,40	2,40	2,40	2,40
		3,0653	3,0653	3,0653	3,0653	3,0653	3,0653	3,0653	3,0653	3,0653	3,0653
		122,632	122,632	122,632	122,632	122,632	122,632	122,632	122,632	122,632	122,632
		76,733	76,733	76,733	76,733	76,733	76,733	76,733	76,733	76,733	76,733
		0,6259	0,6259	0,6259	0,6259	0,6259	0,6259	0,6259	0,6259	0,6259	0,6259
		0,6064	0,6064	0,6064	0,6064	0,6064	0,6064	0,6064	0,6064	0,6064	0,6064
		0,4797	0,4797	0,4797	0,4797	0,4797	0,4797	0,4797	0,4797	0,4797	0,4797
		2,40	2,40	2,40	2,40	2,40	2,40	2,40	2,40	2,40	2,40
		3,08	3,08	3,08	3,08	3,08	3,08	3,08	3,08	3,08	3,08
		1831	1832	1833	1834	1835	1836	1837	1838	1839	1840
		0,3892	0,3892	0,3892	0,3892	0,3892	0,3892	0,3892	0,3892	0,3892	0,3892
		1,05	1,05	1,05	1,05	1,05	1,05	1,05	1,05	1,05	1,05
		2,02	2,02	2,02	2,02	2,02	2,02	2,02	2,02	2,02	2,02
		3,8183	3,8183	3,8183	3,8183	3,8183	3,8183	3,8183	3,8183	3,8183	3,8183
		112,730	112,730	112,730	112,730	112,730	112,730	112,730	112,730	112,730	112,730
		70,507	70,507	70,507	70,507	70,507	70,507	70,507	70,507	70,507	70,507
		53,217	53,217	53,217	53,217	53,217	53,217	53,217	53,217	53,217	53,217
		48,290	48,290	48,290	48,290	48,290	48,290	48,290	48,290	48,290	48,290
		0,5962	0,5962	0,5962	0,5962	0,5962	0,5962	0,5962	0,5962	0,5962	0,5962
		0,5961	0,5961	0,5961	0,5961	0,5961	0,5961	0,5961	0,5961	0,5961	0,5961
		0,1792	0,1792	0,1792	0,1792	0,1792	0,1792	0,1792	0,1792	0,1792	0,1792
		0,90	0,90	0,90	0,90	0,90	0,90	0,90	0,90	0,90	0,90
		1,87	1,87	1,87	1,87	1,87	1,87	1,87	1,87	1,87	1,87

N° XIII.

par un canal rectangulaire découvert, incliné à  $\frac{1}{17}$ , et de même largeur que l'orifice.

DESCRIZÉ DE L'ORIFICE.	RÉSULTATS RELATIFS À LA VITESSE DE L'EAU DANS LE CANAL.						OBSERVATIONS PARTICULIÈRES
	portance de l'écoulement en point de vue de la section		résultat de la section de la section de la section		rapport de la vitesse moyenne dans le canal à la vitesse théorique dans l'orifice.		
	de l'écoulement de l'écoulement de l'écoulement	de l'écoulement de l'écoulement de l'écoulement	de l'écoulement de l'écoulement de l'écoulement	de l'écoulement de l'écoulement de l'écoulement	de l'écoulement de l'écoulement de l'écoulement	de l'écoulement de l'écoulement de l'écoulement	
de l'écoulement de l'écoulement de l'écoulement	de l'écoulement de l'écoulement de l'écoulement	de l'écoulement de l'écoulement de l'écoulement	de l'écoulement de l'écoulement de l'écoulement	de l'écoulement de l'écoulement de l'écoulement	de l'écoulement de l'écoulement de l'écoulement	de l'écoulement de l'écoulement de l'écoulement	

FIGURE 25, PLANCHE 2.

litres	0,4415 0,4400	0,4411						
100,700								
	0,4393 0,4400	0,4398						
100,020								
	0,4400 0,4404	0,4404						
100,330								
	0,4511 0,4379	0,4366						
10,990								
	0,4380 0,4431	0,4430						
70,120								

FIGURE 26, PLANCHE 3.

litres	0,9250 0,9220	0,9243						
22,700								
	0,6090 0,6120	0,6114						
87,300								
	0,5610 0,5590	0,5598						
10,004								
	0,5580							

Le veine est découpée aux points indiqués de canal, sur une longueur de 0<sup>m</sup>,205, à partir de l'orifice, pour les deux premières expériences, de 0<sup>m</sup>,30 pour les deux suivantes et de 0<sup>m</sup>,025 pour les trois dernières.  
Pour la première charge, on remarque, entre le fond de canal et le veine, une nappe d'air de 0<sup>m</sup>,30 de hauteur qui disparaît pour les autres charges.

Orifice de 0<sup>m</sup>,20 de hauteur et 0<sup>m</sup>,20 de largeur, prolongé au dehors du réservoir par un canal

DATE	NOMBRES	LA HAUTEUR DU NIVEAU DE L'EAU DANS LE RÉSERVOIR ÉTANT									
		à 3 <sup>m</sup> ,50 EN AMONT DE L'ORIFICE.									
		à 3 <sup>m</sup> ,50 EN AMONT DE L'ORIFICE.					à 0 <sup>m</sup> ,02 EN AMONT				
		CHARGE sur le centre de l'orifice, en valeur $\frac{H}{h^2}$ de H.	VALEUR de la vitesse rapportée $\frac{H}{h^2}$ de V.	DÉPENSE théorique par seconde, en valeur $\frac{H}{h^2}$ de V.	DÉPENSE effective par seconde, en valeur $\frac{H}{h^2}$ de V.	VALEUR de coefficient de D., en rapport $\frac{H}{h^2}$ de H.	CHARGE sur le centre de l'orifice, en valeur $\frac{H}{h^2}$ de H.	VALEUR de la vitesse rapportée $\frac{H}{h^2}$ de V.	DÉPENSE théorique par seconde, en valeur $\frac{H}{h^2}$ de V.	DÉPENSE effective par seconde, en valeur $\frac{H}{h^2}$ de V.	VALEUR de coefficient de D., en rapport $\frac{H}{h^2}$ de H.
<b>DISPOSITIF DE LA</b>											
<b>(Canal de 3<sup>m</sup>,00 de</b>											
26 août 1831	1215										
	1216	1,103	5,53	8,6562	186,246	117,569	0,6301				
	1217					117,675	0,6306	0,6802	1,1036	5,58	8,6531
	1218	0,9497	1,20	2,3132	58,258	28,200	0,5091	0,5091	0,9477	1,20	2,3044
27 août 1831	1219					66,011	0,5783				
	1220	0,9096	1,00	2,0980	81,129	66,957	0,5789	0,5789	0,9066	1,00	2,0122
	1221					66,991	0,5793				
<b>DISPOSITIF DE LA</b>											
<b>(Canal de 3<sup>m</sup>,00 de</b>											
28 août 1831	1222					67,007	0,5816				
	1223	0,9087	1,04	2,0935	80,940	67,133	0,5823	0,5819	0,9056	1,03	2,0933
<b>DISPOSITIF DE LA</b>											
<b>(Canal de 1<sup>m</sup>,21 de</b>											
30 août 1831	1224	1,4656	8,23	5,6218	227,373	119,373	0,6568		1,6610	8,22	5,6006
	1225	1,6158	8,68	5,6302	225,208	117,968	0,6570	0,6560	1,6148	8,27	5,6283
	1226	1,6037	8,02	5,6069	224,356	117,613	0,6570		1,6027	8,01	5,6073
	1227					121,732	0,6567				
	1228	1,1019	5,51	4,6194	185,978	121,732	0,6567	0,6567	1,1008	5,50	4,6471
	1229					97,251	0,6556				
	1230	0,7054	2,03	3,7900	118,900	97,127	0,6527	0,6522	0,7031	2,02	3,7160
	1231					72,222	0,6501				
1232	0,5042	2,02	2,8159	115,636	72,188	0,6496	0,6500	0,5026	2,01	2,8111	

rectangulaire découvert, de diverses longueurs et inclinaisons, et de même largeur que l'orifice.

MESURÉE		RÉSULTATS						OBSERVATIONS PARTICULIÈRES.
DE L'ORIFICE.		RELATIFS À LA VITESSE DE L'EAU DANS LE CANAL.						
hauteur	largeur	distance de l'orifice au point où l'on a pris la section dite support	distance de la section au canal	distance de la section au commencement de la section dite support	distance de l'orifice à la section dite support	distance de l'orifice à la section dite support	distance de l'orifice à la section dite support	
hauteur	largeur	distance de l'orifice au point où l'on a pris la section dite support	distance de la section au canal	distance de la section au commencement de la section dite support	distance de l'orifice à la section dite support	distance de l'orifice à la section dite support	distance de l'orifice à la section dite support	OBSERVATIONS PARTICULIÈRES.
hauteur	largeur	distance de l'orifice au point où l'on a pris la section dite support	distance de la section au canal	distance de la section au commencement de la section dite support	distance de l'orifice à la section dite support	distance de l'orifice à la section dite support	distance de l'orifice à la section dite support	
hauteur	largeur	distance de l'orifice au point où l'on a pris la section dite support	distance de la section au canal	distance de la section au commencement de la section dite support	distance de l'orifice à la section dite support	distance de l'orifice à la section dite support	distance de l'orifice à la section dite support	

FIGURE 27. PLANCHE 3.

longueur inclinée à  $\frac{1}{10}$ .

hauteur	largeur	distance de l'orifice au point où l'on a pris la section dite support	distance de la section au canal	distance de la section au commencement de la section dite support	distance de l'orifice à la section dite support	distance de l'orifice à la section dite support	distance de l'orifice à la section dite support
0,6300	0,6300	0,6300	0,6300	0,6300	0,6300	0,6300	0,6300
0,6312	0,6300	0,6300	0,6300	0,6300	0,6300	0,6300	0,6300
0,6300	0,6300	0,6300	0,6300	0,6300	0,6300	0,6300	0,6300
0,6300	0,6300	0,6300	0,6300	0,6300	0,6300	0,6300	0,6300
0,6300	0,6300	0,6300	0,6300	0,6300	0,6300	0,6300	0,6300

Les circonstances de l'écoulement paraissent être exactement les mêmes que dans le cas du dispositif de la figure 19.

FIGURE 27. PLANCHE 3.

longueur inclinée à  $\frac{1}{15}$ .

hauteur	largeur	distance de l'orifice au point où l'on a pris la section dite support	distance de la section au canal	distance de la section au commencement de la section dite support	distance de l'orifice à la section dite support	distance de l'orifice à la section dite support	distance de l'orifice à la section dite support
0,6650	0,6650	0,6650	0,6650	0,6650	0,6650	0,6650	0,6650
0,6667	0,6650	0,6650	0,6650	0,6650	0,6650	0,6650	0,6650
0,6650	0,6650	0,6650	0,6650	0,6650	0,6650	0,6650	0,6650
0,6650	0,6650	0,6650	0,6650	0,6650	0,6650	0,6650	0,6650
0,6650	0,6650	0,6650	0,6650	0,6650	0,6650	0,6650	0,6650

Les circonstances de l'écoulement paraissent être exactement les mêmes que dans le cas du dispositif de la figure 19.

FIGURE 27. PLANCHE 3.

longueur inclinée à  $\frac{1}{20}$ .

hauteur	largeur	distance de l'orifice au point où l'on a pris la section dite support	distance de la section au canal	distance de la section au commencement de la section dite support	distance de l'orifice à la section dite support	distance de l'orifice à la section dite support	distance de l'orifice à la section dite support
0,6670	0,6670	0,6670	0,6670	0,6670	0,6670	0,6670	0,6670
0,6672	0,6670	0,6670	0,6670	0,6670	0,6670	0,6670	0,6670
0,6673	0,6670	0,6670	0,6670	0,6670	0,6670	0,6670	0,6670
0,6649	0,6649	0,6649	0,6649	0,6649	0,6649	0,6649	0,6649
0,6649	0,6649	0,6649	0,6649	0,6649	0,6649	0,6649	0,6649
0,6642	0,6642	0,6642	0,6642	0,6642	0,6642	0,6642	0,6642
0,6633	0,6633	0,6633	0,6633	0,6633	0,6633	0,6633	0,6633
0,6612	0,6612	0,6612	0,6612	0,6612	0,6612	0,6612	0,6612
0,6609	0,6609	0,6609	0,6609	0,6609	0,6609	0,6609	0,6609

La veine, à sa sortie de l'orifice, est constamment le fond du canal. Elle se détache au contraire de ses parois latérales sur une longueur de 0<sup>m</sup>,12, à partir de l'orifice, pour les trois premières expériences. Cette distance diminue avec les charges, et elle est presque nulle pour la dernière.

Orifice de 0<sup>m</sup>,20 de hauteur et 0<sup>m</sup>,20 de largeur, prolongé au dehors du réservoir par un canal

DATES  DES EXPÉRIENCES.	NOMBRES  DES  EXPÉRIENCES.	LA HAUTEUR DU NIVEAU DE L'EAU DANS LE RÉSERVOIR ÉTAIT									
		à 3 <sup>m</sup> ,50 EN AMONT DE L'ORIFICE.					à 0 <sup>m</sup> ,50 EN AMONT				
		ÉTAT DE LA CROIXE DE L'ORIFICE, ou valeur de H.	VARIATION		DÉBIT		VARIATION		ÉTAT DE LA CROIXE DE L'ORIFICE, ou valeur de H.	VARIATION	
			de la cote de report $\frac{H}{1-4}$	de la cote des à H. ou de V.	théorique par seconde. ou valeur de D.	réelle par seconde. ou valeur de H.	de coefficient de D. ou de rapport $\frac{H}{D}$ pour chaque expérience.	de coefficient de D. ou de rapport $\frac{H}{D}$ pour chaque expérience.		de la cote de report $\frac{H}{1-4}$	de la cote des à H. ou de V.
Suite du DISPOSITIF DE LA (Suite du Canal de 1 <sup>m</sup> ,24 de											
30 août 1831 .....	1232 1233	0,5079	1,04	2,0495	90,780	50,911 50,839	0,6202 0,6256	0,0298	0,5082	1,02	2,0012
DISPOSITIF DE LA (Canal de 0 <sup>m</sup> ,74 de											
31 août 1831 .....	1235	1,2730	0,37	4,9073	190,809	133,133	0,6875	0,6658	1,2730	0,36	4,9058
	1236	1,3730	0,36	4,9003	190,819	132,709	0,6641		1,3710	0,36	4,9038
	1237	0,6704	3,35	2,6265	145,000	97,796	0,6712	0,6738	0,6601	3,35	3,0239
	1238					97,668	0,6733				
	1239	0,6681	2,96	2,8296	112,184	76,408	0,6751	0,6744	0,6607	2,93	2,8265
	1241					76,356	0,6737				
1242	0,2094	1,85	2,0270	81,090	54,002	0,6660	0,6640	0,2090	1,83	2,0095	
DISPOSITIF DE LA (Canal de 0 <sup>m</sup> ,15 de											
1 <sup>er</sup> septembre 1831 .....	1243					58,886	0,6943				
	1244	0,2254	3,11	2,0890	83,560	57,648	0,6896	0,6916	0,2193	3,10	2,0735
	1245					67,743	0,6810				
DISPOSITIF DE LA (Canal horizontal de 2 <sup>m</sup> ,35 de longueur, dont											
1 <sup>er</sup> septembre 1831 .....	1246 1247	0,2983	1,04	2,0215	80,360	56,133 56,135	0,6900 0,6900	0,2980	0,2984	1,02	2,0045



V. XII.

rectangle découvert, de diverses longueurs et inclinaisons, et de même largeur que l'orifice.

SÉRIE	RÉSULTATS										OBSERVATIONS PARTICULIÈRES.
	RELATIFS À LA VITESSE DE L'EAU DANS LE CANAL.										
L'ÉTENDUE.	DISTANCE de l'orifice au point où l'on a pris la vitesse dans le canal.		VITESSE de la section de la section de la section.	VITESSE moyenne de l'eau dans la section.	VITESSE de l'eau au centre de la section.	VITESSE de l'eau au centre de la section.	VITESSE de l'eau au centre de la section.	VITESSE de l'eau au centre de la section.	VITESSE de l'eau au centre de la section.	VITESSE de l'eau au centre de la section.	VITESSE de l'eau au centre de la section.
	en mètres.	en mètres.									
0,050	0,050	0,050	0,0706	0,50	326,399	1,5591	0,7780	0,7700			
			0,1336	0,67	304,146	1,6616	0,8228	0,8302			
			0,3102	1,25	285,577	1,7814	0,8891	0,8900			
			1,3155	5,26	212,167	2,3945	1,1896	1,1902			

FIGURE 27, PLANCHE 3.

Canal incliné à  $\frac{1}{100}$ .

Dist.	en mètres.	en mètres.	en mètres.	en mètres.	en mètres.	en mètres.	en mètres.	en mètres.
0,050	0,050	0,050	0,0706	0,50	326,399	1,5591	0,7780	0,7700
			0,1336	0,67	304,146	1,6616	0,8228	0,8302
			0,3102	1,25	285,577	1,7814	0,8891	0,8900
			1,3155	5,26	212,167	2,3945	1,1896	1,1902

FIGURE 27, PLANCHE 3.

Canal incliné à  $\frac{1}{20}$ .

Dist.	en mètres.	en mètres.	en mètres.	en mètres.	en mètres.	en mètres.	en mètres.	en mètres.
0,613	0,667	0,666	0,5367	1,63	393,155	4,5267	0,9061	0,9056
0,723	0,663	0,666	0,3656	2,82	389,854	4,5783	0,9185	0,9160
			0,4119	2,06	386,372	4,6590	0,9276	0,9283
			0,2402	1,30	388,794	3,3642	0,9332	0,9340
0,950	0,678	0,678	0,2875	1,44	385,282	3,4509	0,9516	0,9523
			0,3316	1,67	377,319	3,5942	0,9716	0,9726
0,984	0,678	0,678	"	"	"	"	"	"
			0,6717	"	"	"	"	"
0,392	0,669	0,678	"	"	"	"	"	"

Pour les deux premières expériences, il y a, entre le veine et le fond du canal, une verge d'air qui se résout à quelques centimètres, et se montre que peu distante pour les expériences suivantes.

Le veine est détachée du fond de canal jusqu'à 0<sup>m</sup>,316 de l'orifice, et, de son point latéral, jusqu'à 0<sup>m</sup>,163, pour les deux premières expériences. Ces deux distances diminuent avec les charges. La première n'est plus que de 0<sup>m</sup>,12 pour les deux dernières expériences, et la seconde est à peu près nulle.

FIGURE 27, PLANCHE 3.

Canal incliné à  $\frac{1}{50}$ .

Dist.	en mètres.	en mètres.	en mètres.	en mètres.	en mètres.	en mètres.	en mètres.	en mètres.
1,068	0,695	0,695	"	"	"	"	"	"
	0,695	0,695	"	"	"	"	"	"
	0,695	0,695	"	"	"	"	"	"

Le veine est entièrement détachée du fond de canal jusqu'à son extrémité, et elle l'est en certains points-pair de son point latéral.

FIGURE 27, PLANCHE 3.

fond est à 0<sup>m</sup>,05 au-dessous de la base de l'orifice.)

Dist.	en mètres.	en mètres.	en mètres.	en mètres.	en mètres.	en mètres.	en mètres.	en mètres.
1,170	0,683	0,683	"	"	"	"	"	"
	0,683	0,683	"	"	"	"	"	"

Charge prise au l'entrée du canal, donnant lieu à un bouillonnement.

Orifice de 0<sup>m</sup>,10 de hauteur et 0<sup>m</sup>,20 de largeur, prolongé au dehors du réservoir

DATE	TEMPÉRATURE		NOMEROS	LA HAUTEUR DU NIVEAU DE L'EAU DANS LE RÉSERVOIR ÉTANT																			
				À 3 <sup>m</sup> ,50 EN AMONT DE L'ORIFICE						À 0 <sup>m</sup> ,50 EN AVANT													
	de	de		CHARGES sur le canon de l'orifice, ou valeur de H.	VALEURS de la vitesse rapportées à H.		DÉPENSES effectives par seconde, ou valeur de D.		VALEURS de coefficient de D.		CHARGES sur le canon de l'orifice, ou valeur de H.	VALEURS de la vitesse rapportées à H.											
1 <sup>ère</sup>	2 <sup>ème</sup>	1 <sup>ère</sup>	2 <sup>ème</sup>	3 <sup>ème</sup>	4 <sup>ème</sup>	5 <sup>ème</sup>	6 <sup>ème</sup>	7 <sup>ème</sup>	8 <sup>ème</sup>	9 <sup>ème</sup>	10 <sup>ème</sup>												
23 octobre 1828	11,7	12,0	1218	1,3000	13,36	5,1977	103,153	63,323	0,6130	0,6119	1,3500	13,56	3,13										
			1219											16,07	8,4420	58,903	58,733	0,6156	0,6156	1,0071	16,07	3,43	
			1220																				
			1221																				
25 octobre 1828	11,4	11,5	1222	0,8818	8,82	3,0785	61,400	37,863	0,6156	0,6170	0,8168	8,82	3,07										
			1223																				
			1224																				
16 octobre 1828	19,2	11,0	1225	0,1400	1,61	1,7750	35,300	21,023	0,5022	0,5010	0,1396	1,60	1,40										
			1226											0,1140	1,14	1,6900	29,910	16,850	0,5636	0,5630	6,1122	1,12	1,40
			1227																				
			1228																				
15 octobre 1828	13,0	11,5	1229	0,0680	0,68	1,8139	30,178	13,774	0,5312	0,5285	0,5281	0,85	1,05										
			1230																				
			1231																				
			1232																				
16 octobre 1828	19,2	11,0	1233	0,0480	0,48	1,1117	22,536	10,297	0,6031	0,6030	0,54	1,05	1,05										
			1234																				
			1235																				
			1236																				
18 octobre 1828	13,0	11,5	1237	0,0000	0,00	1,0849	21,609	9,983	0,6003	0,6011	0,52	1,05	1,05										
			1238																				
			1239																				
			1240																				

DISPOSITIF DE

est un canal rectangulaire découvert et horizontal, de même largeur que l'orifice.

SÉRIE	VARIABLES				RÉSULTATS						OBSERVATIONS PARTICULIÈRES.
	RELATIFS À LA VITESSE DE L'EAU DANS LE CANAL.				RELATIFS À LA VITESSE DE L'EAU DANS LE CANAL.						
	des coefficients $\frac{V}{\sqrt{gH}}$ , exemple d'après la température, la charge de fluide et son écoulement.				SECTION de l'orifice en $\text{cm}^2$ la section des orifices	VITESSE de l'écoulement en $\frac{\text{m}}{\text{s}}$	PROFONDEUR de l'eau en $\text{m}$	VITESSE de l'écoulement en $\frac{\text{m}}{\text{s}}$	PROFONDEUR de l'eau en $\text{m}$	PROFONDEUR de la vitesse moyenne dans la section de canal à la même hauteur que l'orifice, en valeur de $T$ , la charge de fluide dans l'écoulement.	
	pour chaque orifice.	moyenne pour chaque orifice.	à $0^{\circ}10$ au-dessus de l'orifice.	à $0^{\circ}05$ au-dessus de l'orifice.	en $\text{cm}^2$	en $\frac{\text{m}}{\text{s}}$	en $\text{m}$	en $\frac{\text{m}}{\text{s}}$	en $\text{m}$	à $0^{\circ}10$ en amont de l'orifice.	à $0^{\circ}05$ en amont de l'orifice.

FIGURE 15. PLANCHE 2.

Série	0,0130	0,0138	0,0146	0,0154	0,0162	0,0170	0,0178	0,0186	0,0194	0,0202	0,0210	0,0218	0,0226	0,0234	0,0242	0,0250	0,0258	0,0266	0,0274	0,0282	0,0290	0,0298	0,0306	0,0314	0,0322	0,0330	0,0338	0,0346	0,0354	0,0362	0,0370	0,0378	0,0386	0,0394	0,0402	0,0410	0,0418	0,0426	0,0434	0,0442	0,0450	0,0458	0,0466	0,0474	0,0482	0,0490	0,0498	0,0506	0,0514	0,0522	0,0530	0,0538	0,0546	0,0554	0,0562	0,0570	0,0578	0,0586	0,0594	0,0602	0,0610	0,0618	0,0626	0,0634	0,0642	0,0650	0,0658	0,0666	0,0674	0,0682	0,0690	0,0698	0,0706	0,0714	0,0722	0,0730	0,0738	0,0746	0,0754	0,0762	0,0770	0,0778	0,0786	0,0794	0,0802	0,0810	0,0818	0,0826	0,0834	0,0842	0,0850	0,0858	0,0866	0,0874	0,0882	0,0890	0,0898	0,0906	0,0914	0,0922	0,0930	0,0938	0,0946	0,0954	0,0962	0,0970	0,0978	0,0986	0,0994	0,1002	0,1010	0,1018	0,1026	0,1034	0,1042	0,1050	0,1058	0,1066	0,1074	0,1082	0,1090	0,1098	0,1106	0,1114	0,1122	0,1130	0,1138	0,1146	0,1154	0,1162	0,1170	0,1178	0,1186	0,1194	0,1202	0,1210	0,1218	0,1226	0,1234	0,1242	0,1250	0,1258	0,1266	0,1274	0,1282	0,1290	0,1298	0,1306	0,1314	0,1322	0,1330	0,1338	0,1346	0,1354	0,1362	0,1370	0,1378	0,1386	0,1394	0,1402	0,1410	0,1418	0,1426	0,1434	0,1442	0,1450	0,1458	0,1466	0,1474	0,1482	0,1490	0,1498	0,1506	0,1514	0,1522	0,1530	0,1538	0,1546	0,1554	0,1562	0,1570	0,1578	0,1586	0,1594	0,1602	0,1610	0,1618	0,1626	0,1634	0,1642	0,1650	0,1658	0,1666	0,1674	0,1682	0,1690	0,1698	0,1706	0,1714	0,1722	0,1730	0,1738	0,1746	0,1754	0,1762	0,1770	0,1778	0,1786	0,1794	0,1802	0,1810	0,1818	0,1826	0,1834	0,1842	0,1850	0,1858	0,1866	0,1874	0,1882	0,1890	0,1898	0,1906	0,1914	0,1922	0,1930	0,1938	0,1946	0,1954	0,1962	0,1970	0,1978	0,1986	0,1994	0,2002	0,2010	0,2018	0,2026	0,2034	0,2042	0,2050	0,2058	0,2066	0,2074	0,2082	0,2090	0,2098	0,2106	0,2114	0,2122	0,2130	0,2138	0,2146	0,2154	0,2162	0,2170	0,2178	0,2186	0,2194	0,2202	0,2210	0,2218	0,2226	0,2234	0,2242	0,2250	0,2258	0,2266	0,2274	0,2282	0,2290	0,2298	0,2306	0,2314	0,2322	0,2330	0,2338	0,2346	0,2354	0,2362	0,2370	0,2378	0,2386	0,2394	0,2402	0,2410	0,2418	0,2426	0,2434	0,2442	0,2450	0,2458	0,2466	0,2474	0,2482	0,2490	0,2498	0,2506	0,2514	0,2522	0,2530	0,2538	0,2546	0,2554	0,2562	0,2570	0,2578	0,2586	0,2594	0,2602	0,2610	0,2618	0,2626	0,2634	0,2642	0,2650	0,2658	0,2666	0,2674	0,2682	0,2690	0,2698	0,2706	0,2714	0,2722	0,2730	0,2738	0,2746	0,2754	0,2762	0,2770	0,2778	0,2786	0,2794	0,2802	0,2810	0,2818	0,2826	0,2834	0,2842	0,2850	0,2858	0,2866	0,2874	0,2882	0,2890	0,2898	0,2906	0,2914	0,2922	0,2930	0,2938	0,2946	0,2954	0,2962	0,2970	0,2978	0,2986	0,2994	0,3002	0,3010	0,3018	0,3026	0,3034	0,3042	0,3050	0,3058	0,3066	0,3074	0,3082	0,3090	0,3098	0,3106	0,3114	0,3122	0,3130	0,3138	0,3146	0,3154	0,3162	0,3170	0,3178	0,3186	0,3194	0,3202	0,3210	0,3218	0,3226	0,3234	0,3242	0,3250	0,3258	0,3266	0,3274	0,3282	0,3290	0,3298	0,3306	0,3314	0,3322	0,3330	0,3338	0,3346	0,3354	0,3362	0,3370	0,3378	0,3386	0,3394	0,3402	0,3410	0,3418	0,3426	0,3434	0,3442	0,3450	0,3458	0,3466	0,3474	0,3482	0,3490	0,3498	0,3506	0,3514	0,3522	0,3530	0,3538	0,3546	0,3554	0,3562	0,3570	0,3578	0,3586	0,3594	0,3602	0,3610	0,3618	0,3626	0,3634	0,3642	0,3650	0,3658	0,3666	0,3674	0,3682	0,3690	0,3698	0,3706	0,3714	0,3722	0,3730	0,3738	0,3746	0,3754	0,3762	0,3770	0,3778	0,3786	0,3794	0,3802	0,3810	0,3818	0,3826	0,3834	0,3842	0,3850	0,3858	0,3866	0,3874	0,3882	0,3890	0,3898	0,3906	0,3914	0,3922	0,3930	0,3938	0,3946	0,3954	0,3962	0,3970	0,3978	0,3986	0,3994	0,4002	0,4010	0,4018	0,4026	0,4034	0,4042	0,4050	0,4058	0,4066	0,4074	0,4082	0,4090	0,4098	0,4106	0,4114	0,4122	0,4130	0,4138	0,4146	0,4154	0,4162	0,4170	0,4178	0,4186	0,4194	0,4202	0,4210	0,4218	0,4226	0,4234	0,4242	0,4250	0,4258	0,4266	0,4274	0,4282	0,4290	0,4298	0,4306	0,4314	0,4322	0,4330	0,4338	0,4346	0,4354	0,4362	0,4370	0,4378	0,4386	0,4394	0,4402	0,4410	0,4418	0,4426	0,4434	0,4442	0,4450	0,4458	0,4466	0,4474	0,4482	0,4490	0,4498	0,4506	0,4514	0,4522	0,4530	0,4538	0,4546	0,4554	0,4562	0,4570	0,4578	0,4586	0,4594	0,4602	0,4610	0,4618	0,4626	0,4634	0,4642	0,4650	0,4658	0,4666	0,4674	0,4682	0,4690	0,4698	0,4706	0,4714	0,4722	0,4730	0,4738	0,4746	0,4754	0,4762	0,4770	0,4778	0,4786	0,4794	0,4802	0,4810	0,4818	0,4826	0,4834	0,4842	0,4850	0,4858	0,4866	0,4874	0,4882	0,4890	0,4898	0,4906	0,4914	0,4922	0,4930	0,4938	0,4946	0,4954	0,4962	0,4970	0,4978	0,4986	0,4994	0,5002	0,5010	0,5018	0,5026	0,5034	0,5042	0,5050	0,5058	0,5066	0,5074	0,5082	0,5090	0,5098	0,5106	0,5114	0,5122	0,5130	0,5138	0,5146	0,5154	0,5162	0,5170	0,5178	0,5186	0,5194	0,5202	0,5210	0,5218	0,5226	0,5234	0,5242	0,5250	0,5258	0,5266	0,5274	0,5282	0,5290	0,5298	0,5306	0,5314	0,5322	0,5330	0,5338	0,5346	0,5354	0,5362	0,5370	0,5378	0,5386	0,5394	0,5402	0,5410	0,5418	0,5426	0,5434	0,5442	0,5450	0,5458	0,5466	0,5474	0,5482	0,5490	0,5498	0,5506	0,5514	0,5522	0,5530	0,5538	0,5546	0,5554	0,5562	0,5570	0,5578	0,5586	0,5594	0,5602	0,5610	0,5618	0,5626	0,5634	0,5642	0,5650	0,5658	0,5666	0,5674	0,5682	0,5690	0,5698	0,5706	0,5714	0,5722	0,5730	0,5738	0,5746	0,5754	0,5762	0,5770	0,5778	0,5786	0,5794	0,5802	0,5810	0,5818	0,5826	0,5834	0,5842	0,5850	0,5858	0,5866	0,5874	0,5882	0,5890	0,5898	0,5906	0,5914	0,5922	0,5930	0,5938	0,5946	0,5954	0,5962	0,5970	0,5978	0,5986	0,5994	0,6002	0,6010	0,6018	0,6026	0,6034	0,6042	0,6050	0,6058	0,6066	0,6074	0,6082	0,6090	0,6098	0,6106	0,6114	0,6122	0,6130	0,6138	0,6146	0,6154	0,6162	0,6170	0,6178	0,6186	0,6194	0,6202	0,6210	0,6218	0,6226	0,6234	0,6242	0,6250	0,6258	0,6266	0,6274	0,6282	0,6290	0,6298	0,6306	0,6314	0,6322	0,6330	0,6338	0,6346	0,6354	0,6362	0,6370	0,6378	0,6386	0,6394	0,6402	0,6410	0,6418	0,6426	0,6434	0,6442	0,6450	0,6458	0,6466	0,6474	0,6482	0,6490	0,6498	0,6506	0,6514	0,6522	0,6530	0,6538	0,6546	0,6554	0,6562	0,6570	0,6578	0,6586	0,6594	0,6602	0,6610	0,6618	0,6626	0,6634	0,6642	0,6650	0,6658	0,6666	0,6674	0,6682	0,6690	0,6698	0,6706	0,6714	0,6722	0,6730	0,6738	0,6746	0,6754	0,6762	0,6770	0,6778	0,6786	0,6794	0,6802	0,6810	0,6818	0,6826	0,6834	0,6842	0,6850	0,6858	0,6866	0,6874	0,6882	0,6890	0,6898	0,6906	0,6914	0,6922	0,6930	0,6938	0,6946	0,6954	0,6962	0,6970	0,6978	0,6986	0,6994	0,7002	0,7010	0,7018	0,7026	0,7034	0,7042	0,7050	0,7058	0,7066	0,7074	0,7082	0,7090	0,7098	0,7106	0,7114	0,7122	0,7130	0,7138	0,7146	0,7154	0,7162	0,7170	0,7178	0,7186	0,7194	0,7202	0,7210	0,7218	0,7226	0,7234	0,7242	0,7250	0,7258	0,7266	0,7274	0,7282	0,7290	0,7298	0,7306	0,7314	0,7322	0,7330	0,7338	0,7346	0,7354	0,7362	0,7370	0,7378	0,7386	0,7394	0,7402	0,7410	0,7418	0,7426	0,7434	0,7442	0,7450	0,7458	0,7466	0,7474	0,7482	0,7490	0,7498	0,7506	0,7514	0,7522	0,7530	0,7538	0,7546	0,7554	0,7562	0,7570	0,7578	0,7586	0,7594	0,7602	0,7610	0,7618	0,7626	0,7634	0,7642	0,7650	0,7658	0,7666	0,7674	0,7682	0,7690	0,7698	0,7706	0,7714	0,7722	0,7730	0,7738	0,7746	0,7754
-------	--------	--------	--------	--------	--------	--------	--------	--------	--------	--------	--------	--------	--------	--------	--------	--------	--------	--------	--------	--------	--------	--------	--------	--------	--------	--------	--------	--------	--------	--------	--------	--------	--------	--------	--------	--------	--------	--------	--------	--------	--------	--------	--------	--------	--------	--------	--------	--------	--------	--------	--------	--------	--------	--------	--------	--------	--------	--------	--------	--------	--------	--------	--------	--------	--------	--------	--------	--------	--------	--------	--------	--------	--------	--------	--------	--------	--------	--------	--------	--------	--------	--------	--------	--------	--------	--------	--------	--------	--------	--------	--------	--------	--------	--------	--------	--------	--------	--------	--------	--------	--------	--------	--------	--------	--------	--------	--------	--------	--------	--------	--------	--------	--------	--------	--------	--------	--------	--------	--------	--------	--------	--------	--------	--------	--------	--------	--------	--------	--------	--------	--------	--------	--------	--------	--------	--------	--------	--------	--------	--------	--------	--------	--------	--------	--------	--------	--------	--------	--------	--------	--------	--------	--------	--------	--------	--------	--------	--------	--------	--------	--------	--------	--------	--------	--------	--------	--------	--------	--------	--------	--------	--------	--------	--------	--------	--------	--------	--------	--------	--------	--------	--------	--------	--------	--------	--------	--------	--------	--------	--------	--------	--------	--------	--------	--------	--------	--------	--------	--------	--------	--------	--------	--------	--------	--------	--------	--------	--------	--------	--------	--------	--------	--------	--------	--------	--------	--------	--------	--------	--------	--------	--------	--------	--------	--------	--------	--------	--------	--------	--------	--------	--------	--------	--------	--------	--------	--------	--------	--------	--------	--------	--------	--------	--------	--------	--------	--------	--------	--------	--------	--------	--------	--------	--------	--------	--------	--------	--------	--------	--------	--------	--------	--------	--------	--------	--------	--------	--------	--------	--------	--------	--------	--------	--------	--------	--------	--------	--------	--------	--------	--------	--------	--------	--------	--------	--------	--------	--------	--------	--------	--------	--------	--------	--------	--------	--------	--------	--------	--------	--------	--------	--------	--------	--------	--------	--------	--------	--------	--------	--------	--------	--------	--------	--------	--------	--------	--------	--------	--------	--------	--------	--------	--------	--------	--------	--------	--------	--------	--------	--------	--------	--------	--------	--------	--------	--------	--------	--------	--------	--------	--------	--------	--------	--------	--------	--------	--------	--------	--------	--------	--------	--------	--------	--------	--------	--------	--------	--------	--------	--------	--------	--------	--------	--------	--------	--------	--------	--------	--------	--------	--------	--------	--------	--------	--------	--------	--------	--------	--------	--------	--------	--------	--------	--------	--------	--------	--------	--------	--------	--------	--------	--------	--------	--------	--------	--------	--------	--------	--------	--------	--------	--------	--------	--------	--------	--------	--------	--------	--------	--------	--------	--------	--------	--------	--------	--------	--------	--------	--------	--------	--------	--------	--------	--------	--------	--------	--------	--------	--------	--------	--------	--------	--------	--------	--------	--------	--------	--------	--------	--------	--------	--------	--------	--------	--------	--------	--------	--------	--------	--------	--------	--------	--------	--------	--------	--------	--------	--------	--------	--------	--------	--------	--------	--------	--------	--------	--------	--------	--------	--------	--------	--------	--------	--------	--------	--------	--------	--------	--------	--------	--------	--------	--------	--------	--------	--------	--------	--------	--------	--------	--------	--------	--------	--------	--------	--------	--------	--------	--------	--------	--------	--------	--------	--------	--------	--------	--------	--------	--------	--------	--------	--------	--------	--------	--------	--------	--------	--------	--------	--------	--------	--------	--------	--------	--------	--------	--------	--------	--------	--------	--------	--------	--------	--------	--------	--------	--------	--------	--------	--------	--------	--------	--------	--------	--------	--------	--------	--------	--------	--------	--------	--------	--------	--------	--------	--------	--------	--------	--------	--------	--------	--------	--------	--------	--------	--------	--------	--------	--------	--------	--------	--------	--------	--------	--------	--------	--------	--------	--------	--------	--------	--------	--------	--------	--------	--------	--------	--------	--------	--------	--------	--------	--------	--------	--------	--------	--------	--------	--------	--------	--------	--------	--------	--------	--------	--------	--------	--------	--------	--------	--------	--------	--------	--------	--------	--------	--------	--------	--------	--------	--------	--------	--------	--------	--------	--------	--------	--------	--------	--------	--------	--------	--------	--------	--------	--------	--------	--------	--------	--------	--------	--------	--------	--------	--------	--------	--------	--------	--------	--------	--------	--------	--------	--------	--------	--------	--------	--------	--------	--------	--------	--------	--------	--------	--------	--------	--------	--------	--------	--------	--------	--------	--------	--------	--------	--------	--------	--------	--------	--------	--------	--------	--------	--------	--------	--------	--------	--------	--------	--------	--------	--------	--------	--------	--------	--------	--------	--------	--------	--------	--------	--------	--------	--------	--------	--------	--------	--------	--------	--------	--------	--------	--------	--------	--------	--------	--------	--------	--------	--------	--------	--------	--------	--------	--------	--------	--------	--------	--------	--------	--------	--------	--------	--------	--------	--------	--------	--------	--------	--------	--------	--------	--------	--------	--------	--------	--------	--------	--------	--------	--------	--------	--------	--------	--------	--------	--------	--------	--------	--------	--------	--------	--------	--------	--------	--------	--------	--------	--------	--------	--------	--------	--------	--------	--------	--------	--------	--------	--------	--------	--------	--------	--------	--------	--------	--------	--------	--------	--------	--------	--------	--------	--------	--------	--------	--------	--------	--------	--------	--------	--------	--------	--------	--------	--------	--------	--------	--------	--------	--------	--------	--------	--------	--------	--------	--------	--------	--------	--------	--------	--------	--------	--------	--------	--------	--------	--------	--------	--------	--------	--------	--------	--------	--------	--------	--------	--------	--------	--------	--------	--------	--------	--------	--------	--------	--------	--------	--------	--------	--------	--------	--------	--------	--------	--------	--------	--------	--------	--------	--------	--------	--------	--------	--------	--------	--------	--------	--------	--------	--------	--------	--------	--------	--------	--------	--------	--------	--------	--------	--------	--------	--------	--------	--------	--------	--------	--------	--------	--------	--------	--------	--------	--------	--------	--------	--------	--------	--------	--------	--------	--------	--------	--------	--------	--------	--------	--------	--------	--------	--------	--------	--------	--------	--------	--------	--------	--------	--------	--------	--------	--------	--------	--------	--------	--------	--------	--------	--------	--------	--------	--------	--------	--------	--------	--------	--------	--------	--------	--------	--------	--------	--------	--------	--------	--------	--------	--------	--------	--------	--------	--------	--------	--------	--------



par un canal rectangulaire découvert et horizontal de même largeur que l'orifice.

REMARQUE	VALEURS observées		RÉSULTATS RELATIFS à LA VITESSE DE L'EAU DANS LE CANAL.						OBSERVATIONS PARTICULIÈRES.	
	au coefficient de D.	au coefficient de D.	distance de l'orifice au point où l'on a pris le profil dans le canal.	rapport de la vitesse de l'écoulement dans le canal à la vitesse théorique dans l'orifice.	rapport de la vitesse de l'écoulement dans le canal à la vitesse théorique dans l'orifice.	rapport de la vitesse de l'écoulement dans le canal à la vitesse théorique dans l'orifice.	rapport de la vitesse de l'écoulement dans le canal à la vitesse théorique dans l'orifice.	rapport de la vitesse de l'écoulement dans le canal à la vitesse théorique dans l'orifice.		rapport de la vitesse de l'écoulement dans le canal à la vitesse théorique dans l'orifice.
DE L'ORIFICE.	au coefficient de D.	au coefficient de D.	distance de l'orifice au point où l'on a pris le profil dans le canal.	rapport de la vitesse de l'écoulement dans le canal à la vitesse théorique dans l'orifice.	rapport de la vitesse de l'écoulement dans le canal à la vitesse théorique dans l'orifice.	rapport de la vitesse de l'écoulement dans le canal à la vitesse théorique dans l'orifice.	rapport de la vitesse de l'écoulement dans le canal à la vitesse théorique dans l'orifice.	rapport de la vitesse de l'écoulement dans le canal à la vitesse théorique dans l'orifice.	rapport de la vitesse de l'écoulement dans le canal à la vitesse théorique dans l'orifice.	OBSERVATIONS PARTICULIÈRES.
adresse	au coefficient de D.	au coefficient de D.	distance de l'orifice au point où l'on a pris le profil dans le canal.	rapport de la vitesse de l'écoulement dans le canal à la vitesse théorique dans l'orifice.	rapport de la vitesse de l'écoulement dans le canal à la vitesse théorique dans l'orifice.	rapport de la vitesse de l'écoulement dans le canal à la vitesse théorique dans l'orifice.	rapport de la vitesse de l'écoulement dans le canal à la vitesse théorique dans l'orifice.	rapport de la vitesse de l'écoulement dans le canal à la vitesse théorique dans l'orifice.	rapport de la vitesse de l'écoulement dans le canal à la vitesse théorique dans l'orifice.	

FIGURE 15. PLANCHE 2.

litres.	0,0225	0,0275	0,0325	0,0375	0,430	1,700	55,130	5,0411	0,9410	0,9410	
55,230	0,0275	0,0325	0,0375	0,0425	0,340	1,700	55,130	5,0411	0,9410	0,9410	Four les trois premières expériences, la contraction est complète, et il y a, entre le fond du canal et le vase, une nappe d'air qui disparaît pour les expériences suivantes.
48,045	0,430	0,430	0,430	0,430	0,370	1,300	66,185	4,3506	0,9407	0,9407	La contraction supérieure est encore un peu apparente, même pour les dernières expériences, tandis que la contraction latérale cesse d'être sensible pour la charge de 0 <sup>m</sup> ,1004.
30,567	0,430	0,430	0,430	0,430	0,297	1,035	87,165	3,8322	0,9324	0,9324	Lesonges à la surface du canal fermant, pour les neuf premières expériences, on jet à la paroi des bords qui sortent des angles supérieurs de l'orifice. Remons en maintenant lorsque la charge est réduite à 0 <sup>m</sup> ,0500, et s'élevait, à partir de l'écoulement du canal, d'abord jusqu'à 0 <sup>m</sup> ,16 de l'orifice, et ensuite jusqu'à 0 <sup>m</sup> ,13.
30,567	0,430	0,430	0,430	0,430	0,250	1,700	71,741	3,6705	0,8730	0,8731	Pour les expériences 1281 et 1285, on a recueilli le produit de l'écoulement dans le vase déversoir au n° 57 du livre, tandis que pour les trois qui lui précèdent respectivement, on s'est servi de la pèche au magnésium.
30,567	0,430	0,430	0,430	0,430	0,187	0,385	68,373	1,6022	0,9524	0,9524	
30,567	0,430	0,430	0,430	0,430	0,310	1,300	70,310	1,8373	0,8999	0,8999	
30,567	0,430	0,430	0,430	0,430	3,000	15,800	85,660	1,2090	0,7304	0,7181	
12,750	0,430	0,430	0,430	0,430	"	"	"	"	"	"	
12,750	0,430	0,430	0,430	0,430	"	"	"	"	"	"	
12,750	0,430	0,430	0,430	0,430	"	"	"	"	"	"	
9,354	0,5078	0,5078	0,5078	0,5078	0,580	2,900	110,050	0,4387	0,4488	0,4585	
9,354	0,5078	0,5078	0,5078	0,5078	2,500	12,500	90,230	0,5251	0,5492	0,5613	
9,354	0,5078	0,5078	0,5078	0,5078	3,000	15,000	53,040	0,8990	0,9201	0,9350	
9,354	0,5078	0,5078	0,5078	0,5078	0,600	2,600	83,065	0,4113	0,4474	0,4817	
9,354	0,5078	0,5078	0,5078	0,5078	1,000	5,000	83,065	0,4084	0,4440	0,5092	
9,354	0,5078	0,5078	0,5078	0,5078	2,000	10,000	46,730	0,8190	0,9785	1,0210	

Orifice de 0<sup>m</sup>,05 de hauteur et 0<sup>m</sup>,20 de largeur, prolongé au dehors du réservoir

DATES	TEMPÉRATURE		NIVEAUX	LA HAUTEUR DU NIVEAU DE L'EAU DANS LE RÉSERVOIR ÉTANT									
	à 2 <sup>m</sup> ,50 EN AMONT DE L'ORIFICE.			à 0 <sup>m</sup> ,05 EN AMONT				à 0 <sup>m</sup> ,05 EN AVANT					
	de	de		GRADE par la pente de l'orifice, ou valeur de H.	VITESSE		MÉTHODE		VITESSE		GRADE par la pente de l'orifice, ou valeur de H.	VITESSE	
					de	de	théorique par seconde, ou valeur de D.	observée par seconde, ou valeur de E.	de coefficient de D.	de rapport $\frac{E}{D}$		de	de
EXPÉRIENCES.	STAT.	EXPÉRIENCES.	de H.	de V.	de D.	de E.	pour chaque expérience.	pour chaque expérience.	de H.	de V.	de V.		
<b>DISPOSITIF DE LA</b>													
12 novembre 1925.	+	+	1300										
			1301	1,0911	31,52	5,8968	55,568	35,075	0,9960	0,0960	1,5008	31,82	3,2802
27 novembre 1925.			1302	1,0922	30,04	5,8285	54,285	33,087	0,9951	0,0950	1,5023	30,04	3,4250
			1303					34,636	0,9970				
26 novembre 1925.			1304	1,0908	31,02	4,6045	65,045	28,916	0,6280	0,0280	1,0907	31,01	4,6041
			1305					15,181	0,9954				
24 novembre 1925.			1306					15,102	0,9963				
			1307	0,4770	9,54	3,0590	30,590	15,157	0,9963	0,0254	0,4700	9,54	3,0587
25 novembre 1925.			1308					19,134	0,9955				
			1309					15,007	0,9978				
		1310	0,8125	4,25	8,0417	20,417	15,509	0,6153	0,0160	0,8122	4,24	2,0404	
		1311					12,501	0,6180					
		1312					9,614	0,5979					
		1313	6,1658	2,12	1,4407	14,407	8,616	0,5981	0,5982	0,1041	2,08	1,1294	
		1314					8,625	0,5987					
21 novembre 1925.			1315	0,0666	0,03	0,9501	0,501	4,710	0,4025	0,4042	0,0666	0,09	0,935.
			1316					4,731	0,4048				
		1317					3,730	0,4419					
		1318					3,758	0,4449					
		1319	0,0503	0,73	0,8459	3,450	3,781	0,4433	0,4440	0,0503	0,66	0,802	
		1320					3,706	0,4420					
		1321					3,788	0,4441					
		1322					3,752	0,4446					

par un canal rectangulaire découvert et horizontal, de même largeur que l'orifice.

MESURÉE		VALEURS		RÉSULTATS				OBSERVATIONS PARTICULIÈRES.
DE L'ÉCOULEMENT		RELATIVES À LA VITESSE DE L'EAU DANS LE CANAL.		RELATIVES À LA VITESSE DE L'EAU DANS LE CANAL.				
de la vitesse		de la vitesse		de la vitesse		de la vitesse		
de la vitesse		de la vitesse		de la vitesse		de la vitesse		
de la vitesse	de la vitesse	de la vitesse	de la vitesse	de la vitesse	de la vitesse	de la vitesse	de la vitesse	
de la vitesse	de la vitesse	de la vitesse	de la vitesse	de la vitesse	de la vitesse	de la vitesse	de la vitesse	
de la vitesse	de la vitesse	de la vitesse	de la vitesse	de la vitesse	de la vitesse	de la vitesse	de la vitesse	
de la vitesse	de la vitesse	de la vitesse	de la vitesse	de la vitesse	de la vitesse	de la vitesse	de la vitesse	
de la vitesse	de la vitesse	de la vitesse	de la vitesse	de la vitesse	de la vitesse	de la vitesse	de la vitesse	
de la vitesse	de la vitesse	de la vitesse	de la vitesse	de la vitesse	de la vitesse	de la vitesse	de la vitesse	

FIGURE 16, PLANCHE 2.

Hauteur	0,0361	0,0358	0,0357	0,0345	0,27	64,535	5,3711	0,9710	0,9710
14,325	0,0361	0,0370	0,0366	0,0365	0,29	63,395	5,3687	0,9553	0,9553
14,345	0,0361	0,0370	0,0366	0,0375	0,34	63,181	5,3856	0,9981	0,9981
14,345	0,0361	0,0370	0,0366	0,0335	0,12	62,927	5,4839	1,0102	1,0102
14,345	0,0361	0,0370	0,0366	0,0200	0,23	64,650	4,4748	0,9719	0,9718
14,345	0,0361	0,0370	0,0366	0,0255	0,31	64,789	2,9258	0,9653	0,9653
14,345	0,0361	0,0370	0,0366	0,0310	0,36	67,663	1,8643	0,9131	0,9137
14,345	0,0361	0,0370	0,0366	0,0365	0,28	62,541	1,9794	0,9694	0,9701
14,345	0,0361	0,0370	0,0366	0,0315	0,31	63,676	1,9813	0,9794	0,9711
14,345	0,0361	0,0370	0,0366	0,0255	0,18	67,375	1,2810	0,8891	0,8965
14,345	0,0361	0,0370	0,0366	0,0265	0,23	63,130	1,2651	0,9475	0,9553
14,345	0,0361	0,0370	0,0366	0,0285	0,22	66,000	0,6834	0,5065	0,5107
14,345	0,0361	0,0370	0,0366	0,0230	0,11	66,355	0,5480	0,5732	0,5699
14,345	0,0361	0,0370	0,0366	3,9100	12,60	96,922	0,4879	0,5109	0,5315
14,345	0,0361	0,0370	0,0366	3,9000	13,00	86,260	0,8309	0,8742	0,8906
14,345	0,0361	0,0370	0,0366	0,0215	0,03	100,100	0,3732	0,4432	0,4532
14,345	0,0361	0,0370	0,0366	2,5000	12,50	84,030	0,3427	0,3964	0,3919
14,345	0,0361	0,0370	0,0366	3,0000	15,00	86,783	0,7681	0,8181	0,8574

Les appareils de l'écoulement se différencient de celles qui se rapportent au dispositif de la figure 15, en ce que le veinon est constamment le fond de canal dans toute sa longueur, en lieu d'un site décalé pour certaines charges.

Orifice de 0<sup>m</sup>,05 de hauteur et 0<sup>m</sup>,20 de largeur, prolongé au dehors du réservoir

DATE	TEMPÉRATURE		SÉRIES	LA HAUTEUR DU NIVEAU DE L'EAU DANS LE RÉSERVOIR ÉTAIT												
	à 3 <sup>h</sup> ,30 EN AMONT DE L'ORIFICE.			à 0 <sup>m</sup> ,05 EN AMONT					à 0 <sup>m</sup> ,20 EN AMONT							
	de	de		de	VALEURS		MÉDIANS		VALEURS		MÉDIANS		VALEURS		MÉDIANS	
					sur le centre de l'orifice, ou valeur de H	de rapport de H	de rapport de H	de rapport de H	de rapport de H	de rapport de H	de rapport de H	de rapport de H	de rapport de H	de rapport de H	de rapport de H	de rapport de H
2 décembre 1828.			1325	1,5022	30,04	3,2235	54,7855	34,036	0,0275	0,0950	1,5022	30,04	5,030			
			1326	1,0606	21,62	4,0046	46,046	28,968	0,0287	0,0292	1,0607	21,61	4,604			
3 décembre 1828.			1327	0,6770	0,54	2,0500	30,500	19,165	0,0305	0,0285	0,6769	0,54	3,207			
			1328					19,148	0,0300							
			1329					8,578	0,0304							
4 décembre 1828.			1330	0,1056	2,13	1,6407	14,607	8,433	0,0302	0,0378	0,1041	2,06	1,259			
			1331					8,827	0,0288							
			1332					4,653	0,0467							
			1333	0,0466	0,93	0,9561	9,561	4,668	0,0482	0,0460	0,0436	0,90	6,004			
			1334					4,645	0,0458							
DISPOSITIF DE LA																
10 décembre 1828.			1335	2,0040	32,10	5,6111	36,111	35,445	0,6317	0,6383	2,0044	32,09	5,610			
			1336					35,508	0,6398							
			1337	1,0908	21,69	4,6046	46,046	29,157	0,6337	0,6328	1,0790	21,60	4,603			
			1338					29,118	0,6323							
			1339					10,332	0,6394							
			1340					10,279	0,6302							
			1341	2,4770	0,54	3,0000	30,000	10,347	0,6392	0,6300	0,4756	0,51	3,000			
			1342					10,279	0,6302							
			1343					10,202	0,6310							
			1344					12,683	0,6312							
15 décembre 1828.			1345	0,3125	4,85	5,0417	50,417	15,711	0,6296	0,6210	0,3110	4,82	5,040			
			1346					15,711	0,6296							
			1347	0,1605	2,13	1,6407	14,607	8,569	0,6073	0,6015	0,1600	2,06	1,633			
			1348					8,569	0,6012							
			1349	0,0466	0,93	0,9561	9,561	4,648	0,6382	0,6308	0,0435	0,90	6,003			
			1350					4,690	0,6111							



par un canal rectangulaire découvert et horizontal, de même largeur que l'orifice.

SÉRIÉE	VARIABLES		RÉSULTATS				OBSERVATIONS PARTICULIÈRES.
	SÉRIÉS		RELATIFS À SA VITESSE DE DÉBIT DANS LE CANAL.				
DES L'AMPLIFIEUR	des coefficients $\frac{E}{D}$		SITUATION de l'orifice		SITUATION de l'orifice		de la vitesse moyenne dans le canal
de l'orifice	la charge de l'écoulement		de l'écoulement		de l'écoulement		
de l'écoulement de D.	la charge de l'écoulement		de l'écoulement		de l'écoulement		de la vitesse théorique dans l'orifice.
par	la charge de l'écoulement		de l'écoulement		de l'écoulement		de la charge de l'écoulement
un du support	la charge de l'écoulement		de l'écoulement		de l'écoulement		de la charge de l'écoulement
en	la charge de l'écoulement		de l'écoulement		de l'écoulement		de la charge de l'écoulement
un	la charge de l'écoulement		de l'écoulement		de l'écoulement		de la charge de l'écoulement
de D.	la charge de l'écoulement		de l'écoulement		de l'écoulement		de la charge de l'écoulement

FIGURE 17, PLANCHE 2.

mm.							
14,305	0,6270	0,6269	.	.	.	.	.
	0,6268		.	.	.	.	.
14,304	0,6267	0,6263	.	.	.	.	.
	0,6271		.	.	.	.	.
14,307	0,6266	0,6263	.	.	.	.	.
	0,6260		.	.	.	.	.
14,300	0,6263	0,6227	.	.	.	.	.
	0,6261		.	.	.	.	.
	0,6267		.	.	.	.	.
14,304	0,6275	0,6277	.	.	.	.	.
	0,6260		.	.	.	.	.
	0,6266		.	.	.	.	.

Toutes les circonstances de l'écoulement paraissent être les mêmes que dans le cas de dispositif de la figure 16.

FIGURE 18, PLANCHE 2.

16,102	0,6318	0,6329	.	.	.	.	.
	0,6329		.	.	.	.	.
16,098	0,6330	0,6330	.	.	.	.	.
	0,6332		.	.	.	.	.
	0,6300		.	.	.	.	.
	0,6312	0,6309	.	.	.	.	.
	0,6301		.	.	.	.	.
	0,6319		.	.	.	.	.
16,103	0,6324	0,6241	.	.	.	.	.
	0,6248		.	.	.	.	.
16,113	0,6296	0,6095	.	.	.	.	.
	0,6094		.	.	.	.	.
	0,6175	0,6180	.	.	.	.	.
	0,6199		.	.	.	.	.
	0,6203		.	.	.	.	.

Le veinon, à sa sortie de l'orifice, n'est pas exactement détaché de la paroi du canal correspondant à la face du réservoir la plus rapprochée de cet orifice, - tandis qu'il l'est entièrement de la paroi opposée.

Deux-lignes à la surface de canal pour les cinq premières charges, au lieu des quatre autres des dispositifs précédents. Il n'est presque entièrement effacé, lorsque le charge est réduite à 0<sup>m</sup>,0066, par des veines qui, pendant quelques mois de l'écoulement du canal, s'étendent jusqu'à une petite distance de l'orifice, et s'en rapprochent toutefois un peu plus de côté où le veinon se rencontre le plus souvent que de côté opposé.

Le veinon de l'eau dans le réservoir est même, pour les petites charges, vers la face la plus voisine de l'orifice, et s'éloigne vers l'autre.



par un canal rectangulaire découvert et horizontal, de même largeur que l'orifice.

DESCRIPTION		VALEURS DÉTERMINÉES		RÉSULTATS RELATIFS, À LA VITESSE DE L'EAU DANS LE CANAL.						OBSERVATIONS PARTICULIÈRES.
de l'orifice.		des coefficients $\mu$ et $\mu'$ .		surfaces de l'orifice en pied ou l'un ou l'autre des orifices dans le canal.		VITESSE de l'écoulement de l'eau dans le canal.		RAPPORTS de la vitesse moyenne de l'eau dans le canal à la vitesse théorique dans l'orifice, en valeur de $\mu$ et $\mu'$ .		
largeur	hauteur	au coefficient de D.	au rapport $\frac{H}{D}$	à 1 <sup>re</sup> orifice au centre de l'orifice.	à 2 <sup>de</sup> orifice au centre de l'orifice.	en pied	en tête	à 1 <sup>re</sup> orifice au centre de l'orifice.	à 2 <sup>de</sup> orifice au centre de l'orifice.	
0,10	0,10	0,4815	0,4815							
0,10	0,15	0,4815	0,4815							
0,10	0,20	0,4815	0,4815							

FIGURE 18, PLANCHE 2.

Hauteur	0,10	0,15	0,20	0,25	0,30	0,35	0,40	0,45	0,50
0,10	0,4815	0,4815	0,4815						
0,15	0,4815	0,4815	0,4815						
0,20	0,4815	0,4815	0,4815						

FIGURE 19, PLANCHE 2.

Hauteur	0,10	0,15	0,20	0,25	0,30	0,35	0,40	0,45	0,50
0,10	0,4815	0,4815	0,4815						
0,15	0,4815	0,4815	0,4815						
0,20	0,4815	0,4815	0,4815						
0,25	0,4815	0,4815	0,4815						
0,30	0,4815	0,4815	0,4815						
0,35	0,4815	0,4815	0,4815						
0,40	0,4815	0,4815	0,4815						
0,45	0,4815	0,4815	0,4815						
0,50	0,4815	0,4815	0,4815						

Le veau est constamment le fond de canal et se détache, en certains, de ses parois latérales pour toutes les charges, excepté la dernière.

Longues à la surface de canal, commençant à être apparentes pour le charge de 1<sup>re</sup> orifice, et cessant de l'être pour le plus faible. Pour celle-ci, les remous occupent toute la longueur du canal et s'élevaient, contre l'orifice, de un millimètre au-dessus de son bord supérieur.

Les remous en amont de l'orifice, le chute à l'entrée de l'étréot réservoir qui le précède immédiatement, et le renvoiient de la veine en un point, dévié d'un plus ou plus sensible, à mesure que le charge diminue, à partir de celle 0<sup>re</sup> 4775.

Pour les expériences 1260 et 1261, le canal latéral de débouché était tout à fait fermé, tandis qu'il était entièrement ouvert pour le n° 1262.

FIGURE 20, PLANCHE 2.

Hauteur	0,10	0,15	0,20	0,25	0,30	0,35	0,40	0,45	0,50
0,10	0,4815	0,4815	0,4815						
0,15	0,4815	0,4815	0,4815						
0,20	0,4815	0,4815	0,4815						
0,25	0,4815	0,4815	0,4815						
0,30	0,4815	0,4815	0,4815						
0,35	0,4815	0,4815	0,4815						
0,40	0,4815	0,4815	0,4815						
0,45	0,4815	0,4815	0,4815						
0,50	0,4815	0,4815	0,4815						

Pour la première charge, le veau est détaché, sur une longueur de 0<sup>re</sup> 05 à partir de l'orifice, de la paroi verticale du canal correspondant à la face de réservoir le plus rapproché de l'orifice, et sur une longueur de 0<sup>re</sup> 11 de la paroi opposée. Pour la dernière charge, ces longueurs se réduisent respectivement à 0<sup>re</sup> 01 et 0<sup>re</sup> 02. — Rapp. d'air entre le fond de canal et le veau pour les deux premières expériences, dispositions entièrement pareilles aux précédentes.

La surface de l'eau, dans le réservoir, s'élevait plus haut de côté de la face le plus voisine de l'orifice que du côté opposé.



par un canal rectangulaire découvert et horizontal, de même largeur que l'orifice.

MESURÉE	VALEURS DÉTERMINÉES		RÉSULTATS RELATIFS À LA VITESSE DE L'EAU DANS LE CANAL.					
	des coefficients $\frac{H}{V}$ corrigés d'après la température, le charge de tête et le rapport $\frac{H}{V}$		SÉRIÉS DE L'ORIFICE ou point de vue de la section dans le canal.	SÉRIÉS DE LA SECTION DE L'EAU en aval de R.	SÉRIÉS DE LA SECTION DE L'EAU en aval de R.	SÉRIÉS DE LA SECTION DE L'EAU en aval de R.	SÉRIÉS DE LA SECTION DE L'EAU en aval de R.	SÉRIÉS DE LA SECTION DE L'EAU en aval de R.
	de l'orifice	de la section de l'eau						
Observations particulières.								

FIGURE 21, PLANCHE 2.

N° de l'essai.	0,4363	0,4366	.	.	.	.	.	.	.
28,574	0,4369								
	0,4365								
	0,4361								
31,191	0,4332	0,4306	.	.	.	.	.	.	.
	0,4347								
	0,4369								
	0,4349								
3,100	0,4363	0,4300	.	.	.	.	.	.	.
	0,4307								

La veine se détache des parois latérales du canal pour les deux premières charges, et s'y attache en contraire pour la deuxième.

Rapport d'air entre le fond du canal et la veine occupant une longueur de 0<sup>m</sup>,13 à 0<sup>m</sup>,08, à partir de l'orifice, pour les sept premières expériences et disparaissant entièrement pour les trois dernières.

Les expériences 1376 et 1377 ont été faites au moyen du curvier décrit au n° 57 de ce texte; pour les trois suivantes, on s'est servi de la jauge en maçonnerie.

FIGURE 22, PLANCHE 2.

N° de l'essai.	0,4364	0,4369	.	.	.	.	.	.	.
20,108	0,4364	0,4364	.	.	.	.	.	.	.
	0,4369								
	0,4373	0,4382	.	.	.	.	.	.	.
	0,4353								
30,587	0,4361	0,4363	.	.	.	.	.	.	.
	0,4364								
	0,4329								
	0,4363	0,4361	.	.	.	.	.	.	.
	0,4360								
14,256	0,4150	0,4150	.	.	.	.	.	.	.
	0,4131								
	0,4160								
9,078	0,4369	0,4376	.	.	.	.	.	.	.
	0,4369								

Entièrement reconnaissable dans le observoir, au moment de l'orifice. La veine suit exactement le fond du canal, tandis qu'elle est détachée de ses parois latérales, et il y a des boursouflures à la surface de ce canal; pour toutes les expériences excepté les deux dernières. Pour celles-ci, la veine ne se contracte pas à sa sortie de l'orifice, et il y a de fortes rumeurs dans le canal.

Pour les expériences 1385 et 1389, on a recueilli le déversement dans le curvier décrit au n° 57 de ce texte; et, pour les suivantes, on s'est servi de la jauge en maçonnerie.



1° XV.

par un canal rectangulaire, découvert, incliné à  $\frac{1}{10}$ , et de même largeur que l'orifice.

REMARQUE	VALEURS ADJECTIVES		RÉSULTATS RELATIFS À LA VITESSE DE L'EAU DANS LE CANAL.						OBSERVATIONS PARTICULIÈRES.
	des coefficients $\frac{E}{D}$	des angles d'après la tangente, le charge de l'eau dans le canal	VALETS de l'orifice de l'eau dans le canal.	RAPPORTS de la section de l'eau dans le canal.	VITESSE de l'eau dans le canal.	RAPPORTS de la vitesse moyenne de l'eau dans le canal à la vitesse théorique dans l'orifice.	à la vitesse théorique dans l'orifice.		
10,383	0,607	0,607							Les appareils généraux de l'écoulement sont les mêmes que dans le cas de dispositif de la figure 10, mais la contraction de la veine est plus prononcée, et il y a moins de remous dans le canal pour les faibles charges.
	0,606								
	0,604								
	0,610	0,610							
	0,609								
	0,611								
	0,608								
10,385	0,602	0,602							
	0,603								
	0,617								
10,473	0,620	0,620							
	0,621								

FIGURE 23, PLANCHE 2.

Donn.											
00,041	0,612	0,612									
	0,613										
10,331	0,617	0,615									
	0,618										
10,372	0,607	0,610									
	0,607										
10,320	0,610	0,614									
	0,617										
10,100	0,615	0,613									
	0,613										

FIGURE 24, PLANCHE 2.

Donn.											
00,041	0,612	0,612									
	0,613										
10,331	0,617	0,615									
	0,618										
10,372	0,607	0,610									
	0,607										
10,320	0,610	0,614									
	0,617										
10,100	0,615	0,613									
	0,613										

Orifice de 0<sup>m</sup>,05 de hauteur et 0<sup>m</sup>,20 de largeur, prolongé au dehors du réservoir

DATE	TEMPÉRATURE		NOMBRES	LA HAUTEUR DU NIVEAU DE L'EAU DANS LE RÉSERVOIR ÉTANT										
				à 3 <sup>m</sup> ,50 EN AMONT DE L'ORIFICE.				à 6 <sup>m</sup> ,02 EN AMONT						
	de	de		CHARGE sur le centre de l'orifice, ou valeur de H	VITESSE de la vitesse due à H.		DÉBIT par seconde, ou valeur de D.		VITESSE de coefficient de D.		CHARGE sur le centre de l'orifice, ou valeur de H.			
DESIGNATION.	l'air.	l'eau.	ESPOIRS EN	de	de	théorique due à H.	effective due à H.	de rapport de D.	de rapport de D.	de	de			
				$\frac{H}{L}$	$\frac{H}{L}$	$\frac{H}{L}$	$\frac{H}{L}$	$\frac{H}{L}$	$\frac{H}{L}$	$\frac{H}{L}$	$\frac{H}{L}$	$\frac{H}{L}$		
DISPOSITIF DE LA														
	grad.	grad.		mètres.	mètres.	litres.	litres.			mètres.	mètres.			
20 septembre 1851				1410	1,8407	30,99	0,0230	60,529	39,529	0,0661	0,0661	1,8481	30,96	6,0213
				1420	1,8105	30,99	0,0232	60,232	39,516	0,0661		1,8477	30,95	6,0200
				1421										
				1422	0,9394	19,79	4,4007	44,007	28,500	0,0566	0,0566	0,9876	19,75	4,4011
				1423										
				1426	0,1777	3,55	1,0674	10,674	12,065	0,6454	0,6455	0,1780	3,56	1,0625
				1425										
				1426	0,0600	1,20	1,0819	10,819	6,696	0,6173	0,6169	0,0600	1,04	1,0169
DISPOSITIF DE LA														
				1427				11,825	0,6389					
31 octobre 1851				1428	0,1740	3,48	1,0606	10,606	11,793	0,6373	0,6385	0,1741	3,48	1,0617
				1429					11,830	0,6393				
				1430					10,312	0,6356				
				1431	0,1361	2,66	1,0219	10,219	10,347	0,6370	0,6365	0,1361	2,66	1,0220
			1432					10,399	0,6365					
1 <sup>er</sup> novembre 1851.				1433					4,554	0,6020	0,6020	0,6010	0,60	0,7601
				1434	0,0340	0,68	0,8239	8,239	4,544	0,5514				



sur un canal rectangulaire découvert, incliné à  $\frac{1}{14}$  et de même largeur que l'orifice.

ÉPUISE SYNTHÉTIQUE.	VALEURS MATHÉMATIQUES		RÉSULTATS RELATIFS À LA TENDANCE DE L'EAU DANS LE CANAL.					OBSERVATIONS PARTICULIÈRES.
	des coefficients $\frac{Q}{\sqrt{H}}$		ÉTENDUE de l'orifice au point où l'on a pris l'orifice dans le canal.	VITESSE de l'eau dans le canal. rapport à celle de la section de l'orifice.	ÉTENDUE de l'eau dans le canal. rapport à celle de la section de l'orifice.	ÉTENDUE de l'eau dans le canal. rapport à celle de la section de l'orifice.	ÉTENDUE de l'eau dans le canal. rapport à celle de la section de l'orifice.	
	de coefficient de D. ou de rapport $\frac{H}{D}$	de coefficient de H. ou de rapport $\frac{Q}{\sqrt{H}}$						
pour chaque expérience.	pour chaque expérience.	pour chaque expérience.	à 1,50 ou au-dessus de l'orifice.	à 1,50 ou au-dessus de l'orifice.	à 1,50 ou au-dessus de l'orifice.	à 1,50 ou au-dessus de l'orifice.	à 1,50 ou au-dessus de l'orifice.	

FIGURE 25, PLANCHE 2.

Don.										
0,213	0,6564	0,6564	*	*	*	*	*	*	*	*
0,256	0,6564									
0,411	0,6473	0,6469	*	*	*	*	*	*	*	*
	0,6465									
0,423	0,6563	0,6564	*	*	*	*	*	*	*	*
	0,6566									
0,100	0,6436	0,6436	*	*	*	*	*	*	*	*
	0,6422									

Le veine suit le fond de canal au commencement et se détache au contraire de son paroi latérale, même pour la plus faible charge. Les autres apparences de l'écoulement sont les mêmes que pour le dispositif de la figure 19.

FIGURE 26, PLANCHE 2.

Don.										
1,481	0,6397	0,6395	*	*	*	*	*	*	*	*
	0,6361									
	0,6401									
1,129	0,6382	0,6387	*	*	*	*	*	*	*	*
	0,6405									
	0,6373									
1,000	0,6436	0,6433	*	*	*	*	*	*	*	*
	0,6396									

Les apparences de l'écoulement ne diffèrent de celles que se rapportent au dispositif de la figure 25, qu'en ce que le veine se contracte plus fortement aussitôt qu'elle sort détachée du fond, et que son paroi latérale se soulève pour la dernière charge.

Orifice de 0<sup>m</sup>,03 de hauteur et 0<sup>m</sup>,20 de largeur, prolongé au dehors du réservoir

DATE	TEMPÉRATURE		N <sup>OS</sup> DES EXPÉRIENCES.	LA HAUTEUR DU NIVEAU DE L'EAU DANS LE RÉSERVOIR ÉTAIT																		
	à 3 <sup>m</sup> ,50 au-dessus de l'orifice.			à 3 <sup>m</sup> ,50 au-dessus de l'orifice.				à 0 <sup>m</sup> ,02 au-dessus de l'orifice.														
				HAUTEUR		HAUTEUR		HAUTEUR		HAUTEUR		HAUTEUR										
	de l'air.	de l'eau.		de la surface de l'écoulement.	de la surface de l'écoulement.	de la surface de l'écoulement.	de la surface de l'écoulement.	de la surface de l'écoulement.	de la surface de l'écoulement.	de la surface de l'écoulement.	de la surface de l'écoulement.	de la surface de l'écoulement.	de la surface de l'écoulement.									
25 septembre 1828.	18,3	14,0	1435																			
			1436	1,3604	44,06	5,1451	30,871	10,250	0,6226													
			1437																			
			1438																			
26 septembre 1828.	21,0	15,5	1439	0,4662	15,54	3,0212	18,145	11,442	0,6506													
			1440																			
			1441																			
			1442	0,3075	0,92	2,0176	12,106	7,650	0,6810													
			1443					7,567	0,6333	0,6328	0,3072	6,01	3,618									
			1444																			
			1445																			
			1446	0,0810	2,70	1,2606	7,568	4,793	0,6335													
			1447					4,811	0,6360	6,6325	0,9792	8,04	1,344									
			1448					4,810	0,6356													
			1449					4,806	0,6354													
2 octobre 1828...	13,3	10,0	1450																			
			1451	0,0630	2,10	1,1117	6,678	4,199	0,6265													
			1452					4,207	0,6307	6,6596	0,0608	2,03	1,601									
			1453					4,198	0,6286													
3 octobre 1828 ...	12,4	14,5	1454	0,0596	1,95	1,0613	6,588	4,009	0,6179													
			1455					4,011	0,6182	6,6181	0,0574	1,91	1,09									
4 octobre 1828 ...	12,3	15,0	1456	0,0590	1,95	1,0700	6,425	4,009	0,6133													
			1457					3,948	0,6116	6,6125	0,0547	1,89	1,03									

DISPOSITIF DE L'

par un canal rectangulaire découvert et horizontal, de même largeur que l'orifice.

MESURES			VALEURS DÉTERMINÉES		RÉSULTATS							OBSERVATIONS PARTICULIÈRES.
DES ÉLÉMENTS.			DES COEFFICIENTS $\frac{H}{D}$ et $\frac{H}{D^2}$ corrigés d'après la température. Le charge de l'écoulement mesuré.		RELATIFS À LA VITESSE DE L'AIR DANS LE CANAL.							
nature	nature		de l'écoulement	de l'écoulement	vitesse de l'écoulement	de l'écoulement	de l'écoulement	de l'écoulement	de l'écoulement	de l'écoulement	de l'écoulement	
	de l'écoulement	de l'écoulement										de l'écoulement
0,6256	0,6256	0,6256	0,25	1,25	16,996	4,9953	0,7960	0,7960	Construction complète pour les neuf premiers expériences et nappes d'air entre le fond du canal et le vase, disposition pour les autres expériences. Les contractions supérieures et inférieures disparaissent avec les charges, et sont tout à fait insensibles pour la dernière. Les nappes partielles ont été prises à la surface du canal, dans toutes l'étendue que se recouvrent par les nappes. Ceci-ci, conformément à ce manifeste pour le charge de 0 <sup>m</sup> ,084, s'arrête d'abord à 0 <sup>m</sup> ,09 de l'écoulement, au point de l'extrémité du canal, et finalement par recouvrir entièrement le vase, à tel point que, pour les quatre dernières expériences, on ne les distingue de l'eau d'arrivée qu'à de faibles hauteurs qui se forment à 0 <sup>m</sup> ,06 au aval de l'orifice.			
0,6256	0,6256	0,6256	0,40	2,00	39,263	4,9930	0,9504	0,9504				
0,6256	0,6256	0,6256	3,00	15,00	61,000	3,1555	0,6183	0,6183				
0,6307	0,6313	0,6310	0,50	1,00	48,251	3,5725	0,7855	0,7845	0,6313			
0,6307	0,6313	0,6310	0,60	3,00	46,065	2,8953	0,9318	0,9319				
0,6307	0,6313	0,6310	3,00	15,00	63,200	1,8115	0,5990	0,5991				
0,6374	0,6378	0,6382	0,10	0,50	40,155	1,9325	0,9365	0,9391	0,6378			
0,6374	0,6378	0,6382	0,33	1,65	33,720	1,7521	0,9654	0,9650				
0,6374	0,6378	0,6382	0,61	3,05	45,641	1,7061	0,6330	0,6383				
0,6355	0,6355	0,6355	3,00	15,00	61,040	1,1960	0,5923	0,5923	0,6355			
0,6407	0,6421	0,6425	0,23	1,15	40,058	1,9421	0,9269	0,9363				
0,6407	0,6421	0,6425	0,45	2,25	48,422	0,9922	0,7871	0,7960				
0,6431	0,6431	0,6431	2,60	13,15	90,407	0,4983	0,3953	0,3998	0,6431			
0,6431	0,6431	0,6431	2,85	14,25	70,500	0,4273	0,4976	0,5082				
0,6431	0,6431	0,6431	2,90	14,70	60,062	0,4056	0,5018	0,5081				
0,6407	0,6419	0,6408	0,06	0,30	45,376	0,9255	0,5325	0,6173	0,6419			
0,6407	0,6419	0,6408	0,36	1,70	49,385	0,8505	0,7050	0,7765				
0,6407	0,6419	0,6408	2,85	14,25	73,352	0,3711	0,3157	0,3229				
0,6396	0,6396	0,6396	2,95	14,75	65,490	0,6411	0,5767	0,5870	0,6396			
0,6396	0,6396	0,6396	3,00	15,00	49,677	0,8153	0,7604	0,7760				
0,6396	0,6396	0,6396	3,00	15,00	49,677	0,8153	0,7604	0,7760				
0,6390	0,6303	0,6301	0,0301	0,0151	0,0270				0,6303			
0,6390	0,6303	0,6301	0,0301	0,0151	0,0270							
0,6390	0,6303	0,6301	0,0301	0,0151	0,0270							
0,6354	0,6337	0,6334	0,0097	0,0017					0,6337			
0,6354	0,6337	0,6334	0,0097	0,0017								
0,6354	0,6337	0,6334	0,0097	0,0017								

FIGURE 15. PLANCHE 2.

Orifice de 0<sup>m</sup>,03 de hauteur et 0<sup>m</sup>,20 de largeur, prolongé au dehors du réservoir

DATE	TEMPÉRATURE		NOMBRES	LA HAUTEUR DU NIVEAU DE L'EAU DANS LE RÉSERVOIR ÉTANT									
	à 3 <sup>m</sup> ,50 au-dessus de l'orifice.			à 3 <sup>m</sup> ,50 au-dessus de l'orifice.				à 0 <sup>m</sup> ,05 au-dessus de l'orifice.					
	de	de		de	de	de	de	de	de	de	de	de	
27 septembre 1928.	22,0	16,0	1455 1456 1457 1458	0,0047	1,09	1,847	0,320	3,573 3,849 3,862 3,666	0,6130 0,6082 0,6103 0,6100	0,6104	0,6043	1,48	1,05
			1459 1460 1461	0,0571	1,24	0,6531	3,110	2,634 2,633 2,620	0,5140 0,5145 0,5118	0,5126	0,0331	1,10	0,305
3 octobre 1928 ...	18,4	14,5	1462 1463 1464 1465	0,0281	0,07	0,6680	3,708	1,439 1,424 1,436 1,439	0,3792 0,3779 0,3811 0,3819	0,3800	0,0128	0,43	0,56
7 décembre 1928.	7,4	1,0	1466 1467	1,3496	44,98	3,1431	30,671	19,075 19,682	0,6573 0,6376	0,6375	1,3490	44,97	3,143
6 décembre 1928.	9,1	1,0	1468 1470	0,4602	15,54	3,0943	16,143	11,583 11,563 11,587	0,6384 0,6373 0,6380	0,6381	0,4606	15,52	3,095
7 décembre 1928.	7,4	1,0	1471 1472 1473	6,9075	0,92	2,0176	12,106	7,669 7,669 7,686	0,6330 0,6340 0,6331	0,6330	0,2065	4,88	2,01
6 décembre 1928.	9,1	1,0	1474 1475	0,0630	2,10	1,1117	6,870	8,049 8,043	0,6070 0,6064	0,6066	0,0601	2,00	1,00

par un canal rectangulaire découvert et horizontal, de même largeur que l'orifice.

MESURES		VALEURS		RÉSULTATS						OBSERVATIONS PARTICULIÈRES
DE L'ORIFICE.		NOMINALES		RELATIVES À LA VITESSE DE L'EAU DANS LE CANAL.						
de la largeur.		de la hauteur.		de la vitesse.		de la charge.		de la hauteur.		
largeur	hauteur	largeur	hauteur	vitesse	charge	hauteur	vitesse	charge	hauteur	
de l'orifice	de l'orifice	de l'orifice	de l'orifice	de l'orifice	de l'orifice	de l'orifice	de l'orifice	de l'orifice	de l'orifice	
de l'orifice	de l'orifice	de l'orifice	de l'orifice	de l'orifice	de l'orifice	de l'orifice	de l'orifice	de l'orifice	de l'orifice	
de l'orifice	de l'orifice	de l'orifice	de l'orifice	de l'orifice	de l'orifice	de l'orifice	de l'orifice	de l'orifice	de l'orifice	

FIGURE 15, PLANCHIE 2.

litres.									
0,8968				0,04	0,30	13,636	0,8658	0,3593	0,5568
0,8909	0,8231	0,8100	0,8229	0,60	3,00	98,703	0,4190	0,3896	0,3087
0,8236				2,82	14,45	45,810	0,3869	0,5365	0,5681
				2,97	14,85	38,071	0,6608	0,6307	0,6428
				3,00	15,00	44,226	0,8256	0,7923	0,8088
				1,63	8,15	78,794	0,3357	0,3911	0,4141
0,3443				2,40	12,45	87,104	0,5916	0,4586	0,4856
0,3466	0,3436	0,5111	0,5411	2,75	13,75	69,394	0,4910	0,4948	0,5287
0,3419				2,90	14,50	50,843	0,4797	0,5318	0,5843
				2,95	14,75	51,423	0,5111	0,5091	0,6344
				3,00	15,00	37,436	0,7023	0,8232	0,8713
				0,30	1,00	37,046	0,9492	0,5925	0,4054
0,4732				0,60	3,00	62,501	0,9289	0,5645	0,4569
0,4736	0,4763	0,3782	0,4740	2,36	12,90	47,343	0,5098	0,4816	0,6036
0,4778				2,45	14,25	41,848	0,5481	0,5468	0,6420
0,4764				2,93	14,45	40,091	0,5085	0,5613	0,7035
				3,00	15,00	36,101	0,6910	0,6495	1,1014

FIGURE 16, PLANCHIE 2.

0,6374	0,6377	0,6370							
0,6385	0,6377	0,6365							
0,6391									
0,6350									
0,6375	0,6364								
0,6360									
0,6311	0,6310								
0,6305									

Le vent, à sa sortie de l'orifice, suit le fond de canal, et est très-peu détaché de la paroi verticale correspondante à la face du réservoir la plus rapprochée de cet orifice, tandis qu'elle l'est entièrement de la paroi opposée.

Dans les cas où la surface du canal ou des bords latéraux du réservoir précédent. Pour le dernier cas, ces deux bords sont presque entièrement effacés par des remous qui, pendant quelque temps, s'étendent jusqu'à une petite distance de l'orifice, et l'ont approché tantôt d'un peu plus du côté où la construction latérale de la voûte est la plus forte que du côté opposé. Le surface de l'eau dans le réservoir se relève, pour les fortes charges, vers la face la plus voisine de l'orifice et s'abaisse vers l'autre.

Orifice de 0<sup>m</sup>,01 de hauteur et 0<sup>m</sup>,20 de largeur, prolongé au dehors du réservoir

DATES	TEMPÉRATURE		NUMÉROS	LA HAUTEUR DU NIVEAU DE L'EAU DANS LE RÉSERVOIR ÉTAI														
				À 3 <sup>m</sup> ,50 EN AMONT DE L'ORIFICE.				À 0 <sup>m</sup> ,02 EN AMO										
	de	de		CHARGE	VALEURS	DEPENSE	VALEURS	HAUTEUR	VALEURS									
	de	de		sur le centre de l'orifice, en valeur de H.	de la vitesse rapport $\frac{H}{h}$ de V.	théorique par seconde, en valeur de D.	effective par seconde, en valeur de D.	de la section de D, en du rapport $\frac{H}{h}$ pour chaque expérience.	sur le centre de l'orifice, en valeur de H.	de la vitesse des à D en $\frac{H}{h}$ de V.								
	1 <sup>ère</sup>	2 <sup>ème</sup>																
				DISPOSITIF DE LI														
	gramm.	gramm.		millim.	millim.	litres.	litres.			millim.	millim.							
20 octobre 1825 ..	10,0	9,5	1476 1477 1478	1,3065	135,65	5,1987	10,217	6,568 6,577 6,875	0,4366 0,4374 0,4371	0,4370	1,3065	135,63	5,137					
			1479 1480 1481 1482	0,9929	99,29	4,4156	8,827	5,706 5,714 5,711 5,716	0,6657 0,6673 0,6670 0,6670	0,6669	0,9929	99,29	4,419					
18 octobre 1825 ..	9,8	10,0	1483 1484 1485	0,4971	49,71	5,1238	6,218	4,155 4,152 4,166 4,159	0,6647 0,6643 0,6656 0,6657	0,6654	0,4973	49,73	5,115					
17 octobre 1825 ..	10,2	11,0	1487 1488 1489	0,1950	19,50	1,9039	3,912	2,065 2,066 2,063	0,6612 0,6789 0,6697	0,6603	0,1948	19,44	1,904					
			1490 1491 1492	0,1970	19,70	1,9794	3,137	2,166 2,164 2,173	0,6661 0,6655 0,6683	0,6666	0,1960	19,60	1,975					
18 octobre 1825 ..	8,8	10,0	1493 1494 1495	0,6760	7,60	1,2211	3,443	1,673 1,680 1,697	0,6651 0,6689 0,6698	0,6693	0,6761	7,51	1,213					
			1496 1497 1498	0,6620	4,30	0,9078	1,810	1,183 1,201 1,189	0,6514 0,6512 0,6547	0,6558	0,6400	4,06	0,912					

par un canal rectangulaire découvert et horizontal, de même largeur que l'orifice.

RESURFACE		VALEURS		RÉSULTATS							OBSERVATIONS PARTICULIÈRES.
à l'aval.		des coefficients de correction d'après le coefficient d'ajuste à l'empirisme, le charge de Baile Saint-Sauveur		RELATIFS À LA VITESSE DE L'EAU DANS LE CANAL.							
de la surface de D, en D supportant		à 0,95 et à 0,90 en valeur de l'orifice.		DEBITS	DEBITS	VITESSE	ALPHEG	de la vitesse moyenne dans le canal à la vitesse critique dans l'orifice, en valeur de $\frac{V}{V_c}$			
Orifice	VALEUR	DEBITS	DEBITS	DEBITS	DEBITS	DEBITS	DEBITS	DEBITS	DEBITS	DEBITS	DEBITS
de la surface de D, en D supportant	à 0,95 et à 0,90 en valeur de l'orifice.	à 0,95 et à 0,90 en valeur de l'orifice.	à 0,95 et à 0,90 en valeur de l'orifice.	à 0,95 et à 0,90 en valeur de l'orifice.	à 0,95 et à 0,90 en valeur de l'orifice.	à 0,95 et à 0,90 en valeur de l'orifice.	à 0,95 et à 0,90 en valeur de l'orifice.	à 0,95 et à 0,90 en valeur de l'orifice.	à 0,95 et à 0,90 en valeur de l'orifice.	à 0,95 et à 0,90 en valeur de l'orifice.	à 0,95 et à 0,90 en valeur de l'orifice.

FIGURE 15. PLANCHIE 2.

Orifice	0,6366	0,6375	0,6375	1,38	14,197	4,0294	0,8074	0,8974	
16,317	0,6375	0,6375	0,6310	0,755	3,77	30,143	3,0230	0,6325	0,6325
	0,6371		0,6310	3,000	15,00	94,170	1,0257	0,5753	0,5753
	0,6137		0,6307	0,375	1,38	14,517	3,0334	0,8912	0,8912
0,827	0,6173	0,6460	0,6307	0,753	3,77	10,007	2,9951	0,6796	0,6796
	0,6176		0,6307	3,000	15,00	33,603	1,7975	0,3914	0,3914
	0,6448		0,6483	0,150	0,60	15,090	3,0615	0,8090	0,8091
0,347	0,6646	0,6455	0,6483	0,643	2,71	16,813	3,3094	0,7074	0,7075
	0,6669		0,6483	3,000	10,00	33,317	1,3470	0,5994	0,5995
	0,6817		0,6622	0,060	0,30	13,080	1,9453	0,9946	0,9953
3,000	0,6794	0,6806	0,6647	0,350	1,25	16,990	1,5737	0,8061	0,8047
	0,6812		0,6622	3,000	15,00	32,533	0,8099	0,4141	0,4144
	0,6874		0,6781						
3,151	0,6885	0,6879	0,6688						
	0,6896		0,6781						
	0,6890		0,6753	0,035	0,18	15,717	1,0090	0,8754	0,8800
3,328	0,6910	0,6933	0,6715	0,300	1,30	16,613	0,9045	0,7407	0,7450
	0,6909		0,6753	2,000	13,45	51,635	0,3990	0,2676	0,2685
			0,6753	3,000	15,00	36,670	0,6438	0,5326	0,5316
	0,6937		0,6810	0,110	0,55	55,300	0,2101	0,2380	0,2421
1,785	0,6728	0,6672	0,6300	3,670	12,43	42,294	0,3839	0,3106	0,3100
	0,6681		0,6310	0,300	13,00	10,190	0,0214	0,0043	0,0066

Continuons maintenant pour les cinq premières charges; excepté d'air entre le fond de canal et la veine, occupant d'abord une longueur de 0<sup>m</sup>,31 à partir de l'orifice, et se réduisant à quelques bulles isolées pour le charge de 0<sup>m</sup>,0750.

Longues traînes apparentes à la surface de canal, sur toute la partie qui s'occupent pas les remous. Ceux-ci, prenant naissance sous l'horizontalité du canal, s'avancent jusqu'à 1<sup>m</sup>,30 de l'orifice pour le charge de 0<sup>m</sup>,1570, et viennent le toucher par les trois derniers éprouvés, et s'élevaient même un peu au-dessus de son bord supérieur. On ne distingue alors l'air d'arriver des remous, qu'à des orifices qui se ferment à 0<sup>m</sup>,01 en aval de l'orifice.

Orifice de 0<sup>m</sup>,01 de hauteur et 0<sup>m</sup>,20 de largeur, prolongé au dehors du réservoir

DATE	TEMPÉRATURE		NOMBRE	LA HAUTEUR DU NIVEAU DE L'EAU DANS LE RÉSERVOIR ETC.														
	de			à 3 <sup>m</sup> ,50 au-dessus de l'orifice.						à 0 <sup>m</sup> ,02 au-dessus								
	de	de		CRANES		VALVES		DÉVERSE		VALVES		CRANES		VALVES				
	de	de		sur le centre de l'orifice.	sur le centre de l'orifice.	de charge par seconde.	de décharge par seconde.	de charge par seconde.	de décharge par seconde.	de charge par seconde.	de décharge par seconde.	de charge par seconde.	de décharge par seconde.	de charge par seconde.	de décharge par seconde.			
EXPÉRIENCES	L'air	L'eau	EXPÉRIENCES	en valeur de H.	en valeur de H.	de T.	en valeur de H.	en valeur de H.	de B.	en valeur de H.	en valeur de H.	de B.	en valeur de H.	en valeur de H.	de T.	en valeur de H.	en valeur de H.	de B.
DISPOSITIF DE 1																		
25 novembre 1828.		gradés	gradés.		mètres.	mètres.	litres.	litres.					mètres.	mètres.				
				1299					6,718	0,6596								
				1500	1,3220	132,30	5,0927	10,185	6,721	0,6599	0,6596	1,3220	132,30	5,09				
				1501					6,716	0,6594								
				1502					5,969	0,6649								
				1503	0,0929	99,29	4,4136	8,827	5,973	0,6653	0,6651	0,9929	99,29	4,41				
				1504					4,291	0,6723								
				1505					4,192	0,6709								
				1506	6,6931	49,74	3,1258	6,251	4,189	0,6790								
				1507					1,658	0,6799								
			1508	0,0760	7,60	3,2911	2,012	1,652	0,6806	0,6799	0,0758	7,58	1,59					
			1509					1,661	0,6803									
DISPOSITIF DE 1																		
5 décembre 1828.				1510					6,718	0,6610								
				1511	1,3120	131,20	5,0750	10,150	6,694	0,6595	0,6605	1,3128	131,28	5,07				
				1512					4,169	0,6717								
				1513	0,4908	49,08	3,1054	6,207	4,180	0,6734	0,6727	0,4913	49,13	3,10				
				1514					4,176	0,6730								
				1515					1,643	0,6817								
				1516	0,6750	7,40	1,2049	2,016	1,637	0,6793	0,6805	0,6738	7,30	1,19				
DISPOSITIF DE 1																		
8 décembre 1828.				1517					6,782	0,6659								
				1518	1,3220	132,20	5,0927	10,185	6,701	0,6628	0,6655	1,3220	132,20	5,09				
				1519					6,795	0,6669								
				1520					5,925	0,6711								
				1521	0,9929	99,29	4,4136	8,827	5,932	0,6729	0,6716	0,9929	99,29	4,41				



N° XVII.  
par un canal rectangulaire découvert et horizontal, de même largeur que l'orifice.

RESUME		RÉSULTATS								OBSERVATIONS PARTICULIÈRES.	
DE L'APPAREIL.		VARIABLES		RELATIFS À LA VITESSE DE L'EAU DANS LE CANAL.				APPRETS			
de coefficient de D. & de rapport $\frac{D}{d}$		des coefficients $\frac{D}{d}$ et $\frac{D}{d}$ corrigés d'après la charge de Dinde et de la charge de Dinde		VITESSE de l'écoulement dans le canal		ESPACES de l'écoulement dans le canal		de la vitesse moyenne dans le canal & de la vitesse théorique dans l'écoulement			
charge	pour centimètre	à	à	en centimètres de D.	en centimètres de D.	en centimètres de D.	en centimètres de D.	en centimètres de D.	en centimètres de D.	en centimètres de D.	
ou	pour chaque répétition.	à	à	en centimètres de l'orifice.	en centimètres de l'orifice.	en centimètres de l'orifice.	en centimètres de l'orifice.	en centimètres de l'orifice.	en centimètres de l'orifice.	en centimètres de l'orifice.	

FIGURE 16. PLANCHE 2.

charge	pour centimètre	à	à	en centimètres de D.	en centimètres de D.	en centimètres de D.	en centimètres de D.	en centimètres de D.	en centimètres de D.
10,185	0,6206 0,6209 0,6204	0,6206							
9,527	0,6649 0,6653	0,6651							
9,347	0,6785 0,6716 0,6704	0,6714							
9,159	0,6836 0,6842 0,6838	0,6835							

Les apparences de l'écoulement ne diffèrent de celles qui se rapportent au dispositif de la figure 15, qu'en ce que le vauit suit immédiatement le fond du canal, au lieu d'en être détachée pour certaines charges.

FIGURE 17. PLANCHE 2.

charge	pour centimètre	à	à	en centimètres de D.	en centimètres de D.	en centimètres de D.	en centimètres de D.	en centimètres de D.	en centimètres de D.
10,190	0,6612 0,6603	0,6606							
9,309	0,6755 0,6790 0,6795	0,6793							
9,304	0,6805 0,6838	0,6850							

Les apparences de l'écoulement sont les mêmes que dans le cas de dispositif de la figure 16.

FIGURE 18. PLANCHE 2.

charge	pour centimètre	à	à	en centimètres de D.	en centimètres de D.	en centimètres de D.	en centimètres de D.	en centimètres de D.	en centimètres de D.
10,185	0,6609 0,6639 0,6606	0,6655							
9,527	0,6711 0,6728	0,6720							

Le vauit, à sa sortie de l'écoulement, suit le fond du canal, et est très-peu détachée de sa paroi verticale correspondante à la face du rétrocurv le plus rapproché de cet orifice, tandis qu'elle l'est entièrement de la paroi opposée.  
Dans les deux cas le surface du canal au lieu des lamelles extérieures des dispositifs précédents, dans toute l'étendue que ne



V. XVII.  
 par un canal rectangulaire découvert et horizontal, de même largeur que l'orifice.

SOURCE		RÉSULTATS									
DE L'ORIFICE.		RELATIFS À LA VITESSE DE L'EAU DANS LE CANAL.									
V. 1.		V. 2.		V. 3.		V. 4.		V. 5.		V. 6.	
V. 1.		V. 2.		V. 3.		V. 4.		V. 5.		V. 6.	
0,587	0,6785	0,6781	0,6783								
3,810	0,6533	0,6609	0,6623								

FIGURE 18, PLANCHE 2.

0,587	0,6785	0,6781	0,6783								
3,810	0,6533	0,6609	0,6623								

FIGURE 19, PLANCHE 2.

11,204	0,6768	0,6754	0,6760								
10,180	0,6830	0,6809	0,6820								
6,527	0,6843	0,6853	0,6840								
6,262	0,6632	0,6616	0,6621								
3,111	0,7034	0,6981	0,7008								

FIGURE 20, PLANCHE 2.

3,190	0,6643	0,6637	0,6630								
2,750	0,6705	0,6700	0,6778								
1,929	0,6805	0,6807	0,6877								

OBSERVATIONS PARTICULIÈRES.

recouvert par les remous. Ceux-ci s'opèrent toujours au peu près de l'orifice du côté où la contraction latérale est la plus forte que du côté opposé.  
 La surface de l'eau dans le réservoir se relève, pour les faibles charges, vers le côté le plus étroit de l'orifice et s'éloigne vers l'autre.

Le veau, à sa sortie de l'orifice, suit constamment le fond du canal, et se détache en continu de ses parois latérales.  
 Les veaux parfaitement détachés dans le canal; remous ne s'élevaient que jusqu'à 1<sup>m</sup>,00 de l'orifice, pour la dernière charge.  
 La chute à l'entrée du réservoir qui pouvait immédiatement l'orifice, et la contraction de la veau au ce point, sont peu sensibles, même pour la plus faible charge.

Contraction complète pour toutes les charges; sauto d'air entre le fond du canal et le veau dans les charges à la surface du canal.

Orifice de 0<sup>m</sup>,01 de hauteur et 0<sup>m</sup>,20 de largeur, prolongé au dehors du réservoir

DATE	TEMPÉRATURE		N <sup>OS</sup> DES EXPÉRIENCES	LA HAUTEUR DE NIVEAU DE L'EAU DANS LE RÉSERVOIR EST									
	à 3 <sup>m</sup> ,50 EN AMONT DE L'ORIFICE.			à 3 <sup>m</sup> ,50 EN AMONT DE L'ORIFICE.					à 0 <sup>m</sup> ,20 EN AMONT DE L'ORIFICE.				
				VARIATIONS		VARIATIONS		VARIATIONS		VARIATIONS		VARIATIONS	
	de l'air.	de l'eau.		du centre de l'orifice au centre de l'écoulement.	de l'écoulement au centre de l'écoulement.	historique par seconde.	effective par seconde.	du coefficient de D <sup>5</sup> au de rapport D <sup>5</sup> .	pour chaque expérience.	pour chaque expérience.	de l'écoulement au centre de l'écoulement.	de l'écoulement au centre de l'écoulement.	
27 octobre 1851			1544	1,6511	165,51	5,6981	11,306	7,658	0,6511				
			1545					7,617	0,6535	0,6540	1,6511	165,51	5,70
			1546	0,9996	99,96	6,6185	6,857	5,874	0,6633	0,6635	1,6677	166,77	6,85
			1547					5,878	0,6637	0,6635			
			1548	0,8976	89,76	3,1261	6,219	4,191	0,6707	0,6709	0,6708	6,5005	90,00
28 octobre 1851			1549					4,192					
			1550					5,679	0,6844				
			1551	0,1958	19,58	1,9675	3,615	3,678	0,6841	0,6852	0,1972	19,72	1,98
			1552					3,690	0,6871				
27 octobre 1854			1553	0,6781	67,81	1,5380	2,476	1,791	0,6964		0,6785	67,85	1,52
			1554					1,736	0,7011	0,6948			
			1555	0,6777	67,77	1,5345	2,469	1,709	0,6929		0,6761	67,61	1,52
			1556	0,6768	67,68	1,5250	2,451	1,691	0,6896		0,6787	67,87	1,53
29 octobre 1854			1557					6,702	0,6716				
			1558	0,6164	61,64	0,5678	1,134	0,746	0,6577		0,6176	61,76	0,56
			1559					6,736	0,6612	0,6619			
27 octobre 1854			1560	0,6160	61,60	0,5680	1,121	6,754	0,6574		0,6170	61,70	0,57
			1561	0,6159	61,59	0,5685	1,117	6,749	0,6605		0,6189	61,89	0,57
			1562	0,6136	61,36	0,5580	1,100	6,734	0,6637		0,6166	61,66	0,57
			1563					6,810	0,6686				
31 décembre 1859			1564	1,2950	129,50	5,6927	10,185	6,761	0,6686	0,6670	1,2920	129,20	5,70
			1565					6,784	0,6667				
			1566	0,9999	99,99	6,6136	5,827	5,988	0,6794	0,6773	0,9920	99,20	6,61
			1567					5,969	0,6762				
			1568	6,6074	66,74	3,1236	6,368	4,588	0,6883	0,6868	6,6073	66,73	3,15
			1569					4,590	0,6886				
			1570	0,6760	67,60	1,5211	2,443	1,704	0,6976	0,6983	0,6746	67,46	1,52
			1571					1,706	0,6986				

par un canal rectangulaire découvert et horizontal, de même largeur que l'orifice.

RESERVEE		VALEURS		RÉSULTATS						OBSERVATIONS PARTICULIÈRES.		
DE L'ORIFICE.		dérivées		RELATIFS À LA VITESSE DE L'EAU DANS LE CANAL.								
de coefficient de D.		des coefficients $\frac{H}{D}$		SITUATION		ÉTENDUE		VITESSE			RAPPORT	
ou de rapport $\frac{H}{D}$		au de l'après		de l'orifice		de		de l'eau			de la vitesse moyenne dans le canal de canal à la même distance dans l'orifice.	
distance	coefficient de D.	au de l'après	des coefficients $\frac{H}{D}$	de l'orifice	de	de l'eau	de	de l'eau	de	de la vitesse moyenne dans le canal de canal à la même distance dans l'orifice.	de la vitesse moyenne dans le canal de canal à la même distance dans l'orifice.	
par	coefficient de D.	au de l'après	des coefficients $\frac{H}{D}$	de l'orifice	de	de l'eau	de	de l'eau	de	de la vitesse moyenne dans le canal de canal à la même distance dans l'orifice.	de la vitesse moyenne dans le canal de canal à la même distance dans l'orifice.	
seconde.	coefficient de D.	au de l'après	des coefficients $\frac{H}{D}$	de l'orifice	de	de l'eau	de	de l'eau	de	de la vitesse moyenne dans le canal de canal à la même distance dans l'orifice.	de la vitesse moyenne dans le canal de canal à la même distance dans l'orifice.	
ou	coefficient de D.	au de l'après	des coefficients $\frac{H}{D}$	de l'orifice	de	de l'eau	de	de l'eau	de	de la vitesse moyenne dans le canal de canal à la même distance dans l'orifice.	de la vitesse moyenne dans le canal de canal à la même distance dans l'orifice.	
vitesse	coefficient de D.	au de l'après	des coefficients $\frac{H}{D}$	de l'orifice	de	de l'eau	de	de l'eau	de	de la vitesse moyenne dans le canal de canal à la même distance dans l'orifice.	de la vitesse moyenne dans le canal de canal à la même distance dans l'orifice.	
de D.	coefficient de D.	au de l'après	des coefficients $\frac{H}{D}$	de l'orifice	de	de l'eau	de	de l'eau	de	de la vitesse moyenne dans le canal de canal à la même distance dans l'orifice.	de la vitesse moyenne dans le canal de canal à la même distance dans l'orifice.	

FIGURE 21. PLANCHE 2.

Donn.				autres.	autr. 000	autres.			
11,431	0,609 0,610	0,600	*	*	*	*	*	*	*
2,205	0,600 0,610	0,608	*	*	*	*	*	*	*
0,567	0,607 0,609	0,608	*	*	*	*	*	*	*
2,500	0,600 0,610	0,610	*	*	*	*	*	*	*
2,420	0,707		*	*	*	*	*	*	*
2,442	0,700	0,707	*	*	*	*	*	*	*
2,421	0,605		*	*	*	*	*	*	*
1,100	0,618		*	*	*	*	*	*	*
1,105	0,632	0,645	*	*	*	*	*	*	*
1,102	0,616		*	*	*	*	*	*	*
1,101	0,603		*	*	*	*	*	*	*

Construction complète pour les trois premières expériences; s'appuie d'air entre le fond du canal et le vase, occupant une longueur de 0<sup>m</sup>,35 à partir de l'orifice, pour la première charge, et disparaît entièrement pour les six dernières expériences; constructions latérales peu apparentes pour celles-ci.  
Écoulement inconnu dans le réservoir, en amont de l'orifice.

FIGURE 22. PLANCHE 2.

10,185	0,660 0,608 0,667	0,670	*	*	*	*	*	*	*
0,827	0,674 0,673	0,673	*	*	*	*	*	*	*
0,917	0,664 0,667	0,660	*	*	*	*	*	*	*
2,419	0,704 0,703	0,705	*	*	*	*	*	*	*

Le vase est entièrement le fond du canal, et est en contact défectueux de ses parois latérales.  
L'eau se lève à la surface de ce canal; remonte à partir de son extrémité jusqu'à 0<sup>m</sup>,50 de l'orifice, pour la dernière charge.

Orifice de 0<sup>m</sup>,01 de hauteur et 0<sup>m</sup>,20 de largeur, prolongé au dehors du réservoir

DATES	TEMPÉRATURE		SÉRIES	LA HAUTEUR DU NIVEAU DE L'EAU DANS LE RÉSERVOIR ÉTAIT											
	à 3 <sup>m</sup> ,50 au-dessus de l'orifice.			à 3 <sup>m</sup> ,50 au-dessus de l'orifice.					à 0 <sup>m</sup> ,05 au-dessus de l'orifice.						
	à l'air	à l'eau		hauteur sur la surface de l'orifice, en valeur de H.	hauteur sur le support de l'orifice, en valeur de H.	hauteur par seconde, en valeur de V.	débit par seconde, en valeur de D.	coefficient de D. en valeur de S.	hauteur sur la surface de l'orifice, en valeur de H.	hauteur sur le support de l'orifice, en valeur de H.	hauteur par seconde, en valeur de V.	débit par seconde, en valeur de D.	coefficient de D. en valeur de S.		
	provis.	provis.		mètres.		mètres.		litres.		litres.		mètres.		mètres.	
				1072				5,259	0,6035						
				1073	1,3078	100,78	5,5050	11,910	5,260	0,6035		0,6923	1,3078	100,78	5,968
				1074					5,228	0,6005					
				1075					5,230	0,6010					
				1076					5,232	0,6030		0,6930	1,3055	100,55	5,951
				1077	1,5056	150,56	5,4363	10,868	7,532	0,6090					
				1078					6,176	0,6923		0,6966	1,0086	100,86	5,953
1 <sup>er</sup> novembre 1851.				1079	1,0087	100,87	5,4485	8,697	8,183	0,6950					
				1580					4,608	0,6979					
				1581	0,5084	50,84	3,1280	6,310	5,610	0,6983		0,6983	0,5081	50,81	3,137
				1582					4,613	0,6987					
				1583	0,1990	19,90	1,0760	3,952	3,708	0,7004		0,7008	0,1870	18,70	1,901
				1584					3,771	0,7013					
				1585	0,0189	1,89	0,5495	1,981	0,736	0,6716		0,6716	0,0110	1,10	0,163
				1586					0,736	0,6716					
				1587					7,760	0,6960		0,6956	1,3797	137,97	5,509
				1588	1,5759	157,59	5,5680	11,190	7,759	0,6951					
				1589					3,690	0,6993		0,6990	0,7848	78,48	3,028
				1590	0,7856	78,56	3,9255	7,851	3,696	0,6998					
				1591	0,3021	30,21	1,9910	3,992	2,787	0,7000		0,7001	0,3006	30,06	1,953
				1592					2,788	0,7002					
30 septembre 1851.				1593	0,0255	2,55	0,6775	1,355	0,813	0,6738		0,6739	0,0200	2,00	0,693
				1594	0,0229	2,29	0,6705	1,341	0,802	0,6736			0,0201	2,01	0,692

DISPOSITIF DE LA

DISPOSITIF DE LA

par un canal rectangulaire découvert, incliné à  $\frac{1}{10}$ , et de même largeur que l'orifice.

DESCRÉE		VALEURS DÉTERMINÉES		RÉSULTATS RELATIFS À LA VITESSE DE L'EAU DANS LE CANAL.					OBSERVATIONS PARTICULIÈRES.
DE L'APPAREIL.		des coefficients $\frac{H}{D}$ et de l'écoulement de l'eau.		VITESSE DE L'EAU EN PIEDS		VITESSE DE L'EAU EN MÈTRES		RAPPORT DE LA VITESSE MOYENNE DANS LE CANAL À LA VITESSE MOYENNE DANS L'ORIFICE.	
HAUTEUR DE L'EAU EN PIEDS.	HAUTEUR DE L'EAU EN MÈTRES.	HAUTEUR DE L'EAU EN PIEDS.	HAUTEUR DE L'EAU EN MÈTRES.	HAUTEUR DE L'EAU EN PIEDS.	HAUTEUR DE L'EAU EN MÈTRES.	HAUTEUR DE L'EAU EN PIEDS.	HAUTEUR DE L'EAU EN MÈTRES.	HAUTEUR DE L'EAU EN PIEDS.	
11,010	0,6055	0,6055	0,6055	0,6055	0,6055	0,6055	0,6055	0,6055	<p>Les appareils généraux de l'écoulement, sont les mêmes que dans le cas du dispositif de la figure 16, mais la veine se contracte plus fortement, et il y a moins de remous dans le canal.</p> <p>Les deux premières expériences ont été faites en renversant la disposition dans le siphon décrit au n° 27 du texte; et, pour les deux suivantes, on s'est servi de la figure en question.</p>
10,000	0,6030	0,6030	0,6030	0,6030	0,6030	0,6030	0,6030	0,6030	
8,097	0,6042	0,6042	0,6042	0,6042	0,6042	0,6042	0,6042	0,6042	
7,311	0,6085	0,6085	0,6085	0,6085	0,6085	0,6085	0,6085	0,6085	
5,037	0,7038	0,7038	0,7038	0,7038	0,7038	0,7038	0,7038	0,7038	
6,066	0,7316	0,7316	0,7316	0,7316	0,7316	0,7316	0,7316	0,7316	

FIGURE 23, PLANCHE 2.

FIGURE 24, PLANCHE 2.

11,100	0,6050	0,6050	0,6050	0,6050	0,6050	0,6050	0,6050	0,6050	<p>Les appareils de l'écoulement ne diffèrent de celles-ci qu'appartient au dispositif de la figure 16, qu'en ce que la contraction latérale de la veine est plus prononcée, et qu'il y a moins de remous dans le canal.</p>
7,448	0,6995	0,6995	0,6995	0,6995	0,6995	0,6995	0,6995	0,6995	
3,908	0,7094	0,7094	0,7094	0,7094	0,7094	0,7094	0,7094	0,7094	
3,878	0,7178	0,7178	0,7178	0,7178	0,7178	0,7178	0,7178	0,7178	
1,304	0,7182	0,7182	0,7182	0,7182	0,7182	0,7182	0,7182	0,7182	

Orifice de 0<sup>m</sup>,01 de hauteur et 0<sup>m</sup>,20 de largeur, prolongé au dehors du réservoir

DATES	TEMPÉRATURE		SURNOS	LA HAUTEUR DU NIVEAU DE L'EAU DANS LE RÉSERVOIR ÉTANT							
				à 3 <sup>h</sup> ,00 en avant de l'écoulement.				à 3 <sup>h</sup> ,00 en arrière.			
				HAUTEUR		DÉPENSE		HAUTEUR			
	de	de		sur le centre de l'orifice.	de la surface de support des 4 H.	théorique par seconde.	effective par seconde.	de coefficient de D.	de coefficient de D.	sur le centre de l'orifice.	de la surface de support des 4 H.
29 septembre 1831.	1595	1,8250	182,20	3,0650	11,470	6,255	0,6900		1,8250	182,20	3,023
	1596	1,8218	182,44	3,0820	11,965	6,263	0,6981	0,6981	1,8230	182,33	3,031
	1597					7,578	0,6985	0,6980	1,8065	180,05	3,018
	1598	1,8374	185,74	3,1200	10,810	7,573	0,6968	0,6968	1,8065	180,05	3,018
	1599					8,853	0,6984				
	1600	0,6154	61,54	3,6763	6,940	8,832	0,6983	0,6983	0,6165	61,65	3,678
	1601					8,857	0,6989				
	1602					5,976	0,6984				
	1603	0,8214	82,14	2,1305	4,361	5,973	0,6982	0,6983	0,8200	82,00	2,130
	1604					5,976	0,6984				
	1605					1,283	0,6879				
	1606	0,0344	4,44	0,0337	1,067	1,285	0,6883	0,6883	0,0423	4,23	0,012
	1607					1,287	0,6905				
	1608					0,790	0,6566				
1609	0,0160	1,60	0,0042	1,180	0,782	0,6582	0,6566	0,0156	1,56	0,007	
1610					0,779	0,6557					
31 octobre 1834.	1611				3,363	2,390	0,6901				
	1612	0,1441	14,41	1,6413	3,363	2,331	0,6933	0,6917	0,1430	14,30	1,600
	1613					1,648	0,7007				
	1614	0,0556	5,56	1,0444	3,000	1,678	0,7075	0,7061	0,0560	5,60	1,041
	1615					0,704	0,6866				
	1616	0,0133	1,33	0,1643	1,000	0,669	0,6419	0,6443	0,0130	1,30	0,163



par un canal rectangulaire découvert, incliné à  $\frac{1}{10}$ , et de même largeur que l'orifice.

RÉSULTÉS		VALEURS		RÉSULTATS				OBSERVATIONS PARTICULIÈRES
DE L'ORIFICE.		MATHÉMATIQUES		RELATIVE À LA VITESSE DE L'EAU DANS LE CANAL.				
de coefficient de D.		de coefficient de D.		de coefficient de D.		de coefficient de D.		
charge	charge	charge	charge	charge	charge	charge	charge	
0,000	0,000	0,000	0,000	0,000	0,000	0,000	0,000	
0,000	0,000	0,000	0,000	0,000	0,000	0,000	0,000	
0,000	0,000	0,000	0,000	0,000	0,000	0,000	0,000	
0,000	0,000	0,000	0,000	0,000	0,000	0,000	0,000	
0,000	0,000	0,000	0,000	0,000	0,000	0,000	0,000	
0,000	0,000	0,000	0,000	0,000	0,000	0,000	0,000	
0,000	0,000	0,000	0,000	0,000	0,000	0,000	0,000	
0,000	0,000	0,000	0,000	0,000	0,000	0,000	0,000	
0,000	0,000	0,000	0,000	0,000	0,000	0,000	0,000	

FIGURE 25, PLANCHE 2.

Donn.	0,000	0,000	0,000	0,000	0,000	0,000	0,000	0,000	0,000
11,007	0,000	0,000	0,000	0,000	0,000	0,000	0,000	0,000	0,000
11,002	0,000	0,000	0,000	0,000	0,000	0,000	0,000	0,000	0,000
10,036	0,000	0,000	0,000	0,000	0,000	0,000	0,000	0,000	0,000
5,913	0,000	0,000	0,000	0,000	0,000	0,000	0,000	0,000	0,000
4,539	0,000	0,000	0,000	0,000	0,000	0,000	0,000	0,000	0,000
1,826	0,000	0,000	0,000	0,000	0,000	0,000	0,000	0,000	0,000
1,113	0,000	0,000	0,000	0,000	0,000	0,000	0,000	0,000	0,000

FIGURE 26, PLANCHE 2.

Donn.	0,000	0,000	0,000	0,000	0,000	0,000	0,000	0,000	0,000
3,379	0,000	0,000	0,000	0,000	0,000	0,000	0,000	0,000	0,000
3,096	0,000	0,000	0,000	0,000	0,000	0,000	0,000	0,000	0,000
1,063	0,000	0,000	0,000	0,000	0,000	0,000	0,000	0,000	0,000

Le vase, à sa sortie de l'orifice, se détache des parois latérales du canal pour toutes les charges, excepté la dernière; et, pour les quatre premières expériences, il y a, outre le fond de ce canal et le vase, une petite saignée d'air qui disparaît pour les expériences suivantes. Les autres expériences de l'écoulement ont les mêmes que dans le cas du dispositif de la figure 19.

Les expériences de l'écoulement ont les mêmes que dans le cas du dispositif de la figure 21, sauf que le vase se détache plus fortement, mais que cependant elle se détache du fond du canal pour la dernière charge.

Orifice de 0<sup>m</sup>,05 de hauteur et 0<sup>m</sup>,20 de largeur, prolongé au dehors du réservoir par un canal sur toute sa largeur et

La charge H de fluide est prise, dans

DATE	TEMPÉRATURE		DONNÉES FOURNIES PAR L'EXPÉRIENCE ET L'OBSERVATION.																
	de l'air,		no. de l'orifice, d'après la température, ou valeur de H.	CRASSE sur le canal de l'orifice, ou valeur de H.	COURBURE de D, lorsque l'orifice est en sautoir, ou valeur de H.	COURBURE de D, lorsque l'orifice est prolongé par un canal non sautoir, ou valeur de H.	HAUTEUR du jetage, en mètres.	CHARGE, ou le moment de l'orifice, en mètres.		dans le réservoir à 1 <sup>m</sup> ,20 au-dessus de l'orifice, ou valeur de C.		dans le canal au-dessus de l'orifice, ou valeur de C.		dans le canal au-dessus de l'orifice, ou valeur de C.		no. de la section de l'eau dans le canal.	no. de la section de l'eau dans le canal.	no. de la section de l'eau dans le canal.	no. de la section de l'eau dans le canal.
	de	de						en mètres.	en mètres.	en mètres.	en mètres.	en mètres.	en mètres.	en mètres.	en mètres.				
4 octobre 1828	13,5	15,5	0,01002	1617	0,4770	0,5261	0,6257	0,1750	0,1320	0,3640	0,1000	0,0280	0,05000	15,338	15,70				
				1618										15,221					
				1619										15,904					
				1620				0,045			0,0885	0,0000	0,0270	0,01001	12,679	12,00			
				1621										12,033					
				1622										15,535					
				1623				0,048			0,0925	0,0000	0,0260	0,01004	12,575	12,51			
				1624										12,871					
				1625										10,554					
	12 octobre 1828	13,0	13,1	0,01004	1626	0,2125	0,6309	0,4306	0,070	0,1875	0,1660	0,0020	0,03160	0,02210	10,501	10,38			
				1627									10,541						
				1628										8,448					
				1629				0,100			0,1305	0,1060	0,03610	0,03120	8,361	8,32			
				1630										8,673					
				1631										6,854					
				1632				0,130			0,1505	0,1380	0,04010	0,03770	6,868	6,54			
				1633										6,869					
				1634										8,916					
10 octobre 1828		14,0	16,8	0,01002	1635				0,021		0,0290	0,0000	0,01652	0,01002	8,803	8,10			
				1636										8,671					
4 octobre 1828				1637	0,1050	0,6297	0,4143		0,0808					8,518					
				1638										8,508					
				1639				0,022		0,0205	0,0000	0,01680	0,01002	8,500	8,50				
				1640										8,616					

DISPOSITIFS DES

V XVIII.

rectangulaire découvert et horizontal, de même largeur que l'orifice, et barré à son extrémité par diverses hauteurs.

réservoir, à 3<sup>m</sup>,50 en amont de l'orifice.

RÉSULTATS EN ÉVALUANT LES CALCULS COMME SI L'ORIFICE N'ÉTAIT PAS ARRÊTÉ.				RÉSULTATS EN TENANT COMPTE DES BARRAGES DE LA CRÈVE EN ÉTAT DE L'ORIFICE.												OBSERVATIONS		
HAUTEUR DE L'EAU EN AMONT DE L'ORIFICE.	DÉBIT DÉTERMINÉ PAR FORMULE.	VITESSE MOYENNE EN DESSOUS DE L'ORIFICE.	VITESSE MOYENNE EN AMONT DE L'ORIFICE.	VITESSE				DÉBIT DÉTERMINÉ PAR FORMULE.				VITESSE EN CORRESPONDANCE.						
				à C-1.		à C-2.		en valeur.		en valeur.		de T.		de T.			de T.	
				en valeur.	en valeur.	en valeur.	en valeur.	de T.	de T.	de T.	de T.	de T.	de T.	de T.	de T.			
de V.	de D.	de D.	de D.	de T.	de T.	de T.	de T.	de T.	de T.	de T.	de T.	de T.	de T.	de T.	de T.	de T.		
2,0000	30,801	0,8990	1,9900	2,2830	10,213	22,270	15,451	15,802	0,7040	0,6863	1,1268	0,8050	<p>On s'a pas pu servir sur des charges plus fortes que 0,8770, parce que les romans s'élevaient au-dessus des bords du canal, sans recouvrir le vaine.</p> <p>Pour les expériences 1618, 1620 et 1621, les romans ne recouvraient pas le vaine à sa sortie de l'orifice. Ils ne s'élevaient que jusqu'à 0<sup>m</sup>,25 de hauteur au centre, et jusqu'à 0<sup>m</sup>,17 aux angles.</p> <p>Pour les expériences 1622, 1623 et 1624, le vaine s'est élevé au centre par les romans qui sont élevés de l'orifice de 0<sup>m</sup>,00 au centre, et le touchent aux angles, qu'ils remplissent tout entièrement, tanté en partie seulement.</p> <p>Pour les expériences 1636, 1635 et 1636, les romans ne recouvraient pas le vaine à sa sortie de l'orifice. Ils ne s'élevaient que jusqu'à 0<sup>m</sup>,80 de hauteur. Ils le recouvraient en partie pour les expériences 1637, 1638, 1639 et 1640, ils se sont élevés au-dessus de l'orifice que de 0<sup>m</sup>,12 au centre, et le dépassent aux angles, qui sont toujours pleins et toujours vides.</p> <p>Pour les expériences 1631, 1635 et 1636, le section de l'orifice d'eau qui s'écoule dans le canal, prise dans la partie qui s'atténue par les romans, à 0<sup>m</sup>,075 en aval de l'orifice, est de 78,257 centimètres carrés, en sorte que, en prenant à la vitesse moyenne dans cette section, on a</p> $v = 1^m,1265 = 0,7867 V.$					
		0,6205	1,3036	1,9181	13,090	10,261	16,060	16,610	0,9223	0,8700	1,1790	0,7760						
		0,6158	1,3050	1,9184	13,084	10,261	16,012	16,610	0,9212	0,8533	1,1837	0,7508						
2,0117	30,108	0,8158	1,2188	1,5091	15,538	10,758	9,500	12,842	0,8100	0,6682	1,0963	0,8170						
		0,8218	1,0571	1,2044	16,618	12,090	7,910	0,731	0,8137	0,6904	1,0870	0,9870						
		0,5348	0,8208	0,9004	8,804	0,821	0,390	7,311	0,8021	0,6097	1,0000	1,0308						
		0,6166	0,9791	1,2509	9,713	13,017	9,456	16,886	0,8120	0,7047	1,0516	1,2103						
1,1407	18,636	0,5043	0,9345	1,2000	9,361	12,017	8,802	10,886	0,9181	0,6800	1,0513	0,7893						

Orifice de 0<sup>m</sup>,05 de hauteur et 0<sup>m</sup>,20 de largeur, prolongé au dehors du réservoir par un canal sur toute sa largeur

La charge H de fluide est prise, dans

DATES	TEMPÉRATURE		DONNÉES FOURNIES PAR L'EXPÉRIENCE ET L'OBSERVATION.												
			ÉTAT de l'écoulement, à quel point, ou valeur de la charge H.	CORRECTION ou le nombre de l'écoulement.	CORRECTION de D.	CORRECTION de D, lorsque l'écoulement est prolongé par un canal sans barre à sa terminaison.	RAPPORT de la charge H au diamètre de l'orifice, ou valeur de p.	CHARGE, sur le nombre de l'écoulement, ou valeur de C.		CHARGE, dans le canal adjoint.		CHARGE, dans le canal principal.		VITESSE effective par seconde, ou valeur de V.	
	à 1 <sup>h</sup> 00.	à 1 <sup>h</sup> 30.						à la plus grande charge.	à la plus petite charge.	à la plus grande charge.	à la plus petite charge.	à la plus grande charge.	à la plus petite charge.		
10 octobre 1823	14,0	16,5	0,01002	0,1050	0,0207	0,6113	0,0003	0,0133	0,0000	0,0150	0,01002		5,854		
													5,010	0,0	
													5,079		
													8,013		
													7,303		
													7,202	7,0	
													7,303		
3 octobre 1823	14,0	16,5	0,01002	0,1050	0,0207	0,6113	0,0003	0,0133	0,0000	0,0150	0,01002		5,590		
													5,565	5,0	
													5,897		
													3,300		
													3,310		
													2,341	2,3	
													2,333		
													3,169		
													3,155	2,5	
													2,187		
11 octobre 1823	12,5	19,7	0,01003	0,0950	0,0217	0,6100	0,0010	0,0300	0,0170	0,0117	0,01200	0,01234	2,551		
													2,445	2,5	
													2,875		
													2,115		
													0,547		
10 octobre 1823	13,5	12,5	0,01003				0,0000	0,0220	0,0170	0,01450	0,01340		0,820	0,0	
													0,528		
													0,242		

Suite des DISPOSITIFS DE

rectangulaire découvert et horizontal, de même largeur que l'orifice, et barré à son extrémité sur diverses hauteurs.

réservoir, à 3<sup>m</sup>.50 en amont de l'orifice.

RÉSULTATS ou ÉTABLISSEMENT DES CALCULES comme si l'orifice n'était pas barré.			RÉSULTATS EN TENANT COMPTE DES REMOIS OU DE LA CHARGE AU DEVAZ DE L'ORIFICE.												OBSERVATIONS  PARTICULIÈRES.			
VITESSE de la veine de C.	VITESSE de la veine de D.	VARIATION de la charge de D.	VITESSES				VITESSES RÉDUITES par seconde.				VARIÉTÉS DE COEFFICIENT							
			de C.	de C'	de D.	de D'	de T.	de T'	de C.	de C'	de T.	de T'	de C.	de C'				
de C.	de D.	de D.	de C.	de C'	de D.	de D'	de T.	de T'	de C.	de C'	de T.	de T'	de C.	de C'	de T.	de T'	de C.	de C'
			de C.	de C'	de D.	de D'	de T.	de T'	de C.	de C'	de T.	de T'	de C.	de C'	de T.	de T'	de C.	de C'
			de C.	de C'	de D.	de D'	de T.	de T'	de C.	de C'	de T.	de T'	de C.	de C'	de T.	de T'	de C.	de C'

## PLANCHES 23 ET 24.

altres.	altres.	altres.	altres.	altres.	altres.	altres.	altres.	altres.	altres.	altres.	altres.	altres.	altres.	altres.	altres.	altres.	altres.	altres.
		0,5565	0,6566	1,2529	8,383	12,617	7,284	10,886	0,9369	0,6368	1,1092	0,7381						
		0,5289	0,6497	1,3785	8,214	11,609	7,212	10,319	0,8851	0,6382	1,0449	0,7168						
1,4197	14,434																	
		0,3667	0,6668	0,8022	6,701	8,036	5,518	6,752	0,8332	0,6945	1,0118	0,8266						
		0,3200	0,6179	0,6811	4,187	4,821	3,363	3,891	0,7039	0,6689	0,9576	0,6535						
		0,3633	0,6668	0,6537	4,072	5,604	3,566	4,954	0,8501	0,6166	0,9669	0,7086						
0,9084	9,500	0,2541	0,2736	0,4197	2,738	4,428	2,413	3,906	0,8012	0,5590	1,0111	0,6247						
		0,2879	imaginaire	0,3684	imaginaire	3,013	imaginaire	2,607		0,3768		0,3172						

Pour les expériences 1641, 1642, 1643 et 1644, les remous complètent complètement les angles inférieurs de l'orifice, et le touchent alternativement en son centre, ou à ses diagonales d'environ 0<sup>m</sup>.01.

Pour les quatre dernières expériences, les remous, mesurés au point le plus bas, s'élevaient dans le canal de 0<sup>m</sup>.0012 au-dessus du niveau général de l'eau dans le réservoir, ou sorte qu'il C—e est négatif, et par suite  $\sqrt{1/2}(C—e)$ , T et t sont imaginaires.

Déversoir de 0<sup>m</sup>,20 de largeur  
La charge totale ou complète de fluide est prise

DATES	NUMÉROS	DONNÉES				RÉSULTATS CONCERNANT LA FORMULE			
		POURTES PAR L'EXPÉRIENCE ET L'OBSERVATION.				OBTENUS PAR LA FORMULE			
		CHARGES		VALEUR	ADRESSE	VALEUR	ADRESSE	VALEUR	
des	des	totale	moyenne	du rapport	effective	à la charge	théorique	de coefficient de $\lambda$	de rapport $\frac{\lambda}{\lambda'}$
EXPÉRIENCES.	EXPÉRIENCES.	de fluide,	du point	à $\frac{h}{100}$	en valeur	totale	par	pour	rapport
		ou	de déversoir,	de	de $\lambda$ .	à	le fluide	charges	expériment.
		en	en valeur	de	de $\lambda$ .	à	à	expériment.	expériment.
		charge	de $\lambda$ .	de	de $\lambda$ .	à	à	expériment.	expériment.
<b>DISPOSITIF DE LI</b>									
15 novembre 1854.	1666							0,3030	
	1667	0,1815	0,1658	0,9135	26,056	1,2874	68,513	0,3016	0,3015
	1668				27,056			0,3048	
	1669				12,500			0,3052	
	1670	0,1105	0,0985	0,9011	12,091	1,4756	32,500	0,3092	0,3073
	1671				12,025			0,3071	
16 novembre 1854.	1672				12,031			0,3078	
	1673				5,563			0,4008	
	1674	0,0515	0,0459	0,8850	5,222	1,6350	11,371	0,4013	0,4004
	1675				4,612			0,4092	
	1676				4,656			0,4111	
	1677				1,857			0,4201	
1678					1,802	0,7560	4,120	0,4190	0,4191
	1679	0,0592	0,0530	0,7877	1,839			0,4162	
<b>DISPOSITIF DE LI</b>									
11 novembre 1854.	1680				12,100			0,3070	
	1681	0,1135	0,1011	0,8933	12,565	1,4925	38,800	0,4004	0,3973
	1682				12,302			0,3956	
	1683				2,192			0,4504	
	1684	0,0326	0,0257	0,7983	2,199	0,7997	5,214	0,4217	0,4201
	1685				2,173			0,4167	
1686				2,201			0,4221		
<b>DISPOSITIF DE LI</b>									
7 octobre 1851.....	1687				33,540			0,4073	
	1688	0,3050	0,1875	0,6137	33,275	2,0065	82,347	0,4041	0,4008
	1689				33,228			0,4033	
	1690				15,011			0,4082	
	1691	0,1190	0,1031	0,8599	15,021	1,3337	36,778	0,4084	0,4082
1692				15,021			0,4084		

débouchant librement dans l'air.

dans le réservoir, à 3<sup>m</sup>.50 en amont du déversoir.

RÉSULTATS CONCERNANT LA FORMULE						OBSERVATIONS PARTICULIÈRES.
ET L'UN ASSIMILE LES DÉVERSOIRS À DES ORIFICES FERMÉS À LA PARTIE SUPÉRIEURE.						
VITESSE en la somme de l'ordonnée ou vitesse de H.	VALEURS		ordonnée théorique par seconde, ou vitesse de D.	VALEURS		
	de rapport	de la vitesse à H.		de coefficient de D. ou de rapport $\frac{H}{D}$	pour charge expérimentale.	
0,0984	0,50	1,3008	66,119	0,5857 0,6038 0,5868	0,5612	
0,0613	0,63	1,0667	21,605	0,5901 0,6013 0,5893 0,5980	0,5963	
0,0315	0,68	0,7661	7,322	0,6316 0,6253 0,6377 0,6408	0,6337	
0,0177	0,77	0,5893	2,711	0,6300 0,6431 0,6784	0,6610	

FIGURE 2, PLANCHE 1.

vitesse.	ordonnée.	ordonnée.	ordonnée.	vitesse.	vitesse.
0,0984	0,50	1,3008	66,119	0,5857 0,6038 0,5868	0,5612
0,0613	0,63	1,0667	21,605	0,5901 0,6013 0,5893 0,5980	0,5963
0,0315	0,68	0,7661	7,322	0,6316 0,6253 0,6377 0,6408	0,6337
0,0177	0,77	0,5893	2,711	0,6300 0,6431 0,6784	0,6610

La veine, à sa sortie du déversoir, converge un peu, pour les fortes charges, vers la direction perpendiculaire de la face du réservoir la plus rapprochée de ce déversoir.

FIGURE 3, PLANCHE 1.

vitesse.	ordonnée.	ordonnée.	ordonnée.	vitesse.	vitesse.
0,0613	0,60	1,1100	21,311	0,5975 0,6026 0,5836	0,5970
0,0198	0,77	0,6232	3,363	0,6655 0,6665 0,6784 0,6678	0,6661

Les appareils de l'écoulement sont les mêmes que dans le cas des masses partielles.

FIGURE 4, PLANCHE 1.

vitesse.	ordonnée.	ordonnée.	ordonnée.	vitesse.	vitesse.
0,1118	0,59	1,4761	55,440	0,6050 0,6002 0,5994	0,6015
0,0464	0,66	1,1564	23,806	0,6564 0,6580 0,6599	0,6588

Déversoir de 0<sup>m</sup>,20 de largeur.

La charge totale ou complète de fluide est prise.

DATE	NUMÉROS	DONNÉES				RÉSULTATS CONCERNANT LA FORMULE			
		OBTENUES PAR L'EXPÉRIENCE ET L'OBSERVATION.				CONCERNANT LE DÉVERSEMENT EN ÉTAPE.			
		CHARGE		VITESSE de rapport $\frac{v}{\sqrt{2gH}}$	PÉRIODE affluente par seconde, ou volume de E.	VITESSE due à la charge h.	NOMBRE théorique calculé par le théorème d.	VALEURS du coefficient de d., ou de rapport $\frac{E}{d}$	
totale de fluide, ou valeur de h.	moyenne dans le plan du déversoir, ou valeur de $g(2H - h')$ .	pour chaque expérience.	moyenne pour chaque charge.						
Suite du DISPOSITIF DE LA									
8 octobre 1831....	1603							0,4092	
	1604	0,0670	0,0520	0,7701	0,287	1,1455	13,363	0,4092	0,4092
	1605				1,075			0,4105	
10 octobre 1831....	1606	0,0590	0,0201	0,8005	1,071	0,7785	4,812	0,4096	0,4102
	1607				1,076			0,4106	
	1608	0,0101	0,0095	0,5776	0,718	0,5620	1,010	0,3967	0,3964
	1609				0,717			0,3961	0,3964
DISPOSITIF DE LA									
20 septembre 1831.	1700				34,364			0,4009	
	1701	0,1087	0,1021	0,8730	35,658	2,0335	81,461	0,4085	0,4076
	1702				13,869			0,4053	
24 septembre 1831.	1703	0,1087	0,0880	0,8096	15,853	1,6007	31,756	0,4057	0,4055
	1704				1,027			0,3812	
	1705	0,0214	0,0132	0,6168	1,055	0,6479	2,775	0,3804	0,3804
	1706				1,053			0,3797	
DISPOSITIF DE LA									
17 août 1831.....	1707				43,281			0,3794	
	1708	0,2020	0,1533	0,6020	43,434	2,3268	114,077	0,3807	0,3803
	1709				43,430			0,3807	
	1710				43,370			0,3811	
	1711	0,2544	0,1580	0,6020	43,153	2,3332	113,536	0,3801	0,3805
	1712				43,190			0,3804	
	1713				29,605			0,3825	
	1714	0,1969	0,1909	0,6140	29,641	1,9950	77,402	0,3830	0,3830
	1715				20,434			0,3831	
	1716	0,1580	0,0963	0,6270	20,470	1,7301	53,533	0,3836	0,3835



débouchant librement dans l'air.

dans le réservoir, à 3<sup>m</sup>,50 en amont du déversoir.

RÉSULTATS CONCERNANT LA FORMULE						OBSERVATIONS PARTICULIÈRES
ET S'ON ASSURE LES DÉTERMINÉS À DES COEFFICIENTS FIXÉS À LA PARTIE SUPÉRIEURE.						
VALEUR de la pente de l'écoulement ou vitesse de H.	VALEUR		vitesse théorique par seconde, ou valeur de D.	VALEUR de coefficient de D. ou de rapport $\frac{H}{D}$		
	de rapport $\frac{H}{1+K}$	de la vitesse des 4 H.		pour charge expériences.	supposés pour charge charge.	

FIGURE 4, PLANCHE 1.

mètres.		mètres.	litres.		
0,0410	0,79	0,8968	9,827	0,6741 0,6741 0,7073 0,7057 0,7077	0,6743   0,7669
0,0800	1,04	0,6403	3,571	0,6122 0,6111	0,6117
0,0115	1,53	0,3750	0,651		

Pour les deux dernières expériences, la partie inférieure de la veine s'élève fort peu au-dessus de charbon (incliné à 45° de la base du déversoir, dont l'épaisseur n'est cependant que de 0<sup>m</sup>,004). Pour les charges au-dessous de 0<sup>m</sup>,015, la veine s'attache à ce charbon, et évidemment ne présente pour ainsi dire plus qu'une bourse.

FIGURE 5, PLANCHE 1.

mètres.		mètres.	litres.		
0,1170	0,64	1,5183	50,386	0,6501 0,6227	0,6216
0,0647	0,74	1,1367	10,630	0,6409 0,6407	0,6464
0,0148	1,12	0,5386	1,532	0,7423 0,7419 0,7400	0,7419

La surface de l'eau, dans le réservoir, s'élève plus haut du côté de la face la plus rapprochée du déversoir que du côté opposé, et la veine, à ce point, converge plus ou moins vers la direction prolongée de cette face, selon que la charge est plus ou moins forte. Pour celle de 0<sup>m</sup>,0214, la partie inférieure de cette veine s'attache au peu, de côté de la face du réservoir la plus chargée, au charbon à 45° de la base du déversoir.

FIGURE 6, PLANCHE 1.

mètres.		mètres.	litres.		
0,1753	1,10	1,5703	57,618	0,7536 0,7505 0,7564	0,7556
0,1777	1,15	1,6078	57,143	0,7578 0,7551 0,7558	0,7560
0,1360	1,13	1,6862	39,563	0,7483 0,7492	0,7568
0,1050	1,10	1,3363	27,709	0,7376 0,7389	0,7383

Pour les trois premières charges, il y a, à la partie supérieure, de forte oscillation produite par le choc de l'eau contre l'intervalle de 0<sup>m</sup>,02, qui sépare de chaque côté les bords verticaux de cet orifice des faces du réservoir.

Déversoir de 0<sup>m</sup>,20 de largeur.

La charge totale ou compte de fluide est pris

DATE	NUMÉROS	DONNÉES				RÉSULTATS CONCERNANT LA FORMULE			
		OBTENUES PAR L'EXPÉRIENCE ET L'OBSERVATION.				CORRIGÉES PAR LE TABLEAU.			
		CRASSE		VARIÉTÉ	épaisseur effective par seconde de H	VITESSE due à la charge	épaisseur théorique calculée par la formule d.	VARIÉTÉ	
réelle de fluide, ou valeur de h	moyenne dans le plus du déversoir, ou valeur de $\frac{a+b-h'}{4}$	de coefficient de $\frac{1}{2}$ ou du rapport $\frac{a}{b}$	rapport par charge expériment.					rapport par charge théor.	
Suite du DISPOSITIF DE L1									
17 août 1831.	1717				11,262			0,3222	
	1718	0,1034	0,0662	0,6412	11,176	1,4342	29,455	0,3704	6,3010
	1719				11,215			0,3808	
	1720				11,271			0,3227	
1721	4,997				0,3708				
18 septembre 1831.	1722	0,0616	0,0268	0,3092	2,011	1,0976	13,478	0,3718	6,3712
	1723				4,990			0,3700	
	1724				2,520			0,3518	
17 septembre 1831.	1725	0,0404	0,0220	0,5094	2,537	0,2003	7,103	0,3227	6,3005
	1726				2,532			0,3230	
18 septembre 1831.	1727	0,0316	0,0111	0,3160	6,996	0,6479	2,772	0,3210	6,3071
	1728				6,845			0,3206	
	1729				6,800			0,3206	
DISPOSITIF DE L2									
2 novembre 1831.	1730				32,777			0,4014	
	1731	0,1037	0,1228	0,9974	32,664	1,9990	81,430	0,4015	6,4015
	1732				32,768			0,4018	
	1733				30,603			0,4027	
	1734				20,728			0,4079	
	1735				20,700			0,4066	
1736	10,615				0,4081				
2 novembre 1831.	1737	0,0965	0,0333	4,4713	10,758	1,3094	25,183	0,4139	6,4102
	1738				16,732			0,4105	
	1739				1,251			0,4224	
	1740				4,372			0,4201	
	1741				4,818			0,4322	
	1742				1,128			0,4467	
2 novembre 1831.	1743	0,0001	0,0180	0,4950	1,129	0,0280	2,525	0,4640	6,4455
	1744				1,120			0,4455	
	1745				1,120			0,4455	

débouchant librement dans l'air.

dans le réservoir, à 3<sup>m</sup>.50 en amont du déversoir.

RÉSULTATS CONCERNANT LA FORMULE					
DE L'ON ABRUIRE DES DÉVERSOIRS À DES ORIFICES PÉRIÉS À LA PARTIE SUPÉRIEURE.					
vitesse en le centre de l'orifice, ou vitesse de H.	VITESSE		vitesse théorique par seconde, ou vitesse de D.	VITESSE	
	de rapport	de la vitesse de H.		de coefficient de D, ou de rapport $\frac{H}{D}$	moyenne pour chaque expérience.

OBSERVATIONS PARTICULIÈRES.

FIGURE 6. PLANCHE I.

vitesse.		vitesse.	vitesse.		
0,6763	1,06	1,1730	15,566	0,7235 0,7179 0,7205 0,7211	0,7227
0,6130	1,17	0,9185	6,700	0,7390 0,7313 0,7305	0,7300
0,6091	1,30	0,7506	3,415	0,7406 0,7439 0,7414	0,7416
0,6150	1,43	0,5976	1,328	0,7189 0,7181 0,7181	0,7184

Le durée de l'écoulement ayant été mal évaluée pour l'expérience 1718, on n'a pas tenu compte du résultat qui le concerne.

FIGURE 8. PLANCHE I.

vitesse.		vitesse.	vitesse.		
0,1123	0,61	1,4843	34,266	0,6020 0,6025 0,6027	0,6027
0,0829	0,63	1,3753	33,668	0,6134 0,6160 0,6168	0,6147
0,0640	0,65	1,2694	17,150	0,6230 0,6199 0,6258	0,6250
0,0598	0,66	0,7517	0,815	0,6476 0,6036 0,6020	0,6010
0,0111	0,68	0,1666	1,080	0,6714 0,6673 0,6696	0,6694

Le surface de l'eau, dans le réservoir, s'élève plus haut du côté de la face la plus rapprochée du déversoir que de côté opposé, et la vitesse, à sa sortie, converge plus ou moins vers la direction prolongée de cette face, selon que le charge est plus ou moins forte.

Déversoir de 0<sup>m</sup>.20 de largeur.  
La charge totale ou compte de fluide en pris

DATES	NOMÉROS	DONNÉES				RÉSULTATS CONCERNANT LA FORMULE			
		FOURNIES PAR L'EXPÉRIENCE ET L'OBSERVATION.				OBTENUES PAR LE CALCUL.			
		CHARGE		cote de rapport	débits	vitesse	libérite	vitesse	vitesse
totale de fluide, ou valeur de h.	au-dessus de la plan de déversoir, ou valeur de a = h - h'	en valeur de $\frac{h-h'}{h}$	en valeur de Q						
<b>DISPOSITIF DE LI</b>									
15 novembre 1831.	1715	0,2174			26,229	2,0058	89,860	0,4255	0,4255
20 novembre 1831.	1716	0,2000	0,1833	0,6730	25,258	2,0949	84,541	0,4256	0,4259
	1717				25,499			0,4261	
	1718				22,953			0,4252	
27 novembre 1831.	1719	0,1550	0,1305	0,6742	22,780	1,7438	54,805	0,4214	0,4259
	1720				22,875			0,4222	
	1721				16,353			0,4218	
30 novembre 1831.	1722	0,1169	0,1030	0,8811	16,322	1,5143	35,404	0,4187	0,4261
	1723				16,342			0,4203	
	1724				11,826			0,4208	
23 octobre 1831.	1725	0,1003	0,0864	0,8614	11,824	1,4027	28,128	0,4192	0,4261
	1726				11,873			0,4220	
	1727				11,811			0,4198	
	1728				4,421			0,4254	
26 novembre 1831.	1729	0,0916	0,0450	0,8721	4,436	1,0051	16,263	0,4372	0,4254
	1730				4,396			0,4254	
	1731				1,181			0,4412	
18 novembre 1831.	1732	0,0900	0,0160	0,7043	1,189	0,6465	2,077	0,4142	0,4259
	1733				1,186			0,4130	
<b>DISPOSITIF DE LII</b>									
	1734				45,856			0,4293	
	1735	0,2841	0,1996	0,6177	45,700	2,1883	106,833	0,4278	0,4293
	1736				45,689			0,4277	
7 novembre 1831.	1737	0,1558	0,1202	0,5357	23,676	1,7483	59,177	0,4346	0,4293
	1738	0,1501	0,1297	0,5369	23,206	1,7443	54,106	0,4307	0,4293
	1739				23,417			0,4333	
	1740				12,223			0,4353	
	1741	0,1021	0,0600	0,5483	12,232	1,4815	28,000	0,4326	0,4293
8 novembre 1831.	1742				2,513			0,4404	
	1743	0,0566	0,0470	0,8304	2,221	1,0036	11,070	0,4377	0,4293
	1744				2,208			0,4365	

F. M. A.

débouchant librement dans l'air.

dans le réservoir, à 3",50 en amont du déversoir.

RÉSULTATS CONCERNANT LA FORMULE						OBSERVATIONS PARTICULIÈRES.
ET L'UN ASSIMILER LES DÉVERSEURS À DES ORIFICES FERMÉS À LA PARTIE INTÉRIEURE.						
CRASSE ou le centre de l'orifice, ou celui de H.	VALEURS		débits théoriques par seconde, ou valeur de D.	VALEUR		
	de rapport	de la vitesse des H.		de coefficient de D. à ou de rapport $\frac{D}{D_0}$	pour chaque expérience.	

FIGURE 9, PLANCHE I.

mètres.		mètres.		mètres.		Pour les premières expériences, le niveau de l'eau courait partout le bord supérieur de l'orifice fixe, excepté sur une longueur de 0",00 au son centre. Cette expérience se ne rapporte donc exactement, ni aux déversoirs, ni aux orifices fermés par le bord; elle concorde, en quelques mots, le point de transition entre ces deux espèces d'orifices.
"	"	"	"	"	"	
0,1173	0,64	1,5170	55,613	0,6418 0,6450	0,6432	
0,0872	0,64	1,3079	55,544	0,6404 0,6427 0,6450	0,6425	
0,0654	0,60	1,1927	25,354	0,6400 0,6395 0,6378	0,6377	
0,0561	0,63	1,0401	18,548	0,6370 0,6375 0,6401 0,6368	0,6360	
0,0291	0,65	0,7556	6,800	0,6392 0,6021 0,6465	0,6497	
0,0128	0,76	0,4972	1,6007	0,7155 0,7260 0,7185	0,7181	

FIGURE 10, PLANCHE I.

mètres.		mètres.		mètres.		Le veau se constamment en s'élargissant dans le sens horizontal, après sa sortie de l'orifice, pour les onze premières expériences, tandis qu'elle se rétrécit au contraire pour les trois dernières.
"	"	"	"	"	"	
0,1443	0,72	1,6625	67,160	0,6699 0,6694 0,6695	0,6612	
0,0907	0,70	1,3343	34,745	0,6614 0,6748	0,6784	
0,0903	0,70	1,3314	34,537	0,6789		
0,0591	0,60	1,0768	18,521	0,6762 0,6766	0,6764	
0,0331	0,70	0,8058	7,575	0,6625 0,6692 0,6673	0,6690	

Déversoir de 0<sup>m</sup>,30 de largeur  
La charge totale ou complète de fluide est prise

DATES	NUMÉROS	DONNÉES				RÉSULTATS CONCERNANT LA FORMULE			
		POTENTIEL PAR L'ÉVALUATION ET L'OBSERVATION.				CORRECTIVEMENT EN USAGE.			
		CHARGES		VITESSE du siphon	DÉBIT effectif par seconde,	VITESSE due à la charge	VITESSE théorique calculée par la formule d.	VARIÉS	
totale de D <sub>0</sub> à ou relève de h	mesurée dans le plan du déversoir, ou relevé de a ou h - a.	de modification de L ou du rapport $\frac{L}{H}$	mesure par deux charges.						
Suite du DISPOSITIF DE B									
8 novembre 1833.	1775				1,110			0,578	
	1776	0,0101	0,0134	0,7539	1,113	0,0121	2,338	0,570	0,570
	1777				1,104			0,572	
DISPOSITIF DE B									
10 novembre 1834.	1778	0,1995	0,1700	0,8972	31,794	1,9783	78,024	0,5085	0,508
	1779				21,892			0,5040	
	1780				18,239			0,5054	
	1781	0,1463	0,1280	0,6870	19,646	1,6825	48,557	0,5065	0,507
	1782				19,474			0,5011	
	1783				9,410			0,5002	
	1784	0,0581	0,0704	0,5672	9,377	1,3117	33,105	0,5048	0,507
9 novembre 1834.	1785				9,367			0,5054	
	1786				9,428			0,5070	
	1787				1,181			0,5361	
	1788				1,166			0,5355	
	1789	0,0210	0,0181	0,8019	1,168	0,5416	3,096	0,5295	0,530
	1790				1,178			0,5305	
	1791				1,190			0,5336	
1792				1,176			0,5355		
DISPOSITIF DE B									
23 novembre 1834.	1793	0,3290	0,1640	0,6590	57,607	2,5173	102,611	0,3542	0,354
	1794				57,550			0,3538	
	1795				39,301			0,3401	
	1796	0,2256	0,0805	6,3787	39,670	2,1047	95,048	0,3417	0,341
	1797				32,620			0,3418	
22 novembre 1834.	1798				18,758			0,3351	0,335
	1799	0,1395	0,0438	0,3982	13,734	1,5050	41,382	0,3297	0,329
	1800				13,687			0,3315	0,331
	1801				13,677			0,3318	0,331

F. IX.

ébouchant librement dans l'air.

dans le réservoir, à 3<sup>m</sup>,50 en amont du déversoir.

RÉSULTATS CONCERNANT LA FORMULE						OBSERVATIONS PARTICULIÈRES.
CALCUL			VITESSE théorique par seconde,	VARIÉS		
de	de	la vitesse		de coefficient de D.		
rapport	de	en	ou de rapport $\frac{V}{V_0}$			
de H.	$\frac{H}{1+0,025 \frac{H}{a}}$	de H.	pour charges expériences.	moyennes pour charges charges.		

FIGURE 10, PLANCHE I.

charge	a	vitesse	théor.	VARIÉS	
0,2110	0,63	0,4832	1,392	0,7974 0,7966 0,7981	0,7967

FIGURE 12, PLANCHE I.

charge	a	vitesse	théor.	VARIÉS	
0,1100	0,61	1,0500	52,500	0,6045 0,6061 0,6081 0,6110 0,6061	0,6055 0,6085
0,0603	0,63	1,2551	39,131	0,6251 0,6203 0,6196 0,6236	0,6215
0,0499	0,65	0,9891	15,118	0,6720 0,6680 0,6595 0,6686 0,6611 0,6646	0,6685

Pour les deux premières charges, les appareils de l'écoulement ont les mêmes que dans le cas des mêmes parois.  
 Pour la troisième charge, le largeur horizontale de la veine est de 0<sup>m</sup>,18 à sa sortie de l'orifice, de 0<sup>m</sup>,22 à 0<sup>m</sup>,35 en aval; et, à partir de ce point, elle se contracte en se rétrécissant. Le même phénomène se reproduit pour la quatrième charge.  
 Un morceau de bois s'était attaché à la paroi de droite du réservoir, près du déversoir, pour la 1798<sup>e</sup> expérience, et la charge a varié pendant la 1791<sup>e</sup>; c'est pourquoi on les a considérées comme ses voisines.

FIGURE 13, PLANCHE I.

charge	a	vitesse	théor.	VARIÉS	
0,2500	1,21	2,3146	61,066	0,8907 0,8897 0,9073 1,0021 1,0014	0,8902
0,1831	2,34	1,8053	32,410	1,0806 1,0791 1,0754 1,0736	1,0799 1,0750

Le barrage en amont de réservoir, décrit au n° 41 de texte, s'élevait pour les expériences numérotées de 1795 à 1805, tandis qu'il était entièrement supprimé pour toutes celles qui le suivent et qui en sont séparées par un trait horizontal.  
 Pour les expériences 1798, 1799, 1802, 1803 et 1810, les feuilles de 0<sup>m</sup>,006 de largeur, dans lesquelles glissaient les vannes des orifices formés par le haut, étaient ouvertes, tandis qu'elles étaient fermées pour toutes les autres expériences.  
 À l'origine de petit réservoir qui précède immédiatement le déversoir, il y a une cloche plus ou moins prononcée, selon la charge; la veine s'y contracte et se détache des parois latérales sur une certaine longueur. Au point où, en se dilatant après s'être contractée, elle rencontre une paroi, il se forme, pour

Déversoir de 0<sup>m</sup>,20 de largeur

La charge totale ou complète de fluide est prise

DATES	NUMÉROS	DONNÉES				RÉSULTATS CONCERNANT LA FORMULE			
		FOURNIES PAR L'EXPÉRIENCE ET L'OBSERVATION.				OBTENUES PAR LA FORMULE			
		CHARGE		VITESSE de rapport	DÉPENSE effective par seconde,	VITESSE de la charge	dépense théorique calculée par la formule	VITESSE	
totale de fluide, ou valeur de h.	mesurée dans le plan du déversoir, ou valeur de $x = h - h'$	de coefficient de $d$ , ou de rapport $\frac{d}{D}$	mesurée pour chaque expérience.					calculée pour chaque charge.	
Suite du DISPOSITIF DE LA									
21 novembre 1831.	1802				3,770			0,3411	
	1803				3,790			0,3439	0,3430
	1804	0,0536	0,0268	0,3353	3,687	1,0275	11,054	0,3364	0,3365
	1805				3,704			0,3361	
26 novembre 1831.	1806				50,767			0,3330	
	1807	0,3185	0,1590	0,1802	50,578	2,1918	157,731	0,3054	0,3050
	1808	0,1300	0,0610	0,1692	13,912	1,3070	11,522	0,3303	0,3307
	1809				13,877			0,3302	
25 novembre 1831.	1810				19,896			0,3300	0,3306
	1811	0,1295	0,0600	0,1703	13,786	1,3059	11,282	0,3339	0,3334
	1812				13,713			0,3328	
26 novembre 1831.	1813				5,660			0,3418	
	1814				5,740			0,3363	
	1815	0,0040	0,0210	0,1534	5,660	1,0294	11,116	0,3418	0,3400
	1816				5,779			0,3400	
DISPOSITIF DE LA									
27 novembre 1831.	1817				66,112			0,4181	
	1818				65,756			0,4169	0,4180
	1819	0,3165	0,1604	0,3068	66,218	2,1910	157,737	0,4188	0,4189
	1820				66,395			0,4195	0,4192
	1821				38,251			0,6057	0,6056
	1822	0,2250	0,1125	0,3644	38,364	2,1890	94,241	0,6056	0,6056
	1823				16,546			0,3961	0,3966
	1824	0,1300	0,0652	0,3015	16,466	1,3070	11,522	0,3961	0,3966
	1825				4,238			0,3792	
	1826				4,200			0,3855	
	1827	0,0042	0,0205	0,1889	4,265	1,0312	11,176	0,3818	0,3822
	1828				4,275			0,3825	



débouchant librement dans l'air.

Dans le réservoir, à 3<sup>m</sup>,50 en amont du déversoir.

RÉSULTATS CONCERNANT LA FORMULE					
DE L'UNE ASSOLEE LUX DÉVERSANTS À DEUX ORNICES PÉRIMÉS À LA PARTIE SUPÉRIEURE.					
LARGEUR DES LE ORNICES DE L'ENTRÉE, ou celle de H.	VELOCITÉ		DIFFÉRENCE CHARGES par seconde, ou celle de H.	VALEUR du coefficient de D.	
	de l'écoulement	de la vitesse		de l'écoulement de D. $\frac{H}{D}$	de l'écoulement de D. $\frac{H}{D}$

OBSERVATIONS PARTICULIÈRES

FIGURE 13. PLANCHE I.

0,0394	1,37	0,6791	5,064	0,7454 0,7454 0,7301 0,7314	0,7463 0,7306	les fortes charges, au jet d'eau qui retombe sous forme de pluie, après s'être élevé d'environ 0 <sup>m</sup> ,10. Pour ces fortes charges, le centre de la veine par le plan du déversoir, dans une courbe presque fermée par le haut et dont le flanc est de 0 <sup>m</sup> ,004. Cette courbe s'élève de plus en plus et la veine se contracte et s'épandait dans le sens horizontal, à mesure qu'on s'éloigne du déversoir. À 0 <sup>m</sup> ,10 on voit de celui-ci elle a déjà 0 <sup>m</sup> ,22 de largeur pour le charge de 0 <sup>m</sup> ,1295.
0,3305	1,56	2,1723	60,038	0,8445 0,8416	0,8131	L'état inverse a lieu, s'est-à-dire que la veine se contracte en se rapprochant après se ouvrir du déversoir, lorsque les feuilles de la vanne des orifices limités par le haut sont ouvertes. Il se forme alors dans l'intérieur du réservoir, près du déversoir, un remous qui donne sans doute lieu à l'augmentation de dépense qu'on remarque dans ce cas.
0,0098	1,68	1,3072	17,046	0,8181 0,8183	0,8121	On n'a pas aperçu sur des charges au-dessous de 0 <sup>m</sup> ,005, parce qu'alors l'écoulement se présente plus qu'une hauteur s'attache à l'écoulement inférieur de l'écoulement dans laquelle le déversoir est ouvert.
0,0900	1,63	1,3936	16,971	0,8186 0,8132 0,8098	0,8186 0,8100	
0,0430	1,75	0,3078	6,337	0,8721 0,8583 0,8721 0,8675	0,8678	

FIGURE 14. PLANCHE I.

0,3363	1,67	2,1333	69,075	0,9571 0,9380 0,9586 0,9402	0,9546 0,9594	La veine s'épandait sans aucune contraction apparente à l'entrée de petits réservoirs qui pesaient immédiatement le déversoir; le centre de la surface de l'eau dans le plan de ce déversoir, dans une courbe plus ouverte par le haut, et qui est moins de flèche que dans le cas du dispositif de la figure 13. Enfin, la veine se contracte et s'épandait dans le sens horizontal, pour les trois premières charges; mais, pour le dernier, sa largeur, qui était de 0 <sup>m</sup> ,21 à 0 <sup>m</sup> ,05 au delà du déversoir, s'est plus que de 0 <sup>m</sup> ,20 à 0 <sup>m</sup> ,19 de cet orifice et, à partir de ce point, elle se vaie plus.
0,1083	1,58	1,8170	17,346	0,9398 0,9301	0,9300	Les feuilles de la vanne des orifices limités par le haut, étaient ouvertes pour les deux premières expériences et fermées pour toutes les autres.
0,0974	1,60	1,3889	16,853	0,9120 0,9087	0,9100	
0,0410	1,56	0,8969	4,734	0,8915 0,9004 0,8971 0,8992	0,8966	

Déversoir de 0<sup>m</sup>,02 de largeur, en mince paroi plane et débouchant  
La charge totale ou complète de fluide est prise

DATE	N <sup>OS</sup> DES EXPÉRIENCES	DONNÉES FOURNIES PAR L'ÉPREUVE ET L'OBSERVATION.				RÉSULTATS CONCERNANT LA FORMULE INDICADREMENT DE STAMM.			
		CRASSE		HAUTEUR du rapport ou $\frac{v}{h} = \frac{h-v}{h}$	DÉPENSE effective par seconde, ou valeur de Q.	VITESSE à la charge totale h.	DÉPENSE théorique calculée par la formule d.	FAUSSE de coefficient de $\frac{d}{h}$ ou de rapport $\frac{v}{h}$	
		tendue de fluide, ou valeur de h.	moynenne épaisseur de fluide, ou valeur de $v$ ou $h-v$ .					pour chaque expérience.	moynenne pour chaque charge.
5 décembre 1853.	1829								
	1830	0,5025	0,5010	0,9956	17,219 17,232	2,4185	16,504	0,1250 0,1257	0,1256
	1831				6,316				
	1832 1833	0,3015	0,3002	0,9957	6,306 6,303	2,4321	16,668	0,1327 0,1341 0,1332	0,1335
1 <sup>er</sup> décembre 1854.	1834				2,518				
	1835 1836	0,1025	0,1017	0,9651	2,520 2,523	1,7956	5,803	0,1370 0,1343 0,1348	0,1343
	1837				0,896				
	1838 1839	0,0815	0,0810	0,9950	0,892 0,895	1,2546	2,061	0,1343 0,1357	0,1350

TABLEAU

Déversoir de 0<sup>m</sup>,60 de largeur, pratiqué dans une paroi plane de 0<sup>m</sup>,05 d'épaisseur  
La charge totale ou complète de fluide est prise

DATE	N <sup>OS</sup> DES EXPÉRIENCES	DONNÉES FOURNIES PAR L'ÉPREUVE ET L'OBSERVATION.				RÉSULTATS CONCERNANT LA FORMULE INDICADREMENT DE STAMM.			
		CRASSE		HAUTEUR du rapport ou $\frac{v}{h} = \frac{h-v}{h}$	DÉPENSE effective par seconde, ou valeur de Q.	VITESSE à la charge totale h.	DÉPENSE théorique calculée par la formule d.	FAUSSE de coefficient de $\frac{d}{h}$ ou de rapport $\frac{v}{h}$	
		tendue de fluide, ou valeur de h.	moynenne épaisseur de fluide, ou valeur de $v$ ou $h-v$ .					pour chaque expérience.	moynenne pour chaque charge.
7 décembre 1853.	1840								
	1841	0,1708	0,1725	0,9090	352,017 352,095	2,6738	725,631	0,2015 0,2001	0,2008
	1842 1843	0,2650	0,2353	0,8865	182,384 182,353	2,7823	363,602	0,2610 0,2599	0,2610
8 décembre 1853.	1844				37,395				
	1845	0,1065	0,0877	0,8235	37,510	1,4155	92,367	0,4040 0,4046	0,4043

N° XX.

librement dans l'air, dans le cas du dispositif de la figure 1, planche 1.  
dans le réservoir, à 3<sup>m</sup>,50 en amont du déversoir.

RÉSULTATS CONCERNANT LA FORMULE						OBSERVATIONS PARTICULIÈRES.
DE L'ON ARRIVÉE LES DÉVERSEURS À DES CHARGES PRÈS À LA PARTIE SUPÉRIEURE.						
CHARGE sur la surface de l'aërifier, ou valeur de H.	VALEURS		MÉTRÉS théoriques par seconde, ou valeur de H.	VALEUR de coefficient de D. ou de rapport $\frac{H}{H_0}$		
	de rapport $\frac{H}{H_0}$	de la vitesse due à H.		pour chaque expérience.	moyenne pour chaque charge.	
0,2960	0,5043	2,4175	28,378	0,0035 0,0033	0,6035	La section de la veine, à sa sortie du déversoir, rassemblée à une espèce de champignon dont le tête est formée par la nappe supérieure, qui est très-mince et débordé de hauteur par la partie inférieure.
0,1514	0,5018	1,7234	10,267	0,6133 0,6153 0,6140	0,6142	
0,0814	0,5010	1,3532	4,092	0,6153 0,6158 0,6166	0,6150	
0,0410	0,5002	0,9968	1,453	0,6167 0,6160 0,6180	0,6160	

N° XXI.

et débouchant librement dans l'air, dans le cas du dispositif de la figure A, planche 3.  
dans le réservoir, à 3<sup>m</sup>,50 en amont du déversoir.

RÉSULTATS CONCERNANT LA FORMULE						OBSERVATIONS PARTICULIÈRES.
DE L'ON ARRIVÉE LES DÉVERSEURS À DES CHARGES PRÈS À LA PARTIE SUPÉRIEURE.						
CHARGE sur la surface de l'aërifier, ou valeur de H.	VALEURS		MÉTRÉS théoriques par seconde, ou valeur de H.	VALEUR de coefficient de D. ou de rapport $\frac{H}{H_0}$		
	de rapport $\frac{H}{H_0}$	de la vitesse due à H.		pour chaque expérience.	moyenne pour chaque charge.	
0,2294	0,6001	2,1223	457,008	0,2832 0,2811	0,5822	La veine est constamment détachée des joints verticaux du déversoir, mais elle s'élève de plus en plus à sa base, à mesure que la charge diminue.
0,1479	0,6086	1,7035	240,100	0,5021 0,5020	0,5021	
0,0027	0,7169	1,1091	56,361	0,6504 0,6394	0,6401	

Déversoir de 0<sup>m</sup>,20 de largeur, prolongé au dehors du réservoir par un tuyau de 0<sup>m</sup>,20 de longueur. La charge totale ou complète de fluide est prise au point de mesure.

DATES DES EXPÉRIENCES.	NOM DES SÉRIES.	DONNÉES PRELEVÉES PAR L'EXPÉRIENCE ET L'INSTRUMENTATION.			RÉSULTATS OBTENUS PAR LA FORMULE CORRECTIVE EN VALEUR				RÉSULTATS OBTENUS PAR LA FORMULE CORRECTIVE EN VALEUR		
		CHARGE totale de fluide, ou valeur de h	VITESSE dans le tuyau au point de mesure, ou valeur de V	VITESSE dans le tuyau au point de mesure, ou valeur de V	VITESSE dans le tuyau au point de mesure, ou valeur de V	VITESSE dans le tuyau au point de mesure, ou valeur de V	VITESSE dans le tuyau au point de mesure, ou valeur de V	VITESSE dans le tuyau au point de mesure, ou valeur de V	VITESSE dans le tuyau au point de mesure, ou valeur de V	VITESSE dans le tuyau au point de mesure, ou valeur de V	VITESSE dans le tuyau au point de mesure, ou valeur de V
<b>DISPOSITIF DE L.</b>											
11 octobre 1928.....	1848										
	1848	0,2064	0,1828	0,9290	26,117	26,000	26,379	26,526	0,2122	0,2064	0,3190
	1849										
	1850										
	1850	0,1450	0,1253	0,9299	15,258	15,233	15,333	15,371	1,6660	0,9111	0,3130
	1851										
	1852										
	1853	0,1029	0,0950	0,9291	8,207	8,173	8,143	8,143	1,4208	0,9126	0,3068
	1854										
	1855										
13 octobre 1928.....	1856										
	1857	0,0600	0,0500	0,9167	3,733	3,710	3,760	3,794	1,0635	13,011	0,2801
	1858										
	1859										
	1860										
3 octobre 1928.....	1861										
	1861	0,0446	0,0416	0,9327	2,257	2,249	2,269	2,278	0,9354	8,344	0,2794
	1862										
	1863										
	1863	0,0279	0,0265	0,9360	0,938	0,933	0,933	0,935	0,7399	4,128	0,2260
18 novembre 1928.....	1864										
	1864	0,0961	0,1008	0,9245	34,901	34,918	34,770	34,477	2,6122	83,064	0,3250
	1865										
	1865										
<b>DISPOSITIF DE L.</b>											

canal rectangulaire découvert et horizontal, de même largeur que le déversoir.  
dans le réservoir, à 3<sup>m</sup>,50 en amont du déversoir.

TÉTS DES APPAREILS LES DÉVERSOURS À LA PLATTE DÉVERSANTE.			RÉSULTATS RELATIFS À LA VITESSE DE L'EAU DANS LE CANAL					OBSERVATIONS PARTICULIÈRES
Déversoir par compte, ou réserve de D.	Vitesse de translation de D. ou de rapport $\frac{H}{D}$		SITUATION de l'écoulement au point où l'on a pris les vitesses dans le canal, ou leur valeur de D.	VITESSE de la section dans le canal, ou leur valeur de a.	ÉTENDUE moyenne de l'eau dans la section, ou leur valeur de a.	RÉSULTAT de la vitesse moyenne dans la section de canal, à la vitesse théorique due à la charge H.		
	pour charges égales.	moyenne pour charges égaies.					de la section de canal, ou leur valeur de a.	

FIGURE 15. PLANCHE 2.

0,6811	0,6665	0,000	0,00	387,000	0,6836	0,3307	0,6664	Le vena, à sa sortie de déversoir, sort toujours le fond du canal, et ne se détache de ses parois latérales que pour les deux premières expériences.
	0,6684	0,6664	0,063	308,253	0,6832	0,3260	0,6903	
	0,6674	3,000	15,00	175,635	1,0887	0,7198	1,0293	
0,3230	0,6607	0,000	0,00	370,540	0,5675	0,3365	0,6606	Les venaux, qui s'attachent d'abord à 0 <sup>m</sup> ,41 de déversoir, arrivent jusqu'à sa base pour la charge de 0 <sup>m</sup> ,6600. Ils se courbent de plus en plus la vaine pour les charges suivantes, et, pour le déversoir, se ne détachent l'eau d'arrivée qu'à deux tiers qui se forment à 0 <sup>m</sup> ,36 en aval du déversoir.
	0,6600	0,6606	0,918	219,183	0,6988	0,4143	0,5677	
	0,6613	3,900	19,95	191,578	0,8015	0,4752	0,6500	
18,879	0,6681	0,000	0,00	191,200	0,6657	0,3278	0,6681	Pour les quatre déversoirs chargés, le lever des sections de la vaine par le plus même de déversoir présente quelquefois certaines, à cause des variations inévitables de l'eau en ru point. On l'a fait deux fois à des époques différentes, et les nombres consignés sur ce tableau donnent, pour chaque charge, le moyenne résultant des surfaces des deux sections observées; mais on n'a descendu qu'une seule de ces sections sur les plancbes 29 et 30, afin d'éviter un double emploi. Les moyennes se s'accroissent d'ailleurs que de $\frac{1}{10}$ à $\frac{1}{100}$ des résultats généraux par ces deux opérations.
	0,6686	0,4181	2,100	151,850	0,5965	0,3123	0,5633	
	0,6680	3,000	15,00	138,839	0,6429	0,4925	0,6184	
0,043	0,6176	0,000	0,00	110,000	0,3894	0,3129	0,4220	0,6176
	0,6182	0,6175	0,670	92,310	0,6643	0,3728	0,5065	
	0,6304	3,300	16,50	84,458	0,6420	0,6075	0,5533	
5,685	0,3976	0,000	0,00	83,200	0,3720	0,2910	0,5964	0,3976
	0,3991	0,3984	0,901	77,993	0,3994	0,3165	0,4250	
	0,3992	3,570	15,85	69,807	0,3787	0,4049	0,5043	
2,850	0,3281	0,000	0,00	55,600	0,1785	0,2809	0,3271	0,3281
	0,3285	0,3271	0,778	51,442	0,1811	0,2948	0,3395	
	0,3270	3,000	15,00	36,058	0,2531	0,3491	0,4714	
0,4775	0,4775	0,000	0,00	33,011	0,2833	0,3630	0,3311	0,4775
	0,4775	3,000	15,00	18,359	0,5095	0,6687	0,9550	

FIGURE 16. PLANCHE 2.

0,4775	0,4775	0,000	0,00	381,617	0,7041	0,3199	0,4771	Toutes les expériences de l'établissement sont les mêmes que dans le cas de l'écoulement de la figure 15.
	0,4775	0,065	0,32	298,447	0,5316	0,4630	0,6312	
	0,4775	3,000	15,00	193,890	1,0582	0,8959	0,7171	
0,4775	0,4775	0,000	0,00	178,682	1,5361	0,7634	1,0460	0,4775

Déversoir de 0<sup>m</sup>,20 de largeur, prolongé au dehors du réservoir par un  
La charge totale ou complète de fluide est prise

DATE	N <sup>OS</sup> DES EXPÉRIENCES.	DONNÉES FOURNIES PAR L'EXPÉRIENCE ET L'OBSERVATION					RÉSULTATS CONCERNANT LA FORMULE GÉNÉRALEMENT ADAPTEE					RÉSULTATS CONCERNANT LA FORMULE À DES CONDITIONS FIXES	
		LARGES		HAUTEUR du déversoir, ou valeur de h <sub>1</sub> -h <sub>2</sub> .	DÉBIT effectif par seconde.	TOTAL de la charge h.	DÉBIT théorique par seconde de D.	VARIATION du coefficient de d. ou du rapport $\frac{H}{d}$	CHARGE sur le centre de l'aiguille, ou valeur de H.	VARIATION			
		totale de la de h.	moyenne dans le plan de déversoir, ou valeur de $\frac{H}{d}$ .							de rapport ou $\frac{H}{d}$ .	de rapport ou $\frac{H}{d}$ .		
Suite du DISPOSITIF DE L.													
17 novembre 1828	1876 1871 1872	0,1120	0,1333	0,9192	10,307 10,311 10,312	1,6666	48,111	0,3130 0,3130 0,3131	0,5120	0,0780	0,50	1,220	
18 novembre 1828	1873 1874 1875 1876 1877	0,1029	0,0925	0,8990	8,561 8,733 8,823 8,813	1,4208	29,216	0,3038 0,3026 0,3021	0,3030	1,0507	0,61	1,004	
19 novembre 1828	1878 1879 1880	0,0665	0,0530	0,8757	3,721 3,664 3,719	1,0904	13,182	0,2823 0,2785 0,2811	0,2813	0,0350	0,64	0,316	
21 novembre 1828	1881 1882 1883	0,0456	0,0399	0,8999	2,158 2,156 2,163	0,9354	6,344	0,2586 0,2586 0,2592	0,2585	0,0917	0,62	0,690	
19 novembre 1828	1884 1885 1886	0,0279	0,0266	0,9536	0,940 0,936 0,941	0,7398	4,138	0,2277 0,2263 0,2279	0,2273	0,0118	0,50	0,537	
DISPOSITIF DE L.													
31 décembre 1828	1887 1888 1889 1890 1891	0,2064	0,1842	0,8924	20,787 20,773 15,356 15,307 15,348	2,0122	63,004	0,3225 0,3223 0,3199 0,3198	0,3224	0,1143	0,62	1,187	
12 décembre 1828	1892 1893	0,0600	0,0327	0,8711	3,692 3,694	1,0991	13,182	0,2801 0,2802	0,2802	0,0332	0,65	0,511	



Déversoir de 0<sup>m</sup>,20 de largeur, prolongé au dehors du réservoir par un  
La charge totale ou complète de fluide est prise

DATE	SÉRIES	DONNÉES FOURNIES PAR L'EXPÉRIENCE ET L'OBSERVATION.				RÉSULTATS GÉNÉRAUX LA FORMULE CORRÉLATIVE DE SAIGÉ.				RÉSULTATS GÉNÉRAUX LA FORMULE A DES ORDRES ÉLEVÉS		
		HAUSSE		MÉRIEN du rapport	VITESSE par seconde, ou la valeur de H.	DÉPENSE en litres à la seconde	TAUXES de coefficient de $\alpha$ , ou du rapport $\frac{H}{d}$	CLASSE ou la nature de l'écoulement, ou la valeur de H.	TAUXES			
		totale de Borda, ou la valeur de h.	mesurée dans le plan du déversoir, ou la valeur de $h'$ .						de $\frac{H}{d}$	de $\frac{H'}{d}$		
Suite du DISPOSITIF DE LI												
12 décembre 1898	1904				2,117			0,2573				
	1905				2,154			0,2593				
	1906	0,0416	0,0391	0,8760	2,160	0,0354	8,344	0,2596	0,2583	0,0251	0,66	
	1907				2,144			0,2570				
	1908				2,116			0,2563				
DISPOSITIF DE LI												
27 décembre 1898	1909	0,2064	0,1685	0,8166	2,029	2,0122	83,054	0,2363	0,2363	0,9533	0,1221	0,72
	1910				2,073			0,2374				1,047
	1911				2,091			0,2379				
	1912	0,1099	0,0652	0,6080	2,072	1,4305	29,240	0,3000	0,3000	0,3003	0,6005	0,71
	1913				2,050			0,2769				
	1914	0,0005	0,0502	0,8298	2,025	1,0804	18,182	0,2707	0,2707	0,2707	0,6504	0,71
	1915				2,045			0,2705				
	1916				2,030			0,2611				
	1917	0,0116	0,0374	0,8364	2,018	0,0304	6,304	0,2616	0,2616	0,2616	0,2616	0,60
	1918				2,056			0,2644				
DISPOSITIF DE LI												
3 novembre 1898	1919	0,2031	0,1690	0,8331	2,079	1,0062	81,083	0,2304	0,2313	0,1044	0,57	
	1920				2,023			0,2320				1,088
	1921	0,1011	0,0923	0,9179	2,072	1,4063	28,476	0,2397	0,2397	0,2397	0,50	
	1922				2,072			0,2397				1,088
4 novembre 1898	1923	0,0001	0,0450	0,8982	2,029	0,0914	0,985	0,2402	0,2402	0,2402	0,61	
	1924				2,147			0,2470				0,708
	1925				2,025			0,2373				
	1926	0,0101	0,0171	0,8053	2,077	0,6121	2,339	0,2701	0,2701	0,2701	0,62	
	1927				2,089			0,2673				
1928				2,056			0,2661					



anal rectangulaire découvert et horizontal, de même largeur que le déversoir.  
 has le réservoir, à 3<sup>m</sup>,50 en amont du déversoir.

LES MÉTIERS LES MÉTIERS LA PARTIE SUPÉRIEURE.		RÉSULTATS RELATIFS À LA VITESSE DE L'ÉCÉ DANS LE CANAL.						OBSERVATIONS PARTICULIÈRES.
largeur par mètre, ou vitesse de D.	VITESSE de coefficient de D. ou de rapport $\frac{V}{D}$	DISTANCE de l'écoulement au point où l'eau se jette dans la section à mesurer (avec le canal, ou vitesse de D.)	VITESSE de rapport $\frac{V}{D}$	SÉPARATION de la section de la section de D.	VITESSE de l'eau dans la section, ou valeur de D.	RAPPORT de la vitesse moyenne dans la section de canal, à la vitesse théorique due à la charge.		
						$\frac{V}{D}$	$\frac{V}{D}$	

FIGURE 18, PLANCHE 2.

largeur	vitesse	distance	vitesse	séparation	vitesse	rapport	rapport
5,183	0,3916 0,3967 0,3998 0,3910	0,3961					

FIGURE 19, PLANCHE 2.

largeur	vitesse	distance	vitesse	séparation	vitesse	rapport	rapport
11,173	0,5196 0,5160 0,5133	0,5163					
11,533	0,4733 0,4733	0,4738					
8,366	0,4363 0,4361 0,4357	0,4360					
5,332	0,3824 0,3860 0,3856	0,3847					

Le réservoir, à sa sortie du déversoir, suit constamment le fond et les parois latérales du canal. Les remous dans le canal, et le chute à l'entrée du réservoir qui précède immédiatement le déversoir, devaient de même en partie sensibles à mesure que la charge diminuait.

FIGURE 20, PLANCHE 2.

largeur	vitesse	distance	vitesse	séparation	vitesse	rapport	rapport
16,270	0,4847 0,4871	0,4850					
9,920	0,5031 0,5031	0,5031					
6,622	0,5170 0,5203	0,5192					
1,566	0,5506 0,5522 0,5506 0,5487	0,5530					

Le réservoir, à sa sortie du déversoir, suit toujours le fond du canal. Elle est très peu détachée de la paroi de ce canal correspondant à la face du réservoir la plus rapprochée de l'écoulement, tandis qu'elle l'est entièrement de la paroi opposée, pour les deux premières charges, et, pour les deux dernières, elle s'attache à ces deux parois.  
 La surface de l'eau dans le réservoir s'élève plus haut, pour les fortes charges, vers la face la plus voisine du déversoir que vers l'autre.

Déversoir de 0<sup>m</sup>.20 de largeur, prolongé au dehors du réservoir par un  
La charge totale ou complète de fluide est prise

DATES DES OBSERVATIONS	N <sup>o</sup> SÉRIES	DONNÉES OBTENUES PAR L'EXPÉRIENCE ET L'OBSERVATION				RÉSULTATS CONCERNANT LA FORMULE ORDINAIREMENT EN USAGE					RÉSULTATS CONCERNANT LA FORMULE À DES ORIFICES POURS	
		CHARGE " "		MÉRIÈRE élevée par secondé.	VITESSE des charges	DÉPENSE élevée par secondé.	VARIATION		CHARGE sur le siphon de	VITESSE	RÉSULTATS	
		totale de Bulle, ou valoir de h.	surcharge de la pile de mètres. ou valoir de h.				de rapport à h.	de rapport à h.				de rapport à h.
<b>DISPOSITIF DE L</b>												
29 octobre 1854.	1919											
	1920	0,3014	0,1871	0,9296	27,120	1,9657	90,184	0,3382	0,3379	0,1079	0,56	1,450
					27,073			0,3370				
	1921				14,159			0,5418				
	1922	0,1296	0,1794	0,9270	14,150	1,5958	61,427	0,5417	0,3415	0,0698	0,56	1,316
25 octobre 1854.	1923				14,122			0,3409				
	1924				3,015			0,5582				
	1925	0,0534	0,0401	0,9195	3,009	1,0530	10,031	0,3576	0,3579	0,0289	0,50	6,73
	1926				3,013			0,3500				
	1927				0,981			0,3854				
27 octobre 1854.	1928				0,967			0,3863				
	1929	0,0202	0,0181	0,9560	0,975	0,6295	2,543	0,3825	0,3897	0,0111	0,61	0,16
	1930				0,960			0,3854				
	1931				0,960			0,3799				
<b>DISPOSITIF DE L</b>												
3 janvier 1859.	1932				27,479			0,3356				
	1933				26,100			0,3381				
	1934	0,3064	0,1892	0,9167	27,000	2,0122	83,064	0,3359	0,3363	0,1118	0,50	1,641
	1935				27,662			0,3354				
	1936				9,230			0,3157				
	1937	0,1029	0,0536	0,9096	9,155	1,4508	29,210	0,3131	0,3143	0,0561	0,60	1,04
	1938				9,263			0,3117				
	1939				3,786			0,3874				
	1940	0,0605	0,0543	0,8970	3,705	1,0894	13,182	0,2836	0,2865	0,0334	0,61	8,500
	1941				3,738			0,2865				
	1942				2,171			0,2902				
	1943	0,0446	0,0401	0,8991	2,169	0,9354	8,354	0,2909	0,2963	0,0268	0,61	0,14
1944				2,171			0,2909					

canal rectangulaire découvert et horizontal, de même largeur que le déversoir.  
 dans le réservoir, à 3<sup>m</sup>,50 en amont du déversoir.

RÉSULTATS		RÉSULTATS		RÉSULTATS		OBSERVATIONS PARTICULIÈRES.	
RELATIFS À LA VITESSE DE L'EAU DANS LE CANAL.		RELATIFS À LA VITESSE DE L'EAU DANS LE CANAL.		RELATIFS À LA VITESSE DE L'EAU DANS LE CANAL.			
HAUTEUR de la surface de D. au de rapport $\frac{H}{D}$	HAUTEUR de la surface de D. au de rapport $\frac{H}{D}$	HAUTEUR de la surface de D. au de rapport $\frac{H}{D}$	HAUTEUR de la surface de D. au de rapport $\frac{H}{D}$	HAUTEUR de la surface de D. au de rapport $\frac{H}{D}$	HAUTEUR de la surface de D. au de rapport $\frac{H}{D}$		
0,4713	0,4969	0,4713	0,4969	0,4713	0,4969	La veine, à sa sortie du déversoir, suit toujours le fond de canal et ne se détache que très-peu de ses parois latérales, même pour la plus forte charge.	
0,4966	0,5027	0,4966	0,5027	0,4966	0,5027		
0,5032	0,5091	0,5032	0,5091	0,5032	0,5091		
0,5031	0,5091	0,5031	0,5091	0,5031	0,5091		
0,5019	0,5091	0,5019	0,5091	0,5019	0,5091		
0,5095	0,5091	0,5095	0,5091	0,5095	0,5091		
0,5087	0,5091	0,5087	0,5091	0,5087	0,5091		
0,5099	0,5091	0,5099	0,5091	0,5099	0,5091		
0,5090	0,5091	0,5090	0,5091	0,5090	0,5091		
0,5073	0,5091	0,5073	0,5091	0,5073	0,5091		
0,5095	0,5091	0,5095	0,5091	0,5095	0,5091		
0,5088	0,5091	0,5088	0,5091	0,5088	0,5091		
0,5019	0,5091	0,5019	0,5091	0,5019	0,5091		
0,5015	0,4965	0,5015	0,4965	0,5015	0,4965		La veine, à sa sortie du déversoir, suit toujours le fond de canal. Elle est entièrement détachée de ses parois latérales pour la première charge, l'est très-peu pour la troisième, et ne l'est pas du tout pour la dernière. Les vagues dans le canal se s'avancent d'abord que jusqu'à 0 <sup>m</sup> ,32 du déversoir, mais ils s'en rapprochent à mesure que les charges diminuent, et l'atteignent pour la dernière. L'écoulement dans le réservoir, en amont du déversoir, est très-sensible pour les fortes charges, mais il se ralentit à mesure que ces charges diminuent, et il devient presque insensible pour la dernière.
0,4978	0,4965	0,4978	0,4965	0,4978	0,4965		
0,4973	0,4965	0,4973	0,4965	0,4973	0,4965		
0,4700	0,4965	0,4700	0,4965	0,4700	0,4965		
0,4661	0,4965	0,4661	0,4965	0,4661	0,4965		
0,4685	0,4965	0,4685	0,4965	0,4685	0,4965		
0,4313	0,4290	0,4313	0,4290	0,4313	0,4290		
0,4286	0,4290	0,4286	0,4290	0,4286	0,4290		
0,4298	0,4290	0,4298	0,4290	0,4298	0,4290		
0,3900	0,3903	0,3900	0,3903	0,3900	0,3903		
0,3897	0,3903	0,3897	0,3903	0,3897	0,3903		
0,3911	0,3903	0,3911	0,3903	0,3911	0,3903		

FIGURE 21. PLANCHE 2.

FIGURE 22. PLANCHE 2.

0,4975	0,4965	0,4975	0,4965	0,4975	0,4965	La veine, à sa sortie du déversoir, suit toujours le fond de canal. Elle est entièrement détachée de ses parois latérales pour la première charge, l'est très-peu pour la troisième, et ne l'est pas du tout pour la dernière. Les vagues dans le canal se s'avancent d'abord que jusqu'à 0 <sup>m</sup> ,32 du déversoir, mais ils s'en rapprochent à mesure que les charges diminuent, et l'atteignent pour la dernière. L'écoulement dans le réservoir, en amont du déversoir, est très-sensible pour les fortes charges, mais il se ralentit à mesure que ces charges diminuent, et il devient presque insensible pour la dernière.
0,5015	0,4965	0,5015	0,4965	0,5015	0,4965	
0,4978	0,4965	0,4978	0,4965	0,4978	0,4965	
0,4973	0,4965	0,4973	0,4965	0,4973	0,4965	
0,4700	0,4965	0,4700	0,4965	0,4700	0,4965	
0,4661	0,4965	0,4661	0,4965	0,4661	0,4965	
0,4685	0,4965	0,4685	0,4965	0,4685	0,4965	
0,4313	0,4290	0,4313	0,4290	0,4313	0,4290	
0,4286	0,4290	0,4286	0,4290	0,4286	0,4290	
0,4298	0,4290	0,4298	0,4290	0,4298	0,4290	
0,3900	0,3903	0,3900	0,3903	0,3900	0,3903	
0,3897	0,3903	0,3897	0,3903	0,3897	0,3903	
0,3911	0,3903	0,3911	0,3903	0,3911	0,3903	

Déversoir de 0<sup>m</sup>,20 de largeur, prolongé au dehors du réservoir par un  
La charge totale ou complète de fluide est prise

DATES	NOMBRES	DONNÉES FOURNIES PAR L'EXPÉRIENCE ET L'OSMÉTATIQUE						RÉSULTATS CONCERNANT LA FORMULE CORRIGÉMENT EN USAGE				RÉSULTATS CONCERNANT LA FORMULE À DES CHARGES FAIBLES			
		CHARGES		VALEURS		RÉSULTATS		RÉSULTATS		VALEURS		CHARGES		VALEURS	
		totale de Belle, ou valeur de $h$	mesurée dans le plan de divergence, ou valeur de moyenne $h$	de rapport $\frac{h}{h_0}$	effektive par seconde ou valeur de $Q$	de la charge totale de $h$	de la charge théorique de $h_0$	de la charge totale de $h$	de la charge théorique de $h_0$	de la charge totale de $h$	de la charge théorique de $h_0$	de la charge totale de $h$	de la charge théorique de $h_0$	de la charge totale de $h$	de la charge théorique de $h_0$
30 octobre 1834	1945 1946	0,2011	0,1815	0,9025	29,232 29,252	1,9862	70,885	0,3659 0,3662	0,3661	0,1103	0,55	1,47			
	1947 1948 1949	0,0596	0,0530	0,8893	4,765 4,730 4,818	1,0613	12,849	0,3607 0,3670 0,3703	0,3723	0,0831	0,62	0,40			
1 <sup>er</sup> novembre 1834	1950  1951	0,0190	0,0173	0,8827	0,963 0,9201	2,651	0,3950	0,3958	0,0510	0,04	0,04				

DISPOSITIF DE L.

F XLII.

canal rectangulaire découvert, incliné à  $\frac{1}{16}$ , et de même largeur que le déversoir.  
dans le réservoir, à 3<sup>m</sup>,50 en amont du déversoir.

TITRE		RÉSULTATS						OBSERVATIONS PARTICULIÈRES.
DES LOIS GÉNÉRALES DES DÉVERSIRS		RELATIFS À LA VITESSE DE L'EAU DANS LE CANAL.						
largeur du déversoir de D. en de rapport $\frac{D}{d}$	rapport de la vitesse de l'eau dans le canal à la vitesse de l'eau dans le déversoir.	VITESSE de l'eau dans le canal en mètres par seconde.	VITESSE de l'eau dans le déversoir en mètres par seconde.	VITESSE de l'eau dans le canal en mètres par seconde.	VITESSE de l'eau dans le déversoir en mètres par seconde.	RAPPORT de la vitesse de l'eau dans le canal à la vitesse de l'eau dans le déversoir.		
						en mètres par seconde.	en mètres par seconde.	
0,5476	0,5476	*	*	*	*	*	*	
0,5478	0,5478	*	*	*	*	*	*	
0,5579	0,5579	*	*	*	*	*	*	
0,5538	0,5538	*	*	*	*	*	*	
0,5677	0,5677	*	*	*	*	*	*	
0,5687	0,5687	*	*	*	*	*	*	
0,5695	0,5695	*	*	*	*	*	*	

FIGURE 26. PLANCHE 2.

Don.	0,5476	0,5478	0,5579	0,5538	0,5677	0,5687	0,5695
32,207	0,5476	0,5478	0,5579	0,5538	0,5677	0,5687	0,5695
1,541	0,5476	0,5478	0,5579	0,5538	0,5677	0,5687	0,5695
1,607	0,5476	0,5478	0,5579	0,5538	0,5677	0,5687	0,5695

La veine, à sa sortie du déversoir, suit toujours le fond du canal et ne se détache que très-peu de ses parois latérales, même pour les plus fortes charges.

Déversoir de 0<sup>m</sup>,202 de largeur, formé à l'extrémité d'un canal rectangulaireLe réservoir est alimenté par l'orifice fermé à la partie supérieure de 0<sup>m</sup>,05 de hauteur

La charge totale à est mesurée dans le canal, au point où l'

DATES	N <sup>OS</sup>	CHARGE sur le centre de l'orifice qui alimente le déversoir	HAUTEUR de la tête du déversoir en dessus de l'axe de canal, ou valeur de p	CHARGE en mètres		VALEUR de H <sub>0</sub>		DÉPENSE EFFECTIVE en litres, ou valeur de Q		VITÈSSE DE L'EAU dans le canal au point où se mesure la charge à s'établir sous le déversoir		
				totale sur le face de déversoir, ou valeur de h	moyenne dans le plan de déversoir, ou valeur de h-k'	$\frac{h}{p}$	$\frac{h-k'}{h}$	par chaque orifice	moyenne par chaque orifice	Moyenne de v ou $\frac{Q}{(h-p)}$	A la distance de 0 <sup>m</sup> ,120 de 0 <sup>m</sup> ,202	
12 octobre 1925.	1052							12,905				
	1053		0,013	0,0955	0,0795	1,323	0,832	12,879	12,905	0,1600	0,5023	
	1054							12,933				
	1055		0,018	0,0955	0,0790	1,900	0,827	12,536	12,575	0,4577	0,5471	
	1057							12,571	12,571			
	1058		0,2125	0,070	0,0580	0,0715	1,307	0,813	10,554	10,501	0,3333	0,4106
	1059							10,541	10,532			
	1060							8,648				
	1061		0,100	0,0805	0,0636	0,305	0,700	8,594	8,638	0,3393	0,2001	
	1063							8,675				
	1064		0,130	0,0705	0,0581	0,542	0,823	6,854	6,864	0,1712	0,2100	
	1065							6,899				
1066							3,469					
1068		0,090	0,0432	0,0350	1,160	0,810	3,493	3,486	0,2758	0,3110		
1069							3,497					
11 octobre 1925.	1070		0,0465	0,030	0,0278	1,0200	1,360	2,444				
	1071							2,446	2,440	0,1799	0,2207	
	1072							2,421				
	1073							2,443				
10 octobre 1925.	1074							0,847				
	1075		0,050	0,0228	0,0180	0,450	0,702	0,839	0,843	0,0579	0,0721	
	1076							0,838				
	1077							0,818				

DISPOSITIFS DE

(Voyez les n<sup>OS</sup> 21, 272 et

° XXIII.

lécouvert et horizontal, barré sur toute sa largeur et sur diverses hauteurs.  
 et 0",30 de largeur, qui a fourni les résultats consignés sur le tableau n° XVIII.  
 surface du liquide commence à s'infléchir vers le déversoir.

HAUTEUR à laquelle est due la vitesse		VITESSE DES ÉLÉMENTS		VALEUR de la vitesse corrigée obtenue par la formule		VALEUR DE COEFFICIENT		OBSERVATIONS  PARTICULIÈRES.
en valeur de $\frac{d^3}{4g}$	en valeur de $\frac{v^2}{4g}$	$v_1 = 0,85 \frac{v^2}{4g}$	$v_2 = 0,85 \frac{v^2}{4g}$	$d_1 = 0,85 \sqrt{v^2/g}$	$d_2 = 0,85 \sqrt{v^2/g}$	de $d_1$ ou de rapport $\frac{d_1}{d_2}$	de $d_2$ ou de rapport $\frac{d_2}{d_1}$	
0,0111	0,0173	1,1660	1,1590	31,137	32,906	0,1144	0,3806	<p>Ces expériences ont la conséquence de confirmer ce qui avait été constaté sur le tableau n° XVIII.</p> <p>On n'y a pas compris les résultats obtenus les 4 et 5 octobre, parce qu'à cette époque la planche qui barrait l'ouverture de canal pour former le déversoir, tombait détrempée entre elle et les parois de ce canal d'où certaines quantités d'eau qui, se réunissant dans le jeugé à celle qui passait par le déversoir, augmentaient la dépense effective de celui-ci.</p> <p>Mais cet inconvénient, qu'on n'avait pas cherché à éviter dès le début, parce qu'on n'avait eu vue que d'établir l'effet des remous sur les produits de l'écoulement qui alimentait le déversoir, avait cessé les 10, 11 et 12 octobre, attendu que la planche, après pendant huit jours consécutifs à l'humidité, s'était gonflée et fermait hermétiquement le canal.</p>
0,0098	0,0153	0,4373	1,4717	30,572	33,006	0,1109	0,3806	
0,0057	0,0089	1,3057	1,3792	32,660	36,950	0,1105	0,3901	
0,0029	0,0046	1,3799	1,3923	31,300	32,313	0,1008	0,3888	
0,0015	0,0023	1,1885	1,1090	17,585	17,573	0,3971	0,3006	
0,0039	0,0051	0,9613	0,9830	9,163	9,789	0,3811	0,3041	
0,0018	0,0026	0,7792	0,8000	6,997	7,264	0,3487	0,3359	
0,0002	0,0003	0,6717	0,6728	3,121	3,141	0,2701	0,3664	

Déversoirs incomplets ou en partie noyés, entièrement isolés des faces latérales du réservoir, que l

La charge totale ou complète de fluide est prise loin d

DATES DES EXPÉRIENCES	NUMÉROS des EXPÉRIENCES.	CHARGES TOTALES de fluide, en valeur de h.	HAUTEUR TOTALE de LA TOUTURE EN LA VARIÉ		RAPPORT de LA SURFACE de la partie de la coupe qui s'est pas noyée à la charge totale, en valeur de $\frac{h}{H}$	PRODUIT de LA SURFACE de la section de débiter par la charge totale en valeur de $h^3$
			qui est noyée, en valeur de h.	qui s'est pas noyée, en valeur de h-h.		
<b>DÉVERSOIR DE 0<sup>m</sup>.24 DE LARGEUR, DONT LA BASE ES</b>						
10 juillet 1831	1975	1,664	1,661	0,0043	0,0036	2991,36
15 juillet 1831	1979	1,663	1,651	0,0072	0,0050	2993,12
18 juillet 1831	1980	0,809	0,808	0,0059	0,0042	1943,20
25 décembre 1828	1981	0,5090	0,503	0,0037	0,0027	1909,50
10 juillet 1831	1982	1,0127	1,007	0,0050	0,0030	2150,14
19 juillet 1831	1983	0,5193	0,515	0,0041	0,0029	1216,31
17 décembre 1828	1984	1,025	1,017	0,0188	0,0117	2618,24
10 juillet 1831	1985	1,0267	1,005	0,0222	0,0145	2668,06
18 juillet 1831	1986	1,1503	1,127	0,0300	0,0270	2782,31
16 juillet 1831	1987	0,5616	0,549	0,0470	0,0312	1347,61
15 décembre 1828	1988	1,0105	0,976	0,0512	0,0338	2425,20
21 juillet 1831	1989	0,1603	0,153	0,0660	0,0371	361,72
25 décembre 1828	1990	0,0273	0,0262	0,0003	0,0002	570,00
10 juillet 1831	1991	0,8753	0,859	0,0659	0,0401	2109,72
10 juillet 1831	1992	0,2145	0,209	0,0725	0,0482	514,30
16 juillet 1831	1993	0,3503	0,3306	0,0987	0,0709	602,22
23 décembre 1828	1994	0,1508	0,147	0,0921	0,1124	315,02
10 juillet 1831	1995	0,3711	0,3609	0,0682	0,1104	1370,44
10 décembre 1828	1996	0,5606	0,5392	0,0618	0,1225	1201,20
27 décembre 1828	1997	0,0446	0,0371	0,0072	0,1616	107,06
10 juillet 1831	1998	0,1165	0,0991	0,0214	0,1837	270,00



prolongés au dehors par des canaux rectangulaires découverts et horizontaux, de mêmes largeurs déversoirs.

déversoirs, en un point où le liquide est parfaitement stagnant.

VITESSE ou à la hauteur h — s, ou valeur de V <sub>1</sub> .	DÉPENSE ou TRANSMISE par seconde, valeur de D <sub>1</sub> .	DÉPENSE ou REÇUE par seconde, valeur de D <sub>2</sub> .	VALEUR de CORRECTION de D <sub>1</sub> , ou de rapport $\frac{D_2}{D_1}$ .	GRAPHES de 0 <sup>m</sup> ,30 au LITRE cubique par les décimètres complets.		OBSERVATIONS PARTICULIÈRES.
				Hauteur des ordres.	Dépendance	
0,2504	116,002	38,303	0,3309	0,05		
0,3810	152,158	75,510	0,5003	0,10	Fig. 7.	
0,5132	60,871	26,731	0,5360	0,05		
0,2093	32,657	10,778	0,6093	0,05	Fig. 19.	
0,3002	96,256	58,656	0,6092	0,10		
0,2836	35,345	21,209	0,6497	0,05		
0,6075	235,713	137,510	0,5883	0,20	Fig. 19.	
0,6599	352,109	150,500	4,2799	0,80		
0,7953	290,333	127,876	0,5403	0,20	Fig. 8.	
0,5839	78,970	39,823	0,5116	0,14		
0,6101	198,634	106,264	0,5317	0,20	Fig. 10.	
0,5651	15,200	7,010	0,5553	0,03	Fig. 6.	
0,4271	21,340	12,063	0,5552	0,05	Fig. 10.	
0,9590	109,358	103,896	0,6212	0,20		
0,4932	25,493	13,210	0,5197	0,05	Fig. 6.	
0,7568	64,706	33,506	0,6177	0,10		
0,9443	47,067	8,807	0,5103	0,05	Fig. 19.	
1,1567	158,542	51,694	0,5167	0,20	Fig. 6.	
1,0964	131,700	67,692	0,5135	0,20	Fig. 10.	
0,3758	4,023	2,651	0,5098	Diverge.		
0,6679	18,115	9,333	0,5605	0,05	Fig. 6.	

ELEVÉE DE 0<sup>m</sup>,30 AU-DESSUS DU FOND DU RÉSERVOIR.

Les ordres élevés par les déversoirs complets étaient, les uns fermés et les autres découverts à la partie supérieure; ces derniers sont désignés par le mot décimètre écrit dans la colonne qui a pour titre : Hauteur des ordres.  
L'expérience 1930 forme évidemment anomalie; l'épaisseur a de la portion de la veine qui est soulevée a probablement été mal mesurée.

Déversoirs incomplets ou en partie noyés, entièrement isolés des faces latérales du réservoir et que les

La charge totale ou complète de fluide est prise loin des

DATES DES EXPÉRIENCES.	NOMBRES des EXPÉRIENCES.	CHARGES TOTALS de fluide. ou valeur de h.	HAUTEUR TOTALE de LA PORTÉE DE LA VITESSE		RAPPORT de LA HAUTEUR de la partie de la voûte qui n'est pas noyée à la charge totale, ou valeur de $\frac{h_1}{h}$ .	PROFONDITÉS de LA LAMBEAU de déversoir par la charge totale ou valeur de H.
			qui est noyée, ou valeur de h.	qui n'est pas noyée, ou valeur de h <sub>1</sub> .		
Suite du DÉVERSOIR DE 0 <sup>m</sup> ,34 DE LARGEUR, DONT LA BÂSE						
27 décembre 1828	1996	0,000	0,000	0,0125	0,2006	115,20
16 décembre 1828	1998	0,5420	0,2672	0,0748	0,2187	826,60
26 juin 1831	2001	0,0113	0,0087	0,0027	0,2159	27,26
25 décembre 1828	1992	0,0005	0,0006	0,0160	0,2159	157,14
17 décembre 1828	1995	0,1025	0,0774	0,0205	0,2178	246,06
16 juillet 1831	2004	0,1956	0,1466	0,0400	0,2203	400,72
10 juillet 1831	2005	0,2750	0,2700	0,0940	0,2290	825,20
26 juin 1831	2006	0,0218	0,0156	0,0062	0,2244	52,72
21 juillet 1831	2007	0,0561	0,0396	0,0165	0,2241	124,64
27 décembre 1828	2008	0,3064	0,1455	0,0818	0,2205	495,26
26 juin 1831	2009	0,6287	0,0908	0,0099	0,2225	73,66
10 juillet 1831	2010	0,0956	0,0570	0,0280	0,2241	303,14
10 juillet 1831	2011	0,0750	0,2149	0,1140	0,2166	789,26
26 juin 1831	2012	0,0509	0,0305	0,0257	0,2003	143,06
19 juillet 1831	2013	0,1208	0,0896	0,0482	0,2126	246,72
20 juin 1831	2014	0,1060	0,0603	0,0457	0,2311	254,46
26 juin 1831	2015	0,1417	0,0797	0,0490	0,2376	346,06
10 juillet 1831	2016	0,3061	0,1691	0,1250	0,2439	729,56
DÉVERSOIR DE 0 <sup>m</sup> ,204 DE LARGEUR, DONT LA						
7 novembre 1835	2017	0,0951	0,0910	0,0022	0,0040	1016,00
6 novembre 1835	2018	0,3641	0,2696	0,0145	0,0164	1805,26

prolongés au dehors par des canaux rectangulaires découverts et horizontaux, de mêmes largeurs d'éverseoirs.

d'éverseoirs, en un point où le liquide est parfaitement stagnant.

VITESSE DES Eaux à —, —, ou valeur de $V_1$ .	DÉPENSE REACTEURS par seconde. valeur de $D_1$ .	DÉPENSE EFFICACE par seconde. valeur de $E$ .	VALEUR DE COEFFICIENT DE $D_1$ . ou de rapport $\frac{E}{D_1^2}$ .	ORIFICES DE 0 <sup>m</sup> .20 DE LARGEUR ALIMENTÉS PAR LES DÉVERSEIRS (longueurs).		OBSERVATIONS PARTICULIÈRES.
				Hauteur des orifices.	Dépendance.	
0,4002	7,190	3,648	0,5071	Déversoir.		Les orifices alimentés par les déversoirs incomplètement ouverts, les uns fermés et les autres découverts à la partie supérieure ou fermés sont désignés par le mot d'orifice et dans le tableau qui a pour titre <i>Hauteurs des orifices</i> .
1,2117	99,436	50,177	0,5055	0,20	Fig. 10.	
0,2302	0,630	0,217	0,5022	Déversoir.	Fig. 6.	
0,5603	8,821	4,416	0,5006	0,05	Fig. 19.	
0,7073	17,657	8,782	0,5028	Déversoir.		
0,0600	66,652	23,600	0,4994	0,10		
1,3070	121,556	60,704	0,4999	0,20	Fig. 6.	
0,3488	1,825	0,512	0,4997	Déversoir.		
0,5689	7,660	3,814	0,4970	0,05		
1,0936	54,173	26,936	0,4972	Déversoir.	Fig. 19.	
0,4407	3,817	1,406	0,4946	Déversoir.		
0,7490	15,367	7,507	0,4957	0,05		
1,4956	118,957	58,023	0,4918	0,20		
0,6810	9,646	4,719	0,4871	Déversoir.	Fig. 6.	
1,1136	40,826	19,823	0,4854	0,10		
0,9176	28,092	11,476	0,4847	Déversoir.		
1,1927	37,590	18,095	0,4825	Déversoir.		
1,0281	118,823	57,149	0,4800	0,20		
BASE EST AU NIVEAU DU FOND DU RÉSERVOIR.						
0,2906	35,535	23,277	0,6579	Déversoir.	Fig. 10.	
0,5384	96,392	58,217	0,5847	0,20		



**TABLE GÉNÉRALE**  
**DES COEFFICIENTS DES FORMULES DE LA DÉPENSE**

DÉDUITS, PAR INTERPOLATION.

DES RÉSULTATS DES DIVERSES EXPÉRIENCES  
FAITES SUR LES ORIFICES RECTANGULAIRES VERTICAUX.

La signification des formules et des dispositifs mentionnés dans cette table est indiquée dans la légende qui précède les tableaux détaillés des résultats des expériences sur la dépense des orifices.

TABLEAUX DU N° XXV AU N° XXXIII. — Orifices débouchant librement dans l'air.

— DU N° XXXIV AU N° XXXVIII. — Orifices prolongés par des canaux au dehors du réservoir.

— DU N° XXXIX AU N° XLII. — Déversoirs débouchant librement dans l'air.

TABLEAU N° XLIII. — Déversoirs prolongés par des canaux au dehors du réservoir.

— N° XLIII ET DERNIER. — Déversoirs incomplets ou en partie noyés.

Orifice de 0<sup>m</sup>,20 de hauteur et 0<sup>m</sup>,20 d

CHARGES en mètres.	COEFFICIENTS DE LA FORMULE D. La hauteur de niveau de l'eau dans le réservoir étant constante, soit de l'unité, ou un point où le liquide est parfaitement stagnant, dans le cas des dispositifs de la planche 1.																Figures 1.	Figures 2.
	Figures 1.	Figures 2.	Figures 3.	Figures 4.	Figures 5.	Figures 6.	Figures 7.	Figures 8.	Figures 9.	Figures 10.	Figures 11.	Figures 12.	Figures 13 <sup>1</sup> .	Figures 13.	Figures 14.			
0,000	.	.	.	.	.	.	.	.	.	.	.	.	.	.	.	.	0,015	0,40
0,005	.	.	.	.	.	.	.	.	.	.	.	.	.	.	.	.	0,060	0,55
0,010	.	.	.	.	.	.	.	.	.	.	.	.	.	.	.	.	0,060	0,56
0,015	.	0,550	0,560	.	.	.	.	.	.	.	.	.	0,588	.	.	.	0,590	0,57
0,020	0,572	0,572	0,572	0,599	.	.	.	0,587	.	.	.	0,589	.	.	.	.	0,591	0,56
0,025	0,575	0,575	0,575	0,601	.	.	.	0,589	0,630	.	.	0,591	.	.	.	.	0,594	0,57
0,030	0,578	0,578	0,578	0,603	.	.	.	0,590	0,631	.	0,631	0,591	.	.	.	.	0,593	0,56
0,035	0,580	0,580	0,580	0,604	.	.	.	0,591	0,631	0,600	0,555	0,592	.	.	.	.	0,593	0,58
0,040	0,582	0,582	0,582	0,605	0,081	.	.	0,592	0,631	0,640	0,555	0,593	.	.	.	.	0,593	0,59
0,045	0,584	0,584	0,584	0,607	0,022	.	.	0,593	0,631	0,640	0,556	0,594	.	.	.	.	0,593	0,57
0,050	0,585	0,585	0,585	0,606	0,022	.	.	0,593	0,631	0,646	0,556	0,595	0,657	.	.	.	0,593	0,58
0,055	0,586	0,586	0,586	0,609	0,023	.	.	0,594	0,631	0,646	0,557	0,596	0,656	.	.	.	0,593	0,56
0,060	0,587	0,587	0,587	0,610	0,021	.	.	0,595	0,631	0,647	0,557	0,596	0,656	.	.	.	0,594	0,56
0,065	0,587	0,587	0,587	0,610	0,021	.	.	0,596	0,631	0,647	0,557	0,597	0,656	.	.	.	0,594	0,57
0,070	0,588	0,588	0,588	0,611	0,023	.	.	0,596	0,631	0,647	0,558	0,599	0,656	.	.	.	0,594	0,57
0,075	0,589	0,589	0,589	0,612	0,026	.	.	0,598	0,631	0,648	0,558	0,599	0,655	.	.	.	0,594	0,56
0,080	0,591	0,591	0,591	0,614	0,027	.	.	0,599	0,631	0,648	0,559	0,600	0,655	.	.	.	0,594	0,56
0,100	0,592	0,592	0,592	0,615	0,026	0,722	.	0,600	0,631	0,648	0,559	0,601	0,655	.	.	.	0,595	0,59
0,110	0,593	0,593	0,593	0,616	0,028	0,703	.	0,600	0,631	0,648	0,560	0,602	0,653	.	.	.	0,596	0,59
0,120	0,593	0,593	0,593	0,617	0,029	0,689	.	0,601	0,632	0,648	0,560	0,602	0,650	.	.	.	0,596	0,59
0,130	0,594	0,594	0,594	0,617	0,030	0,681	.	0,602	0,632	0,648	0,561	0,603	0,650	.	.	.	0,597	0,59
0,140	0,595	0,595	0,595	0,618	0,030	0,683	.	0,603	0,632	0,648	0,561	0,604	0,649	.	.	.	0,597	0,59
0,150	0,595	0,595	0,595	0,619	0,031	0,680	.	0,604	0,632	0,648	0,561	0,604	0,649	.	.	.	0,597	0,59
0,160	0,596	0,596	0,596	0,620	0,031	0,679	.	0,604	0,632	0,648	0,562	0,605	0,648	0,700	0,738	.	0,596	0,54
0,170	0,596	0,596	0,596	0,620	0,032	0,679	.	0,605	0,632	0,648	0,562	0,606	0,648	0,745	0,729	.	0,598	0,57
0,180	0,597	0,597	0,597	0,621	0,032	0,677	0,787	0,605	0,632	0,641	0,562	0,606	0,647	0,732	0,722	.	0,599	0,56
0,190	0,597	0,597	0,597	0,621	0,033	0,676	0,715	0,606	0,632	0,641	0,563	0,607	0,647	0,722	0,717	.	0,599	0,56
0,200	0,598	0,598	0,598	0,621	0,032	0,676	0,704	0,606	0,632	0,641	0,563	0,607	0,647	0,713	0,713	.	0,599	0,57

largeur, débouchant librement dans l'air.

COEFFICIENTS DE LA FORMULE D.														OBSERVATIONS.
la hauteur du niveau de l'eau dans le réservoir étant toujours sensiblement au-dessus de l'orifice, dans le cas des dispositifs de la planche I.														
Figures 3.	4.	5.	6.	7.	8.	9.	10.	11.	12.	13.	14.	15.	16.	
0,610	0,602	0,785	1,063	1,163	0,636	0,696	0,705	0,710	0,635	0,508	1,235	1,180		Les deux traits horizontaux placés dans chaque colonne des coefficients indiquent les limites entre lesquelles sont comprises les expériences qui ont servi de base à la formation de ce tableau. Le premier coefficient inscrit dans chacune des quinze premières colonnes se rapporte à une charge en général plus forte de 0 <sup>m</sup> ,005 seulement que celle qui correspond à l'intensité de la formation du déversoir. On avertit par trop allongé les tableaux et on l'auroit embrouillé, en y insérant cette dernière charge, qui varie avec le dispositif, et comprend souvent des fractions de millimètres.
0,603	0,634	0,790	1,028	1,120	0,623	0,663	0,720	0,697	0,614	0,700	1,200	1,172		
0,547	0,637	0,665	1,000	1,117	0,617	0,673	0,730	0,680	0,608	0,774	1,192	1,135		
0,585	0,683	0,583	0,984	1,065	0,612	0,664	0,700	0,676	0,604	0,720	1,170	1,104		
0,584	0,621	0,674	0,963	1,073	0,608	0,637	0,696	0,668	0,602	0,730	1,158	1,120		
0,564	0,610	0,666	0,943	1,052	0,605	0,631	0,689	0,661	0,600	0,720	1,141	1,104		
0,564	0,616	0,660	0,933	1,031	0,603	0,644	0,681	0,656	0,600	0,720	1,136	1,087		
0,565	0,617	0,655	0,904	1,010	0,602	0,645	0,678	0,652	0,599	0,716	1,107	1,070		
0,565	0,617	0,651	0,884	0,980	0,601	0,643	0,672	0,649	0,599	0,700	1,090	1,053		
0,564	0,617	0,654	0,860	0,960	0,601	0,643	0,666	0,647	0,599	0,702	1,073	1,034		
0,564	0,616	0,646	0,848	0,950	0,600	0,641	0,665	0,646	0,599	0,698	1,056	1,020		
0,567	0,616	0,653	0,827	0,921	0,600	0,646	0,663	0,645	0,599	0,692	1,046	1,003		
0,547	0,616	0,642	0,812	0,913	0,600	0,640	0,661	0,644	0,599	0,688	1,034	0,986		
0,563	0,616	0,641	0,790	0,895	0,600	0,639	0,660	0,644	0,600	0,684	1,006	0,970		
0,563	0,616	0,639	0,760	0,876	0,600	0,639	0,658	0,643	0,600	0,681	0,992	0,954		
0,560	0,617	0,638	0,762	0,844	0,600	0,639	0,656	0,643	0,600	0,675	0,961	0,923		
0,560	0,617	0,637	0,743	0,818	0,600	0,639	0,654	0,640	0,601	0,671	0,951	0,892		
0,561	0,616	0,637	0,730	0,790	0,601	0,639	0,654	0,640	0,601	0,668	0,903	0,863		
0,561	0,616	0,637	0,719	0,769	0,601	0,639	0,654	0,640	0,601	0,665	0,874	0,836		
0,562	0,616	0,637	0,711	0,763	0,602	0,639	0,654	0,641	0,602	0,663	0,840	0,812		
0,563	0,616	0,637	0,706	0,761	0,602	0,640	0,643	0,641	0,603	0,661	0,825	0,790		
0,564	0,616	0,637	0,700	0,752	0,600	0,640	0,647	0,645	0,604	0,659	0,804	0,771		
0,564	0,621	0,637	0,697	0,735	0,603	0,640	0,647	0,645	0,604	0,657	0,785	0,756		
0,565	0,621	0,637	0,680	0,721	0,603	0,640	0,646	0,645	0,605	0,656	0,767	0,743		
0,566	0,622	0,637	0,663	0,717	0,604	0,640	0,645	0,645	0,605	0,655	0,752	0,734		
0,566	0,622	0,637	0,642	0,714	0,604	0,640	0,645	0,646	0,604	0,654	0,730	0,727		
0,566	0,622	0,637	0,631	0,713	0,605	0,640	0,645	0,646	0,606	0,653	0,728	0,723		
0,567	0,622	0,637	0,610	0,710	0,605	0,640	0,645	0,647	0,607	0,653	0,720	0,710		

Orifice de 0<sup>m</sup>,30 de hauteur et 0<sup>m</sup>,30 d

CHARGES ou le nombre de l'orifice.	COEFFICIENTS DE LA FORMULE D.																	
	la hauteur de niveau de l'eau dans le réservoir étant maintenue, bien de l'écoulement, en un point où le liquide est parfaitement stagnant, dans le cas des dispositifs de la planche 17.																	
	Figure 1.	Figure 2.	Figure 3.	Figure 4.	Figure 5.	Figure 6.	Figure 7.	Figure 8.	Figure 9.	Figure 10.	Figure 11.	Figure 12.	Figure 13 <sup>1</sup> .	Figure 15.	Figure 16.	Figure 1.	Figure 2.	
0,21	0,594	0,599	0,599	0,622	0,633	0,675	0,703	0,696	0,632	0,641	0,645	0,607	0,666	0,706	0,711	0,599	0,59	
0,22	0,598	0,599	0,599	0,622	0,634	0,675	0,699	0,697	0,632	0,640	0,643	0,608	0,666	0,701	0,709	0,599	0,59	
0,23	0,597	0,600	0,600	0,622	0,634	0,675	0,696	0,687	0,632	0,640	0,644	0,608	0,666	0,696	0,706	0,600	0,59	
0,24	0,599	0,600	0,600	0,622	0,634	0,674	0,696	0,697	0,632	0,640	0,644	0,608	0,665	0,695	0,707	0,600	0,59	
0,26	0,599	0,606	0,601	0,622	0,634	0,673	0,691	0,690	0,632	0,640	0,644	0,609	0,665	0,692	0,706	0,600	0,59	
0,28	0,603	0,601	0,601	0,622	0,633	0,673	0,689	0,686	0,632	0,639	0,644	0,609	0,665	0,690	0,706	0,601	0,59	
0,30	0,600	0,601	0,602	0,622	0,633	0,673	0,687	0,686	0,632	0,639	0,644	0,609	0,664	0,688	0,705	0,601	0,59	
0,35	0,601	0,602	0,603	0,623	0,635	0,671	0,684	0,690	0,633	0,639	0,643	0,610	0,664	0,685	0,704	0,603	0,59	
0,40	0,602	0,603	0,604	0,623	0,636	0,670	0,683	0,690	0,633	0,639	0,644	0,610	0,665	0,684	0,703	0,603	0,59	
0,48	0,602	0,603	0,604	0,623	0,636	0,669	0,681	0,610	0,633	0,639	0,644	0,611	0,663	0,683	0,703	0,603	0,59	
0,50	0,603	0,604	0,605	0,623	0,636	0,668	0,680	0,610	0,633	0,639	0,644	0,611	0,665	0,682	0,702	0,603	0,59	
0,60	0,604	0,604	0,606	0,624	0,636	0,667	0,679	0,610	0,633	0,641	0,644	0,611	0,668	0,682	0,701	0,604	0,59	
0,70	0,604	0,605	0,606	0,624	0,636	0,666	0,678	0,611	0,633	0,641	0,644	0,611	0,668	0,682	0,701	0,604	0,59	
0,80	0,605	0,605	0,606	0,624	0,637	0,665	0,677	0,611	0,633	0,641	0,644	0,611	0,668	0,681	0,700	0,604	0,59	
0,90	0,605	0,605	0,606	0,624	0,637	0,665	0,677	0,611	0,633	0,641	0,644	0,611	0,668	0,681	0,700	0,604	0,59	
1,00	0,605	0,605	0,606	0,624	0,637	0,664	0,676	0,611	0,633	0,641	0,644	0,611	0,668	0,681	0,700	0,605	0,59	
1,10	0,604	0,605	0,606	0,624	0,637	0,664	0,676	0,611	0,633	0,641	0,644	0,611	0,668	0,681	0,700	0,604	0,59	
1,20	0,604	0,604	0,606	0,625	0,637	0,663	0,678	0,611	0,633	0,641	0,644	0,611	0,668	0,681	0,700	0,604	0,59	
1,30	0,603	0,604	0,605	0,625	0,637	0,663	0,676	0,611	0,633	0,641	0,644	0,611	0,668	0,681	0,700	0,603	0,59	
1,40	0,603	0,604	0,605	0,625	0,637	0,663	0,676	0,611	0,633	0,641	0,644	0,611	0,668	0,681	0,700	0,603	0,59	
1,50	0,603	0,603	0,604	0,625	0,637	0,661	0,675	0,611	0,633	0,641	0,644	0,611	0,668	0,681	0,700	0,603	0,59	
1,60	0,603	0,603	0,604	0,625	0,637	0,661	0,675	0,611	0,633	0,641	0,644	0,611	0,668	0,681	0,700	0,603	0,59	
1,70	0,603	0,603	0,604	0,622	0,637	0,660	0,676	0,611	0,633	0,641	0,644	0,611	0,668	0,681	0,700	0,603	0,59	
1,80	0,603	0,603	0,604	0,623	0,637	0,660	0,669	0,610	0,633	0,641	0,644	0,611	0,668	0,681	0,700	0,603	0,59	
1,90	0,601	0,602	0,602	0,623	0,637	0,660	0,669	0,610	0,633	0,641	0,644	0,611	0,668	0,681	0,700	0,601	0,59	
2,00	0,601	0,601	0,601	0,623	0,636	0,659	0,668	0,610	0,633	0,641	0,644	0,611	0,668	0,681	0,700	0,601	0,59	
3,00	0,601	0,601	0,601	0,611	0,636	0,656	0,669	0,609	0,633	0,641	0,644	0,610	0,663	0,676	0,696	0,601	0,59	



largeur, débouchant librement dans l'air.

COEFFICIENTS DE LA FORMULE D.														OBSERVATIONS
la hauteur de niveau de l'eau dans le réservoir étant mesurée immédiatement au-dessus de l'orifice, dans le cas des dispositifs de la planche 1.														
Figures 3.	Figures 4.	Figures 5.	Figures 6.	Figures 7.	Figures 8.	Figures 9.	Figures 10.	Figures 11.	Figures 12.	Figures 12'.	Figures 13.	Figures 14.		
0,596	0,622	0,637	0,649	0,708	0,605	0,616	0,644	0,647	0,647	0,669	0,715	0,717		
0,598	0,624	0,637	0,648	0,706	0,606	0,630	0,644	0,647	0,668	0,651	0,707	0,710		
0,598	0,623	0,637	0,647	0,705	0,606	0,639	0,644	0,647	0,668	0,661	0,705	0,715		
0,599	0,623	0,637	0,647	0,703	0,607	0,639	0,644	0,646	0,668	0,650	0,699	0,714		
0,600	0,623	0,637	0,645	0,701	0,607	0,638	0,643	0,648	0,669	0,649	0,695	0,712		
0,600	0,623	0,637	0,644	0,699	0,608	0,637	0,643	0,648	0,669	0,648	0,691	0,711		
0,601	0,623	0,637	0,643	0,697	0,608	0,637	0,643	0,648	0,669	0,648	0,690	0,710		
0,603	0,623	0,637	0,641	0,693	0,609	0,636	0,642	0,647	0,670	0,647	0,686	0,706		
0,604	0,623	0,637	0,638	0,690	0,609	0,635	0,641	0,647	0,670	0,646	0,684	0,707		
0,605	0,624	0,637	0,637	0,688	0,610	0,634	0,641	0,647	0,670	0,646	0,683	0,705		
0,605	0,624	0,637	0,635	0,687	0,610	0,635	0,640	0,646	0,671	0,645	0,682	0,704		
0,606	0,624	0,637	0,633	0,685	0,610	0,632	0,640	0,646	0,671	0,644	0,682	0,703		
0,607	0,624	0,637	0,631	0,683	0,610	0,631	0,639	0,645	0,671	0,644	0,682	0,702		
0,607	0,624	0,637	0,630	0,681	0,611	0,631	0,639	0,644	0,671	0,643	0,682	0,701		
0,607	0,624	0,637	0,629	0,681	0,611	0,630	0,638	0,644	0,671	0,643	0,682	0,700		
0,606	0,624	0,637	0,628	0,680	0,611	0,630	0,635	0,643	0,671	0,643	0,682	0,700		
0,606	0,624	0,637	0,626	0,679	0,611	0,630	0,634	0,643	0,671	0,643	0,681	0,700		
0,606	0,625	0,637	0,626	0,678	0,610	0,629	0,633	0,642	0,671	0,643	0,681	0,699		
0,605	0,625	0,637	0,625	0,676	0,610	0,629	0,632	0,641	0,671	0,643	0,681	0,699		
0,604	0,625	0,637	0,624	0,674	0,610	0,629	0,631	0,640	0,671	0,642	0,681	0,699		
0,604	0,624	0,637	0,623	0,672	0,610	0,628	0,630	0,640	0,671	0,642	0,681	0,699		
0,603	0,623	0,637	0,622	0,671	0,610	0,628	0,637	0,641	0,671	0,642	0,680	0,698		
0,603	0,621	0,637	0,622	0,670	0,610	0,627	0,637	0,641	0,671	0,642	0,680	0,698		
0,602	0,620	0,637	0,621	0,670	0,615	0,627	0,637	0,641	0,670	0,642	0,680	0,697		
0,602	0,619	0,636	0,621	0,669	0,609	0,627	0,636	0,640	0,670	0,642	0,680	0,697		
0,602	0,619	0,636	0,621	0,669	0,609	0,626	0,636	0,640	0,670	0,642	0,679	0,697		
0,602	0,615	0,635	0,620	0,668	0,607	0,625	0,635	0,637	0,668	0,640	0,677	0,696		

Orifice de 0<sup>m</sup>,10 de hauteur et 0<sup>m</sup>,20 de

craquel sur le sommet de l'orifice.	COEFFICIENTS DE LA FORMULE D, le bassin de niveau de l'eau dans le réservoir étant mesuré, loin de l'orifice, ou en un point où le liquide est parfaitement stagnant, dans le cas des dispositifs de la planche 1,					COEFFICIENTS DE LA FORMULE D, le bassin de niveau de l'eau dans le réservoir étant mesuré immédiatement au-dessus de l'orifice, dans le cas des dispositifs de la planche 1,					OBSERVATIONS
	Figure 1.	Figure 4.	Figure 5.	Figure 8.	Figure 9.	Figure 1.	Figure 4.	Figure 5.	Figure 8.	Figure 9.	
	0,000	"	"	"	"	"	0,860	0,719	0,733	0,906	
0,005	"	"	"	"	"	0,830	0,693	0,722	0,950	0,803	
0,010	"	"	"	"	"	0,825	0,671	0,701	0,916	0,776	
0,015	0,503	"	"	"	0,633	0,820	0,636	0,687	0,871	0,660	
0,020	0,506	0,625	"	"	0,600	0,816	0,633	0,676	0,830	0,665	
0,025	0,508	0,627	0,632	"	0,631	0,810	0,630	0,674	0,813	0,650	
0,030	0,600	0,659	0,635	"	0,630	0,815	0,619	0,671	0,791	0,657	
0,035	0,602	0,631	0,638	"	0,633	0,815	0,617	0,668	0,775	0,655	
0,040	0,603	0,633	0,640	"	0,633	0,814	0,617	0,667	0,763	0,654	
0,045	0,604	0,634	0,642	"	0,634	0,814	0,618	0,666	0,761	0,653	
0,050	0,605	0,635	0,644	0,704	0,634	0,813	0,616	0,665	0,743	0,652	
0,055	0,606	0,636	0,646	0,653	0,634	0,813	0,616	0,664	0,736	0,651	
0,060	0,607	0,637	0,647	0,665	0,634	0,812	0,616	0,664	0,730	0,651	
0,065	0,608	0,638	0,648	0,662	0,635	0,812	0,616	0,663	0,725	0,650	
0,070	0,609	0,639	0,650	0,661	0,635	0,812	0,616	0,663	0,721	0,650	
0,080	0,610	0,641	0,651	0,660	0,635	0,811	0,617	0,662	0,715	0,649	
0,090	0,610	0,642	0,653	0,660	0,635	0,811	0,617	0,662	0,711	0,648	
0,100	0,611	0,643	0,654	0,660	0,635	0,811	0,618	0,661	0,707	0,647	
0,110	0,612	0,644	0,655	0,660	0,635	0,811	0,618	0,661	0,704	0,646	
0,120	0,613	0,645	0,655	0,660	0,635	0,811	0,618	0,661	0,701	0,645	
0,130	0,613	0,646	0,656	0,660	0,635	0,811	0,618	0,661	0,699	0,645	
0,140	0,613	0,646	0,656	0,660	0,635	0,811	0,618	0,660	0,698	0,644	
0,150	0,613	0,647	0,656	0,660	0,635	0,811	0,619	0,660	0,696	0,644	
0,160	0,614	0,647	0,657	0,660	0,635	0,811	0,619	0,660	0,695	0,643	
0,170	0,614	0,648	0,657	0,660	0,635	0,811	0,619	0,660	0,694	0,643	
0,180	0,615	0,648	0,657	0,660	0,635	0,810	0,618	0,660	0,693	0,642	
0,190	0,615	0,648	0,657	0,660	0,635	0,810	0,618	0,660	0,692	0,641	
0,200	0,615	0,648	0,657	0,660	0,635	0,810	0,619	0,659	0,691	0,641	

Les deux traits horizontaux placés dans chaque colonne des coefficients indiquent les limites entre lesquelles sont comprises les expériences qui ont servi de base à la formation de ces tables.

En ce qui concerne le premier coefficient inscrit dans chacune des cinq premières colonnes, voyez le note insérée dans le volume d'observations du tableau n° XXV.

largeur, débouchant librement dans l'air.

craques sur le sommet de Ferdée.	COEFFICIENTS DE LA FORMULE D, la hauteur du niveau de l'eau dans le réservoir étant mesurée, soit de Ferdée, ou au point où le liquide est parfaitement stagnant, dans le cas des dispositifs de la planche 2,					COEFFICIENTS DE LA FORMULE D, la hauteur du niveau de l'eau dans le réservoir étant mesurée immédiatement en-dehors de Ferdée, dans le cas des dispositifs de la planche 1.					OBSERVATIONS.
	Égare	Égare	Égare	Égare	Égare	Égare	Égare	Égare	Égare	Égare	
	1.	4.	5.	6.	6.	1.	4.	5.	6.	6.	
0,21	0,615	0,648	0,667	0,680	0,684	0,616	0,557	0,559	0,591	0,640	
0,22	0,612	0,646	0,657	0,660	0,654	0,616	0,549	0,559	0,590	0,636	
0,23	0,610	0,645	0,657	0,660	0,654	0,617	0,540	0,559	0,590	0,639	
0,24	0,618	0,646	0,657	0,656	0,654	0,617	0,545	0,559	0,599	0,636	
0,25	0,616	0,649	0,657	0,660	0,654	0,617	0,540	0,559	0,596	0,636	
0,26	0,616	0,648	0,657	0,660	0,654	0,617	0,540	0,559	0,594	0,636	
0,28	0,618	0,649	0,657	0,660	0,654	0,617	0,540	0,559	0,594	0,637	
0,25	0,617	0,646	0,657	0,670	0,653	0,617	0,545	0,558	0,585	0,636	
0,30	0,617	0,648	0,657	0,670	0,653	0,617	0,544	0,558	0,586	0,635	
0,45	0,617	0,648	0,657	0,670	0,653	0,617	0,548	0,557	0,583	0,636	
0,50	0,617	0,648	0,657	0,678	0,652	0,617	0,548	0,557	0,582	0,633	
0,60	0,617	0,646	0,656	0,677	0,651	0,617	0,546	0,557	0,581	0,632	
0,70	0,616	0,646	0,656	0,676	0,651	0,616	0,548	0,556	0,579	0,632	
0,80	0,616	0,646	0,656	0,678	0,650	0,616	0,548	0,556	0,578	0,631	
0,90	0,615	0,647	0,655	0,675	0,650	0,615	0,547	0,556	0,576	0,631	
1,00	0,613	0,647	0,655	0,674	0,650	0,615	0,547	0,556	0,575	0,631	
1,10	0,614	0,646	0,656	0,674	0,650	0,614	0,547	0,555	0,575	0,630	
1,20	0,614	0,646	0,656	0,673	0,650	0,614	0,546	0,555	0,574	0,630	
1,30	0,613	0,645	0,656	0,673	0,650	0,613	0,545	0,555	0,573	0,630	
1,40	0,612	0,644	0,654	0,672	0,650	0,612	0,544	0,555	0,573	0,630	
1,50	0,611	0,644	0,654	0,671	0,650	0,611	0,544	0,554	0,573	0,630	
1,60	0,611	0,643	0,654	0,671	0,650	0,611	0,543	0,554	0,571	0,630	
1,75	0,610	0,643	0,654	0,670	0,650	0,610	0,543	0,554	0,571	0,630	
1,80	0,609	0,642	0,653	0,670	0,650	0,609	0,542	0,553	0,570	0,630	
1,90	0,608	0,642	0,653	0,669	0,650	0,608	0,541	0,553	0,569	0,630	
2,00	0,607	0,641	0,653	0,669	0,650	0,607	0,541	0,553	0,569	0,630	
3,00	0,603	0,639	0,650	0,664	0,628	0,603	0,536	0,548	0,564	0,625	

Orifice de 0<sup>m</sup>,05 de hauteur et 0<sup>m</sup>,20 de

COURSES sur le sommet de l'orifice.	COEFFICIENTS DE LA FORMULE D. la hauteur du niveau de l'eau dans le réservoir étant mesurée, sous l'orifice, en un point où la liquide est parfaitement stagnant, dans le cas des dispositifs de la planche I.															
	figure 1.	figure 2.	figure 3.	figure 4.	figure 5.	figure 6.	figure 7.	figure 8.	figure 9.	figure 10.	figure 11.	figure 12.	figure 13.	figure 14.	figure 1.	figure 2.
0,000	.	.	.	.	.	.	.	.	.	.	.	.	.	.	0,706	0,701
0,005	.	.	.	.	.	.	.	.	.	.	.	.	.	.	0,665	0,658
0,010	0,607	0,615	0,615	.	.	.	.	0,625	0,618	0,609	.	0,630	.	.	0,641	0,639
0,015	0,612	0,617	0,617	0,623	.	.	.	0,628	0,618	0,607	.	0,631	.	.	0,637	0,635
0,020	0,616	0,616	0,618	0,644	0,648	.	.	0,627	0,617	0,605	0,618	0,631	.	.	0,638	0,634
0,025	0,618	0,620	0,620	0,665	0,665	.	.	0,627	0,617	0,604	0,618	0,631	.	.	0,638	0,634
0,030	0,620	0,621	0,621	0,685	0,686	0,701	.	0,628	0,617	0,603	0,616	0,631	.	.	0,637	0,633
0,035	0,622	0,622	0,622	0,666	0,667	0,697	.	0,629	0,617	0,602	0,616	0,632	.	.	0,637	0,632
0,040	0,623	0,623	0,623	0,666	0,668	0,694	.	0,629	0,617	0,601	0,617	0,632	.	.	0,636	0,633
0,045	0,624	0,624	0,624	0,666	0,668	0,671	.	0,630	0,616	0,600	0,617	0,632	.	.	0,636	0,633
0,050	0,623	0,625	0,625	0,667	0,669	0,690	.	0,630	0,616	0,600	0,617	0,632	0,710	0,717	0,636	0,633
0,055	0,623	0,625	0,625	0,667	0,670	0,689	0,699	0,630	0,616	0,600	0,617	0,632	0,717	0,716	0,636	0,633
0,060	0,626	0,626	0,626	0,667	0,670	0,689	0,699	0,631	0,616	0,600	0,617	0,632	0,710	0,713	0,635	0,633
0,065	0,626	0,627	0,627	0,668	0,671	0,689	0,698	0,631	0,616	0,600	0,617	0,632	0,713	0,714	0,635	0,633
0,070	0,627	0,627	0,627	0,668	0,671	0,689	0,698	0,632	0,616	0,601	0,617	0,632	0,714	0,713	0,635	0,633
0,080	0,628	0,629	0,629	0,666	0,672	0,689	0,697	0,632	0,615	0,600	0,617	0,632	0,712	0,711	0,634	0,632
0,090	0,629	0,629	0,629	0,668	0,673	0,688	0,696	0,632	0,615	0,600	0,617	0,632	0,710	0,710	0,634	0,632
0,100	0,630	0,630	0,630	0,669	0,674	0,688	0,696	0,633	0,615	0,600	0,617	0,632	0,709	0,709	0,634	0,632
0,110	0,631	0,631	0,631	0,669	0,674	0,688	0,696	0,634	0,615	0,600	0,617	0,632	0,707	0,707	0,634	0,632
0,120	0,631	0,632	0,632	0,666	0,670	0,686	0,695	0,634	0,614	0,601	0,616	0,632	0,705	0,706	0,634	0,632
0,130	0,631	0,632	0,632	0,660	0,675	0,686	0,693	0,634	0,614	0,600	0,616	0,632	0,705	0,705	0,633	0,632
0,140	0,631	0,633	0,633	0,670	0,678	0,686	0,693	0,635	0,614	0,600	0,616	0,632	0,703	0,704	0,633	0,632
0,150	0,631	0,633	0,634	0,670	0,678	0,687	0,694	0,635	0,614	0,600	0,616	0,632	0,703	0,703	0,632	0,632
0,160	0,631	0,633	0,634	0,670	0,676	0,687	0,694	0,635	0,613	0,600	0,616	0,632	0,700	0,703	0,632	0,632
0,170	0,631	0,633	0,635	0,670	0,676	0,687	0,694	0,635	0,613	0,600	0,616	0,632	0,699	0,700	0,632	0,632
0,180	0,631	0,633	0,635	0,670	0,676	0,687	0,694	0,635	0,613	0,600	0,616	0,632	0,696	0,701	0,631	0,632
0,190	0,631	0,634	0,635	0,670	0,679	0,687	0,693	0,635	0,613	0,600	0,616	0,632	0,697	0,701	0,631	0,632
0,200	0,631	0,634	0,635	0,670	0,679	0,687	0,693	0,635	0,613	0,600	0,616	0,632	0,696	0,700	0,631	0,632

largeur, débouchant librement dans l'air.

COEFFICIENTS DE LA FORMULE D, la hauteur de niveau de l'eau dans le réservoir étant mesurée immédiatement au-dessus de l'orifice, dans le cas des écoulements de la planche 1.													OBSERVATIONS.
Égare 3.	Égare 4.	Égare 5.	Égare 6.	Égare 7.	Égare 8.	Égare 9.	Égare 10.	Égare 11.	Égare 12.	Égare 13.	Égare 14.		
0,701	0,681	0,654	1,037	1,140	0,718	0,735	0,770	0,568	0,718	1,320	1,325		Les deux traits horizontaux placés dans chaque colonne des coefficients indiquent les limites entre lesquelles sont comprises les expériences qui ont servi de base à la formation de ce tableau. En ce qui concerne le premier coefficient inséré dans chacune des quatorze premières colonnes, voyez la note insérée dans la colonne d'observations du tableau n° XXV.
0,658	0,771	0,709	0,940	0,975	0,667	0,700	0,726	0,809	0,664	1,135	1,125		
0,639	0,799	0,703	0,881	0,908	0,658	0,688	0,697	0,773	0,653	1,050	1,045		
0,635	0,710	0,735	0,823	0,843	0,654	0,661	0,666	0,736	0,610	0,970	0,960		
0,624	0,700	0,717	0,786	0,805	0,651	0,676	0,676	0,729	0,613	0,980	0,925		
0,634	0,694	0,705	0,760	0,783	0,649	0,673	0,671	0,717	0,643	0,877	0,881		
0,633	0,689	0,695	0,757	0,769	0,648	0,669	0,667	0,710	0,611	0,830	0,845		
0,633	0,680	0,694	0,747	0,759	0,646	0,667	0,663	0,704	0,604	0,807	0,810		
0,653	0,683	0,690	0,740	0,731	0,645	0,663	0,661	0,700	0,620	0,784	0,795		
0,683	0,661	0,668	0,734	0,713	0,644	0,664	0,658	0,697	0,628	0,764	0,778		
0,633	0,679	0,686	0,730	0,730	0,643	0,663	0,650	0,693	0,637	0,751	0,764		
0,633	0,678	0,685	0,729	0,735	0,643	0,661	0,653	0,693	0,637	0,742	0,756		
0,633	0,677	0,684	0,731	0,731	0,642	0,661	0,654	0,692	0,630	0,736	0,750		
0,633	0,676	0,683	0,728	0,737	0,641	0,660	0,653	0,690	0,636	0,731	0,734		
0,632	0,675	0,682	0,715	0,724	0,641	0,659	0,651	0,689	0,630	0,737	0,740		
0,632	0,674	0,681	0,711	0,720	0,640	0,658	0,650	0,687	0,631	0,731	0,734		
0,632	0,674	0,680	0,700	0,710	0,639	0,657	0,650	0,686	0,631	0,737	0,738		
0,631	0,673	0,680	0,700	0,713	0,638	0,655	0,647	0,685	0,633	0,734	0,735		
0,631	0,673	0,679	0,703	0,710	0,638	0,654	0,649	0,684	0,633	0,732	0,733		
0,631	0,673	0,679	0,701	0,700	0,637	0,654	0,649	0,683	0,632	0,730	0,730		
1,630	0,672	0,678	0,700	0,706	0,637	0,653	0,644	0,682	0,632	0,728	0,730		
1,630	0,671	0,678	0,699	0,704	0,637	0,652	0,644	0,680	0,632	0,726	0,731		
1,630	0,672	0,678	0,698	0,703	0,636	0,651	0,643	0,681	0,632	0,724	0,718		
1,630	0,672	0,678	0,697	0,702	0,636	0,650	0,643	0,681	0,632	0,723	0,711		
1,620	0,673	0,677	0,696	0,701	0,635	0,650	0,642	0,680	0,632	0,721	0,718		
1,620	0,673	0,677	0,696	0,700	0,635	0,649	0,642	0,680	0,631	0,720	0,708		
1,620	0,672	0,677	0,694	0,699	0,635	0,648	0,642	0,680	0,631	0,699	0,707		
1,620	0,673	0,677	0,694	0,698	0,634	0,648	0,642	0,679	0,631	0,699	0,706		

Orifice de 0<sup>m</sup>,05 de hauteur et 0<sup>m</sup>,20 d

crauxes sur le sommet de l'orifice.	COEFFICIENTS DE LA FORMULE D, la hauteur de niveau de l'eau dans le réservoir étant mesurée, loin de l'orifice, en un point où le liquide est parfaitement stagnant, dans le cas des dispositifs de la planche 1.															
	figure 1.	figure 2.	figure 3.	figure 4.	figure 5.	figure 6.	figure 7.	figure 8.	figure 9.	figure 10.	figure 11.	figure 12.	figure 13.	figure 14.	figure 1.	figure 2.
0,21	0,621	0,624	0,625	0,670	0,670	0,686	0,688	0,635	0,642	0,642	0,675	0,683	0,605	0,600	0,631	0,633
0,22	0,620	0,623	0,626	0,670	0,676	0,686	0,693	0,635	0,642	0,642	0,675	0,683	0,604	0,610	0,631	0,633
0,23	0,620	0,623	0,624	0,670	0,676	0,686	0,695	0,635	0,642	0,642	0,675	0,683	0,604	0,606	0,630	0,633
0,24	0,620	0,623	0,625	0,670	0,676	0,686	0,692	0,635	0,641	0,641	0,674	0,683	0,603	0,608	0,630	0,633
0,25	0,620	0,623	0,624	0,670	0,676	0,686	0,692	0,635	0,641	0,641	0,674	0,683	0,602	0,607	0,630	0,633
0,26	0,620	0,622	0,624	0,670	0,676	0,685	0,693	0,635	0,640	0,640	0,674	0,683	0,600	0,607	0,630	0,633
0,28	0,620	0,622	0,624	0,670	0,676	0,685	0,691	0,630	0,640	0,640	0,673	0,683	0,600	0,607	0,630	0,633
0,30	0,620	0,622	0,623	0,670	0,676	0,685	0,691	0,630	0,640	0,640	0,673	0,683	0,600	0,607	0,630	0,633
0,35	0,620	0,621	0,623	0,669	0,676	0,684	0,691	0,635	0,639	0,641	0,673	0,683	0,607	0,606	0,630	0,631
0,40	0,620	0,621	0,623	0,669	0,676	0,684	0,690	0,634	0,638	0,641	0,672	0,683	0,605	0,605	0,629	0,630
0,45	0,620	0,620	0,622	0,668	0,676	0,683	0,689	0,634	0,637	0,641	0,671	0,683	0,603	0,603	0,629	0,630
0,50	0,620	0,620	0,622	0,668	0,676	0,683	0,689	0,634	0,637	0,640	0,671	0,683	0,602	0,603	0,628	0,627
0,60	0,620	0,620	0,621	0,668	0,675	0,682	0,686	0,633	0,636	0,636	0,670	0,681	0,601	0,601	0,627	0,626
0,70	0,620	0,620	0,620	0,667	0,674	0,681	0,687	0,632	0,636	0,636	0,670	0,681	0,600	0,600	0,627	0,626
0,80	0,620	0,620	0,620	0,667	0,674	0,681	0,686	0,630	0,635	0,637	0,670	0,680	0,600	0,600	0,626	0,625
0,90	0,620	0,620	0,620	0,667	0,673	0,680	0,685	0,630	0,635	0,636	0,670	0,680	0,600	0,600	0,625	0,625
1,00	0,620	0,620	0,620	0,666	0,673	0,680	0,685	0,629	0,635	0,636	0,670	0,680	0,600	0,600	0,625	0,625
1,10	0,621	0,625	0,620	0,666	0,672	0,680	0,684	0,627	0,635	0,635	0,670	0,680	0,678	0,691	0,624	0,622
1,20	0,623	0,624	0,624	0,666	0,671	0,679	0,683	0,625	0,635	0,631	0,670	0,680	0,678	0,690	0,623	0,621
1,30	0,622	0,622	0,622	0,666	0,671	0,679	0,683	0,624	0,636	0,630	0,670	0,680	0,678	0,690	0,622	0,620
1,40	0,621	0,621	0,621	0,665	0,670	0,678	0,681	0,623	0,634	0,628	0,670	0,680	0,677	0,689	0,621	0,619
1,50	0,619	0,619	0,616	0,665	0,670	0,678	0,681	0,622	0,634	0,627	0,670	0,681	0,677	0,688	0,616	0,613
1,60	0,618	0,618	0,618	0,665	0,670	0,677	0,681	0,620	0,634	0,626	0,669	0,680	0,677	0,687	0,616	0,613
1,70	0,616	0,617	0,617	0,665	0,670	0,679	0,681	0,619	0,634	0,625	0,669	0,680	0,676	0,686	0,616	0,611
1,80	0,616	0,616	0,616	0,664	0,670	0,676	0,681	0,619	0,634	0,625	0,669	0,680	0,676	0,685	0,615	0,610
1,90	0,616	0,615	0,615	0,664	0,670	0,676	0,681	0,617	0,634	0,622	0,669	0,680	0,675	0,685	0,614	0,613
2,00	0,613	0,614	0,614	0,664	0,670	0,676	0,680	0,616	0,634	0,621	0,669	0,680	0,673	0,684	0,613	0,613
2,00	0,606	0,600	0,605	0,663	0,669	0,673	0,678	0,609	0,632	0,614	0,666	0,669	0,673	0,680	0,606	0,600

largeur, débouchant librement dans l'air.

COEFFICIENTS DE LA FORMULE D, la hauteur du niveau de l'eau dans le réservoir étant mesurée immédiatement au-dessus de l'orifice, dans le cas des dispositions de la planche I,														OBSERVATIONS.
Égare 3.	Égare 4.	Égare 5.	Égare 6.	Égare 7.	Égare 8.	Égare 9.	Égare 10.	Égare 11.	Égare 12.	Égare 13.	Égare 14.			
0,020	0,672	0,677	0,683	0,688	0,694	0,698	0,647	0,652	0,678	0,681	0,697	0,705		
0,025	0,671	0,677	0,683	0,687	0,693	0,697	0,654	0,647	0,642	0,678	0,681	0,696	0,704	
0,030	0,671	0,677	0,682	0,687	0,693	0,697	0,654	0,648	0,642	0,677	0,681	0,695	0,703	
0,035	0,671	0,677	0,682	0,687	0,692	0,696	0,654	0,645	0,642	0,677	0,681	0,694	0,703	
0,040	0,671	0,676	0,681	0,685	0,690	0,693	0,645	0,642	0,642	0,677	0,681	0,693	0,701	
0,045	0,671	0,676	0,680	0,684	0,688	0,692	0,645	0,643	0,643	0,676	0,681	0,693	0,700	
0,050	0,670	0,676	0,680	0,684	0,688	0,692	0,643	0,643	0,643	0,673	0,680	0,690	0,699	
0,055	0,670	0,676	0,680	0,684	0,688	0,692	0,643	0,641	0,643	0,676	0,680	0,687	0,697	
0,060	0,669	0,676	0,680	0,684	0,688	0,692	0,643	0,640	0,642	0,673	0,680	0,685	0,696	
0,065	0,669	0,676	0,680	0,684	0,688	0,692	0,643	0,639	0,641	0,673	0,680	0,684	0,695	
0,070	0,669	0,676	0,680	0,684	0,688	0,692	0,643	0,638	0,640	0,673	0,680	0,685	0,696	
0,075	0,668	0,676	0,680	0,684	0,688	0,692	0,643	0,637	0,639	0,673	0,680	0,685	0,696	
0,080	0,668	0,675	0,680	0,684	0,688	0,692	0,642	0,636	0,636	0,671	0,679	0,681	0,694	
0,085	0,667	0,674	0,679	0,683	0,687	0,691	0,641	0,636	0,635	0,671	0,679	0,681	0,694	
0,090	0,667	0,673	0,678	0,682	0,686	0,690	0,640	0,635	0,635	0,670	0,678	0,680	0,693	
0,095	0,667	0,673	0,678	0,682	0,686	0,690	0,640	0,635	0,635	0,670	0,678	0,680	0,693	
0,100	0,667	0,673	0,678	0,682	0,686	0,690	0,640	0,635	0,635	0,670	0,678	0,680	0,693	
0,105	0,666	0,671	0,676	0,680	0,684	0,688	0,639	0,635	0,635	0,670	0,678	0,680	0,693	
0,110	0,666	0,671	0,676	0,680	0,684	0,688	0,639	0,635	0,635	0,670	0,678	0,680	0,693	
0,115	0,666	0,671	0,676	0,680	0,684	0,688	0,639	0,635	0,635	0,670	0,678	0,680	0,693	
0,120	0,666	0,671	0,676	0,680	0,684	0,688	0,639	0,635	0,635	0,670	0,678	0,680	0,693	
0,125	0,666	0,671	0,676	0,680	0,684	0,688	0,639	0,635	0,635	0,670	0,678	0,680	0,693	
0,130	0,666	0,671	0,676	0,680	0,684	0,688	0,639	0,635	0,635	0,670	0,678	0,680	0,693	
0,135	0,666	0,671	0,676	0,680	0,684	0,688	0,639	0,635	0,635	0,670	0,678	0,680	0,693	
0,140	0,666	0,671	0,676	0,680	0,684	0,688	0,639	0,635	0,635	0,670	0,678	0,680	0,693	
0,145	0,666	0,671	0,676	0,680	0,684	0,688	0,639	0,635	0,635	0,670	0,678	0,680	0,693	
0,150	0,666	0,671	0,676	0,680	0,684	0,688	0,639	0,635	0,635	0,670	0,678	0,680	0,693	
0,155	0,666	0,671	0,676	0,680	0,684	0,688	0,639	0,635	0,635	0,670	0,678	0,680	0,693	
0,160	0,666	0,671	0,676	0,680	0,684	0,688	0,639	0,635	0,635	0,670	0,678	0,680	0,693	
0,165	0,666	0,671	0,676	0,680	0,684	0,688	0,639	0,635	0,635	0,670	0,678	0,680	0,693	
0,170	0,666	0,671	0,676	0,680	0,684	0,688	0,639	0,635	0,635	0,670	0,678	0,680	0,693	
0,175	0,666	0,671	0,676	0,680	0,684	0,688	0,639	0,635	0,635	0,670	0,678	0,680	0,693	
0,180	0,666	0,671	0,676	0,680	0,684	0,688	0,639	0,635	0,635	0,670	0,678	0,680	0,693	
0,185	0,666	0,671	0,676	0,680	0,684	0,688	0,639	0,635	0,635	0,670	0,678	0,680	0,693	
0,190	0,666	0,671	0,676	0,680	0,684	0,688	0,639	0,635	0,635	0,670	0,678	0,680	0,693	
0,195	0,666	0,671	0,676	0,680	0,684	0,688	0,639	0,635	0,635	0,670	0,678	0,680	0,693	
0,200	0,666	0,671	0,676	0,680	0,684	0,688	0,639	0,635	0,635	0,670	0,678	0,680	0,693	

Orifice de 0<sup>m</sup>,03 de hauteur et 0<sup>m</sup>,20 d

craquel sur le sommet de l'orifice.	COEFFICIENTS DE LA FORMULE D, la hauteur de niveau de l'eau dans le réservoir étant mesurée, au-dessous de l'orifice, ou au point où le liquide est parfaitement stagnant, dans le cas des dispositifs de la planche 1,					COEFFICIENTS DE LA FORMULE D, la hauteur de niveau de l'eau dans le réservoir étant mesurée immédiatement au-dessus de l'orifice, dans le cas des dispositifs de la planche 1,					OBSERVATIONS.
	figure 1.	figure 2.	figure 3.	figure 4.	figure 5.	figure 1.	figure 2.	figure 3.	figure 4.	figure 5.	
	0,000	-	-	-	-	-	0,700	0,966	0,970	1,122	
0,005	-	-	-	-	-	0,700	0,865	0,881	0,978	0,716	
0,010	0,624	-	-	-	0,667	0,683	0,782	0,793	0,886	0,717	
0,015	0,633	0,713	0,706	-	0,666	0,678	0,734	0,741	0,810	0,703	
0,020	0,639	0,691	0,699	-	0,665	0,665	0,717	0,723	0,791	0,696	
0,025	0,640	0,655	0,680	0,709	0,665	0,662	0,710	0,714	0,759	0,696	
0,030	0,641	0,647	0,655	0,702	0,664	0,659	0,706	0,708	0,745	0,690	
0,035	0,641	0,647	0,645	0,700	0,664	0,656	0,703	0,704	0,735	0,683	
0,040	0,640	0,646	0,641	0,699	0,664	0,654	0,700	0,701	0,728	0,681	
0,045	0,640	0,646	0,641	0,698	0,663	0,652	0,698	0,699	0,723	0,679	
0,050	0,640	0,646	0,641	0,698	0,663	0,650	0,697	0,697	0,710	0,677	
0,055	0,639	0,646	0,641	0,697	0,663	0,648	0,696	0,696	0,710	0,676	
0,060	0,639	0,646	0,641	0,697	0,663	0,647	0,694	0,696	0,713	0,674	
0,065	0,639	0,645	0,644	0,697	0,663	0,646	0,693	0,693	0,711	0,673	
0,070	0,638	0,645	0,641	0,696	0,662	0,645	0,692	0,691	0,710	0,672	
0,080	0,638	0,645	0,641	0,696	0,661	0,645	0,690	0,691	0,708	0,670	
0,090	0,637	0,644	0,641	0,696	0,661	0,642	0,689	0,690	0,707	0,669	
0,100	0,637	0,644	0,641	0,695	0,661	0,641	0,688	0,689	0,705	0,668	
0,110	0,636	0,643	0,641	0,695	0,660	0,639	0,687	0,689	0,704	0,667	
0,120	0,636	0,643	0,641	0,695	0,660	0,638	0,686	0,688	0,703	0,665	
0,130	0,636	0,643	0,641	0,695	0,659	0,638	0,685	0,688	0,702	0,665	
0,140	0,635	0,642	0,641	0,694	0,659	0,637	0,684	0,687	0,702	0,664	
0,150	0,635	0,642	0,641	0,694	0,658	0,637	0,683	0,687	0,701	0,663	
0,160	0,635	0,642	0,641	0,694	0,658	0,636	0,683	0,686	0,700	0,663	
0,170	0,635	0,642	0,641	0,694	0,658	0,636	0,682	0,686	0,700	0,661	
0,180	0,635	0,642	0,641	0,694	0,657	0,635	0,682	0,686	0,700	0,660	
0,190	0,635	0,642	0,641	0,694	0,657	0,635	0,682	0,685	0,700	0,659	
0,200	0,635	0,641	0,643	0,693	0,657	0,635	0,682	0,685	0,699	0,659	



sageur, débouchant librement dans l'air.

crainte sur le sommet de l'orifice.	COEFFICIENTS DE LA FORMULE D, la hauteur de niveau de l'eau dans le réservoir étant mesurée, non de l'orifice, en un point où le liquide est parfaitement stagnant, dans le cas des dispositifs de la planche I,					COEFFICIENTS DE LA FORMULE D, la hauteur de niveau de l'eau dans le réservoir étant mesurée immédiatement au-dessus de l'orifice, dans le cas des dispositifs de la planche I,					OBSERVATIONS.
	figure 1.	figure 2.	figure 3.	figure 4.	figure 5.	figure 1.	figure 2.	figure 3.	figure 4.	figure 5.	
	0,21	0,634	0,681	0,683	0,691	0,696	0,634	0,681	0,685	0,696	
0,22	0,633	0,681	0,683	0,691	0,696	0,634	0,681	0,685	0,696	0,696	
0,23	0,632	0,681	0,683	0,691	0,696	0,633	0,681	0,681	0,696	0,697	
0,24	0,633	0,681	0,683	0,691	0,695	0,633	0,681	0,681	0,696	0,696	
0,26	0,632	0,681	0,683	0,690	0,695	0,633	0,681	0,681	0,697	0,697	
0,28	0,632	0,681	0,683	0,690	0,695	0,632	0,681	0,681	0,697	0,697	
0,30	0,632	0,681	0,683	0,690	0,695	0,632	0,681	0,681	0,697	0,697	
0,35	0,631	0,681	0,683	0,690	0,695	0,632	0,681	0,681	0,696	0,697	
0,44	0,631	0,681	0,683	0,692	0,690	0,631	0,681	0,683	0,690	0,690	
0,45	0,631	0,680	0,682	0,692	0,689	0,631	0,681	0,683	0,691	0,691	
0,50	0,631	0,680	0,682	0,691	0,687	0,631	0,680	0,683	0,690	0,690	
0,60	0,630	0,679	0,682	0,690	0,685	0,630	0,679	0,683	0,692	0,692	
0,70	0,629	0,678	0,682	0,689	0,683	0,629	0,678	0,683	0,690	0,691	
0,80	0,628	0,677	0,683	0,688	0,682	0,628	0,677	0,683	0,686	0,687	
0,90	0,627	0,676	0,683	0,686	0,681	0,627	0,676	0,683	0,687	0,687	
1,00	0,627	0,676	0,683	0,685	0,680	0,627	0,675	0,683	0,686	0,686	
1,10	0,626	0,675	0,682	0,684	0,680	0,626	0,675	0,682	0,684	0,684	
1,20	0,625	0,675	0,682	0,683	0,680	0,625	0,675	0,681	0,684	0,684	
1,30	0,624	0,674	0,681	0,682	0,680	0,624	0,675	0,681	0,683	0,683	
1,40	0,623	0,675	0,680	0,681	0,687	0,623	0,675	0,680	0,682	0,682	
1,50	0,621	0,675	0,679	0,681	0,687	0,621	0,675	0,679	0,681	0,681	
1,60	0,619	0,675	0,679	0,680	0,686	0,619	0,675	0,679	0,681	0,681	
1,70	0,617	0,675	0,678	0,680	0,685	0,617	0,675	0,678	0,681	0,681	
1,80	0,616	0,675	0,678	0,680	0,685	0,616	0,675	0,677	0,680	0,681	
1,90	0,614	0,675	0,677	0,680	0,684	0,614	0,675	0,677	0,680	0,681	
2,00	0,613	0,675	0,677	0,679	0,684	0,613	0,675	0,679	0,680	0,681	
3,00	0,607	0,675	0,676	0,678	0,682	0,607	0,675	0,676	0,677	0,680	

Orifice de 0<sup>m</sup>,02 de hauteur et 0<sup>m</sup>,20 d

craquel sur le sommet de l'écoulement	COEFFICIENTS DE LA FORMULE D, la hauteur du niveau de l'eau dans le rétrovit étant mesurée, lors de l'écoulement, ou au point où le liquide est parfaitement étagné, dans le cas des dispositifs de la planche 1,					COEFFICIENTS DE LA FORMULE D, la hauteur du niveau de l'eau dans le rétrovit étant mesurée immédiatement au-dessus de l'écoulement, dans le cas des dispositifs de la planche 1,					OBSERVATIONS.]
	écoulement	écoulement	écoulement	écoulement	écoulement	écoulement	écoulement	écoulement	écoulement		
	1.	4.	5.	0.	5.	1.	4.	5.	5.	9.	
0,000	"	"	"	"	"	0,830	1,092	1,092	1,220	0,837	Les deux traits horizontaux placés dans chaque colonne; des coefficients indiquent les limites entre lesquelles ont eu lieu les expériences qui ont servi de base à la formation de ces tables. En ce qui concerne le premier coefficient inscrit dans chacune des cinq premières colonnes, voyez le note annexée à la colonne d'observations de la planche n° XXV.
0,005	"	"	"	"	0,688	0,753	0,870	0,870	1,060	0,740	
0,010	0,060	"	"	"	0,686	0,716	0,767	0,767	0,909	0,728	
0,015	0,060	0,705	0,705	"	0,681	0,700	0,745	0,751	0,895	0,718	
0,020	0,060	0,705	0,703	0,721	0,683	0,690	0,728	0,757	0,770	0,711	
0,025	0,060	0,702	0,702	0,709	0,681	0,681	0,722	0,729	0,753	0,706	
0,030	0,059	0,702	0,701	0,705	0,680	0,678	0,718	0,724	0,741	0,703	
0,035	0,059	0,701	0,700	0,705	0,670	0,675	0,715	0,720	0,733	0,700	
0,040	0,058	0,701	0,700	0,702	0,678	0,672	0,715	0,718	0,727	0,697	
0,045	0,058	0,700	0,699	0,701	0,677	0,670	0,711	0,715	0,723	0,696	
0,050	0,058	0,700	0,699	0,701	0,670	0,668	0,710	0,711	0,716	0,694	
0,055	0,058	0,699	0,698	0,700	0,670	0,666	0,709	0,712	0,717	0,692	
0,060	0,057	0,699	0,698	0,700	0,675	0,664	0,708	0,711	0,715	0,691	
0,065	0,057	0,699	0,697	0,700	0,674	0,663	0,707	0,709	0,715	0,690	
0,070	0,057	0,699	0,697	0,700	0,674	0,663	0,706	0,708	0,712	0,688	
0,080	0,056	0,698	0,696	0,696	0,675	0,660	0,704	0,706	0,710	0,686	
0,090	0,055	0,698	0,696	0,699	0,672	0,659	0,703	0,704	0,709	0,683	
0,100	0,055	0,698	0,695	0,699	0,671	0,658	0,702	0,702	0,708	0,682	
0,110	0,054	0,698	0,695	0,699	0,670	0,656	0,702	0,701	0,707	0,680	
0,120	0,054	0,697	0,694	0,698	0,670	0,656	0,701	0,700	0,706	0,678	
0,130	0,053	0,697	0,693	0,698	0,669	0,655	0,700	0,698	0,705	0,677	
0,140	0,053	0,697	0,693	0,698	0,668	0,654	0,700	0,698	0,705	0,676	
0,150	0,052	0,697	0,693	0,698	0,668	0,654	0,699	0,697	0,704	0,674	
0,160	0,052	0,697	0,692	0,698	0,667	0,653	0,699	0,696	0,704	0,673	
0,170	0,051	0,697	0,693	0,698	0,666	0,652	0,699	0,695	0,703	0,672	
0,180	0,051	0,697	0,692	0,698	0,666	0,651	0,698	0,695	0,703	0,671	
0,190	0,050	0,697	0,692	0,697	0,665	0,651	0,698	0,694	0,702	0,670	
0,200	0,040	0,696	0,691	0,697	0,665	0,650	0,698	0,693	0,702	0,669	

augeur, débouchant librement dans l'air.

coteau ou le sommet de l'orifice.	COEFFICIENTS DE LA FORMULE D, la hauteur de niveau de l'eau dans le réservoir étant mesurée, soit de l'orifice, ou au point où le liquide est parfaitement stagnant, dans le cas des dispositifs de la planche 1,					COEFFICIENTS DE LA FORMULE D, la hauteur de niveau de l'eau dans le réservoir étant mesurée immédiatement au-dessus de l'orifice, dans le cas des dispositifs de la planche 1,					OBSERVATIONS
	Égare 1.	Égare 2.	Égare 3.	Égare 4.	Égare 5.	Égare 1.	Égare 2.	Égare 3.	Égare 4.	Égare 5.	
	0,21	0,646	0,696	0,691	0,697	0,664	0,649	0,696	0,694	0,703	
0,22	0,648	0,696	0,693	0,697	0,664	0,649	0,696	0,693	0,701	0,667	
0,23	0,649	0,696	0,691	0,697	0,663	0,648	0,696	0,690	0,701	0,666	
0,24	0,647	0,696	0,693	0,699	0,663	0,647	0,697	0,693	0,701	0,666	
0,26	0,647	0,696	0,691	0,697	0,663	0,647	0,697	0,693	0,700	0,664	
0,28	0,644	0,695	0,691	0,697	0,661	0,646	0,697	0,692	0,700	0,663	
0,30	0,645	0,695	0,694	0,697	0,660	0,646	0,697	0,692	0,699	0,663	
0,35	0,645	0,695	0,690	0,696	0,658	0,644	0,696	0,692	0,698	0,660	
0,40	0,645	0,695	0,690	0,696	0,656	0,643	0,696	0,692	0,696	0,657	
0,45	0,641	0,694	0,690	0,695	0,655	0,641	0,696	0,691	0,697	0,656	
0,50	0,640	0,694	0,690	0,695	0,653	0,640	0,696	0,691	0,697	0,655	
0,60	0,636	0,693	0,690	0,695	0,653	0,636	0,695	0,691	0,696	0,653	
0,70	0,637	0,693	0,694	0,694	0,653	0,637	0,694	0,691	0,696	0,652	
0,80	0,635	0,693	0,694	0,694	0,651	0,636	0,694	0,691	0,695	0,652	
0,90	0,634	0,693	0,695	0,694	0,651	0,634	0,693	0,691	0,695	0,651	
1,00	0,632	0,692	0,691	0,693	0,650	0,632	0,692	0,691	0,694	0,650	
1,10	0,629	0,691	0,691	0,693	0,650	0,629	0,691	0,691	0,694	0,648	
1,20	0,627	0,690	0,691	0,692	0,649	0,627	0,690	0,691	0,693	0,648	
1,30	0,625	0,689	0,690	0,691	0,648	0,625	0,689	0,690	0,692	0,647	
1,40	0,623	0,688	0,690	0,691	0,647	0,623	0,687	0,690	0,691	0,646	
1,50	0,620	0,687	0,689	0,690	0,645	0,620	0,686	0,689	0,690	0,645	
1,60	0,616	0,686	0,688	0,689	0,644	0,618	0,686	0,688	0,690	0,644	
1,70	0,617	0,686	0,687	0,688	0,643	0,617	0,685	0,687	0,688	0,643	
1,80	0,613	0,684	0,687	0,687	0,642	0,616	0,684	0,687	0,687	0,642	
1,90	0,614	0,684	0,684	0,686	0,640	0,614	0,684	0,686	0,687	0,641	
2,00	0,613	0,683	0,685	0,686	0,640	0,613	0,683	0,686	0,686	0,640	
3,00	0,606	0,680	0,681	0,681	0,635	0,606	0,679	0,681	0,683	0,634	

Orifice de 0<sup>m</sup>,01 de hauteur et 0<sup>m</sup>,20 d

CHARGE sur le sommet de l'orifice.	COEFFICIENTS DE LA FORMULE D, la hauteur de niveau de l'eau dans le réservoir étant mesurée, le bas de l'orifice, au point où le liquide est parfaitement stagnant, dans le cas des dispositions de la planche 1.															
	Figure 1.	Figure 2.	Figure 3.	Figure 4.	Figure 5.	Figure 6.	Figure 7.	Figure 8.	Figure 9.	Figure 10.	Figure 11.	Figure 12.	Figure 13.	Figure 14.	Figure 1.	Figure 2.
0,005	0,705	0,712	0,713	-	-	-	0,707	0,763	0,741	-	0,719	-	-	0,841	0,742	0,742
0,010	0,702	0,707	0,707	0,710	0,758	0,758	0,704	0,758	0,730	0,751	0,713	-	-	0,786	0,719	0,719
0,015	0,698	0,702	0,702	0,702	0,750	0,745	0,700	0,745	0,721	0,745	0,705	0,727	0,747	0,735	0,750	0,750
0,020	0,695	0,698	0,698	0,750	0,745	0,756	0,698	0,739	0,715	0,738	0,704	0,726	0,743	0,730	0,750	0,750
0,025	0,692	0,695	0,695	0,751	0,750	0,751	0,695	0,735	0,710	0,733	0,700	0,721	0,750	0,711	0,695	0,695
0,030	0,690	0,692	0,692	0,747	0,754	0,757	0,693	0,751	0,706	0,729	0,697	0,716	0,738	0,705	0,692	0,692
0,035	0,686	0,690	0,689	0,744	0,751	0,756	0,691	0,758	0,709	0,730	0,694	0,716	0,738	0,700	0,689	0,689
0,040	0,683	0,687	0,687	0,741	0,750	0,752	0,689	0,755	0,690	0,723	0,691	0,714	0,733	0,695	0,685	0,685
0,045	0,682	0,685	0,685	0,758	0,757	0,751	0,687	0,753	0,697	0,721	0,689	0,713	0,751	0,692	0,681	0,681
0,050	0,680	0,683	0,683	0,750	0,755	0,750	0,686	0,750	0,695	0,710	0,687	0,711	0,750	0,689	0,680	0,680
0,055	0,678	0,681	0,681	0,753	0,753	0,710	0,685	0,718	0,698	0,718	0,685	0,710	0,727	0,686	0,677	0,677
0,060	0,677	0,676	0,679	0,732	0,722	0,719	0,683	0,716	0,691	0,718	0,683	0,708	0,706	0,683	0,675	0,675
0,065	0,675	0,678	0,678	0,750	0,720	0,717	0,682	0,714	0,690	0,715	0,681	0,707	0,724	0,680	0,673	0,673
0,070	0,673	0,676	0,676	-0,725	0,710	0,710	0,681	0,713	0,686	0,714	0,680	0,706	0,723	0,678	0,672	0,672
0,075	0,671	0,675	0,674	0,736	0,718	0,716	0,676	0,710	0,680	0,712	0,677	0,704	0,721	0,674	0,667	0,667
0,080	0,669	0,673	0,672	0,723	0,710	0,714	0,677	0,707	0,684	0,711	0,675	0,703	0,710	0,671	0,665	0,665
0,100	0,667	0,670	0,678	0,722	0,710	0,713	0,675	0,704	0,683	0,710	0,673	0,701	0,717	0,669	0,664	0,664
0,110	0,665	0,668	0,668	0,700	0,714	0,718	0,673	0,702	0,682	0,709	0,671	0,700	0,718	0,665	0,663	0,663
0,120	0,663	0,667	0,667	0,719	0,713	0,711	0,672	0,700	0,681	0,706	0,670	0,699	0,714	0,664	0,662	0,662
0,130	0,662	0,665	0,666	0,717	0,715	0,711	0,676	0,694	0,690	0,707	0,668	0,698	0,712	0,663	0,661	0,661
0,140	0,661	0,664	0,665	0,710	0,719	0,710	0,669	0,698	0,679	-0,707	0,667	0,697	0,711	0,662	0,659	0,659
0,150	0,660	0,663	0,664	0,715	0,711	0,710	0,667	0,694	0,678	0,706	0,666	0,696	0,710	0,661	0,659	0,659
0,160	0,659	0,662	0,663	0,715	0,711	0,709	0,666	0,692	0,678	0,705	0,665	0,695	0,709	0,660	0,657	0,657
0,170	0,658	0,662	0,663	0,714	0,710	0,708	0,665	0,691	0,677	0,705	0,664	0,694	0,707	0,659	0,657	0,657
0,180	0,657	0,661	0,662	0,713	0,710	0,708	0,663	0,689	0,676	0,704	0,663	0,693	0,706	0,658	0,655	0,655
0,190	0,656	0,661	0,661	0,713	0,709	0,708	0,662	0,688	0,670	0,704	0,663	0,693	0,705	0,657	0,655	0,655
0,200	0,655	0,659	0,661	0,712	0,709	0,707	0,661	0,687	0,670	0,703	0,662	0,692	0,704	0,656	0,654	0,654

largeur, débouchant librement dans l'air.

COEFFICIENTS DE LA FORMULE D.														OBSERVATIONS.
à l'écoulement de l'eau dans le réservoir étant mesuré immédiatement au-dessus de l'orifice, dans le cas des dispositifs de la planche 1.														
Figure 3.	Figure 4.	Figure 5.	Figure 6.	Figure 8.	Figure 9.	Figure 10.	Figure 11.	Figure 12.	Figure 13.	Figure 14.				
0,765	0,915	0,900	1,001	0,731	0,830	0,899	0,998	0,702	0,902	0,982				<p>Les deux traits horizontaux placés dans chaque colonne des coefficients indiquent les limites entre lesquelles sont comprises les expériences qui ont servi de base à la formation de ce tableau.</p> <p>En ce qui concerne le premier coefficient inscrit dans chacune des trois premières colonnes, voyez le note relative dans le volume d'observations de tableau n° XXV.</p> <p>On n'a pas pu, dans les trois dernières colonnes, les coefficients correspondant à la charge sixe mesurée immédiatement au-dessus de l'orifice, parce que, pour en déterminer la valeur, il faudrait prolonger des courbes dont la direction est incertaine.</p>
0,710	0,851	0,806	0,902	0,718	0,781	0,791	0,857	0,720	0,875	0,875				
0,705	0,787	0,770	0,832	0,711	0,705	0,701	0,803	0,714	0,827	0,811				
0,700	0,773	0,764	0,792	0,705	0,757	0,743	0,778	0,707	0,801	0,778				
0,695	0,765	0,756	0,768	0,701	0,736	0,734	0,702	0,701	0,784	0,760				
0,692	0,758	0,750	0,756	0,697	0,745	0,736	0,702	0,697	0,772	0,748				
0,688	0,753	0,743	0,748	0,694	0,740	0,730	0,744	0,694	0,763	0,740				
0,685	0,749	0,741	0,743	0,691	0,736	0,715	0,738	0,691	0,755	0,734				
0,682	0,745	0,738	0,739	0,689	0,732	0,710	0,734	0,686	0,740	0,729				
0,680	0,742	0,735	0,735	0,687	0,729	0,706	0,731	0,685	0,744	0,725				
0,677	0,739	0,733	0,733	0,685	0,727	0,703	0,728	0,683	0,739	0,723				
0,675	0,736	0,731	0,731	0,683	0,724	0,701	0,726	0,681	0,736	0,721				
0,671	0,734	0,729	0,729	0,681	0,722	0,698	0,724	0,680	0,731	0,719				
0,672	0,732	0,727	0,727	0,680	0,720	0,696	0,722	0,678	0,728	0,718				
0,669	0,729	0,725	0,725	0,677	0,718	0,693	0,719	0,675	0,722	0,715				
0,666	0,726	0,723	0,723	0,675	0,713	0,690	0,717	0,673	0,717	0,713				
0,664	0,724	0,721	0,721	0,673	0,710	0,688	0,715	0,671	0,713	0,711				
0,663	0,722	0,719	0,719	0,671	0,707	0,686	0,713	0,670	0,708	0,710				
0,662	0,720	0,718	0,718	0,670	0,704	0,685	0,712	0,668	0,706	0,709				
0,661	0,719	0,717	0,717	0,669	0,702	0,684	0,711	0,667	0,703	0,708				
0,660	0,718	0,716	0,716	0,668	0,700	0,683	0,710	0,666	0,700	0,707				
0,660	0,717	0,715	0,715	0,666	0,697	0,682	0,709	0,665	0,698	0,706				
0,659	0,716	0,714	0,714	0,665	0,695	0,681	0,708	0,664	0,697	0,705				
0,659	0,716	0,713	0,713	0,664	0,694	0,680	0,708	0,663	0,696	0,705				
0,658	0,714	0,712	0,712	0,663	0,692	0,679	0,707	0,662	0,694	0,704				
0,658	0,714	0,713	0,713	0,663	0,691	0,679	0,707	0,661	0,693	0,703				
0,658	0,713	0,711	0,711	0,661	0,689	0,678	0,706	0,661	0,692	0,703				

Orifice de 0<sup>m</sup>,01 de hauteur et 0<sup>m</sup>,20 d

CRANES sur le sommet de l'orifice	COEFFICIENTS DE LA FORMULE D, la hauteur du niveau de l'eau dans le réservoir étant mesurée, loin de l'orifice, en un point où le liquide est parfaitement stagnant, dans le cas des dispositifs de la planche 1,															
	figure 1.	figure 2.	figure 3.	figure 4.	figure 5.	figure 6.	figure 7.	figure 8.	figure 9.	figure 10.	figure 11.	figure 12.	figure 13.	figure 14.	figure 1.	figure 2.
0,21	0,654	0,659	0,660	0,712	0,709	0,707	0,661	0,685	0,675	0,703	0,669	0,692	0,703	0,655	0,637	
0,22	0,653	0,658	0,660	0,711	0,705	0,707	0,660	0,685	0,674	0,703	0,661	0,691	0,703	0,654	0,637	
0,23	0,652	0,656	0,660	0,711	0,706	0,706	0,660	0,685	0,676	0,703	0,660	0,691	0,702	0,653	0,637	
0,24	0,652	0,657	0,659	0,710	0,708	0,706	0,659	0,682	0,674	0,702	0,660	0,690	0,701	0,653	0,639	
0,26	0,651	0,656	0,658	0,710	0,707	0,705	0,658	0,681	0,673	0,702	0,659	0,689	0,700	0,651	0,639	
0,28	0,651	0,655	0,658	0,709	0,705	0,705	0,657	0,679	0,672	0,701	0,658	0,688	0,698	0,650	0,639	
0,30	0,650	0,654	0,657	0,709	0,705	0,704	0,656	0,678	0,671	0,700	0,658	0,687	0,697	0,650	0,639	
0,32	0,648	0,651	0,655	0,707	0,704	0,703	0,654	0,675	0,670	0,699	0,656	0,685	0,695	0,648	0,639	
0,40	0,646	0,649	0,654	0,705	0,703	0,702	0,652	0,672	0,668	0,698	0,655	0,683	0,694	0,646	0,639	
0,45	0,644	0,648	0,653	0,703	0,702	0,701	0,651	0,670	0,667	0,696	0,653	0,682	0,693	0,644	0,639	
0,50	0,643	0,646	0,650	0,704	0,701	0,701	0,650	0,669	0,666	0,697	0,652	0,681	0,693	0,643	0,639	
0,60	0,641	0,643	0,646	0,703	0,701	0,700	0,647	0,667	0,663	0,697	0,650	0,680	0,693	0,641	0,639	
0,70	0,638	0,641	0,644	0,702	0,701	0,700	0,644	0,666	0,663	0,696	0,647	0,680	0,692	0,638	0,639	
0,80	0,635	0,638	0,641	0,701	0,701	0,700	0,640	0,663	0,662	0,696	0,646	0,680	0,691	0,635	0,639	
0,90	0,632	0,635	0,638	0,701	0,701	0,701	0,637	0,661	0,660	0,696	0,642	0,680	0,690	0,632	0,639	
1,00	0,629	0,632	0,635	0,701	0,701	0,701	0,634	0,660	0,658	0,696	0,640	0,680	0,690	0,630	0,639	
1,10	0,626	0,629	0,632	0,700	0,701	0,701	0,632	0,658	0,656	0,695	0,637	0,679	0,689	0,628	0,639	
1,20	0,623	0,626	0,629	0,700	0,700	0,701	0,630	0,656	0,655	0,695	0,635	0,679	0,691	0,625	0,639	
1,30	0,621	0,623	0,626	0,699	0,700	0,701	0,628	0,654	0,653	0,695	0,631	0,678	0,690	0,621	0,639	
1,40	0,618	0,621	0,624	0,698	0,699	0,700	0,627	0,652	0,652	0,695	0,629	0,677	0,690	0,619	0,639	
1,50	0,617	0,619	0,618	0,697	0,698	0,700	0,625	0,650	0,651	0,694	0,627	0,677	0,690	0,617	0,639	
1,60	0,616	0,617	0,617	0,696	0,697	0,700	0,624	0,648	0,649	0,694	0,626	0,676	0,690	0,616	0,639	
1,70	0,615	0,616	0,616	0,695	0,696	0,699	0,623	0,646	0,646	0,693	0,625	0,675	0,690	0,615	0,639	
1,80	0,614	0,615	0,615	0,694	0,695	0,699	0,622	0,645	0,645	0,693	0,624	0,674	0,690	0,614	0,639	
1,90	0,613	0,615	0,615	0,694	0,694	0,698	0,621	0,642	0,642	0,692	0,623	0,674	0,689	0,613	0,639	
2,00	0,613	0,613	0,613	0,693	0,693	0,697	0,620	0,641	0,641	0,692	0,622	0,673	0,688	0,613	0,639	
3,00	0,609	0,609	0,609	0,689	0,690	0,695	0,615	0,638	0,638	0,689	0,613	0,670	0,684	0,609	0,639	

largeur, débouchant librement dans l'air.

COEFFICIENTS DE LA FORMULE D.												OBSERVATIONS
hauteur du niveau de l'eau dans le réservoir étant maintenue immédiatement au-dessus de l'orifice, dans le cas des dispositifs de la planche 1.												
Égare 3.	Égare 4.	Égare 5.	Égare 6.	Égare 8.	Égare 9.	Égare 10.	Égare 11.	Égare 12.	Égare 13.	Égare 14.		
0,668	0,713	0,711	0,711	0,660	0,658	0,678	0,700	0,660	0,661	0,702		
0,658	0,712	0,710	0,710	0,659	0,657	0,677	0,705	0,659	0,659	0,702		
0,657	0,712	0,710	0,710	0,659	0,656	0,678	0,705	0,659	0,659	0,701		
0,657	0,711	0,709	0,709	0,658	0,655	0,676	0,704	0,659	0,659	0,701		
0,657	0,710	0,708	0,708	0,657	0,653	0,675	0,703	0,658	0,659	0,700		
0,656	0,710	0,707	0,707	0,656	0,651	0,674	0,703	0,657	0,656	0,699		
0,656	0,709	0,707	0,707	0,655	0,679	0,673	0,702	0,656	0,656	0,698		
0,655	0,708	0,705	0,705	0,654	0,679	0,671	0,701	0,655	0,657	0,696		
0,654	0,706	0,705	0,704	0,652	0,676	0,669	0,700	0,655	0,657	0,695		
0,653	0,704	0,704	0,703	0,650	0,672	0,668	0,699	0,652	0,657	0,694		
0,651	0,705	0,704	0,702	0,649	0,670	0,667	0,698	0,651	0,657	0,694		
0,647	0,703	0,703	0,702	0,645	0,666	0,665	0,697	0,650	0,656	0,694		
0,645	0,702	0,703	0,702	0,642	0,666	0,663	0,697	0,647	0,655	0,694		
0,638	0,701	0,703	0,704	0,638	0,665	0,661	0,697	0,645	0,653	0,695		
0,633	0,701	0,702	0,701	0,636	0,664	0,660	0,696	0,642	0,652	0,695		
0,630	0,701	0,702	0,701	0,631	0,663	0,658	0,696	0,639	0,650	0,695		
0,627	0,700	0,701	0,701	0,629	0,661	0,657	0,695	0,636	0,650	0,695		
0,625	0,700	0,700	0,701	0,627	0,660	0,655	0,695	0,634	0,679	0,694		
0,623	0,699	0,699	0,701	0,626	0,659	0,654	0,696	0,631	0,678	0,693		
0,622	0,699	0,698	0,701	0,624	0,658	0,652	0,696	0,629	0,677	0,692		
0,620	0,698	0,697	0,702	0,623	0,657	0,651	0,695	0,626	0,676	0,691		
0,619	0,697	0,696	0,702	0,622	0,655	0,650	0,695	0,624	0,676	0,690		
0,616	0,695	0,696	0,703	0,621	0,654	0,649	0,694	0,623	0,675	0,689		
0,616	0,694	0,695	0,703	0,620	0,653	0,648	0,694	0,621	0,674	0,689		
0,615	0,693	0,695	0,704	0,619	0,652	0,647	0,693	0,620	0,674	0,688		
0,614	0,693	0,694	0,704	0,618	0,651	0,647	0,693	0,619	0,673	0,688		
0,606	0,688	0,690	0,702	0,613	0,647	0,643	0,689	0,611	0,669	0,683		

Orifice de 0<sup>m</sup>,005 de hauteur et 0<sup>m</sup>,20 d

écartes sur le sommet de l'orifice.	COEFFICIENTS DE LA FORMULE D, la hauteur du niveau de l'eau dans le réservoir étant mesurée, loin de l'orifice, en un point où le liquide est parfaitement stagnant, dans le cas des dispositifs de la planche 1.				COEFFICIENTS DE LA FORMULE D, la hauteur du niveau de l'eau dans le réservoir étant mesurée immédiatement au-dessus de l'orifice, dans le cas des dispositifs de la planche 1.				OBSERVATIONS
	figure 8.	figure 5.	figure 6.	figure 9.	figure 4.	figure 5.	figure 6.	figure 9.	
	0,005	0,885	0,797	0,789	0,885	1,000	0,900	0,950	
0,010	0,851	0,789	0,781	0,853	0,921	0,853	0,917	0,912	
0,015	0,824	0,783	0,780	0,828	0,865	0,827	0,861	0,858	
0,020	0,802	0,779	0,777	0,806	0,829	0,813	0,835	0,836	
0,025	0,790	0,775	0,775	0,796	0,806	0,802	0,818	0,825	
0,030	0,783	0,772	0,772	0,791	0,797	0,794	0,807	0,810	
0,035	0,777	0,769	0,770	0,787	0,789	0,788	0,799	0,809	
0,040	0,773	0,767	0,769	0,783	0,784	0,783	0,799	0,803	
0,045	0,771	0,764	0,767	0,780	0,779	0,779	0,787	0,798	
0,050	0,768	0,762	0,765	0,777	0,778	0,775	0,783	0,794	
0,055	0,766	0,761	0,764	0,775	0,775	0,772	0,779	0,790	
0,060	0,764	0,759	0,762	0,772	0,770	0,770	0,775	0,786	
0,065	0,763	0,758	0,760	0,770	0,768	0,767	0,773	0,782	
0,070	0,761	0,756	0,759	0,768	0,766	0,765	0,770	0,779	
0,075	0,759	0,753	0,756	0,766	0,763	0,762	0,765	0,773	
0,080	0,757	0,752	0,754	0,764	0,761	0,759	0,762	0,767	
0,100	0,755	0,750	0,751	0,762	0,758	0,756	0,758	0,762	
0,110	0,753	0,748	0,749	0,760	0,756	0,753	0,755	0,759	
0,120	0,752	0,748	0,747	0,759	0,755	0,751	0,753	0,755	
0,130	0,751	0,745	0,744	0,747	0,753	0,748	0,750	0,752	
0,140	0,750	0,744	0,743	0,744	0,752	0,746	0,748	0,749	
0,150	0,749	0,743	0,741	0,742	0,750	0,745	0,746	0,748	
0,160	0,748	0,741	0,738	0,739	0,749	0,743	0,744	0,743	
0,170	0,747	0,740	0,738	0,737	0,748	0,742	0,742	0,741	
0,180	0,746	0,739	0,737	0,735	0,747	0,741	0,741	0,739	
0,190	0,745	0,738	0,735	0,734	0,746	0,740	0,739	0,737	
0,200	0,744	0,737	0,734	0,732	0,745	0,739	0,738	0,735	

Les deux traits horizontaux placés dans chaque colonne de coefficients indiquent les limites entre lesquelles ont compris les expériences qui ont servi de base à la formation de la table.



argour, débouchant librement dans l'air.

GRANDES ET le sommet de Forées.	COEFFICIENTS DE LA FORMULE D, la hauteur de niveau de l'eau dans le réservoir étant mesurée, soit de l'orifice, ou en un point où le liquide est parfaitement stagnant, dans le cas des dispositifs de la planche 1,				COEFFICIENTS DE LA FORMULE D, la hauteur de niveau de l'eau dans le réservoir étant mesurée immédiatement au-dessus de l'orifice, dans le cas des dispositifs de la planche 1,				OBSERVATIONS.
	figure 4.	figure 5.	figure 6.	figure 9.	figure 4.	figure 5.	figure 6.	figure 9.	
	0,21	0,744	0,736	0,738	0,730	0,745	0,738	0,737	
0,22	0,743	0,736	0,739	0,729	0,744	0,737	0,736	0,732	
0,23	0,742	0,735	0,731	0,728	0,743	0,736	0,733	0,729	
0,24	0,742	0,734	0,730	0,727	0,742	0,736	0,734	0,731	
0,26	0,741	0,733	0,729	0,726	0,741	0,734	0,732	0,729	
0,28	0,740	0,732	0,727	0,725	0,740	0,733	0,730	0,728	
0,30	0,739	0,731	0,726	0,724	0,739	0,732	0,729	0,727	
0,32	0,737	0,729	0,724	0,722	0,737	0,731	0,728	0,726	
0,34	0,736	0,728	0,723	0,720	0,736	0,729	0,726	0,723	
0,35	0,735	0,727	0,722	0,719	0,735	0,728	0,725	0,719	
0,36	0,734	0,726	0,721	0,717	0,734	0,727	0,723	0,717	
0,40	0,733	0,725	0,721	0,713	0,733	0,726	0,723	0,713	
0,76	0,733	0,725	0,721	0,710	0,733	0,725	0,720	0,709	
0,80	0,733	0,724	0,721	0,706	0,733	0,724	0,722	0,706	
0,90	0,732	0,724	0,721	0,705	0,732	0,724	0,722	0,705	
1,00	0,732	0,723	0,720	0,700	0,732	0,723	0,721	0,700	
1,10	0,731	0,723	0,720	0,698	0,731	0,723	0,720	0,698	
1,20	0,730	0,722	0,719	0,696	0,730	0,722	0,719	0,697	
1,30	0,730	0,722	0,718	0,695	0,729	0,722	0,719	0,696	
1,40	0,729	0,722	0,718	0,694	0,728	0,722	0,718	0,695	
1,50	0,727	0,722	0,716	0,693	0,727	0,721	0,718	0,694	
1,60	0,727	0,721	0,717	0,693	0,726	0,721	0,717	0,693	
1,70	0,726	0,721	0,717	0,692	0,726	0,721	0,717	0,692	
1,80	0,725	0,720	0,717	0,692	0,725	0,721	0,717	0,692	
1,90	0,725	0,720	0,717	0,691	0,725	0,721	0,717	0,691	
2,00	0,724	0,719	0,716	0,691	0,724	0,720	0,717	0,691	
3,00	0,721	0,717	0,713	0,687	0,722	0,719	0,716	0,688	

Orifices en mince paroi plane de diverses hauteurs et largeurs, débouchant

La charge est mesurée, loin des orifices, en centimètres.

hauteurs des orifices	COEFFICIENTS DE LA FORMULE D, pour les orifices					COEFFICIENTS DE LA FORMULE D', pour les orifices					OBSERVATIONS
	de 0 <sup>m</sup> ,60 de largeur et 0 <sup>m</sup> ,02 de hauteur.	de 0 <sup>m</sup> ,02 de largeur, la hauteur étant				de 0 <sup>m</sup> ,60 de largeur et 0 <sup>m</sup> ,02 de hauteur.	de 0 <sup>m</sup> ,02 de largeur, la hauteur étant				
		de 0 <sup>m</sup> ,60.	de 0 <sup>m</sup> ,30.	de 0 <sup>m</sup> ,05.	de 0 <sup>m</sup> ,02.		de 0 <sup>m</sup> ,60.	de 0 <sup>m</sup> ,30.	de 0 <sup>m</sup> ,05.	de 0 <sup>m</sup> ,02.	
0,010	0,634			0,583	0,660	0,631			0,667	0,667	Les deux traits horizontaux pleins dans chaque colonne des coefficients indiquent les limites entre lesquelles sont comprises les expériences qui ont servi de base à la formation de ces tables. En ce qui concerne le premier coefficient inscrit dans chaque colonne, voyez le note insérée dans la colonne d'observations du tableau n° XIV.
0,015	0,634		0,639	0,602	0,658	0,649		0,663	0,664	0,664	
0,020	0,643	0,605	0,538	0,559	0,658	0,646	0,638	0,661	0,661	0,661	
0,025	0,643	0,609	0,639	0,632	0,657	0,645	0,638	0,660	0,660	0,662	
0,030	0,642	0,611	0,610	0,651	0,657	0,644	0,638	0,659	0,660	0,660	
0,035	0,642	0,612	0,608	0,651	0,657	0,643	0,638	0,658	0,659	0,659	
0,040	0,642	0,614	0,611	0,651	0,656	0,643	0,638	0,658	0,659	0,659	
0,045	0,641	0,615	0,612	0,651	0,656	0,643	0,638	0,657	0,658	0,658	
0,050	0,641	0,616	0,613	0,651	0,656	0,642	0,638	0,657	0,657	0,656	
0,055	0,641	0,617	0,614	0,651	0,656	0,642	0,638	0,657	0,657	0,656	
0,060	0,641	0,617	0,614	0,651	0,655	0,642	0,638	0,656	0,656	0,657	
0,065	0,640	0,618	0,615	0,651	0,655	0,641	0,638	0,656	0,656	0,657	
0,070	0,640	0,619	0,615	0,651	0,655	0,641	0,637	0,656	0,656	0,657	
0,080	0,640	0,620	0,615	0,651	0,655	0,640	0,637	0,655	0,656	0,656	
0,090	0,639	0,621	0,615	0,650	0,654	0,639	0,637	0,655	0,655	0,654	
0,100	0,639	0,622	0,615	0,650	0,653	0,639	0,637	0,652	0,655	0,653	
0,110	0,638	0,623	0,616	0,650	0,653	0,638	0,637	0,652	0,653	0,653	
0,120	0,638	0,624	0,616	0,650	0,652	0,638	0,637	0,651	0,651	0,652	
0,130	0,638	0,624	0,616	0,650	0,652	0,638	0,637	0,651	0,651	0,652	
0,140	0,637	0,625	0,616	0,649	0,651	0,637	0,636	0,651	0,650	0,651	
0,150	0,637	0,625	0,616	0,649	0,651	0,637	0,636	0,650	0,649	0,651	
0,160	0,636	0,626	0,615	0,648	0,650	0,636	0,636	0,649	0,649	0,650	
0,170	0,636	0,626	0,615	0,648	0,650	0,636	0,636	0,649	0,649	0,650	
0,180	0,636	0,627	0,615	0,647	0,649	0,636	0,636	0,648	0,648	0,649	
0,190	0,636	0,627	0,614	0,647	0,648	0,636	0,636	0,647	0,647	0,648	
0,200	0,635	0,627	0,614	0,647	0,648	0,635	0,636	0,647	0,647	0,648	

librement dans l'air, dans le cas des dispositifs de la figure 1, planche 1.  
point où le liquide est parfaitement stagnant.

cote ou le sommet de l'orifice.	COEFFICIENTS DE LA FORMULE D, pour les orifices					COEFFICIENTS DE LA FORMULE D', pour les orifices					OBSERVATIONS.
	de 0 <sup>m</sup> ,00 de largeur ou 0 <sup>m</sup> ,02 de hauteur.	de 0 <sup>m</sup> ,02 de largeur, la hauteur étant				de 0 <sup>m</sup> ,00 de largeur ou 0 <sup>m</sup> ,02 de hauteur.	de 0 <sup>m</sup> ,02 de largeur, la hauteur étant				
		de 0 <sup>m</sup> ,00.	de 0 <sup>m</sup> ,20.	de 0 <sup>m</sup> ,05.	de 0 <sup>m</sup> ,02.		de 0 <sup>m</sup> ,00.	de 0 <sup>m</sup> ,20.	de 0 <sup>m</sup> ,05.	de 0 <sup>m</sup> ,02.	
0,21	0,625	0,627	0,644	0,647	0,648	0,635	0,606	0,617	0,617	0,616	
0,22	0,625	0,628	0,644	0,646	0,647	0,635	0,626	0,616	0,616	0,617	
0,23	0,634	0,628	0,644	0,646	0,647	0,634	0,630	0,616	0,616	0,617	
0,24	0,634	0,628	0,643	0,646	0,646	0,632	0,635	0,615	0,616	0,616	
0,25	0,634	0,628	0,642	0,645	0,645	0,631	0,635	0,611	0,615	0,615	
0,26	0,633	0,629	0,641	0,644	0,645	0,630	0,635	0,613	0,614	0,615	
0,30	0,633	0,629	0,641	0,643	0,644	0,633	0,635	0,613	0,613	0,614	
0,35	0,632	0,629	0,640	0,640	0,642	0,632	0,634	0,611	0,610	0,612	
0,40	0,631	0,629	0,639	0,639	0,640	0,631	0,634	0,610	0,609	0,610	
0,45	0,631	0,629	0,636	0,636	0,639	0,631	0,633	0,608	0,608	0,609	
0,50	0,630	0,629	0,636	0,636	0,639	0,630	0,633	0,606	0,606	0,606	
0,60	0,629	0,628	0,637	0,636	0,637	0,629	0,632	0,607	0,606	0,607	
0,70	0,628	0,628	0,635	0,635	0,636	0,628	0,631	0,606	0,605	0,606	
0,80	0,628	0,628	0,634	0,635	0,634	0,628	0,630	0,604	0,605	0,604	
0,90	0,627	0,627	0,633	0,633	0,633	0,627	0,629	0,603	0,603	0,603	
1,00	0,626	0,627	0,632	0,632	0,632	0,626	0,628	0,602	0,602	0,602	
1,10	0,626	0,626	0,631	0,631	0,630	0,626	0,627	0,601	0,601	0,600	
1,20	0,625	0,625	0,629	0,629	0,628	0,625	0,627	0,600	0,600	0,600	
1,30	0,624	0,625	0,626	0,626	0,625	0,624	0,626	0,600	0,600	0,600	
1,40	0,624	0,624	0,624	0,625	0,625	0,624	0,625	0,600	0,601	0,623	
1,50	0,623	0,624	0,624	0,624	0,624	0,623	0,624	0,601	0,601	0,622	
1,60	0,623	0,624	0,619	0,619	0,619	0,623	0,624	0,610	0,610	0,610	
1,70	0,622	0,623	0,618	0,617	0,617	0,622	0,623	0,610	0,617	0,617	
1,80	0,621	0,623	0,616	0,616	0,616	0,621	0,622	0,610	0,616	0,616	
1,90	0,621	0,622	0,615	0,615	0,615	0,621	0,622	0,610	0,615	0,615	
2,00	0,620	0,621	0,613	0,613	0,613	0,620	0,621	0,610	0,615	0,613	
3,00	0,615	0,616	0,608	0,608	0,608	0,615	0,616	0,606	0,608	0,608	

Orifices de 0<sup>m</sup>,60 de largeur et de diverses hauteurs, pratiqués dans

hauteurs en le sommet des orifices.	COEFFICIENTS DE LA FORMULE D <sub>1</sub> la hauteur de creux de l'eau dans le réservoir étant toujours la même, ou un point ou le liquide est parfaitement stagnant, pour des hauteurs d'orifices																
	de 0 <sup>m</sup> ,10, dans le cas des dispositifs de la planche 3.			de 0 <sup>m</sup> ,20, dans le cas des dispositifs de la planche 3.				de 0 <sup>m</sup> ,65, dans le cas des dispositifs de la planche 3.			de 0 <sup>m</sup> ,85, dans le cas des dispositifs de la planche 3.			de 0 <sup>m</sup> ,10, dans le cas des dispositifs de la planche 3.			
	figure B.	figure C.	figure D.	figure A.	figure B.	figure C.	figure D.	figure B.	figure C.	figure D.	figure B.	figure C.	figure D.	figure B.	figure C.	figure D.	
	metres.																
0,000	.	.	.	.	.	.	.	.	.	.	.	.	0,706	.	0,572	0,620	0,625
0,005	.	.	.	.	.	.	.	.	.	.	.	.	0,711	.	0,571	0,622	0,625
0,010	.	.	.	.	.	.	.	0,707	0,621	0,627	0,718	0,655	0,710	0,657	0,570	0,621	0,627
0,015	.	.	.	.	.	.	.	0,706	0,622	0,626	0,717	0,659	0,720	0,661	0,571	0,622	0,628
0,020	.	.	.	.	.	.	.	0,705	0,621	0,625	0,715	0,663	0,725	0,664	0,580	0,627	0,630
0,025	.	.	.	0,592	.	.	.	0,704	0,621	0,627	0,714	0,666	0,725	0,667	0,582	0,629	0,632
0,030	.	.	.	0,593	0,604	0,636	0,636	0,703	0,627	0,640	0,713	0,669	0,731	0,670	0,583	0,630	0,633
0,035	.	.	.	0,594	0,605	0,638	0,639	0,702	0,640	0,643	0,712	0,671	0,734	0,673	0,585	0,631	0,635
0,040	.	.	.	0,595	0,607	0,640	0,641	0,701	0,643	0,646	0,712	0,674	0,737	0,675	0,586	0,633	0,636
0,045	0,577	0,620	0,623	0,596	0,609	0,643	0,645	0,700	0,646	0,651	0,710	0,678	0,740	0,676	0,587	0,634	0,637
0,050	0,578	0,622	0,624	0,597	0,610	0,644	0,645	0,700	0,646	0,651	0,710	0,678	0,740	0,676	0,588	0,635	0,638
0,055	0,580	0,623	0,625	0,598	0,611	0,646	0,647	0,699	0,650	0,654	0,709	0,680	0,740	0,682	0,589	0,636	0,640
0,060	0,581	0,624	0,627	0,599	0,613	0,648	0,648	0,699	0,652	0,656	0,709	0,682	0,740	0,683	0,590	0,637	0,642
0,065	0,582	0,625	0,628	0,599	0,614	0,649	0,650	0,699	0,655	0,658	0,708	0,684	0,740	0,686	0,592	0,638	0,644
0,070	0,583	0,627	0,629	0,600	0,615	0,650	0,652	0,697	0,657	0,661	0,708	0,686	0,751	0,687	0,593	0,639	0,646
0,075	0,585	0,629	0,631	0,601	0,617	0,653	0,654	0,696	0,661	0,665	0,708	0,688	0,755	0,690	0,594	0,641	0,648
0,080	0,587	0,631	0,633	0,601	0,619	0,655	0,656	0,695	0,665	0,669	0,705	0,691	0,759	0,693	0,596	0,643	0,650
0,085	0,588	0,633	0,635	0,602	0,621	0,657	0,658	0,694	0,669	0,673	0,704	0,694	0,763	0,695	0,598	0,644	0,652
0,090	0,590	0,635	0,637	0,602	0,622	0,659	0,660	0,693	0,672	0,676	0,703	0,696	0,767	0,697	0,599	0,645	0,654
0,095	0,592	0,636	0,639	0,603	0,624	0,660	0,662	0,692	0,675	0,679	0,703	0,697	0,770	0,699	0,600	0,647	0,656
0,100	0,593	0,637	0,640	0,603	0,625	0,663	0,663	0,691	0,678	0,681	0,702	0,699	0,773	0,701	0,602	0,648	0,658
0,105	0,594	0,639	0,642	0,604	0,627	0,665	0,666	0,690	0,680	0,684	0,701	0,700	0,776	0,702	0,603	0,649	0,660
0,110	0,595	0,640	0,643	0,604	0,628	0,666	0,666	0,689	0,683	0,687	0,700	0,701	0,779	0,703	0,604	0,650	0,662
0,115	0,597	0,641	0,644	0,604	0,629	0,665	0,667	0,688	0,684	0,687	0,699	0,702	0,782	0,704	0,605	0,651	0,664
0,120	0,598	0,642	0,645	0,605	0,630	0,666	0,668	0,688	0,685	0,688	0,699	0,703	0,785	0,705	0,606	0,652	0,666
0,125	0,599	0,643	0,646	0,605	0,631	0,667	0,669	0,687	0,686	0,689	0,698	0,704	0,788	0,706	0,607	0,653	0,668
0,130	0,600	0,643	0,647	0,605	0,631	0,668	0,670	0,686	0,687	0,690	0,697	0,704	0,790	0,707	0,608	0,654	0,670
0,135	0,601	0,644	0,648	0,605	0,632	0,669	0,671	0,686	0,688	0,691	0,697	0,705	0,793	0,707	0,609	0,655	0,672

une paroi de 0<sup>m</sup>,05 d'épaisseur et débouchant librement dans l'air.

COEFFICIENTS DE LA FORMULE D.										OBSERVATIONS.
la hauteur de niveau de l'eau dans le réservoir étant mesurée immédiatement en-dessous de l'orifice, pour des hauteurs d'écoulement.										
de 0 <sup>m</sup> ,50, dans le cas des dispositifs de la planche 3.				de 0 <sup>m</sup> ,05, dans le cas des dispositifs de la planche 3.			de 0 <sup>m</sup> ,03, dans le cas des dispositifs de la planche 3.			
Figure A.	Figure B.	Figure C.	Figure D.	Figure B.	Figure C.	Figure D.	Figure B.	Figure C.	Figure D.	
0,586	0,613	0,643	0,640	0,713	0,690	0,610	0,715	0,665	0,739	0,608
0,587	0,615	0,645	0,645	0,711	0,690	0,623	0,742	0,666	0,731	0,671
0,589	0,616	0,646	0,649	0,709	0,683	0,620	0,739	0,670	0,739	0,678
0,590	0,618	0,648	0,651	0,707	0,687	0,630	0,737	0,672	0,733	0,675
0,591	0,610	0,650	0,653	0,705	0,630	0,633	0,734	0,675	0,737	0,677
0,592	0,621	0,661	0,654	0,703	0,633	0,636	0,733	0,678	0,740	0,679
0,592	0,622	0,662	0,655	0,702	0,636	0,639	0,730	0,676	0,744	0,681
0,593	0,633	0,673	0,657	0,701	0,638	0,641	0,728	0,680	0,747	0,682
0,594	0,634	0,674	0,658	0,700	0,641	0,643	0,726	0,681	0,750	0,683
0,595	0,625	0,666	0,659	0,699	0,643	0,646	0,725	0,683	0,753	0,685
0,595	0,626	0,667	0,660	0,698	0,643	0,649	0,723	0,684	0,755	0,689
0,596	0,627	0,668	0,661	0,697	0,647	0,650	0,722	0,685	0,757	0,697
0,596	0,628	0,669	0,662	0,696	0,649	0,652	0,720	0,686	0,760	0,693
0,597	0,629	0,670	0,663	0,695	0,651	0,654	0,719	0,687	0,762	0,699
0,597	0,630	0,671	0,664	0,694	0,651	0,656	0,717	0,688	0,766	0,691
0,598	0,631	0,672	0,665	0,693	0,657	0,660	0,715	0,691	0,767	0,693
0,599	0,633	0,674	0,667	0,692	0,661	0,663	0,713	0,692	0,770	0,696
0,600	0,634	0,675	0,668	0,691	0,664	0,666	0,710	0,694	0,773	0,696
0,600	0,635	0,676	0,669	0,690	0,667	0,669	0,708	0,695	0,775	0,697
0,601	0,636	0,677	0,670	0,689	0,670	0,672	0,706	0,696	0,777	0,698
0,601	0,637	0,678	0,671	0,688	0,673	0,675	0,704	0,696	0,779	0,700
0,602	0,638	0,679	0,672	0,687	0,676	0,678	0,702	0,699	0,780	0,701
0,602	0,638	0,679	0,673	0,687	0,676	0,680	0,701	0,700	0,782	0,702
0,602	0,639	0,670	0,673	0,686	0,680	0,682	0,700	0,701	0,783	0,703
0,603	0,639	0,671	0,674	0,686	0,682	0,684	0,699	0,702	0,784	0,704
0,603	0,640	0,671	0,674	0,685	0,684	0,686	0,698	0,702	0,784	0,704
0,603	0,640	0,672	0,675	0,685	0,685	0,687	0,697	0,703	0,785	0,705
0,603	0,640	0,672	0,675	0,685	0,687	0,688	0,696	0,704	0,785	0,706

Les deux traits horizontaux placés dans chaque colonne des coefficients indiquent les limites entre lesquelles sont comprises les expériences qui ont servi de base à la formation de ce tableau.

En ce qui concerne le premier coefficient inscrit dans chacune des quatre premières colonnes, voyez la note insérée dans le volume d'observations de suite au n° 133.

A l'écoulement de 0<sup>m</sup>,05 de hauteur, pour les charges en-dessous de 0<sup>m</sup>,50, le dispositif de la figure C, compris dans des colonnes de coefficients différents, selon que le veau fluide, au moment de l'écoulement, est entièrement détaché de la face latérale de la vanne qui limite le secteur de l'ouverture, ou au contraire qu'elle est attachée à cette face. Les coefficients de la première colonne sont applicables au premier cas, et ceux de la deuxième le sont au second (voyez le n° 217 de suite).

Orifices de 0<sup>m</sup>,60 de largeur et de diverses hauteurs, pratiqués dans

cotes sur le sommet des orifices.	COEFFICIENTS DE LA FORMULE D. la hauteur de mers de l'eau dans le réservoir étant au-dessus de l'orifice, ou au point où le liquide est parfaitement stagnant, pour des hauteurs d'orifices												de 0 <sup>m</sup> ,30 dans le cas des dispositifs de la planche 3.				
	de 0 <sup>m</sup> ,40 dans le cas des dispositifs de la planche 3.			de 0 <sup>m</sup> ,20 dans le cas des dispositifs de la planche 3.			de 0 <sup>m</sup> ,00 dans le cas des dispositifs de la planche 3.			de 0 <sup>m</sup> ,05 dans le cas des dispositifs de la planche 3.			de 0 <sup>m</sup> ,30 dans le cas des dispositifs de la planche 3.				
	figure B.	figure C.	figure D.	figure A.	figure B.	figure C.	figure D.	figure B.	figure C.	figure D.	figure B.	figure C.	figure D.	figure B.	figure C.	figure D.	
0,21	0,602	0,645	0,610	0,605	0,633	0,670	0,671	0,655	0,659	0,692	0,696	0,705	0,707	0,708	0,610	0,654	0,637
0,22	0,603	0,646	0,610	0,605	0,634	0,671	0,672	0,663	0,660	0,693	0,695	0,706	0,707	0,708	0,611	0,654	0,638
0,23	0,604	0,646	0,611	0,605	0,634	0,671	0,673	0,664	0,660	0,693	0,695	0,707	0,707	0,709	0,611	0,655	0,638
0,24	0,604	0,647	0,611	0,605	0,635	0,672	0,674	0,663	0,661	0,693	0,694	0,707	0,707	0,709	0,612	0,655	0,639
0,26	0,606	0,648	0,612	0,606	0,636	0,673	0,675	0,663	0,661	0,694	0,695	0,707	0,708	0,710	0,614	0,656	0,641
0,28	0,607	0,648	0,613	0,606	0,636	0,674	0,676	0,663	0,662	0,695	0,695	0,708	0,710	0,710	0,613	0,656	0,641
0,30	0,609	0,649	0,614	0,607	0,637	0,675	0,677	0,661	0,661	0,695	0,695	0,708	0,710	0,710	0,613	0,656	0,641
0,35	0,611	0,650	0,614	0,607	0,638	0,676	0,678	0,670	0,662	0,696	0,696	0,709	0,710	0,711	0,613	0,656	0,641
0,40	0,613	0,650	0,615	0,607	0,638	0,677	0,679	0,670	0,663	0,696	0,696	0,709	0,711	0,711	0,613	0,656	0,641
0,45	0,615	0,649	0,615	0,607	0,638	0,676	0,679	0,671	0,663	0,696	0,696	0,709	0,711	0,711	0,613	0,655	0,641
0,50	0,616	0,648	0,615	0,607	0,638	0,676	0,678	0,671	0,663	0,696	0,697	0,709	0,711	0,711	0,613	0,655	0,641
0,60	0,617	0,645	0,616	0,607	0,638	0,675	0,677	0,670	0,662	0,696	0,695	0,708	0,710	0,710	0,613	0,655	0,641
0,70	0,619	0,643	0,616	0,607	0,637	0,675	0,677	0,670	0,662	0,695	0,695	0,708	0,709	0,709	0,613	0,654	0,641
0,80	0,621	0,643	0,616	0,607	0,637	0,674	0,676	0,670	0,662	0,695	0,695	0,708	0,709	0,709	0,613	0,654	0,641
0,90	0,621	0,643	0,616	0,607	0,637	0,674	0,676	0,670	0,662	0,695	0,695	0,708	0,709	0,709	0,613	0,654	0,641
1,00	0,620	0,643	0,616	0,606	0,637	0,674	0,676	0,670	0,662	0,695	0,695	0,708	0,709	0,709	0,613	0,654	0,641
1,10	0,620	0,643	0,616	0,606	0,637	0,674	0,676	0,670	0,662	0,695	0,695	0,708	0,709	0,709	0,613	0,654	0,641
1,20	0,620	0,643	0,616	0,606	0,637	0,674	0,676	0,670	0,662	0,695	0,695	0,708	0,709	0,709	0,613	0,654	0,641
1,30	0,620	0,643	0,616	0,606	0,637	0,674	0,676	0,670	0,662	0,695	0,695	0,708	0,709	0,709	0,613	0,654	0,641
1,40	0,620	0,643	0,616	0,606	0,637	0,674	0,676	0,670	0,662	0,695	0,695	0,708	0,709	0,709	0,613	0,654	0,641
1,50	0,620	0,643	0,616	0,606	0,637	0,674	0,676	0,670	0,662	0,695	0,695	0,708	0,709	0,709	0,613	0,654	0,641
1,60	0,620	0,643	0,616	0,606	0,637	0,674	0,676	0,670	0,662	0,695	0,695	0,708	0,709	0,709	0,613	0,654	0,641
1,70	0,620	0,643	0,616	0,606	0,637	0,674	0,676	0,670	0,662	0,695	0,695	0,708	0,709	0,709	0,613	0,654	0,641
1,80	0,620	0,643	0,616	0,606	0,637	0,674	0,676	0,670	0,662	0,695	0,695	0,708	0,709	0,709	0,613	0,654	0,641
1,90	0,620	0,643	0,616	0,606	0,637	0,674	0,676	0,670	0,662	0,695	0,695	0,708	0,709	0,709	0,613	0,654	0,641
2,00	0,620	0,643	0,616	0,606	0,637	0,674	0,676	0,670	0,662	0,695	0,695	0,708	0,709	0,709	0,613	0,654	0,641
3,00	0,620	0,643	0,616	0,606	0,637	0,674	0,676	0,670	0,662	0,695	0,695	0,708	0,709	0,709	0,613	0,654	0,641

une paroi de 0<sup>m</sup>,05 d'épaisseur et débouchant librement dans l'air.

COEFFICIENTS DE LA FORMULE D.										OBSERVATIONS.
la hauteur du niveau de l'eau dans le réservoir étant maintenue constamment égale à celle de l'orifice, pour des hauteurs d'orifices										
de 0 <sup>m</sup> ,20,			de 0 <sup>m</sup> ,05,			de 0 <sup>m</sup> ,05,				
dans le cas des dispositifs de la planche 3.			dans le cas des dispositifs de la planche 3.			dans le cas des dispositifs de la planche 3.				
Figure A.	Figure B.	Figure C.	Figure D.	Figure B.	Figure C.	Figure D.	Figure B.	Figure C.	Figure D.	
0,604	0,610	0,673	0,678	0,681	0,688	0,689	0,695	0,701	0,706	0,706
0,604	0,611	0,673	0,678	0,681	0,689	0,690	0,695	0,700	0,706	0,707
0,604	0,611	0,673	0,677	0,681	0,690	0,691	0,696	0,700	0,706	0,708
0,604	0,611	0,671	0,677	0,681	0,690	0,692	0,694	0,700	0,706	0,708
0,604	0,611	0,671	0,677	0,683	0,691	0,693	0,693	0,707	0,705	0,709
0,605	0,611	0,675	0,678	0,683	0,692	0,691	0,693	0,708	0,702	0,710
0,605	0,611	0,675	0,678	0,683	0,693	0,695	0,692	0,709	0,710	0,711
0,606	0,611	0,676	0,679	0,682	0,694	0,696	0,692	0,710	0,702	0,713
0,606	0,611	0,676	0,678	0,681	0,695	0,697	0,693	0,711	0,722	0,713
0,607	0,611	0,676	0,679	0,680	0,695	0,697	0,691	0,711	0,715	0,711
0,607	0,610	0,676	0,679	0,679	0,695	0,697	0,690	0,712	0,713	0,713
0,607	0,610	0,676	0,679	0,678	0,695	0,697	0,688	0,710	0,712	0,712
0,607	0,639	0,675	0,678	0,676	0,695	0,696	0,686	0,709	0,710	0,710
0,607	0,636	0,675	0,677	0,674	0,694	0,696	0,683	0,707	0,708	0,708
0,607	0,638	0,675	0,677	0,673	0,694	0,695	0,681	0,705	0,707	0,707
0,608	0,638	0,674	0,678	0,673	0,694	0,695	0,680	0,704	0,708	0,708
0,608	0,638	0,674	0,676	0,673	0,693	0,691	0,679	0,703	0,703	0,704
0,608	0,638	0,673	0,675	0,673	0,694	0,691	0,678	0,702	0,702	0,703
0,604	0,637	0,673	0,675	0,672	0,693	0,691	0,673	0,701	0,702	0,702
0,603	0,637	0,673	0,674	0,672	0,693	0,691	0,677	0,700	0,700	0,700
0,603	0,637	0,673	0,674	0,672	0,692	0,693	0,670	0,699	0,699	0,699
0,603	0,637	0,673	0,674	0,672	0,692	0,693	0,676	0,699	0,699	0,699
0,603	0,637	0,673	0,678	0,672	0,692	0,693	0,676	0,696	0,696	0,696
0,603	0,606	0,672	0,673	0,671	0,691	0,692	0,675	0,697	0,697	0,697
0,603	0,606	0,671	0,672	0,671	0,691	0,693	0,675	0,694	0,694	0,694
0,601	0,604	0,669	0,670	0,669	0,689	0,690	0,672	0,693	0,693	0,693

Orifice de 0<sup>m</sup>,20 de hauteur et 0<sup>m</sup>,20 de largeur, prolongé au dehors de

GRAMMES sur le sommet de l'orifice.	COEFFICIENTS DE LA FORMULE D, la hauteur du niveau de l'eau dans le réservoir étant mesurée, loin de l'orifice, en un point où le liquide est parfaitement stagnant, dans le cas des dispositifs de la planche T.														grammes	grammes
	figure 15.	figure 16.	figure 17.	figure 18.	figure 19.	figure 20.	figure 21.	figure 22.	figure 23.	figure 24.	figure 25.	figure 26.	figure 27.	figure 28.		
0,000	.	.	.	.	.	.	.	.	.	.	.	.	.	.	0,500	0,500
0,005	.	.	.	.	.	.	.	.	.	.	.	.	.	.	0,509	0,501
0,010	.	.	.	.	.	.	.	0,477	.	.	.	.	.	.	0,522	0,509
0,015	0,171	.	.	.	.	0,142	0,167	.	0,519	.	.	.	.	.	0,530	0,509
0,020	0,140	0,180	0,180	.	.	0,150	0,166	0,155	0,527	.	.	.	.	.	0,537	0,502
0,025	0,117	0,187	0,187	0,168	.	0,145	0,203	0,195	0,533	.	.	.	.	.	0,543	0,505
0,030	0,109	0,193	0,193	0,153	.	0,200	0,210	0,201	0,538	0,530	.	.	.	.	0,547	0,506
0,035	0,105	0,198	0,198	0,168	0,113	0,205	0,216	0,206	0,542	0,534	.	.	.	.	0,550	0,509
0,040	0,203	0,202	0,203	0,202	0,215	0,209	0,222	0,211	0,546	0,538	.	.	.	.	0,556	0,515
0,045	0,207	0,206	0,207	0,205	0,203	0,213	0,227	0,215	0,550	0,543	.	.	.	.	0,560	0,518
0,050	0,211	0,210	0,211	0,209	0,208	0,217	0,231	0,220	0,553	0,546	.	.	.	.	0,563	0,520
0,055	0,215	0,214	0,214	0,212	0,209	0,220	0,235	0,224	0,556	0,549	.	.	.	.	0,566	0,523
0,060	0,218	0,217	0,218	0,215	0,210	0,223	0,239	0,228	0,559	0,552	.	.	.	.	0,569	0,525
0,065	0,222	0,220	0,221	0,217	0,210	0,226	0,243	0,232	0,561	0,555	.	.	.	.	0,572	0,529
0,070	0,225	0,223	0,224	0,220	0,213	0,229	0,246	0,235	0,564	0,558	.	.	.	.	0,575	0,531
0,080	0,231	0,228	0,230	0,225	0,216	0,235	0,253	0,241	0,568	0,562	.	.	.	.	0,580	0,533
0,090	0,237	0,233	0,235	0,230	0,220	0,240	0,261	0,250	0,571	0,566	0,589	.	.	.	0,584	0,537
0,100	0,243	0,238	0,239	0,234	0,225	0,245	0,268	0,257	0,574	0,569	0,593	0,594	.	.	0,588	0,541
0,110	0,247	0,242	0,243	0,238	0,228	0,249	0,267	0,256	0,577	0,572	0,596	0,591	.	.	0,591	0,544
0,120	0,251	0,245	0,247	0,241	0,231	0,254	0,265	0,271	0,580	0,575	0,600	0,594	.	.	0,593	0,546
0,130	0,255	0,249	0,250	0,245	0,232	0,257	0,267	0,273	0,583	0,578	0,603	0,597	.	.	0,597	0,551
0,140	0,258	0,251	0,252	0,246	0,232	0,257	0,267	0,273	0,583	0,578	0,603	0,597	.	.	0,597	0,551
0,150	0,261	0,254	0,256	0,250	0,232	0,258	0,268	0,270	0,585	0,581	0,605	0,599	.	.	0,599	0,553
0,160	0,264	0,257	0,259	0,253	0,230	0,260	0,267	0,268	0,573	0,587	0,603	0,610	0,603	.	0,605	0,551
0,170	0,267	0,259	0,261	0,255	0,228	0,260	0,265	0,278	0,588	0,585	0,612	0,605	0,608	.	0,606	0,551
0,180	0,270	0,262	0,264	0,258	0,225	0,261	0,267	0,278	0,587	0,585	0,611	0,607	0,607	.	0,607	0,551
0,190	0,272	0,264	0,266	0,260	0,227	0,263	0,269	0,280	0,591	0,588	0,615	0,608	0,613	.	0,608	0,551
0,200	0,274	0,266	0,268	0,262	0,229	0,265	0,270	0,281	0,592	0,592	0,617	0,610	0,615	.	0,615	0,551



réservoir par un canal rectangulaire découvert, de même largeur que l'orifice.

COEFFICIENTS DE LA FORMULE D.										OBSERVATIONS
le lecture du niveau de l'eau dans le réservoir étant mesurée immédiatement au-dessus de l'orifice, dans le cas des dispositifs de la planche 2.										
Épure 17.	Épure 18.	Épure 19.	Épure 20.	Épure 21.	Épure 22.	Épure 23.	Épure 24.	Épure 25.	Épure 26.	
0,500	0,539	0,581	0,510	0,517	0,523	0,558	0,580	0,787	0,567	Les deux traits horizontaux placés dans chaque colonne des coefficients indiquent les hauteurs entre lesquelles sont comparés les expériences qui ont servi de base à la formation de ce tableau. En ce qui concerne le premier coefficient inscrit dans chacune des deux premières colonnes, voyez la note insérée dans le volume d'observations de ce tableau n° XXV
0,500	0,538	0,583	0,506	0,513	0,520	0,555	0,584	0,769	0,563	
0,500	0,536	0,583	0,503	0,511	0,517	0,553	0,580	0,754	0,560	
0,500	0,538	0,583	0,502	0,510	0,516	0,552	0,577	0,736	0,550	
0,502	0,527	0,581	0,503	0,512	0,517	0,552	0,575	0,727	0,550	
0,505	0,528	0,583	0,504	0,513	0,520	0,553	0,574	0,715	0,543	
0,508	0,529	0,583	0,507	0,510	0,521	0,554	0,573	0,705	0,545	
0,511	0,531	0,584	0,509	0,524	0,528	0,556	0,573	0,696	0,548	
0,514	0,533	0,585	0,512	0,528	0,532	0,557	0,573	0,687	0,578	
0,516	0,535	0,587	0,514	0,530	0,537	0,559	0,573	0,679	0,575	
0,519	0,537	0,588	0,517	0,536	0,541	0,560	0,575	0,670	0,678	
0,523	0,539	0,590	0,519	0,542	0,545	0,562	0,574	0,664	0,581	
0,525	0,541	0,592	0,522	0,547	0,549	0,563	0,575	0,657	0,584	
0,527	0,543	0,594	0,524	0,551	0,553	0,565	0,576	0,650	0,590	
0,530	0,545	0,595	0,527	0,553	0,556	0,567	0,577	0,648	0,589	
0,535	0,549	0,597	0,531	0,557	0,559	0,570	0,579	0,643	0,594	
0,539	0,553	0,600	0,535	0,560	0,562	0,573	0,581	0,640	0,598	
0,543	0,557	0,602	0,539	0,574	0,573	0,575	0,583	0,638	0,602	
0,547	0,560	0,603	0,543	0,578	0,577	0,578	0,584	0,637	0,605	
0,550	0,563	0,605	0,546	0,583	0,580	0,580	0,586	0,637	0,608	
0,554	0,566	0,607	0,549	0,586	0,583	0,583	0,588	0,637	0,610	
0,556	0,567	0,608	0,552	0,588	0,585	0,585	0,589	0,637	0,611	
0,559	0,569	0,609	0,555	0,591	0,588	0,586	0,590	0,637	0,613	
0,561	0,571	0,610	0,558	0,593	0,590	0,588	0,592	0,637	0,614	
0,563	0,573	0,611	0,560	0,594	0,591	0,590	0,592	0,637	0,616	
0,565	0,575	0,612	0,562	0,596	0,593	0,591	0,594	0,638	0,615	
0,567	0,577	0,613	0,565	0,598	0,594	0,592	0,596	0,638	0,616	
0,569	0,577	0,614	0,567	0,599	0,596	0,593	0,596	0,639	0,617	

Orifice de 0<sup>m</sup>,20 de hauteur et 0<sup>m</sup>,20 de largeur, prolongé au dehors d

ÉLÉMENTS sur le sommet de l'orifice.	COEFFICIENTS DE LA FORMULE D, la hauteur de niveau de l'eau dans le réservoir étant mesurée, non de l'orifice, au un point où le liquide est parfaitement stagnant, dans le cas des dispositifs de la planche 2.															
	figure 15.	figure 16.	figure 17.	figure 18.	figure 19.	figure 20.	figure 21.	figure 22.	figure 23.	figure 24.	figure 25.	figure 26.	figure 27.	figure 28.	figure 29.	
0,21	0,877	0,568	0,570	0,564	0,560	0,576	0,563	0,564	0,566	0,560	0,618	0,611	0,677	0,685		
0,22	0,870	0,560	0,572	0,566	0,562	0,580	0,565	0,566	0,565	0,562	0,610	0,612	0,570	0,570		
0,23	0,861	0,571	0,574	0,567	0,564	0,581	0,566	0,568	0,566	0,565	0,609	0,616	0,561	0,575		
0,24	0,853	0,573	0,575	0,569	0,565	0,583	0,569	0,569	0,567	0,564	0,607	0,610	0,563	0,570		
0,26	0,846	0,575	0,576	0,572	0,569	0,589	0,561	0,562	0,566	0,566	0,623	0,617	0,568	0,575		
0,28	0,839	0,575	0,580	0,575	0,561	0,538	0,604	0,595	0,590	0,595	0,610	0,589	0,589	0,583		
0,30	0,831	0,580	0,582	0,577	0,603	0,590	0,607	0,597	0,601	0,599	0,626	0,621	0,592	0,593		
0,35	0,805	0,584	0,586	0,582	0,604	0,594	0,613	0,603	0,605	0,602	0,629	0,623	0,594	0,594		
0,40	0,797	0,587	0,590	0,586	0,613	0,597	0,618	0,607	0,605	0,604	0,630	0,625	0,599	0,597		
0,45	0,798	0,590	0,592	0,588	0,616	0,606	0,619	0,610	0,606	0,604	0,631	0,626	0,600	0,598		
0,50	0,790	0,592	0,594	0,591	0,619	0,602	0,621	0,613	0,607	0,608	0,632	0,627	0,600	0,598		
0,60	0,690	0,595	0,597	0,595	0,623	0,604	0,625	0,617	0,606	0,610	0,634	0,629	0,601	0,599		
0,70	0,601	0,597	0,599	0,598	0,626	0,606	0,627	0,620	0,609	0,611	0,635	0,630	0,604	0,597		
0,80	0,603	0,599	0,601	0,599	0,628	0,608	0,628	0,622	0,610	0,613	0,636	0,631	0,608	0,599		
0,90	0,604	0,600	0,602	0,600	0,629	0,609	0,629	0,623	0,610	0,613	0,637	0,632	0,609	0,600		
1,00	0,604	0,600	0,602	0,601	0,630	0,609	0,629	0,623	0,610	0,610	0,638	0,633	0,609	0,600		
1,10	0,604	0,601	0,603	0,602	0,631	0,610	0,629	0,624	0,610	0,613	0,638	0,633	0,609	0,600		
1,20	0,604	0,602	0,603	0,603	0,632	0,610	0,629	0,624	0,610	0,613	0,639	0,634	0,609	0,600		
1,30	0,604	0,602	0,603	0,603	0,632	0,610	0,629	0,624	0,610	0,613	0,639	0,634	0,609	0,600		
1,40	0,604	0,602	0,604	0,604	0,633	0,610	0,629	0,624	0,610	0,613	0,640	0,635	0,609	0,600		
1,50	0,604	0,602	0,604	0,604	0,633	0,610	0,629	0,624	0,610	0,613	0,641	0,636	0,609	0,600		
1,60	0,604	0,602	0,604	0,604	0,633	0,610	0,629	0,624	0,610	0,613	0,641	0,636	0,609	0,600		
1,70	0,604	0,602	0,604	0,604	0,633	0,610	0,629	0,624	0,610	0,613	0,641	0,636	0,609	0,600		
1,80	0,604	0,602	0,604	0,604	0,633	0,610	0,629	0,624	0,610	0,613	0,641	0,636	0,609	0,600		
1,90	0,604	0,602	0,604	0,604	0,633	0,610	0,629	0,624	0,610	0,613	0,641	0,636	0,609	0,600		
2,00	0,604	0,602	0,604	0,604	0,633	0,610	0,629	0,624	0,610	0,613	0,641	0,636	0,609	0,600		
3,00	0,604	0,601	0,602	0,602	0,630	0,609	0,626	0,622	0,609	0,610	0,641	0,636	0,609	0,600		

réservoir par un canal rectangulaire découvert, de même largeur que l'orifice.

COEFFICIENTS DE LA FORMULE D.										OBSERVATIONS.
Le lecture de s'écrit de l'eau dans le réservoir étant mesurée immédiatement au-dessus de l'orifice, dans le cas des dispositifs de la planche 2.										
Égare 17.	Égare 18.	Égare 19.	Égare 20.	Égare 21.	Égare 22.	Égare 23.	Égare 24.	Égare 25.	Égare 26.	
0,370	0,378	0,415	0,369	0,400	0,397	0,394	0,397	0,439	0,414	
0,372	0,380	0,416	0,371	0,401	0,398	0,395	0,398	0,439	0,416	
0,374	0,381	0,417	0,373	0,402	0,399	0,396	0,398	0,440	0,419	
0,375	0,382	0,418	0,375	0,403	0,401	0,397	0,399	0,440	0,418	
0,378	0,384	0,419	0,370	0,405	0,403	0,399	0,401	0,440	0,420	
0,380	0,386	0,420	0,383	0,407	0,404	0,400	0,402	0,441	0,421	
0,383	0,387	0,422	0,387	0,409	0,406	0,401	0,403	0,441	0,422	
0,387	0,390	0,425	0,392	0,413	0,410	0,403	0,405	0,440	0,424	
0,390	0,392	0,427	0,397	0,416	0,413	0,405	0,407	0,440	0,425	
0,392	0,395	0,430	0,399	0,418	0,416	0,406	0,408	0,440	0,426	
0,394	0,397	0,431	0,401	0,420	0,418	0,407	0,410	0,440	0,426	
0,397	0,399	0,433	0,404	0,424	0,422	0,409	0,412	0,440	0,427	
0,399	0,401	0,435	0,406	0,426	0,424	0,410	0,413	0,440	0,428	
0,400	0,402	0,435	0,407	0,426	0,425	0,410	0,413	0,440	0,428	
0,401	0,403	0,435	0,406	0,425	0,427	0,411	0,410	0,441	0,429	
0,402	0,404	0,435	0,408	0,429	0,427	0,411	0,417	0,441	0,429	
0,403	0,404	0,435	0,409	0,426	0,427	0,411	0,417	0,442	0,429	
0,403	0,404	0,435	0,409	0,429	0,427	0,411	0,414	0,442	0,429	
0,404	0,404	0,435	0,410	0,429	0,427	0,411	0,414	0,442	0,429	
0,404	0,405	0,435	0,410	0,428	0,426	0,411	0,417	0,443	0,428	
0,404	0,405	0,435	0,410	0,428	0,426	0,411	0,417	0,443	0,428	
0,404	0,405	0,435	0,410	0,428	0,426	0,411	0,417	0,443	0,428	
0,404	0,405	0,435	0,410	0,427	0,426	0,410	0,417	0,443	0,427	
0,404	0,405	0,435	0,410	0,427	0,425	0,410	0,416	0,443	0,427	
0,404	0,404	0,434	0,409	0,427	0,425	0,409	0,410	0,443	0,427	
0,404	0,404	0,434	0,409	0,426	0,425	0,409	0,410	0,443	0,426	
0,403	0,404	0,434	0,407	0,425	0,422	0,407	0,413	0,441	0,425	

Orifice de 0<sup>m</sup>,10 de hauteur et 0<sup>m</sup>,20 de largeur, prolongé au dehors d

GRAMMES sur le sommet de l'orifice.	COEFFICIENTS DE LA FORMULE D, dans le cas de dispositif de la figure 15, planche 2, la hauteur du niveau de l'eau dans le réservoir étant normale.		OBSERVATIONS
	au-dessus de l'orifice, en ce point où le liquide est parfaitement stagnant.	immédiatement au-dessus de l'orifice.	
0,000	-	0,182	Les deux traits horizontaux placés dans chaque colonne des coefficients indiquent les limites entre lesquelles sont comprises les expériences qui ont servi de base à la formation de ce tableau. En ce qui concerne le premier coefficient inscrit dans la première colonne, voyez la note insérée dans la colonne d'observations de la page n° XIV.
0,005	-	0,209	
0,010	0,458	0,513	
0,015	0,472	0,518	
0,020	0,484	0,522	
0,025	0,496	0,525	
0,030	0,507	0,529	
0,035	0,517	0,532	
0,040	0,527	0,535	
0,045	0,536	0,538	
0,050	0,544	0,542	
0,055	0,551	0,545	
0,060	0,557	0,548	
0,065	0,563	0,550	
0,070	0,568	0,553	
0,080	0,576	0,560	
0,090	0,582	0,564	
0,100	0,586	0,568	
0,110	0,590	0,572	
0,120	0,593	0,574	
0,130	0,595	0,577	
0,140	0,597	0,579	
0,150	0,599	0,580	
0,160	0,601	0,582	
0,170	0,602	0,603	
0,180	0,604	0,604	
0,190	0,605	0,606	
0,200	0,606	0,607	

réservoir par un canal rectangulaire découvert, de même largeur que l'orifice.

002000 sur le sommet de l'orifice	COEFFICIENTS DE LA FORMULE D. dans le cas de dispositif de la figure 15, planche 2. la hauteur du niveau de l'eau dans le réservoir étant mesurée,		OBSERVATIONS
	soit de l'orifice, ou au point où le liquide est parfaitement stagnant.	immédiatement au-dessous de l'orifice.	
0,21	0,607	0,608	
0,22	0,508	0,608	
0,23	0,608	0,509	
0,24	0,609	0,610	
0,25	0,610	0,611	
0,25	0,612	0,612	
0,30	0,612	0,613	
0,35	0,614	0,614	
0,40	0,615	0,615	
0,45	0,615	0,615	
0,50	0,615	0,615	
0,60	0,615	0,615	
0,70	0,615	0,615	
0,80	0,615	0,615	
0,90	0,615	0,615	
1,00	0,615	0,614	
1,10	0,614	0,614	
1,20	0,614	0,614	
1,30	0,613	0,613	
1,40	0,612	0,612	
1,50	0,611	0,611	
1,70	0,610	0,610	
1,80	0,609	0,609	
1,90	0,608	0,608	
2,00	0,607	0,607	
3,00	0,603	0,603	

Orifice de 0<sup>m</sup>,05 de hauteur et 0<sup>m</sup>,20 de largeur, prolongé au dehors du

crainte sur le trouant de l'orifice.	COEFFICIENTS DE LA FORMULE D, la hauteur du niveau de l'eau dans le réservoir étant mesurée, sous l'orifice, en un point où le liquide est parfaitement stagnant, dans le cas des dispositifs de la planche 2.															
	Figure 15.	Figure 16.	Figure 17.	Figure 18.	Figure 19.	Figure 20.	Figure 21.	Figure 22.	Figure 23.	Figure 24.	Figure 25.	Figure 26.	Figure 27.	Figure 28.	Figure 29.	
0,000																
0,005	0,423	*	*	*	*	0,505	0,505	*	*	*	*	*	*	*	*	
0,010	0,447	0,435	0,435	0,432	0,472	0,520	0,526	0,450	*	*	*	*	*	0,557	0,481	0,472
0,015	0,458	0,463	0,463	0,458	0,493	0,543	0,543	0,473	0,572	0,506	*	*	*	0,570	0,503	0,488
0,020	0,468	0,487	0,487	0,483	0,512	0,565	0,557	0,495	0,585	0,579	*	*	*	0,587	0,508	0,500
0,025	0,508	0,509	0,508	0,503	0,507	0,568	0,568	0,518	0,593	0,585	0,608	0,596	0,596	0,596	0,596	0,596
0,030	0,525	0,526	0,526	0,522	0,543	0,578	0,577	0,530	0,599	0,595	0,612	0,602	0,602	0,602	0,602	0,602
0,035	0,541	0,540	0,540	0,537	0,555	0,582	0,585	0,545	0,604	0,600	0,617	0,607	0,607	0,607	0,607	0,607
0,040	0,555	0,552	0,552	0,550	0,566	0,580	0,582	0,557	0,608	0,604	0,620	0,612	0,612	0,612	0,612	0,612
0,045	0,567	0,563	0,562	0,561	0,578	0,595	0,598	0,568	0,611	0,608	0,623	0,616	0,616	0,616	0,616	0,616
0,050	0,577	0,571	0,571	0,570	0,582	0,600	0,603	0,577	0,618	0,611	0,625	0,618	0,618	0,618	0,618	0,618
0,055	0,580	0,578	0,578	0,577	0,589	0,608	0,607	0,584	0,617	0,610	0,627	0,622	0,622	0,622	0,622	0,622
0,060	0,594	0,583	0,583	0,581	0,595	0,608	0,611	0,591	0,616	0,610	0,629	0,624	0,624	0,624	0,624	0,624
0,065	0,600	0,588	0,588	0,580	0,600	0,611	0,618	0,596	0,621	0,618	0,631	0,626	0,626	0,626	0,626	0,626
0,070	0,606	0,592	0,592	0,595	0,604	0,614	0,617	0,600	0,623	0,620	0,633	0,628	0,628	0,628	0,628	0,628
0,080	0,614	0,598	0,598	0,601	0,611	0,610	0,621	0,608	0,627	0,623	0,635	0,631	0,631	0,631	0,631	0,631
0,090	0,628	0,602	0,602	0,606	0,618	0,622	0,625	0,613	0,630	0,626	0,637	0,633	0,633	0,633	0,633	0,633
0,100	0,628	0,605	0,605	0,609	0,621	0,625	0,628	0,610	0,632	0,628	0,639	0,635	0,635	0,635	0,635	0,635
0,110	0,620	0,607	0,607	0,611	0,625	0,627	0,630	0,610	0,634	0,631	0,641	0,636	0,636	0,636	0,636	0,636
0,120	0,608	0,600	0,600	0,614	0,627	0,629	0,631	0,621	0,636	0,633	0,643	0,637	0,637	0,637	0,637	0,637
0,130	0,609	0,610	0,611	0,615	0,629	0,630	0,633	0,623	0,637	0,634	0,645	0,638	0,638	0,638	0,638	0,638
0,140	0,620	0,612	0,610	0,617	0,630	0,631	0,634	0,624	0,639	0,636	0,648	0,641	0,641	0,641	0,641	0,641
0,150	0,630	0,618	0,618	0,618	0,630	0,631	0,635	0,625	0,640	0,638	0,649	0,642	0,642	0,642	0,642	0,642
0,160	0,630	0,614	0,614	0,616	0,633	0,633	0,636	0,626	0,641	0,639	0,650	0,644	0,644	0,644	0,644	0,644
0,170	0,631	0,615	0,615	0,620	0,634	0,632	0,638	0,627	0,642	0,640	0,647	0,640	0,640	0,640	0,640	0,640
0,180	0,631	0,616	0,616	0,621	0,635	0,633	0,636	0,627	0,643	0,641	0,648	0,642	0,642	0,642	0,642	0,642
0,190	0,631	0,610	0,617	0,622	0,636	0,633	0,637	0,628	0,644	0,643	0,649	0,643	0,643	0,643	0,643	0,643
0,200	0,631	0,617	0,617	0,623	0,637	0,638	0,642	0,629	0,645	0,643	0,649	0,643	0,643	0,643	0,643	0,643

réservoir par un canal rectangulaire découvert, de même largeur que l'orifice.

COEFFICIENTS DE LA FORMULE D.										OBSERVATIONS.
Le centre de surface de l'eau dans le réservoir étant accolé immédiatement au-dessus de l'orifice, dans le cas des dispositifs de la planche II.										
Égare 17.	Égare 18.	Égare 19.	Égare 20.	Égare 21.	Égare 22.	Égare 23.	Égare 24.	Égare 25.	Égare 26.	
0,665	0,665	0,558	0,555	0,547	0,473	0,663	0,662	0,611	0,618	Les deux traits horizontaux placés dans chaque colonne des coefficients indiquent les limites entre lesquelles sont comprises les expériences qui entrent de base à la formation de ce tableau. En ce qui concerne le premier coefficient inscrit dans chacune des deux premières colonnes, voyez le note insérée dans la colonne d'observations de tableau n° XXV
0,664	0,681	0,536	0,519	0,534	0,486	0,638	0,666	0,779	0,564	
0,473	0,498	0,596	0,595	0,539	0,505	0,685	0,650	0,739	0,584	
0,484	0,515	0,553	0,523	0,505	0,522	0,621	0,639	0,705	0,592	
0,499	0,530	0,565	0,530	0,568	0,537	0,620	0,634	0,677	0,599	
0,513	0,534	0,575	0,553	0,579	0,550	0,620	0,621	0,665	0,606	
0,530	0,556	0,585	0,606	0,588	0,592	0,621	0,631	0,660	0,611	
0,545	0,566	0,593	0,576	0,595	0,572	0,625	0,632	0,658	0,616	
0,557	0,575	0,600	0,585	0,601	0,580	0,625	0,634	0,657	0,610	
0,568	0,583	0,606	0,592	0,607	0,588	0,627	0,635	0,656	0,623	
0,576	0,580	0,610	0,599	0,611	0,594	0,629	0,637	0,656	0,625	
0,583	0,594	0,610	0,604	0,615	0,600	0,631	0,639	0,655	0,628	
0,589	0,599	0,619	0,606	0,618	0,604	0,633	0,640	0,655	0,630	
0,594	0,603	0,622	0,611	0,620	0,606	0,635	0,641	0,655	0,631	
0,597	0,606	0,625	0,614	0,623	0,611	0,636	0,643	0,658	0,633	
0,603	0,611	0,629	0,618	0,626	0,616	0,639	0,645	0,664	0,635	
0,607	0,614	0,632	0,621	0,629	0,619	0,641	0,646	0,664	0,637	
0,609	0,618	0,634	0,623	0,631	0,621	0,643	0,647	0,664	0,638	
0,611	0,618	0,636	0,624	0,633	0,622	0,644	0,649	0,664	0,639	
0,612	0,619	0,637	0,625	0,635	0,623	0,646	0,650	0,664	0,639	
0,614	0,620	0,638	0,626	0,634	0,624	0,647	0,650	0,664	0,639	
0,615	0,621	0,639	0,627	0,634	0,625	0,648	0,651	0,664	0,639	
0,616	0,622	0,639	0,628	0,635	0,626	0,648	0,652	0,664	0,639	
0,618	0,623	0,639	0,628	0,635	0,626	0,649	0,652	0,665	0,639	
0,617	0,623	0,640	0,629	0,636	0,627	0,650	0,652	0,665	0,639	
0,618	0,624	0,641	0,629	0,636	0,627	0,650	0,652	0,665	0,639	
0,618	0,625	0,641	0,630	0,636	0,628	0,650	0,653	0,665	0,639	
0,619	0,625	0,642	0,630	0,636	0,629	0,651	0,653	0,665	0,639	

Orifice de 0<sup>m</sup>,05 de hauteur et 0<sup>m</sup>,20 de largeur, prolongé au dehors du

cote sur le sommet de l'orifice.	COEFFICIENTS DE LA FORMULE D, la hauteur du niveau de l'eau dans le réservoir étant mesurée, loin de l'orifice, en un point où le liquide est parfaitement stagnant, dans le cas des dispositifs de la planche 2.													
	figure 15.	figure 16.	figure 17.	figure 18.	figure 19.	figure 20.	figure 21.	figure 22.	figure 23.	figure 24.	figure 25.	figure 26.	figure 27.	figure 28.
0,31	0,630	0,616	0,616	0,625	0,638	0,653	0,637	0,629	0,645	0,643	0,650	0,658	0,631	0,631
0,32	0,630	0,616	0,619	0,624	0,638	0,653	0,637	0,630	0,646	0,644	0,651	0,658	0,631	0,631
0,33	0,630	0,619	0,616	0,625	0,639	0,653	0,637	0,630	0,647	0,645	0,651	0,658	0,631	0,631
0,34	0,630	0,619	0,620	0,625	0,640	0,633	0,637	0,631	0,647	0,643	0,652	0,658	0,630	0,631
0,36	0,630	0,620	0,621	0,626	0,641	0,633	0,637	0,632	0,648	0,646	0,653	0,658	0,630	0,631
0,38	0,630	0,621	0,622	0,627	0,642	0,633	0,637	0,632	0,649	0,647	0,653	0,658	0,630	0,631
0,36	0,629	0,622	0,623	0,627	0,643	0,632	0,630	0,633	0,649	0,647	0,654	0,658	0,630	0,632
0,35	0,627	0,624	0,624	0,628	0,644	0,632	0,636	0,634	0,651	0,649	0,655	0,657	0,629	0,631
0,40	0,626	0,625	0,625	0,629	0,646	0,631	0,635	0,634	0,650	0,649	0,655	0,657	0,627	0,631
0,45	0,626	0,626	0,626	0,630	0,647	0,630	0,636	0,635	0,650	0,649	0,656	0,656	0,626	0,631
0,50	0,625	0,626	0,627	0,630	0,647	0,630	0,635	0,636	0,650	0,649	0,656	0,656	0,625	0,631
0,60	0,625	0,627	0,627	0,631	0,648	0,629	0,635	0,637	0,652	0,651	0,656	0,656	0,625	0,631
0,70	0,624	0,627	0,628	0,632	0,649	0,629	0,635	0,637	0,652	0,651	0,656	0,655	0,624	0,631
0,80	0,624	0,628	0,628	0,632	0,649	0,628	0,635	0,636	0,652	0,651	0,656	0,655	0,624	0,631
0,90	0,624	0,628	0,628	0,632	0,649	0,628	0,635	0,638	0,651	0,651	0,656	0,655	0,624	0,631
1,00	0,624	0,628	0,628	0,633	0,649	0,627	0,635	0,638	0,651	0,651	0,656	0,655	0,624	0,631
1,10	0,623	0,628	0,628	0,633	0,648	0,626	0,635	0,638	0,651	0,651	0,656	0,655	0,623	0,631
1,20	0,623	0,628	0,628	0,633	0,648	0,625	0,635	0,636	0,650	0,651	0,656	0,655	0,623	0,631
1,30	0,622	0,628	0,628	0,633	0,648	0,624	0,635	0,638	0,650	0,651	0,656	0,655	0,622	0,631
1,40	0,621	0,627	0,627	0,633	0,647	0,623	0,634	0,638	0,650	0,651	0,656	0,654	0,621	0,631
1,50	0,619	0,627	0,627	0,632	0,647	0,622	0,634	0,637	0,650	0,651	0,656	0,654	0,619	0,631
1,60	0,618	0,626	0,626	0,632	0,646	0,620	0,634	0,637	0,650	0,651	0,656	0,654	0,618	0,631
1,70	0,617	0,625	0,625	0,632	0,646	0,619	0,633	0,637	0,650	0,651	0,656	0,654	0,617	0,631
1,80	0,615	0,625	0,625	0,631	0,646	0,616	0,633	0,636	0,650	0,651	0,656	0,654	0,616	0,631
1,90	0,614	0,624	0,624	0,631	0,645	0,617	0,633	0,639	0,650	0,651	0,656	0,654	0,615	0,631
2,00	0,613	0,623	0,623	0,631	0,644	0,616	0,633	0,635	0,650	0,651	0,656	0,654	0,614	0,631
3,00	0,609	0,618	0,618	0,628	0,639	0,609	0,632	0,638	0,649	0,651	0,656	0,653	0,606	0,631



réservoir par un canal rectangulaire découvert, de même largeur que l'orifice.

COEFFICIENTS DE LA FORMULE D, le lecture du niveau de l'eau dans le réservoir étant mesurée immédiatement au-dessus de l'orifice, dans le cas des dispositifs de la planche 2.										OBSERVATIONS.
figure 17.	figure 18.	figure 10.	figure 20.	figure 21.	figure 22.	figure 23.	figure 24.	figure 25.	figure 26.	
0,600	0,625	0,642	0,650	0,650	0,629	0,651	0,655	0,655	0,639	
0,600	0,626	0,642	0,651	0,650	0,630	0,651	0,653	0,655	0,630	
0,601	0,626	0,643	0,651	0,650	0,630	0,652	0,653	0,655	0,630	
0,601	0,627	0,643	0,651	0,650	0,631	0,652	0,653	0,656	0,630	
0,622	0,628	0,644	0,652	0,650	0,631	0,652	0,653	0,656	0,630	
0,623	0,628	0,645	0,652	0,650	0,632	0,652	0,653	0,656	0,630	
0,624	0,629	0,646	0,652	0,650	0,632	0,652	0,653	0,656	0,630	
0,625	0,630	0,647	0,652	0,650	0,633	0,652	0,653	0,656	0,630	
0,626	0,630	0,648	0,652	0,650	0,633	0,652	0,653	0,656	0,630	
0,626	0,631	0,649	0,652	0,650	0,633	0,652	0,653	0,657	0,630	
0,627	0,631	0,649	0,652	0,650	0,636	0,652	0,653	0,657	0,637	
0,628	0,632	0,649	0,651	0,650	0,637	0,651	0,651	0,657	0,637	
0,628	0,632	0,649	0,650	0,650	0,637	0,651	0,651	0,657	0,636	
0,628	0,633	0,649	0,650	0,653	0,637	0,651	0,651	0,657	0,636	
0,628	0,633	0,649	0,629	0,635	0,638	0,651	0,651	0,657	0,635	
0,628	0,635	0,646	0,627	0,635	0,638	0,651	0,651	0,657	0,635	
0,628	0,633	0,646	0,626	0,635	0,638	0,651	0,651	0,657	0,635	
0,626	0,633	0,646	0,625	0,635	0,638	0,651	0,652	0,657	0,635	
0,627	0,633	0,648	0,625	0,635	0,638	0,651	0,652	0,657	0,635	
0,627	0,633	0,647	0,622	0,635	0,638	0,651	0,652	0,657	0,635	
0,627	0,633	0,647	0,621	0,635	0,637	0,651	0,652	0,657	0,635	
0,626	0,632	0,647	0,620	0,634	0,637	0,651	0,651	0,657	0,634	
0,625	0,632	0,646	0,619	0,634	0,637	0,651	0,651	0,657	0,634	
0,624	0,631	0,645	0,618	0,634	0,636	0,650	0,651	0,657	0,634	
0,623	0,631	0,645	0,618	0,634	0,636	0,650	0,651	0,656	0,634	
0,623	0,630	0,644	0,617	0,633	0,635	0,650	0,651	0,656	0,633	
0,618	0,625	0,639	0,611	0,632	0,632	0,646	0,647	0,653	0,629	

Orifice de 0<sup>m</sup>,03 de hauteur et 0<sup>m</sup>,20 de largeur, prolongé au dehors de

cote sur le sommet de l'orifice.	COEFFICIENTS DE LA FORMULE D, la hauteur du niveau de l'eau dans le réservoir étant mesurée,				OBSERVATIONS
	à la hauteur de l'orifice, en un point où le liquide est parfaitement stagnant, dans le cas des dispositifs de la planche 2,		immédiatement en-dessous de l'orifice, dans le cas des dispositifs de la planche 3,		
	figure 15.	figure 18	figure 15.	figure 16.	
0,000	"	"	0,177	0,516	
0,005	0,378	0,456	0,189	0,530	
0,010	0,426	0,488	0,200	0,530	
0,015	0,467	0,516	0,210	0,542	
0,020	0,504	0,539	0,218	0,557	
0,025	0,537	0,557	0,226	0,572	
0,030	0,561	0,573	0,233	0,586	
0,035	0,579	0,586	0,239	0,601	
0,040	0,598	0,596	0,245	0,612	
0,045	0,617	0,603	0,250	0,621	
0,050	0,629	0,609	0,255	0,626	
0,055	0,631	0,613	0,259	0,629	
0,060	0,632	0,617	0,260	0,631	
0,065	0,632	0,616	0,260	0,632	
0,070	0,632	0,621	0,260	0,633	
0,080	0,633	0,626	0,260	0,633	
0,090	0,633	0,626	0,260	0,634	
0,100	0,633	0,627	0,260	0,634	
0,110	0,633	0,629	0,260	0,635	
0,120	0,633	0,630	0,260	0,635	
0,130	0,633	0,631	0,260	0,636	
0,140	0,633	0,632	0,260	0,636	
0,150	0,633	0,633	0,260	0,636	
0,160	0,633	0,633	0,260	0,636	
0,170	0,633	0,634	0,260	0,636	
0,180	0,632	0,634	0,260	0,637	
0,190	0,632	0,635	0,260	0,637	
0,200	0,632	0,635	0,260	0,637	

Les deux traits horizontaux placés dans chaque colonne des coefficients indiquent les limites entre lesquelles sont comprises les expériences qui ont servi de base à la formation de ce tableau.

En ce qui concerne le premier coefficient inscrit dans chacune des deux premières colonnes, voyez la note annexée dans la colonne d'observations du tableau n° XXV.

réservoir par un canal rectangulaire découvert, de même largeur que l'orifice.

craque sur le sommet de l'orifice.	COEFFICIENTS DE LA FORMULE D, la hauteur du sillon de l'eau dans le réservoir étant constante,				OBSERVATIONS.
	sous de l'orifice, en un point où le liquide est parfaitement stagnant, dans le cas des dispositifs de la planche 2,		immédiatement au-dessus de l'orifice, dans le cas des dispositifs de la planche 2,		
	figure 15.	figure 16.	figure 15.	figure 16.	
0,21	0,632	0,635	0,632	0,637	
0,22	0,632	0,636	0,632	0,637	
0,23	0,632	0,636	0,632	0,637	
0,24	0,632	0,636	0,631	0,637	
0,26	0,631	0,637	0,631	0,637	
0,28	0,631	0,637	0,631	0,638	
0,30	0,631	0,637	0,631	0,638	
0,35	0,631	0,638	0,630	0,638	
0,40	0,630	0,638	0,630	0,638	
0,43	0,629	0,638	0,629	0,638	
0,50	0,629	0,638	0,629	0,639	
0,60	0,628	0,638	0,628	0,639	
0,70	0,627	0,638	0,627	0,639	
0,80	0,626	0,638	0,627	0,639	
0,90	0,626	0,638	0,626	0,639	
1,00	0,625	0,638	0,625	0,638	
1,10	0,624	0,638	0,624	0,638	
1,20	0,623	0,638	0,623	0,638	
1,30	0,622	0,638	0,622	0,638	
1,40	0,621	0,637	0,621	0,637	
1,50	0,620	0,637	0,620	0,637	
1,60	0,619	0,637	0,619	0,636	
1,70	0,617	0,637	0,617	0,636	
1,80	0,616	0,637	0,616	0,635	
1,90	0,614	0,636	0,615	0,635	
2,00	0,613	0,636	0,614	0,634	
3,00	0,607	0,634	0,607	0,631	

Orifice de 0<sup>m</sup>,01 de hauteur et 0<sup>m</sup>,20 de largeur, prolongé au dehors de

CHARGES ou le nombre de l'orifice.	COEFFICIENTS DE LA FORMULE D, la hauteur de niveau de l'eau dans le réservoir étant maintenue, loin de l'orifice, ou au point où le liquide est parfaitement stagnant, dans le cas des dispositions de la planche 2.													
	Figure 15.	Figure 16.	Figure 17.	Figure 18.	Figure 19.	Figure 20.	Figure 21.	Figure 22.	Figure 23.	Figure 24.	Figure 25.	Figure 26.	Figure 27.	Figure 28.
0,005	0,548	0,552	0,552	0,550	0,559	0,643	0,653	0,568	0,662	0,543	-	0,618	0,536	0,505
0,010	0,566	0,571	0,571	0,569	0,584	0,663	0,663	0,596	0,672	0,606	0,546	0,643	0,573	0,541
0,015	0,583	0,596	0,596	0,590	0,607	0,681	0,678	0,621	0,677	0,569	0,608	0,663	0,597	0,561
0,020	0,599	0,610	0,610	0,607	0,625	0,687	0,675	0,630	0,682	0,570	0,621	0,670	0,614	0,582
0,025	0,614	0,631	0,631	0,623	0,640	0,672	0,679	0,635	0,685	0,581	0,628	0,686	0,628	0,594
0,030	0,626	0,642	0,642	0,634	0,651	0,676	0,683	0,643	0,688	0,585	0,632	0,693	0,640	0,603
0,035	0,636	0,652	0,652	0,643	0,660	0,679	0,685	0,671	0,691	0,588	0,640	0,693	0,650	0,613
0,040	0,645	0,660	0,660	0,651	0,667	0,682	0,688	0,677	0,693	0,590	0,646	0,702	0,659	0,620
0,045	0,653	0,666	0,666	0,657	0,674	0,683	0,690	0,683	0,694	0,591	0,650	0,704	0,664	0,627
0,050	0,658	0,670	0,671	0,662	0,679	0,684	0,691	0,687	0,695	0,592	0,651	0,706	0,668	0,630
0,055	0,663	0,673	0,673	0,667	0,683	0,684	0,692	0,681	0,696	0,593	0,652	0,707	0,671	0,631
0,060	0,667	0,670	0,670	0,660	0,680	0,684	0,693	0,684	0,696	0,594	0,653	0,707	0,673	0,632
0,065	0,669	0,678	0,680	0,675	0,680	0,684	0,694	0,696	0,697	0,595	0,653	0,708	0,675	0,633
0,070	0,671	0,680	0,681	0,670	0,682	0,683	0,695	0,698	0,697	0,595	0,654	0,708	0,676	0,634
0,080	0,673	0,682	0,683	0,660	0,694	0,682	0,695	0,700	0,696	0,596	0,655	0,709	0,677	0,635
0,090	0,672	0,683	0,684	0,682	0,696	0,680	0,695	0,701	0,699	0,597	0,656	0,701	0,678	0,636
0,100	0,671	0,682	0,684	0,683	0,697	0,679	0,694	0,701	0,699	0,598	0,656	0,699	0,679	0,637
0,110	0,670	0,682	0,684	0,686	0,698	0,677	0,694	0,701	0,700	0,598	0,656	0,697	0,678	0,638
0,120	0,669	0,681	0,684	0,687	0,698	0,676	0,693	0,700	0,700	0,598	0,657	0,695	0,677	0,639
0,130	0,668	0,681	0,683	0,685	0,696	0,674	0,692	0,700	0,700	0,599	0,657	0,693	0,676	0,640
0,140	0,666	0,681	0,683	0,688	0,698	0,673	0,690	0,699	0,700	0,599	0,657	0,692	0,675	0,641
0,150	0,664	0,680	0,682	0,680	0,698	0,672	0,689	0,698	0,700	0,599	0,657	0,690	0,674	0,642
0,160	0,662	0,680	0,682	0,680	0,698	0,670	0,688	0,698	0,701	0,700	0,658	0,689	0,673	0,643
0,170	0,660	0,680	0,682	0,680	0,698	0,669	0,687	0,697	0,701	0,700	0,658	0,688	0,672	0,644
0,180	0,658	0,680	0,682	0,680	0,698	0,668	0,686	0,697	0,701	0,700	0,658	0,687	0,671	0,645
0,190	0,656	0,679	0,681	0,688	0,698	0,667	0,685	0,696	0,701	0,700	0,658	0,686	0,670	0,646
0,200	0,654	0,679	0,681	0,688	0,698	0,666	0,684	0,696	0,701	0,700	0,658	0,685	0,669	0,647

réservoir par un canal rectangulaire découvert, de même largeur que l'orifice.

COEFFICIENTS DE LA FORMULE D,											OBSERVATIONS
le hauteur du niveau de l'eau dans le réservoir étant mesurée immédiatement en-dessous de l'orifice, dans le cas des dispositions de la planche 3.											
Egare 10.	Egare 18.	Egare 18.	Egare 20.	Egare 21.	Egare 22.	Egare 23.	Egare 24.	Egare 26.	Egare 28.	Egare 30.	
0,545	0,500	0,500	0,502	0,610	0,592	0,756	0,733	0,700	0,627		
0,589	0,581	0,618	0,584	0,639	0,628	0,715	0,720	0,702	0,644		
0,611	0,602	0,630	0,606	0,652	0,643	0,737	0,721	0,701	0,657		
0,630	0,619	0,654	0,635	0,663	0,659	0,732	0,718	0,701	0,666		
0,644	0,632	0,665	0,650	0,672	0,669	0,729	0,716	0,702	0,677		
0,662	0,648	0,673	0,660	0,680	0,677	0,726	0,715	0,703	0,685		
0,663	0,652	0,679	0,669	0,684	0,684	0,723	0,714	0,704	0,691		
0,679	0,666	0,678	0,665	0,691	0,689	0,721	0,713	0,704	0,696		
0,678	0,666	0,680	0,670	0,695	0,694	0,719	0,712	0,705	0,699		
0,679	0,671	0,693	0,673	0,690	0,697	0,716	0,712	0,706	0,702		
0,681	0,675	0,694	0,675	0,701	0,700	0,717	0,712	0,706	0,704		
0,689	0,678	0,694	0,677	0,700	0,700	0,715	0,711	0,707	0,705		
0,681	0,681	0,700	0,678	0,702	0,706	0,716	0,711	0,707	0,705		
0,685	0,683	0,701	0,678	0,703	0,705	0,713	0,710	0,707	0,705		
0,685	0,685	0,703	0,679	0,703	0,706	0,712	0,709	0,707	0,704		
0,685	0,686	0,703	0,678	0,700	0,706	0,710	0,708	0,707	0,705		
0,685	0,687	0,703	0,677	0,699	0,705	0,709	0,708	0,707	0,706		
0,685	0,688	0,703	0,675	0,695	0,703	0,708	0,707	0,706	0,695		
0,684	0,688	0,702	0,674	0,692	0,700	0,707	0,706	0,706	0,693		
0,684	0,685	0,701	0,673	0,689	0,704	0,707	0,705	0,705	0,691		
0,684	0,685	0,701	0,671	0,688	0,703	0,706	0,705	0,705	0,689		
0,683	0,683	0,701	0,670	0,686	0,702	0,705	0,704	0,704	0,687		
0,683	0,684	0,700	0,669	0,685	0,701	0,705	0,704	0,703	0,685		
0,683	0,684	0,700	0,668	0,683	0,701	0,704	0,703	0,703	0,685		
0,683	0,683	0,699	0,667	0,682	0,700	0,704	0,703	0,703	0,683		
0,681	0,683	0,699	0,667	0,682	0,700	0,703	0,703	0,703	0,682		
0,681	0,683	0,699	0,666	0,680	0,699	0,703	0,702	0,702	0,681		

Les deux traits horizontaux placés dans chaque colonne des coefficients indiquent les limites entre lesquelles sont comprises les expériences qui ont servi de base à la formation de ce tableau.

En ce qui concerne le premier coefficient inscrit dans chacune des 12 premières colonnes, c'est la note inscrite dans la colonne d'observations de tableau n° XXX.

On n'a pas porté, dans les 12 dernières colonnes, les coefficients correspondant à la charge zéro, parce que, pour en déterminer la valeur, il faudrait prolonger des courbes dont la direction est incertaine.

Orifice de 0<sup>m</sup>,01 de hauteur et 0<sup>m</sup>,20 de largeur, prolongé au dehors du

carrées sur le mètre de l'orifice	COEFFICIENTS DE LA FORMULE D, la hauteur du niveau de l'eau dans le réservoir étant constante, lein de l'orifice, et si le liquide est parfaitement stagnant, dans le cas des dispositifs de la planche 2.													
	figure 15.	figure 16.	figure 17.	figure 18.	figure 19.	figure 20.	figure 21.	figure 22.	figure 23.	figure 24.	figure 25.	figure 26.	figure 27.	figure 28.
0,21	0,665	0,679	0,681	0,686	0,697	0,665	0,685	0,695	0,701	0,700	0,698	0,681	0,664	0,678
0,22	0,663	0,679	0,681	0,687	0,697	0,665	0,682	0,695	0,701	0,700	0,698	0,683	0,663	0,678
0,23	0,662	0,678	0,680	0,687	0,697	0,664	0,682	0,694	0,701	0,700	0,698	0,682	0,663	0,678
0,24	0,662	0,678	0,680	0,685	0,697	0,663	0,681	0,691	0,701	0,701	0,698	0,682	0,662	0,677
0,25	0,660	0,677	0,679	0,685	0,696	0,662	0,679	0,695	0,701	0,701	0,699	0,680	0,660	0,677
0,26	0,659	0,677	0,678	0,685	0,696	0,660	0,678	0,692	0,701	0,701	0,699	0,679	0,659	0,676
0,27	0,658	0,676	0,678	0,684	0,696	0,659	0,677	0,692	0,701	0,701	0,699	0,678	0,658	0,676
0,28	0,655	0,675	0,676	0,682	0,695	0,657	0,675	0,690	0,700	0,701	0,699	0,675	0,655	0,675
0,29	0,652	0,673	0,675	0,681	0,693	0,654	0,673	0,689	0,700	0,701	0,699	0,673	0,653	0,674
0,30	0,650	0,672	0,673	0,679	0,692	0,653	0,672	0,687	0,699	0,701	0,699	0,672	0,650	0,673
0,31	0,648	0,671	0,672	0,678	0,691	0,651	0,671	0,686	0,698	0,701	0,699	0,671	0,648	0,672
0,32	0,644	0,670	0,671	0,676	0,689	0,648	0,669	0,684	0,697	0,700	0,699	0,669	0,644	0,670
0,33	0,641	0,669	0,669	0,675	0,688	0,644	0,666	0,683	0,696	0,700	0,699	0,668	0,641	0,669
0,34	0,638	0,668	0,668	0,674	0,687	0,641	0,666	0,681	0,696	0,699	0,699	0,666	0,637	0,668
0,35	0,634	0,666	0,667	0,673	0,686	0,637	0,665	0,679	0,695	0,699	0,699	0,665	0,633	0,666
1,00	0,631	0,665	0,665	0,671	0,685	0,631	0,663	0,677	0,695	0,698	0,699	0,663	0,630	0,665
1,10	0,627	0,665	0,665	0,670	0,683	0,627	0,662	0,676	0,694	0,698	0,699	0,662	0,627	0,664
1,20	0,621	0,661	0,662	0,668	0,683	0,620	0,660	0,676	0,694	0,697	0,699	0,660	0,625	0,664
1,30	0,622	0,660	0,660	0,666	0,682	0,619	0,659	0,668	0,693	0,697	0,699	0,659	0,622	0,665
1,40	0,620	0,659	0,659	0,664	0,681	0,627	0,657	0,666	0,693	0,696	0,699	0,657	0,620	0,665
1,50	0,616	0,657	0,657	0,663	0,679	0,625	0,656	0,665	0,693	0,696	0,699	0,656	0,616	0,667
1,60	0,617	0,657	0,657	0,663	0,678	0,624	0,655	0,663	0,693	0,696	0,698	0,655	0,617	0,666
1,70	0,615	0,656	0,656	0,661	0,676	0,623	0,654	0,662	0,693	0,696	0,698	0,654	0,615	0,666
1,80	0,614	0,655	0,655	0,661	0,675	0,622	0,653	0,660	0,692	0,696	0,698	0,653	0,614	0,665
1,90	0,615	0,654	0,654	0,660	0,673	0,621	0,652	0,661	0,692	0,695	0,698	0,652	0,614	0,664
2,00	0,613	0,654	0,654	0,659	0,671	0,620	0,651	0,660	0,692	0,694	0,698	0,651	0,613	0,664
3,00	0,609	0,652	0,652	0,656	0,670	0,615	0,648	0,657	0,690	0,692	0,696	0,648	0,609	0,662

réservoir par un canal rectangulaire découvert, de même largeur que l'orifice.

COEFFICIENTS DE LA FORMULE D,											OBSERVATIONS
la hauteur de niveau de l'eau dans le réservoir étant mesurée immédiatement au-dessus de l'orifice,											
dans le cas des dispositifs de la planche 2,											
figure 17.	figure 18.	figure 19.	figure 20.	figure 21.	figure 22.	figure 23.	figure 24.	figure 25.	figure 26.		
0,660	0,662	0,696	0,665	0,680	0,698	0,703	0,702	0,702	0,680		
0,660	0,682	0,668	0,663	0,679	0,697	0,703	0,702	0,702	0,679		
0,670	0,682	0,690	0,663	0,678	0,697	0,703	0,702	0,702	0,678		
0,670	0,681	0,698	0,663	0,678	0,696	0,702	0,702	0,702	0,679		
0,670	0,681	0,697	0,661	0,677	0,695	0,702	0,702	0,701	0,677		
0,678	0,681	0,697	0,669	0,675	0,694	0,702	0,702	0,701	0,675		
0,678	0,680	0,696	0,639	0,675	0,693	0,702	0,701	0,701	0,675		
0,678	0,680	0,695	0,656	0,673	0,691	0,701	0,701	0,700	0,673		
0,675	0,679	0,694	0,653	0,671	0,689	0,700	0,701	0,700	0,671		
0,671	0,679	0,693	0,652	0,670	0,688	0,699	0,701	0,700	0,670		
0,673	0,678	0,692	0,650	0,660	0,680	0,699	0,700	0,699	0,669		
0,671	0,677	0,690	0,646	0,667	0,684	0,698	0,700	0,699	0,667		
0,670	0,677	0,689	0,642	0,665	0,682	0,697	0,700	0,699	0,665		
0,668	0,675	0,687	0,639	0,663	0,681	0,696	0,700	0,699	0,663		
0,667	0,673	0,680	0,635	0,662	0,679	0,695	0,699	0,699	0,662		
0,666	0,671	0,685	0,632	0,661	0,677	0,695	0,699	0,699	0,661		
0,664	0,670	0,684	0,629	0,659	0,671	0,694	0,698	0,699	0,659		
0,662	0,668	0,683	0,628	0,658	0,670	0,694	0,697	0,699	0,658		
0,660	0,666	0,682	0,625	0,656	0,668	0,693	0,697	0,699	0,656		
0,659	0,664	0,681	0,621	0,655	0,666	0,693	0,696	0,699	0,655		
0,657	0,663	0,679	0,623	0,653	0,664	0,693	0,696	0,699	0,653		
0,656	0,662	0,677	0,622	0,652	0,663	0,693	0,695	0,699	0,652		
0,656	0,661	0,676	0,621	0,651	0,662	0,693	0,695	0,698	0,651		
0,655	0,660	0,675	0,620	0,651	0,662	0,693	0,694	0,698	0,651		
0,654	0,660	0,673	0,619	0,650	0,661	0,692	0,694	0,698	0,650		
0,653	0,659	0,672	0,618	0,650	0,660	0,692	0,694	0,699	0,650		
0,651	0,657	0,666	0,613	0,647	0,657	0,690	0,691	0,697	0,647		

Déversoir de 0<sup>m</sup>,20 de largeur,

La charge totale ou complète est mesurée loin du déversoir.

charges totales sur la base de décimètre.	COEFFICIENTS DE LA FORMULE 4. ordonnés et en usage, dans le cas des dispositifs de la planche 1.													
	Figure 1.	Figure 2.	Figure 3.	Figure 4.	Figure 5.	Figure 6.	Figure 8.	Figure 9.	Figure 10.	Figure 12.	Figure 13.	Figure 14.	Figure 1.	Figure 2.
0,010	0,138	0,131	0,130	0,281	0,302	0,292	0,457	0,457	0,402	0,116	-	-	0,531	0,550
0,015	0,121	0,127	0,122	0,301	0,371	0,305	0,450	0,450	0,491	0,111	-	-	0,526	0,540
0,020	0,117	0,125	0,125	0,102	0,379	0,318	0,446	0,444	0,473	0,137	-	-	0,517	0,526
0,025	0,111	0,121	0,125	0,107	0,381	0,328	0,441	0,439	0,466	0,133	-	-	0,509	0,513
0,030	0,112	0,118	0,122	0,110	0,388	0,337	0,437	0,435	0,450	0,130	-	-	0,503	0,507
0,035	0,100	0,115	0,110	0,111	0,392	0,315	0,431	0,432	0,454	0,127	-	-	0,463	0,467
0,040	0,107	0,113	0,116	0,111	0,391	0,320	0,430	0,429	0,440	0,124	0,321	0,373	0,461	0,466
0,045	0,105	0,110	0,111	0,111	0,396	0,357	0,428	0,428	0,445	0,122	0,337	0,377	0,453	0,458
0,050	0,101	0,108	0,111	0,111	0,398	0,362	0,425	0,426	0,442	0,110	0,339	0,390	0,435	0,440
0,055	0,102	0,106	0,109	0,110	0,399	0,367	0,422	0,423	0,439	0,117	0,350	0,383	0,428	0,433
0,060	0,101	0,105	0,107	0,110	0,400	0,370	0,420	0,421	0,437	0,116	0,340	0,381	0,422	0,427
0,065	0,399	0,101	0,106	0,109	0,401	0,373	0,418	0,423	0,436	0,111	0,340	0,386	0,417	0,422
0,070	0,398	0,103	0,105	0,109	0,402	0,375	0,416	0,422	0,435	0,112	0,340	0,387	0,413	0,418
0,080	0,397	0,101	0,102	0,109	0,403	0,379	0,413	0,421	0,431	0,109	0,330	0,380	0,407	0,411
0,090	0,396	0,399	0,100	0,100	0,405	0,380	0,411	0,421	0,431	0,107	0,336	0,380	0,403	0,406
0,100	0,395	0,396	0,399	0,101	0,405	0,382	0,409	0,420	0,431	0,105	0,337	0,392	0,398	0,401
0,110	0,394	0,397	0,397	0,102	0,406	0,383	0,408	0,420	0,431	0,104	0,336	0,391	0,395	0,398
0,120	0,393	0,396	0,396	0,102	0,406	0,383	0,407	0,420	0,431	0,103	0,335	0,391	0,393	0,396
0,130	0,394	0,396	0,396	0,102	0,407	0,383	0,407	0,421	0,431	0,103	0,331	0,396	0,391	0,394
0,140	0,393	0,395	0,395	0,102	0,407	0,383	0,407	0,422	0,431	0,103	0,331	0,395	0,389	0,392
0,160	0,393	0,394	0,394	0,107	0,407	0,385	0,405	0,421	0,432	0,103	0,335	0,395	0,386	0,389
0,180	0,392	0,393	0,393	0,106	0,408	0,383	0,404	0,421	0,432	0,103	0,337	0,390	0,382	0,385
0,200	0,390	0,391	0,391	0,105	0,408	0,383	0,402	0,421	0,432	0,103	0,340	0,383	0,377	0,380
0,220	0,386	0,388	0,389	0,105	0,408	0,383	0,400	0,421	0,430	0,102	0,342	0,385	0,371	0,375
0,250	0,379	0,383	0,383	0,104	0,407	0,381	0,396	0,422	0,429	0,101	0,347	0,381	0,364	0,369
0,300	0,371	0,375	0,375	0,103	0,406	0,378	0,390	0,418	0,428	0,100	0,350	0,373	0,357	0,362



N XXXIX.

debouchant librement dans l'air.

en un point où le liquide est parfaitement stagnant.

COEFFICIENTS DE LA FORMULE D.

en indiquant les différences à des ordres formés à la partie supérieure,  
dans le cas des dispositifs de la planche I.

Figure 3.	Figure 4.	Figure 5.	Figure 6.	Figure 8.	Figure 9.	Figure 10.	Figure 12.	Figure 13.	Figure 14.
0,550	0,430	0,789	0,690	0,700	0,770	0,812	0,721	-	-
0,580	0,415	0,767	0,704	0,658	0,710	0,810	0,692	-	-
0,739	0,300	0,748	0,715	0,670	0,723	0,791	0,673	-	-
0,714	0,785	0,721	0,725	0,665	0,700	0,768	0,660	-	-
0,591	0,770	0,718	0,733	0,660	0,681	0,735	0,652	-	-
0,578	0,756	0,708	0,728	0,658	0,672	0,720	0,656	-	-
0,665	0,732	0,699	0,731	0,655	0,662	0,715	0,641	0,881	0,897
0,656	0,728	0,692	0,713	0,651	0,656	0,705	0,630	0,878	0,897
0,617	0,715	0,686	0,713	0,651	0,651	0,697	0,635	0,872	0,895
0,639	0,702	0,681	0,712	0,649	0,649	0,691	0,632	0,867	0,894
0,631	0,690	0,676	0,711	0,646	0,645	0,687	0,630	0,861	0,899
0,628	0,678	0,672	0,708	0,643	0,643	0,681	0,628	0,856	0,900
0,623	0,669	0,669	0,705	0,640	0,642	0,682	0,620	0,851	0,901
0,611	0,666	0,663	0,701	0,631	0,640	0,678	0,621	0,842	0,903
0,608	0,647	0,658	0,700	0,628	0,639	0,677	0,621	0,833	0,904
0,603	0,640	0,653	0,723	0,625	0,638	0,677	0,617	0,828	0,906
0,599	0,631	0,649	0,720	0,622	0,638	0,677	0,615	0,822	0,908
0,596	0,629	0,645	0,725	0,620	0,639	0,677	0,612	0,818	0,909
0,594	0,626	0,641	0,729	0,619	0,640	0,678	0,610	0,814	0,911
0,592	0,620	0,636	0,733	0,617	0,643	0,678	0,609	0,813	0,913
0,589	0,613	0,632	0,740	0,613	0,646	0,679	0,608	0,813	0,910
0,585	0,607	0,627	0,745	0,608	0,647	0,679	0,607	0,811	0,920
0,580	0,602	0,622	0,749	0,604	0,649	0,680	0,606	0,817	0,925
0,575	0,600	0,620	0,758	0,600	0,648	0,681	0,604	0,820	0,929
0,569	0,597	0,610	0,755	0,593	0,643	0,681	0,603	0,826	0,937
0,562	0,594	0,610	0,757	0,588	0,640	0,681	0,600	0,831	0,952

OBSERVATIONS

Les deux traits horizontaux placés dans chaque colonne des coefficients indiquent les limites entre lesquelles sont comprises les expériences qui ont servi de base à la formation de ces tables.  
On s'a pas indiqué les coefficients correspondant à des charges au-dessus de 0<sup>m</sup>.01, pour les dispositifs des figures de 1 à 12, et au-dessus de 0<sup>m</sup>.01 pour ceux des figures 13 et 14, parce que pour le plupart d'entre eux, au moment pour ces deux derniers, l'écoulement ne présente plus alors qu'une sautoir qui s'attache à la face d'aval du réservoir dans laquelle le déversoir est pratiqué.

TABLEAU N° XL.

Déversoir de 0<sup>m</sup>,02 de largeur, en mince paroi plane et débouchant librement dans l'air, dans le cas du dispositif de la figure 1, planche 1.

La charge totale ou complète est mesurée loin du déversoir, en un point où le liquide est parfaitement stagnant.

CHARGES TOTALES sur la base du déversoir.	COEFFICIENTS de LA FORMULE D, indéterminés en usage.	COEFFICIENTS de LA FORMULE D, en amalgamant les déversoirs à des sections fermées à la partie supérieure.	OBSERVATIONS
0,01	0,456	0,021	Les deux traits horizontaux placés dans chaque colonne des coefficients indiquent les limites entre lesquelles sont comprises les expériences qui ont servi de base à la formation de ce tableau.
0,02	0,456	0,020	
0,03	0,456	0,019	
0,04	0,455	0,018	
0,05	0,455	0,018	
0,06	0,455	0,018	
0,07	0,455	0,017	
0,08	0,455	0,017	
0,09	0,455	0,017	
0,10	0,455	0,016	
0,12	0,455	0,016	
0,14	0,454	0,016	
0,16	0,454	0,015	
0,18	0,454	0,015	
0,20	0,454	0,015	
0,25	0,453	0,014	
0,30	0,453	0,014	
0,35	0,452	0,013	
0,40	0,451	0,012	
0,45	0,450	0,011	
0,50	0,448	0,009	
0,60	0,425	0,008	
0,70	0,403	0,007	
0,80	0,421	0,001	
0,90	0,420	0,306	
1,00	0,419	0,577	

TABLEAU N° XLI.

Déversoir de 0<sup>m</sup>,60 de largeur, pratiqué dans une paroi plane de 0<sup>m</sup>,05 d'épaisseur et débouchant librement dans l'air, dans le cas du dispositif de la figure A, planche 3.

La charge totale ou complète est mesurée loin du déversoir, en un point où le liquide est parfaitement stagnant.

CHARGES TOTALES sur le bas du déversoir.	COEFFICIENTS de LA FORMULE d. ordinairement en usage.	COEFFICIENTS de LA FORMULE D, ou similaires les déversoirs à des orifices fermés à la partie supérieure.	OBSERVATIONS
0,01	0,924	0,743	Les deux traits horizontaux placés dans chaque colonne des coefficients indiquent les limites entre lesquelles sont comprises les expériences qui ont servi de base à la formation de ce tableau.
0,02	0,921	0,729	
0,03	0,918	0,713	
0,04	0,916	0,698	
0,05	0,914	0,683	
0,06	0,912	0,677	
0,07	0,910	0,667	
0,08	0,909	0,655	
0,09	0,907	0,650	
0,10	0,906	0,644	
0,12	0,903	0,633	
0,14	0,901	0,624	
0,16	0,899	0,616	
0,18	0,897	0,609	
0,20	0,895	0,603	
0,25	0,892	0,594	
0,30	0,891	0,589	
0,35	0,891	0,585	
0,40	0,891	0,583	
0,45	0,891	0,581	
0,50	0,891	0,579	
0,60	0,890	0,574	
0,70	0,890	0,568	
0,80	0,890	0,562	
0,90	0,889	0,555	
1,00	0,889	0,540	

Déversoir de 0<sup>m</sup>,20 de largeur, prolongé au dehors du réservoir par

La charge totale ou complète est mesurée, loin du déversoir.

CHARGES TOTALS sur la base du déversoir.	COEFFICIENTS DE LA FORMULE 4, ordinaires en usage, dans le cas du dispositif de la planche 2.								
	Figure 15.	Figure 16.	Figure 17.	Figure 18.	Figure 19.	Figure 20.	Figure 21.	Figure 22.	Figure 23.
	0,000								
-0,010						0,382	0,395		0,406
0,015						0,373	0,388		0,400
0,020	0,196	0,208	0,201	0,175	0,368	0,383	0,190		0,395
0,025	0,311	0,331	0,313	0,191	0,363	0,377	0,307		0,390
0,030	0,324	0,339	0,328	0,205	0,358	0,373	0,322		0,385
0,035	0,350	0,346	0,340	0,220	0,353	0,369	0,337		0,382
0,040	0,263	0,331	0,350	0,231	0,351	0,363	0,350		0,379
0,045	0,372	0,350	0,359	0,247	0,348	0,363	0,361		0,377
0,050	0,378	0,368	0,367	0,260	0,346	0,360	0,372		0,375
0,055	0,283	0,373	0,374	0,269	0,345	0,367	0,379		0,373
0,060	0,286	0,381	0,380	0,276	0,344	0,359	0,386		0,372
0,065	0,289	0,385	0,384	0,281	0,343	0,358	0,390		0,372
0,070	0,292	0,388	0,389	0,283	0,343	0,352	0,396		0,371
0,080	0,297	0,391	0,393	0,291	0,341	0,349	0,404		0,371
0,090	0,301	0,398	0,399	0,295	0,340	0,347	0,409		0,370
0,100	0,304	0,402	0,404	0,299	0,339	0,345	0,413		0,369
0,110	0,306	0,405	0,407	0,303	0,339	0,344	0,417		0,369
0,120	0,309	0,408	0,410	0,306	0,338	0,343	0,420		0,369
0,130	0,311	0,410	0,412	0,308	0,337	0,342	0,423		0,368
0,140	0,313	0,412	0,414	0,311	0,336	0,341	0,425		0,368
0,150	0,316	0,410	0,417	0,313	0,334	0,340	0,429		0,367
0,160	0,317	0,419	0,410	0,316	0,333	0,339	0,433		0,367
0,200	0,319	0,423	0,422	0,322	0,331	0,336	0,433		0,366
0,250	0,320	0,425	0,424	0,323	0,330	0,337	0,438		0,365
0,300	0,321	0,429	0,426	0,329	0,328	0,336	0,441		0,364
0,350	0,324	0,432	0,429	0,333	0,326	0,334	0,445		0,364

canal rectangulaire découvert, de même largeur que le déversoir.

en un point où le liquide est parfaitement stagnant.

COEFFICIENTS DE LA FORMULE D.							OBSERVATIONS
en rassemblant les déversoirs à des orifices fermés à la partie supérieure, dans le cas des dispositifs de la planche 2.							
Égure 16	Égure 18	Égure 10.	Égure 20	Égure 21	Égure 22	Égure 26	
			0,590	0,633		0,617	
			0,566	0,600		0,617	
0,293	0,299	0,370	0,551	0,570	0,395	0,397	
0,316	0,322	0,395	0,541	0,583	0,310	0,387	
0,330	0,334	0,321	0,555	0,555	0,341	0,381	
0,358	0,363	0,344	0,530	0,548	0,360	0,376	
0,375	0,381	0,357	0,526	0,530	0,378	0,378	
0,390	0,395	0,387	0,522	0,524	0,393	0,369	
0,405	0,408	0,405	0,519	0,521	0,406	0,366	
0,410	0,419	0,421	0,517	0,528	0,418	0,364	
0,427	0,437	0,434	0,515	0,526	0,425	0,363	
0,434	0,436	0,443	0,513	0,524	0,438	0,360	
0,439	0,440	0,430	0,511	0,522	0,444	0,358	
0,446	0,449	0,439	0,508	0,519	0,453	0,356	
0,450	0,456	0,460	0,505	0,516	0,461	0,354	
0,453	0,460	0,472	0,503	0,513	0,466	0,353	
0,456	0,466	0,477	0,502	0,510	0,473	0,353	
0,458	0,467	0,482	0,500	0,506	0,476	0,352	
0,460	0,479	0,487	0,498	0,503	0,480	0,351	
0,462	0,473	0,492	0,497	0,502	0,483	0,351	
0,467	0,477	0,500	0,493	0,501	0,488	0,350	
0,471	0,481	0,506	0,490	0,499	0,493	0,348	
0,476	0,483	0,516	0,486	0,497	0,497	0,348	
0,480	0,487	0,520	0,483	0,496	0,500	0,346	
0,483	0,491	0,527	0,479	0,493	0,504	0,345	
0,488	0,494	0,533	0,473	0,490	0,500	0,342	

TABLEAU N° XLIII.

Déversoir incomplet ou en partie noyé de 0<sup>m</sup>,25 de largeur, prolongé au dehors du réservoir par un canal rectangulaire découvert et horizontal, de même largeur que le déversoir.

La charge totale ou complète de fluide à est mesurée loin du déversoir, en un point où le liquide est parfaitement stagnant.

La hauteur  $h - a$  de la portion de la veine qui n'est pas noyée, est la distance verticale comprise entre le niveau général de l'eau dans le réservoir et le point le plus bas de la chute dans le canal, immédiatement en aval du déversoir.

RAPPORT DE LA HAUTEUR de la portion de la veine qui n'est pas noyée à la charge totale, ou valeur à $\frac{h - a}{h}$ .	COEFFICIENT  de  LA FORMULE  $D_1 = 0,5\sqrt{g(h - a)}$ .	RAPPORT DE LA HAUTEUR de la portion de la veine qui n'est pas noyée à la charge totale, ou valeur à $\frac{h - a}{h}$ .	COEFFICIENT  de  LA FORMULE  $D_2 = 0,5\sqrt{g(h - a)}$ .	OBSERVATIONS.
0,001	0,227	0,00	0,519	Les deux traits horizontaux placés dans la colonne des coefficients indiquent les limites entre lesquelles ont comprises les expériences qui ont servi de base à la formation de ce tableau.
0,002	0,295	0,00	0,517	
0,003	0,363	0,10	0,516	
0,004	0,430	0,15	0,512	
0,005	0,496	0,20	0,507	
0,006	0,566	0,25	0,502	
0,007	0,597	0,30	0,497	
0,008	0,605	0,35	0,492	
0,009	0,600	0,40	0,487	
0,010	0,596	0,45	0,480	
0,015	0,580	0,50	0,474	
0,020	0,570	0,55	0,466	
0,025	0,557	0,60	0,459	
0,030	0,546	0,70	0,444	
0,035	0,537	0,80	0,427	
0,040	0,531	0,90	0,409	
0,045	0,526	1,00	0,390	
0,050	0,522			

## NOTE SUPPLÉMENTAIRE.

Lors de la présentation de notre mémoire à l'Académie des sciences, les membres de la commission chargés de l'examiner, nous ont exprimé le désir que le parallèle que nous avions établi entre nos résultats et ceux qui sont dus à Dubuat, Eytelwein, Bidone, d'Aubuisson, Castel, etc. etc. fût continué pour les expériences que M. le capitaine d'artillerie P. Boileau, professeur de mécanique à l'école d'application de l'artillerie et du génie, venait de publier dans le Journal de l'École polytechnique (33<sup>e</sup> cahier, tome XIX, année 1850), et pour celles que M. G. A. Hirn, ingénieur civil, a fait insérer dans le Bulletin de la société industrielle de Mulhouse (n<sup>o</sup> 94; année 1846). Nous nous sommes empressé, pour nous conformer au vœu de la commission, de rédiger la note suivante.

## § A. — EXPÉRIENCES DE M. BOILEAU.

## DÉVERSOIRS.

M. Boileau a considéré exclusivement des déversoirs verticaux sans contraction latérale, dont la base taillée en glacis incliné à 45° vers l'aval, est élevée d'une quantité notable au-dessus du fond du réservoir.

Il a distingué trois périodes dans le phénomène de l'écoulement : celle des *nappes adhérentes* à la face d'aval du barrage; celle des *nappes noyées en dessous*; enfin, celle des *nappes libres* ou détachées du barrage.

Le cas des nappes adhérentes ne saurait se présenter que très-rarement dans la pratique. En effet, dans l'appareil de M. Boileau, on ne pouvait produire le phénomène avec toutes ses circonstances, sous des charges supérieures à 0<sup>m</sup>,01, que lorsque, le liquide affleurant la base du déversoir, on faisait brusquement élever son niveau de quelques centimètres. Les nappes adhéraient alors au barrage jusqu'à ce que la charge sur le seuil du déversoir atteignit environ 0<sup>m</sup>,135; mais il suffisait, pour les en détacher, de placer dans le plan d'amont ou d'aval de ce barrage un corps solide, tel qu'un tige

métallique, une règle, etc. et dès lors elles se maintenaient dans cet état d'isolement (p. 144, 145 et 149).

Ce singulier phénomène ne nous a point échappé dès le début de nos opérations; mais comme il est purement accidentel, et que d'ailleurs nous voulions étendre nos expériences jusqu'à la limite inférieure des charges, nous avons cherché à éviter autant que possible sa reproduction, et dans ce but nous avons ménagé un ressaut vertical d'environ  $0^m,015$  entre la ligne horizontale qui limitait en aval le glacis à  $45^\circ$  formant la base de nos déversoirs, pratiqués dans une plaque de cuivre de  $0^m,004$  d'épaisseur seulement, et celle où prenait naissance le glacis également à  $45^\circ$  du madrier de  $0^m,05$  d'épaisseur dans lequel cette plaque était encastrée.

Par suite de cette disposition, nous n'avons eu à constater aucun cas d'adhérence dans tout le cours de nos expériences sur des déversoirs à base *exhaussée* au-dessus du fond du réservoir, bien que nous ayons opéré sur des charges inférieures à  $0^m,02$ , et que ces charges aient été réglées, soit en faisant monter, soit en faisant descendre le niveau de l'eau dans le réservoir, tantôt brusquement et tantôt lentement. Il n'en a pas été tout à fait ainsi pour les déversoirs dont la base est dans le prolongement du fond du réservoir, que M. Boileau n'a pas soumis à l'épreuve. La nappe inférieure de la veine s'attachait alors au glacis qui formait la base de l'orifice, mais seulement pour les très-faibles charges de liquide et lorsque l'écoulement ne présentait pas qu'une simple bavure (art. 128 et tabl. n° XIX).

Nous n'avons pas eu à considérer non plus, dans nos recherches, le cas des nappes noyées en dessous. Nous avons au contraire pris toutes les précautions nécessaires pour que jamais il ne pût se présenter, en faisant le canal de fuite beaucoup plus large que les déversoirs, et le disposant à une grande distance au-dessous de leurs bases. Ce cas doit d'ailleurs être très-peu fréquent dans la pratique, car il semble résulter de la définition qu'en donne M. Boileau (p. 147, 148 et 149) que, pour le réaliser, le liquide, refoulé vers l'amont par la pression de la lame jaillissante, doit atteindre précisément le niveau de la base de l'orifice, sans rester au-dessous ni s'élever au-dessus, sans quoi l'on serait dans les circonstances des nappes, soit libres, soit adhérentes ou dans celles des déversoirs noyés par des remous.

L'appareil dont s'est servi M. Boileau pour faire ses expériences sur les déversoirs sans contraction latérale, à section rectangulaire et nappes libres, est entièrement analogue à notre dispositif de la figure 10, planche I. Les résultats de ces expériences, qui sont au nombre de 14 et forment l'objet du tableau n° IX de son mémoire, peuvent donc être comparés à ceux que nous avons obtenus nous-même (tabl. n° XIX, expériences numérotées de 1764 à 1777 et table d'interpolation n° XXXIX). Mais, pour bien faire apprécier



les causes des différences qu'il peut y avoir entre ces résultats, il est indispensable d'indiquer la manière dont M. Boileau a opéré.

Il a mesuré les charges de fluide au moyen d'un tube ouvert à ses deux extrémités, appliqué verticalement contre la face d'amont du barrage par-dessus lequel se faisait l'écoulement. La colonne de liquide contenue dans ce tube, diminuée du ménisque, lui donnait la charge cherchée. Il avait pour but de déterminer, par ce moyen, la hauteur du niveau de l'eau au point où la surface du courant commence à s'infléchir vers le déversoir, quantité dont il a fait l'élément essentiel d'une formule de la dépense, qu'il a établie en se basant sur le principe des forces vives et dont nous parlerons plus loin. Mais il a constaté lui-même (tabl. n° II et V) que les hauteurs accusées par le tube étaient toujours plus grandes que les charges au point dont il s'agit, et plus petites que les charges *génératrices* ou *totales*.

La présence de ce tube contre le barrage pendant la durée des expériences, faisait nécessairement diminuer la dépense, tant à cause de la place qu'il occupait dans la section d'écoulement que par le trouble qu'il y occasionnait. La quantité à retrancher de la largeur effective des orifices, pour tenir compte de cette circonstance, a été déterminée au moyen de 8 observations faites sur un déversoir de 0<sup>m</sup>,896 de largeur, sous des charges comprises entre 0<sup>m</sup>,079 et 0<sup>m</sup>,1650. Cette quantité a varié entre 0<sup>m</sup>,031 et 0<sup>m</sup>,011, et M. Boileau a adopté la moyenne générale 0<sup>m</sup>,021, qu'il a défalquée de la largeur réelle de tous ses déversoirs, bien qu'elle diffère de 0<sup>m</sup>,010 des deux valeurs extrêmes (tabl. VIII). Or, parmi les 14 expériences consignées sur le tableau n° IX qui nous occupe, dix se rapportent à des déversoirs de 0<sup>m</sup>,895 et de 0<sup>m</sup>,898 de largeur. En diminuant ces largeurs de 0<sup>m</sup>,021, on a donc pu commettre, dans leur évaluation et par suite dans celle de la dépense théorique qui concerne ces 10 expériences, des erreurs en plus ou en moins s'élevant jusqu'à  $\frac{0,021}{0,874}$  ou  $\frac{0,021}{0,877}$ , c'est-à-dire jusqu'à environ  $\frac{1}{40}$ .

Enfin, M. Boileau fait remarquer à la suite du tableau n° IX dont il s'agit, au sujet des irrégularités des coefficients de la formule de la dépense qu'il a obtenus : « Qu'elles doivent être attribuées à de légères inexactitudes dans l'observation, soit des charges, soit des hauteurs du liquide recueilli dans la jauge, erreurs qu'il était bien difficile d'éviter entièrement, l'atmosphère ayant été rarement très-calme. » Ce professeur exprime la dépense effective  $D$  des déversoirs à section rectangulaire, sans contraction latérale, par la formule

$$D = \sqrt{1 - K} \cdot LH \sqrt{2g \frac{H}{\left(1 + \frac{K}{H}\right)^2}} = \sqrt{1 - K} \cdot N.$$

dans laquelle il représente par :  $L$  la largeur du déversoir;  $H$  la charge sur la

base, mesurée au point où la surface du courant commence à s'infléchir vers le déversoir; S la hauteur de la base au-dessus du fond du réservoir;  $K = \frac{0}{H}$  le rapport de l'épaisseur effective de la nappe de liquide qui passe sur le seuil du déversoir à la charge H; N la dépense théorique;  $\sqrt{1-K} = \frac{0}{3}$  le coefficient par lequel il faut multiplier cette dépense pour obtenir la dépense effective D.

Nous avons reproduit dans la table suivante les principales données du tableau n° IX de M. Boileau, relatif au cas de nappes libres. Nous y avons ajouté les coefficients à appliquer, d'après ces données, à la formule ordinaire  $LH\sqrt{2g}$  établie par Dubuat, ainsi que ceux qui, pour les mêmes charges de liquide, se déduisent de nos propres expériences (tabl. XXXIX, dispositif de la figure 10). La première colonne indique les largeurs effectives des déversoirs, et la deuxième ces mêmes largeurs diminuées de 0<sup>m</sup>.021, pour tenir compte de la place occupée par le tube qui a servi à mesurer les charges. Cette seconde colonne donne les valeurs de L à introduire, pour le calcul de la dépense, tant dans la formule de M. Boileau que dans celle de Dubuat.

LARGEURS DE DÉVERSOIRS		S.	H.	O.	COEFFICIENTS de la formule de M. Boileau, ou valeurs de $\frac{D}{N} = \sqrt{1-K}$ .	COEFFICIENTS de la formule de Dubuat · $LH\sqrt{2g}$ , dédiés des expériences	
effective.	réduite, ou valeur de L.					de M. Boileau.	de M. Londeux.
1	2	3	4	5	6	7	8
mètres.	mètres.	mètres.	mètres.	mm.			
0,895	0,874	0,360	0,0577	22,603	0,417	0,421	0,438
0,898	0,877	0,400	0,0552	28,091	0,425	0,431	0,450
1,616	1,595	0,468	0,0797	33,716	0,417	0,421	0,434
			0,0937	66,350	0,416	0,417	0,434
			0,0987	80,785	0,420	0,433	0,434
0,895	0,874	0,360	0,0667	56,143	0,419	0,419	0,435
1,616	1,595	0,468	0,1100	69,356	0,414	0,426	0,435
0,898	0,877	0,400	0,1100	108,462	0,413	0,421	0,434
0,895	0,874	0,360	0,1210	68,368	0,409	0,418	0,434
0,898	0,877	0,400	0,1340	82,370	0,416	0,434	0,434
0,898	0,877	0,400	0,1480	96,670	0,425	0,437	0,434
			0,1550	105,223	0,423	0,446	0,433
0,895	0,874	0,360	0,1880	139,346	0,414	0,442	0,432
			0,2100	177,090	0,411	0,446	0,430
Moyenne .....					0,417	0,429	0,434

On voit par les colonnes 7 et 8 de cette table que, malgré les inexacti-

tudes dont peuvent être entachées les opérations de M. Boileau, tant par les causes qu'il a énoncées lui-même que par celles que nous avons signalées, la moyenne générale des coefficients de la formule de Dubuat tirés de ses expériences, est la même à  $\frac{1}{10}$  près que celle qui se déduit des nôtres. On est en droit de conclure de ce rapprochement, que M. Boileau serait arrivé exactement aux mêmes résultats que nous, si la correction relative au tube immergé était exempte de toute incertitude, et si les hauteurs indiquées par ce tube eussent exprimé les charges effectives ou génératrices de la vitesse d'écoulement<sup>1</sup>. Les expériences de M. Boileau sont donc très-précieuses en ce qu'elles confirment, pour des déversoirs beaucoup plus grands que ceux qui sont mentionnés dans notre mémoire, ce fait que nous avons déduit (art. 290 et suivants) de la comparaison de nos résultats avec ceux qu'ont obtenus Dubuat, Bidone, Castel, etc. à savoir : que les coefficients de la formule ordinaire de la dépense sont indépendants de la largeur absolue du déversoir, pourvu que celle-ci excède  $\frac{1}{2}$  de la largeur propre du réservoir.

M. Boileau, ainsi que nous l'avons déjà dit, attribue à de légères inexactitudes dans les observations les différences que présentent entre eux les coefficients de sa formule pour les 14 expériences de la table précédente. Il est persuadé que, sans ces erreurs, il aurait obtenu le même résultat pour toutes ces expériences; et, comme la moyenne générale 0,417 des coefficients ne diffère que d'environ  $\frac{1}{10}$  en plus ou en moins des valeurs qui s'en écartent le plus, il adopte ce nombre, et il représente la dépense effective, dans le cas des nappes libres, pour toutes les charges et pour tous les déversoirs sans contraction latérale, par :

$$D = 0,417 \text{ L.H} \sqrt{2g \frac{H}{1 - \left(\frac{1}{1 + \frac{5}{H}}\right)^2}}$$

Il propose d'adopter définitivement cette formule à l'exclusion de celle de Dubuat, quoiqu'elle soit généralement employée, parce qu'il lui reproche d'exiger des coefficients de correction très-variables.

Cependant la colonne 8 de la table précédente montre que, pour les charges

<sup>1</sup> En déterminant par interpolation, d'après les quatre données comprises sur le tableau 0° V de M. Boileau, les quantités dont le niveau dans le tube s'élevait au-dessus du point où commençait l'inflexion de la surface du courant, pour les charges de 0°,1550, 0°,1880 et 0°,2190, on trouve que cet excès était respectivement de 0°,0014, 0°,0030 et 0°,0037, ce qui réduit les charges à la naissance de la nappe à 0°,1536, 0°,1850 et 0°,2153. En ajoutant à ces quantités les hauteurs dues à la vitesse moyenne du liquide en ce point, et qui s'obtient en divisant la dépense effective par la section du courant, on trouve les charges totales 0°,1565, 0°,1895 et 0°,2218. Les coefficients de la formule de Dubuat

comprises entre  $0^m,0577$  et  $0^m,2190$ , la moyenne générale  $0,434$  de ces coefficients, déduits de nos expériences, ne diffère que de  $\frac{1}{100}$  des valeurs qui s'en écartent le plus; tandis que, entre les mêmes limites, la moyenne  $0,417$  des coefficients de la formule de M. Boileau, diffère de  $\frac{1}{10}$  de leurs valeurs extrêmes. Au surplus, ces formules ne peuvent, ni l'une ni l'autre, en les affectant d'un coefficient constant, donner un degré d'approximation suffisant pour tous les besoins de la pratique, surtout lorsqu'il s'agit de très-faibles ou de très-fortes charges de liquide. Toutefois, la formule de Dubuat avec le coefficient  $0,434$ , reproduit les résultats non-seulement de nos expériences, mais encore de celles des autres observateurs, avec beaucoup plus d'exactitude que la formule de M. Boileau. Elle devrait donc, par ce seul motif, être préférée à cette dernière, si elle n'avait d'ailleurs l'avantage d'être plus simple et surtout d'être toujours applicable, quels que soient le déversoir et les circonstances qui accompagnent le phénomène de l'écoulement.

Quant à l'influence des remous sur la dépense des déversoirs, il est regrettable que M. Boileau n'ait pas rapporté, dans son mémoire, les éléments qui nous eussent permis de comparer ses résultats aux nôtres, et de compléter ces derniers pour un cas différent de celui que nous avons étudié dans nos recherches. Dans son tableau n° XV, qui comprend ses 8 expériences sur les barrages noyés, il n'a pas indiqué la hauteur des remous en aval du déversoir, et il s'est borné à mettre, en regard des coefficients de sa formule, ceux de la formule de Dubuat relative au cas où l'écoulement est libre et qui, par conséquent, ne tient pas compte de l'influence de ces remous.

#### ORIFICES FERMÉS À LA PARTIE SUPÉRIEURE.

Parmi les 37 expériences que M. Boileau a faites sur les orifices fermés à la partie supérieure, 18 dont les résultats sont consignés sur son tableau n° XXIII, se rapportent à des orifices avec contraction sur le sommet seulement, prolongés au dehors du réservoir par un canal rectangulaire découvert de  $1^m,50$  de longueur, pour les douze premières, et de  $0^m,17$  seulement pour les six autres. Ce dispositif ne diffère de celui de la figure 19, sur lequel nous avons opéré,

correspondant à ces charges sont de  $0,439$ ,  $0,436$  et  $0,438$ , et, par conséquent, d'environ les  $0,014$  de leurs valeurs plus forts que ceux qui résultent de nos expériences. Mais nous avons démontré aux articles 126 et 127 de notre mémoire, que la charge relevée au point où commence l'inflexion de la nappe, augmentée de la hauteur due à la vitesse moyenne du fluide en ce point, émit toujours sensiblement plus faible que la charge totale mesurée directement en un point où le liquide est parfaitement stagnant. Or, en admettant que la différence entre ces charges soit de  $\frac{1}{12}$ , les coefficients dont il s'agit deviennent  $0,433$ ,  $0,430$  et  $0,432$ , c'est-à-dire presque rigoureusement égaux à ceux que nous avons obtenus.

que par la longueur du canal et par la vanne qui était épaisse dans l'appareil de M. Boileau, tandis que dans le nôtre elle était réduite à une simple arête vive à son extrémité inférieure.

Le raisonnement indique que notre canal de trois mètres de longueur devait avoir sur la dépense moins d'influence que celui de 11<sup>m</sup>,50 de M. Boileau, et plus que celui de 0<sup>m</sup>,17. Cette prévision se trouve confirmée en ce qui concerne les 12 premières des 18 expériences en question, pour lesquelles la largeur des orifices a varié de 0<sup>m</sup>,898 à 0<sup>m</sup>,900, la hauteur de 0<sup>m</sup>,0485 à 0<sup>m</sup>,1200 et la charge sur le centre de 0<sup>m</sup>,11 à 0<sup>m</sup>,58, puisque les coefficients de la formule ordinaire par M. Boileau, sont tous plus faibles que ceux qui se déduisent de nos observations<sup>1</sup>. Il n'en est pas de même pour les 6 autres, car le canal adapté aux orifices n'ayant alors que 0<sup>m</sup>,17 de longueur, les coefficients correspondants devraient tous être plus forts que dans le cas où ces orifices sont prolongés par notre canal de 3 mètres et plus faibles que dans celui où ils débouchent librement dans l'air, tandis que leur rapport avec les premiers est de 0,948 à 1,007 et avec les seconds de 0,920 à 0,961. Mais, pour ces 6 expériences, la largeur 1<sup>m</sup>,606 des orifices était de 30,88 à 79,50 fois leur hauteur qui a varié de 0<sup>m</sup>,0202 à 0<sup>m</sup>,0520; or nous avons vu (237) que, toutes choses égales d'ailleurs, les coefficients de la dépense diminuaient lorsque l'une des dimensions de l'ouverture surpassait environ 20 fois la seconde, et c'est évidemment à cette circonstance que doit être attribuée la faiblesse relative des résultats pour ces 6 observations.

M. Boileau exprime la dépense effective des orifices qui nous occupent (tabl. n° XXIII) par la formule

$$Q = Le \sqrt{2g \frac{H-h}{\left(\frac{H}{h}\right)^2}} \dots (A).$$

qu'il déduit de la considération du principe des forces vives, et dans laquelle

<sup>1</sup> Nous n'avons pas rapporté ici les résultats détaillés, afin d'éviter d'allonger cette note. Les calculs pour y arriver sont d'ailleurs pénibles, parce que M. Boileau s'est borné à donner la charge à la naissance du remous, sans la mesurer, soit en un point où le liquide était stagnant, soit immédiatement au-dessus de l'orifice, en sorte que nous avons été obligé de déterminer la vitesse moyenne du courant à la naissance du remous, pour ajouter la hauteur due à cette vitesse à la charge indiquée par M. Boileau. Le rapport des coefficients de la formule de la dépense pour le canal de 11<sup>m</sup>,50 de longueur et pour celui de 3<sup>m</sup>,00, varie de 0,995 à 0,921, suivant une loi qui ne se manifeste pas clairement, parce que les expériences ne comprennent qu'un très-petit nombre de charges pour chaque orifice. Cependant ce rapport paraît se rapprocher de l'unité à mesure que la charge de liquide diminue, ce qui semble parfaitement rationnel.

il représente par :  $L$  la largeur de l'orifice;  $H'$  la hauteur de la section transversale du réservoir, prise en amont de l'orifice, à la naissance des remous;  $H$  la charge sur le seuil de l'orifice, c'est-à-dire  $H'$  augmentée de la pente du fond du réservoir depuis la naissance des remous jusqu'à cet orifice;  $e$  la hauteur de la section contractée.

Au moyen de cette formule, il reproduit les dépenses effectives, pour les 18 expériences en question, avec des différences en plus ou en moins qui varient de  $\frac{1}{100}$  à  $\frac{1}{50}$ . Nous l'avons appliquée à 7 de nos expériences sur le dispositif de la figure 19, pour lesquelles nous avons relevé des sections de la surface du liquide dans le réservoir et dans le canal de fuite. (Tabl. n° XIII, expériences numérotées de 1145 à 1151 et planches 20 et 21.) Elles se rapportent à un orifice carré de 0<sup>m</sup>,20 de côté sous trois charges de fluide différentes, en sorte qu'on a  $L = 0^m,20$ , et comme le fond du réservoir était horizontal,  $H = H'$ . Les résultats sont consignés dans le tableau suivant, où  $E$  exprime la dépense effective fournie par l'expérience, et  $Q$  la même dépense calculée par la formule de M. Boileau.

$H$ .	$e$ .	$E$ .	$Q$ .	$\frac{E}{Q}$ .
mètres.	mètres.	litres.	litres.	
0,5865	0,1331	105,261	110,047	0,956
0,5615	0,1300	87,622	95,371	0,917
0,5973	0,1291	56,177	55,179	1,018

On voit, par la dernière colonne, que les dépenses réelles sont de  $\frac{1}{100}$  à  $\frac{1}{50}$  de leurs valeurs plus faibles que celles qu'on déduit de la formule (A). Il est vrai que, dans notre dispositif de la figure 19, il y avait, entre les bords verticaux de l'orifice et les parois latérales du réservoir, un intervalle de 2 centimètres destiné à soutenir la vanne, ce qui a pu altérer le produit de l'écoulement. On peut donc admettre que, sans cette circonstance, nous aurions obtenu, comme M. Boileau, une approximation de  $\frac{1}{50}$ . Mais, en serait-il de même pour des charges de liquide beaucoup plus grandes ou beaucoup plus petites que celles qui ont été soumises à l'expérience, soit par lui, soit par nous? D'ailleurs, si la formule qui nous occupe exprime la véritable loi du phénomène, les différences dont il s'agit ne peuvent être attribuées qu'à des inexactitudes dans l'appréciation des données du calcul. Or, si M. Boileau et si nous même, malgré tous nos soins et la perfection des procédés dont nous avons fait usage dans nos observations, nous n'avons réussi à obtenir des ré-

sultats exacts qu'à environ  $\frac{1}{20}$  près, ne doit-on pas craindre que les praticiens ne commettent des erreurs beaucoup plus graves? En effet, les points où l'on doit mesurer  $H'$  et  $e$  varient à la fois avec les dimensions de l'orifice et avec les charges de liquide. Pour trouver le premier de ces deux points, il faut exécuter un nivellement très-exact; et, pour avoir le second, il est indispensable de déterminer la section contractée, qu'on ne peut reconnaître à la vue simple, et par conséquent de relever, comme nous l'avons toujours fait, plusieurs sections transversales du courant en aval de l'orifice, et de choisir parmi elles celle qui a la plus petite surface.

M. Boileau a exécuté, pour étudier l'influence des remous sur la dépense des orifices fermés à la partie supérieure, 10 expériences dont les résultats sont consignés sur son tableau n° XXIV. Pour les 5 premières, les remous ne remplissaient pas les vides entre la veine et les parois latérales du canal, aussi ne faisaient-ils pas diminuer le produit de l'écoulement, ainsi que nous l'avons nous-même constaté en pareil cas (278); car le coefficient de la formule ordinaire de la dépense, qui était de 0,602 pour la première de ces expériences, se trouve un peu plus fort (0,606) pour la 5<sup>e</sup>, quoique les remous fussent plus rapprochés de l'orifice pour celle-ci que pour l'autre. Ces remous recouvraient au contraire entièrement la veine et affleuraient le sommet de l'orifice, sans le dépasser, pour les 6<sup>e</sup> et 7<sup>e</sup> expériences. Nous avons conclu de nos opérations (278 et 280) que le coefficient de la dépense était alors, à très-peu de chose près, les 0,970 de celui qui correspond au cas où l'écoulement se fait librement. D'après cela, il devrait être ici à peu près égal à  $0,970 \times 0,602 = 0,584$ . Or, en le déterminant d'après les données de l'observation (tabl. n° XXIV), on trouve qu'il est de 0,578 pour l'expérience 6 et de 0,576 pour l'expérience 7, en sorte qu'il diffère à peine de  $\frac{1}{20}$  de la valeur 0,584 que lui assigne la règle que nous avons posée, ce qui établit un accord aussi satisfaisant que possible entre les résultats de M. Boileau et les nôtres.

Les remous débordent le sommet de l'orifice pour les expériences 8, 9 et 10; mais, malheureusement, on n'a point indiqué de combien leur point le plus élevé, dans le canal de fuite, dépasse ce sommet. Il s'ensuit qu'il nous est impossible de vérifier si la table de l'article 280 de notre mémoire peut s'appliquer à ces expériences, qui se rapportent à un cas différent de celui qui nous a fourni les données d'après lesquelles nous avons dressé cette table.

Enfin, le tableau n° XXV de M. Boileau contient le détail de neuf observations sur un orifice avec contraction sur la base et sur le sommet, de 0<sup>m</sup>,897 de largeur et 0<sup>m</sup>,06 de hauteur, garni d'une vanne épaisse. Cet orifice se trouve ainsi dans les conditions de notre dispositif de la figure 10, sauf en ce qui concerne la vanne, laquelle est mince pour ce dispositif, et

ne présente à son extrémité inférieure qu'une simple arête formant le bord supérieur de l'ouverture.

Nous n'avons pas à nous occuper des cinq dernières de ces expériences, parce qu'elles concernent un cas que nous n'avons pas soumis à l'épreuve, celui où l'orifice, sans être noyé, débouche dans un gonflement de l'eau d'aval. L'écoulement se faisait au contraire librement pour les quatre premières; par conséquent, les coefficients de la formule ordinaire de la dépense qui leur correspondent devraient être les mêmes que ceux qui se déduisent de nos tables d'interpolation (tabl. n° XXV et suivants). Cependant, les premiers sont respectivement plus forts que les seconds de  $\frac{1}{12}$ ,  $\frac{1}{10}$ ,  $\frac{1}{11}$  et  $\frac{1}{12}$ . Mais nous avons vu (art. 254 et suivants, et tabl. n° XXXIII, dispositifs des figures A et B) qu'un orifice avec une vanne épaisse fournit un plus grand produit que le même orifice avec une vanne mince, ce qui justifie parfaitement les différences que présentent, dans ce cas, les résultats de M. Boileau et les nôtres.

#### § B. — EXPÉRIENCES DE M. HIRN.

M. Hirn s'est occupé exclusivement, dans ses expériences, de la dépense des déversoirs. La notice insérée dans le Bulletin n° 94 de la Société industrielle de Mulhouse, année 1846, ne contenant pas tous les renseignements nécessaires pour bien faire apprécier les circonstances, dans lesquelles il a opéré, il s'est empressé de les compléter, sur notre demande, et c'est à son obligeance que nous devons la connaissance des détails suivants.

Cet ingénieur s'est servi, pour alimenter ses déversoirs et janger leur produit, d'un large canal rectiligne avec pente à  $\frac{1}{1000}$ , dont le profil était un pentagone irrégulier, et dans lequel il maintenait, au moyen d'écluses, une section d'eau uniforme qui lui était exactement connue, en sorte qu'il suffisait, pour avoir le volume de liquide qui y coulait, de déterminer la vitesse moyenne du courant. Il a fait usage, pour cela, d'un flotteur-écran de forme pentagonale, organisé de façon à ne laisser qu'un vide de 0<sup>m</sup>,05 entre son contour extérieur et les parois correspondantes du canal. Pour chaque expérience, il a fait parcourir au flotteur, dans le canal, une distance de 85 mètres en amont et de 85 mètres en aval d'une écluse alimentant une dérivation sur laquelle ses déversoirs étaient établis. Il est clair que la différence des temps employés par le flotteur à franchir ces deux distances égales, donnait le moyen d'évaluer la différence des vitesses moyennes en amont et en aval de l'écluse, et, par suite, des volumes de liquide écoulés, différence qui constituait précisément le débit de l'orifice soumis à l'épreuve.

Parmi les trois déversoirs sur lesquels M. Hirn a opéré, deux se trouvaient



dans des cas particuliers, qui n'avaient encore été l'objet d'aucune expérience.

Pour l'un, celui de 7<sup>m</sup>,89 de largeur, le canal de dérivation était évasé de l'amont vers l'aval, sur une longueur de 40 mètres, pour passer de sa largeur primitive, qui était de 5 mètres, à celle de 9 mètres, qu'il avait au point où était placé le déversoir; ses parois latérales, en terre, et son fond étaient raccordés entre eux par une courbe ayant la forme d'une demi-ellipse dont le petit axe était vertical; en outre, il y avait contre le barrage, qui était formé de planches de 0<sup>m</sup>,03 d'épaisseur, un massif de terre et de cailloux terminé à sa surface par une courbe présentant sa concavité au choc du courant, et qui, prenant naissance à environ 0<sup>m</sup>,25 au-dessous de la base de l'orifice, se raccordait à environ 1<sup>m</sup>,50 en amont de celui-ci avec le fond du canal. Un tel déversoir devait évidemment, toutes choses égales d'ailleurs, donner un plus grand produit que ceux sur lesquels ont porté nos expériences. Aussi M. Hirn a-t-il trouvé 0,47 pour le coefficient de correction de la formule de Dubuat, correspondant à la charge 0<sup>m</sup>,305 qu'il a soumise à l'épreuve; tandis que le même coefficient, déterminé par interpolation à l'aide de nos tables, en ayant égard au rapport de la largeur de l'ouverture à celle du réservoir, qui est ici de  $\frac{9}{5} = 0,877$ , et en tenant compte de l'augmentation due à l'épaisseur de la base et des joues de l'orifice (tableaux n<sup>os</sup> XXXIX et XLI), n'est que de 0,435.

Le second déversoir était situé à 30 mètres en aval du premier. A en juger par le croquis que M. Hirn a bien voulu nous transmettre, le canal de dérivation avait en ce point une largeur de 9<sup>m</sup>,00, son profil était tel que nous l'avons déjà décrit, ses parois étaient sensiblement parallèles à la direction du courant, et il n'y avait aucun obstacle au pied du barrage. Ce second déversoir, qui avait 3 mètres de largeur, et dont la base était élevée de 0<sup>m</sup>,80 au-dessus du fond du canal, s'écartait par conséquent moins que le premier des conditions ordinaires. Cependant, il a donné le coefficient 0,45 pour une charge de 0<sup>m</sup>,59, la seule sur laquelle on ait opéré, tandis qu'en procédant par interpolation comme nous l'avons indiqué plus haut, on ne trouve que 0,405 pour ce même coefficient.

Enfin, le troisième déversoir, qui avait 3 mètres de largeur comme le précédent, et dont la base était exhaussée de un mètre au-dessus du fond du réservoir, se trouvait dans l'un des cas auxquels nos expériences se rapportent. Il était situé à environ 30 mètres en aval de l'écluse de prise d'eau du canal de dérivation; ce canal avait en ce point 5 mètres de largeur, ses parois étaient parallèles entre elles et à l'axe d'écoulement, son profil était rectangulaire, et son fond était horizontal et garni de madriers sur une longueur de 3 mètres en amont du barrage. M. Hirn a fait sur ce déversoir, sous des

charges comprises entre 0<sup>m</sup>,168 et 0<sup>m</sup>,260, cinq expériences, dont deux lui ont donné 0,42 et les trois autres 0,43, soit en moyenne 0,426 pour le coefficient de correction de la formule de Dubuat. Ce même coefficient, déterminé par interpolation à l'aide de nos tables en ayant égard au rapport de la largeur de l'orifice à celle du réservoir, qui est de  $\frac{2}{3} = 0,6$ , et en tenant compte de l'augmentation due à l'épaisseur des parois, varie de 0,417 à 0,421, en sorte que sa valeur moyenne 0,419 ne diffère que de  $\frac{1}{100}$  de celle qui résulte de l'observation. Un tel accord entre nos résultats et ceux d'expériences exécutées sur une aussi grande échelle, et sans moyens de précision pour mesurer, soit les charges, soit les volumes de liquide, est assurément très-satisfaisant.

M. Hiru, se conformant à l'usage généralement répandu, a toujours pris la hauteur du niveau de l'eau à 1<sup>m</sup>,00 ou 1<sup>m</sup>,50 au plus en amont de ses orifices. Ce mode de relever les charges n'a eu ici aucune influence sensible sur les résultats; mais, ainsi que nous l'avons déjà dit, il conduirait à des erreurs très-graves dans beaucoup de cas. C'est pourquoi nous avons donné (200) des formules d'interpolation d'après lesquelles, connaissant l'épaisseur *moyenne*  $h$  de la lame de liquide qui passe sur le seuil des déversoirs, on détermine la charge *totale*  $H$  à introduire dans la formule de Dubuat. En outre, depuis la présentation de notre travail à l'académie des sciences, nous avons remplacé dans cette formule  $H$  par  $h$ , et nous avons dressé une table des coefficients qu'il convient de lui appliquer pour obtenir la *dépense effective*. De cette manière, on sera dispensé de s'occuper de la charge *totale* pour résoudre les questions relatives au produit des déversoirs, et il suffira de déterminer la charge *moyenne* dans leur plan, opération qui se réduira souvent (201) à mesurer l'ordonnée du centre des sections de la nappe de liquide par ce plan. Cette table ne pouvant trouver place dans la présente note, nous nous réservons de la publier plus tard.

FIN.

C 16 130



# TABLE ANALYTIQUE DES MATIÈRES.

	Page
RAPPORT FAIT À L'ACADÉMIE DES SCIENCES PAR LES COMMISSAIRES CHARGÉS D'EXAMINER LE TRAVAIL DE M. LESBROS .....	1
AVANT-PROPOS .....	1

## CHAPITRE I.

### OBJET DES NOUVELLES EXPÉRIENCES, DISPOSITIFS ET OPÉRATIONS PRÉPARATOIRES.

§ 1. — OBJET DES NOUVELLES EXPÉRIENCES .....	5
§ 2. — DISPOSITIFS DES ORIFICES D'ÉCOULEMENT .....	7
<p><i>Sommaire.</i> Orifices de 0<sup>m</sup>,20 de base sur diverses hauteurs, débouchant librement dans l'air, page 8. — Mêmes orifices prolongés par des canaux au dehors du réservoir, 12. — Orifices de 0<sup>m</sup>,60 et de 0<sup>m</sup>,12 de base sur diverses hauteurs, en mince paroi plane, 15. — Orifices de 0<sup>m</sup>,60 de base sur diverses hauteurs, percés dans une paroi plane de 0<sup>m</sup>,05 d'épaisseur et débouchant librement dans l'air, 16.</p>	
§ 3. — MOYENS EMPLOYÉS POUR RÉGLER LES HAUTEURS DES ORIFICES .....	17
<p><i>Sommaire.</i> 1<sup>o</sup> Tige de la vanne; corrections à faire pour tenir compte des variations de sa longueur dues à l'influence de la température, 17. — 2<sup>o</sup> Calés de bois debout de hauteurs égales à celles des orifices, 19. — 3<sup>o</sup> Vernier encastré dans le barrage, au-dessus du sommet des orifices; vices de cet appareil, 19. — 4<sup>o</sup> Échelles le long des deux bords verticaux des orifices, et verniers tracés près de l'arête inférieure de la vanne, 21.</p>	
§ 4. — APPAREILS POUR RELIÉTER LES CHARGES DE LIQUIDE ET LES SECTIONS DES VEINES :	
1 <sup>o</sup> Charges de liquide loin des orifices .....	22
<p><i>Sommaire.</i> Nouvelle coulisse avec coulisseau et vernier, 22. — Escabelle sur laquelle se tient l'observateur, 23. — Boîte sans fond autour de la coulisse, 24. — Hangar entourant le réservoir, 24. — Cloison en amont</p>	

des orifices pour détruire les oscillations du liquide; ses inconvénients, 25.  
 — Manœuvre pour régler le niveau de l'eau dans le réservoir; emploi d'un miroir pour lire les divisions du vernier indiquant la hauteur de ce niveau; degré d'approximation obtenu dans l'évaluation des charges de liquide, 27.

2° Charges de fluide près des orifices et sections des veines..... 29

Sommaire. Instrument d'un usage général pour relever à la fois un grand nombre de points de la surface du liquide; support de cet instrument et manière d'opérer, 29. — Cas où le réservoir est trop étroit pour que l'observateur puisse y pénétrer; support particulier pour recevoir l'instrument mentionné plus haut, lorsqu'on ne veut relever des points que jusqu'à une courte distance en amont des orifices, 30. — Degré d'approximation obtenu dans l'évaluation des charges de liquide, 32. — Procédés employés pour relever le contour entier des veines fluides jaillissant par les orifices, 32.

3. — JAUGAGE DES DÉPENSES DES ORIFICES..... 33

Sommaire. Description et étalonnage de la jauge et du cuvier destinés à recueillir la dépense des orifices, 33. — Mode d'admission de cette dépense dans la jauge et dans le cuvier; degré d'approximation obtenu dans son évaluation, 37.

## CHAPITRE II.

### RÉSULTATS IMMÉDIATS DES EXPÉRIENCES OU OBSERVATIONS.

#### 1<sup>re</sup> SECTION.

LEVERS DE VEINES FLUIDES; CIRCONSTANCES QUI ACCOMPAGNENT LE PHÉNOMÈNE DE L'ÉCOULEMENT DU LIQUIDE, ET DÉPRESSIONS ÉPROUVÉES, DANS LE RÉSERVOIR, PAR SA SURFACE SUPÉRIEURE.

§ 1. — LEVERS DE VEINES FLUIDES JAILLISSANT PAR DES ORIFICES FERMÉS À LA PARTIE SUPÉRIEURE, DÉBOUCHANT LIBREMENT DANS L'AIR..... 40

Sommaire. Contractions éprouvées par la veine fluide à diverses distances du plan qui contient l'orifice, et conséquences qui s'en déduisent : 1° pour un orifice carré de 0<sup>m</sup>,20 de côté, en mince paroi plane, 40; 2° pour un orifice de 0<sup>m</sup>,02 de largeur horizontale sur 0<sup>m</sup>,60 de hauteur, en mince paroi plane, 44; 3° pour des orifices de 0<sup>m</sup>,20 de largeur sur 0<sup>m</sup>,20 et 0<sup>m</sup>,05 de hauteur, dans le cas où la contraction est supprimée entièrement sur la base, et en très-grande partie sur les côtés verticaux de l'ouverture, 47.

	Pages.
5 2. — RÉSUMÉ DES PRINCIPALES CIRCONSTANCES QUE PRÉSENTE L'ÉGOULEMENT DU LIQUIDE À L'EXTÉRIEUR ET À L'INTÉRIEUR DU RÉSERVOIR.....	50
<i>Sommaire.</i> Orifices fermés à la partie supérieure, débouchant librement dans l'air, 50. — Mêmes orifices prolongés par des canaux au dehors du réservoir, 53. — Orifices découverts ou en déversoir, débouchant librement dans l'air, 60. — Mêmes orifices prolongés par des canaux au dehors du réservoir, 64.	
5 3. — DÉPRESSIONS ÉPROUVÉES, DANS LE RÉSERVOIR, PAR LA SURFACE SUPÉRIEURE DU LIQUIDE, DANS LE CAS DES ORIFICES FERMÉS À LA PARTIE SUPÉRIEURE.....	66
<i>Sommaire.</i> Position du point où il convient de mesurer les charges de liquide, immédiatement en amont des orifices, 66. — Contour de la surface du liquide <i>semblablement déprimée</i> dans le réservoir, 69. — Effets de l'adhérence du fluide contre les parois des orifices, 71. — Tables des dépressions éprouvées par le liquide, en amont des orifices, dans le cas de plusieurs dispositifs qui ont été l'objet de séries d'opérations spéciales, 73.	
5 4. — DÉPRESSIONS ÉPROUVÉES, DANS LE RÉSERVOIR, PAR LA SURFACE SUPÉRIEURE DU LIQUIDE, DANS LE CAS DES ORIFICES DÉCOUVERTS OU EN DÉVERSOIR.....	79
<i>Sommaire.</i> Nécessité de déduire la charge totale sur la base des déversoirs de la charge moyenne dans le plan de ces orifices, lorsqu'on ne peut pas la mesurer directement, 79. — Table des charges moyennes et des épaisseurs effectives des nappes de liquide dans le plan des déversoirs, pour plusieurs dispositifs qui ont été l'objet de séries d'opérations spéciales, 83. — Distinction à établir entre l'épaisseur effective de la nappe fluide, au centre des déversoirs, et la charge moyenne dans le plan de ces orifices; cas dans lesquels ces deux quantités sont <i>semblablement égales</i> entre elles, 86. — Recherche des circonstances qui font varier les dépressions de la surface du liquide, dans le plan des déversoirs isolés par leur base et débouchant librement dans l'air, 99. — Formules exprimant ces dépressions en fonction de la charge moyenne, et tables des résultats qu'elles fournissent en les appliquant aux expériences des divers observateurs dans les circonstances suivantes : déversoirs isolés par leur base et débouchant librement dans l'air, dans le cas où le rapport de leur largeur à celle du réservoir est inférieur à 0.5, 107; est supérieur à 0.5, 113; et dans le cas où leurs deux bords verticaux sont inégalement éloignés des faces latérales du réservoir, ou sont contenus dans un plan oblique par rapport à ces faces, 122. — Mêmes orifices prolongés par un canal au dehors du réservoir, 127. — Déversoirs débouchant librement dans l'air, dont la base est plus ou moins rapprochée du fond du réservoir, sans être au même niveau et sans être entièrement isolée, 133. — Mêmes orifices dont la base est au niveau du fond du réservoir, dans le cas où le rapport de leur largeur à celle du réservoir est inférieur à 0.5, 136; est supérieur à 0.5, 141; et dans le cas où leurs deux bords verticaux sont inégalement éloignés des faces latérales du réservoir, ou sont contenus dans un plan oblique par rapport à ces faces, 145. — Mêmes orifices prolongés par un canal au	

dehors du réservoir, 146. — Récapitulation des formules qui peuvent servir à déduire la charge totale de la charge moyenne et réciproquement, pour les déversoirs qui ont au moins 30 millimètres de largeur, 152.

II<sup>e</sup> SECTION

## DÉPENSES DES ORIFICES.

- 5 1. — FORMATION DES TABLEAUX RELATIFS AUX DÉPENSES DES ORIFICES . . . . . 156
- 5 2. — RÉSULTATS D'EXPÉRIENCES PARTICULIÈRES CONCERNANT LES DÉPENSES DES ORIFICES . . . . . 162
- Sommaire.* Vérification des résultats obtenus, dans les mêmes circonstances, soit à des époques, soit avec des jauges différentes, 163. — Évaluation de la dépense en ouvrant brusquement l'orifice, sans régler le niveau de l'eau dans le réservoir, 163. — Influence des feuillures dans lesquelles glisse la vanne des orifices, 164. — Effet produit par le canal de décharge, selon que sa vanne est plus ou moins ouverte, 165. — Altérations de la dépense dues : 1<sup>o</sup> à la flexion de la vanne des orifices, lorsqu'elle n'est pas arc-boutée à son extrémité inférieure, 165; 2<sup>o</sup> à une éloison établie à 6 mètres en amont des orifices, 166.
- 5 3. — DÉPENSES DES ORIFICES FERMÉS À LA PARTIE SUPÉRIEURE, DÉBOUCHANT LIBREMENT DANS L'AIR . . . . . 169
- Sommaire.* 1<sup>o</sup> Orifices de 0<sup>m</sup>.30 de base sur diverses hauteurs, accompagnés de différents dispositifs. Examen des variations que les coefficients de correction de la formule de la dépense éprouvent, selon les dispositifs et selon les charges de liquide; table des différences proportionnelles maxima, minima et moyenne de ces coefficients, comparés à ceux qui correspondent au cas des minces parois, 169. — Les parois latérales du réservoir commencent à exercer une influence sensible sur la dépense, lorsque la distance qui les sépare est réduite à environ six fois la largeur de l'orifice, 172. — Les coefficients de la dépense n'augmentent pas en raison du nombre des côtés de l'orifice privés de contraction, mais en raison de la fraction du périmètre entier sur laquelle cette contraction est supprimée, 173. — Pour les petites ouvertures sous de faibles charges, les coefficients diminuent au lieu d'augmenter lorsque, après avoir détruit la contraction sur les bords verticaux, on la supprime aussi sur la base de ces ouvertures, 175. — Examen des résultats des expériences de M. Bidone, relatives à la suppression de la contraction sur les côtés des orifices, 177. — Les coefficients de la dépense suivent une loi moins régulière quand on relève les charges de liquide près, que lorsqu'on les mesure loin des orifices; causes de ces irrégularités, 178. — 2<sup>o</sup> Orifices de 0<sup>m</sup>.60 et de 0<sup>m</sup>.02 de base sur diverses hauteurs, en mince paroi plane. Pour des orifices égaux en longueur et en largeur, les coefficients de cor-

rection de la formule D' de la dépense, qui tient compte de l'influence de la hauteur de l'ouverture, sont les mêmes, à égalité de charge sur le sommet, quelle que soit celle des deux dimensions de l'orifice qui est disposée horizontalement, 180. — Les coefficients ne dépendent que de la plus petite dimension de l'orifice, et restent les mêmes, à égalité de cette dimension, quelle que soit l'autre, tant qu'elle n'exède pas environ vingt fois la première, 181. — 3° Orifices de 0<sup>m</sup>,60 de base sur diverses hauteurs, pratiqués dans une paroi de 0<sup>m</sup>,05 d'épaisseur. Les coefficients sont les mêmes pour ces orifices que pour ceux en maçonnerie, lorsque la veine se détache de tout leur pourtour, et que leurs quatre côtés sont dans un même plan vertical, ce qui suppose que, s'ils sont garnis d'une vanne, elle est réduite à une simple arête à son extrémité inférieure, 185. — Les coefficients augmentent de plus en plus lorsqu'on adapte successivement aux orifices une vanne épaisse, des feuillures et un seuil, 187. — Cas où la veine s'attache à la face inférieure de la vanne et s'en détache par un mouvement alternatif, pour les petites ouvertures sous de faibles charges, 188. — Comparaison des résultats obtenus pour les orifices à parois épaisses, avec ceux qui concernent les portes d'écluse du canal de Languedoc et du vieux bassin du Havre, 190. — 4° Résumé des conséquences qui se déduisent des expériences, et usage des tables d'interpolation des coefficients des formules ordinaires de la dépense, 191. — 5° Application à quelques expériences d'une formule théorique basée sur le principe des forces vives, 194.

§ 4. — DÉPENSES DES ORIFICES FERMÉS À LA PARTIE SUPÉRIEURE, PROLONGÉS AU DESSOUS DU RÉSERVOIR PAR DES CANAUX RECTANGULAIRES DÉCOUVERTS......

196

Sommaire. Comparaison des coefficients de la dépense avec ceux qui concernent les orifices débouchant librement dans l'air; table de leurs différences proportionnelles maxima et minima, 196. — Les canaux qui prolongent les orifices font, en général, diminuer sensiblement la dépense; exception particulière en ce qui concerne l'orifice de 0<sup>m</sup>,01 de hauteur, 198. La suppression de la contraction sur les bords de l'ouverture fait généralement moins augmenter la dépense des orifices avec canaux que de ceux qui débouchent librement dans l'air, 199. — Un canal horizontal, abaissé de 0<sup>m</sup>,05 seulement au-dessous de la base de l'orifice, perd une très-grande partie de l'influence qu'il avait sur la dépense lorsqu'il était établi au niveau de cette base, 201. — Le rapport de la vitesse de l'eau dans un canal horizontal à celle qui est due à la charge de liquide sur le centre de l'orifice varie : d'un point à l'autre du canal pour une même charge, 202; avec la charge pour un même point du canal, 204; avec le dispositif de l'orifice pour une même charge et un même point du canal, 205; enfin, toutes choses égales d'ailleurs, avec la hauteur de l'orifice, 205. — Le même rapport varie dans le cas des canaux inclinés comme dans celui des canaux horizontaux, 206. — Comparaison de la vitesse moyenne de l'eau dans la section contractée à celle qui est due à la charge de fluide au-dessus de cette section ou du remous, dans le cas où la veine suit le fond du canal, 208.

- 5 5. — INFLUENCE DES REMOUS SUR LA DÉPENSE DES ORIFICES FERMÉS À LA PARTIE SUPÉRIEURE, PROLONGÉS AU DEHORS DU RÉSERVOIR PAR DES CANAUX RECTANGULAIRES DÉCOUVERTS. . . . . 210

Sommaire. Nécessité des nouvelles expériences et détails sur leur exécution; formation du tableau des résultats obtenus, en faisant usage de quatre formules différentes pour calculer la dépense théorique, 210. — Vitesse moyenne de l'eau dans les parties du canal que n'atteignent pas les remous, 213. — La formule ordinaire exprime mieux que toutes les autres la loi des dépenses; table des coefficients auxiliaires dont il faut l'affecter pour tenir compte de l'influence des remous, 214.

- 5 6. — DÉPENSES DES ORIFICES DÉCOUVERTS OU EN DÉVERSIOIR, DÉBOUCHANT LIBREMENT DANS L'AIR. . . . . 220

Sommaire. La dépense des déversoirs augmente lorsqu'on détruit la contraction sur leurs bords ou sur leurs bords verticaux; mais elle diminue au contraire quand, ces bords étant privés de contraction, on la supprime aussi sur la base; tableaux comparatifs des résultats des nouvelles expériences, et de ceux qu'ont obtenus les divers observateurs qui ont opéré sur des déversoirs sans contraction latérale, 220. — Lorsque le rapport de la largeur du déversoir à celle du réservoir excède environ 0,1, les coefficients de la formule ordinaire de la dépense augmentent avec ce rapport, et sont indépendants de la largeur absolue de l'orifice, 230. — Pour les déversoirs dont la largeur est inférieure à 0,1 de celle du réservoir, les coefficients de la dépense sont les mêmes, quelle que soit la largeur de l'orifice, tant qu'elle surpasse 0,08; mais, lorsqu'elle est plus petite, ils varient au contraire avec cette largeur, et augmentent à mesure qu'elle diminue; tableaux comparatifs des résultats des nouvelles expériences, et de ceux qu'ont obtenus les divers observateurs qui ont opéré sur des déversoirs placés dans ces conditions, 233. — Tableau général des résultats des expériences de M. Castel sur les déversoirs dont la largeur est supérieure à 0,1 de celle du réservoir, en tenant compte de la vitesse acquise par le liquide au point où cet ingénieur a mesuré les charges, 243. — Les coefficients de la dépense sont généralement plus forts pour les déversoirs à parois épaisses que pour ceux à parois minces, 244. — Les coefficients de la formule relative au cas où l'on assimile les déversoirs à des orifices fermés à la partie supérieure, ne suivent pas la même loi que ceux de la formule ordinaire, en ce qui concerne l'influence de la suppression de la contraction sur les bords de l'ouverture, 245. — Usage des tables d'interpolation des coefficients des formules de la dépense, 245.

7. — DÉPENSES DES ORIFICES DÉCOUVERTS OU EN DÉVERSIOIR, PROLONGÉS AU DEHORS DU RÉSERVOIR PAR DES CANAUX RECTANGULAIRES DÉCOUVERTS. . . . . 247

Sommaire. Les coefficients de la formule ordinaire de la dépense sont beaucoup plus faibles pour les déversoirs prolongés par des canaux que pour ceux qui débouchent librement dans l'air, 247. — La dépense



TABLE ANALYTIQUE DES MATIERES

509

Page.

augmente quand on supprime la contraction sur la base ou sur les côtés verticaux des déversoirs, tandis qu'elle diminue lorsque, ces côtés étant privés de contraction, on la détruit aussi sur la base, 248. — Comparaison des nouveaux résultats avec ceux qui sont dus à M. Castel, 249.

5 8. — DÉPENSES DES DÉVERSOIRS INCOMPLETS OU EN PARTIE NOYÉS. . . . . 249

Sommaire. Formule de Dubuat; elle n'est basée que sur une seule observation, et elle conduit aux anomalies les plus choquantes, 250. — Nouvelle formule aussi simple que la première, fondée sur d'autres données et satisfaisant avec beaucoup d'exactitude à tous les résultats des expériences, 250. — La question ne peut être considérée comme résolue qu'en ce qui concerne les déversoirs incomplets prolongés par des canaux horizontaux et dont la base et les bords verticaux sont entièrement isolés des faces correspondantes du réservoir; nécessité d'opérer sur d'autres dispositifs, 251.

BASEUR. . . . . 253

TABLEAUX DÉTAILLÉS DES RÉSULTATS DES EXPÉRIENCES SUR LA DÉPENSE DES ORIFICES. . . . . 263

TABLE GÉNÉRAL DES COEFFICIENTS DES FORMULES DE LA DÉPENSE DES ORIFICES. . . . . 341

NOTES SUPPLÉMENTAIRES :

§ A. — Expériences de M. Boileau. . . . . 491

§ B. — Expériences de M. Hirn. . . . . 500

FIN DE LA TABLE DES MATIÈRES.





Fig 6



Fig 7.



Fig 8.

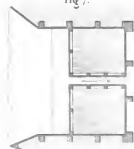
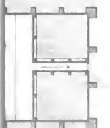
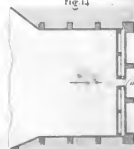
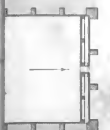


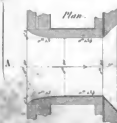
Fig. 12.



Fig. 13



(a)



Détail relatif à la Fig. 14



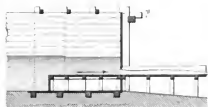


Fig. 19.

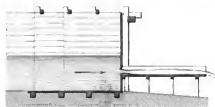


Fig. 20.

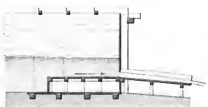
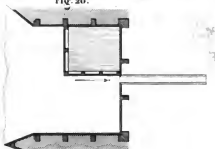
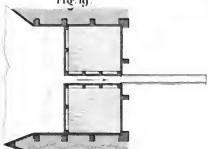


Fig. 23.

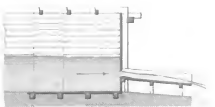
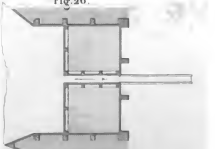
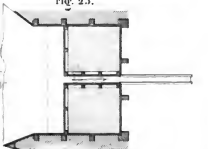


Fig. 24.





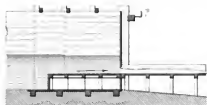


Fig. 19.



Fig. 20.

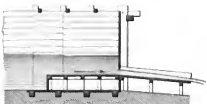
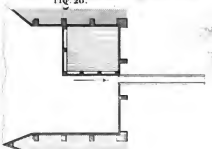
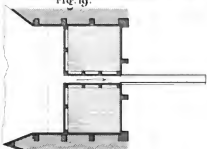


Fig. 25.

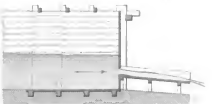
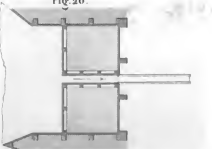
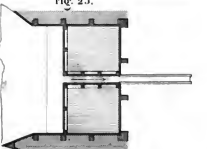


Fig. 26.







librement dans l'air.

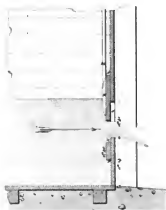
Section suivant *g h*.

Fig. C.

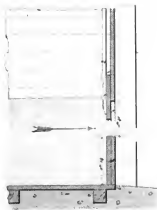
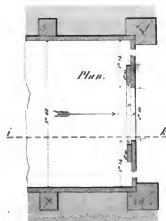
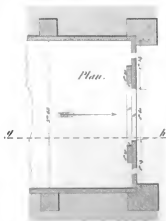
Section suivant *i k*.

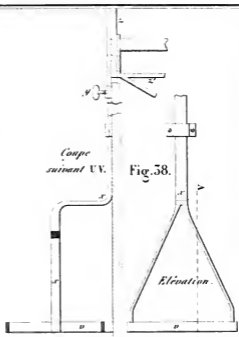
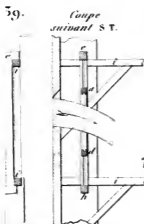
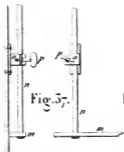
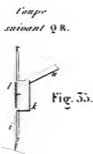
Fig. D.



de de n° 23 pour un mètre, pour les Fig. B, C, D.

2 3 4 mètres





*Echelle de 0°3 pour un mètre, pour les Fig. 35 à 37.*



*Echelle de 0°5 pour un mètre, pour la Fig. 39.*



*Echelle de 0°2 pour un mètre, pour les Fig. 32 et 38.*

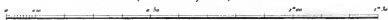




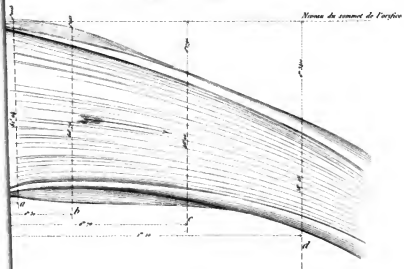
*Plan de la veine.*



*Echelle de 1/2 pour un mètre, pour le plan et l'élevation.*



*Elevation de la veine.*

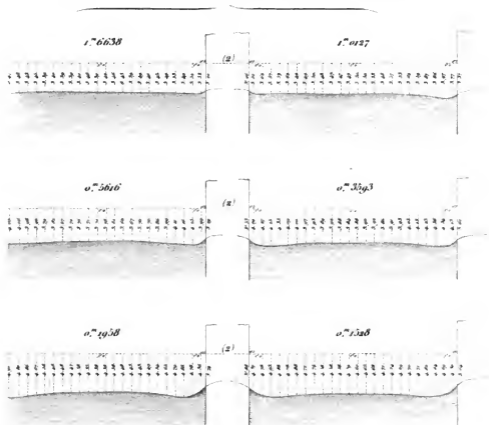




*Sections suivant CD pour des charges totales, sur la base de l'orifice, de*



*Sections suivant CD pour des charges totales, sur la base de l'orifice, de*



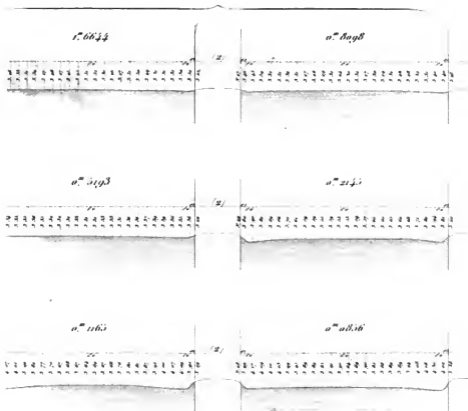
*Echelle de 0.<sup>m</sup>5 pour un mètre, pour les sections suivant CD.*







Sections suivant CD pour des charges totales, sur la base de l'orifice, de



Echelle de 0.3 pour un mètre, pour les sections suivant CD.









DISPOSITIF DE LA FIG. 10, PL. 1.

col. de côté — Charge totale, sur la base de l'outier, de n° 344.

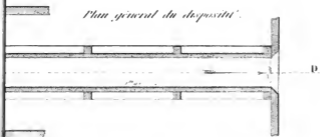
Section suivant CD,

1 <sup>er</sup> m.	2 <sup>es</sup> m.	3 <sup>es</sup> m.	4 <sup>es</sup> m.	5 <sup>es</sup> m.	6 <sup>es</sup> m.	7 <sup>es</sup> m.	8 <sup>es</sup> m.	9 <sup>es</sup> m.	10 <sup>es</sup> m.
1	2	3	4	5	6	7	8	9	10



Les échelles de 1 mètre

Plan général du dispositif.



Coupe en long.



Echelle de n° 1 pour un mètre, pour les épaisseurs



de n° 200 pour un mètre, pour le plan et les coupes



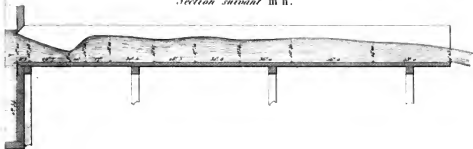


Charge de 0.<sup>m</sup> 1220 sur le centre de l'orifice.

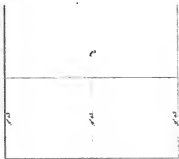
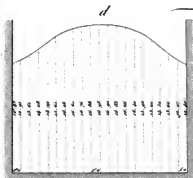
Plan de la veine dans le canal.



Section suivant m n.

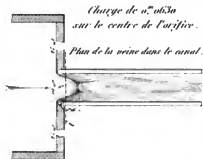
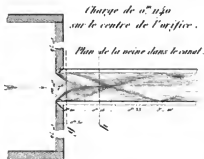


Sections.





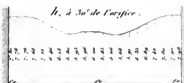




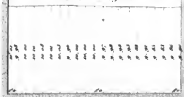
g. à 7" de l'orifice.



h. à 30" de l'orifice.



à 2.<sup>m</sup> 50 de l'orifice.



à l'extrémité du canal.



l. à 6" de l'orifice.



à 2.<sup>m</sup> 20 de l'orifice.



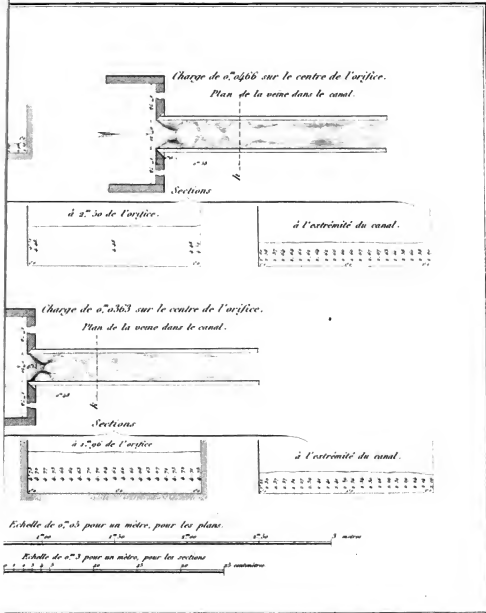
à l'extrémité du canal.



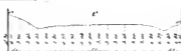
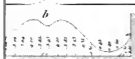
Niveaux

Niveaux

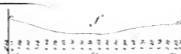
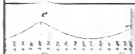




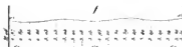
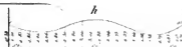
Sections



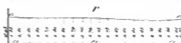
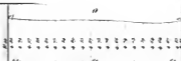
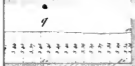
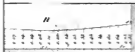
Sections



Sections

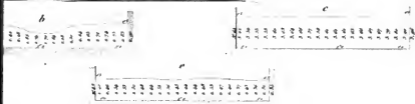


Sections

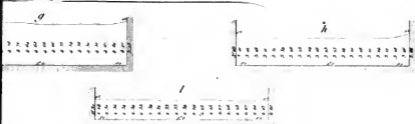




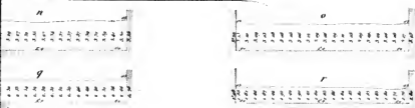
*Sections*



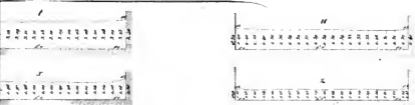
*Sections*



*Sections*



*Sections*



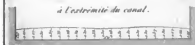
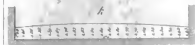
*0.3 pour un autre, pour les sections.*  
*0.3 centimètres.*



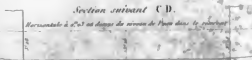
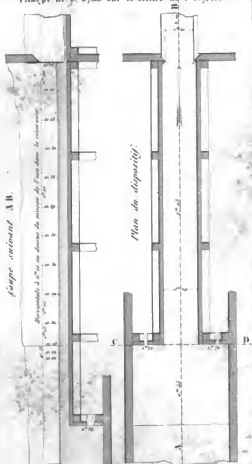


DISPOSITIF DE LA FIG. 19, PL. 2.

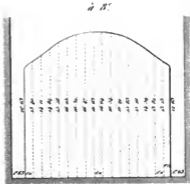
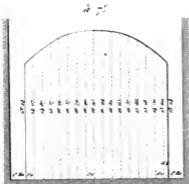
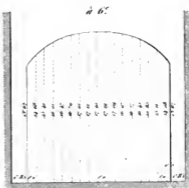
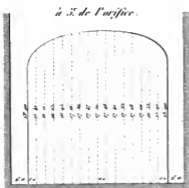
Charge de 0<sup>m</sup> 760 sur le centre de l'orifice.



à l'extrémité du canal.









le centre de l'orifice.

Charge de  $0^m,4770$  sur le centre de l'orifice.

de l'orifice.

Section à 6<sup>ts</sup> de l'orifice.

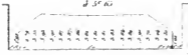
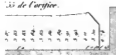


Charge de  $0^m,1058$  sur le centre de l'orifice.

Section

de l'orifice.

à 5<sup>ts</sup> de l'orifice.



Plan général du dispositif.



Coupe suivant A B.



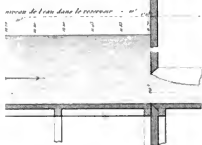
Echelle de  $0^m,3$  pour un mètre, pour les sections.





large de 0<sup>m</sup> 205 sur le centre de l'orifice.

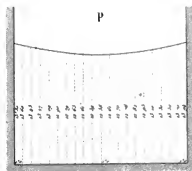
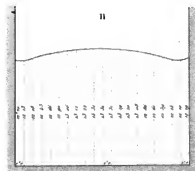
avant CD



Section suivant AB.



Sections dans le canal



0<sup>m</sup> 25 pour un mètre, pour le plan et les sections suivant CD.

1<sup>m</sup> 00    1<sup>m</sup> 50    2<sup>m</sup> 00    2<sup>m</sup> 50    3<sup>m</sup> 00

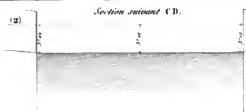




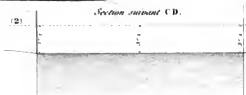




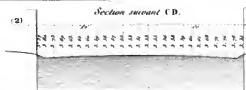
70 sur le centre de l'orifice.



75 sur le centre de l'orifice.



88 sur le centre de l'orifice.



9 sur le centre de l'orifice.

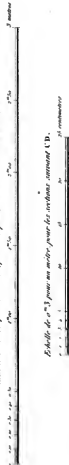


montée à 10' au-dessus du niveau de l'eau dans le réservoir  
horizontale à 3'

idem

Echelle de 0<sup>m</sup>15 pour un mètre, pour les plans et les sections suivant AB.

Echelle de 0<sup>m</sup>3 pour un mètre, pour les sections suivant CD.







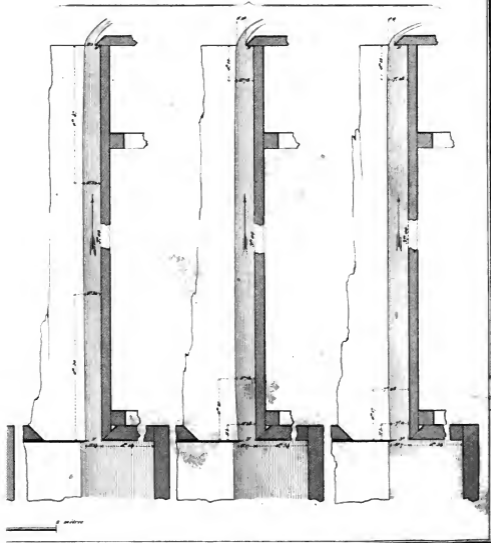
No.	Name	Age	Sex	Color	Remarks
1	John Smith	25	M	White	
2	Mary Jones	22	F	White	
3	James Brown	30	M	White	
4	Elizabeth White	28	F	White	
5	Robert Black	35	M	White	
6	Sarah Green	20	F	White	
7	William Grey	40	M	White	
8	Anna Hill	24	F	White	
9	Thomas Lee	32	M	White	
10	Jessie King	18	F	White	
11	George King	25	M	White	
12	Harriet King	22	F	White	
13	Charles King	30	M	White	
14	Elizabeth King	28	F	White	
15	John King	35	M	White	
16	Mary King	24	F	White	
17	James King	32	M	White	
18	Sarah King	20	F	White	
19	William King	40	M	White	
20	Anna King	24	F	White	
21	Thomas King	32	M	White	
22	Jessie King	18	F	White	
23	George King	25	M	White	
24	Harriet King	22	F	White	
25	Charles King	30	M	White	
26	Elizabeth King	28	F	White	
27	John King	35	M	White	
28	Mary King	24	F	White	
29	James King	32	M	White	
30	Sarah King	20	F	White	
31	William King	40	M	White	
32	Anna King	24	F	White	
33	Thomas King	32	M	White	
34	Jessie King	18	F	White	
35	George King	25	M	White	
36	Harriet King	22	F	White	
37	Charles King	30	M	White	
38	Elizabeth King	28	F	White	
39	John King	35	M	White	
40	Mary King	24	F	White	
41	James King	32	M	White	
42	Sarah King	20	F	White	
43	William King	40	M	White	
44	Anna King	24	F	White	
45	Thomas King	32	M	White	
46	Jessie King	18	F	White	
47	George King	25	M	White	
48	Harriet King	22	F	White	
49	Charles King	30	M	White	
50	Elizabeth King	28	F	White	

LARGEUR,

rémité sur toute sa largeur et sur diverses hauteurs.

Pl. 24.

Charge de 0<sup>m</sup>.076 sur la base de l'orifice.



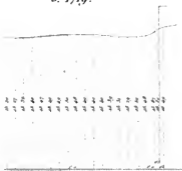
E. H. H. H.





totales, sur la base de cet orgive, de

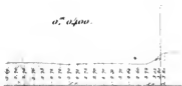
*a.*<sup>n.</sup> 1719.



*a.*<sup>n.</sup> 1301.



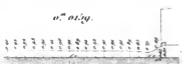
*a.*<sup>n.</sup> 0200.



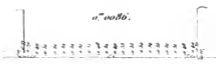
*a.*<sup>n.</sup> 0368.



*a.*<sup>n.</sup> 0129.



*a.*<sup>n.</sup> 0080.

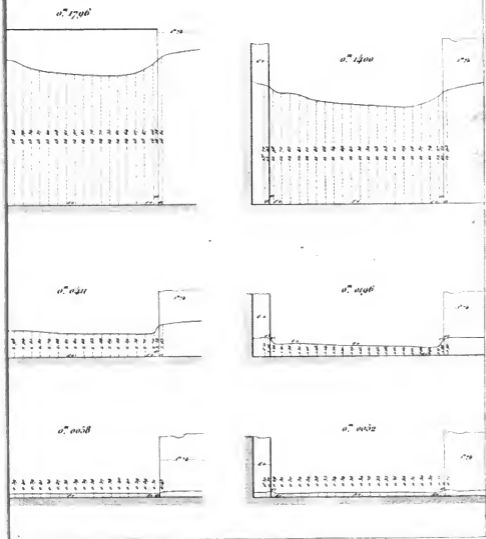


*Échelle de 0.3 pour un mètre, pour les sections.*





tales, sur la base de cet orifice, de



L. Bureau.



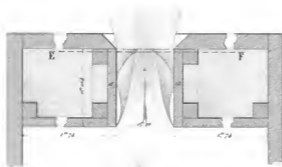




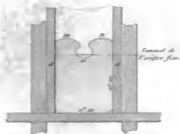
DISPOSITIF DE LA FIG. 15, PL. I.

Charge totale, sur la base du réservoir, de 0.<sup>m</sup> 3345.

Plan de la veine dans le canal.



Coupe suivant E F.



pour le dispositif de la Fig 15 et pour la section suivant CD.

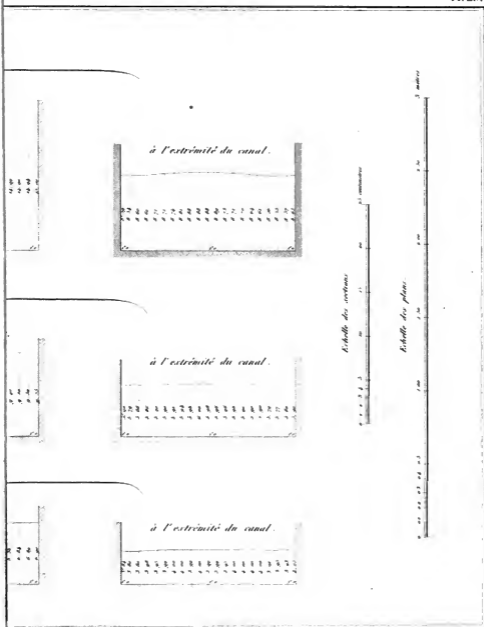
1.<sup>m</sup> 74

1.<sup>m</sup> 74

2. mètres







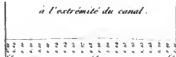


déversoir

30 du déversoir.



à l'extrémité du canal.

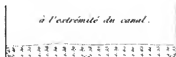


du déversoir

57 du déversoir.



à l'extrémité du canal.

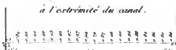


du déversoir

63 du déversoir.



à l'extrémité du canal.



Echelle de 0<sup>m</sup>.3 pour un mètre pour les sections

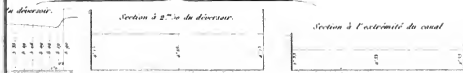




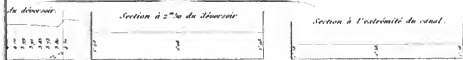
Charge de 0.<sup>m</sup> 1029 sur la base du déversoir.



Charge de 0.<sup>m</sup> 0605 sur la base du déversoir.



Charge de 0.<sup>m</sup> 0436 sur la base du déversoir.



Charge de 0.<sup>m</sup> 0279 sur la base du déversoir.

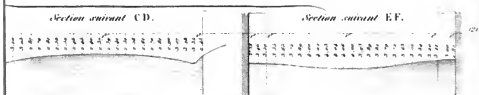


Echelle de 0.<sup>m</sup> 3 pour un mètre.





base du déversoir.



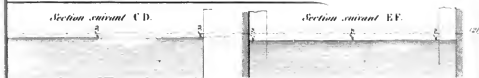
base du déversoir.



base du déversoir.

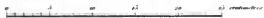


base du déversoir.



niveau de l'eau dans le réservoir.  
niveau de l'eau dans le récipient.

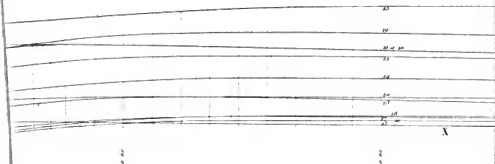
Echelle de 1<sup>m</sup>.1 pour un mètre, pour les sections suivant CD, EF et MS.







*prolongé par des canaux au dehors du réservoir.*



**LÉGENDE.**

*Les chiffres écrits sur les courbes indiquent les numéros des dispositifs auxquels elles se rapportent.*

*Les lignes AX sont tracées à 0,60 au-dessus des axes des abscisses.*

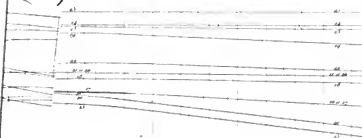
*Echelle des ordonnées.*





Réservoir

quant au dehors du réservoir.



X

## LÉGENDE.

Écrits sur les courbes indiquent les numéros  
utilisés auxquels elles se rapportent.

AX sont tracées à 0,60 au-dessous des axes  
cercles.

Echelle des ordonnées.



Lancé

E. B. 1877



# PENNE DES ORIFICES.

1°.

Expérience

YR.

Y

X

A

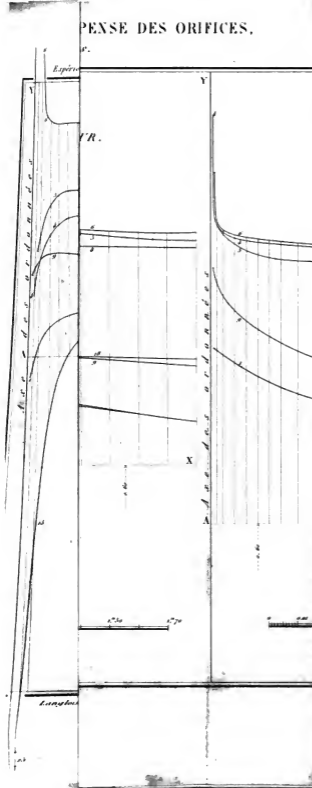
des courbes

des courbes

1"50 1"70

1" 1"50

Longueur



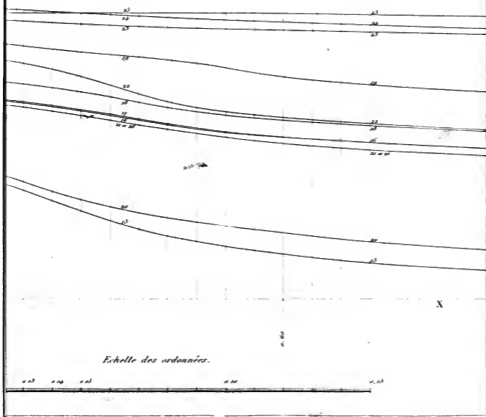


## LÉGENDE.

Les chiffres écrits sur les courbes indiquent les n<sup>os</sup>  
des dispositifs auxquels elles se rapportent.

Les lignes XX sont tracées à 0,60 au-dessous des  
axes des abscisses.

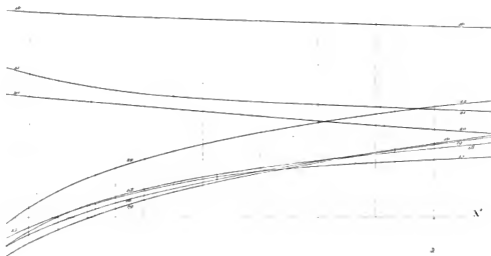
jeté par des canaux au dehors du réservoir.







*prolongé par des canaux au dehors du réservoir.*



**LÉGENDE.**

*Les chiffres écrits sur les courbes indiquent les numéros  
des dispositifs auxquels elles se rapportent.*

*La ligne AX est tracée à 0,35 au-dessus de l'axe  
des abscisses.*

*La ligne XX est tracée à 0,30 id.*









